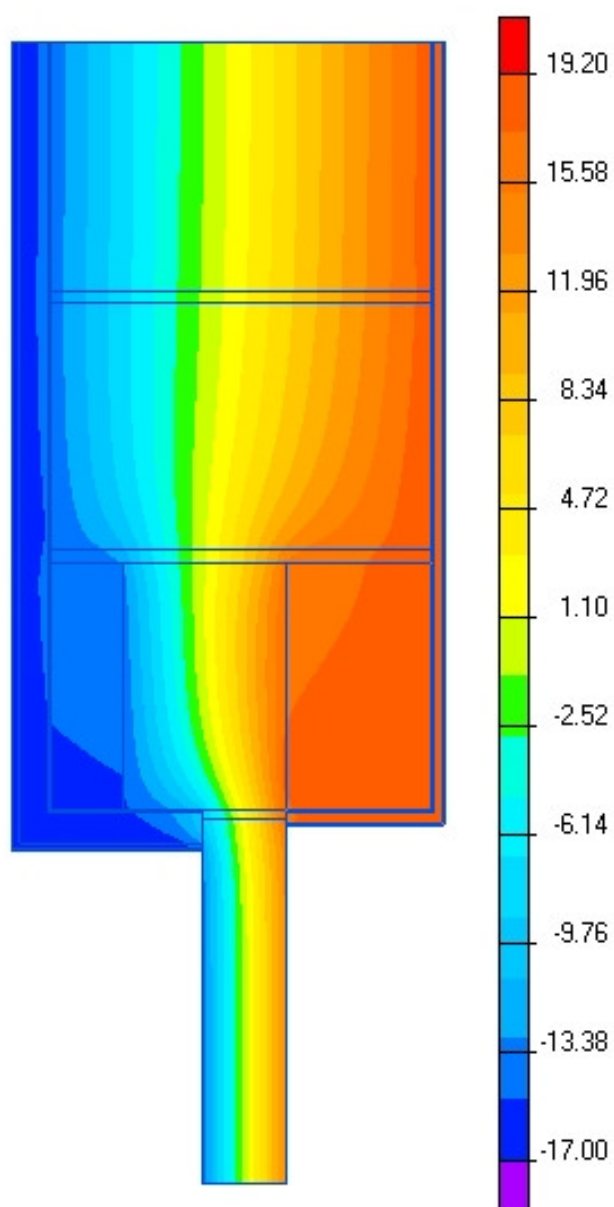
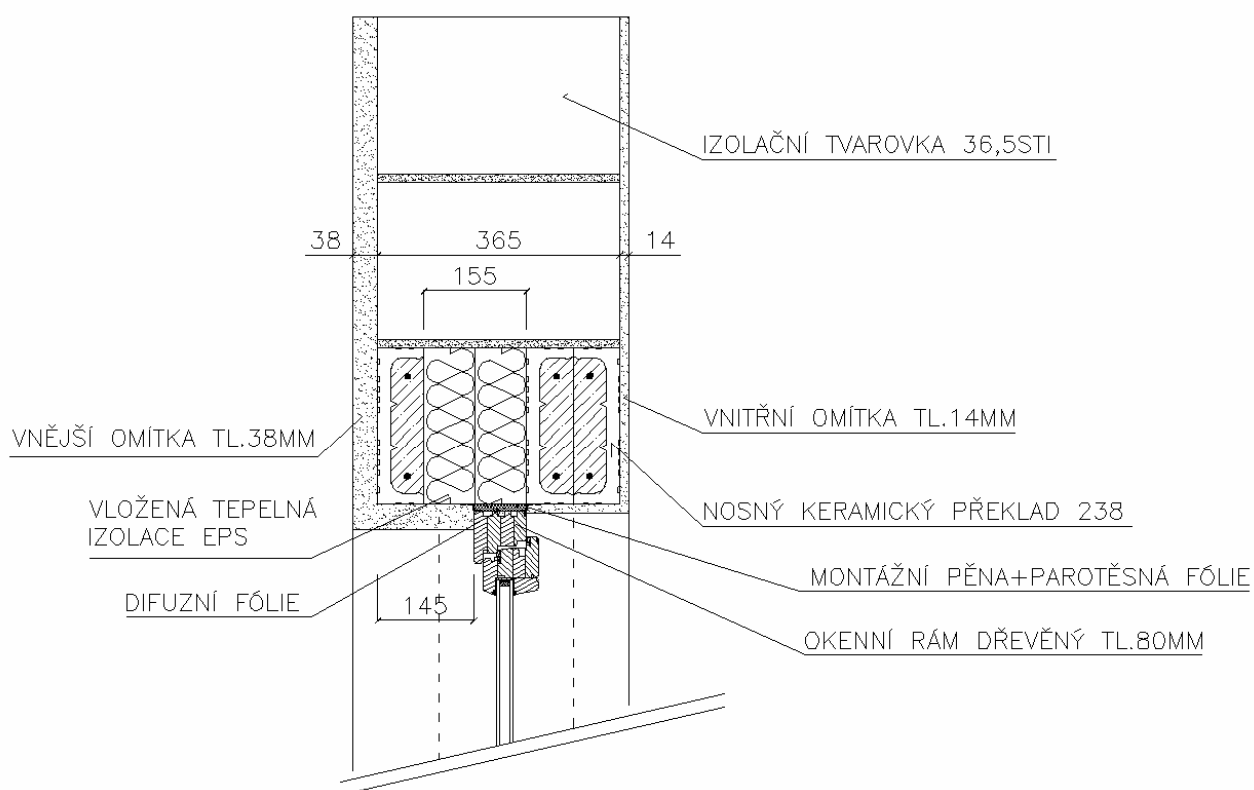
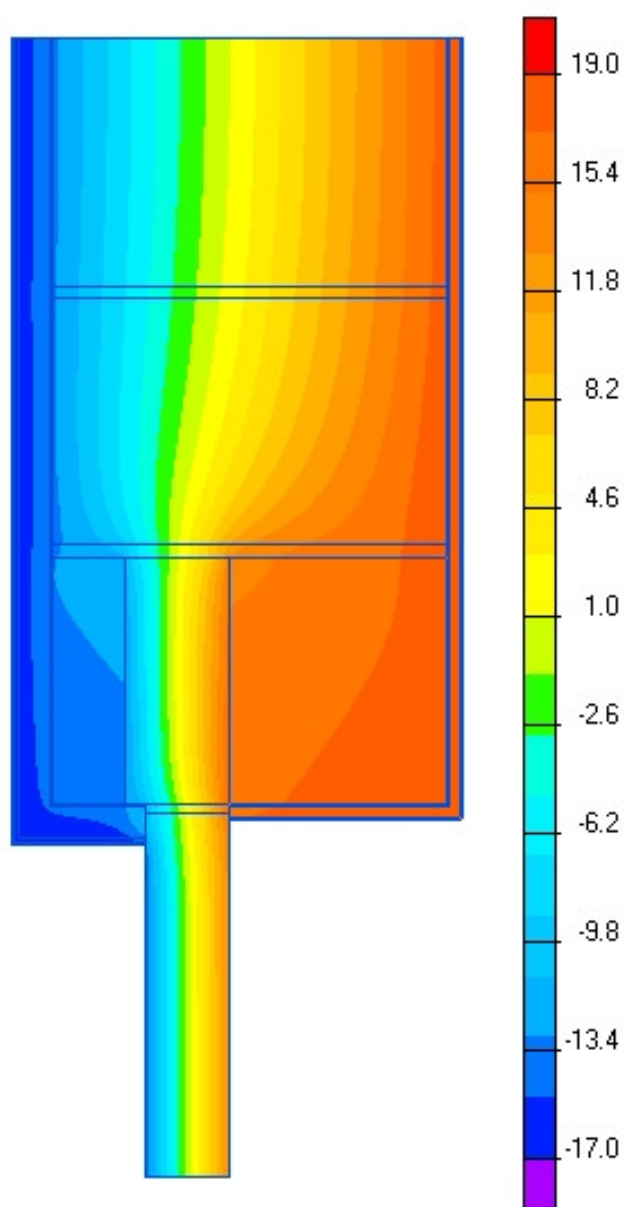


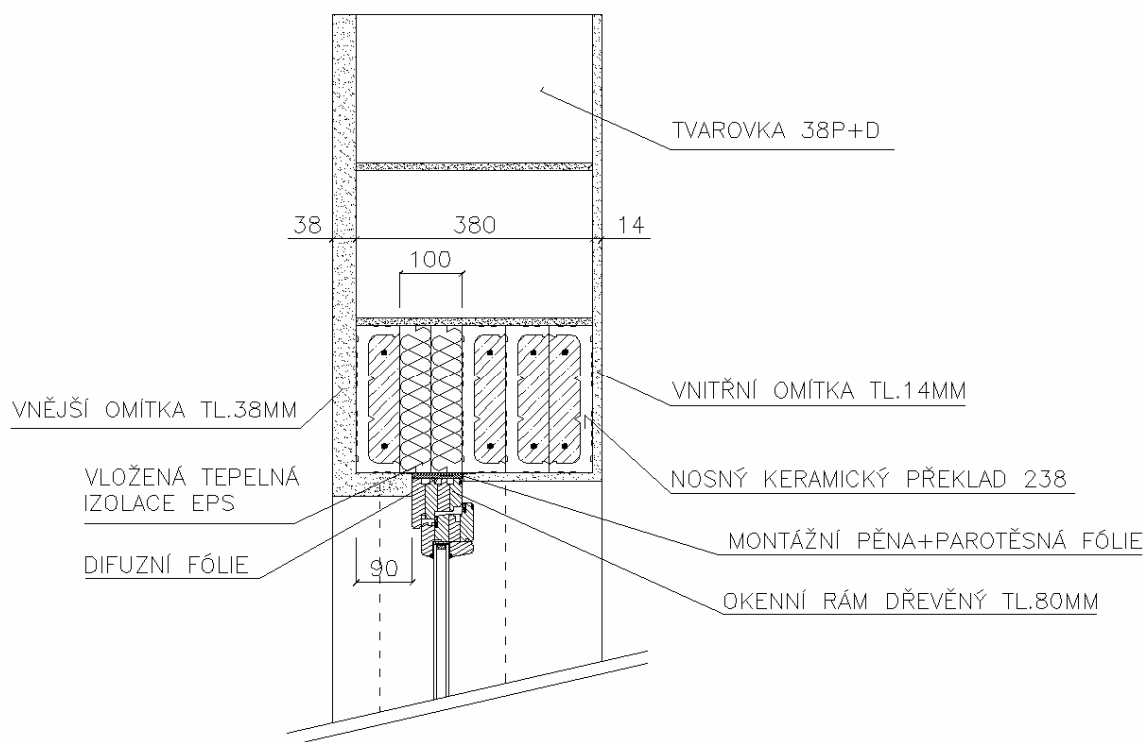
11 Detail nadpraží okna STI 365 mm		
lineární činitel prostupu tepla - interiér ψ_i W/(m.K)	lineární činitel prostupu tepla - exteriér ψ_e W/(m.K)	teplotní faktor f_{Rsi} -
0,093	0,093	0,8576



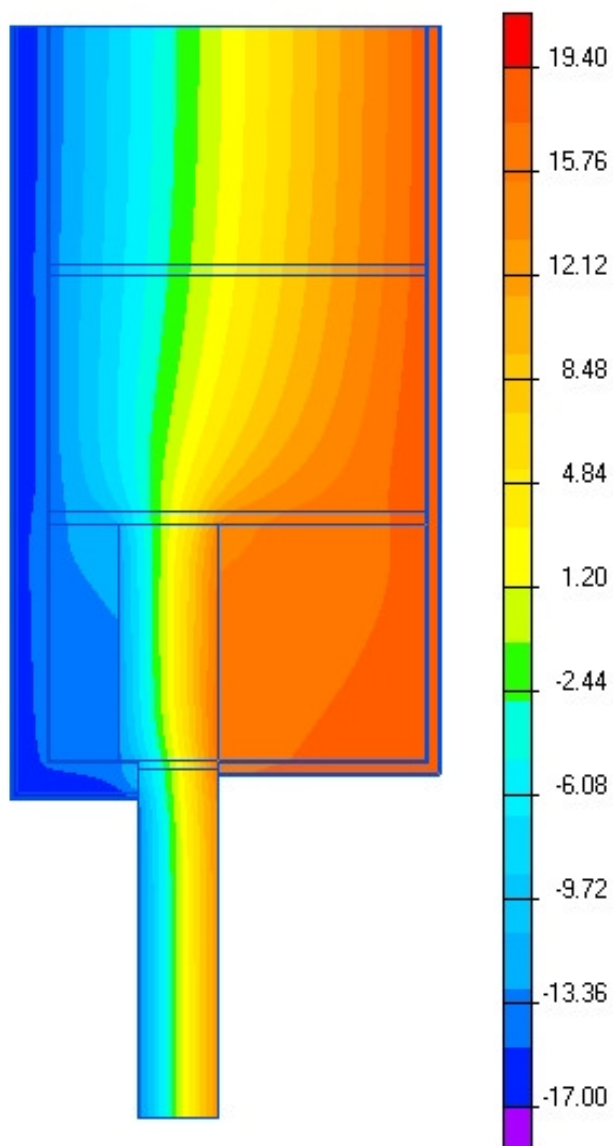


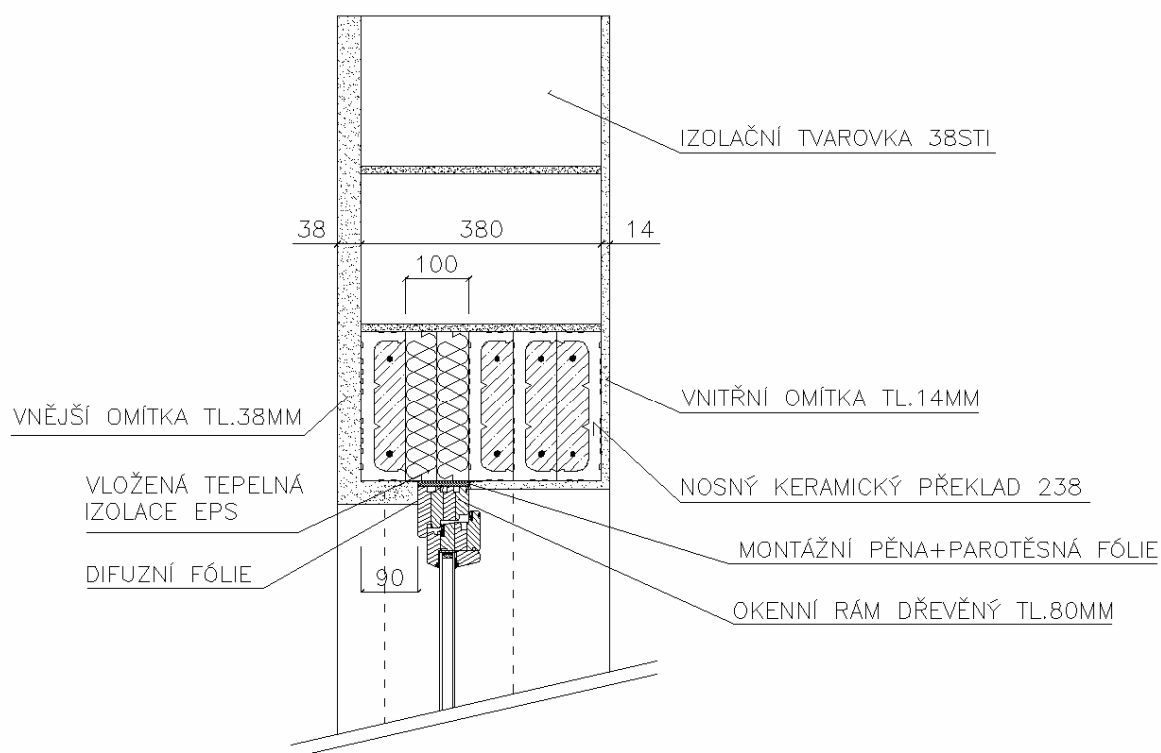
12 Detail nadpraží okna P + D 380 mm		
lineární činitel prostupu tepla - interiér ψ_i W/(m.K)	lineární činitel prostupu tepla - exteriér ψ_e W/(m.K)	teplotní faktor f_{Rsi} -
0,114	0,114	0,8482



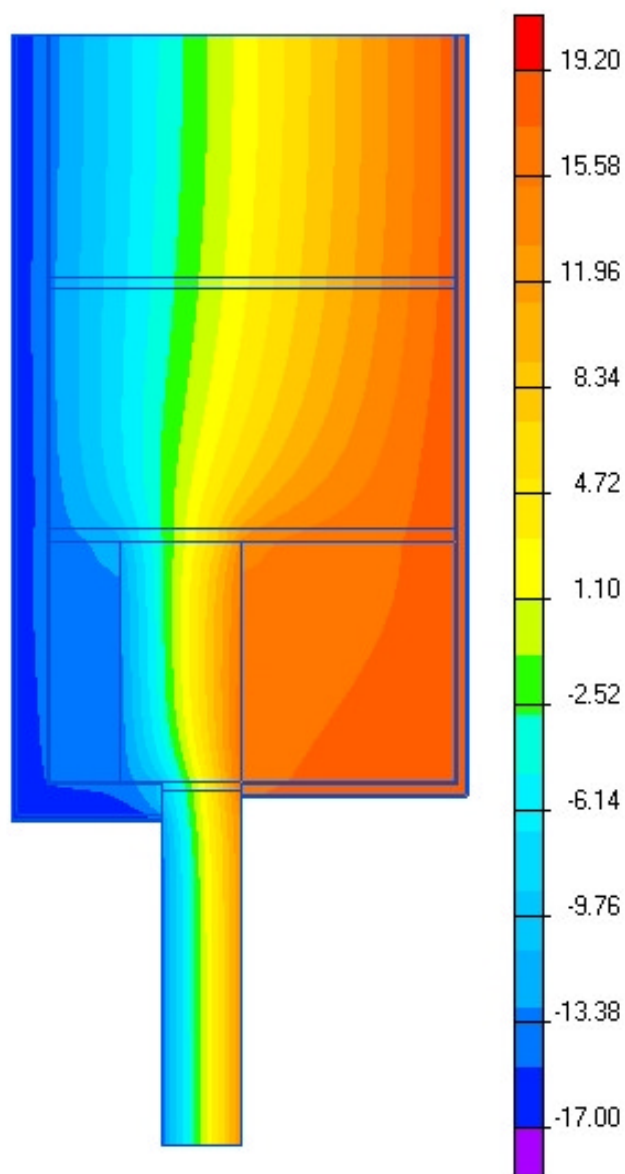


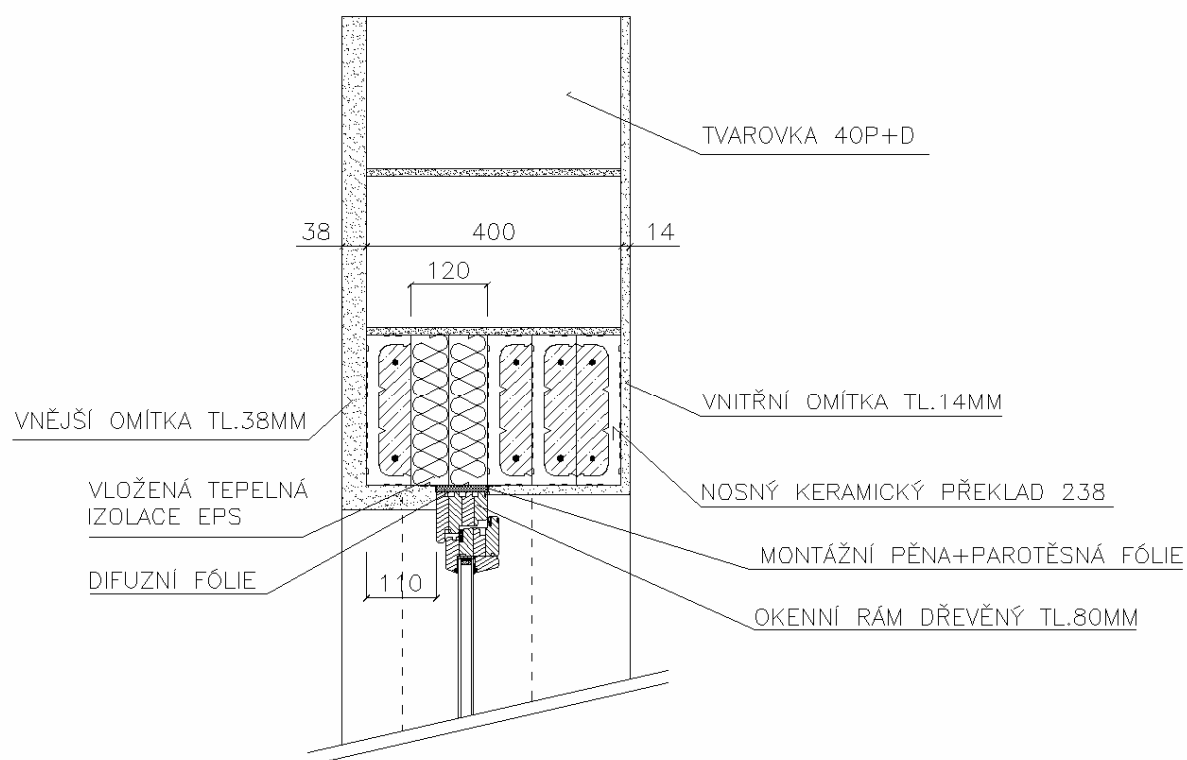
13 Detail nadpraží okna STI 380 mm		
lineární činitel prostupu tepla - interiér ψ_i W/(m.K)	lineární činitel prostupu tepla - exteriér ψ_e W/(m.K)	teplotní faktor f_{Rsi} -
0,127	0,127	0,8511



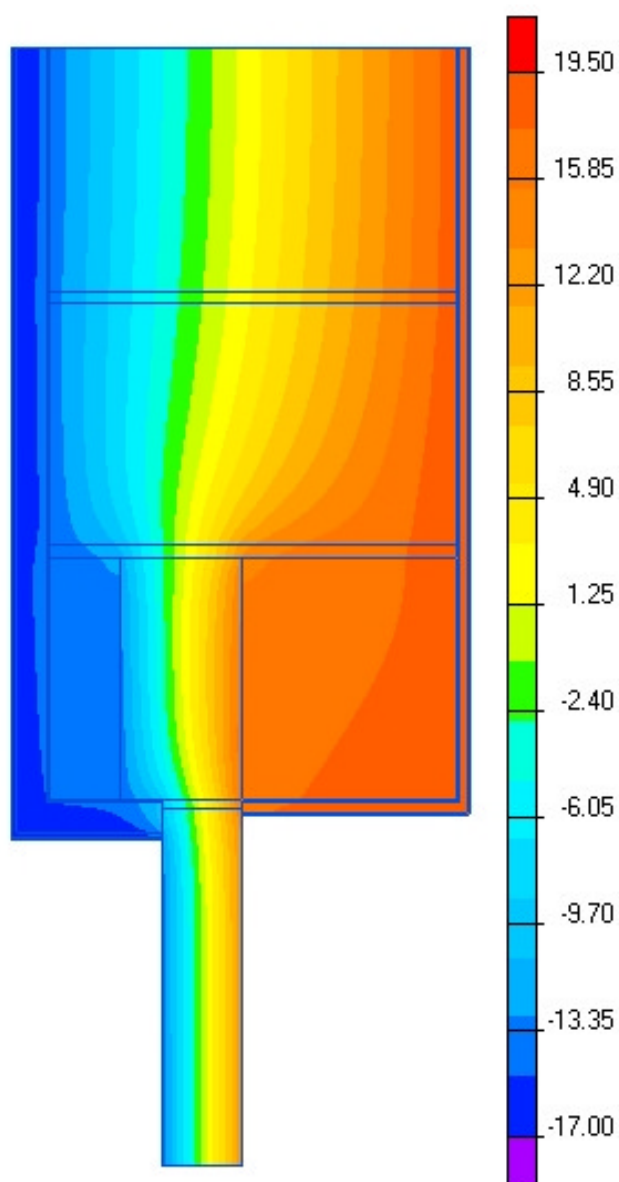


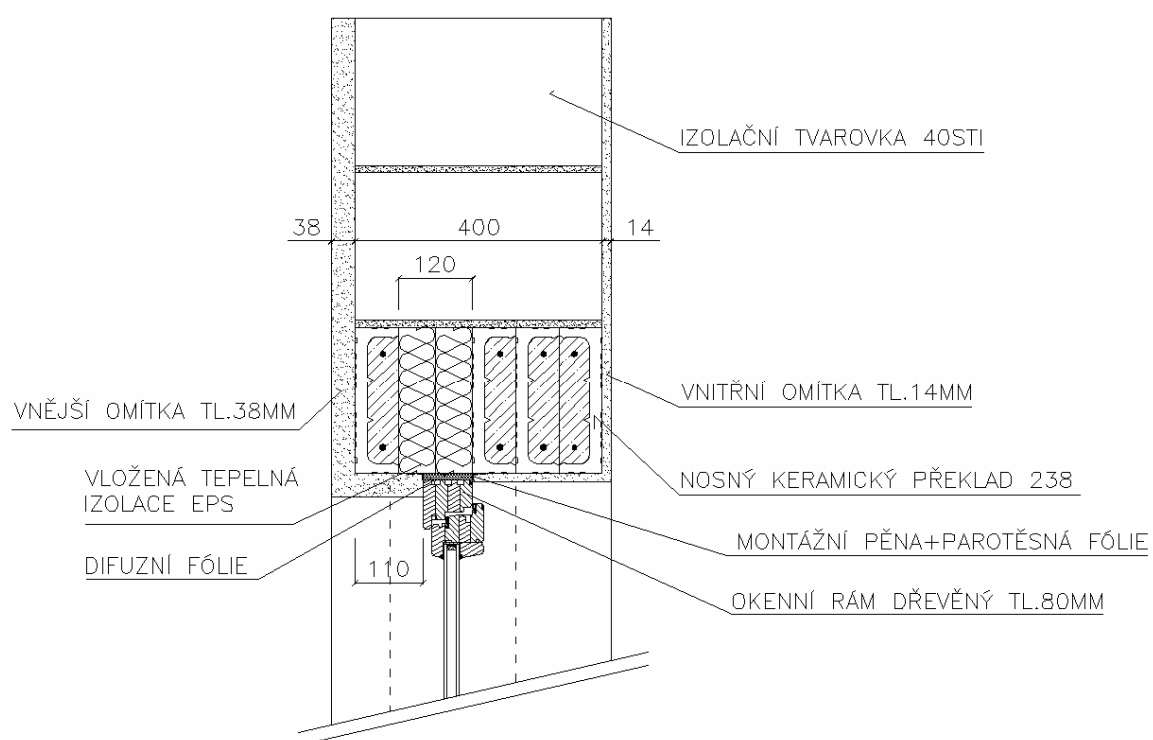
14 Detail nadpraží okna P + D 400 mm		
lineární činitel prostupu tepla - interiér ψ_i W/(m.K)	lineární činitel prostupu tepla - exteriér ψ_e W/(m.K)	teplotní faktor f_{Rsi} -
0,105	0,105	0,8532



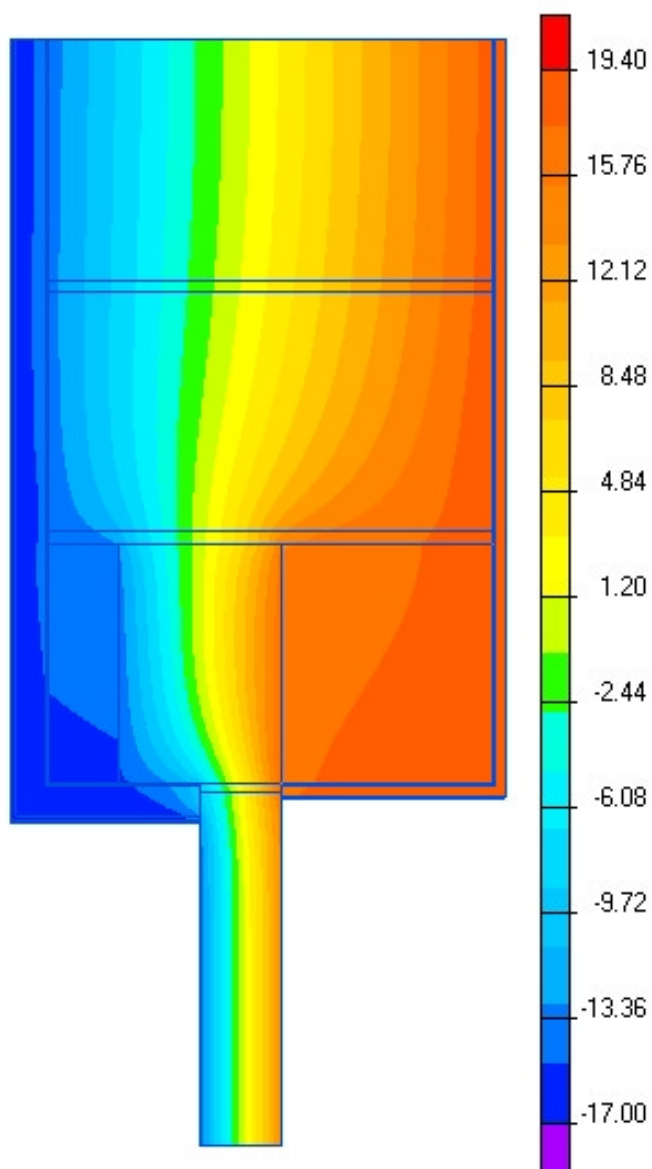


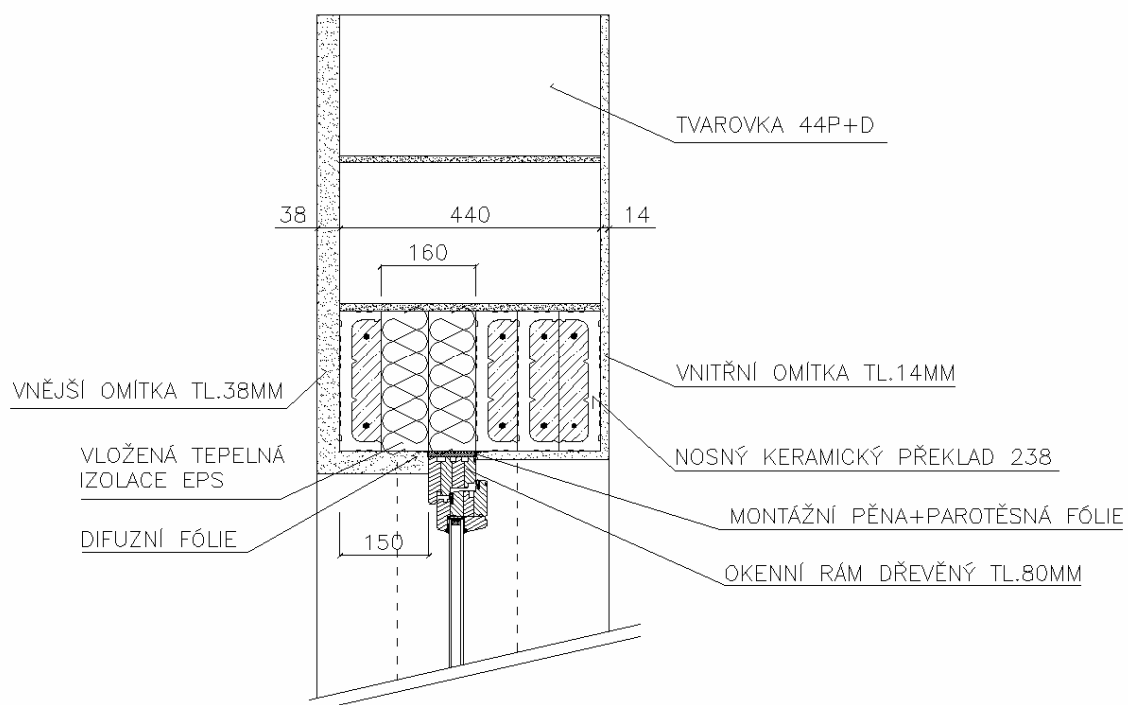
15 Detail nadpraží okna STI 400 mm		
lineární činitel prostupu tepla - interiér ψ_i W/(m.K)	lineární činitel prostupu tepla - exteriér ψ_e W/(m.K)	teplotní faktor f_{Rsi} -
0,117	0,117	0,862



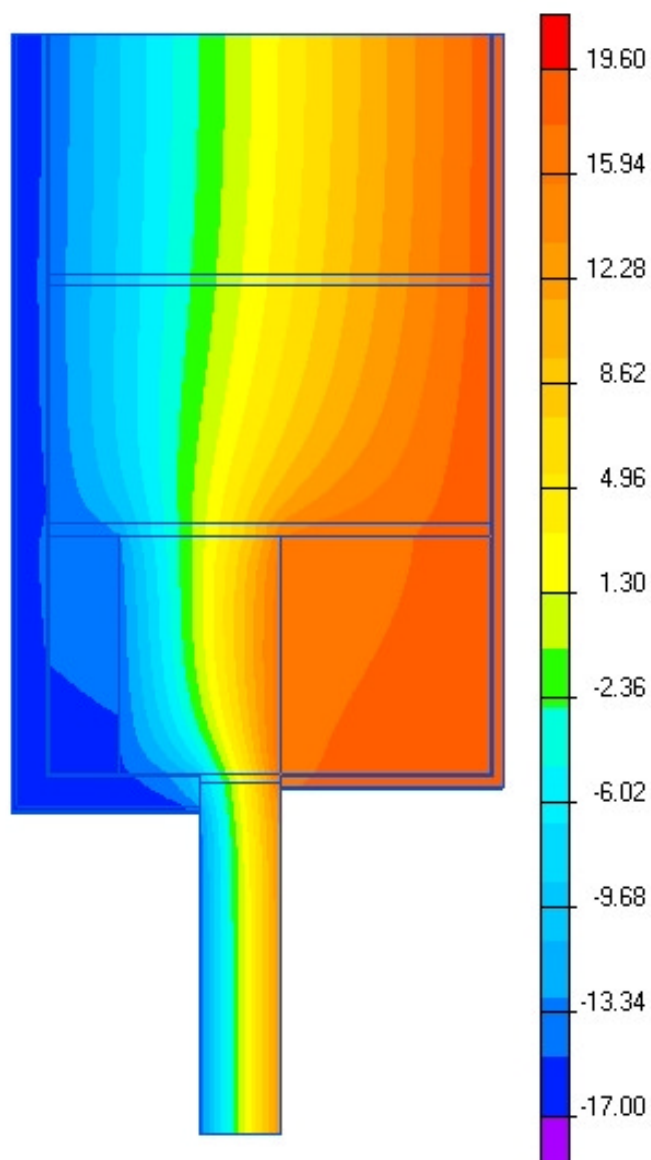


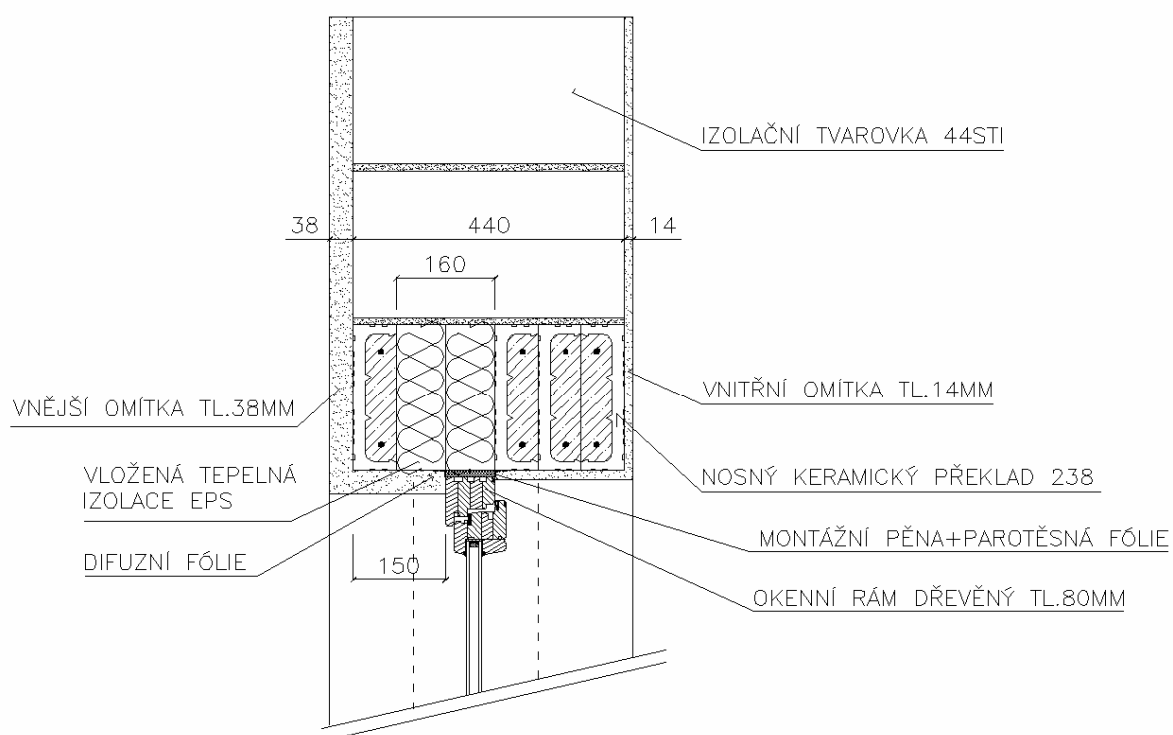
16 Detail nadpraží okna P + D 440 mm		
lineární činitel prostupu tepla - interiér ψ_i W/(m.K)	lineární činitel prostupu tepla - exteriér ψ_e W/(m.K)	teplotní faktor f_{Rsi} -
0,095	0,095	0,8597



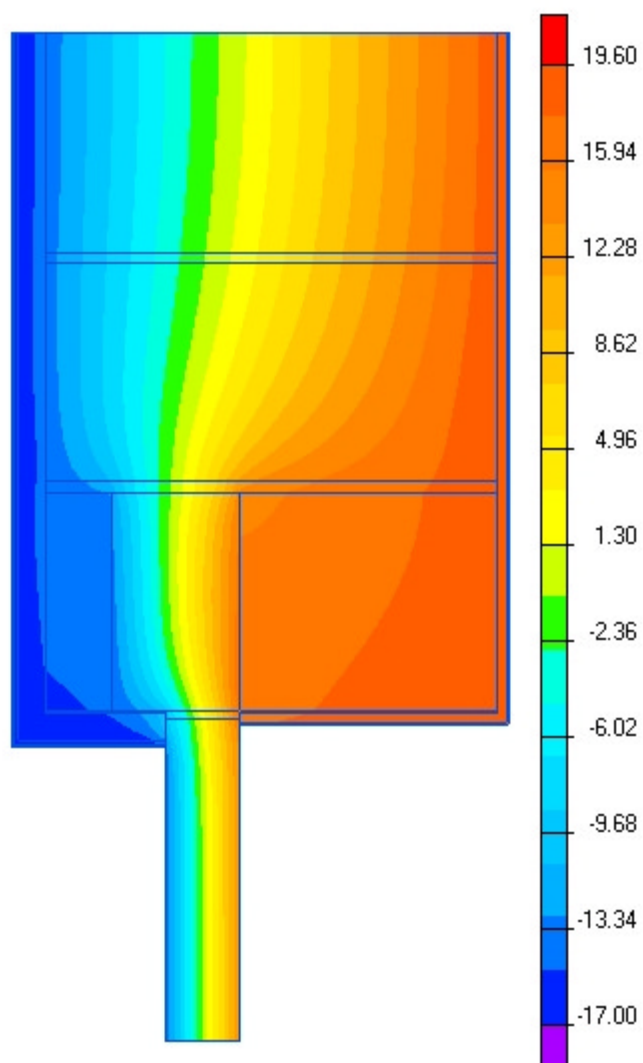


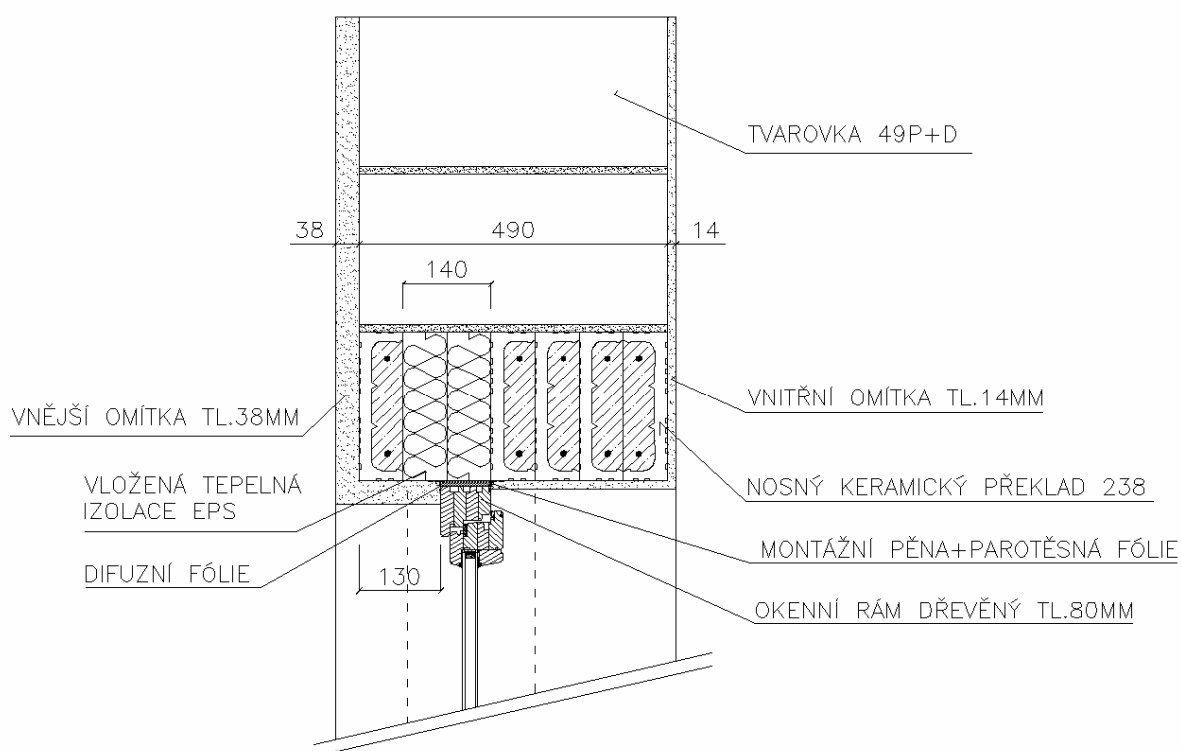
17 Detail nadpraží okna STI 440 mm		
lineární činitel prostupu tepla - interiér ψ_i W/(m.K)	lineární činitel prostupu tepla - exteriér ψ_e W/(m.K)	teplotní faktor f_{Rsi} -
0,106	0,106	0,8624



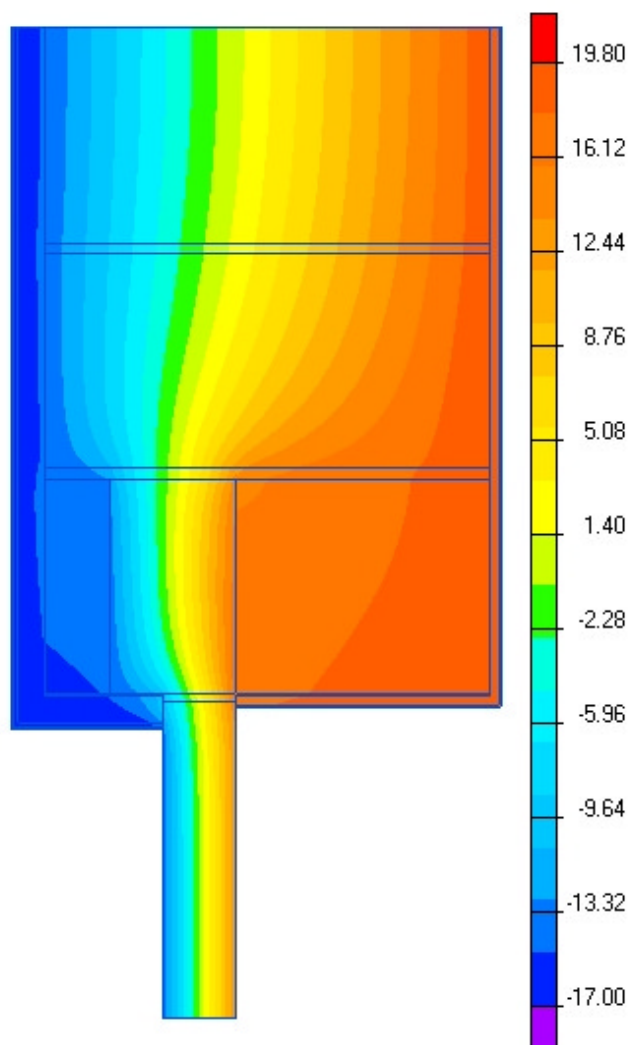


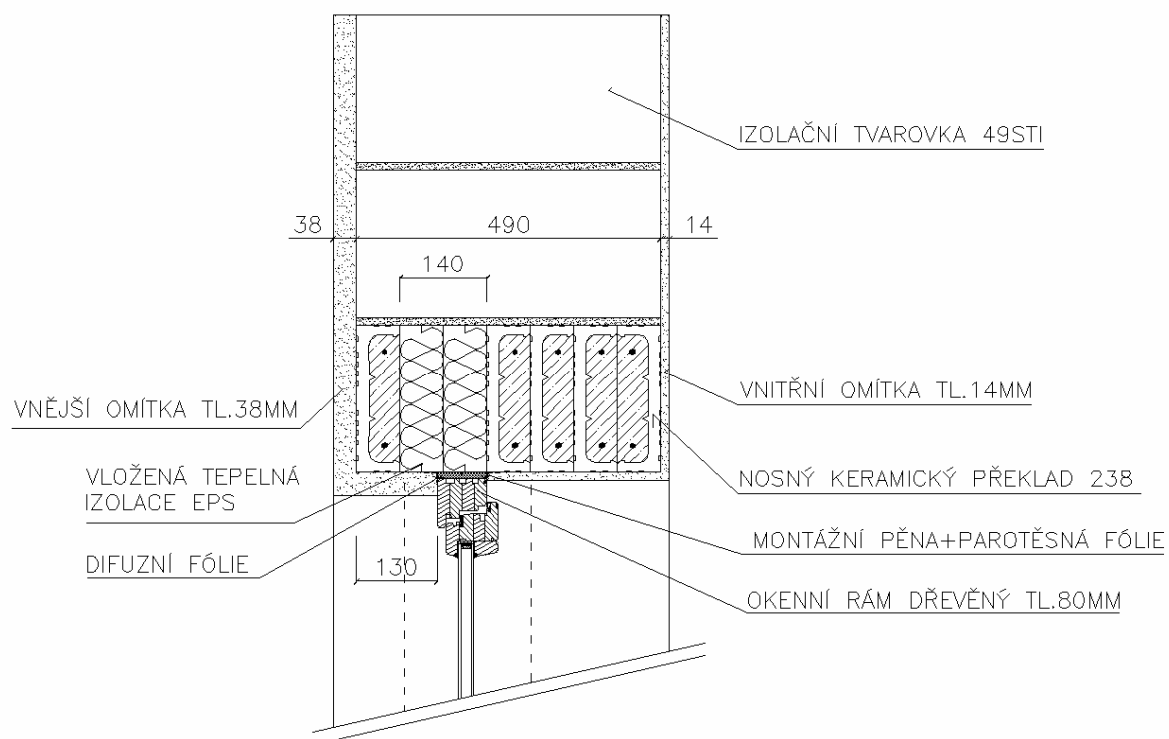
18 Detail nadpraží okna P + D 490 mm		
lineární činitel prostupu tepla - interiér ψ_i W/(m.K)	lineární činitel prostupu tepla - exteriér ψ_e W/(m.K)	teplotní faktor f_{Rsi} -
0,114	0,114	0,8555





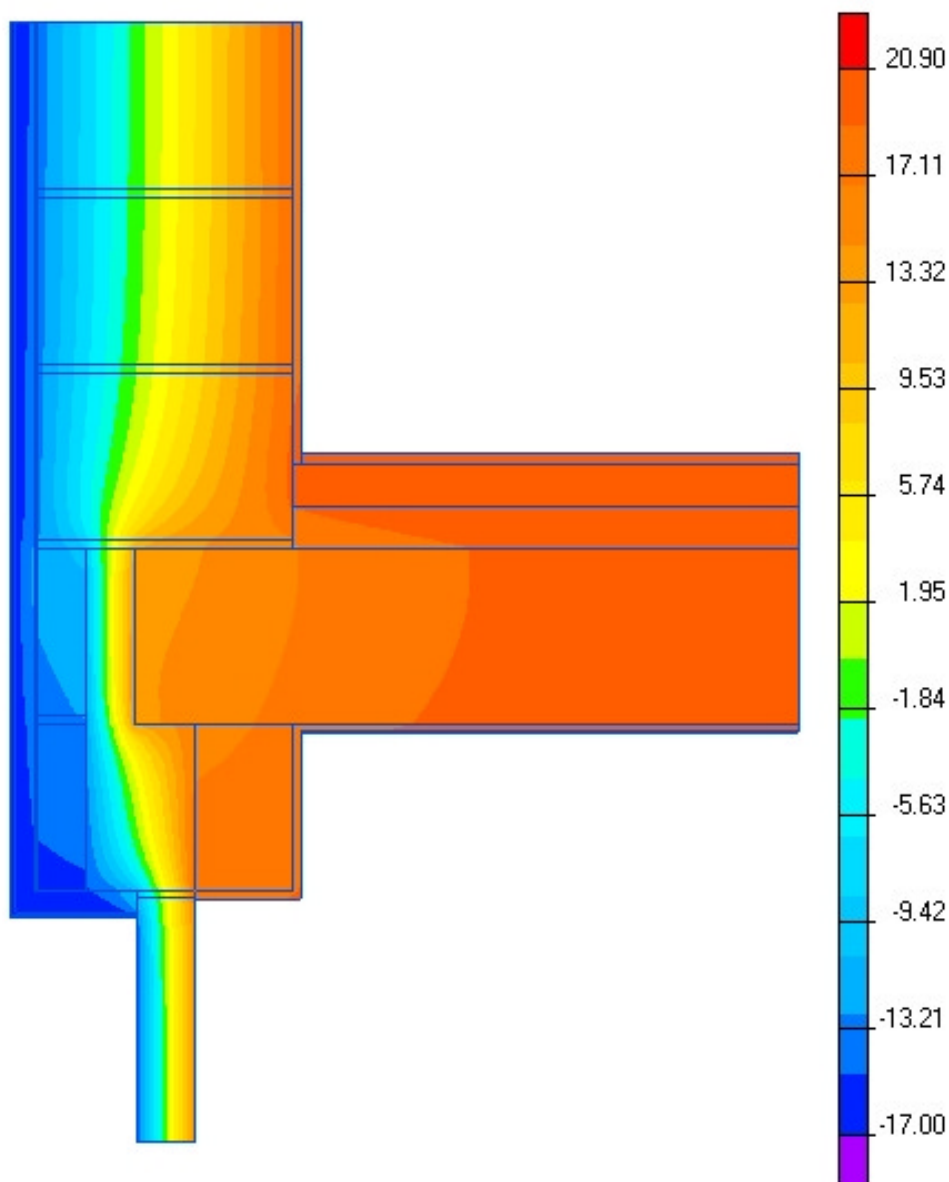
19 Detail nadpraží okna STI 490 mm		
lineární činitel prostupu tepla - interiér ψ_i W/(m.K)	lineární činitel prostupu tepla - exteriér ψ_e W/(m.K)	teplotní faktor f_{Rsi} -
0,123	0,123	0,8587

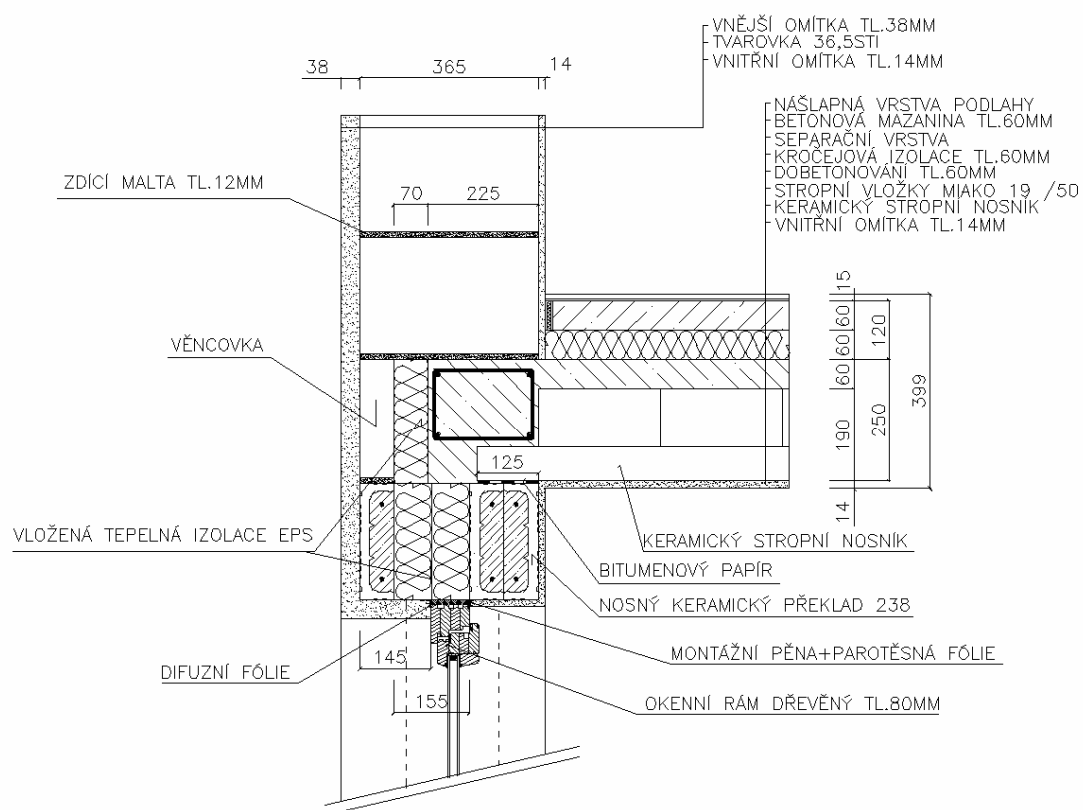




21 Detail nadpraží okna + ztužující věnec mezi vytápěnými podlažími STI 365 mm

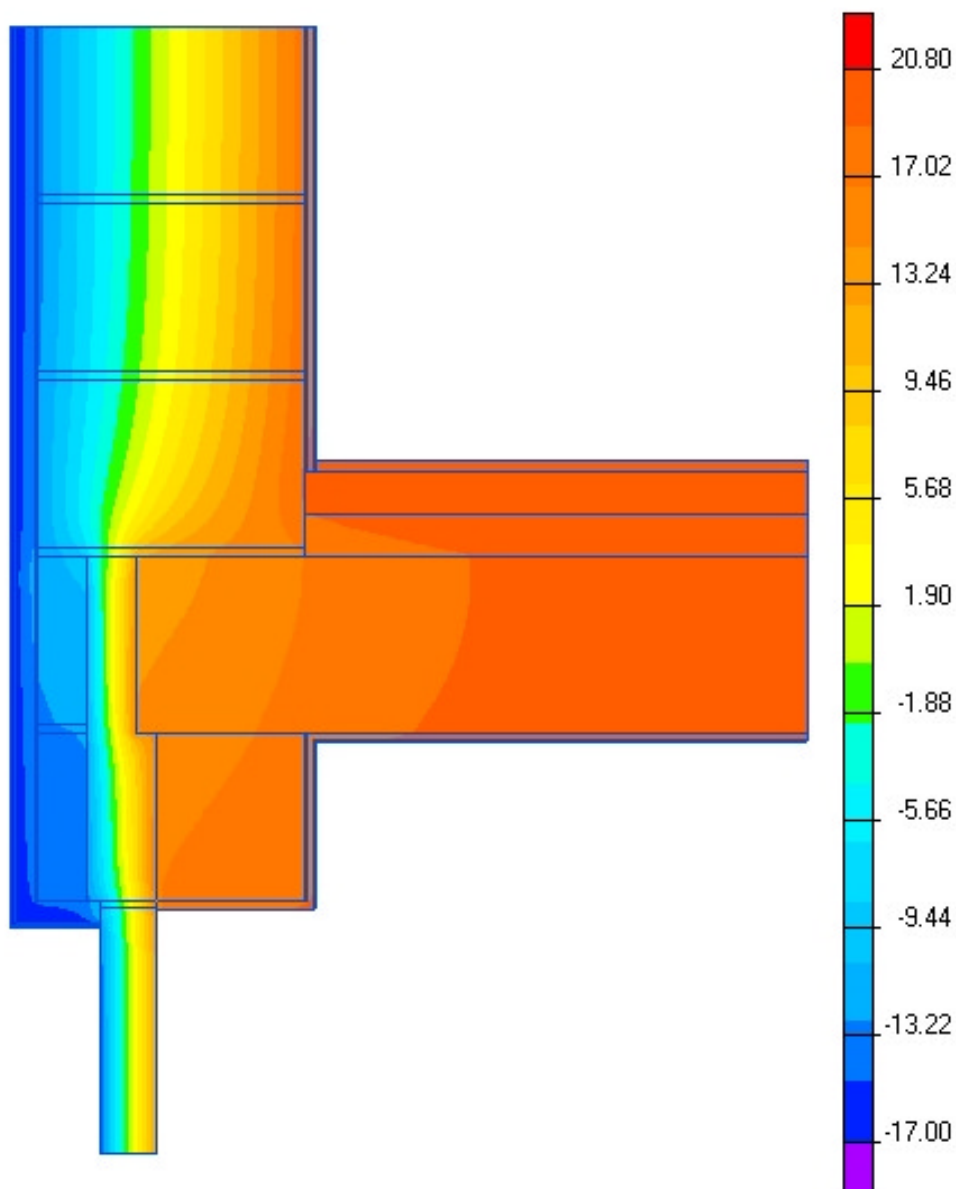
lineární činitel prostupu tepla - interiér dole z interiérových rozměrů ψ_i^{Di} W/(m.K)	lineární činitel prostupu tepla - interiér nahoře z interiérových rozměrů ψ_i^{Hi} W/(m.K)	lineární činitel prostupu tepla - exteriér ψ_e W/(m.K)	lineární činitel prostupu tepla - dole z exteriérových rozměrů ψ_i^{De} W/(m.K)	lineární činitel prostupu tepla - nahore z exteriérových rozměrů ψ_i^{He} W/(m.K)	teplotní faktor dole f_{Rsi}^D -	teplotní faktor nahore f_{Rsi}^H -
0,026	0,231	0,155	0,016	0,139	0,9114	0,8626

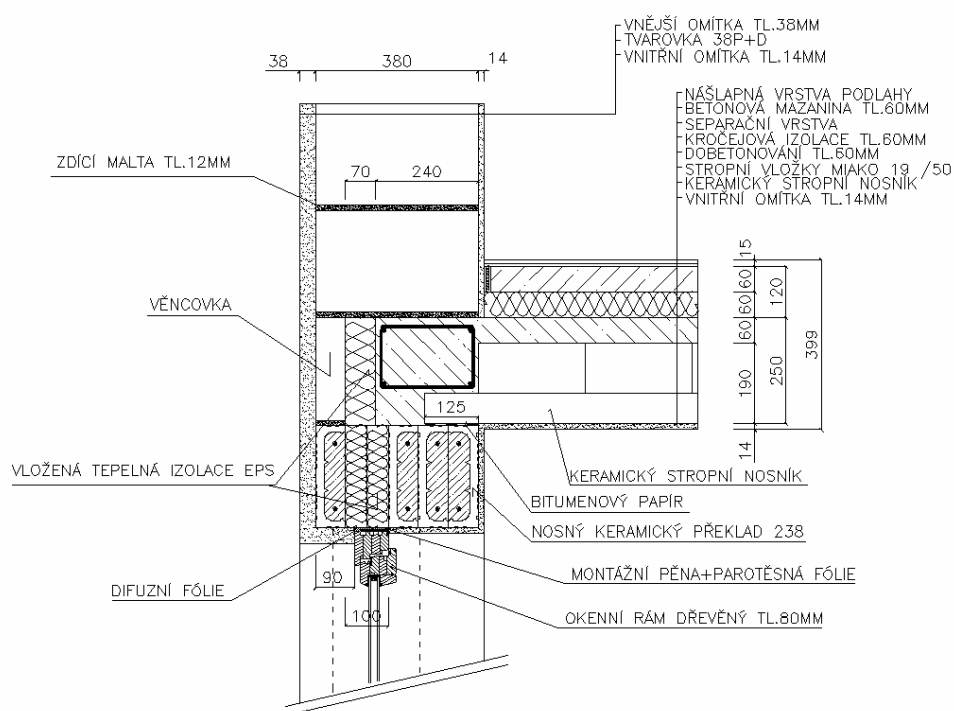




22 Detail nadpraží okna + ztužující věnec mezi vytápěnými podlažními P + D 380 mm

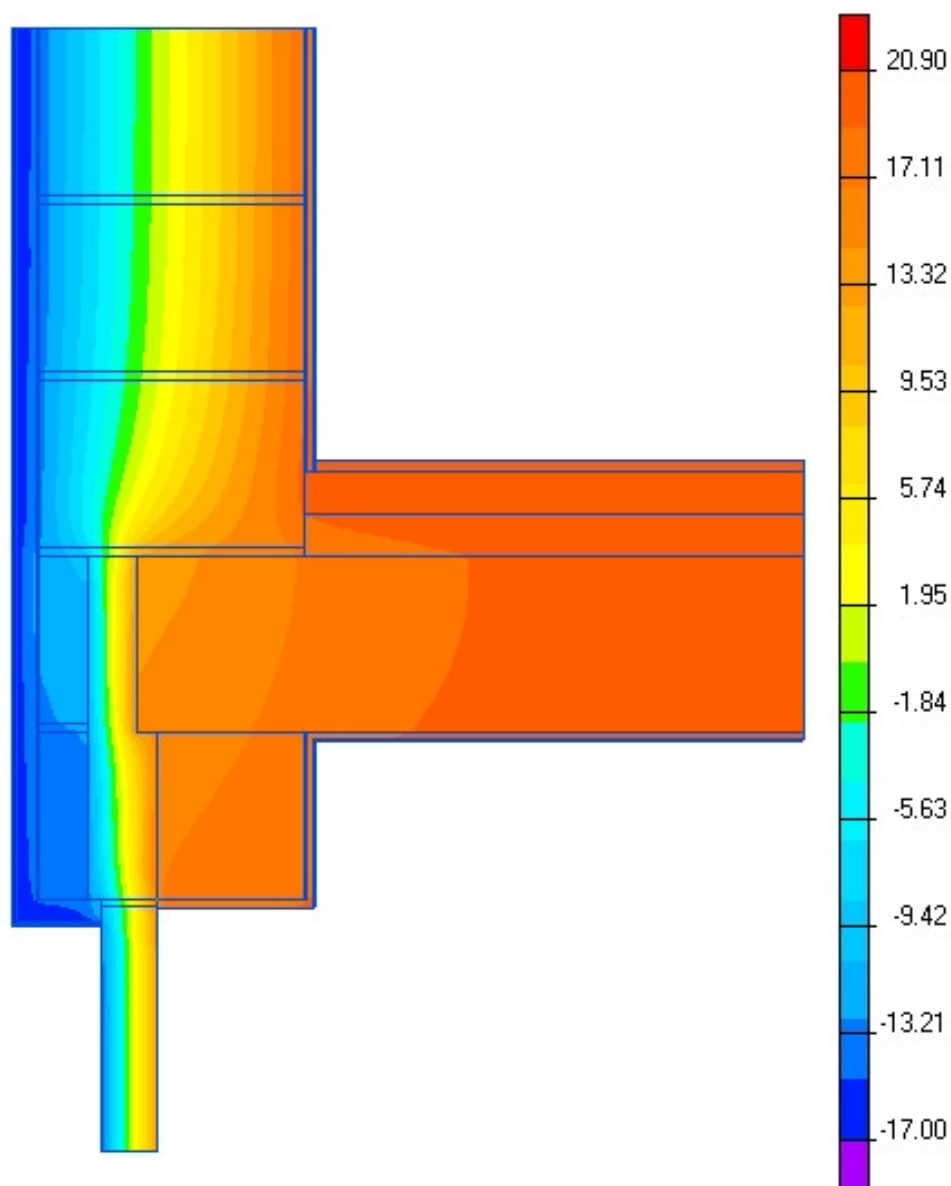
lineární činitel prostupu tepla - interiér dole z interiérových rozměrů ψ_i^{Di} W/(m.K)	lineární činitel prostupu tepla - interiér nahoře z interiérových rozměrů ψ_i^{Hi} W/(m.K)	lineární činitel prostupu tepla - exteriér ψ_e W/(m.K)	lineární činitel prostupu tepla - dole z exteriérových rozměrů ψ_i^{De} W/(m.K)	lineární činitel prostupu tepla - nahore z exteriérových rozměrů ψ_i^{He} W/(m.K)	teplotní faktor dole f_{Rsi}^D -	teplotní faktor nahore f_{Rsi}^H -
0,023	0,246	0,146	0,013	0,133	0,8988	0,8563

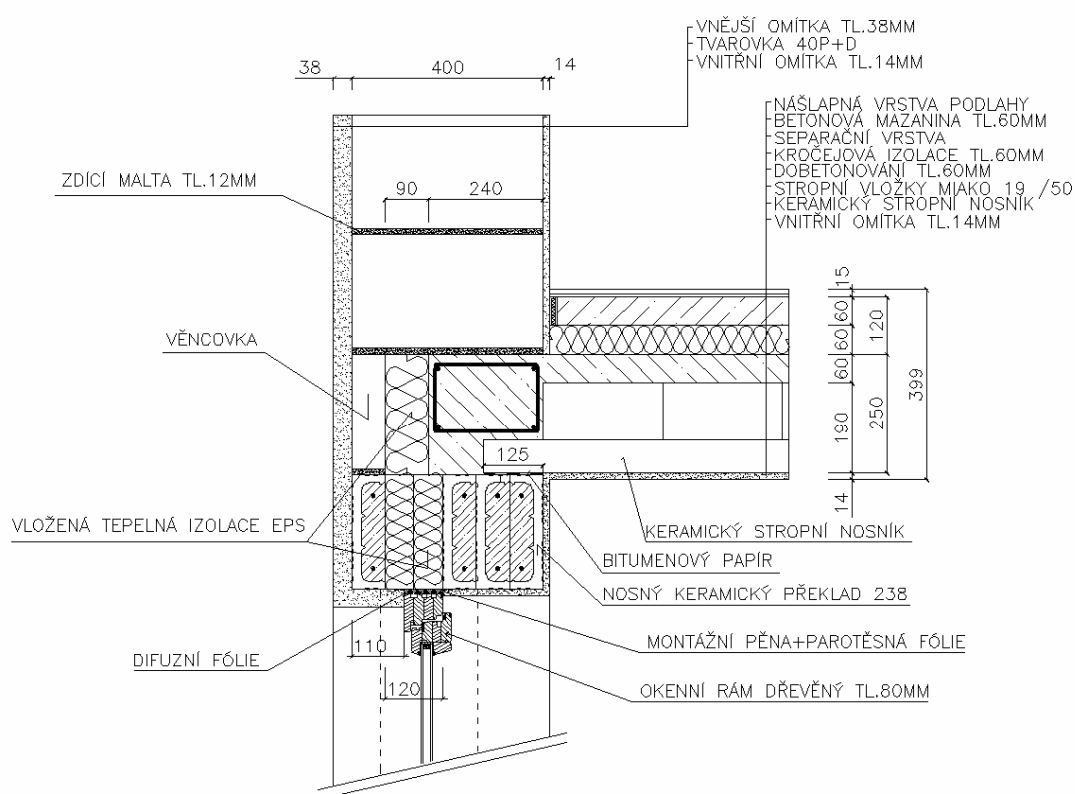




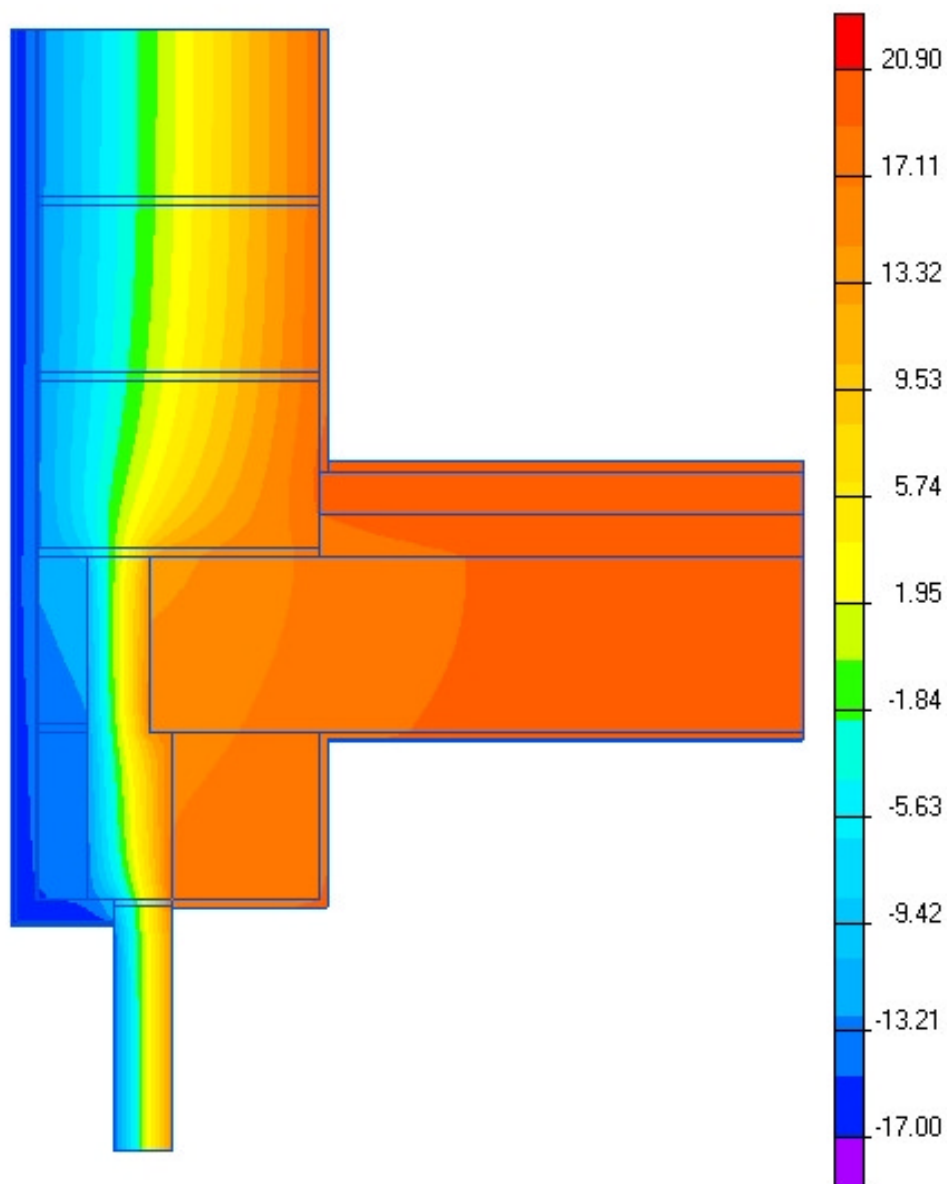
23 Detail nadpraží okna + ztužující věnec mezi vytápěnými podlažími STI 380 mm

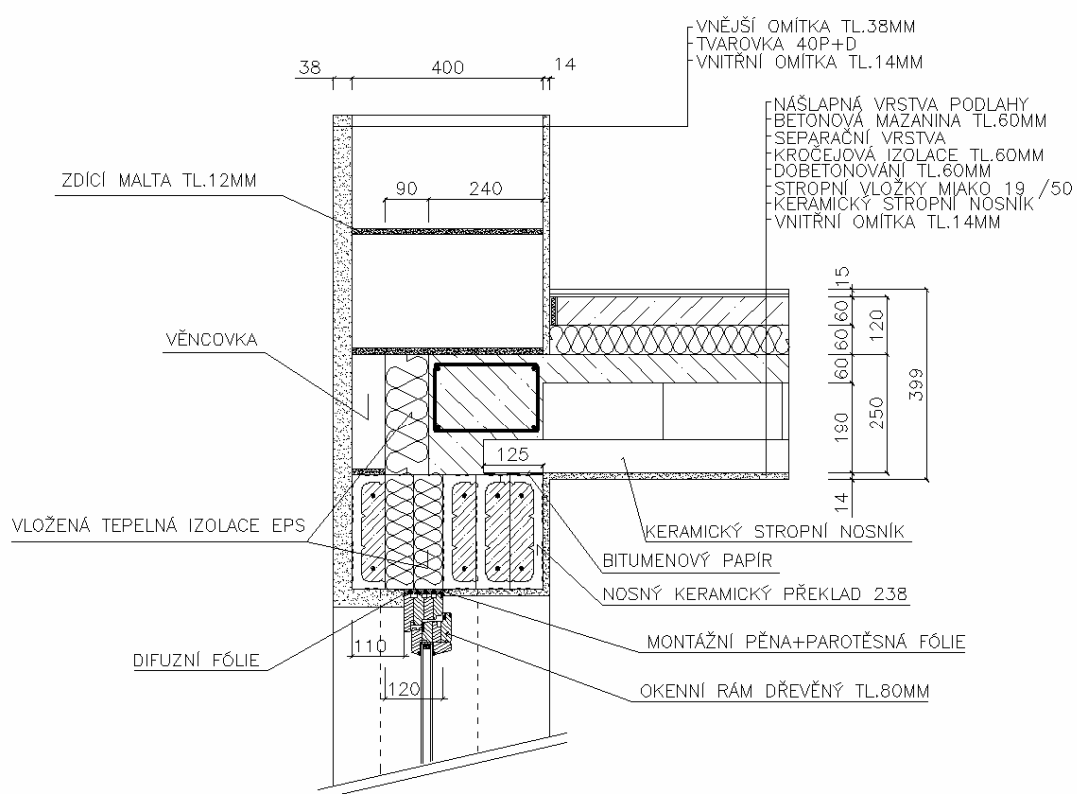
lineární činitel prostupu tepla - interiér dole z interiérových rozměrů ψ_i^{Di} W/(m.K)	lineární činitel prostupu tepla - interiér nahoře z interiérových rozměrů ψ_i^{Hi} W/(m.K)	lineární činitel prostupu tepla - exteriér ψ_e W/(m.K)	lineární činitel prostupu tepla - dole z exteriérových rozměrů ψ_i^{De} W/(m.K)	lineární činitel prostupu tepla - nahore z exteriérových rozměrů ψ_i^{He} W/(m.K)	teplotní faktor dole f_{Rsi}^D -	teplotní faktor nahore f_{Rsi}^H -
0,022	0,251	0,175	0,014	0,161	0,9148	0,8576





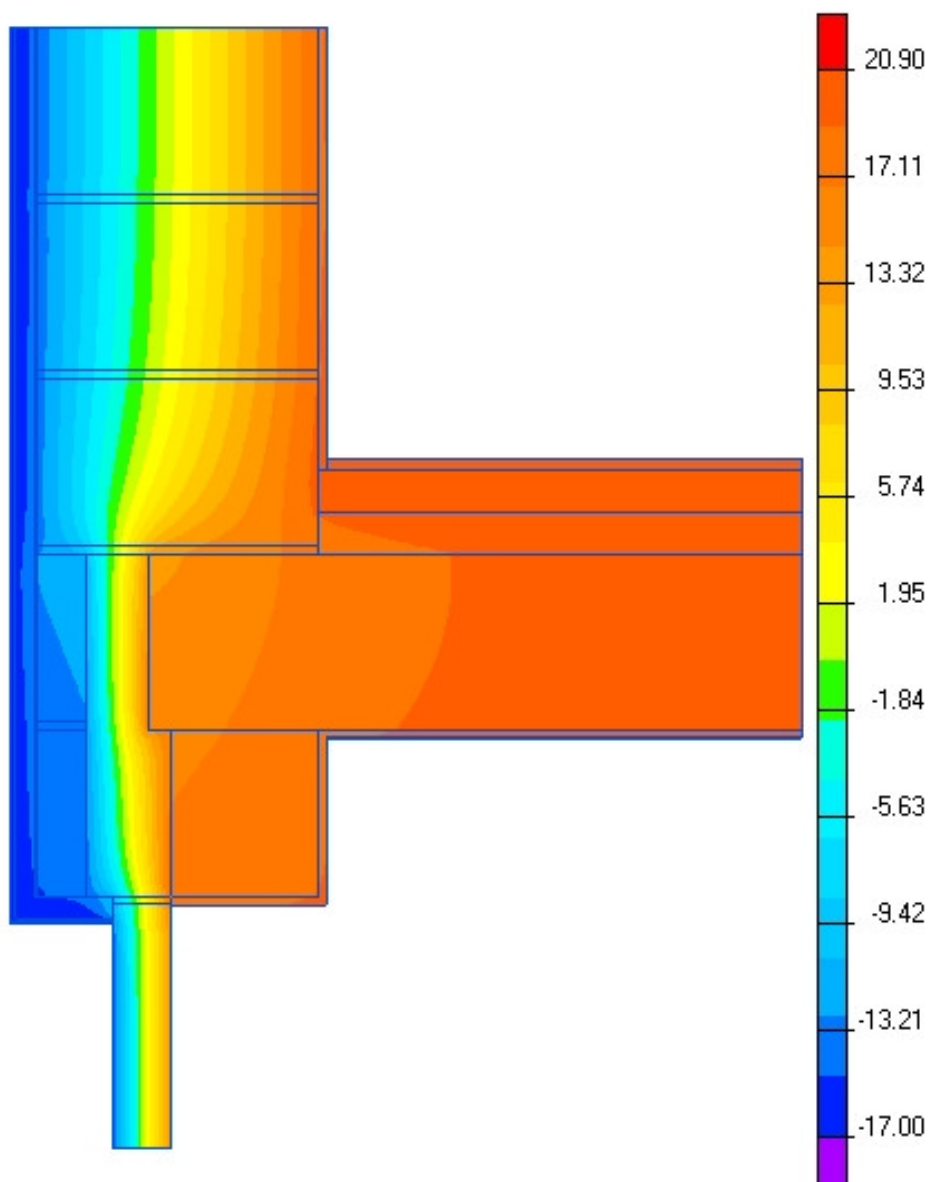
24 Detail nadpraží okna + ztužující věnec mezi vytápěnými podlažními P + D 400 mm						
lineární činitel prostupu tepla - interiér dole z interiérových rozměrů ψ_i^{Di} W/(m.K)	lineární činitel prostupu tepla - interiér nahoře z interiérových rozměrů ψ_i^{Hi} W/(m.K)	lineární činitel prostupu tepla - exteriér ψ_e W/(m.K)	lineární činitel prostupu tepla - dole z exteriérových rozměrů ψ_i^{De} W/(m.K)	lineární činitel prostupu tepla - nahore z exteriérových rozměrů ψ_i^{He} W/(m.K)	teplotní faktor dole f_{Rsi}^D -	teplotní faktor nahore f_{Rsi}^H -
0,019	0,221	0,122	0,010	0,112	0,9033	0,8537

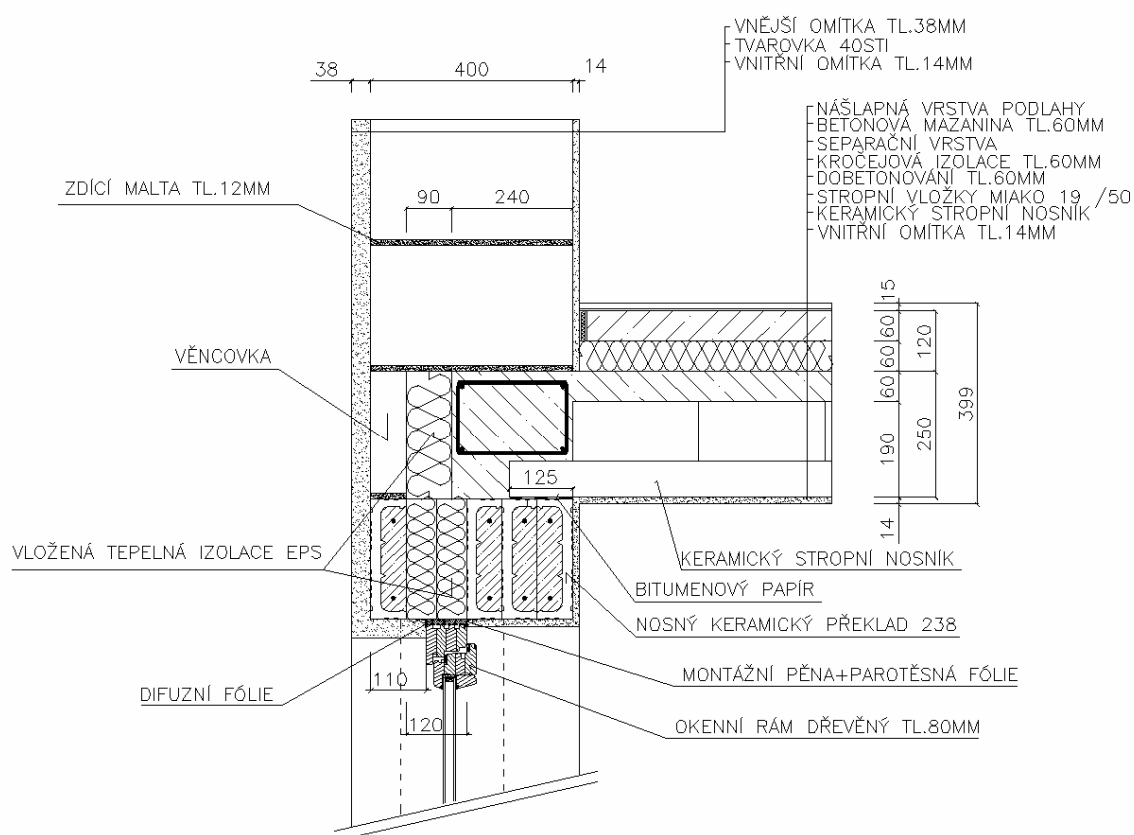




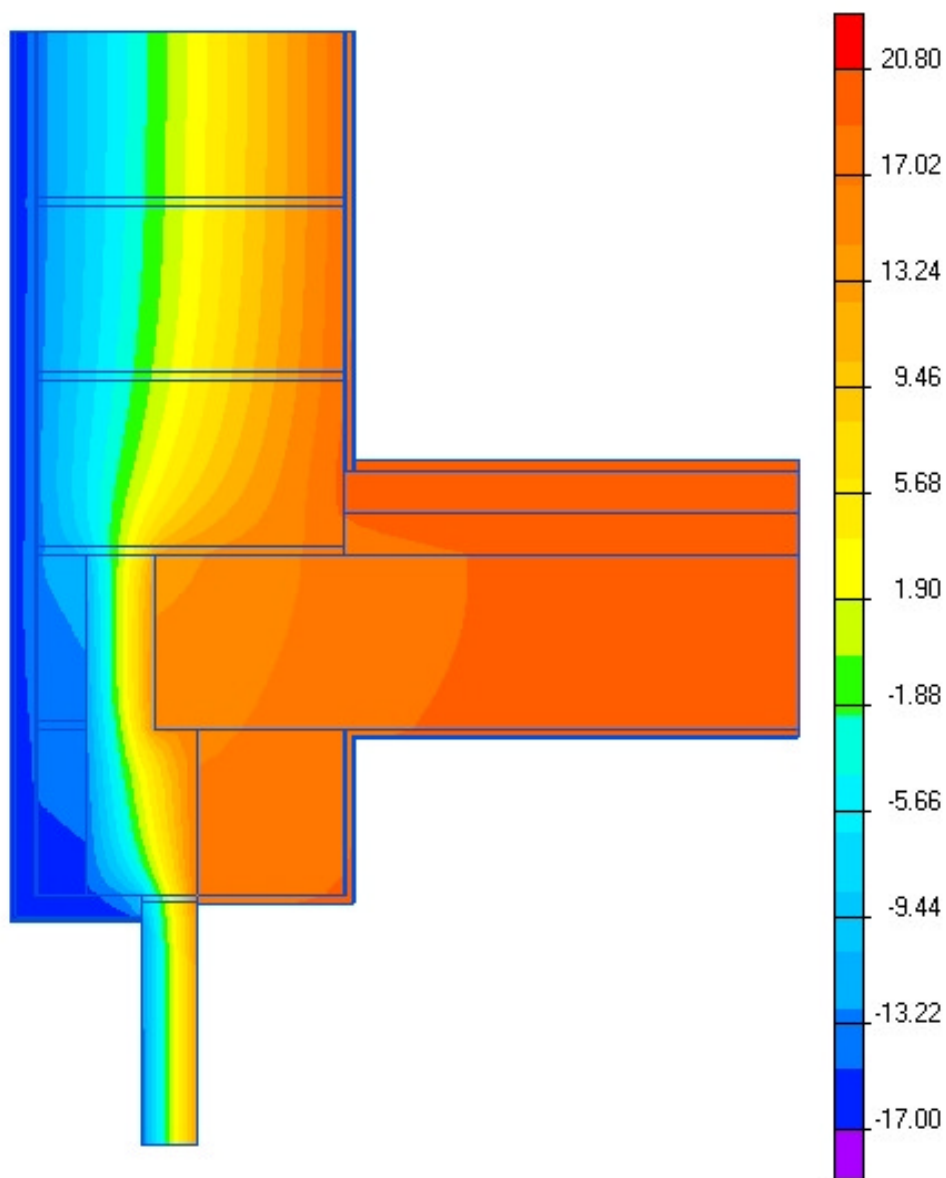
25 Detail nadpraží okna + ztužující věnec mezi vytápěnými podlažími STI 400 mm

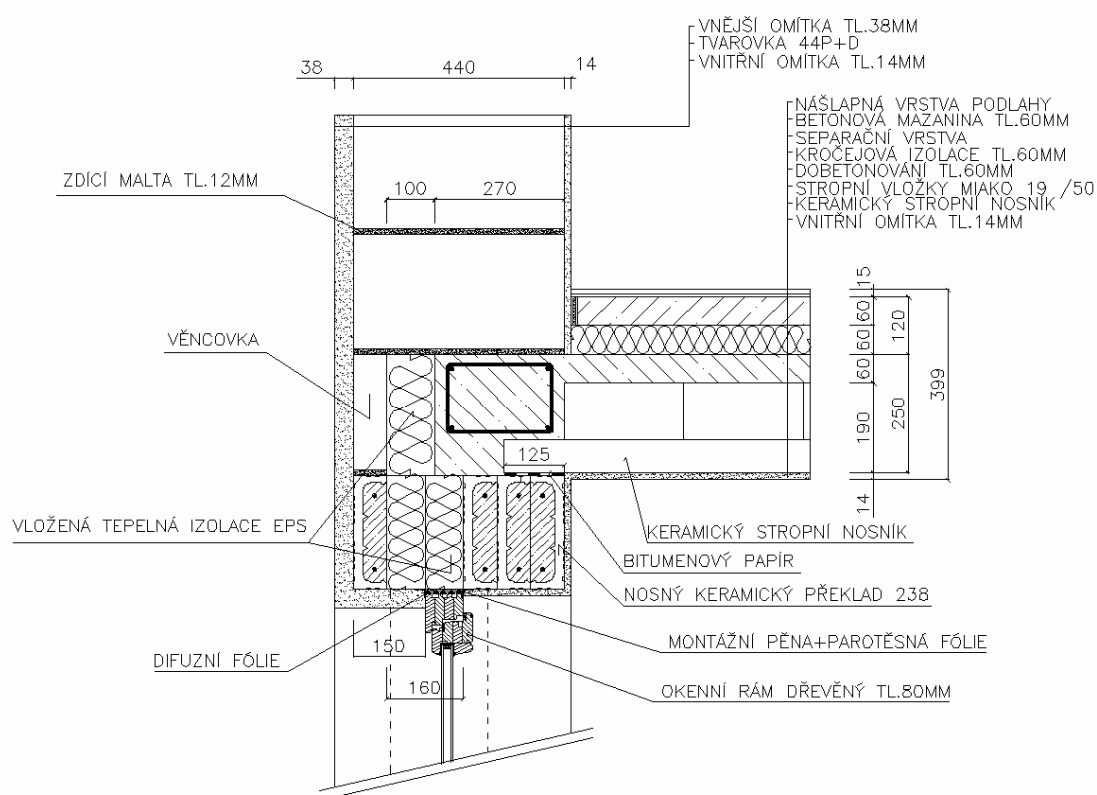
lineární činitel prostupu tepla - interiér dole z interiérových rozměrů ψ_i^{Di} W/(m.K)	lineární činitel prostupu tepla - interiér nahoře z interiérových rozměrů ψ_i^{Hi} W/(m.K)	lineární činitel prostupu tepla - exteriér ψ_e W/(m.K)	lineární činitel prostupu tepla - dole z exteriérových rozměrů ψ_i^{De} W/(m.K)	lineární činitel prostupu tepla - nahore z exteriérových rozměrů ψ_i^{He} W/(m.K)	teplotní faktor dole f_{Rsi}^D -	teplotní faktor nahore f_{Rsi}^H -
0,019	0,225	0,150	0,012	0,139	0,9259	0,8600





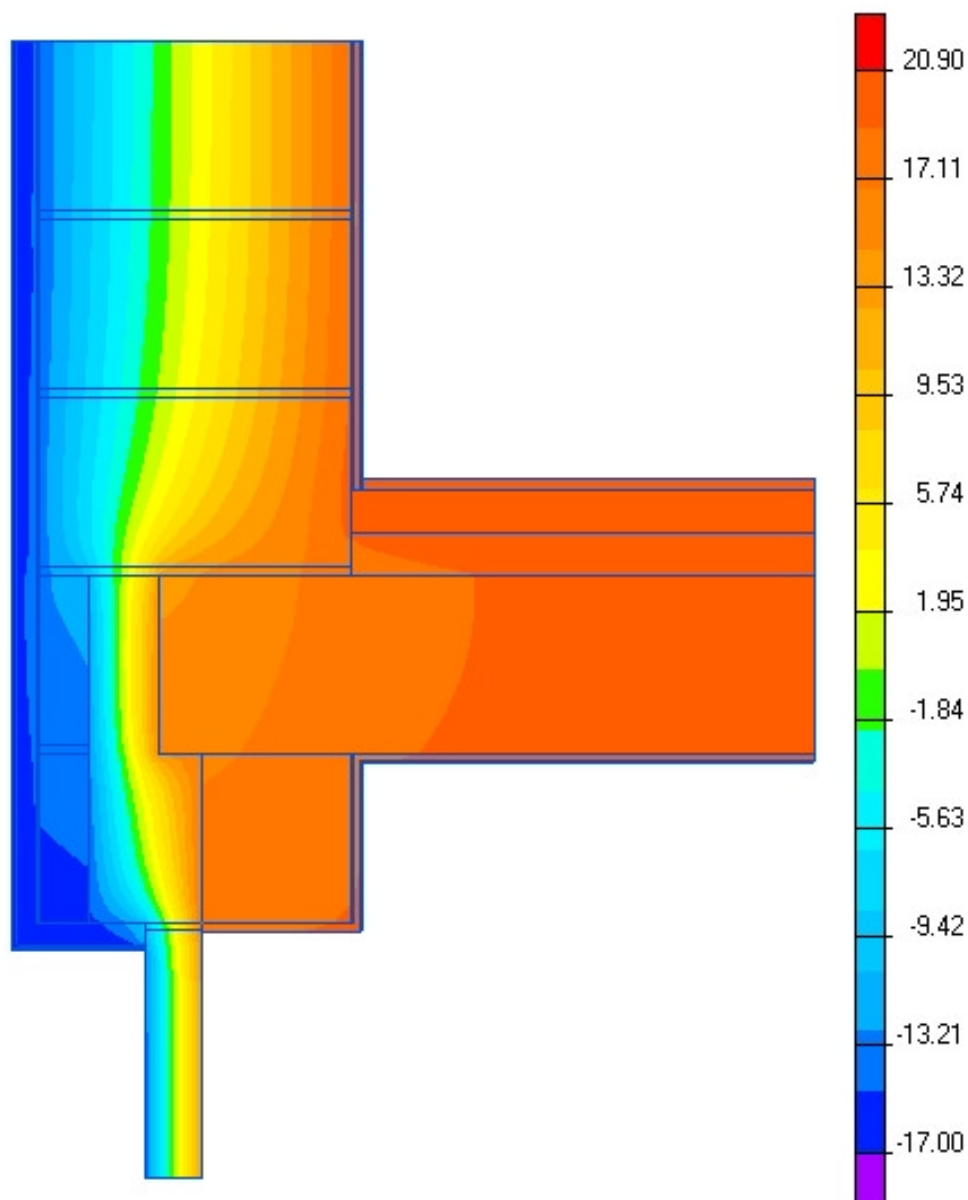
26 Detail nadpraží okna + ztužující věnec mezi vytápěnými podlažími P + D 440 mm						
lineární činitel prostupu tepla - interiér dole z interiérových rozměrů ψ_i^{Di} W/(m.K)	lineární činitel prostupu tepla - interiér nahoře z interiérových rozměrů ψ_i^{Hi} W/(m.K)	lineární činitel prostupu tepla - exteriér ψ_e W/(m.K)	lineární činitel prostupu tepla - dole z exteriérových rozměrů ψ_i^{De} W/(m.K)	lineární činitel prostupu tepla - nahore z exteriérových rozměrů ψ_i^{He} W/(m.K)	teplotní faktor dole f_{Rsi}^D -	teplotní faktor nahore f_{Rsi}^H -
0,013	0,212	0,119	0,007	0,112	0,9116	0,8587

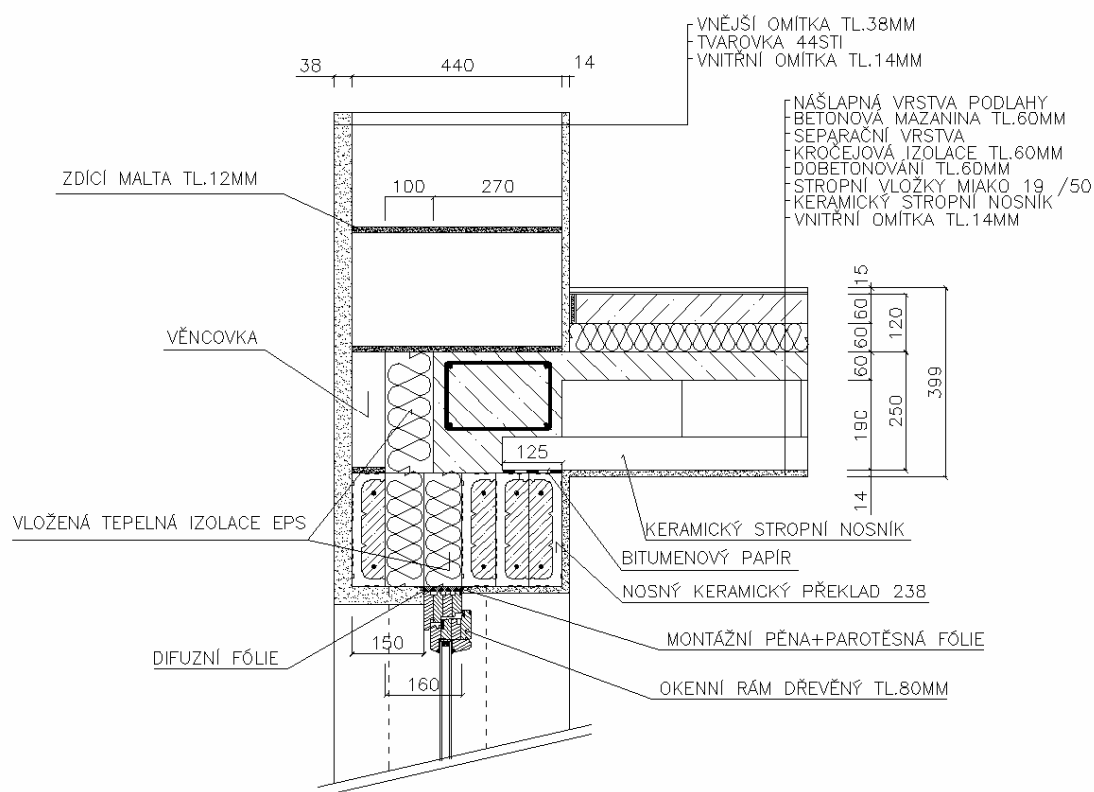




27 Detail nadpraží okna + ztužující věnec mezi vytápěnými podlažími STI 440 mm

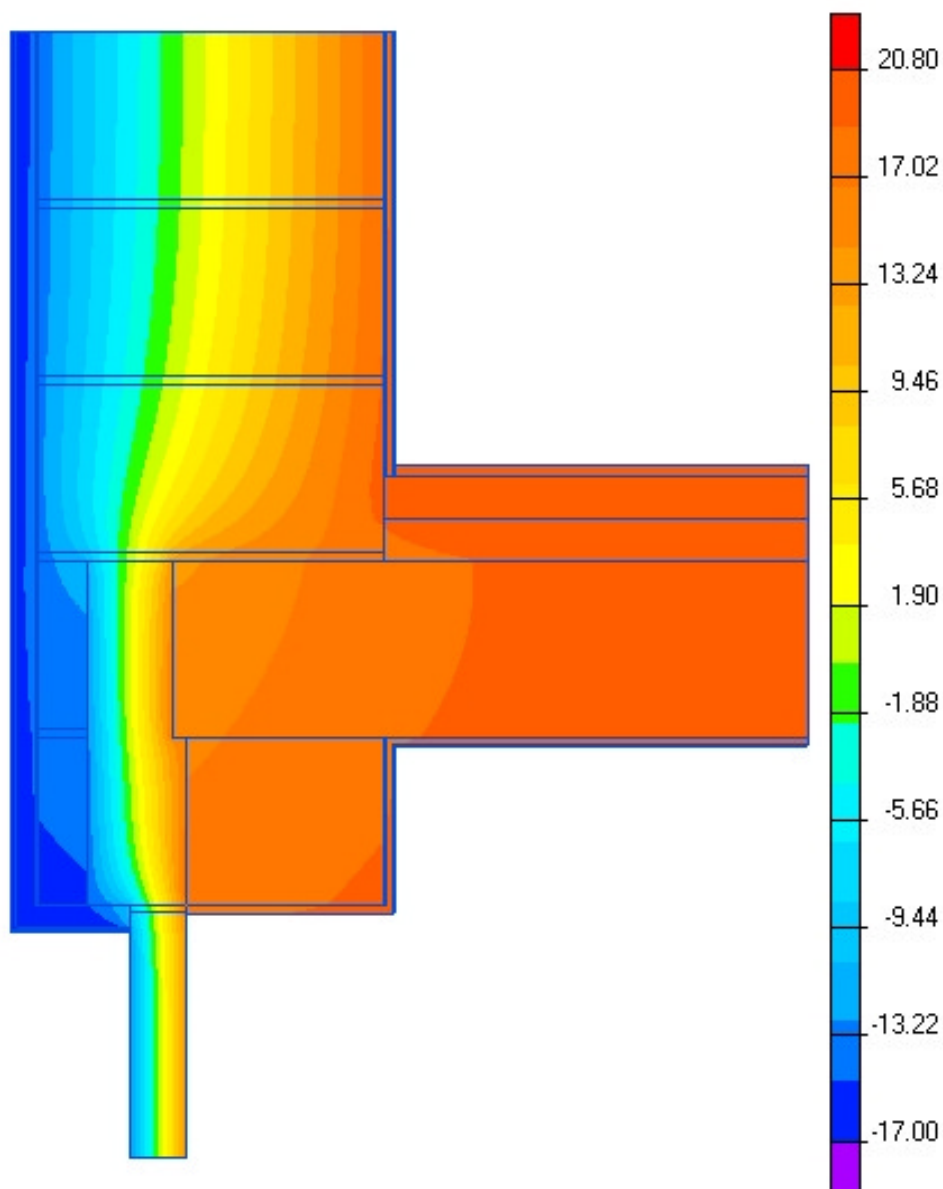
lineární činitel prostupu tepla - interiér dole z interiérových rozměrů ψ_i^{Di} W/(m.K)	lineární činitel prostupu tepla - interiér nahoře z interiérových rozměrů ψ_i^{Hi} W/(m.K)	lineární činitel prostupu tepla - exteriér ψ_e W/(m.K)	lineární činitel prostupu tepla - dole z exteriérových rozměrů ψ_i^{De} W/(m.K)	lineární činitel prostupu tepla - nahore z exteriérových rozměrů ψ_i^{He} W/(m.K)	teplotní faktor dole f_{Rsi}^D -	teplotní faktor nahore f_{Rsi}^H -
0,013	0,195	0,145	0,009	0,135	0,9259	0,8600

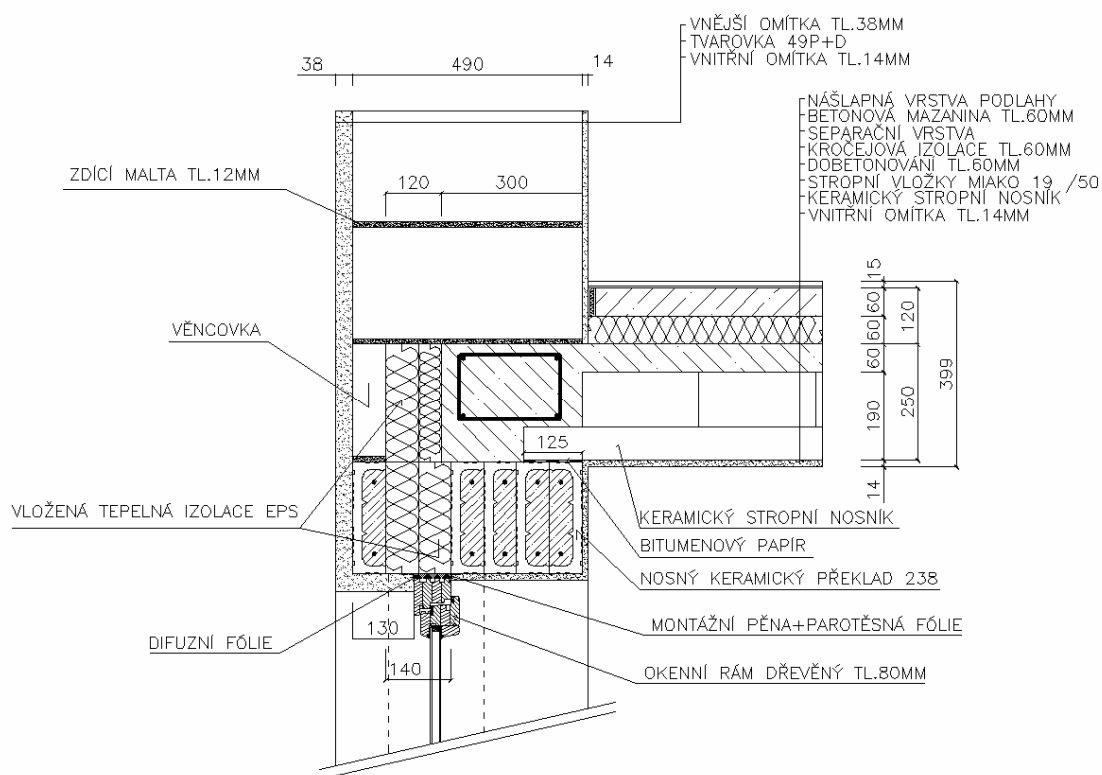




28 Detail nadpraží okna + ztužující věnec mezi vytápěnými podlažními P + D 490 mm

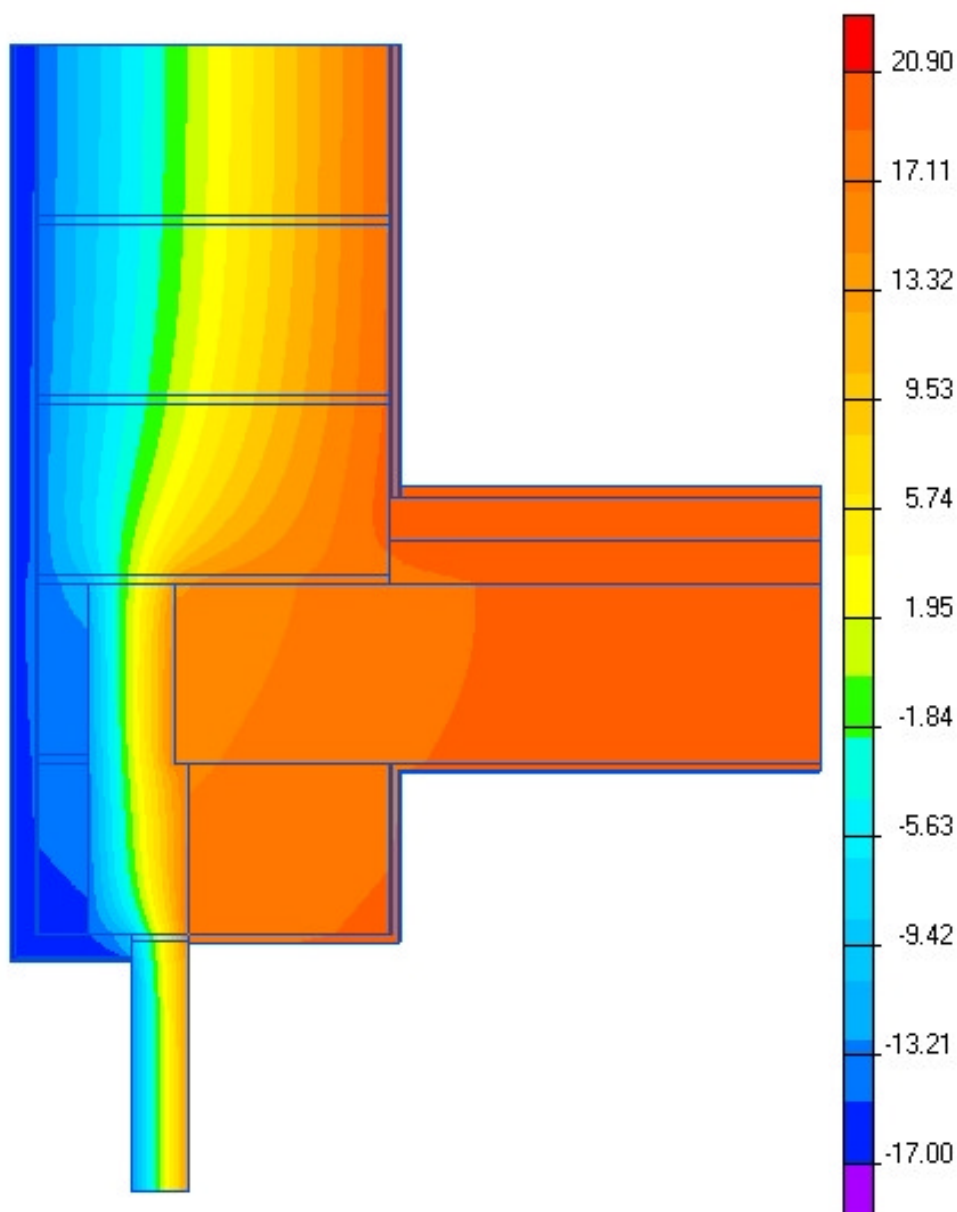
lineární činitel prostupu tepla - interiér dole z interiérových rozměrů ψ_i^{Di} W/(m.K)	lineární činitel prostupu tepla - interiér nahoře z interiérových rozměrů ψ_i^{Hi} W/(m.K)	lineární činitel prostupu tepla - exteriér ψ_e W/(m.K)	lineární činitel prostupu tepla - dole z exteriérových rozměrů ψ_i^{De} W/(m.K)	lineární činitel prostupu tepla - nahore z exteriérových rozměrů ψ_i^{He} W/(m.K)	teplotní faktor dole f_{Rsi}^D -	teplotní faktor nahore f_{Rsi}^H -
0,007	0,212	0,123	0,004	0,119	0,9205	0,8624

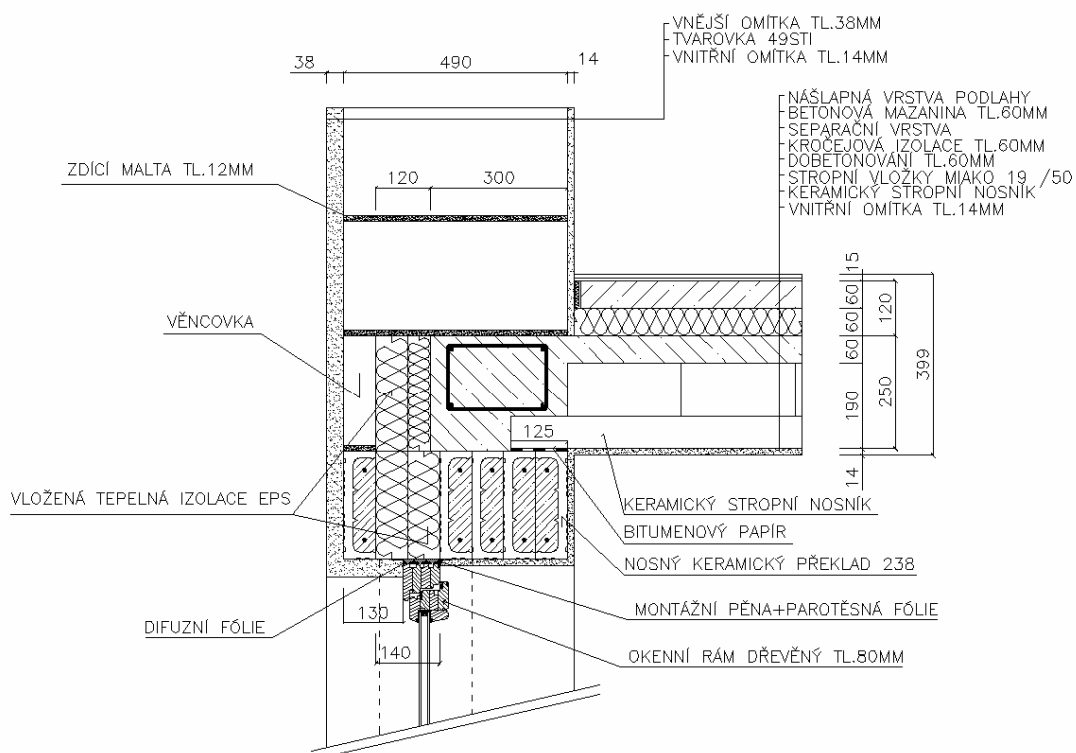




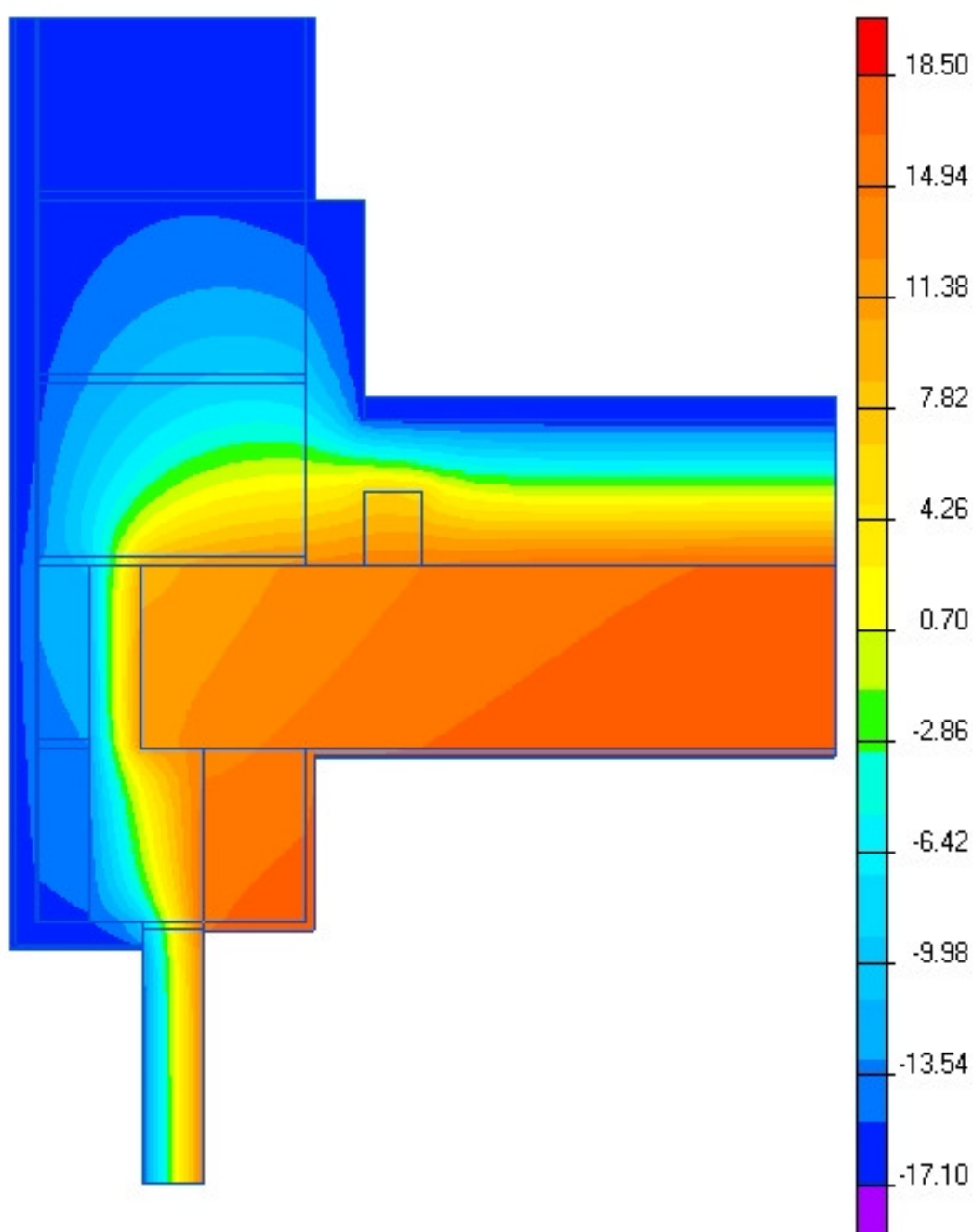
29 Detail nadpraží okna + ztužující věnec mezi vytápěnými podlažími STI 490 mm

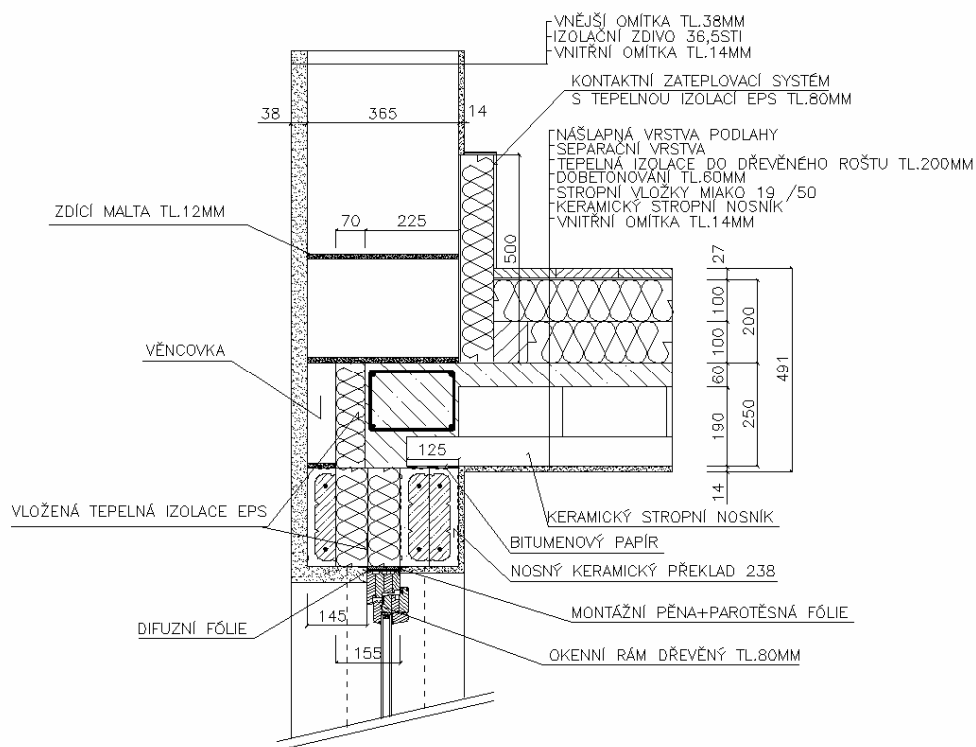
lineární činitel prostupu tepla - interiér dole z interiérových rozměrů ψ_i^{Di} W/(m.K)	lineární činitel prostupu tepla - interiér nahoře z interiérových rozměrů ψ_i^{Hi} W/(m.K)	lineární činitel prostupu tepla - exteriér ψ_e W/(m.K)	lineární činitel prostupu tepla - dole z exteriérových rozměrů ψ_i^{De} W/(m.K)	lineární činitel prostupu tepla - nahore z exteriérových rozměrů ψ_i^{He} W/(m.K)	teplotní faktor dole f_{Rsi}^D -	teplotní faktor nahore f_{Rsi}^H -
0,008	0,214	0,145	0,005	0,140	0,9336	0,8639



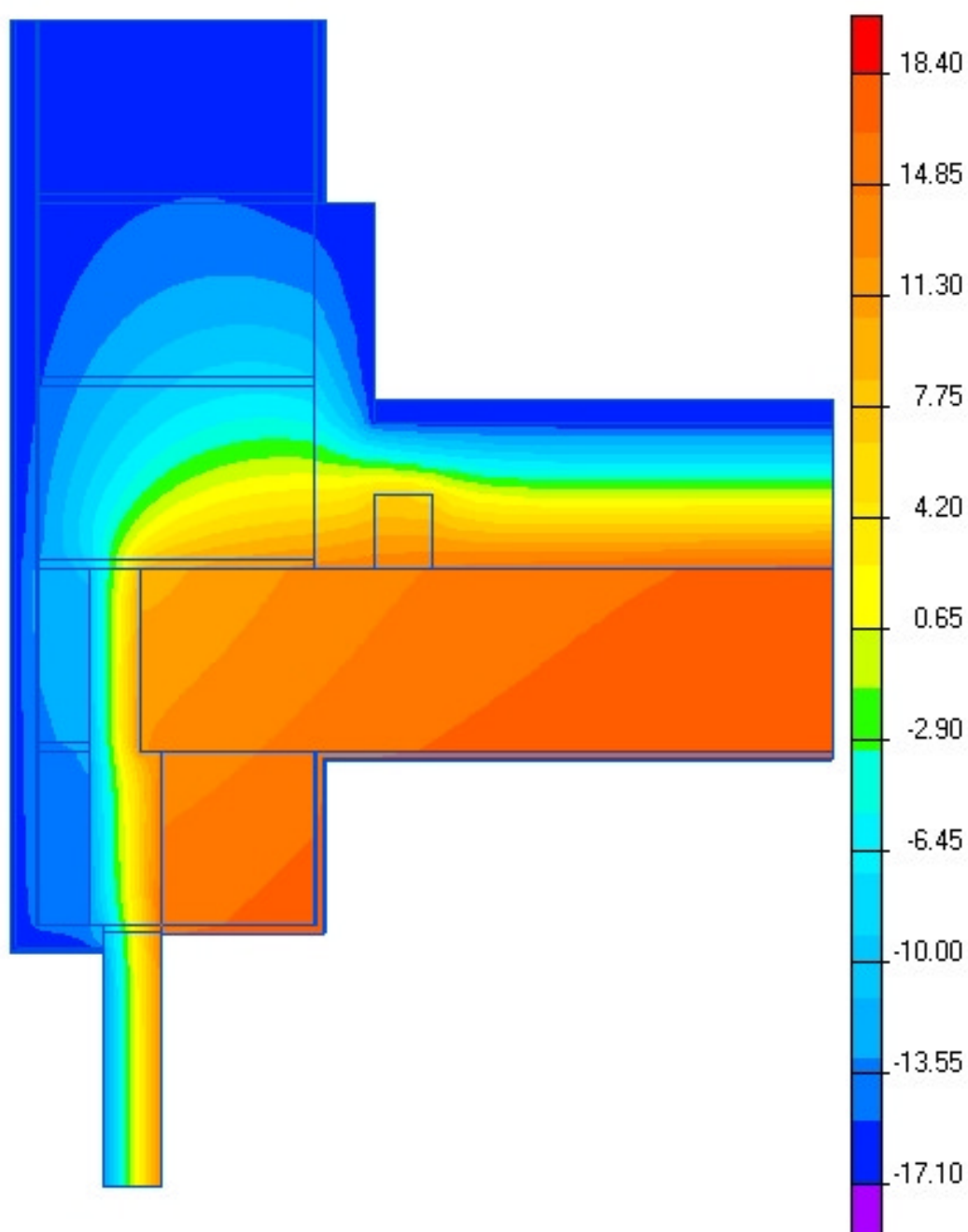


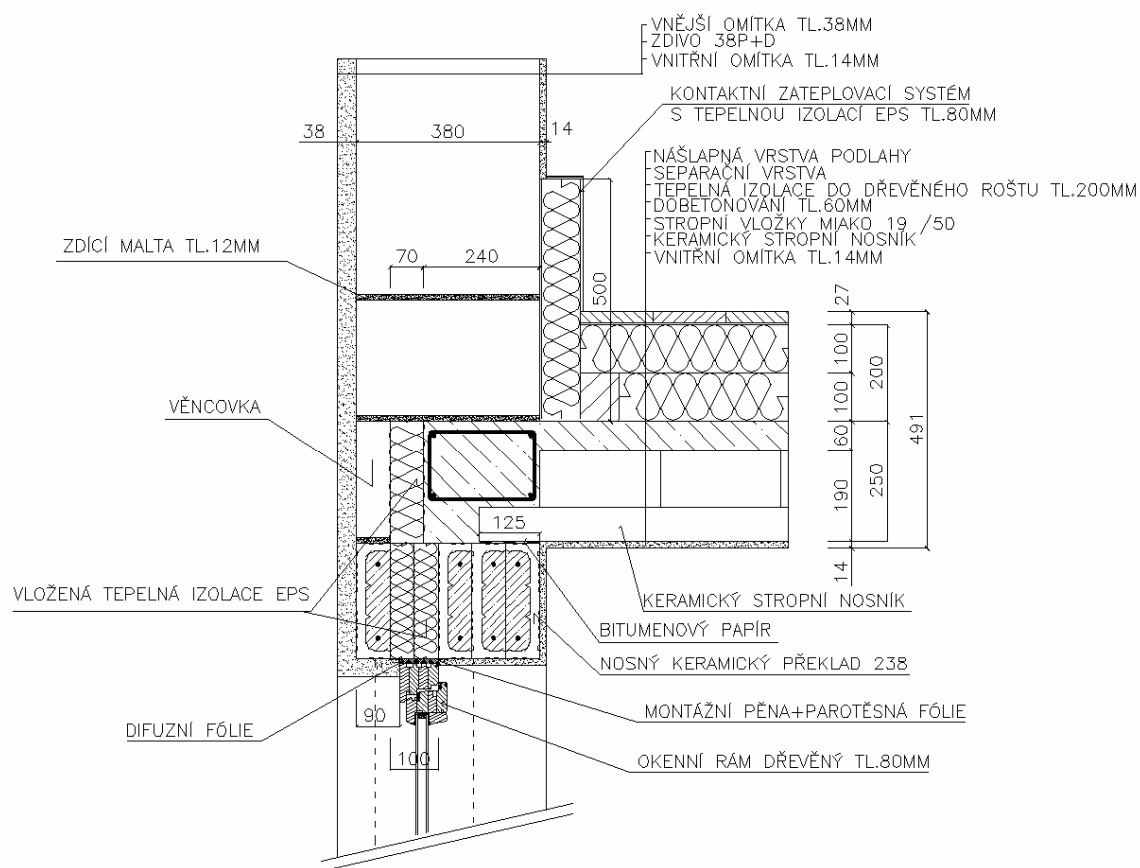
31 Detail nadpraží okna + ztužující věnec pod půdou STI 365 mm		
lineární činitel prostupu tepla - interiér ψ_i W/(m.K)	lineární činitel prostupu tepla - exteriér ψ_e W/(m.K)	teplotní faktor f_{Rsi} -
0,288	0,083	0,8476



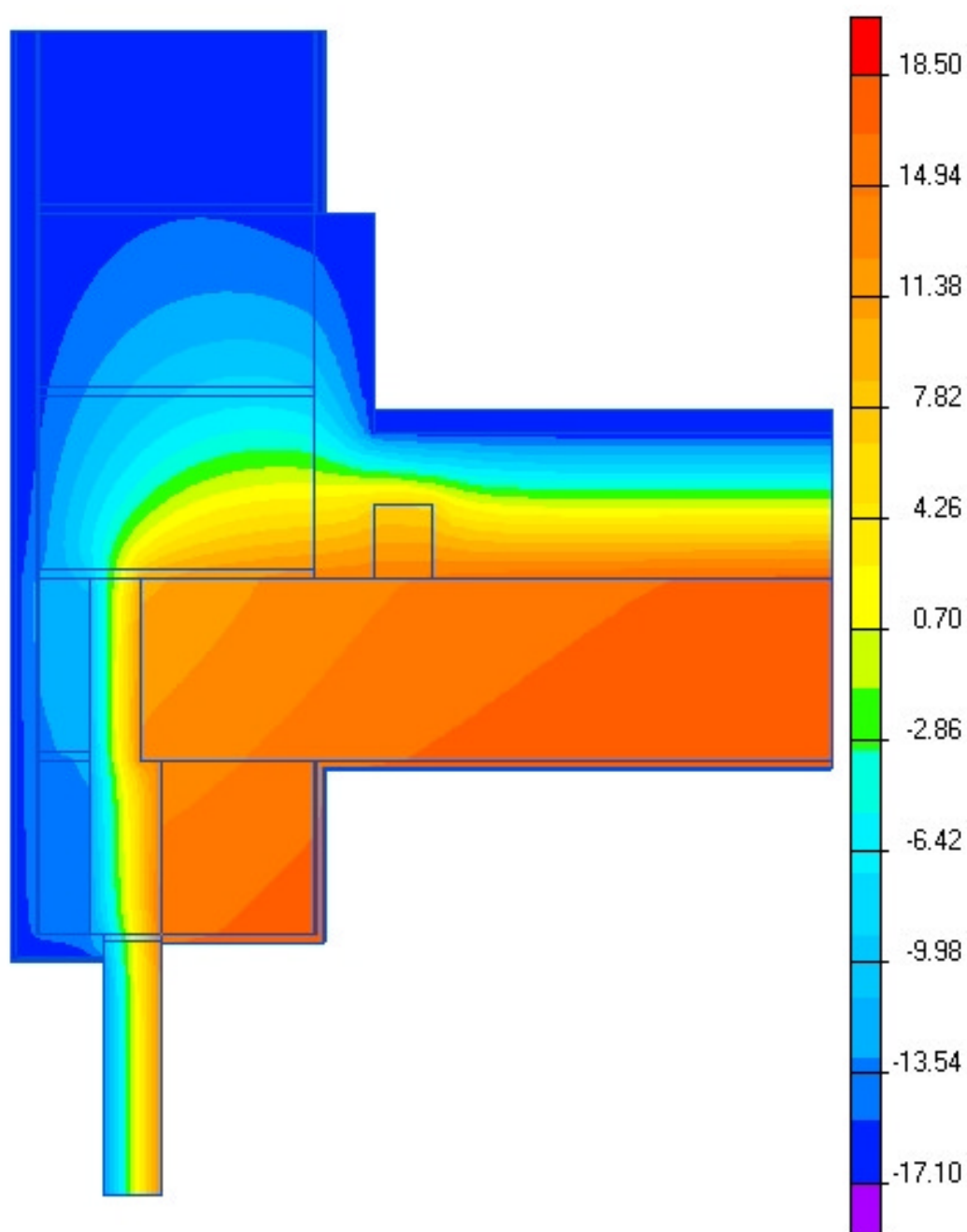


32 Detail nadpraží okna + ztužující věnec pod půdou P + D 380 mm		
lineární činitel prostupu tepla - interiér ψ_i W/(m.K)	lineární činitel prostupu tepla - exteriér ψ_e W/(m.K)	teplotní faktor f_{Rsi} -
0,315	0,080	0,8382

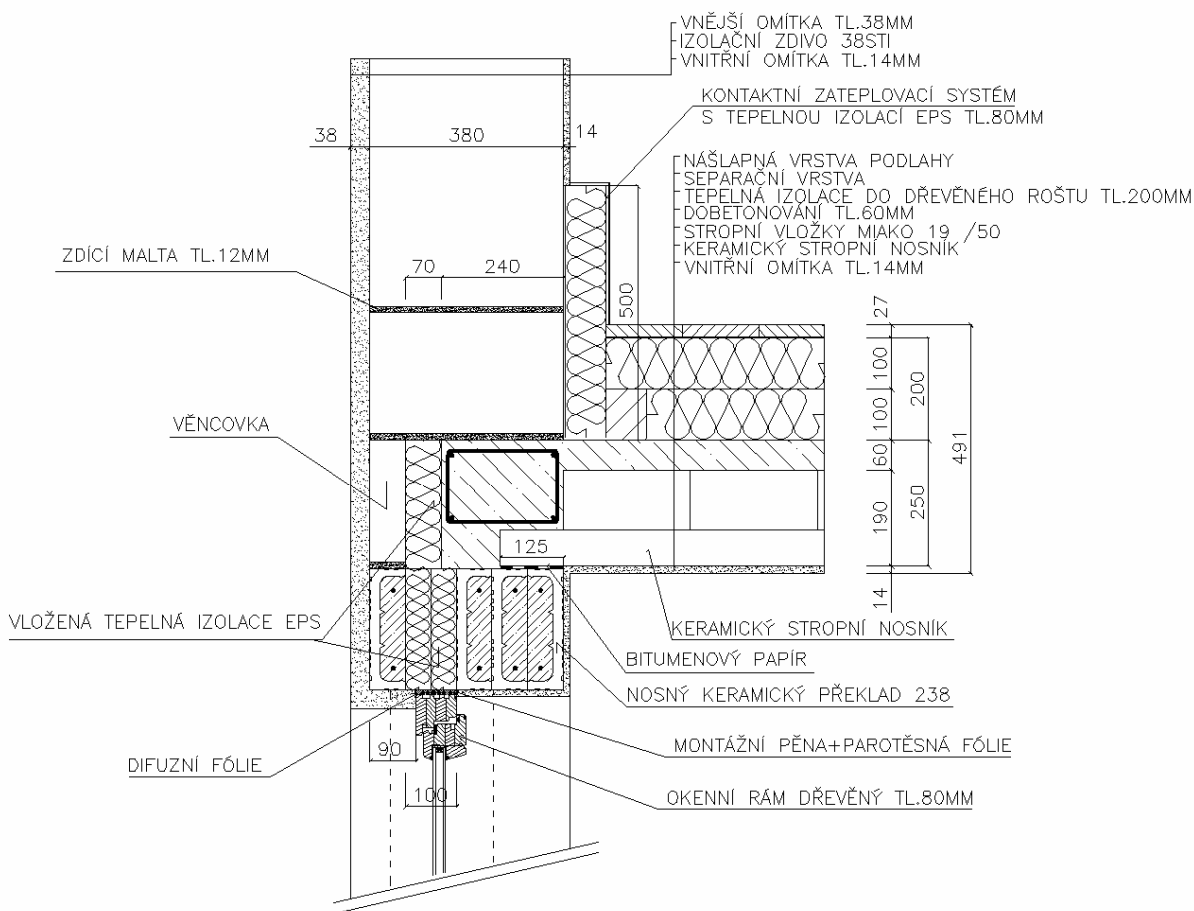




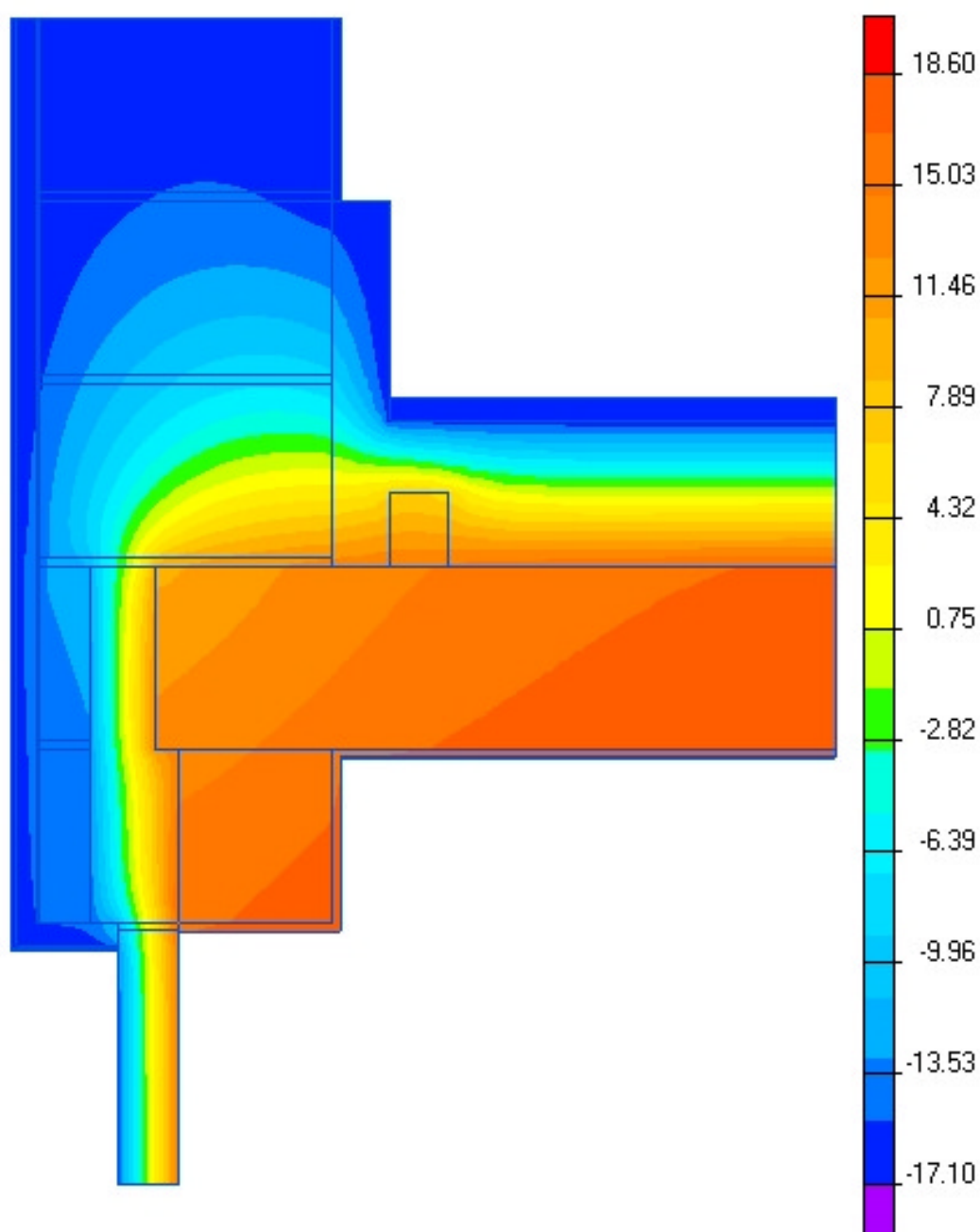
33 Detail nadpraží okna + ztužující věnec pod půdou STI 380 mm		
lineární činitel prostupu tepla - interiér ψ_i W/(m.K)	lineární činitel prostupu tepla - exteriér ψ_e W/(m.K)	teplotní faktor f_{Rsi} -
0,310	0,106	0,8408

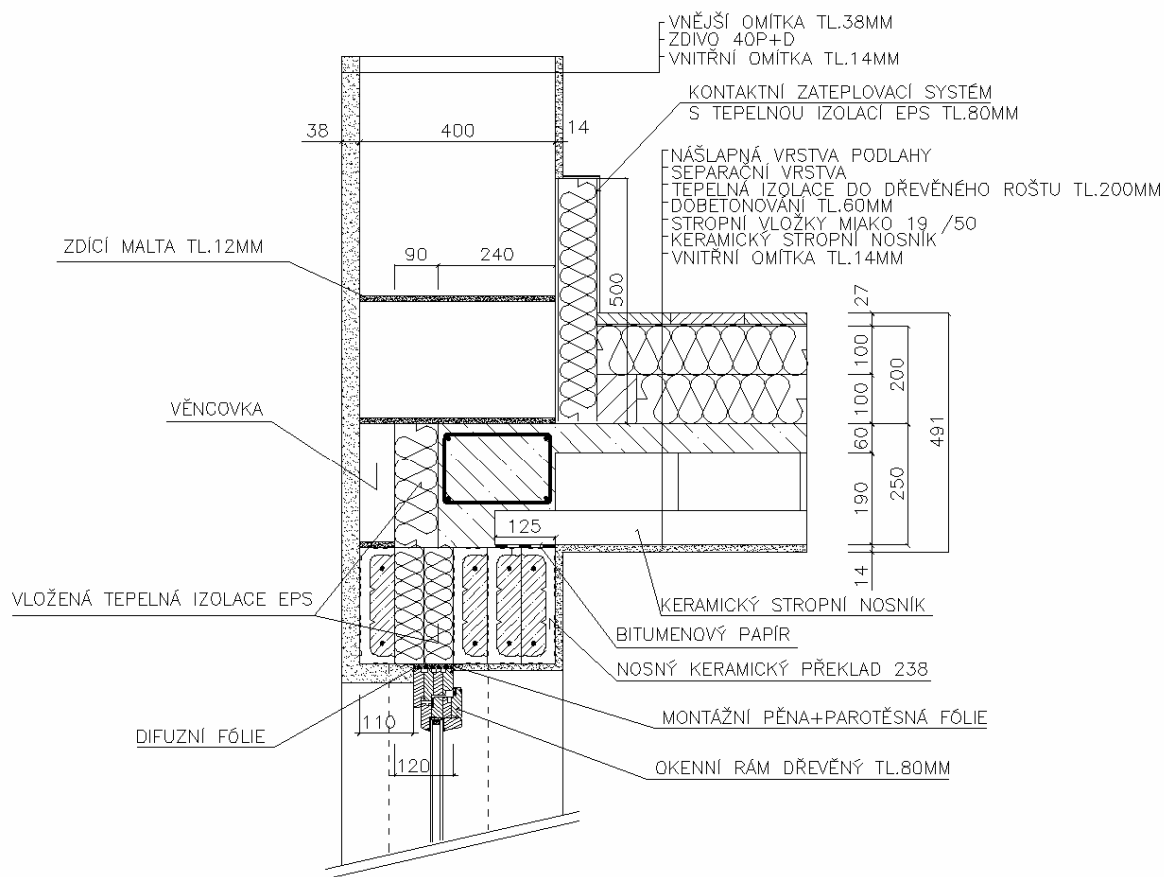


Obsah: "Výpočet typických tepelných mostů a jejich minimalizace – 250 detailů"
Zpracovatel: Energy Consulting – Project, s.r.o., Přemyslská 484/28, 182 00 Praha 8,
IČ 26113317; mobil 777 196 154, e-mail: info@e-c.cz

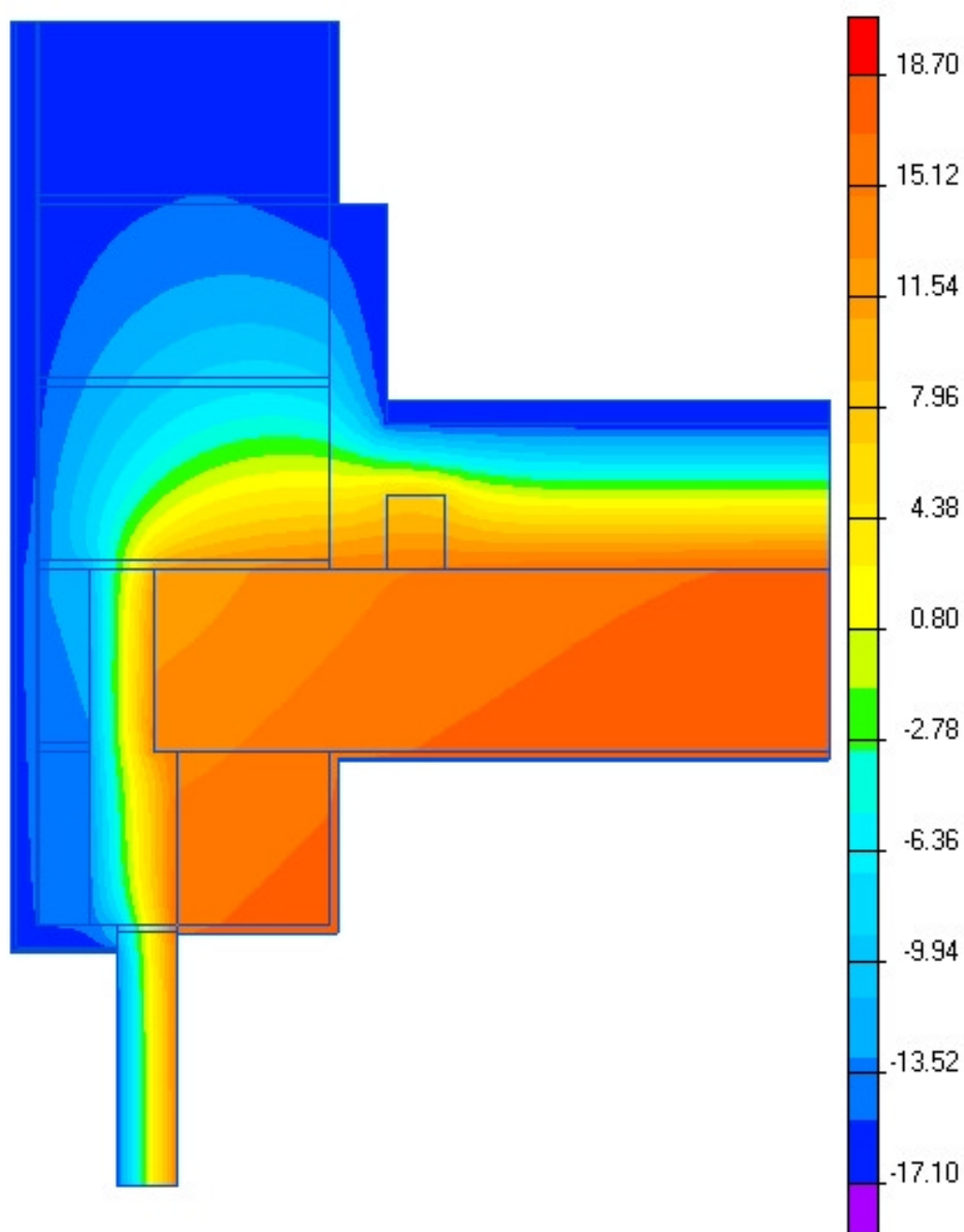


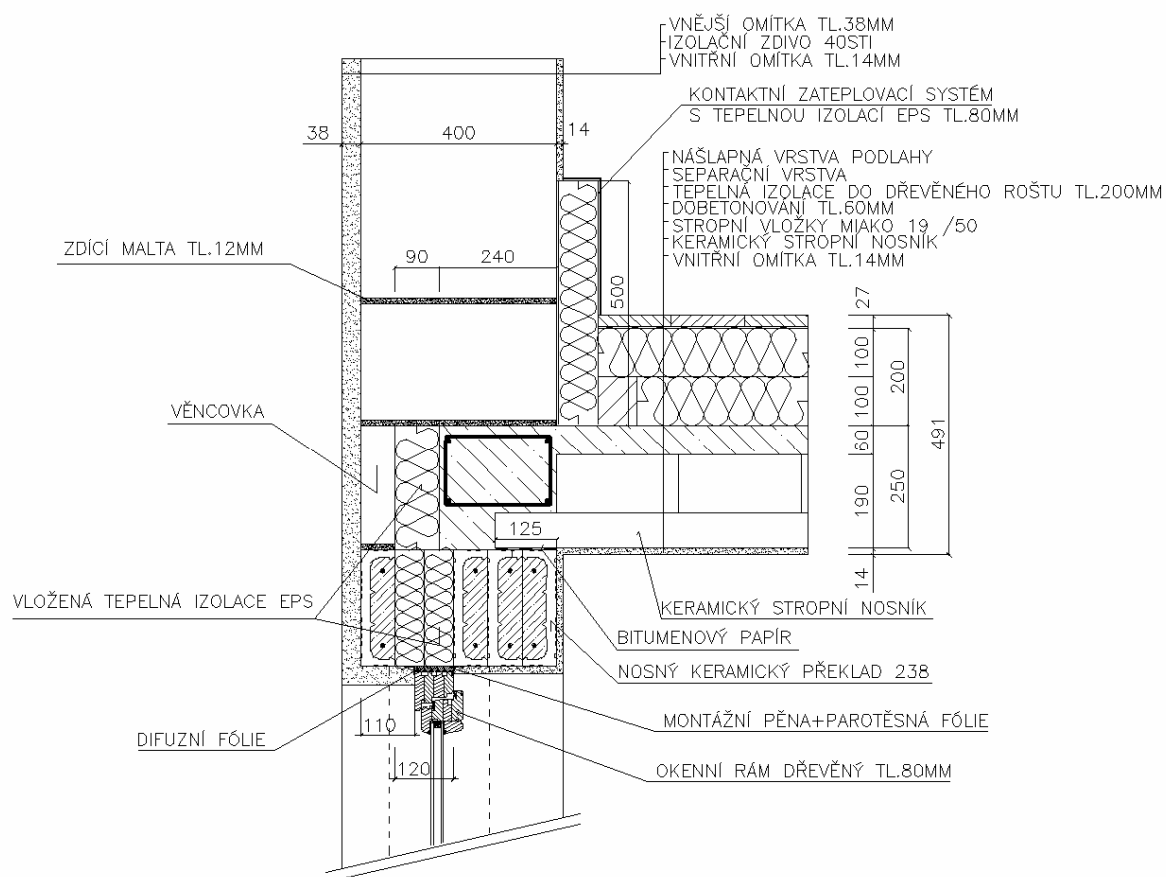
34 Detail nadpraží okna + ztužující věnec pod půdou P + D 400 mm		
lineární činitel prostupu tepla - interiér ψ_i W/(m.K)	lineární činitel prostupu tepla - exteriér ψ_e W/(m.K)	teplotní faktor f_{Rsi} -
0,291	0,059	0,8437



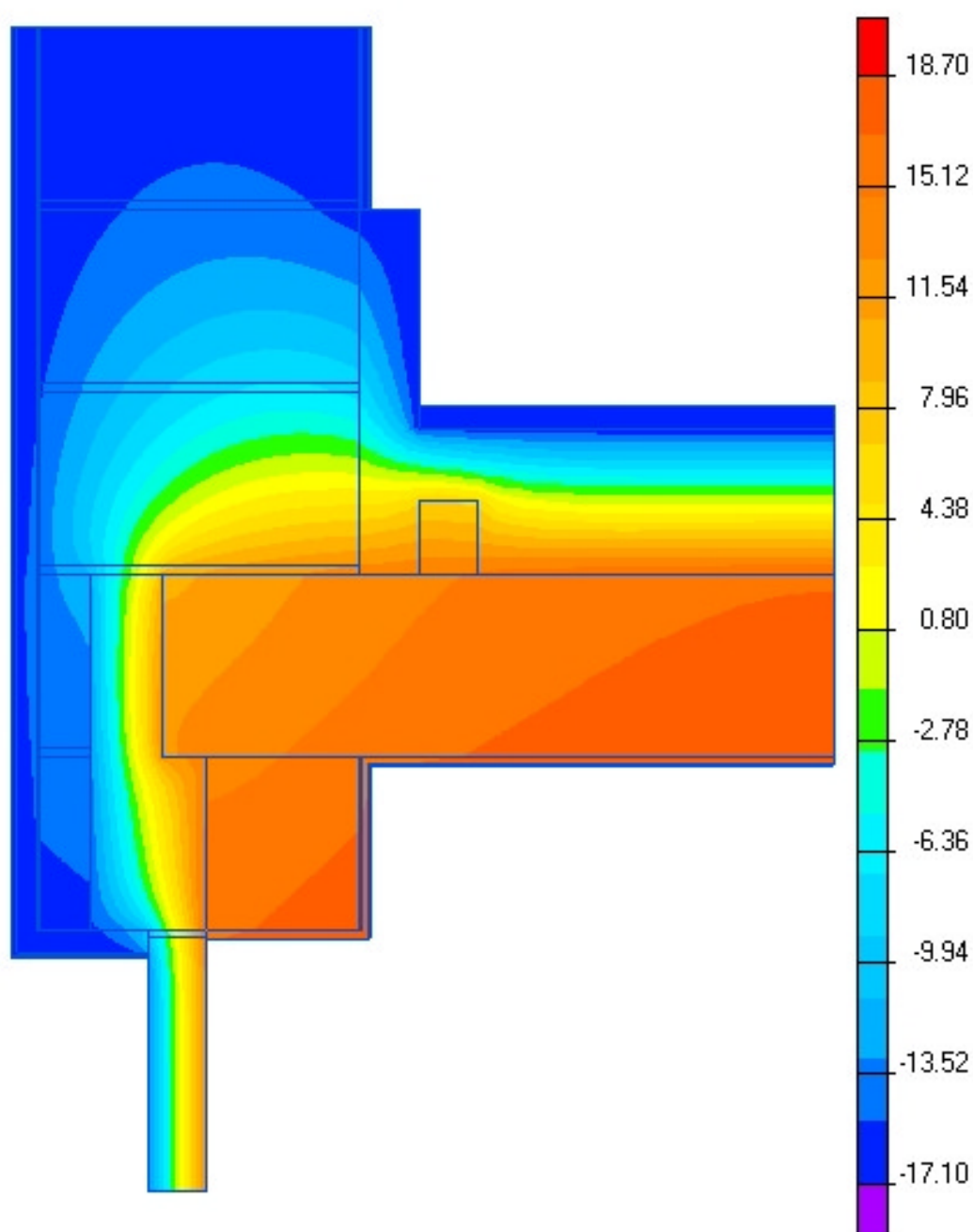


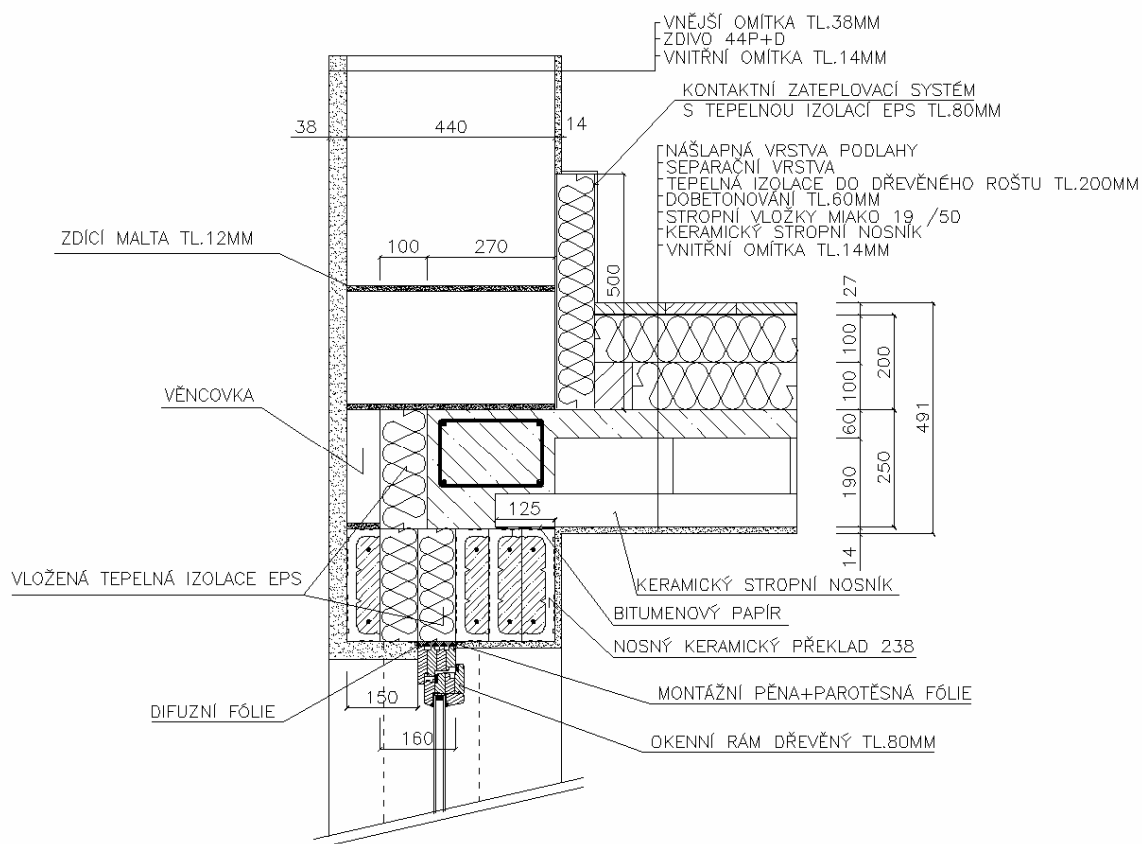
35 Detail nadpraží okna + ztužující věnec pod půdou STI 400 mm		
lineární činitel prostupu tepla - interiér ψ_i W/(m.K)	lineární činitel prostupu tepla - exteriér ψ_e W/(m.K)	teplotní faktor f_{Rsi} -
0,285	0,083	0,8495



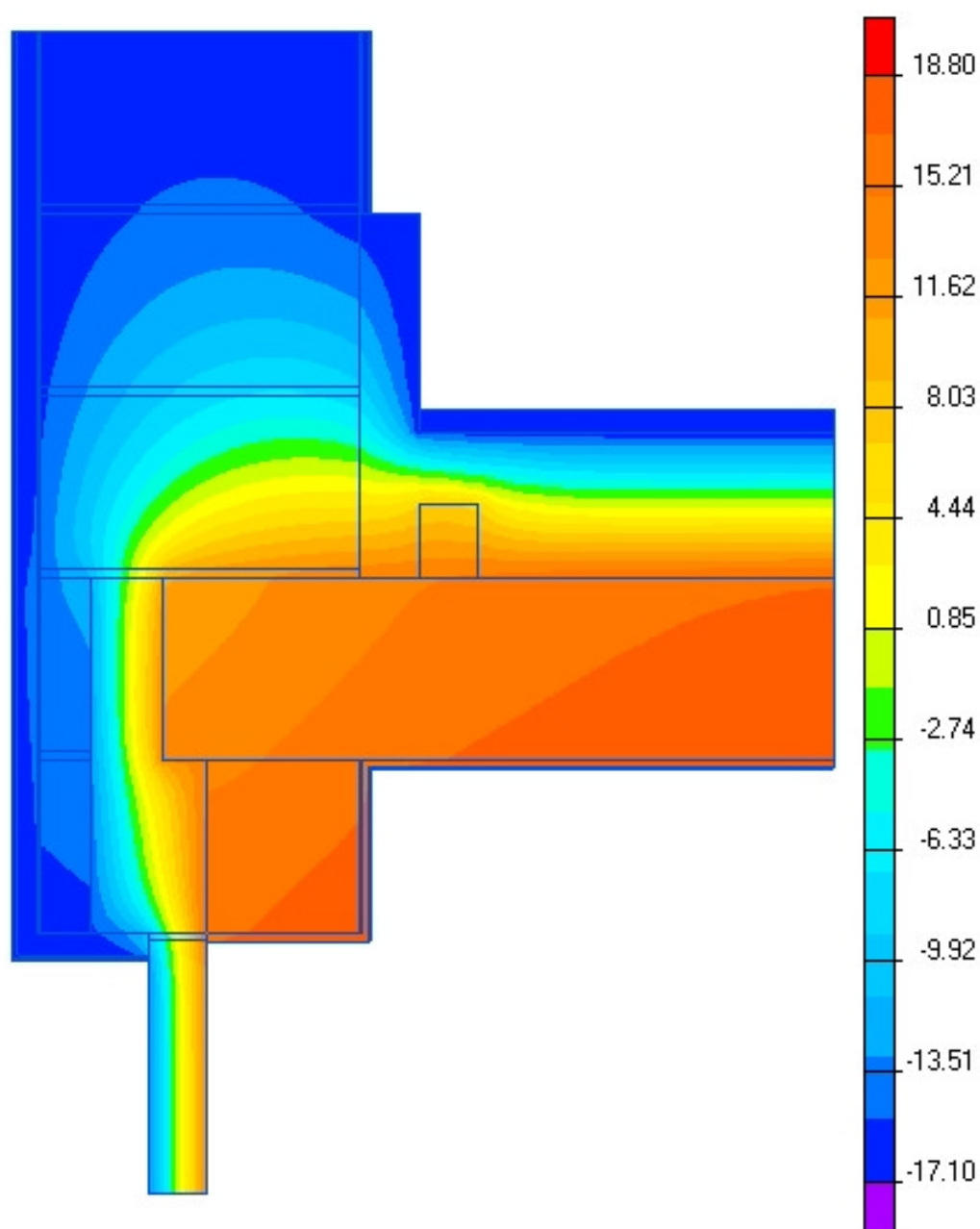


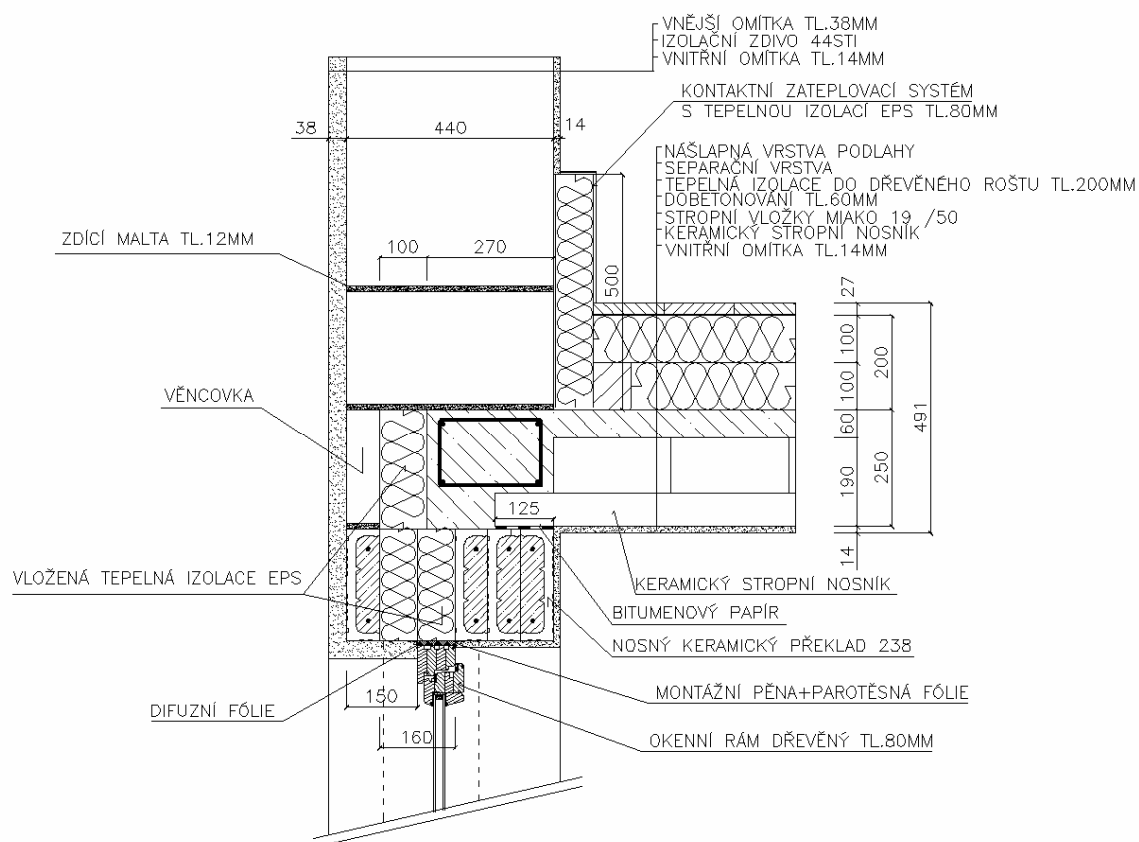
36 Detail nadpraží okna + ztužující věnec pod půdou P + D 440 mm		
lineární činitel prostupu tepla - interiér ψ_i W/(m.K)	lineární činitel prostupu tepla - exteriér ψ_e W/(m.K)	teplotní faktor f_{Rsi} -
0,285	0,057	0,8466



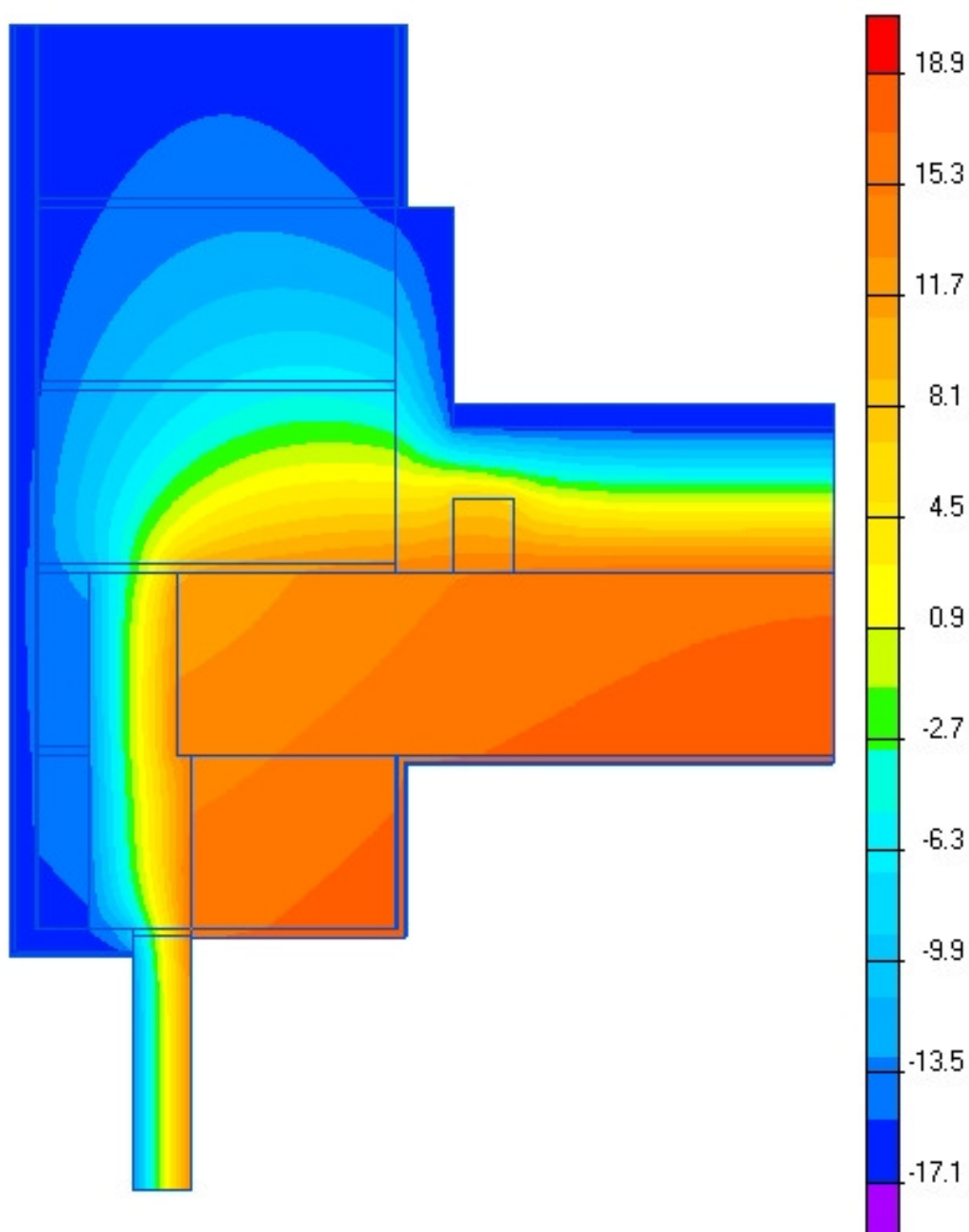


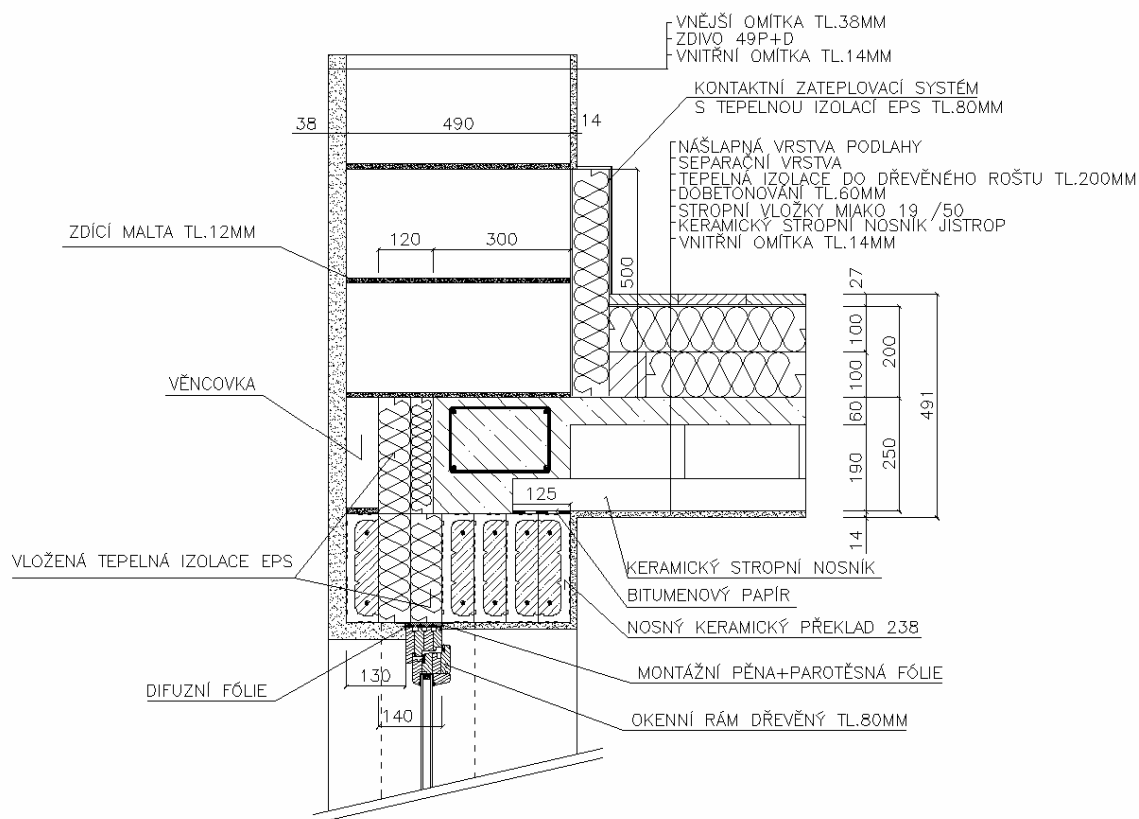
37 Detail nadpraží okna + ztužující věnec pod půdou STI 440 mm		
lineární činitel prostupu tepla - interiér ψ_i W/(m.K)	lineární činitel prostupu tepla - exteriér ψ_e W/(m.K)	teplotní faktor f_{Rsi} -
0,277	0,077	0,8495



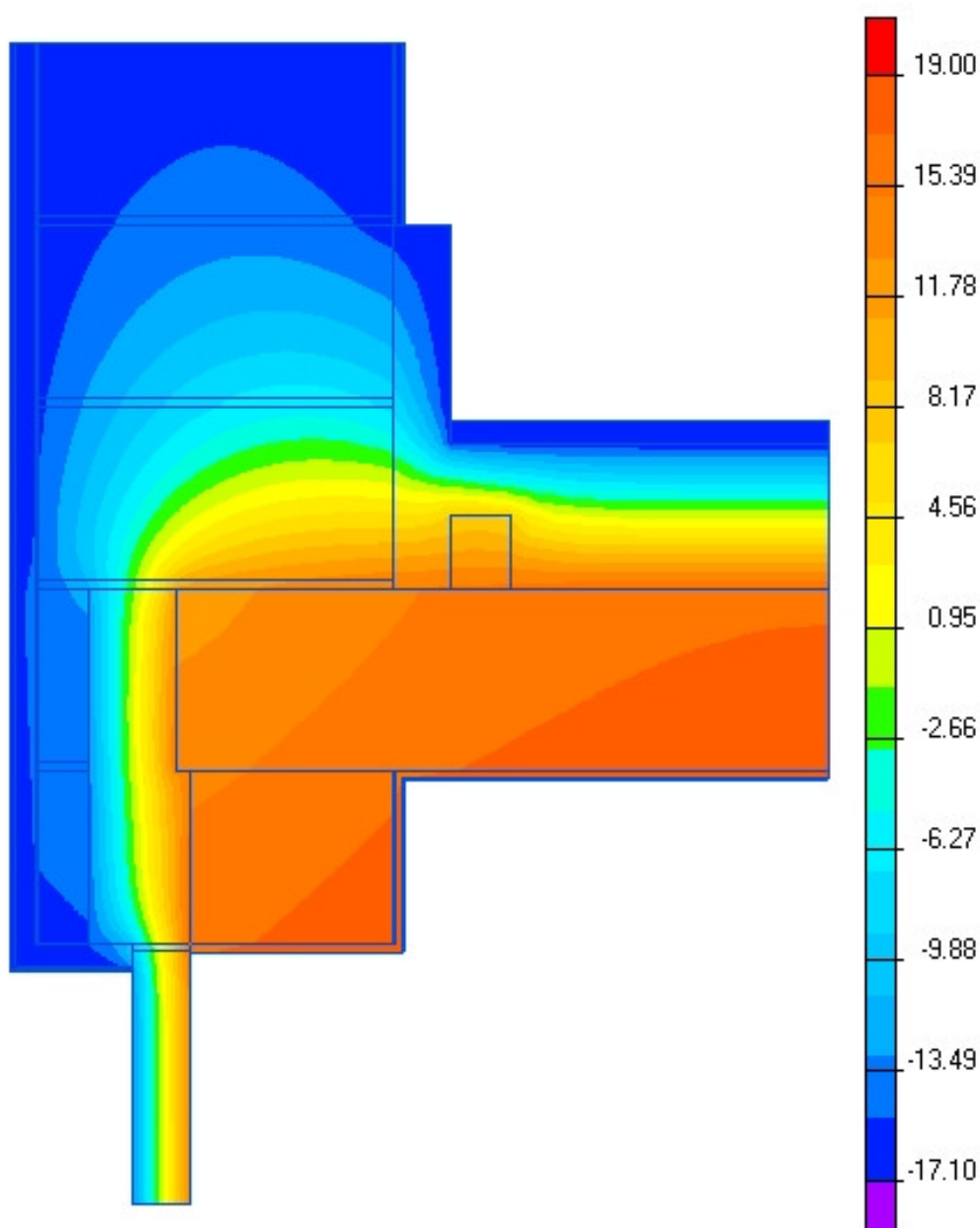


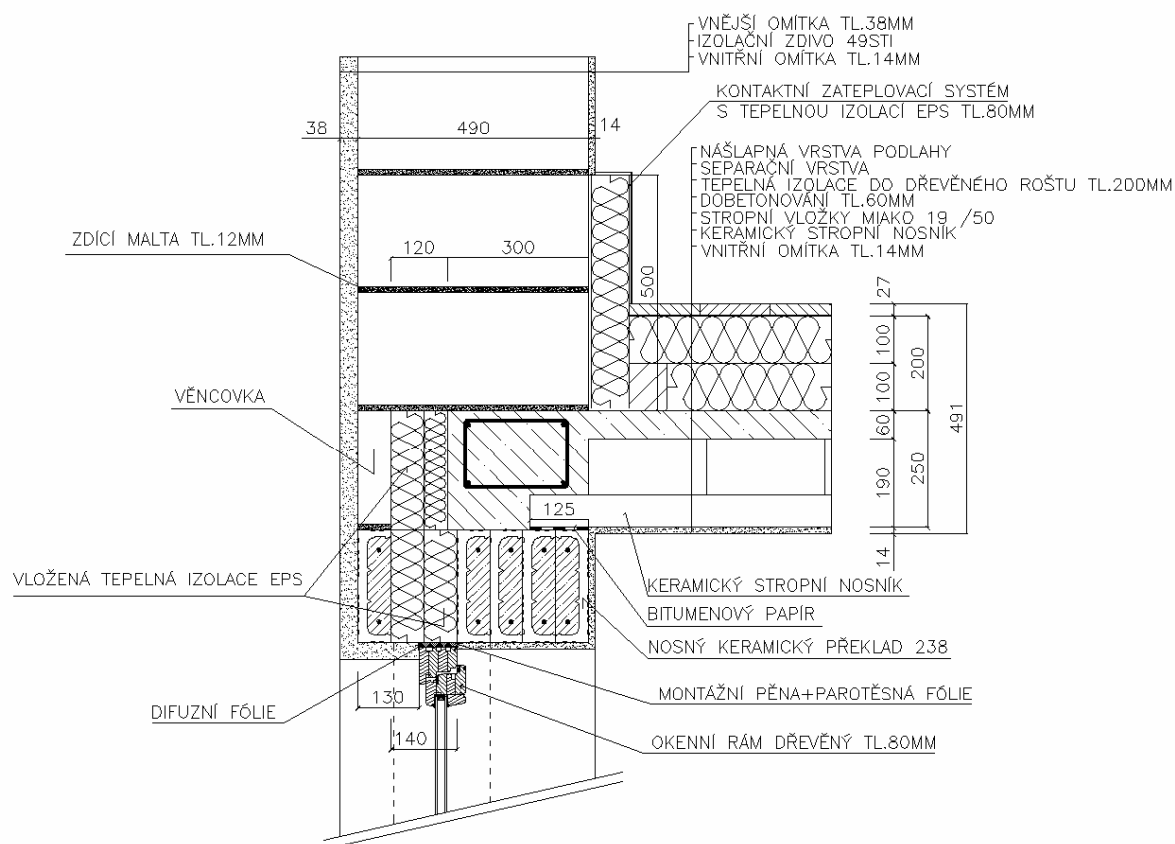
38 Detail nadpraží okna + ztužující věnec pod půdou P + D 490 mm		
lineární činitel prostupu tepla - interiér ψ_i W/(m.K)	lineární činitel prostupu tepla - exteriér ψ_e W/(m.K)	teplotní faktor f_{Rsi} -
0,289	0,065	0,8432



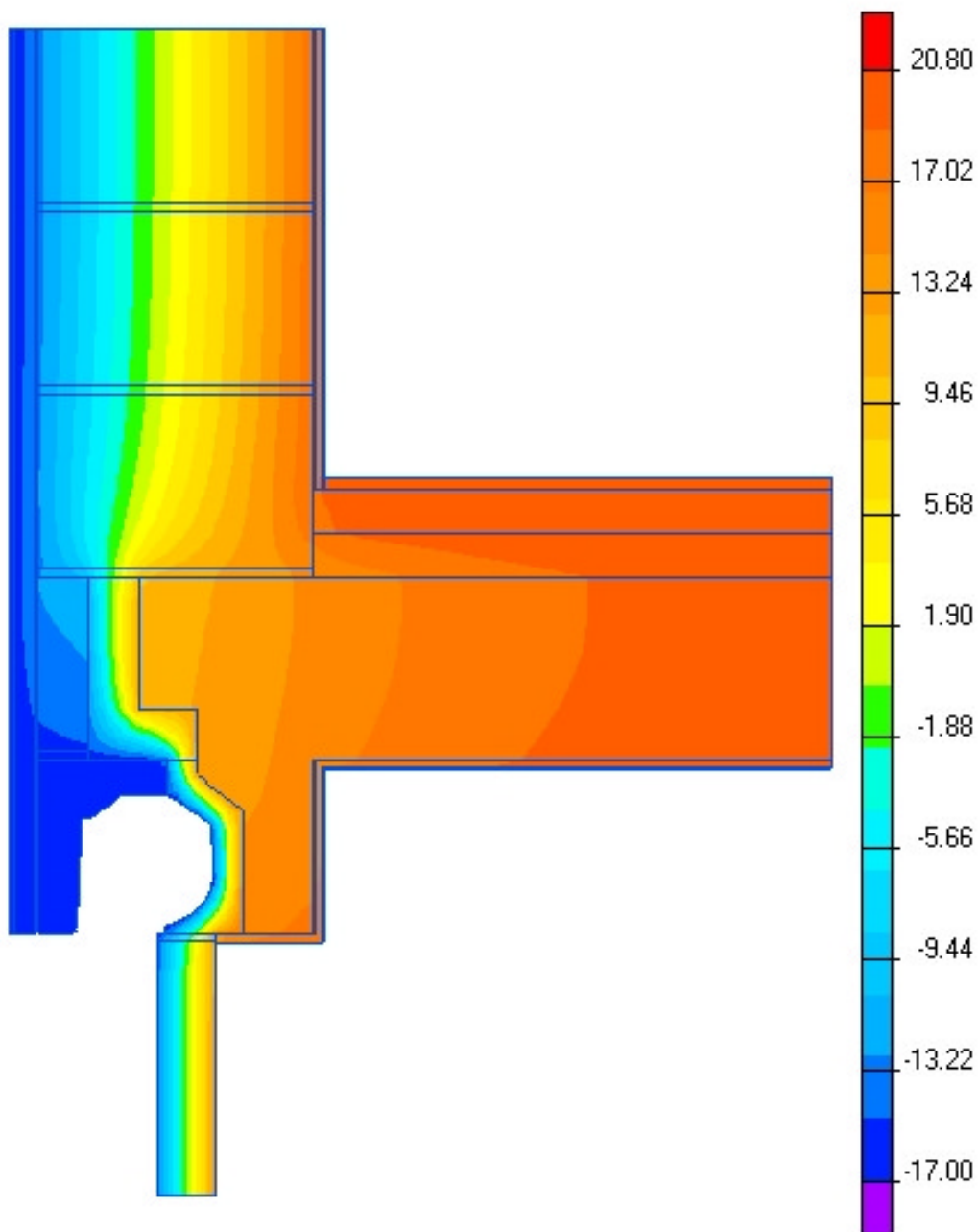


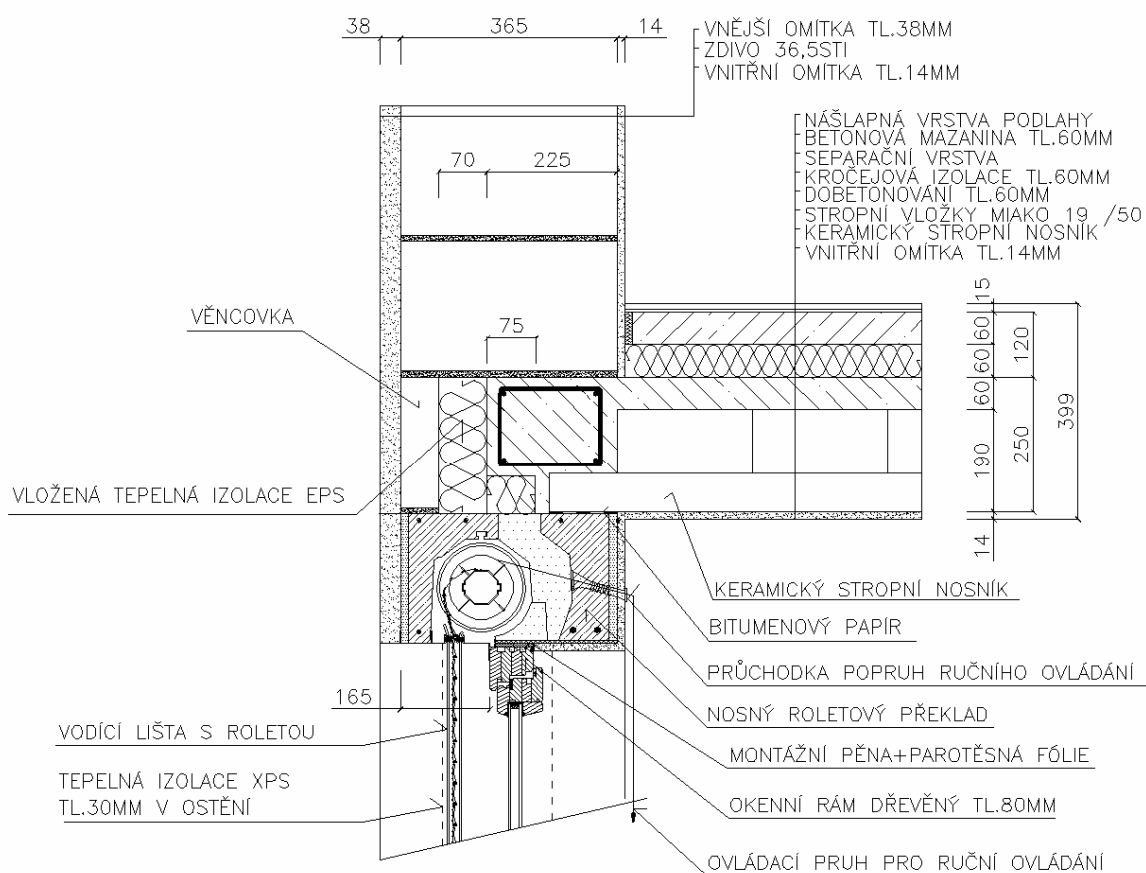
39 Detail nadpraží okna + ztužující věnec pod půdou STI 490 mm		
lineární činitel prostupu tepla - interiér ψ_i W/(m.K)	lineární činitel prostupu tepla - exteriér ψ_e W/(m.K)	teplotní faktor f_{Rsi} -
0,279	0,079	0,8466



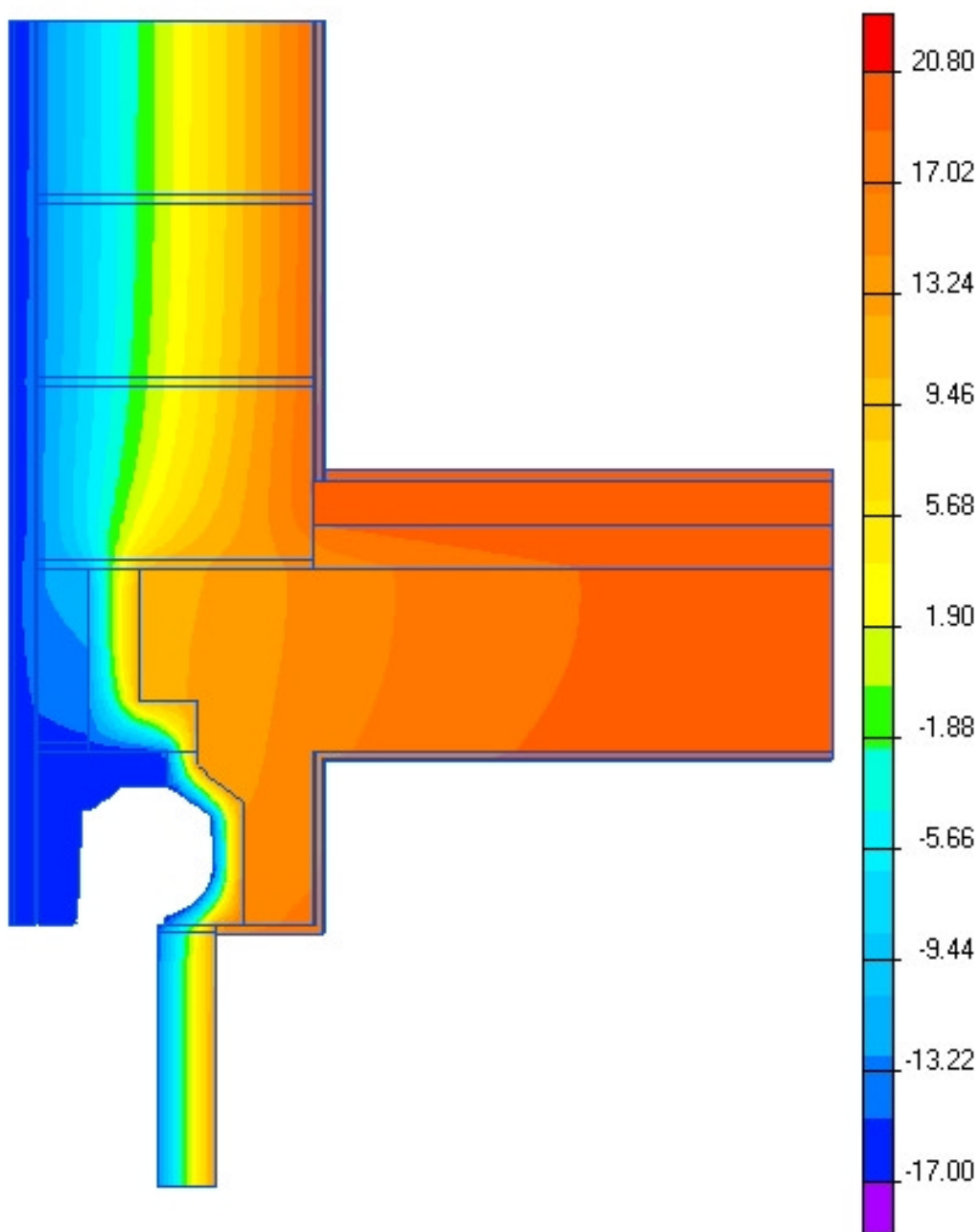


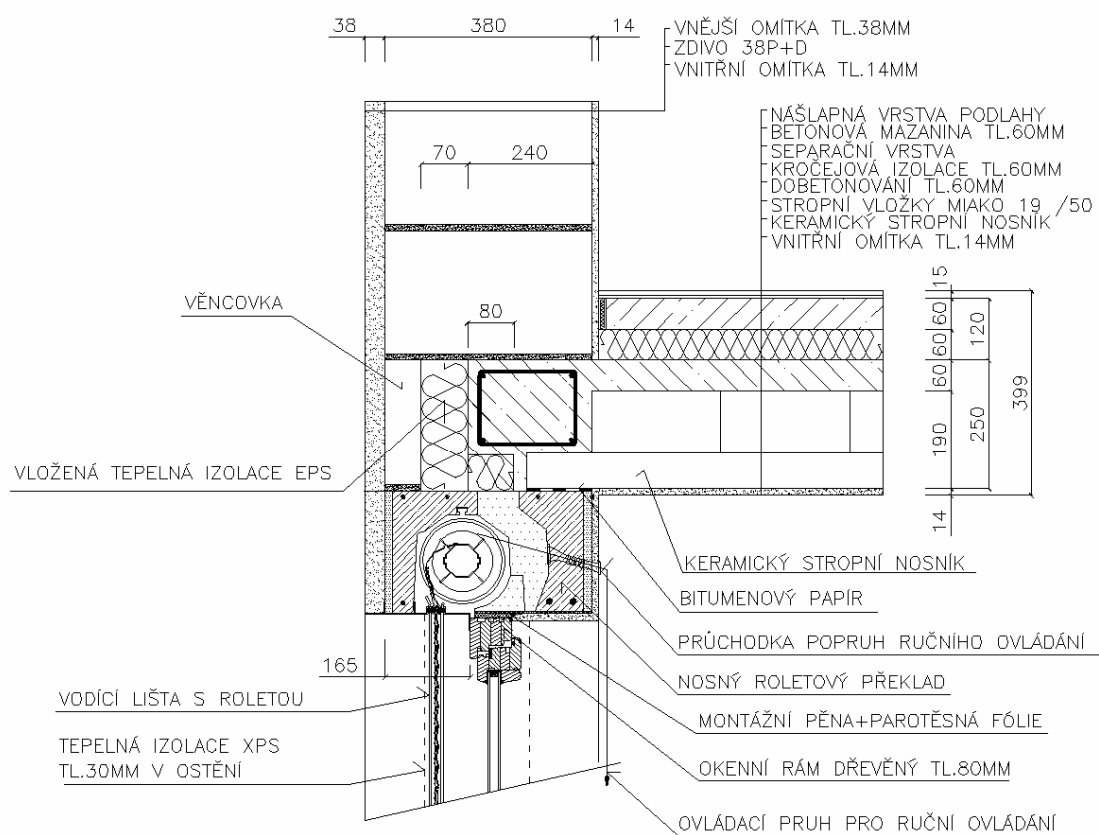
41 Detail nadpraží okna s roletovým truhlíkem 165 mm STI 365 mm						
lineární činitel prostupu tepla - interiér dole z interiérových rozměrů ψ_i^{Di} W/(m.K)	lineární činitel prostupu tepla - interiér nahoře z interiérových rozměrů ψ_i^{Hi} W/(m.K)	lineární činitel prostupu tepla - exteriér ψ_e W/(m.K)	lineární činitel prostupu tepla - dole z exteriérových rozměrů ψ_i^{De} W/(m.K)	lineární činitel prostupu tepla - nahore z exteriérových rozměrů ψ_i^{He} W/(m.K)	teplotní faktor dole f_{Rsi}^D -	teplotní faktor nahore f_{Rsi}^H -
0,038	0,408	0,327	0,028	0,300	0,9109	0,7934



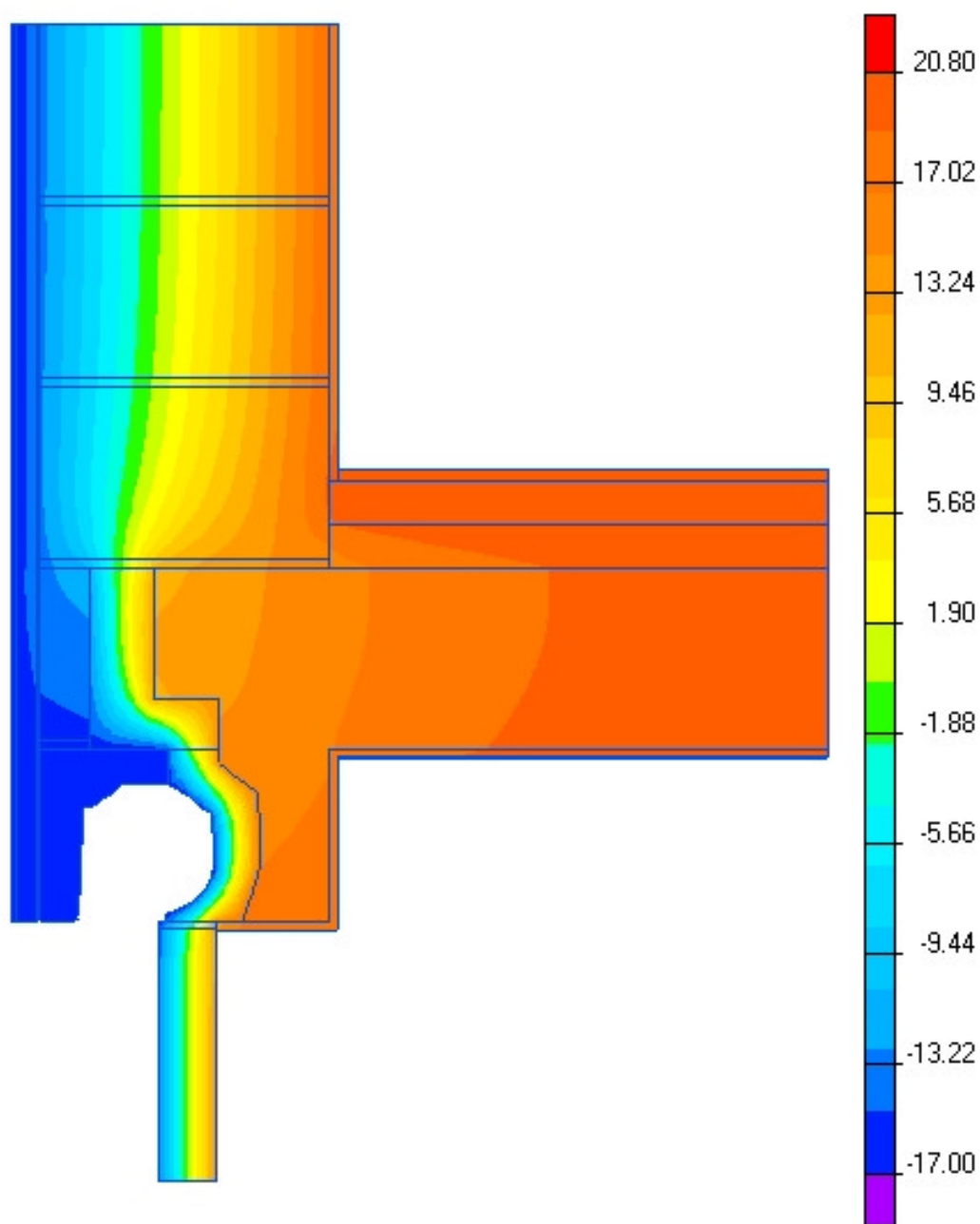


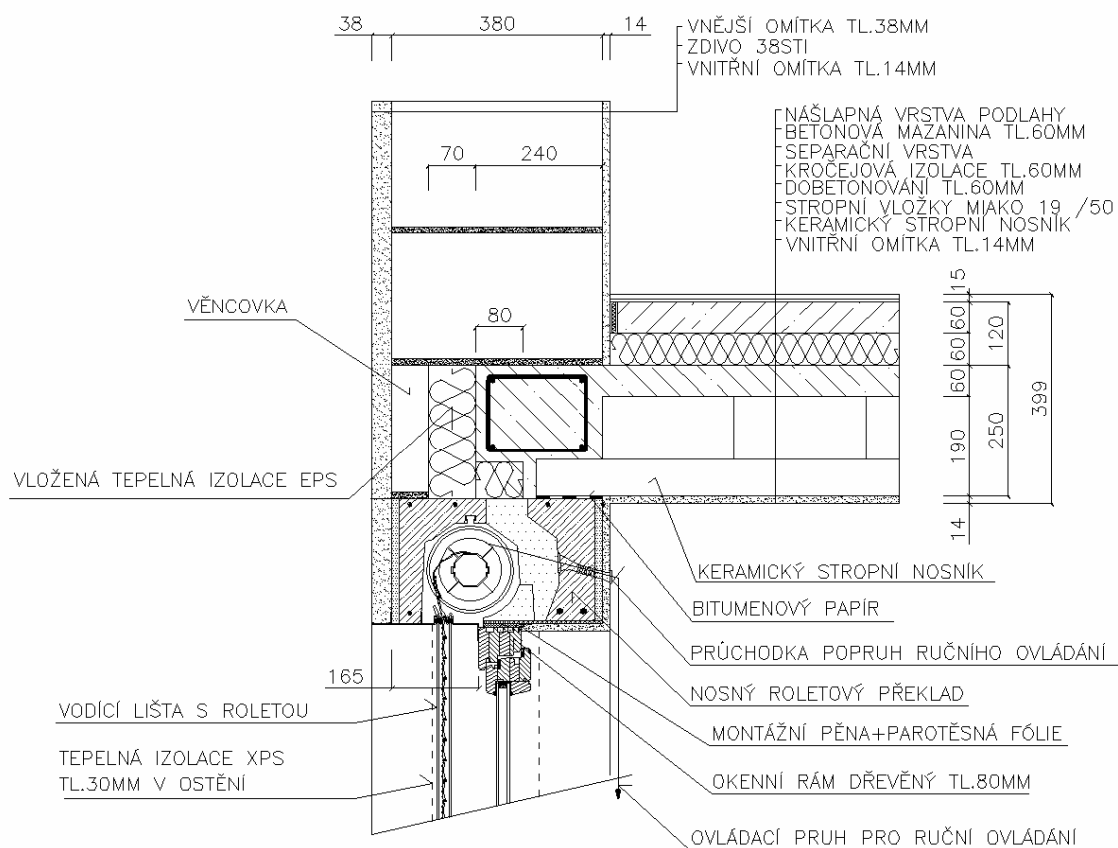
42 Detail nadpraží okna s roletovým truhlíkem 165 mm P + D 380 mm						
lineární činitel prostupu tepla - interiér dole z interiérových rozměrů ψ_i^{Di} W/(m.K)	lineární činitel prostupu tepla - interiér nahoře z interiérových rozměrů ψ_i^{Hi} W/(m.K)	lineární činitel prostupu tepla - exteriér ψ_e W/(m.K)	lineární činitel prostupu tepla - dole z exteriérových rozměrů ψ_i^{De} W/(m.K)	lineární činitel prostupu tepla - nahore z exteriérových rozměrů ψ_i^{He} W/(m.K)	teplotní faktor dole f_{Rsi}^D -	teplotní faktor nahore f_{Rsi}^H -
0,036	0,355	0,252	0,023	0,229	0,8980	0,7958



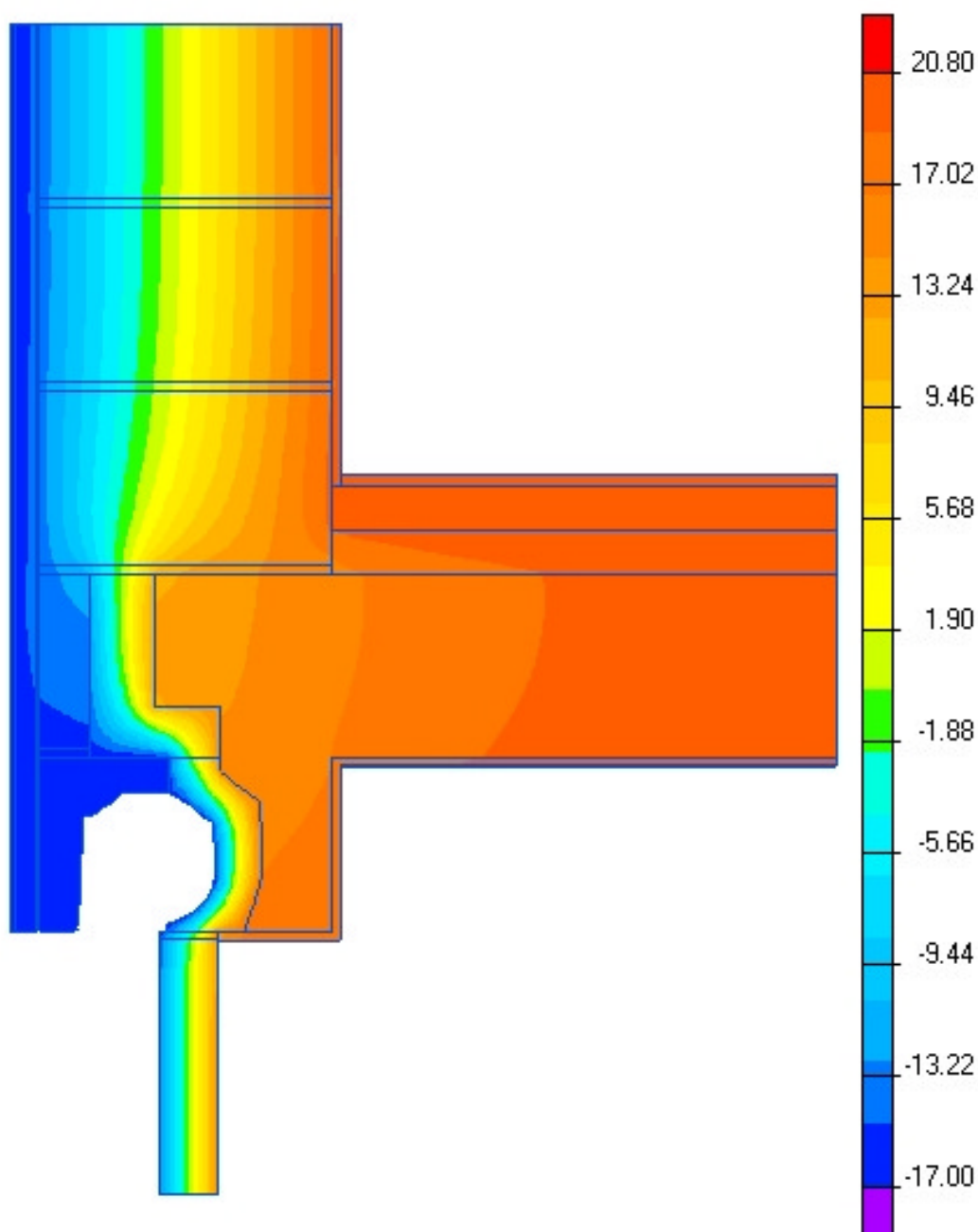


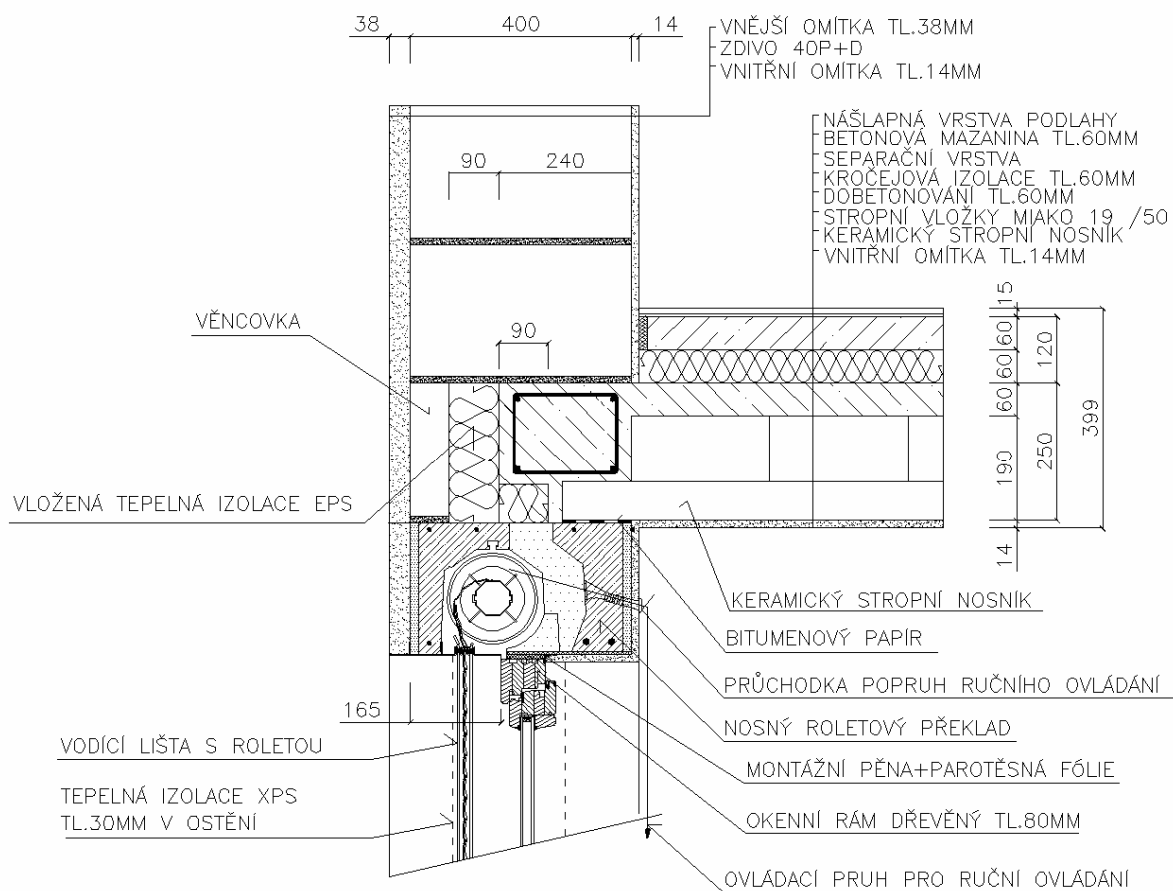
43 Detail nadpraží okna s roletovým truhlíkem 165 mm STI 380 mm						
lineární činitel prostupu tepla - interiér dole z interiérových rozměrů ψ_i^{Di} W/(m.K)	lineární činitel prostupu tepla - interiér nahoře z interiérových rozměrů ψ_i^{Hi} W/(m.K)	lineární činitel prostupu tepla - exteriér ψ_e W/(m.K)	lineární činitel prostupu tepla - dole z exteriérových rozměrů ψ_i^{De} W/(m.K)	lineární činitel prostupu tepla - nahore z exteriérových rozměrů ψ_i^{He} W/(m.K)	teplotní faktor dole f_{Rsi}^D -	teplotní faktor nahore f_{Rsi}^H -
0,034	0,362	0,282	0,024	0,258	0,9142	0,7963



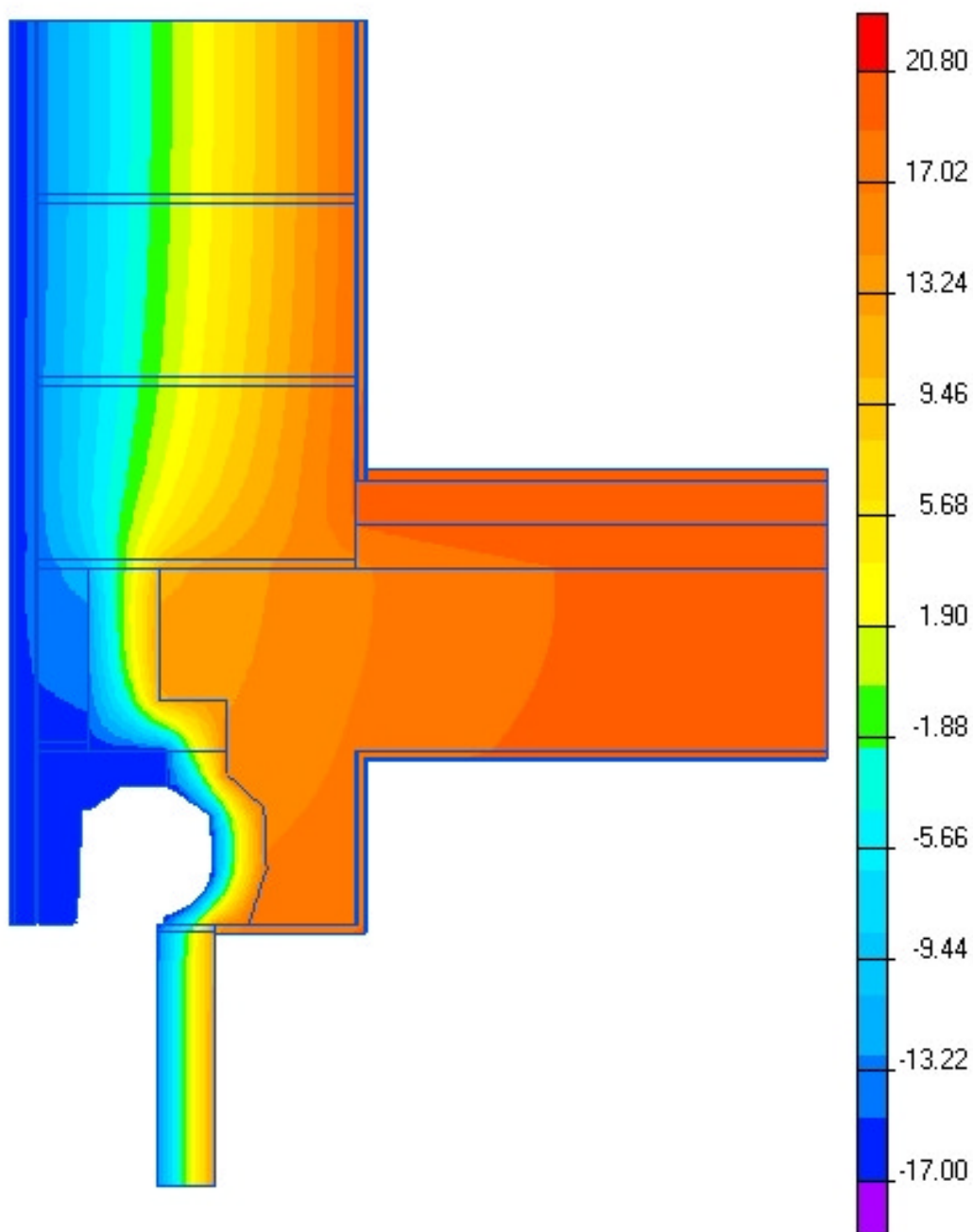


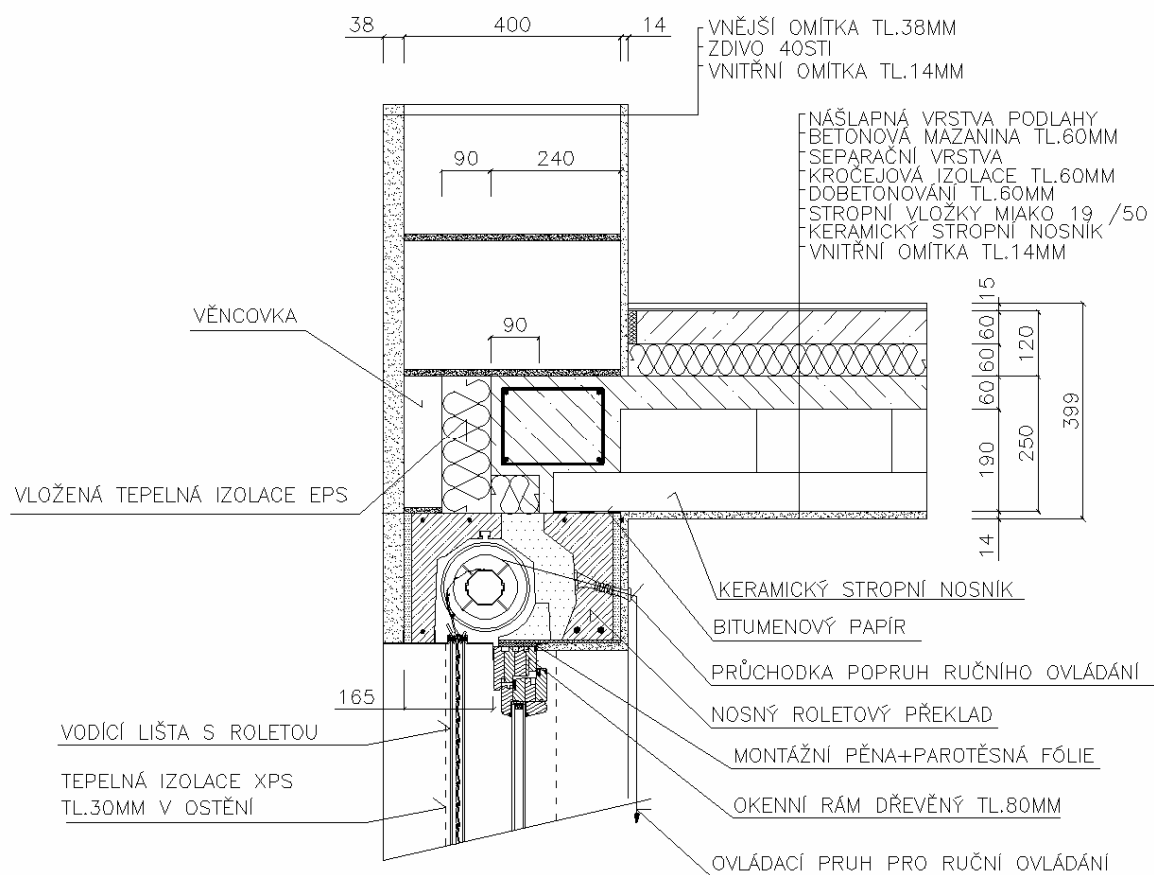
44 Detail nadpraží okna s roletovým truhlíkem 165 mm P + D 400 mm						
lineární činitel prostupu tepla - interiér dole z interiérových rozměrů ψ_i^{Di} W/(m.K)	lineární činitel prostupu tepla - interiér nahoře z interiérových rozměrů ψ_i^{Hi} W/(m.K)	lineární činitel prostupu tepla - exteriér ψ_e W/(m.K)	lineární činitel prostupu tepla - dole z exteriérových rozměrů ψ_i^{De} W/(m.K)	lineární činitel prostupu tepla - nahore z exteriérových rozměrů ψ_i^{He} W/(m.K)	teplotní faktor dole f_{Rsi}^D -	teplotní faktor nahore f_{Rsi}^H -
0,029	0,297	0,197	0,018	0,180	0,9027	0,8008



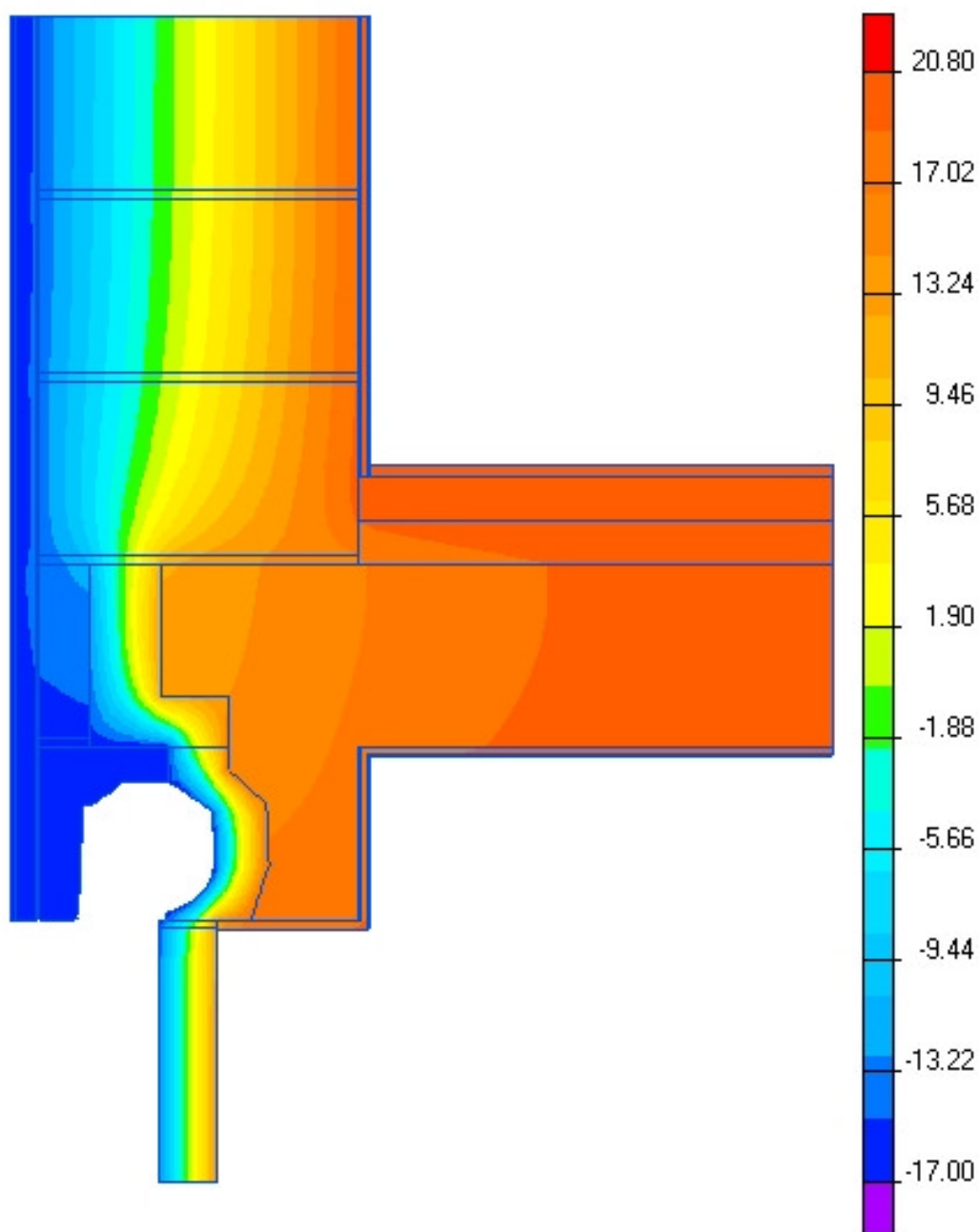


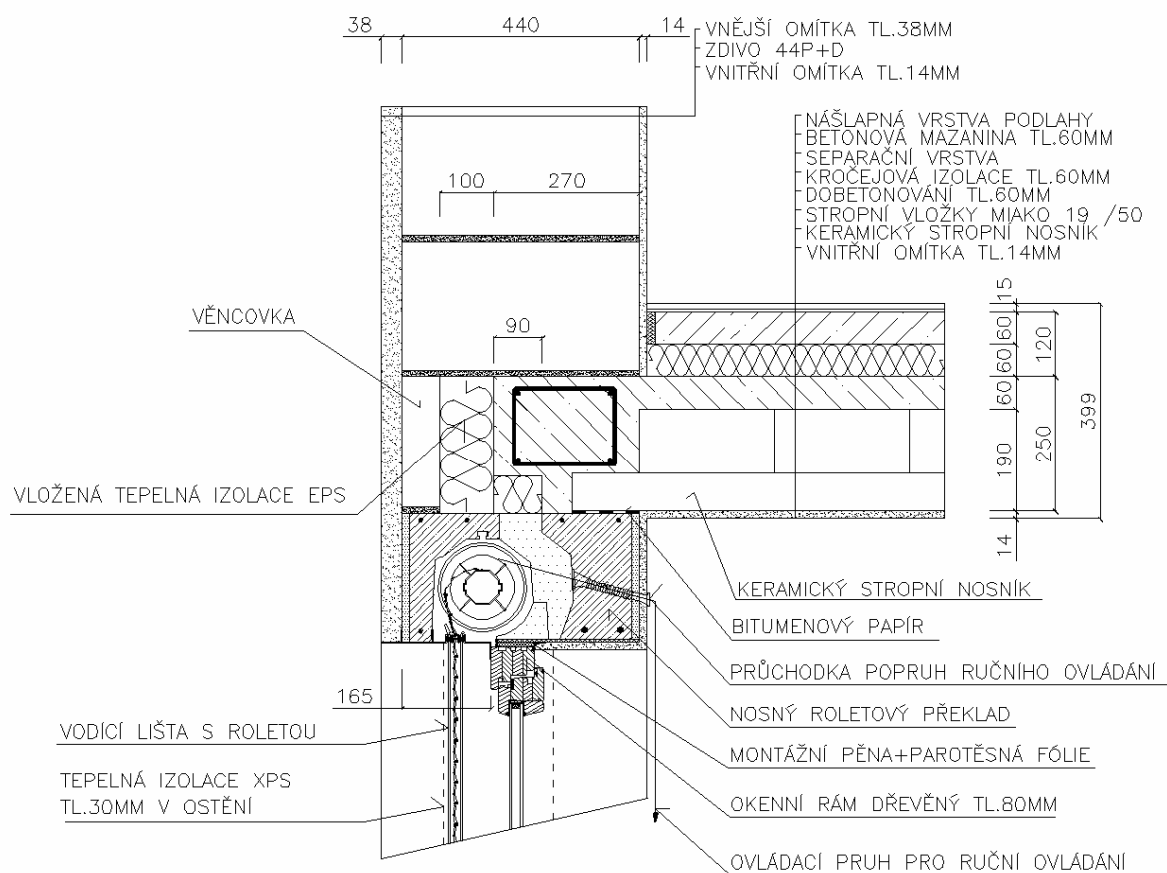
45 Detail nadpraží okna s roletovým truhlíkem 165 mm STI 400 mm						
lineární činitel prostupu tepla - interiér dole z interiérových rozměrů ψ_i^{Di} W/(m.K)	lineární činitel prostupu tepla - interiér nahoře z interiérových rozměrů ψ_i^{Hi} W/(m.K)	lineární činitel prostupu tepla - exteriér ψ_e W/(m.K)	lineární činitel prostupu tepla - dole z exteriérových rozměrů ψ_i^{De} W/(m.K)	lineární činitel prostupu tepla - nahore z exteriérových rozměrů ψ_i^{He} W/(m.K)	teplotní faktor dole f_{Rsi}^D -	teplotní faktor nahore f_{Rsi}^H -
0,028	0,304	0,226	0,019	0,207	0,9253	0,7974



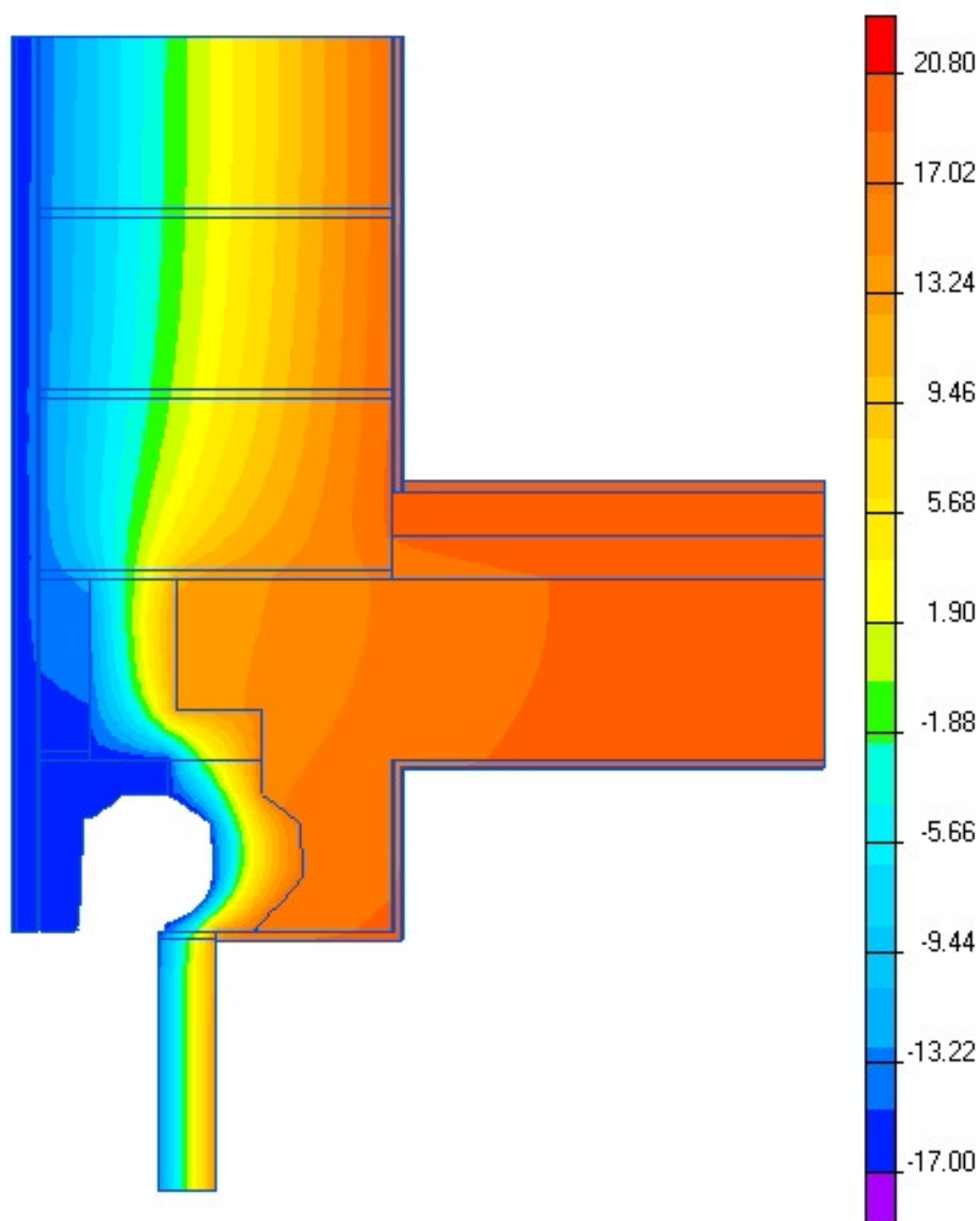


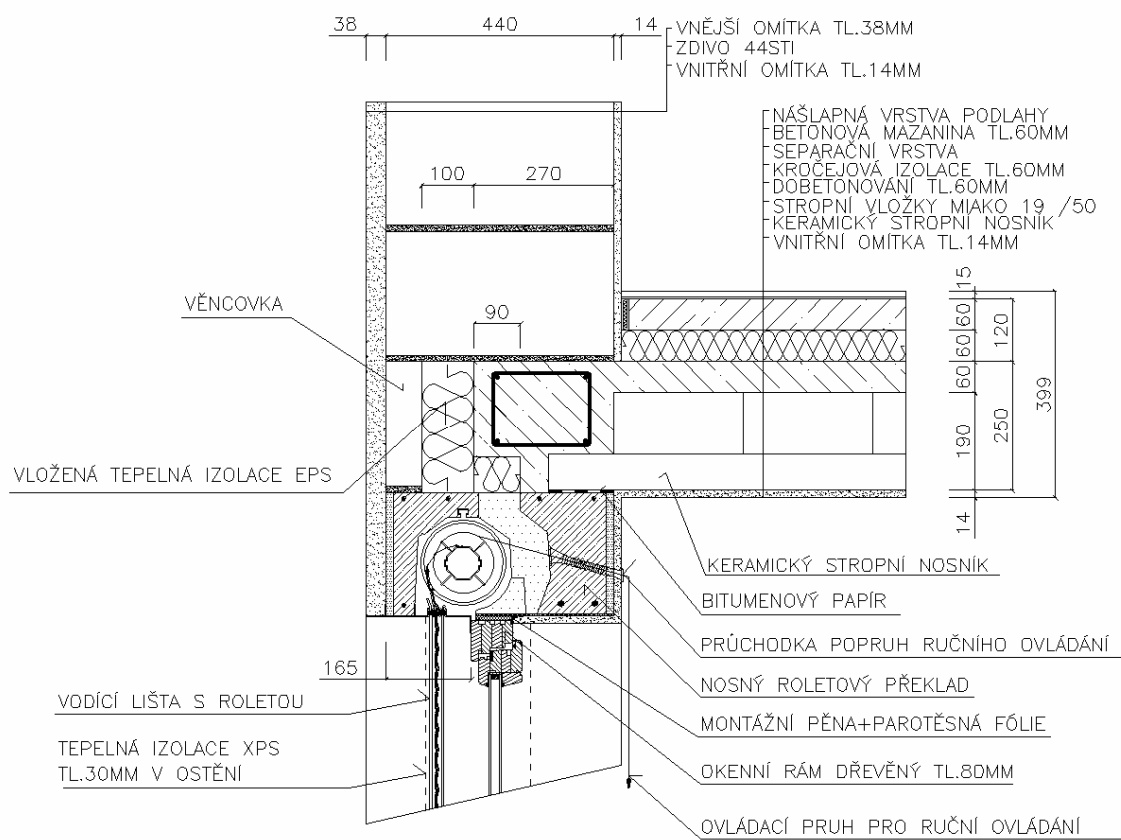
46 Detail nadpraží okna s roletovým truhlíkem 165 mm P + D 440 mm						
lineární činitel prostupu tepla - interiér dole z interiérových rozměrů ψ_i^{Di} W/(m.K)	lineární činitel prostupu tepla - interiér nahoře z interiérových rozměrů ψ_i^{Hi} W/(m.K)	lineární činitel prostupu tepla - exteriér ψ_e W/(m.K)	lineární činitel prostupu tepla - dole z exteriérových rozměrů ψ_i^{De} W/(m.K)	lineární činitel prostupu tepla - nahore z exteriérových rozměrů ψ_i^{He} W/(m.K)	teplotní faktor dole f_{Rsi}^D -	teplotní faktor nahore f_{Rsi}^H -
0,023	0,291	0,195	0,014	0,180	0,9109	0,7971



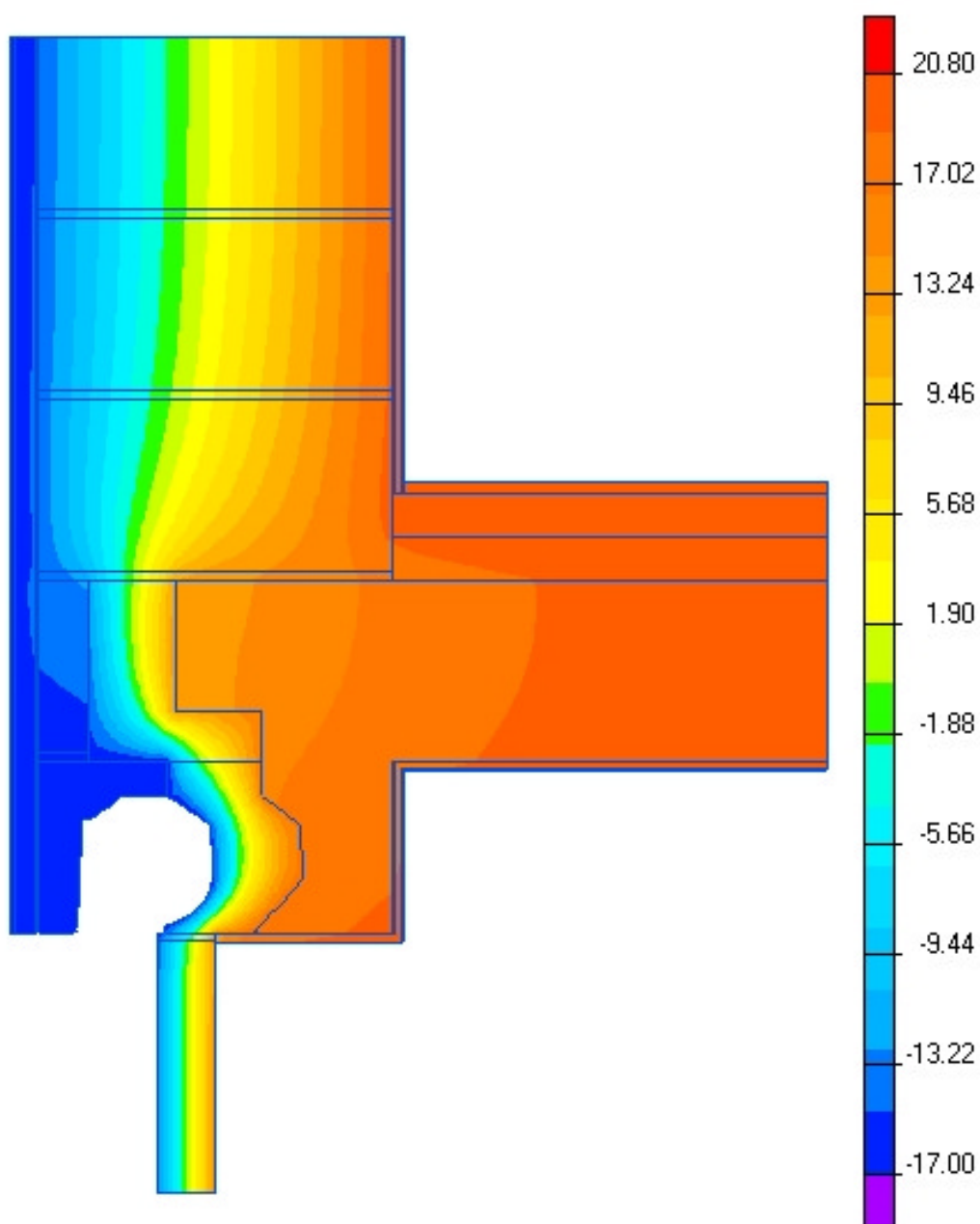


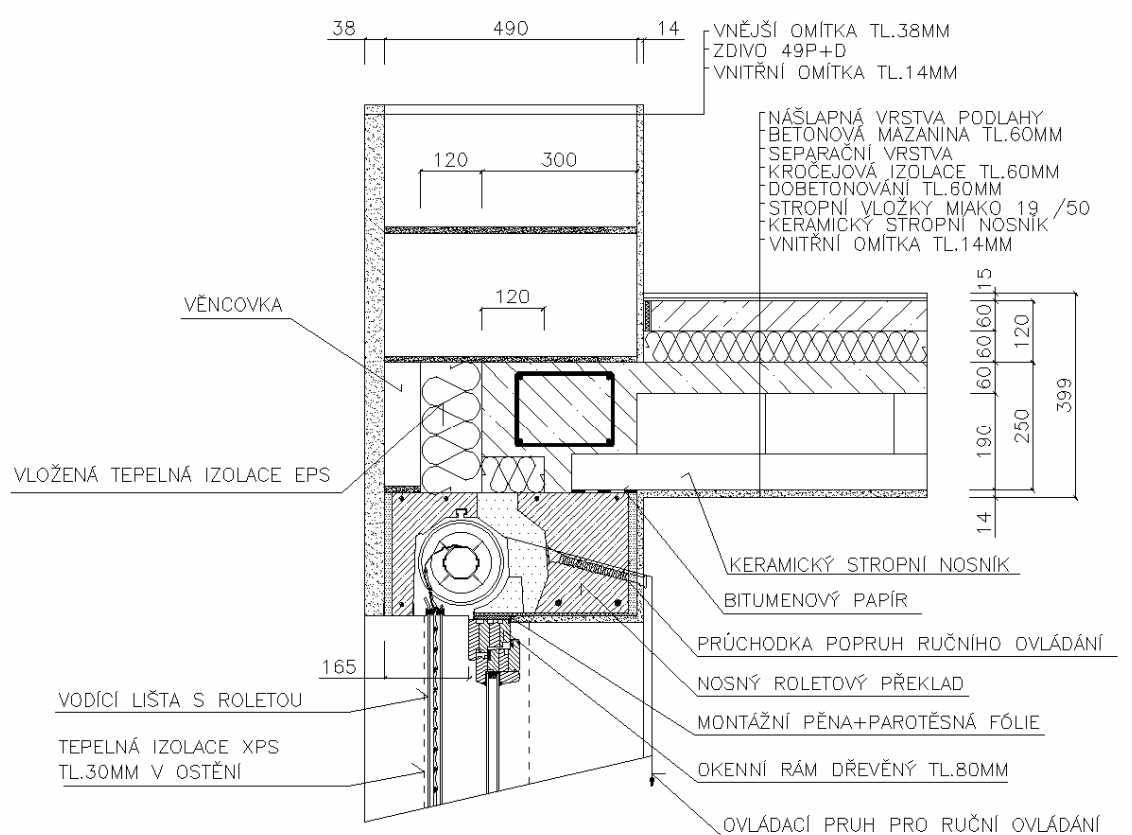
47 Detail nadpraží okna s roletovým truhlíkem 165 mm STI 440 mm						
lineární činitel prostupu tepla - interiér dole z interiérových rozměrů ψ_i^{Di} W/(m.K)	lineární činitel prostupu tepla - interiér nahoře z interiérových rozměrů ψ_i^{Hi} W/(m.K)	lineární činitel prostupu tepla - exteriér ψ_e W/(m.K)	lineární činitel prostupu tepla - dole z exteriérových rozměrů ψ_i^{De} W/(m.K)	lineární činitel prostupu tepla - nahore z exteriérových rozměrů ψ_i^{He} W/(m.K)	teplotní faktor dole f_{Rsi}^D -	teplotní faktor nahore f_{Rsi}^H -
0,022	0,296	0,221	0,016	0,205	0,9253	0,7974



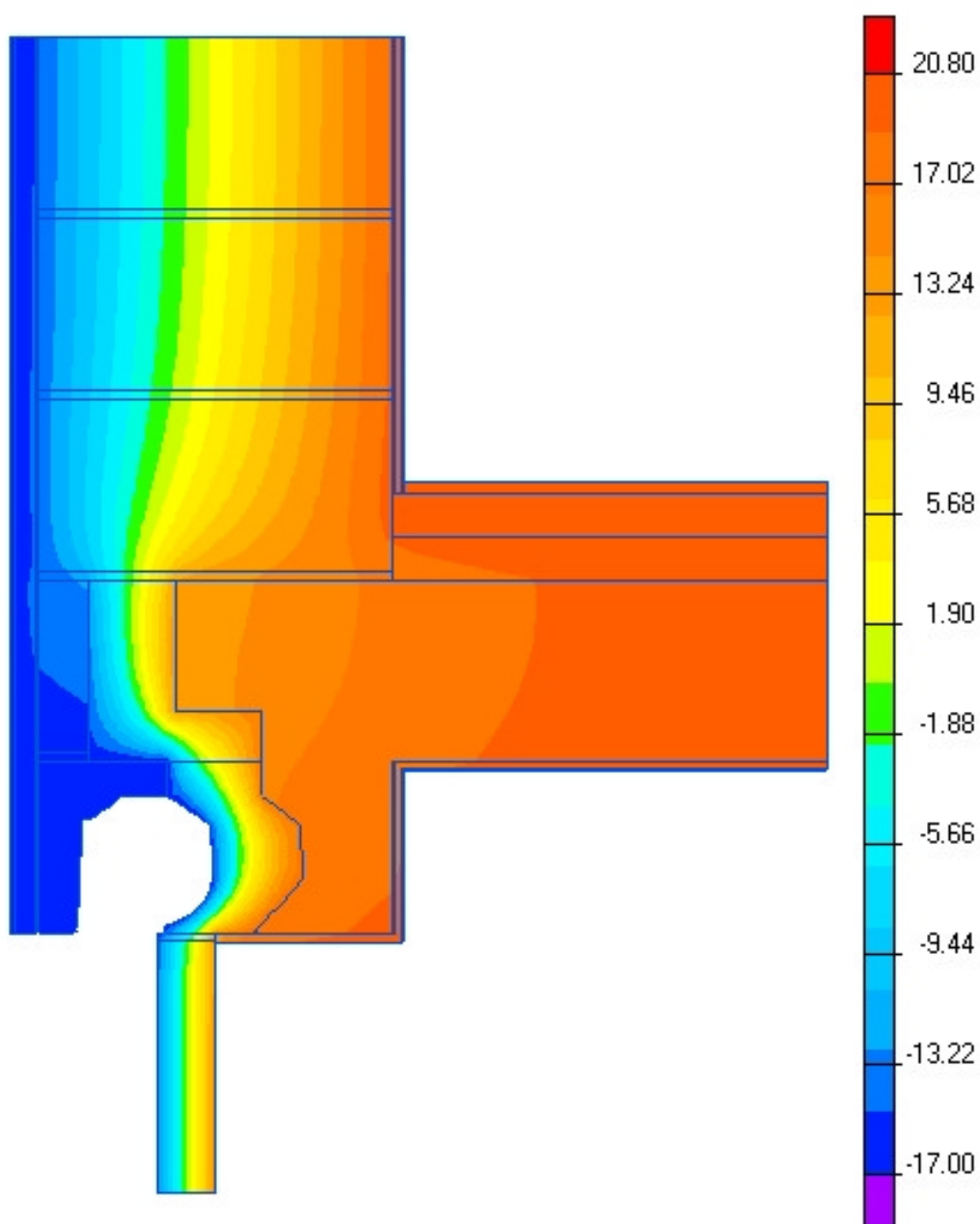


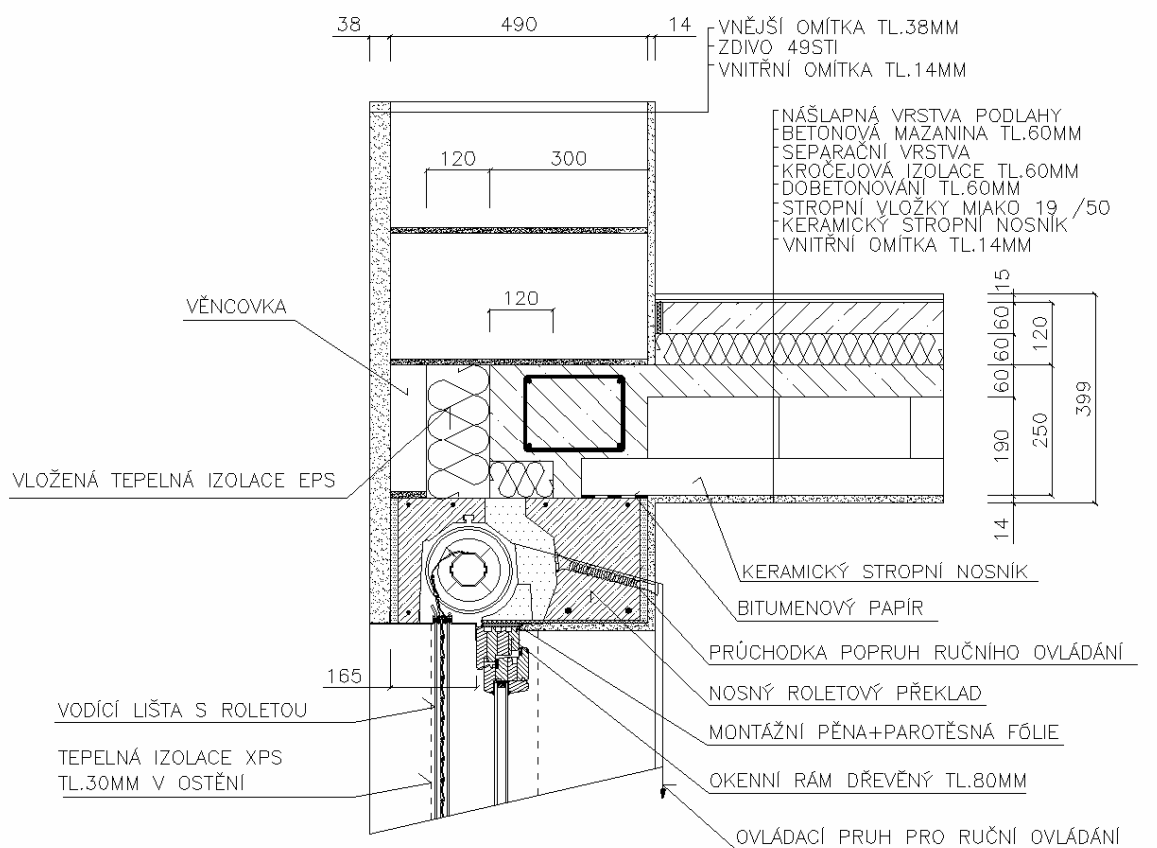
48 Detail nadpraží okna s roletovým truhlíkem 165 mm P + D 490 mm						
lineární činitel prostupu tepla - interiér dole z interiérových rozměrů ψ_i^{Di} W/(m.K)	lineární činitel prostupu tepla - interiér nahoře z interiérových rozměrů ψ_i^{Hi} W/(m.K)	lineární činitel prostupu tepla - exteriér ψ_e W/(m.K)	lineární činitel prostupu tepla - dole z exteriérových rozměrů ψ_i^{De} W/(m.K)	lineární činitel prostupu tepla - nahore z exteriérových rozměrů ψ_i^{He} W/(m.K)	teplotní faktor dole f_{Rsi}^D -	teplotní faktor nahore f_{Rsi}^H -
0,017	0,260	0,170	0,010	0,159	0,9198	0,7955



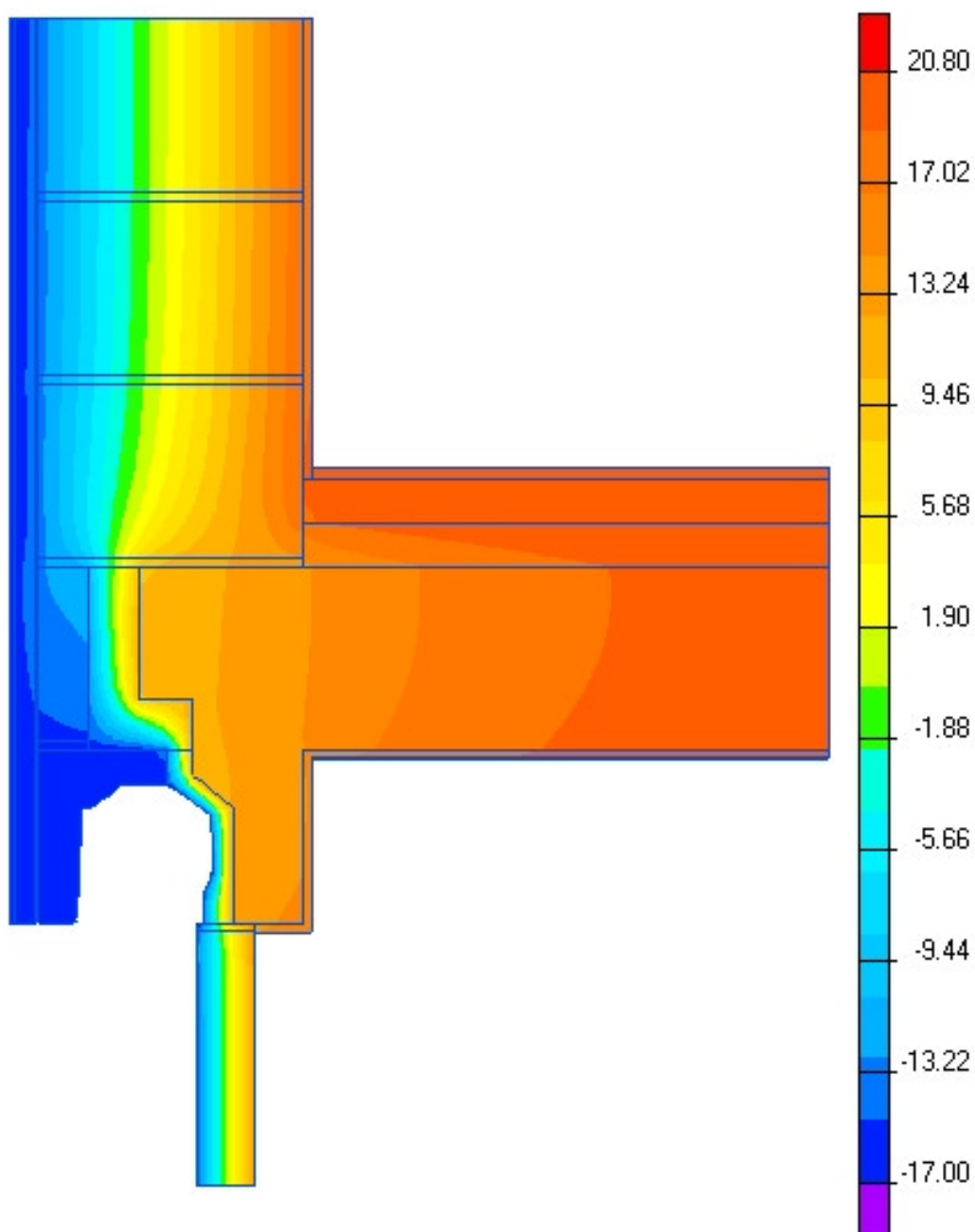


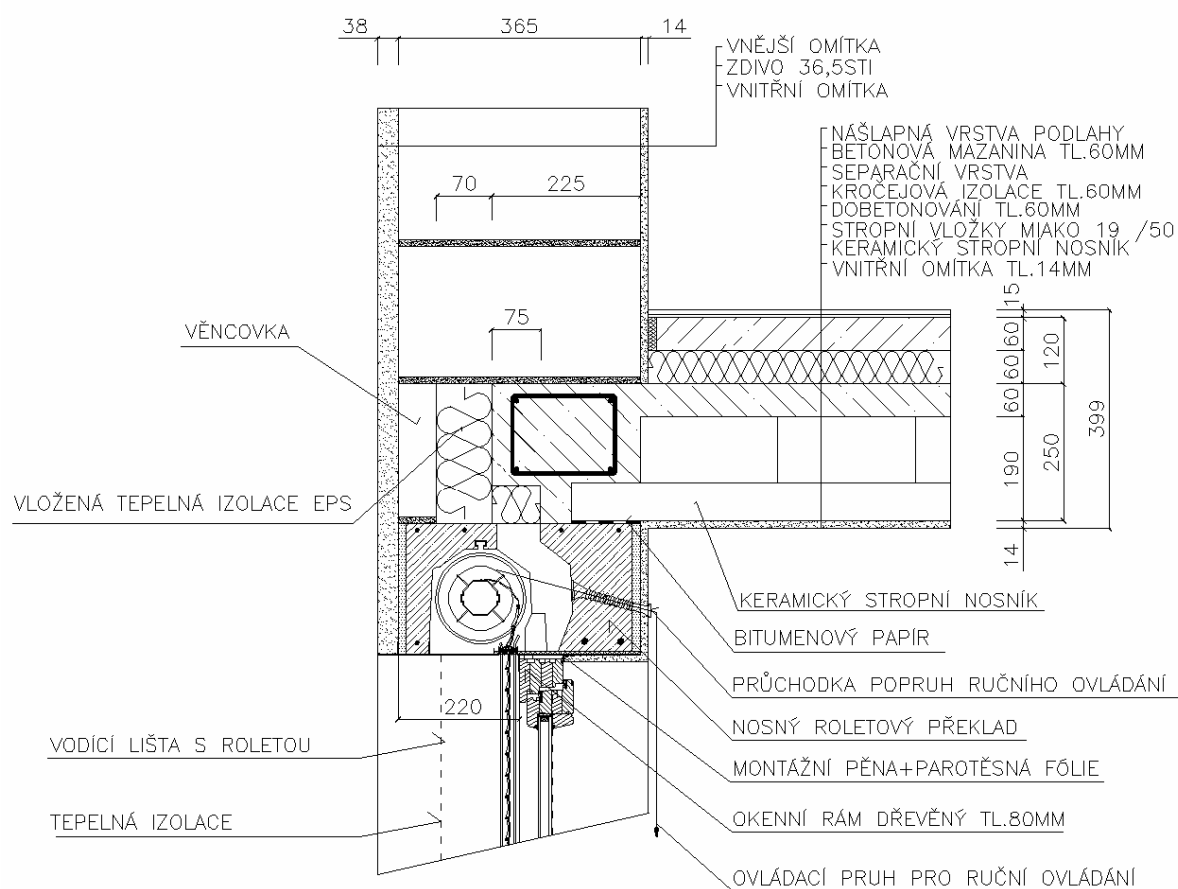
49 Detail nadpraží okna s roletovým truhlíkem 165 mm STI 490 mm						
lineární činitel prostupu tepla - interiér dole z interiérových rozměrů ψ_i^{Di} W/(m.K)	lineární činitel prostupu tepla - interiér nahoře z interiérových rozměrů ψ_i^{Hi} W/(m.K)	lineární činitel prostupu tepla - exteriér ψ_e W/(m.K)	lineární činitel prostupu tepla - dole z exteriérových rozměrů ψ_i^{De} W/(m.K)	lineární činitel prostupu tepla - nahore z exteriérových rozměrů ψ_i^{He} W/(m.K)	teplotní faktor dole f_{Rsi}^D -	teplotní faktor nahore f_{Rsi}^H -
0,016	0,264	0,193	0,011	0,182	0,9330	0,7958



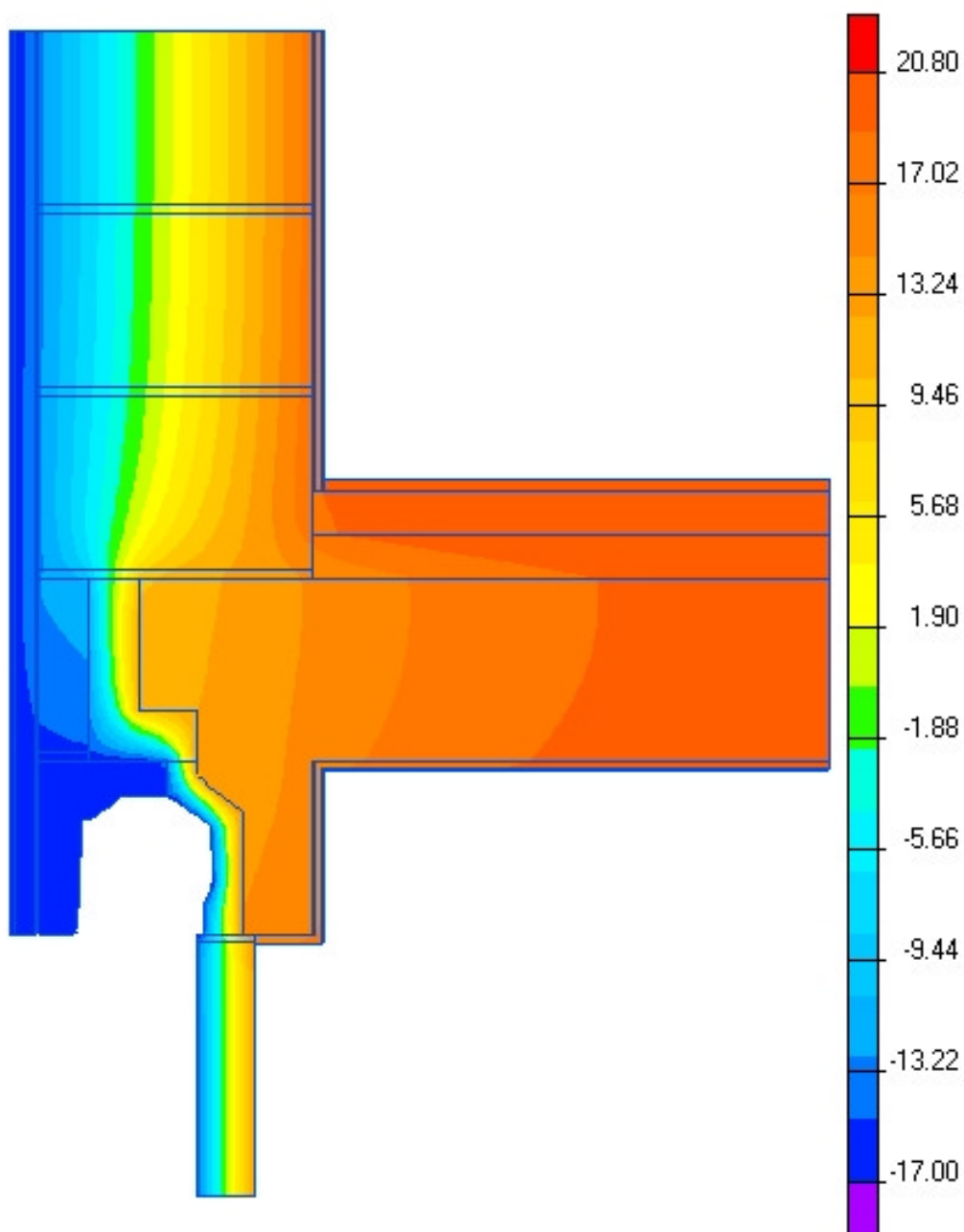


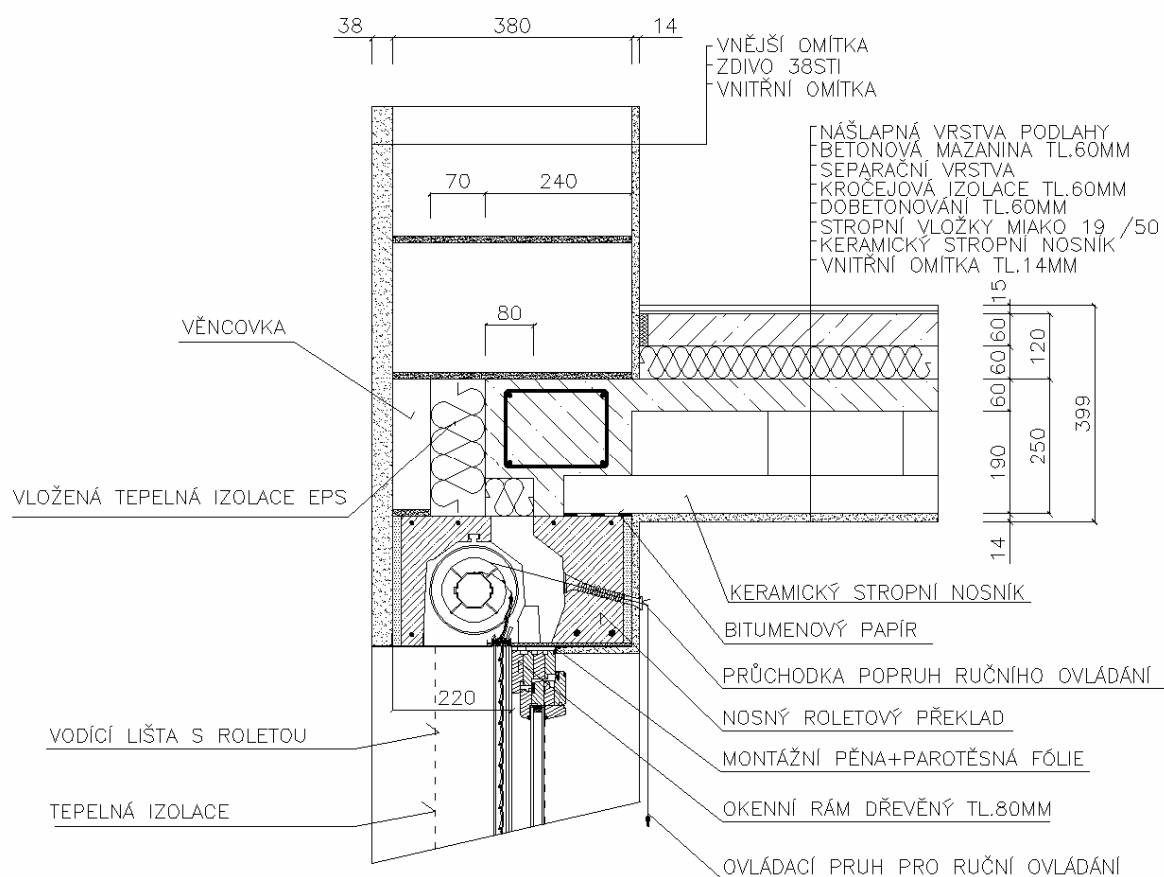
51 Detail nadpraží okna s roletovým truhlíkem 220 mm STI 365 mm						
lineární činitel prostupu tepla - interiér dole z interiérových rozměrů ψ_i^{Di} W/(m.K)	lineární činitel prostupu tepla - interiér nahoře z interiérových rozměrů ψ_i^{Hi} W/(m.K)	lineární činitel prostupu tepla - exteriér ψ_e W/(m.K)	lineární činitel prostupu tepla - dole z exteriérových rozměrů ψ_i^{De} W/(m.K)	lineární činitel prostupu tepla - nahore z exteriérových rozměrů ψ_i^{He} W/(m.K)	teplotní faktor dole f_{Rsi}^D -	teplotní faktor nahore f_{Rsi}^H -
0,039	0,401	0,322	0,029	0,294	0,9108	0,8142



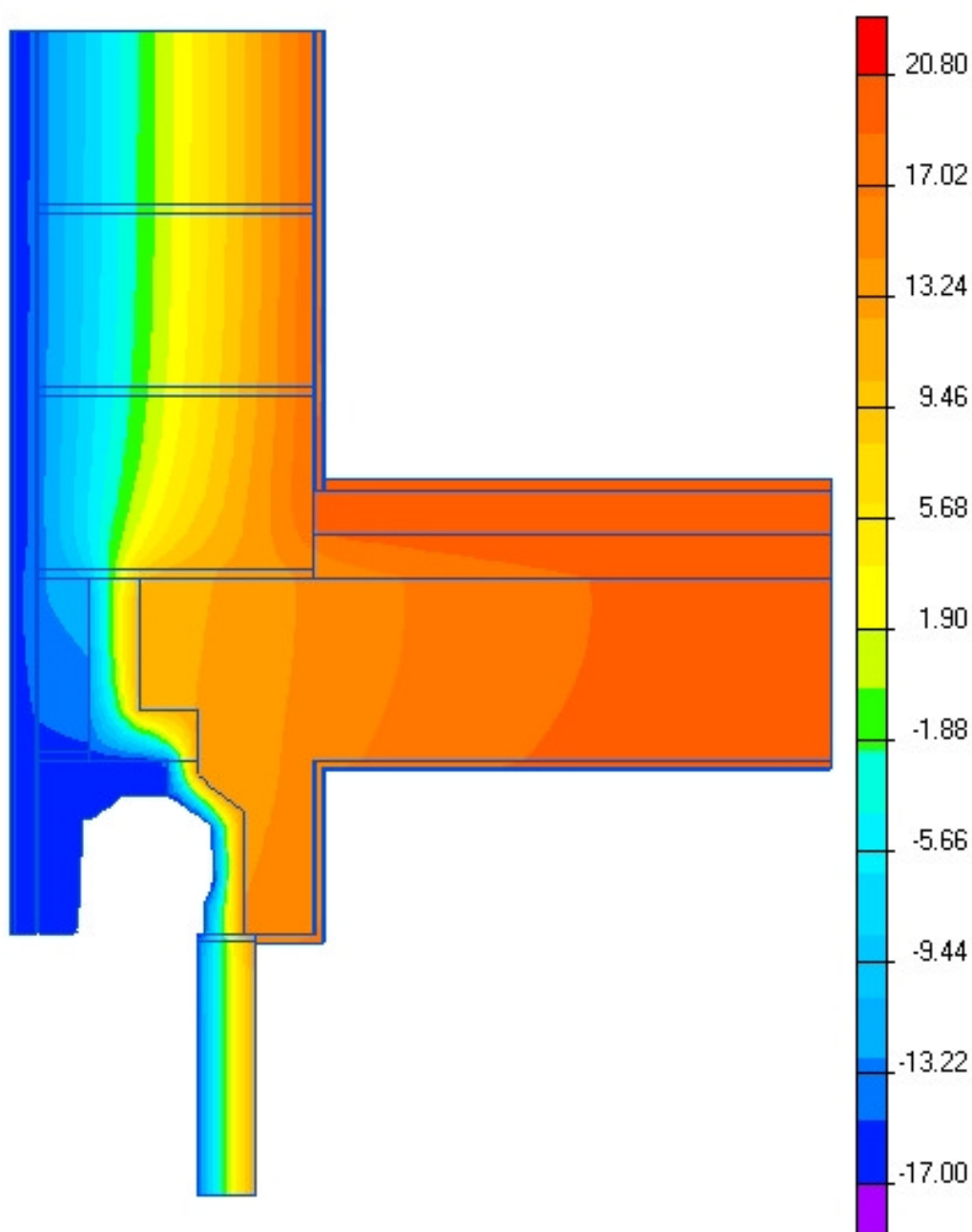


52 Detail nadpraží okna s roletovým truhlíkem 220 mm P + D 380 mm						
lineární činitel prostupu tepla - interiér dole z interiérových rozměrů ψ_i^{Di} W/(m.K)	lineární činitel prostupu tepla - interiér nahoře z interiérových rozměrů ψ_i^{Hi} W/(m.K)	lineární činitel prostupu tepla - exteriér ψ_e W/(m.K)	lineární činitel prostupu tepla - dole z exteriérových rozměrů ψ_i^{De} W/(m.K)	lineární činitel prostupu tepla - nahore z exteriérových rozměrů ψ_i^{He} W/(m.K)	teplotní faktor dole f_{Rsi}^D -	teplotní faktor nahore f_{Rsi}^H -
0,037	0,342	0,240	0,023	0,217	0,8980	0,8289

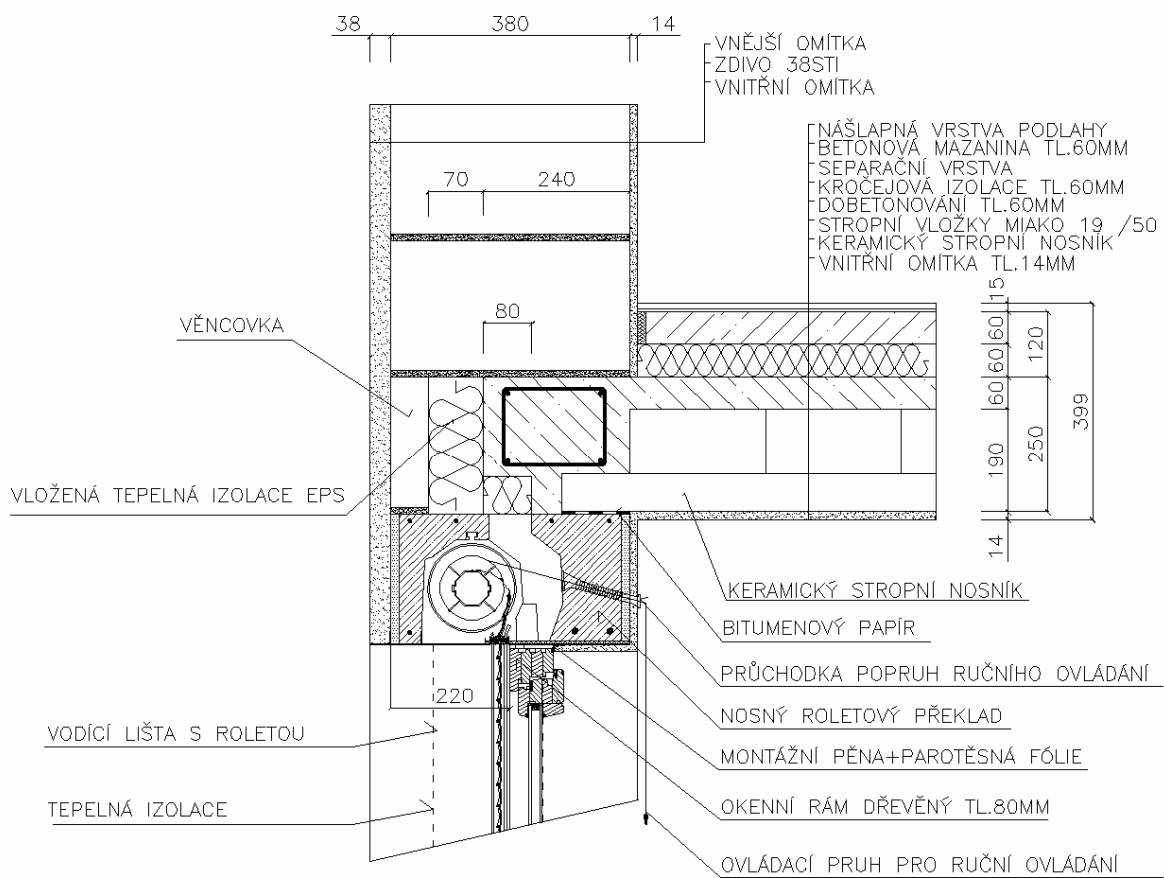




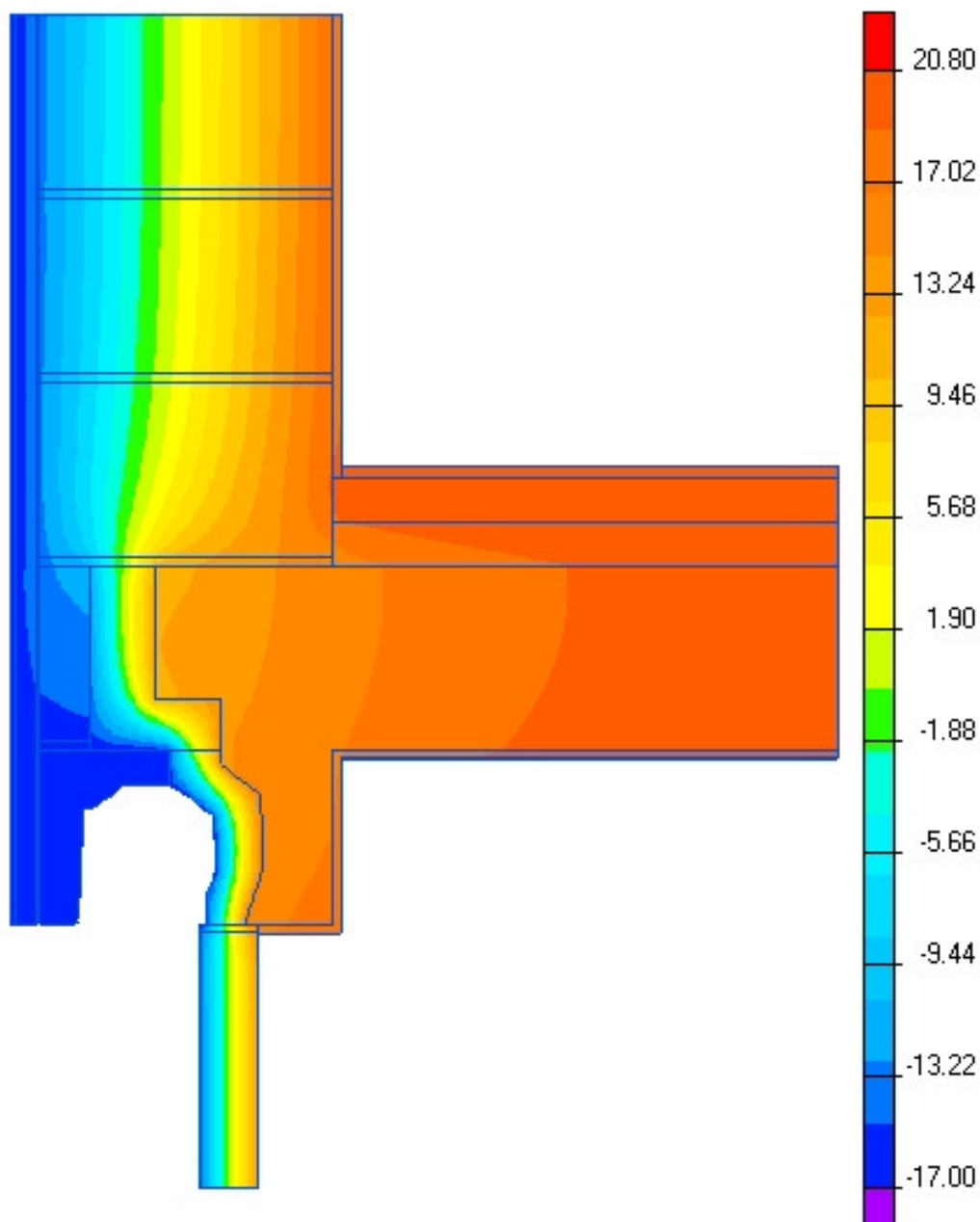
53 Detail nadpraží okna s roletovým truhlíkem 220 mm STI 380 mm						
lineární činitel prostupu tepla - interiér dole z interiérových rozměrů ψ_i^{Di} W/(m.K)	lineární činitel prostupu tepla - interiér nahoře z interiérových rozměrů ψ_i^{Hi} W/(m.K)	lineární činitel prostupu tepla - exteriér ψ_e W/(m.K)	lineární činitel prostupu tepla - dole z exteriérových rozměrů ψ_i^{De} W/(m.K)	lineární činitel prostupu tepla - nahore z exteriérových rozměrů ψ_i^{He} W/(m.K)	teplotní faktor dole f_{Rsi}^D -	teplotní faktor nahore f_{Rsi}^H -
0,035	0,350	0,271	0,024	0,246	0,9141	0,8300

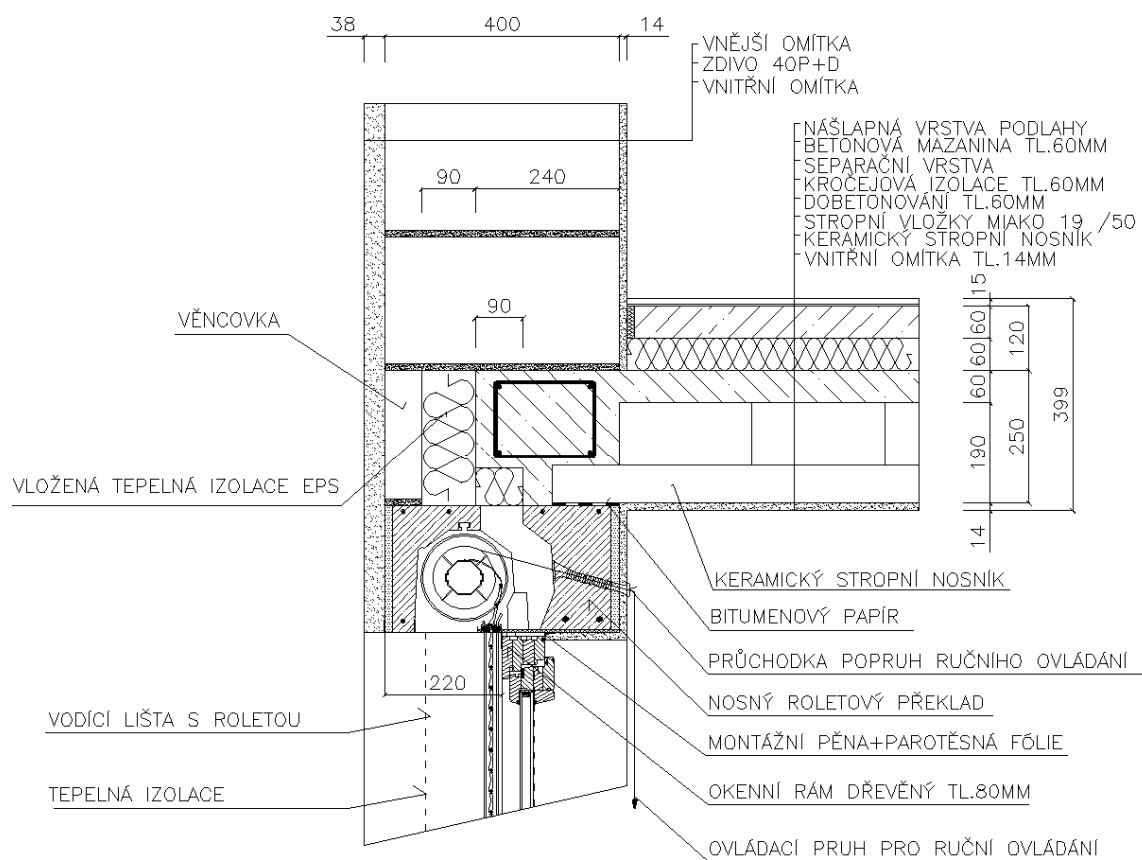


Obsah: "Výpočet typických tepelných mostů a jejich minimalizace – 250 detailů"
Zpracovatel: Energy Consulting – Project, s.r.o., Přemyslská 484/28, 182 00 Praha 8,
IČ 26113317; mobil 777 196 154, e-mail: info@e-c.cz

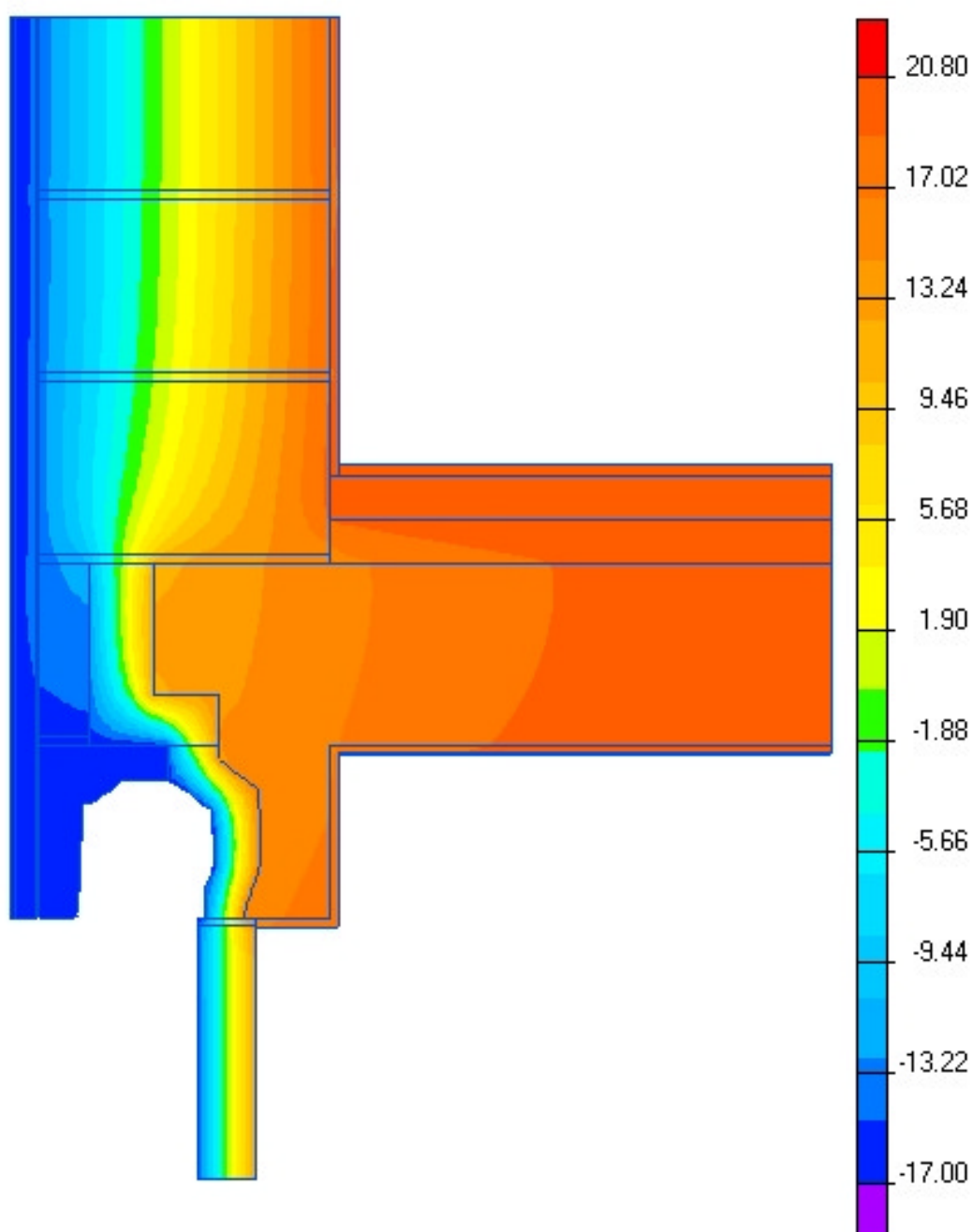


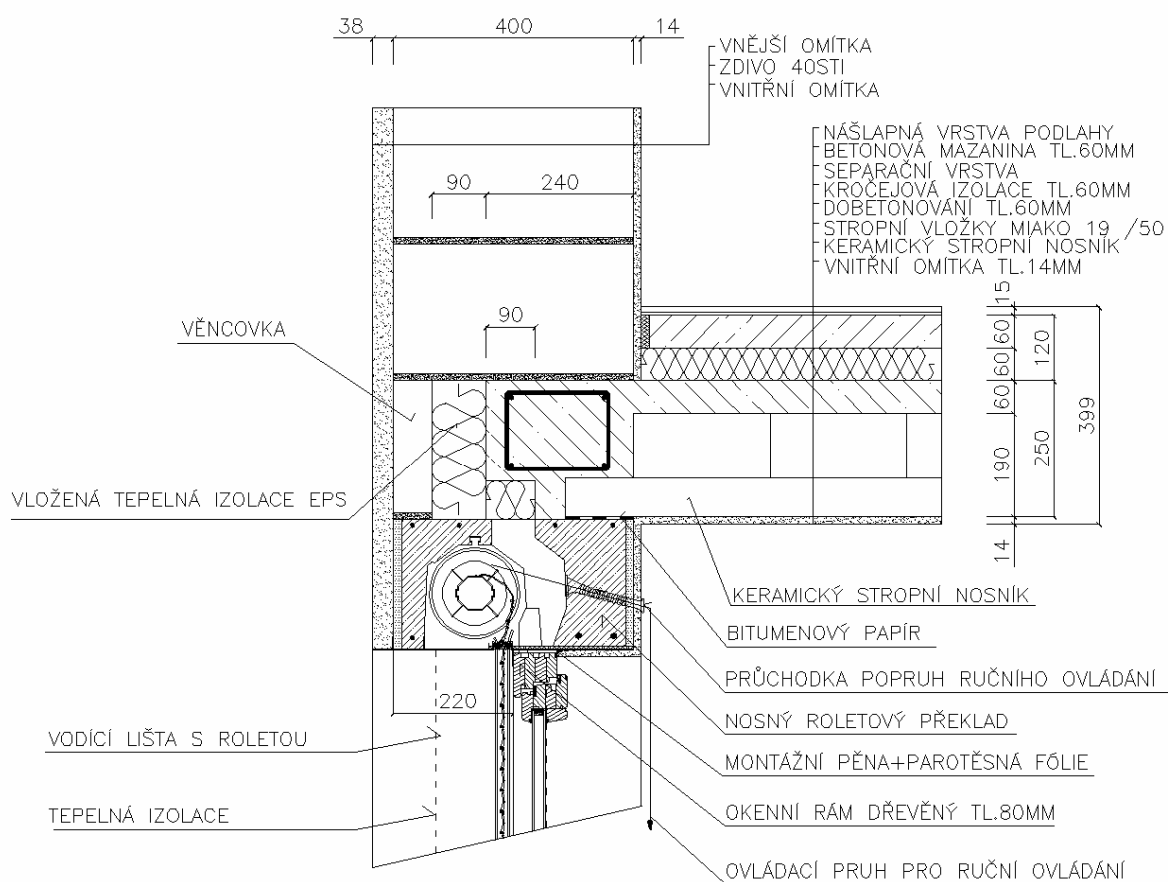
54 Detail nadpraží okna s roletovým truhlíkem 220 mm P + D 400 mm						
lineární činitel prostupu tepla - interiér dole z interiérových rozměrů ψ_i^{Di} W/(m.K)	lineární činitel prostupu tepla - interiér nahoře z interiérových rozměrů ψ_i^{Hi} W/(m.K)	lineární činitel prostupu tepla - exteriér ψ_e W/(m.K)	lineární činitel prostupu tepla - dole z exteriérových rozměrů ψ_i^{De} W/(m.K)	lineární činitel prostupu tepla - nahore z exteriérových rozměrů ψ_i^{He} W/(m.K)	teplotní faktor dole f_{Rsi}^D -	teplotní faktor nahore f_{Rsi}^H -
0,030	0,284	0,184	0,018	0,166	0,9026	0,8432



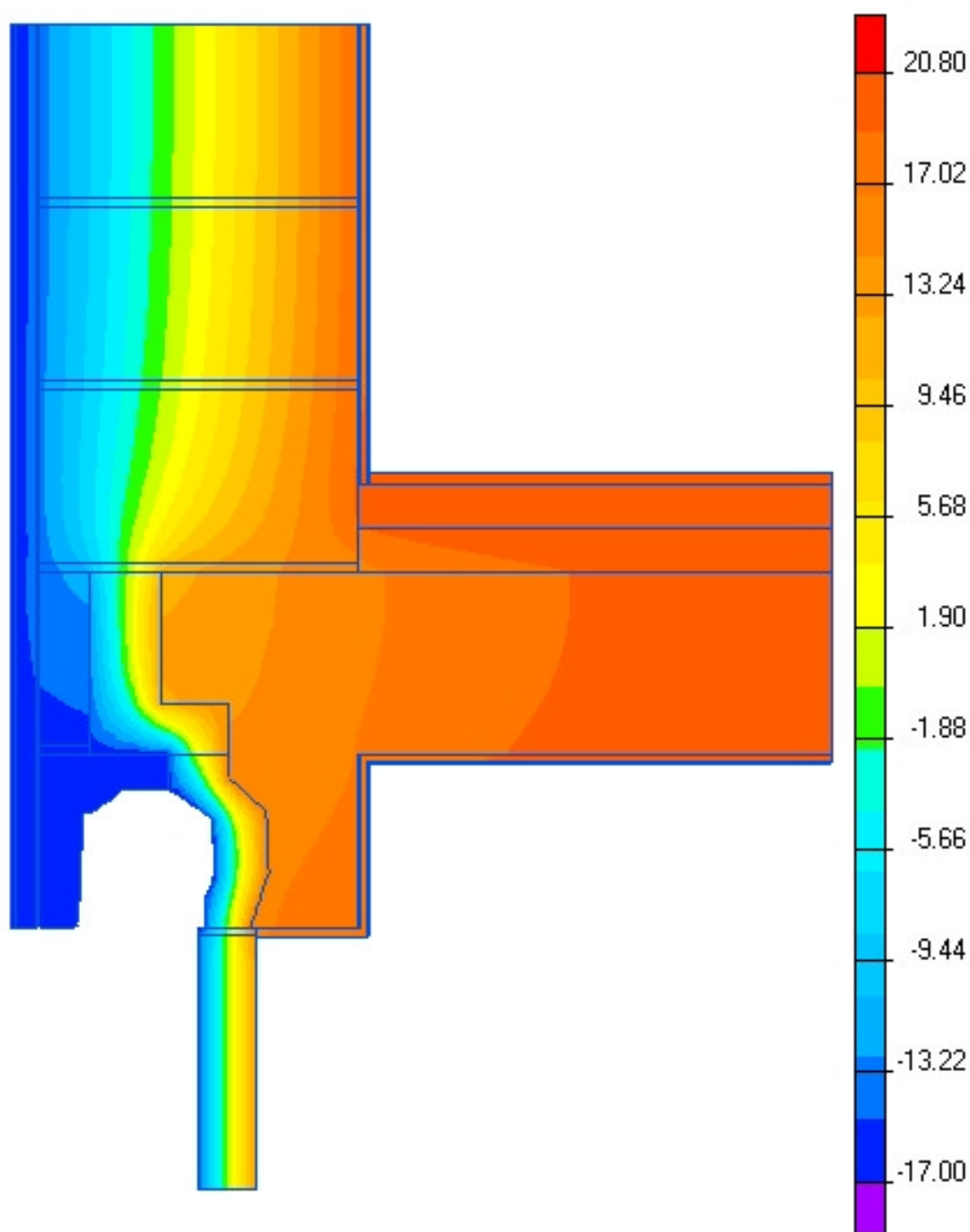


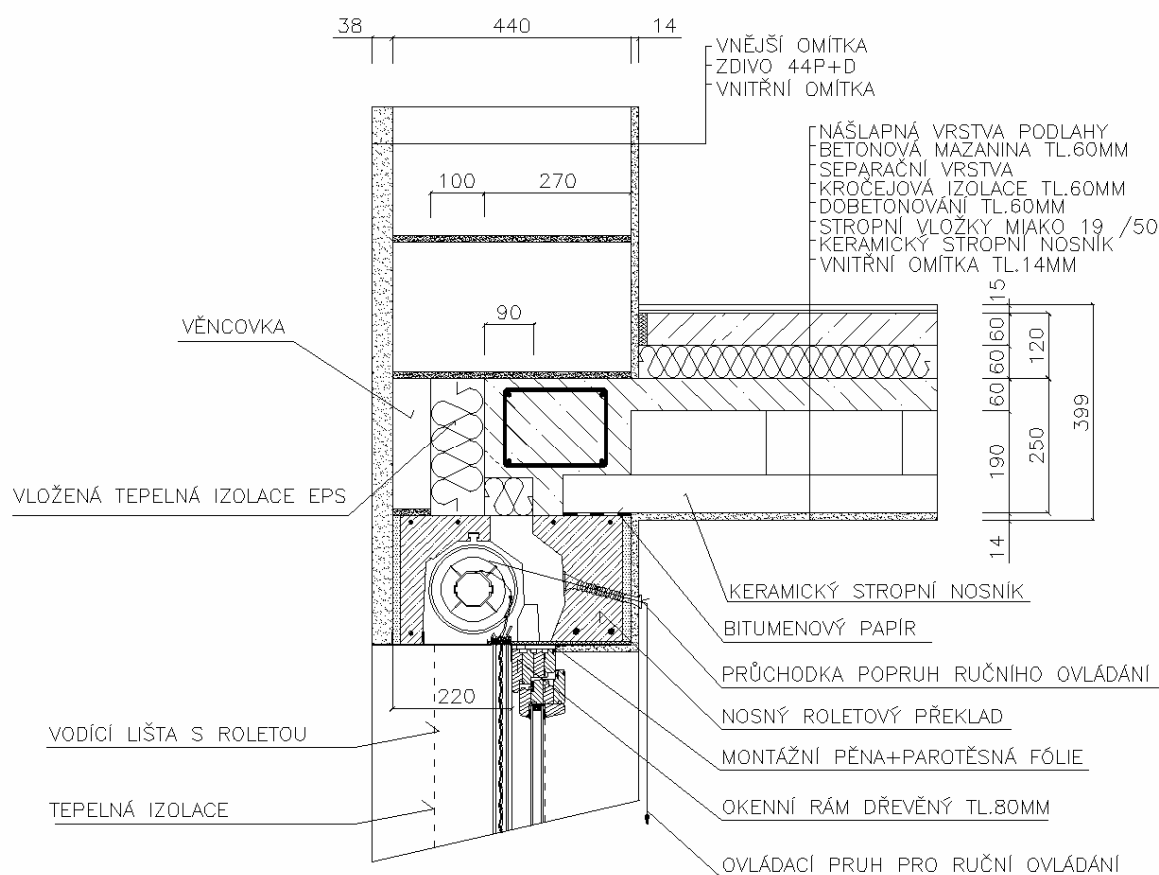
55 Detail nadpraží okna s roletovým truhlíkem 220 mm STI 400 mm						
lineární činitel prostupu tepla - interiér dole z interiérových rozměrů ψ_i^{Di} W/(m.K)	lineární činitel prostupu tepla - interiér nahoře z interiérových rozměrů ψ_i^{Hi} W/(m.K)	lineární činitel prostupu tepla - exteriér ψ_e W/(m.K)	lineární činitel prostupu tepla - dole z exteriérových rozměrů ψ_i^{De} W/(m.K)	lineární činitel prostupu tepla - nahore z exteriérových rozměrů ψ_i^{He} W/(m.K)	teplotní faktor dole f_{Rsi}^D -	teplotní faktor nahore f_{Rsi}^H -
0,028	0,291	0,213	0,019	0,194	0,9253	0,8453



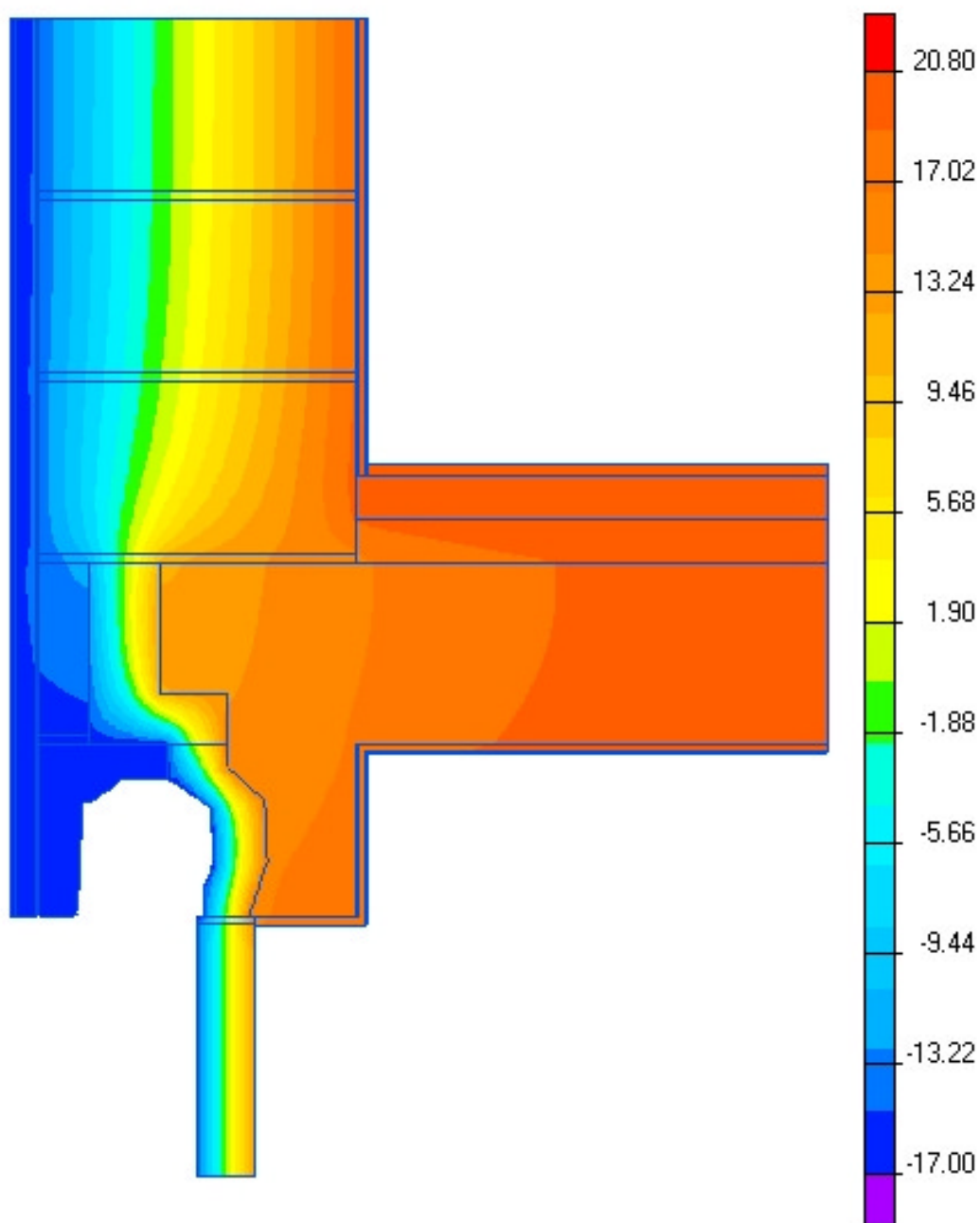


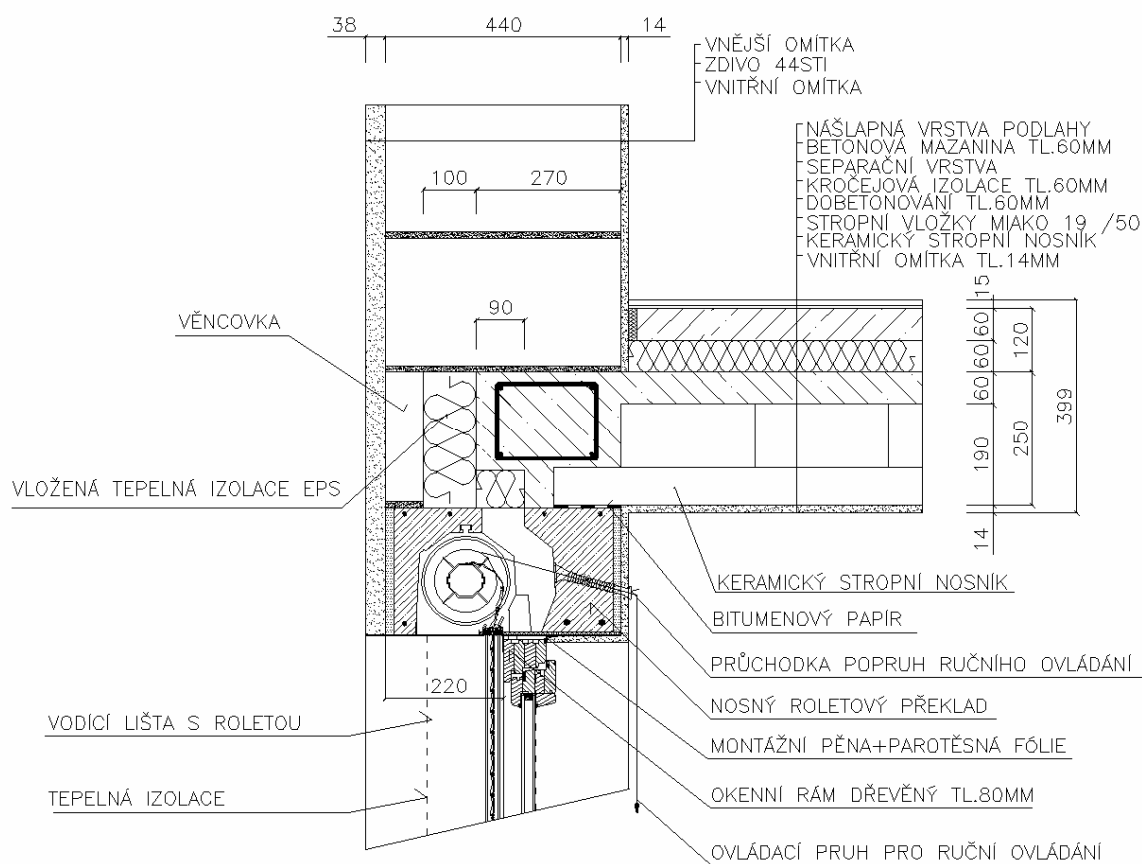
56 Detail nadpraží okna s roletovým truhlíkem 220 mm P + D 440 mm						
lineární činitel prostupu tepla - interiér dole z interiérových rozměrů ψ_i^{Di} W/(m.K)	lineární činitel prostupu tepla - interiér nahoře z interiérových rozměrů ψ_i^{Hi} W/(m.K)	lineární činitel prostupu tepla - exteriér ψ_e W/(m.K)	lineární činitel prostupu tepla - dole z exteriérových rozměrů ψ_i^{De} W/(m.K)	lineární činitel prostupu tepla - nahore z exteriérových rozměrů ψ_i^{He} W/(m.K)	teplotní faktor dole f_{Rsi}^D -	teplotní faktor nahore f_{Rsi}^H -
0,024	0,274	0,177	0,014	0,163	0,9108	0,8442



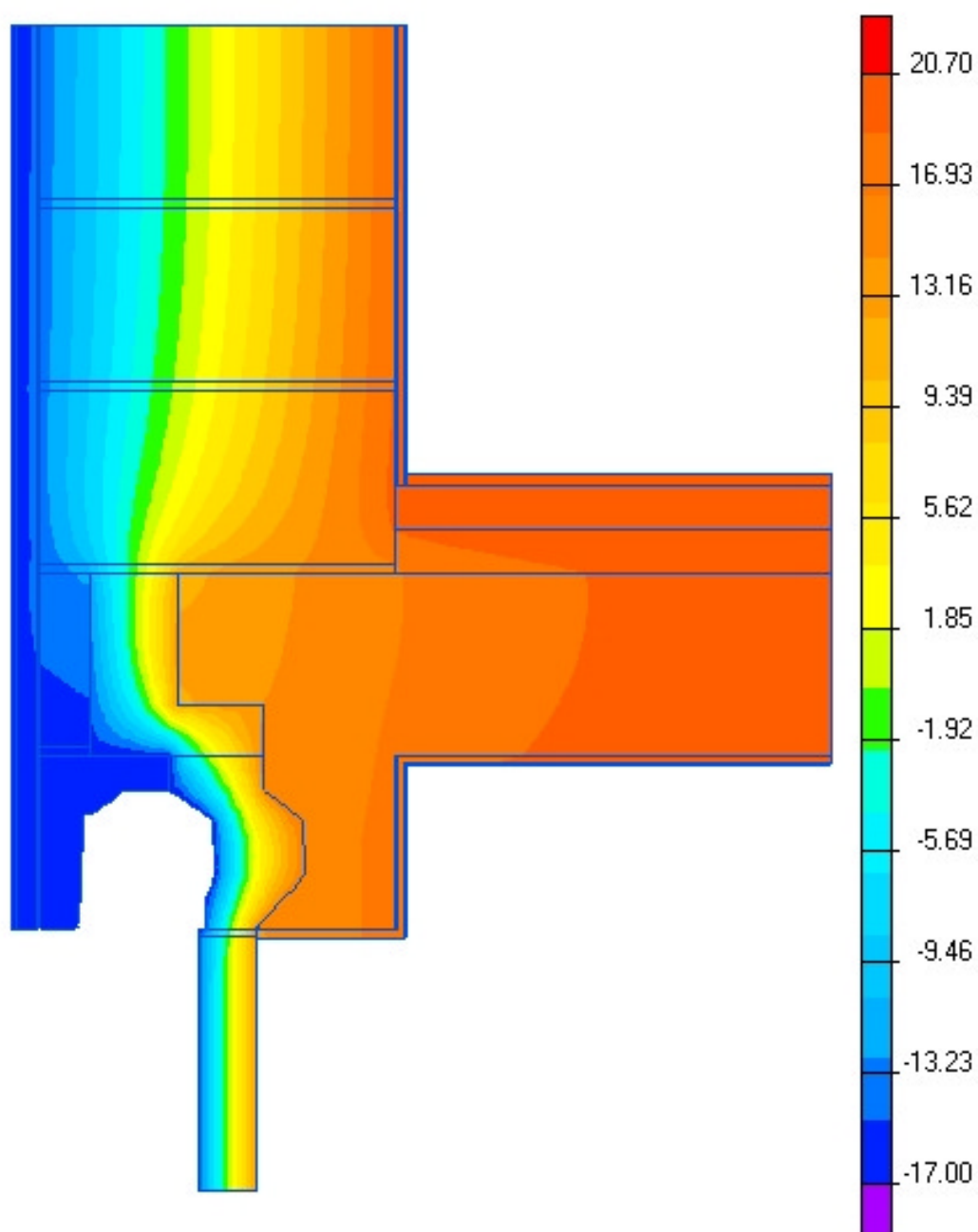


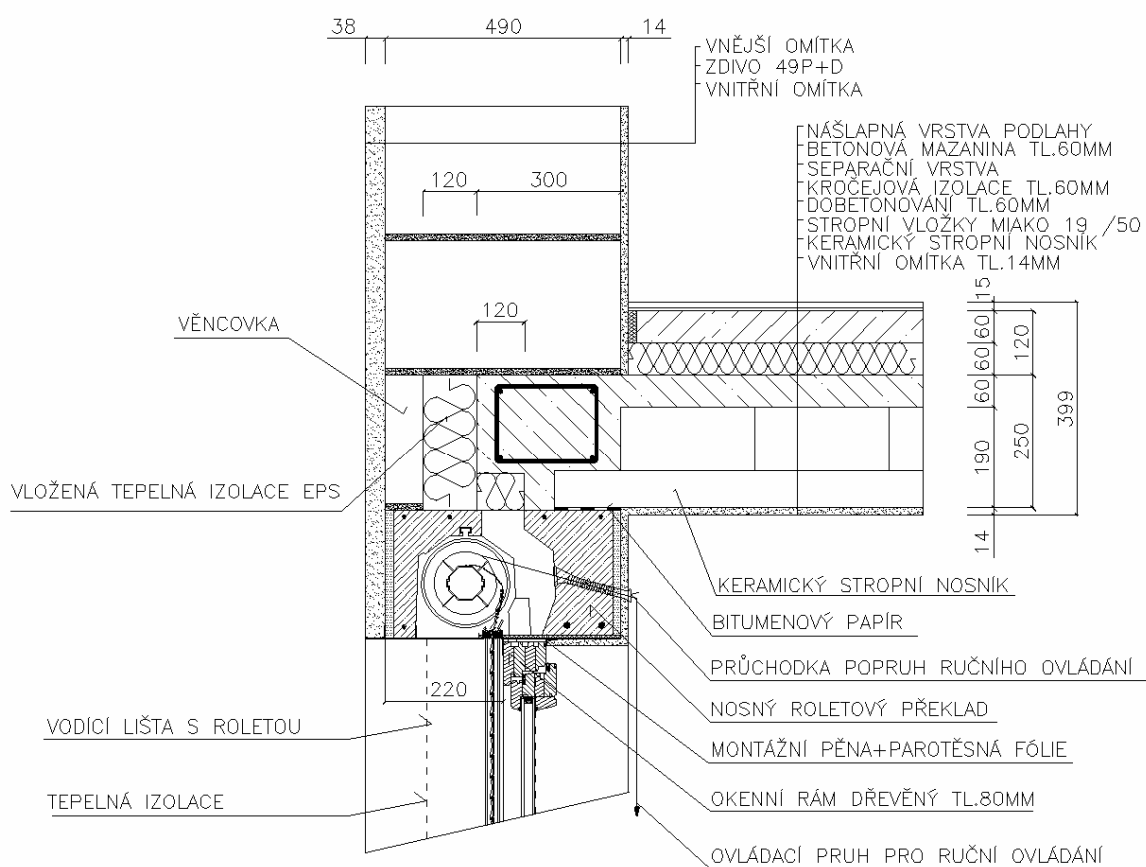
57 Detail nadpraží okna s roletovým truhlíkem 220 mm STI 440 mm						
lineární činitel prostupu tepla - interiér dole z interiérových rozměrů ψ_i^{Di} W/(m.K)	lineární činitel prostupu tepla - interiér nahoře z interiérových rozměrů ψ_i^{Hi} W/(m.K)	lineární činitel prostupu tepla - exteriér ψ_e W/(m.K)	lineární činitel prostupu tepla - dole z exteriérových rozměrů ψ_i^{De} W/(m.K)	lineární činitel prostupu tepla - nahore z exteriérových rozměrů ψ_i^{He} W/(m.K)	teplotní faktor dole f_{Rsi}^D -	teplotní faktor nahore f_{Rsi}^H -
0,023	0,279	0,203	0,016	0,187	0,9253	0,8453



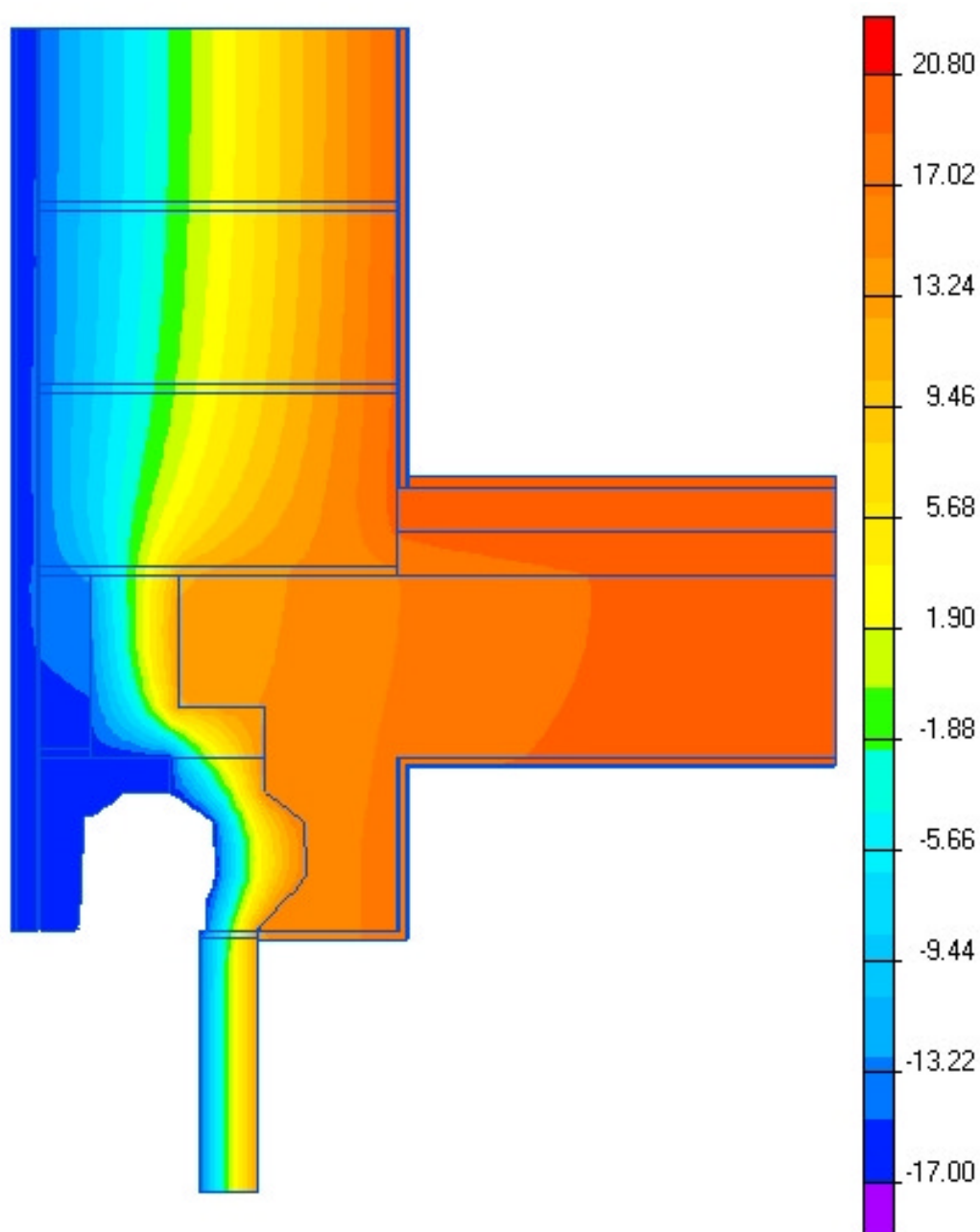


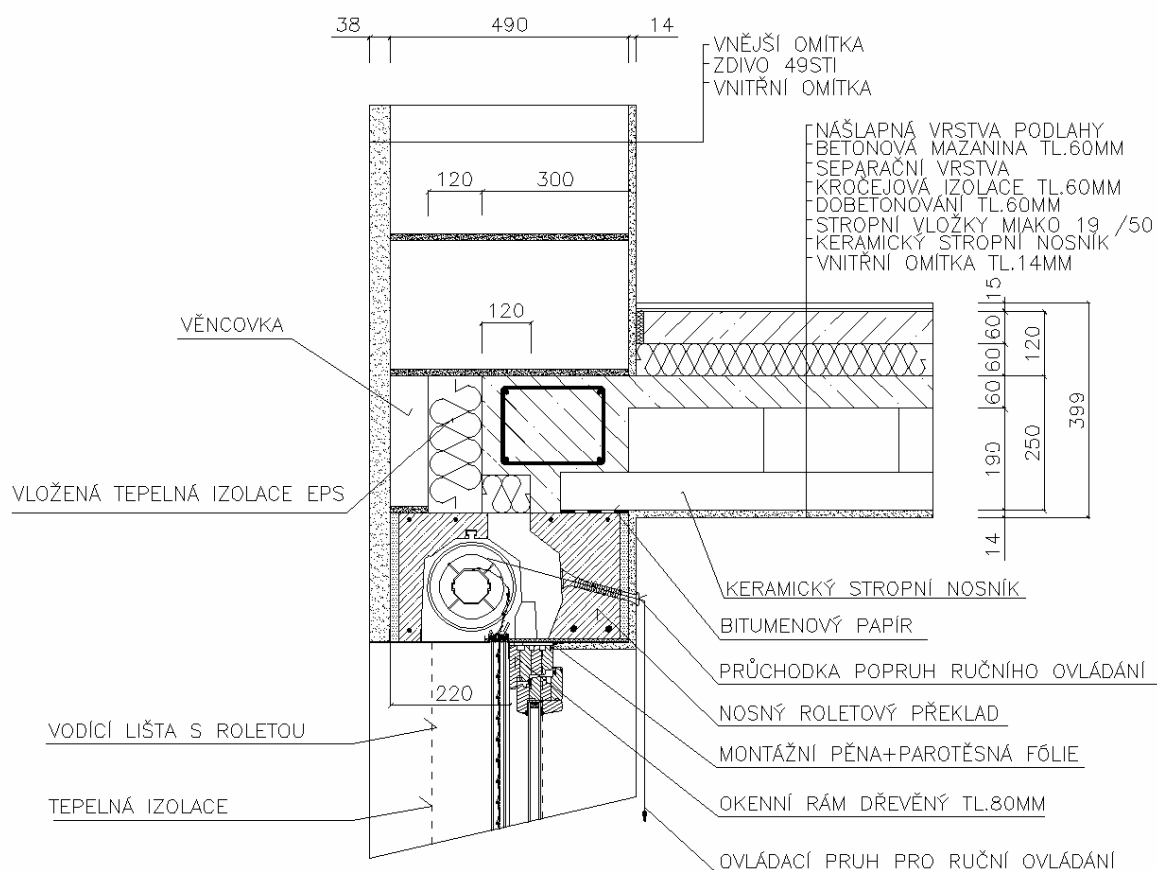
58 Detail nadpraží okna s roletovým truhlíkem 220 mm P + D 490 mm						
lineární činitel prostupu tepla - interiér dole z interiérových rozměrů ψ_i^{Di} W/(m.K)	lineární činitel prostupu tepla - interiér nahoře z interiérových rozměrů ψ_i^{Hi} W/(m.K)	lineární činitel prostupu tepla - exteriér ψ_e W/(m.K)	lineární činitel prostupu tepla - dole z exteriérových rozměrů ψ_i^{De} W/(m.K)	lineární činitel prostupu tepla - nahore z exteriérových rozměrů ψ_i^{He} W/(m.K)	teplotní faktor dole f_{Rsi}^D -	teplotní faktor nahore f_{Rsi}^H -
0,020	0,228	0,140	0,011	0,129	0,9197	0,8484





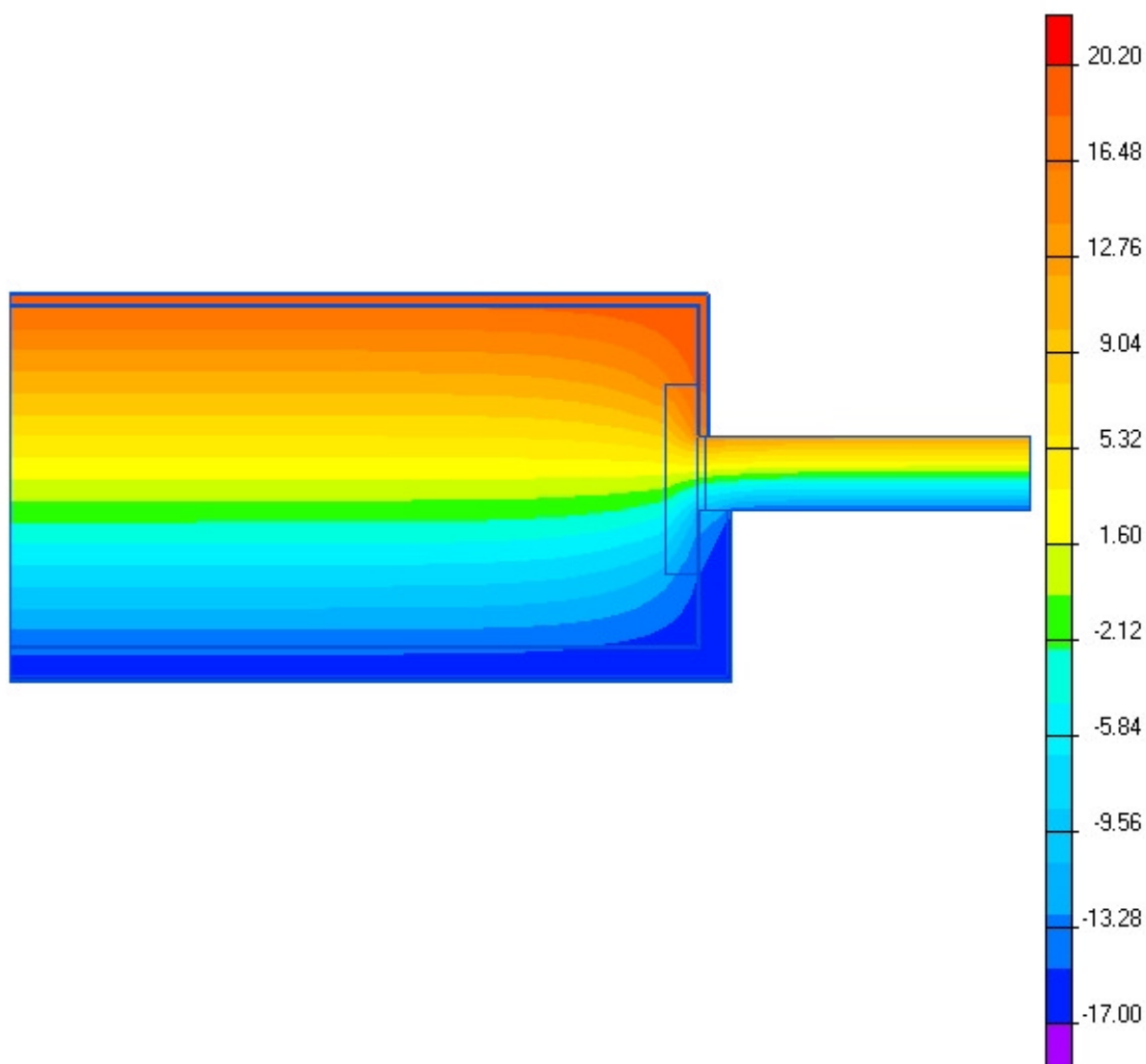
59 Detail nadpraží okna s roletovým truhlíkem 220 mm STI 490 mm						
lineární činitel prostupu tepla - interiér dole z interiérových rozměrů ψ_i^{Di} W/(m.K)	lineární činitel prostupu tepla - interiér nahoře z interiérových rozměrů ψ_i^{Hi} W/(m.K)	lineární činitel prostupu tepla - exteriér ψ_e W/(m.K)	lineární činitel prostupu tepla - dole z exteriérových rozměrů ψ_i^{De} W/(m.K)	lineární činitel prostupu tepla - nahore z exteriérových rozměrů ψ_i^{He} W/(m.K)	teplotní faktor dole f_{Rsi}^D -	teplotní faktor nahore f_{Rsi}^H -
0,020	0,232	0,164	0,013	0,151	0,9329	0,8492

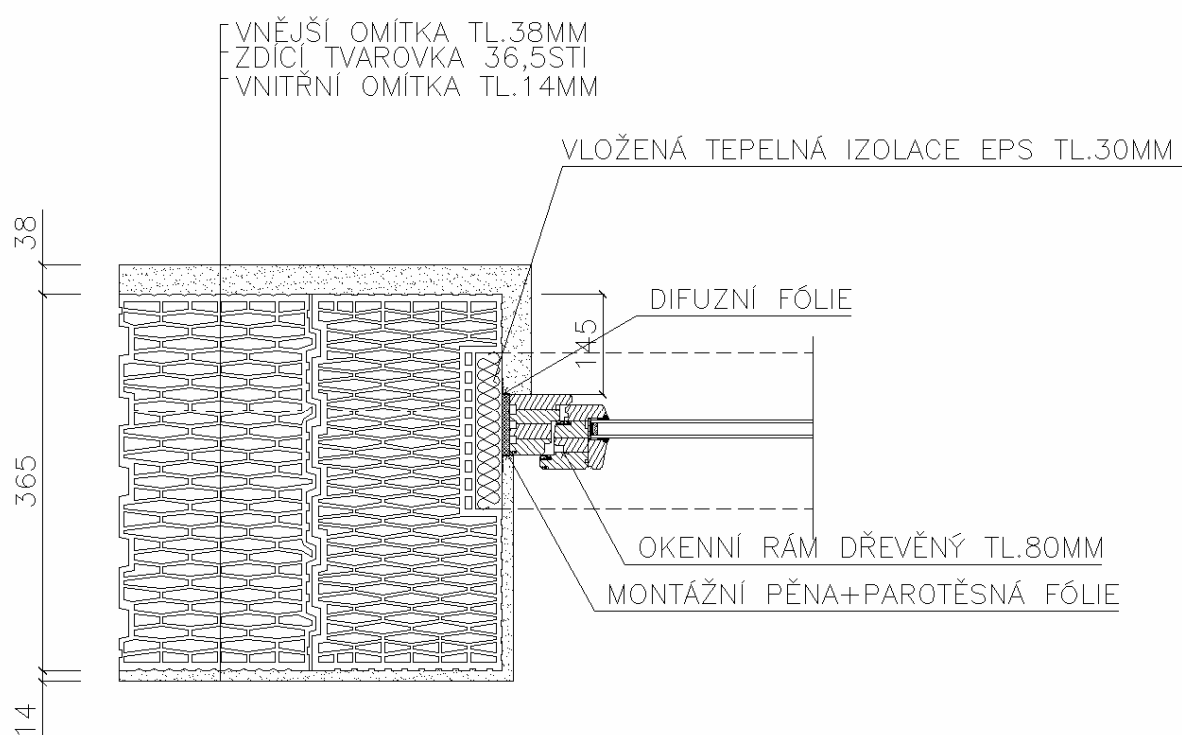




61 Detail ostění okna STI 365 mm		
lineární činitel prostupu tepla - interiér ψ_i W/(m.K)	lineární činitel prostupu tepla - exteriér ψ_e W/(m.K)	teplotní faktor f_{Rsi} -
0,080	0,079	0,8258

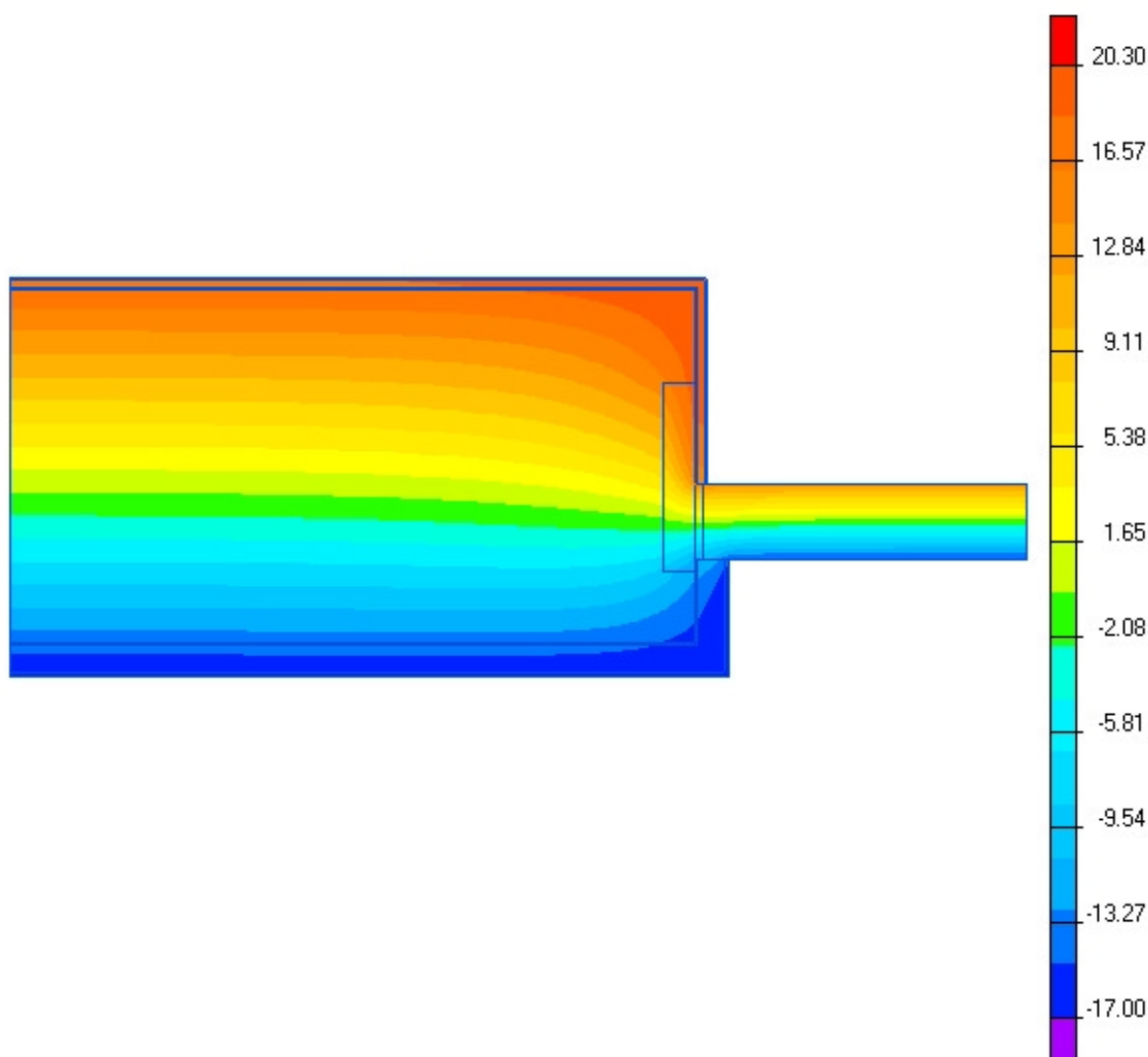
Termogram je proveden ze zrcadlově obráceného detailu.

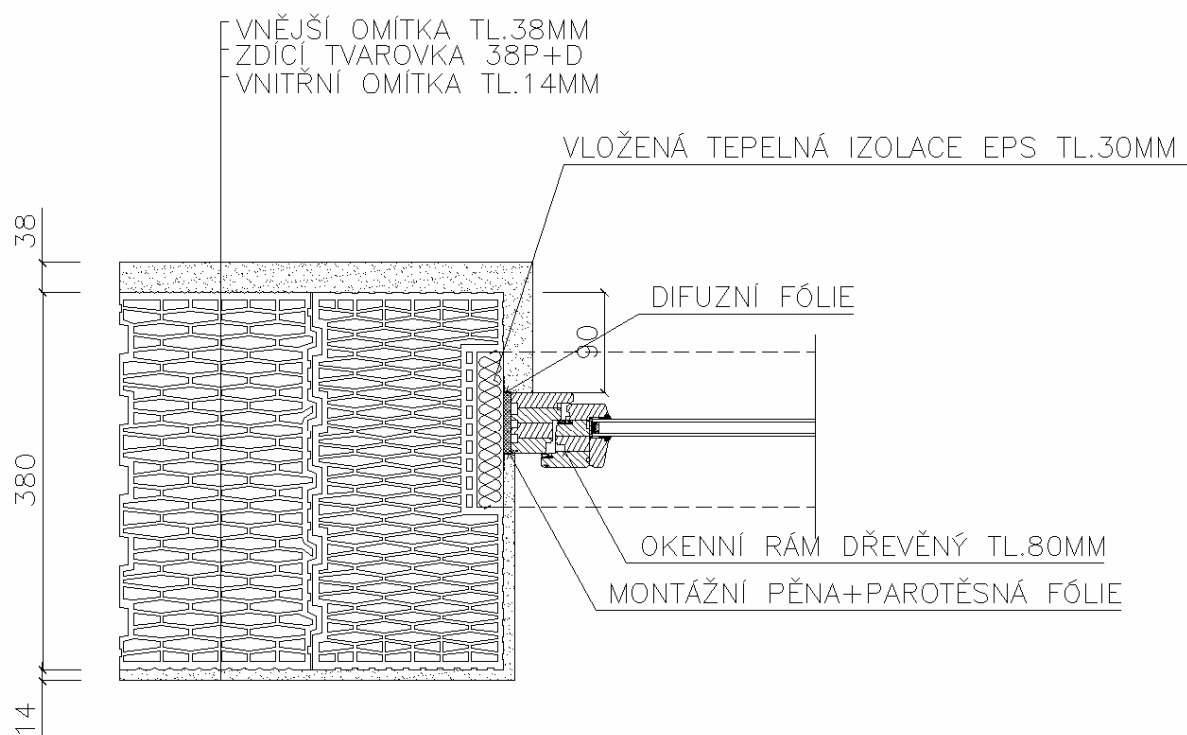




62 Detail ostění okna P + D 380 mm		
lineární činitel prostupu tepla - interiér ψ_i W/(m.K)	lineární činitel prostupu tepla - exteriér ψ_e W/(m.K)	teplotní faktor f_{Rsi} -
0,083	0,083	0,8118

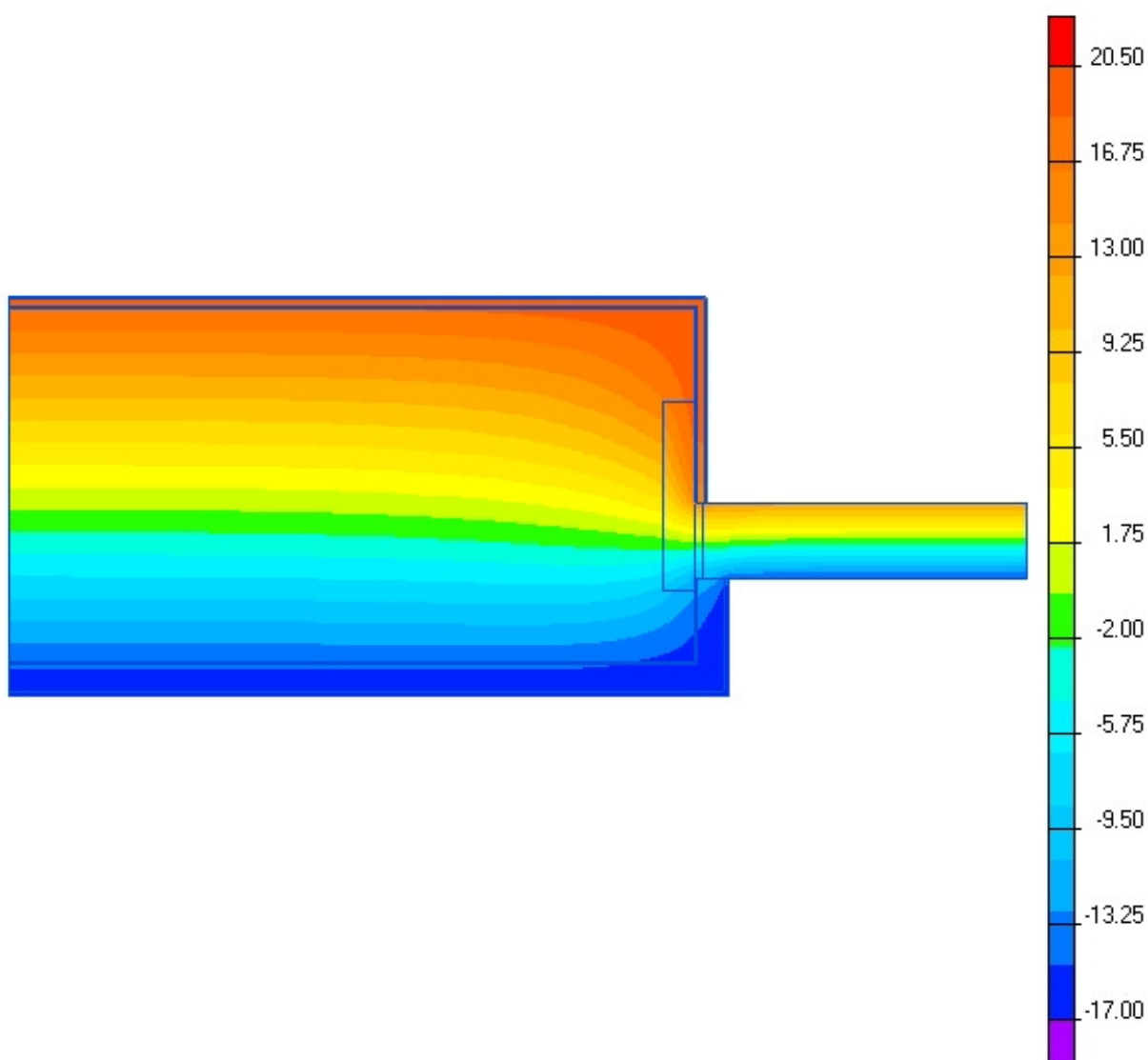
Termogram je proveden ze zrcadlově obráceného detailu.

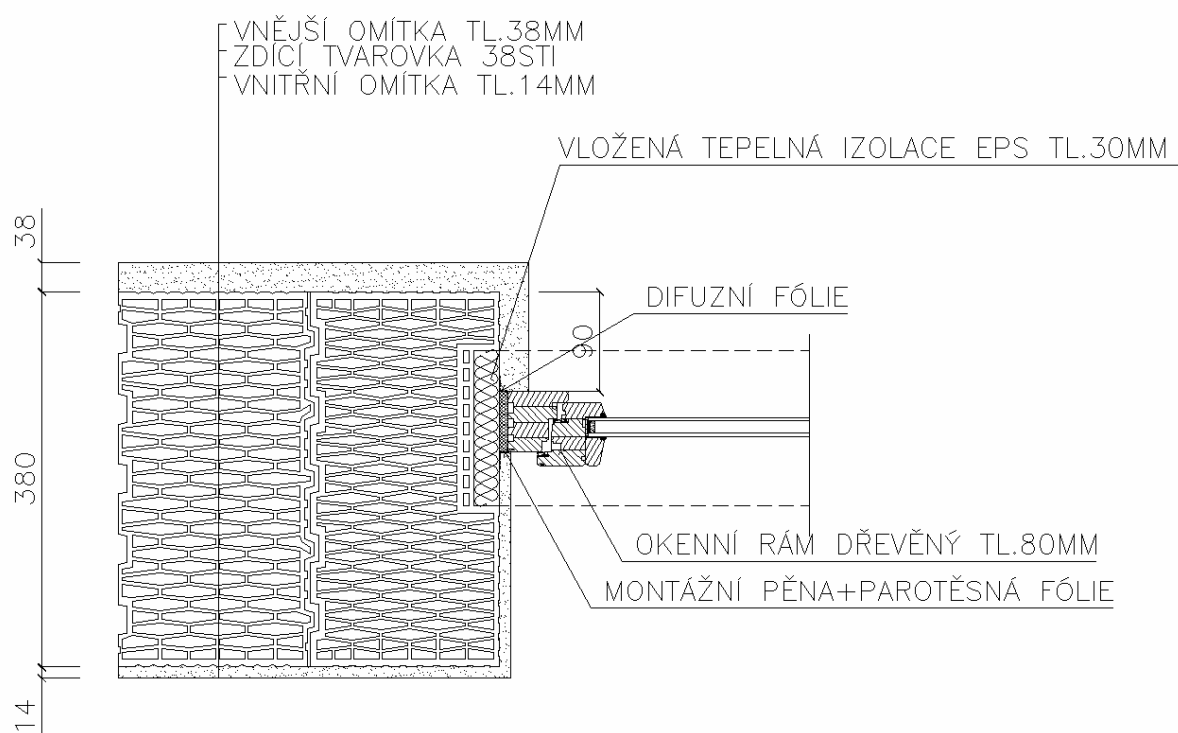




63 Detail ostění okna STI 380 mm		
lineární činitel prostupu tepla - interiér ψ_i W/(m.K)	lineární činitel prostupu tepla - exteriér ψ_e W/(m.K)	teplotní faktor f_{Rsi} -
0,083	0,083	0,8150

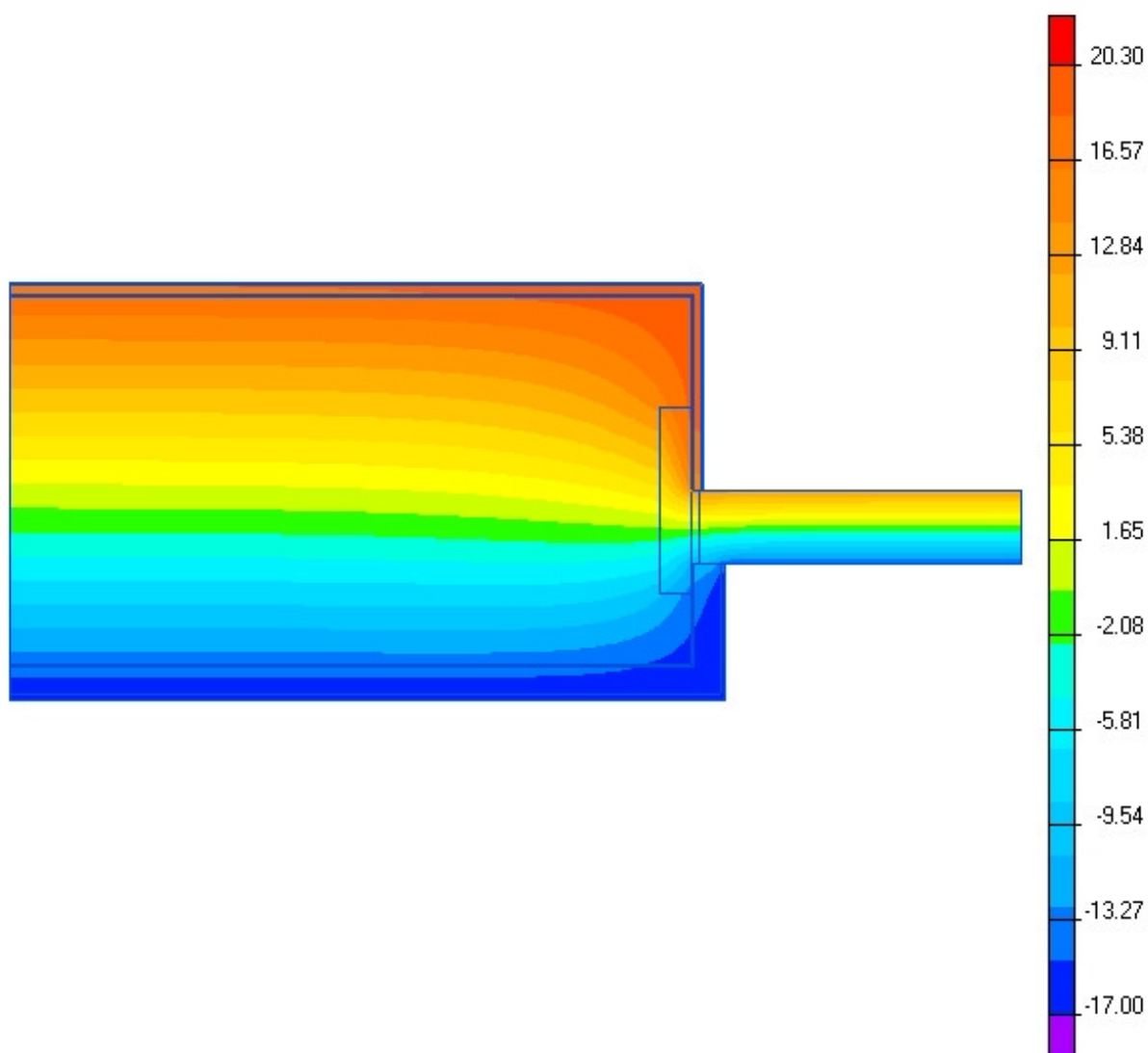
Termogram je proveden ze zrcadlově obráceného detailu.

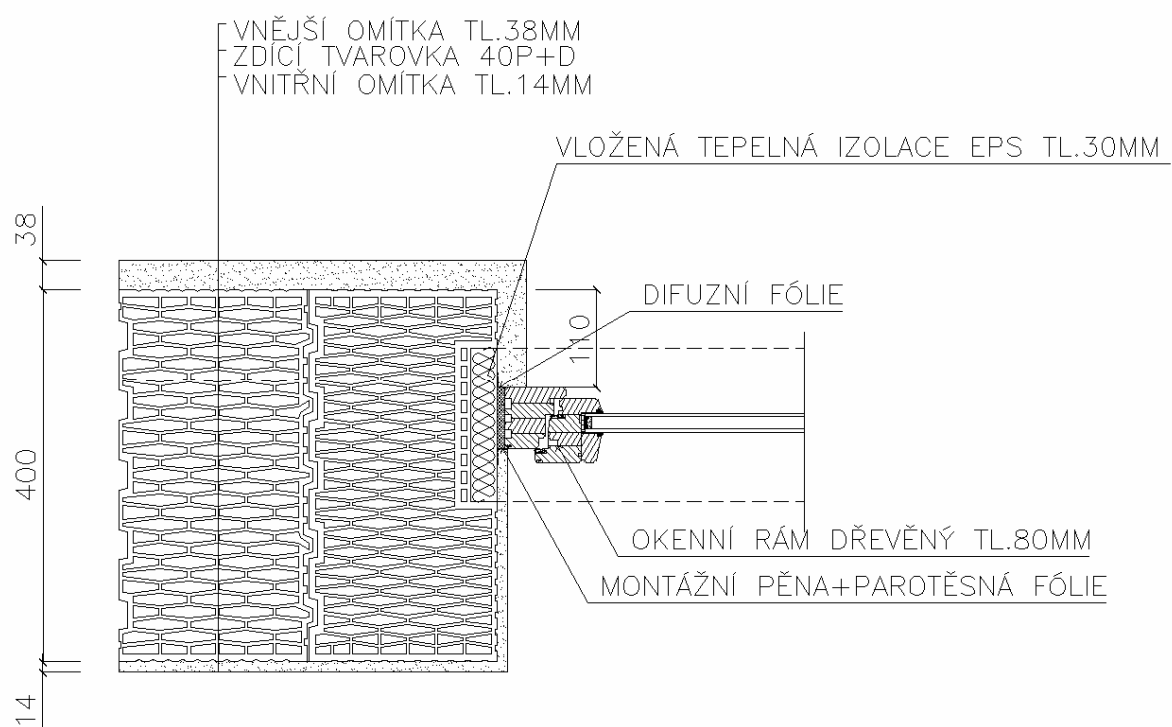




64 Detail ostění okna P + D 400 mm		
lineární činitel prostupu tepla - interiér ψ_i W/(m.K)	lineární činitel prostupu tepla - exteriér ψ_e W/(m.K)	teplotní faktor f_{Rsi} -
0,083	0,083	0,8142

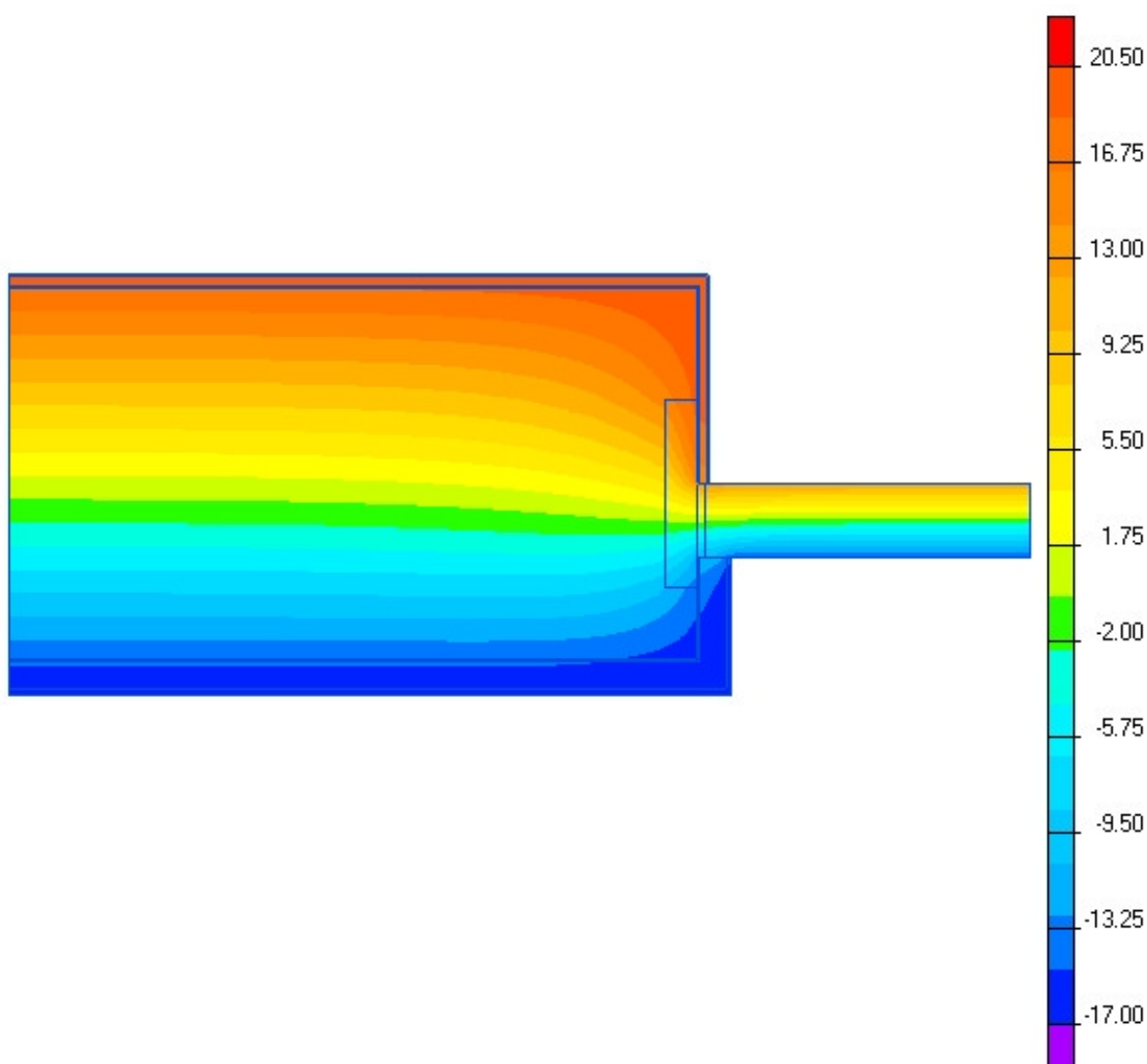
Termogram je proveden ze zrcadlově obráceného detailu.

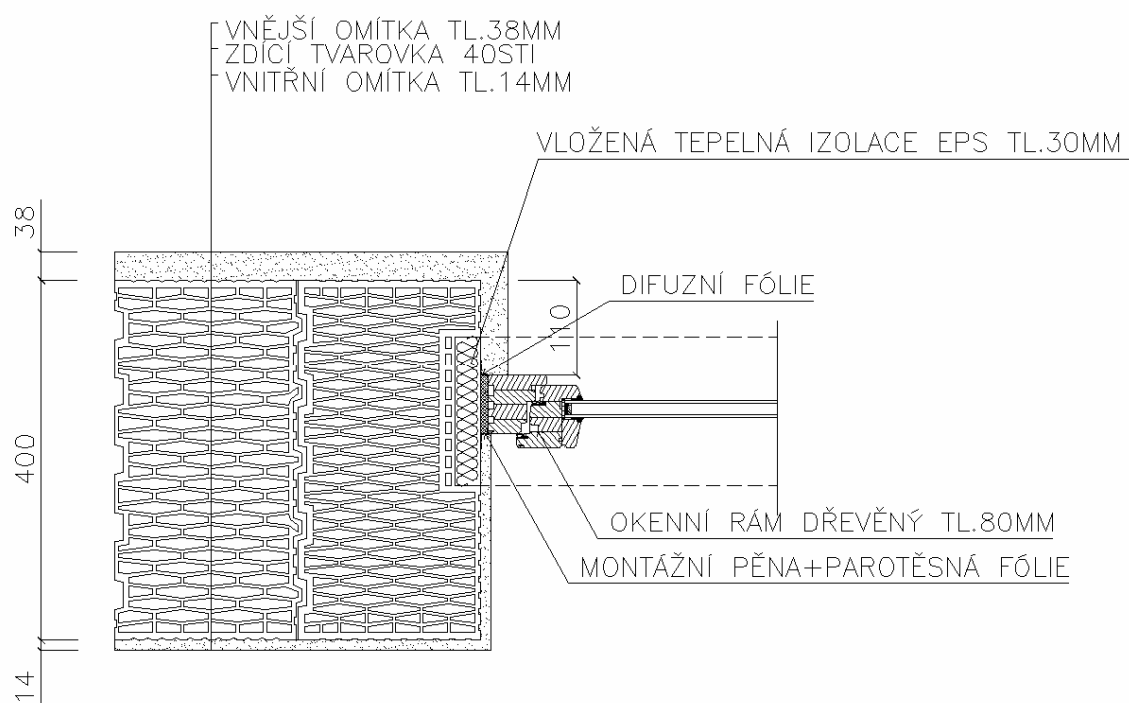




65 Detail ostění okna STI 400 mm		
lineární činitel prostupu tepla - interiér ψ_i W/(m.K)	lineární činitel prostupu tepla - exteriér ψ_e W/(m.K)	teplotní faktor f_{Rsi} -
0,084	0,083	0,8203

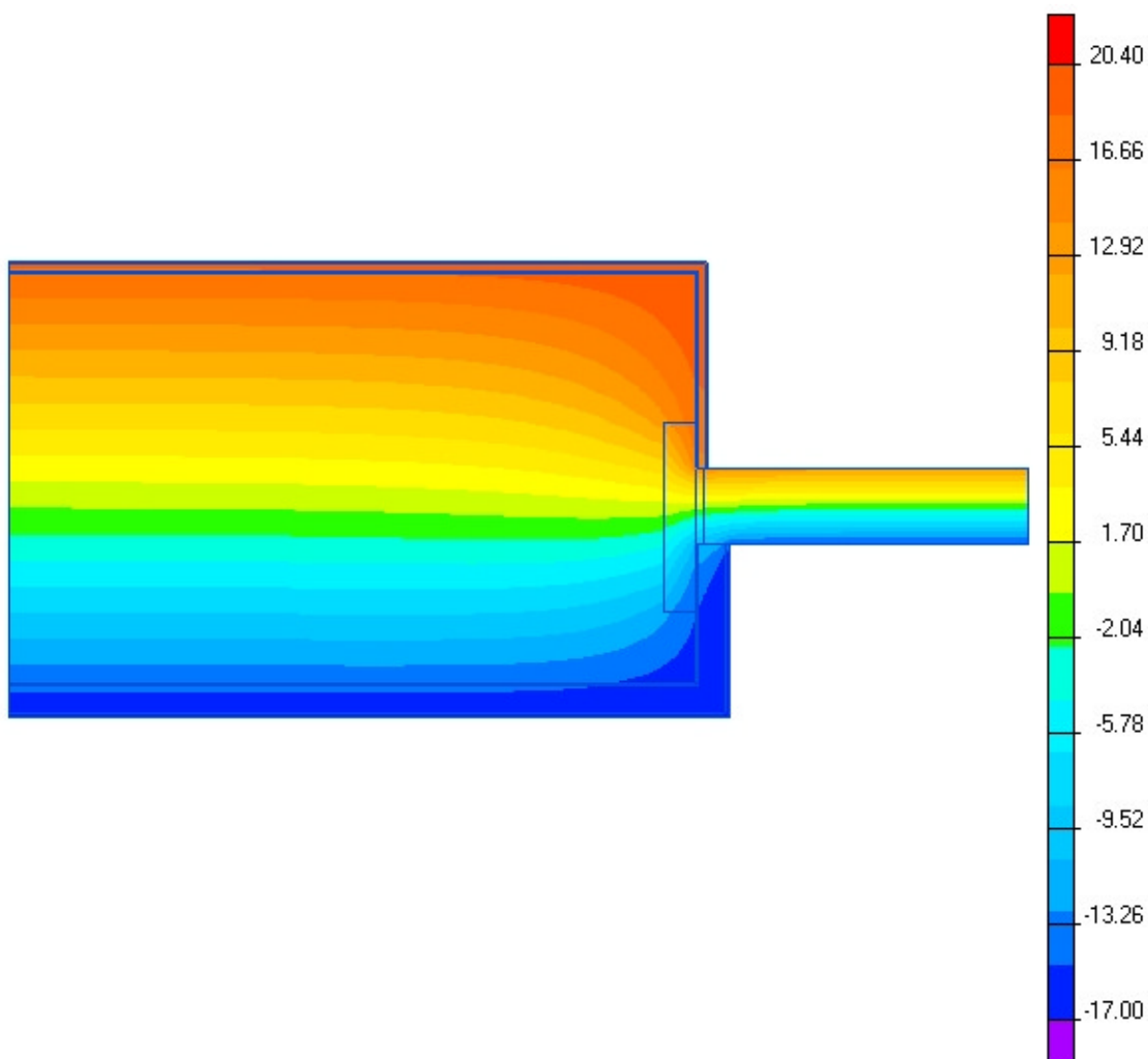
Termogram je proveden ze zrcadlově obráceného detailu.

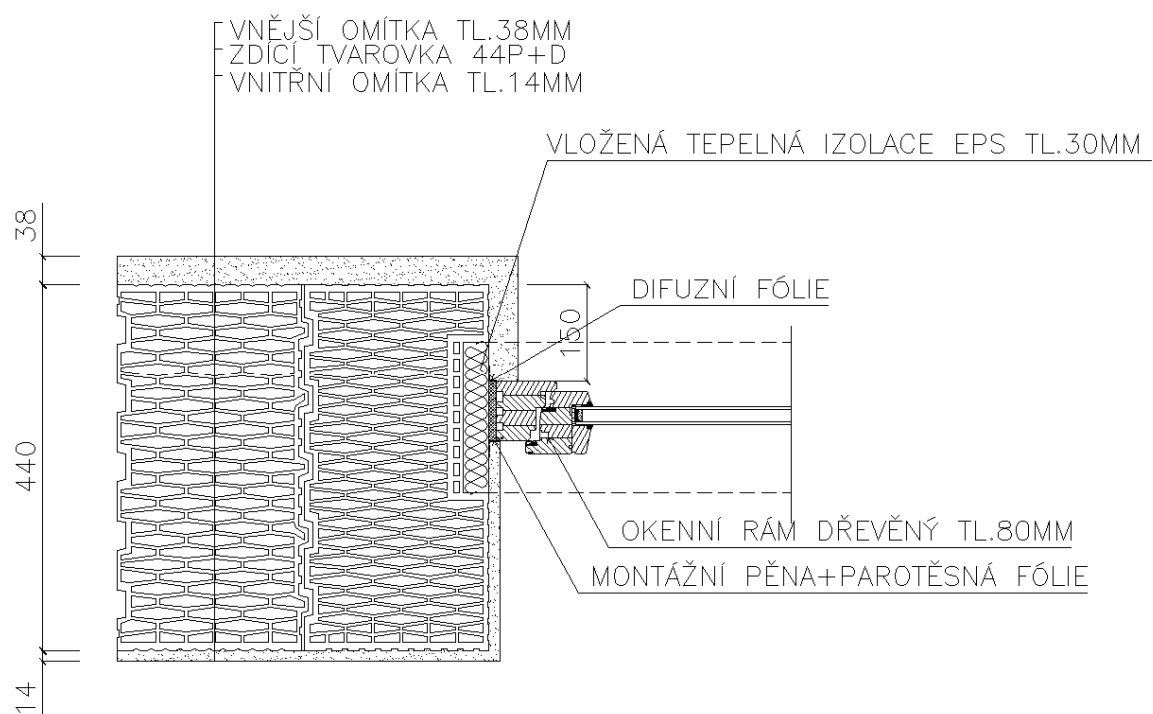




66 Detail ostění okna P + D 440 mm		
lineární činitel prostupu tepla - interiér ψ_i W/(m.K)	lineární činitel prostupu tepla - exteriér ψ_e W/(m.K)	teplotní faktor f_{Rsi} -
0,086	0,085	0,8168

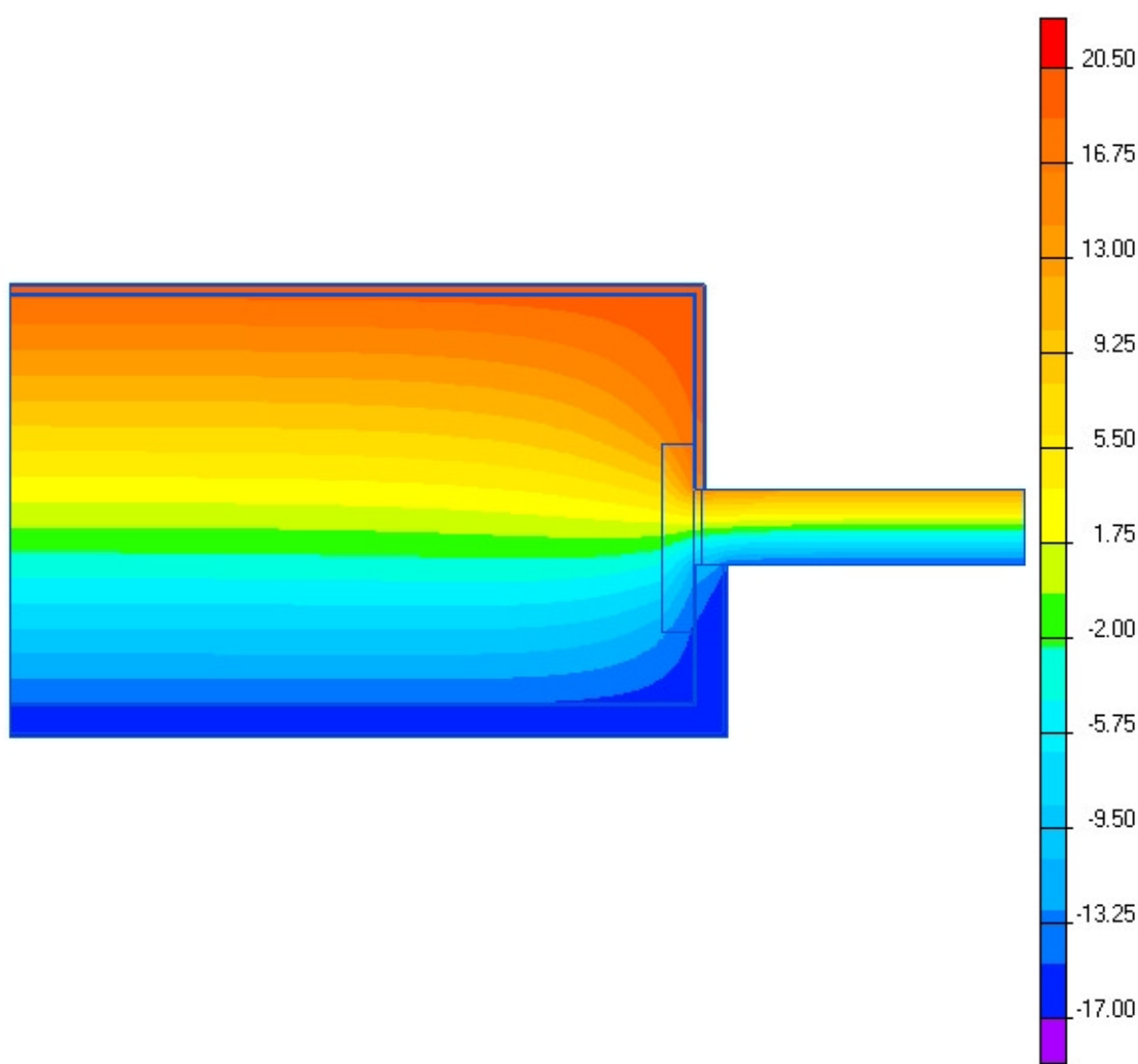
Termogram je proveden ze zrcadlově obráceného detailu.

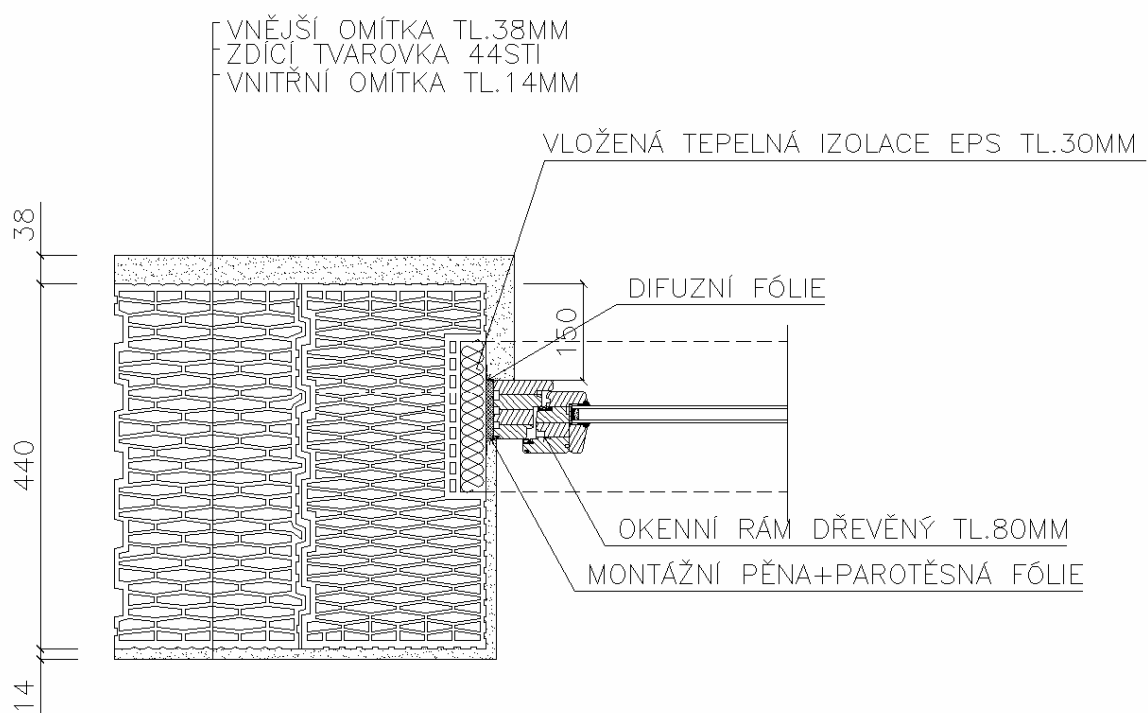




67 Detail ostění okna STI 440 mm		
lineární činitel prostupu tepla - interiér ψ_i W/(m.K)	lineární činitel prostupu tepla - exteriér ψ_e W/(m.K)	teplotní faktor f_{Rsi} -
0,085	0,059	0,8203

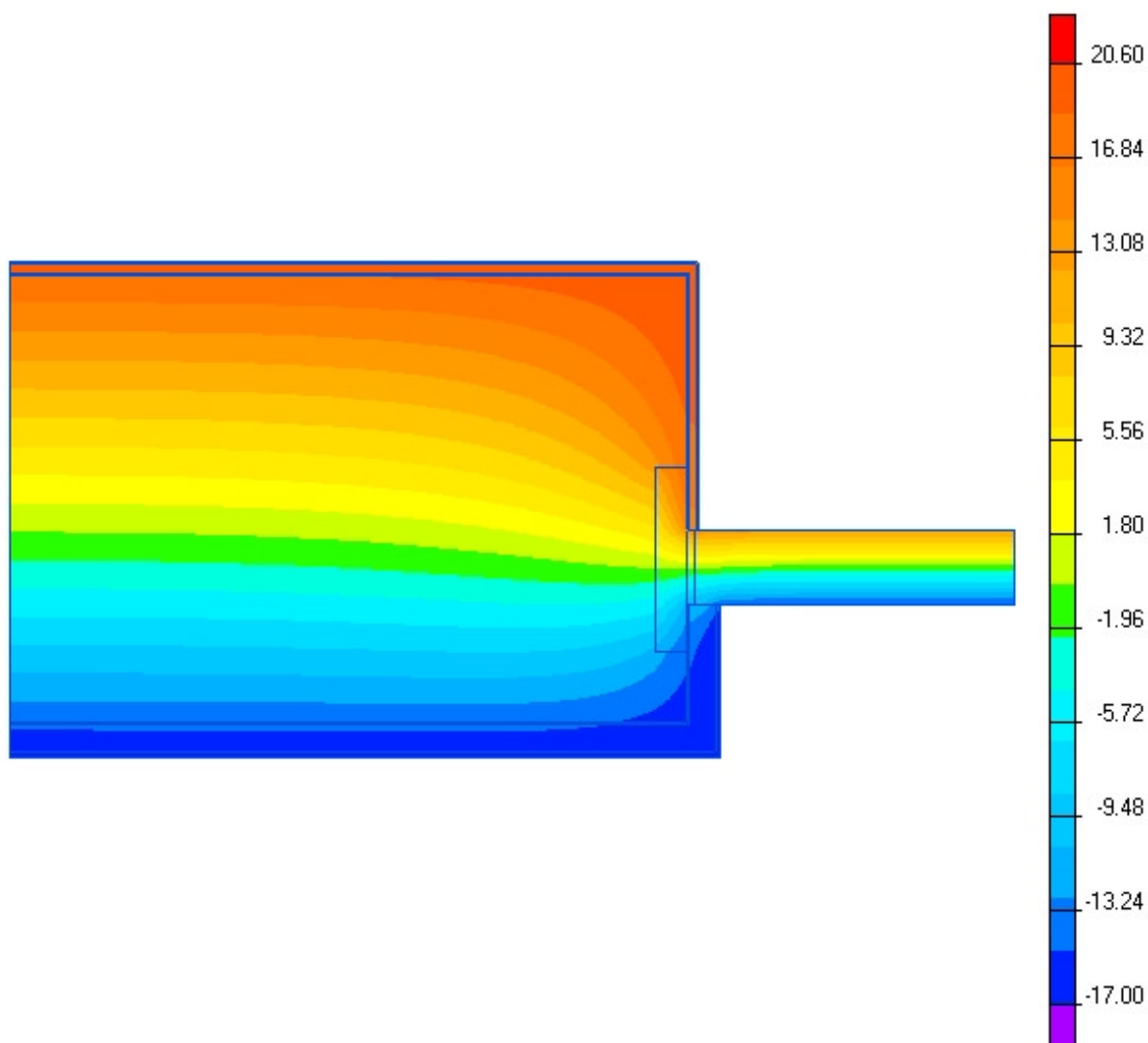
Termogram je proveden ze zrcadlově obráceného detailu.

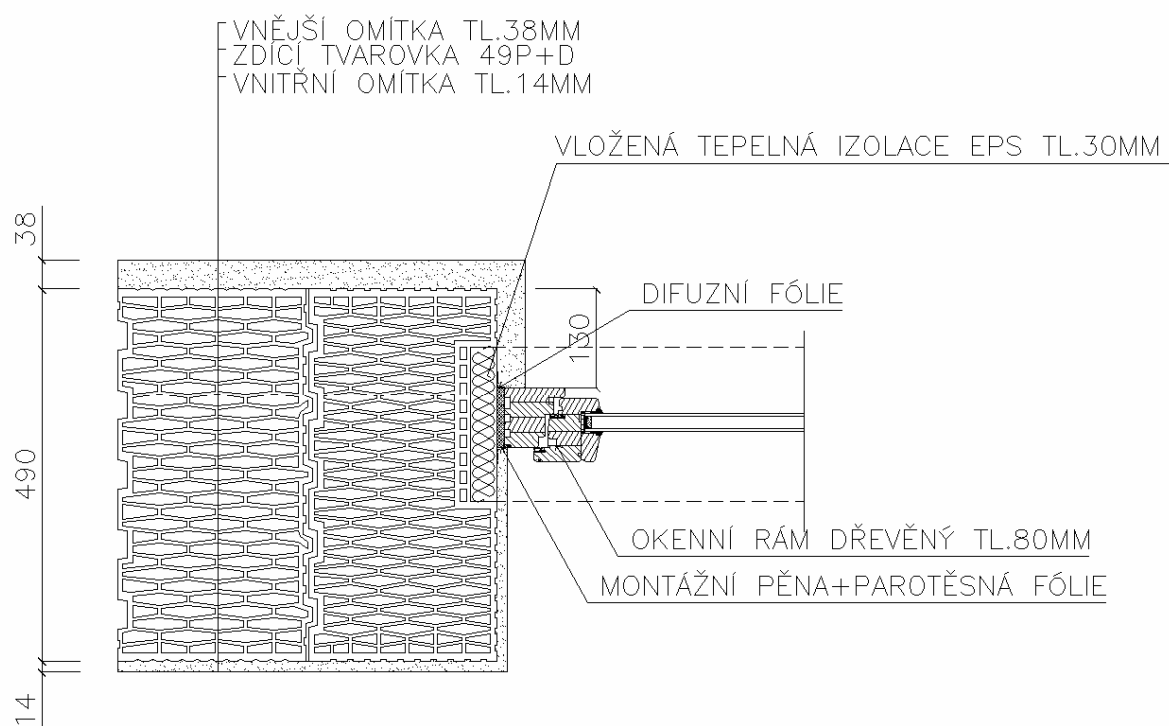




68 Detail ostění okna P + D 490 mm		
lineární činitel prostupu tepla - interiér ψ_i W/(m.K)	lineární činitel prostupu tepla - exteriér ψ_e W/(m.K)	teplotní faktor f_{Rsi} -
0,091	0,091	0,8126

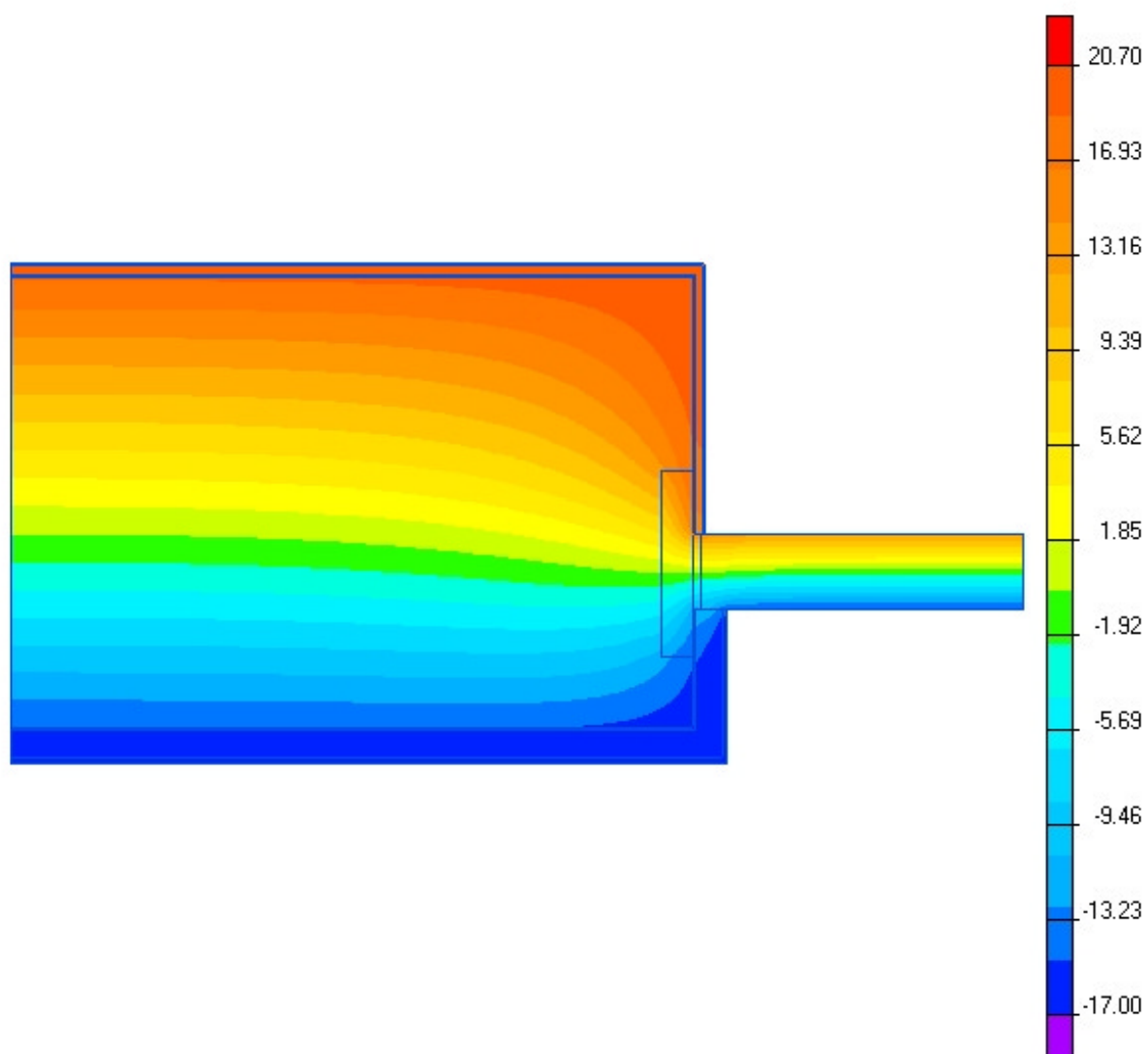
Termogram je proveden ze zrcadlově obráceného detailu.

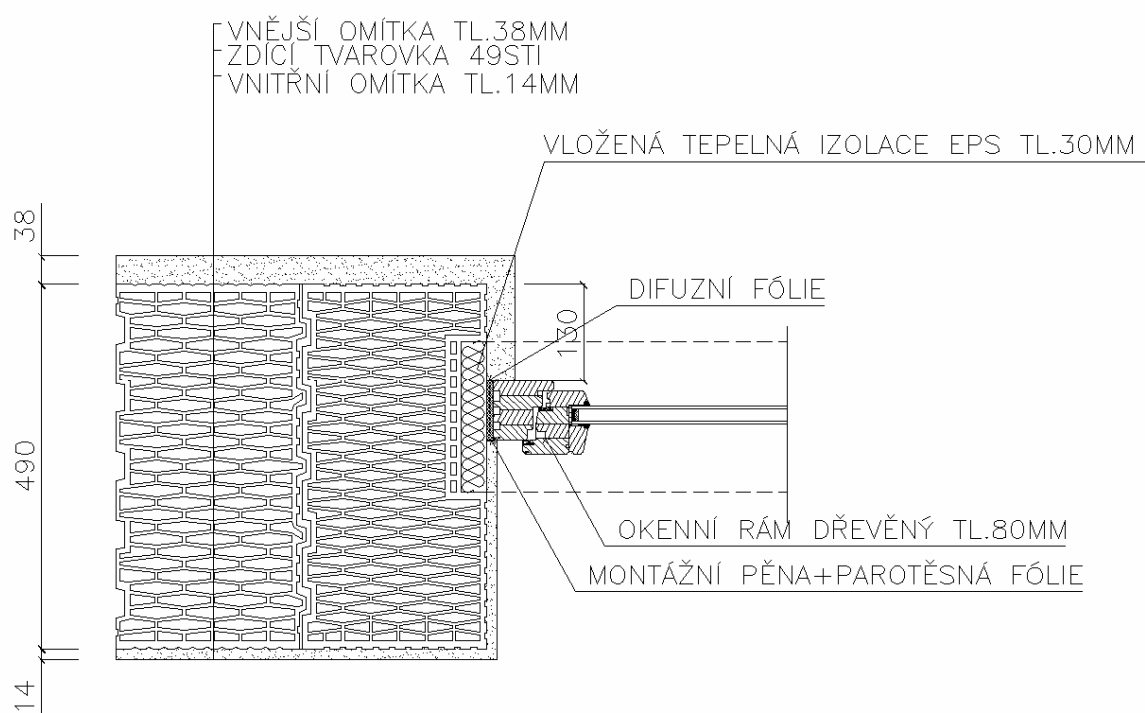




69 Detail ostění okna STI 490 mm		
lineární činitel prostupu tepla - interiér ψ_i W/(m.K)	lineární činitel prostupu tepla - exteriér ψ_e W/(m.K)	teplotní faktor f_{Rsi} -
0,090	0,090	0,8161

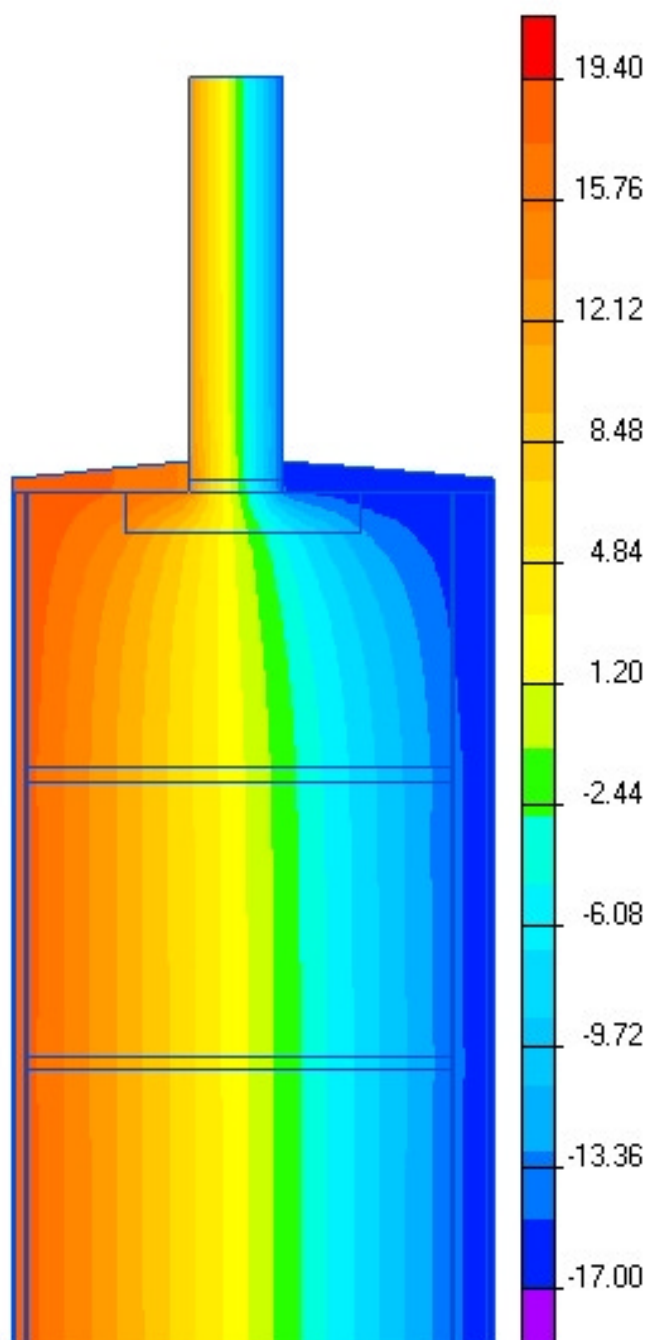
Termogram je proveden ze zrcadlově obráceného detailu.

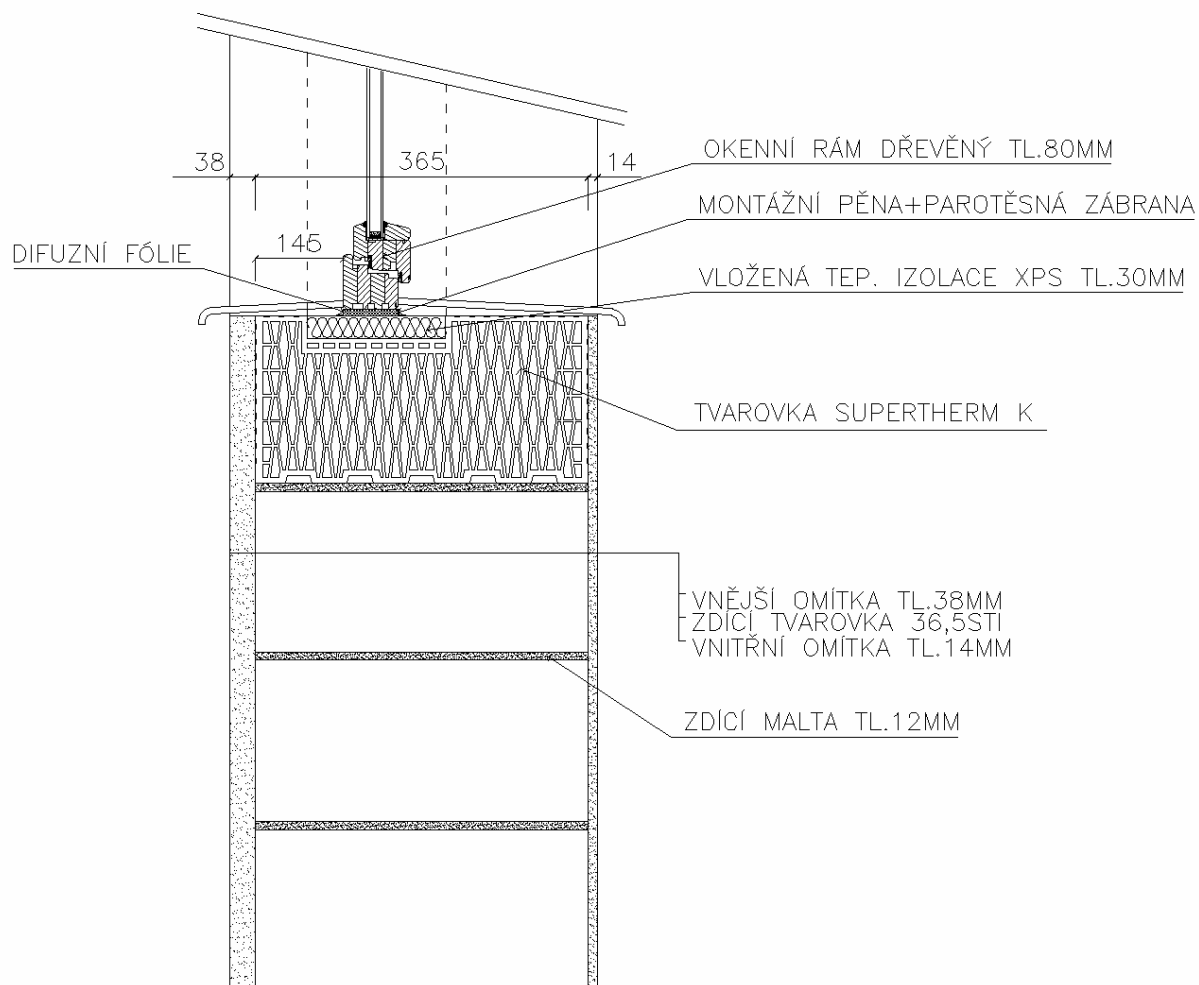




71 Detail parapetu okna STI 365 mm		
lineární činitel prostupu tepla - interiér ψ_i W/(m.K)	lineární činitel prostupu tepla - exteriér ψ_e W/(m.K)	teplotní faktor f_{Rsi} -
0,094	0,093	0,7958

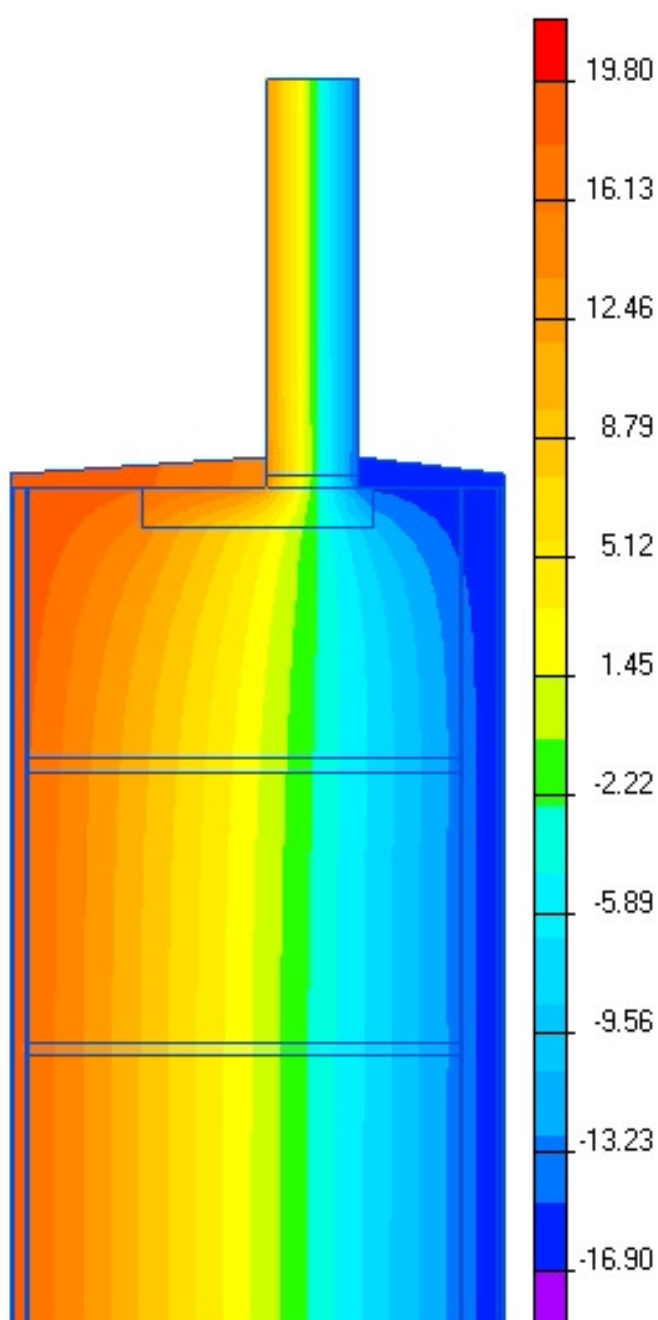
Termogram je proveden ze zrcadlově obráceného detailu.

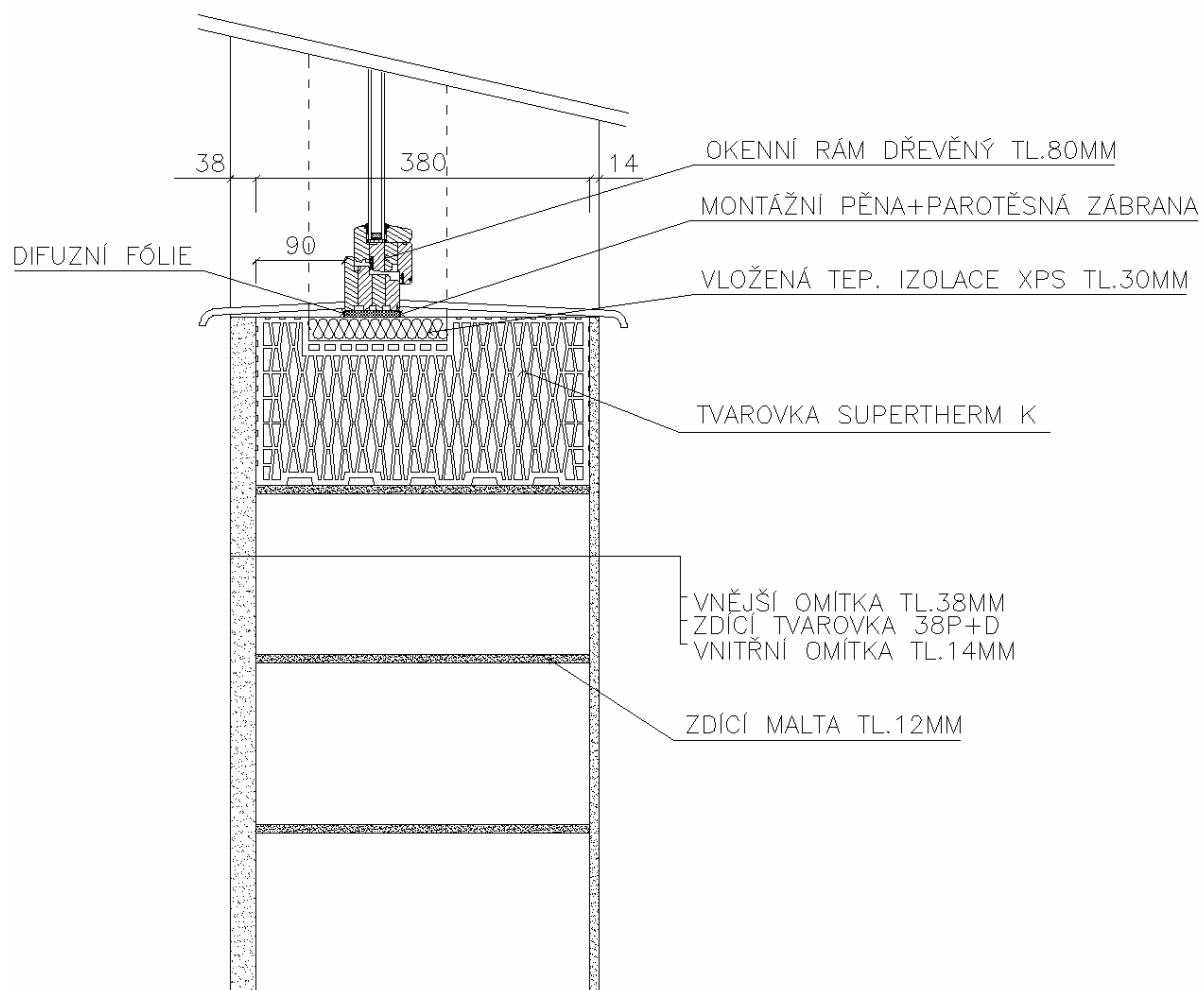




72 Detail parapetu okna P + D 380 mm		
lineární činitel prostupu tepla - interiér ψ_i W/(m.K)	lineární činitel prostupu tepla - exteriér ψ_e W/(m.K)	teplotní faktor f_{Rsi} -
0,094	0,094	0,7808

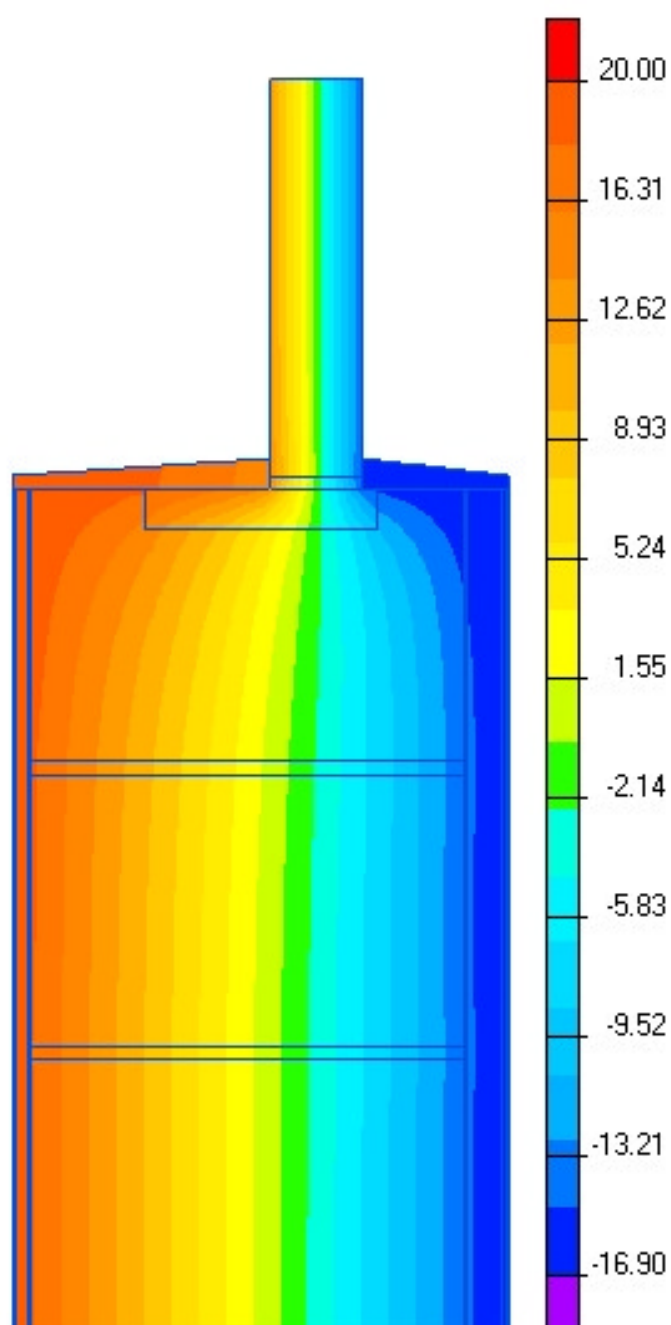
Termogram je proveden ze zrcadlově obráceného detailu.

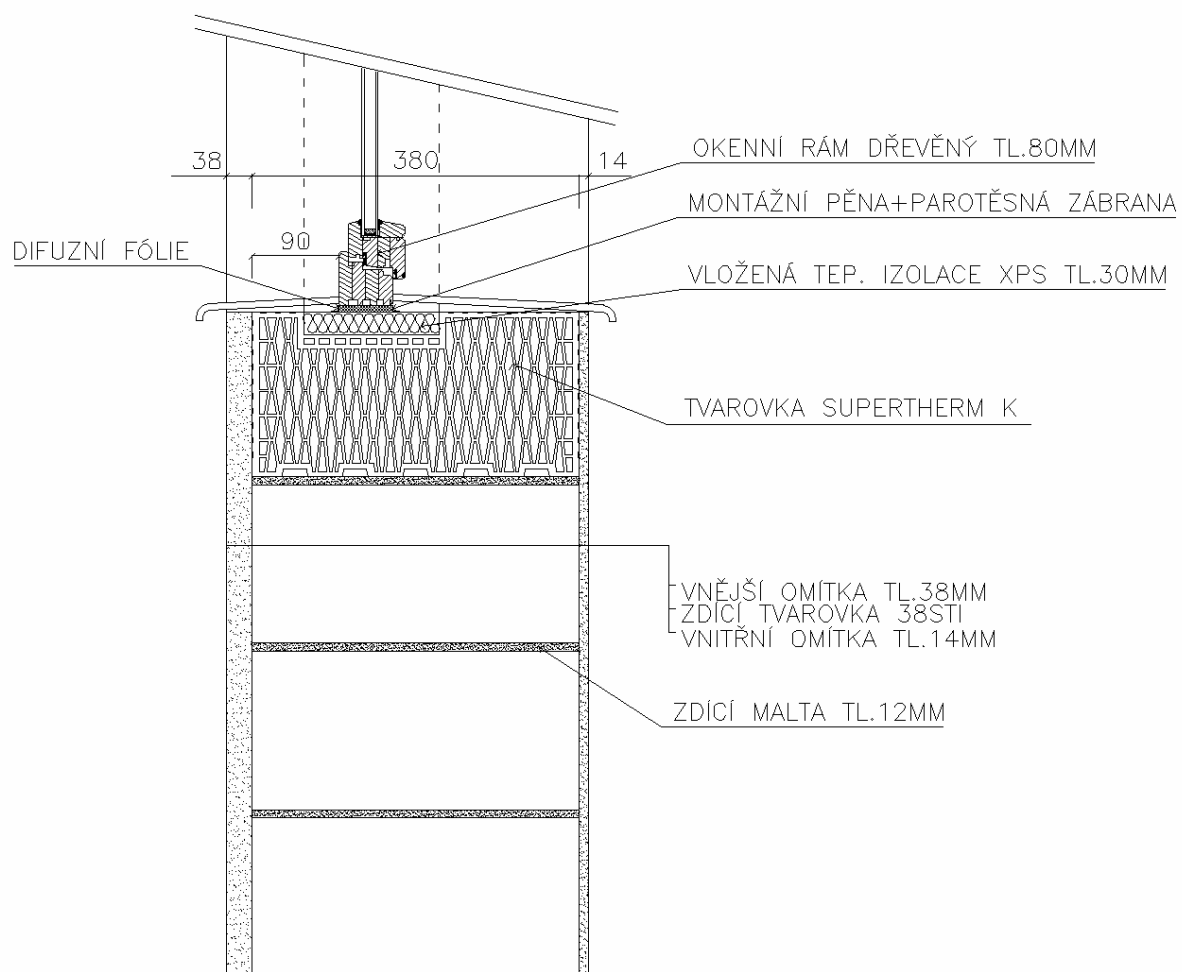




73 Detail parapetu okna STI 380 mm		
lineární činitel prostupu tepla - interiér ψ_i W/(m.K)	lineární činitel prostupu tepla - exteriér ψ_e W/(m.K)	teplotní faktor f_{Rsi} -
0,096	0,095	0,7876

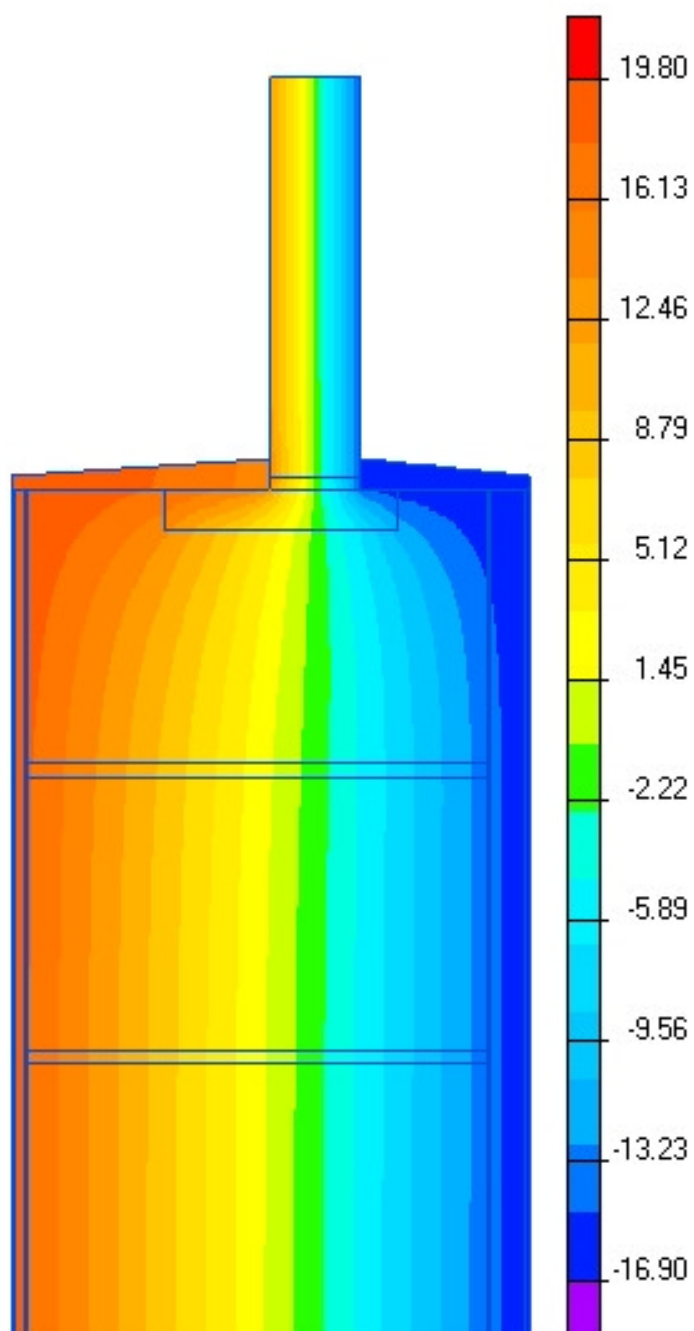
Termogram je proveden ze zrcadlově obráceného detailu.

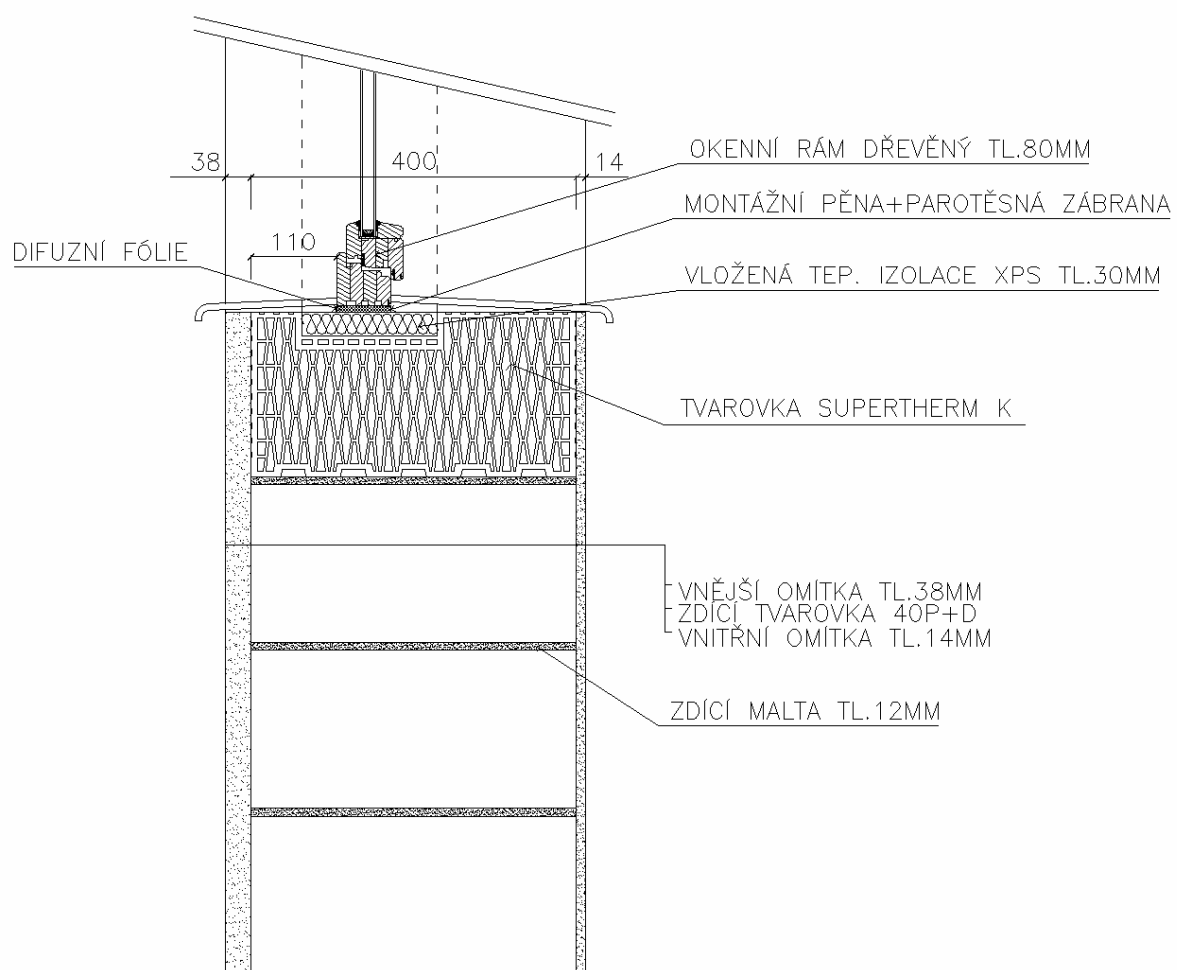




74 Detail parapetu okna P + D 400 mm		
lineární činitel prostupu tepla - interiér ψ_i W/(m.K)	lineární činitel prostupu tepla - exteriér ψ_e W/(m.K)	teplotní faktor f_{Rsi} -
0,095	0,094	0,7847

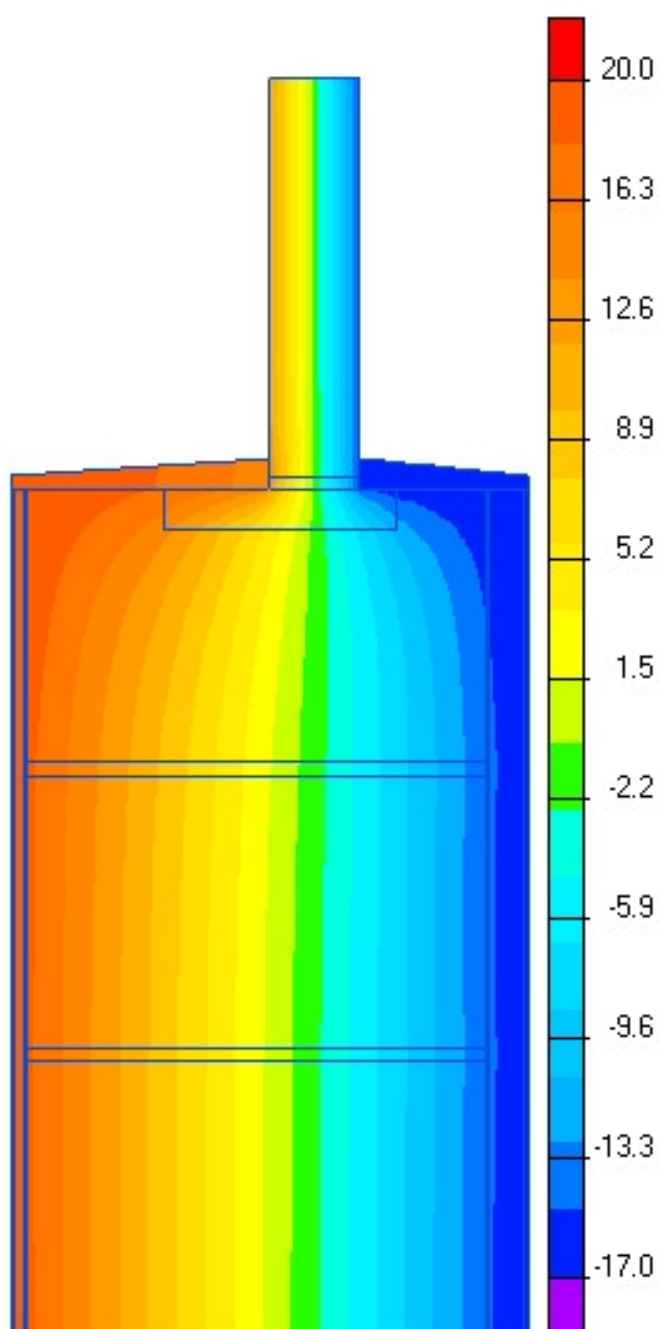
Termogram je proveden ze zrcadlově obráceného detailu.

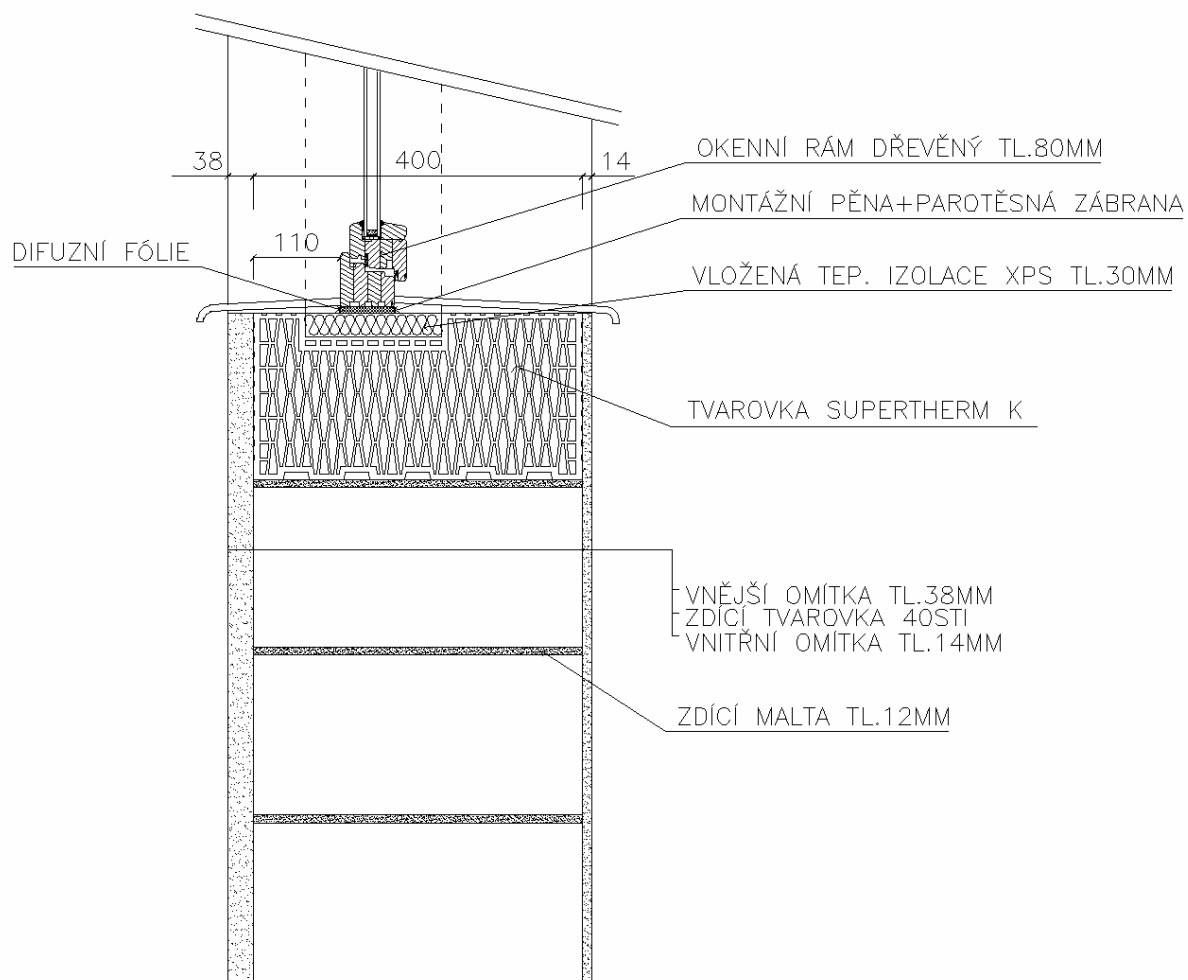




75 Detail parapetu okna STI 400 mm		
lineární činitel prostupu tepla - interiér ψ_i W/(m.K)	lineární činitel prostupu tepla - exteriér ψ_e W/(m.K)	teplotní faktor f_{Rsi} -
0,096	0,096	0,7908

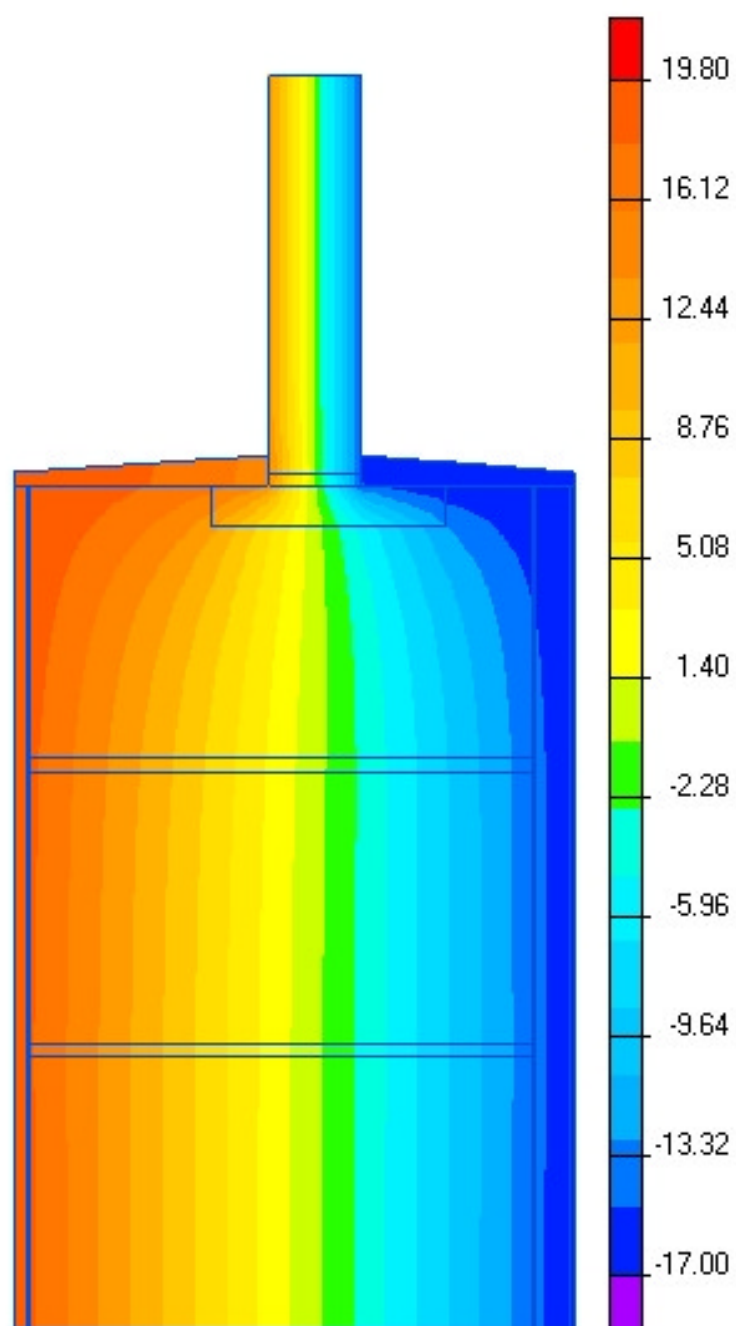
Termogram je proveden ze zrcadlově obráceného detailu.

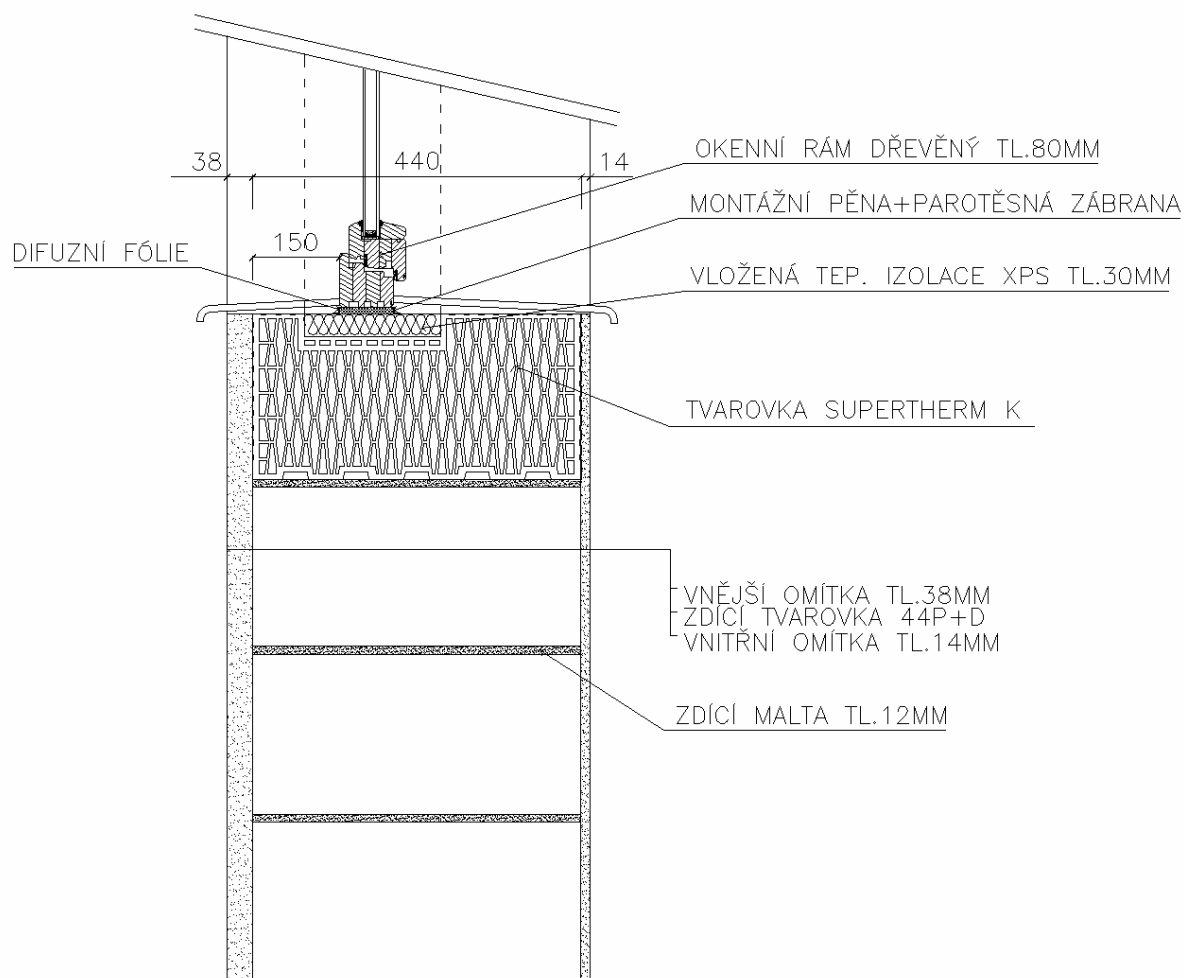




76 Detail parapetu okna P+D 440 mm		
lineární činitel prostupu tepla - interiér ψ_i W/(m.K)	lineární činitel prostupu tepla - exteriér ψ_e W/(m.K)	teplotní faktor f_{Rsi} -
0,097	0,096	0,7855

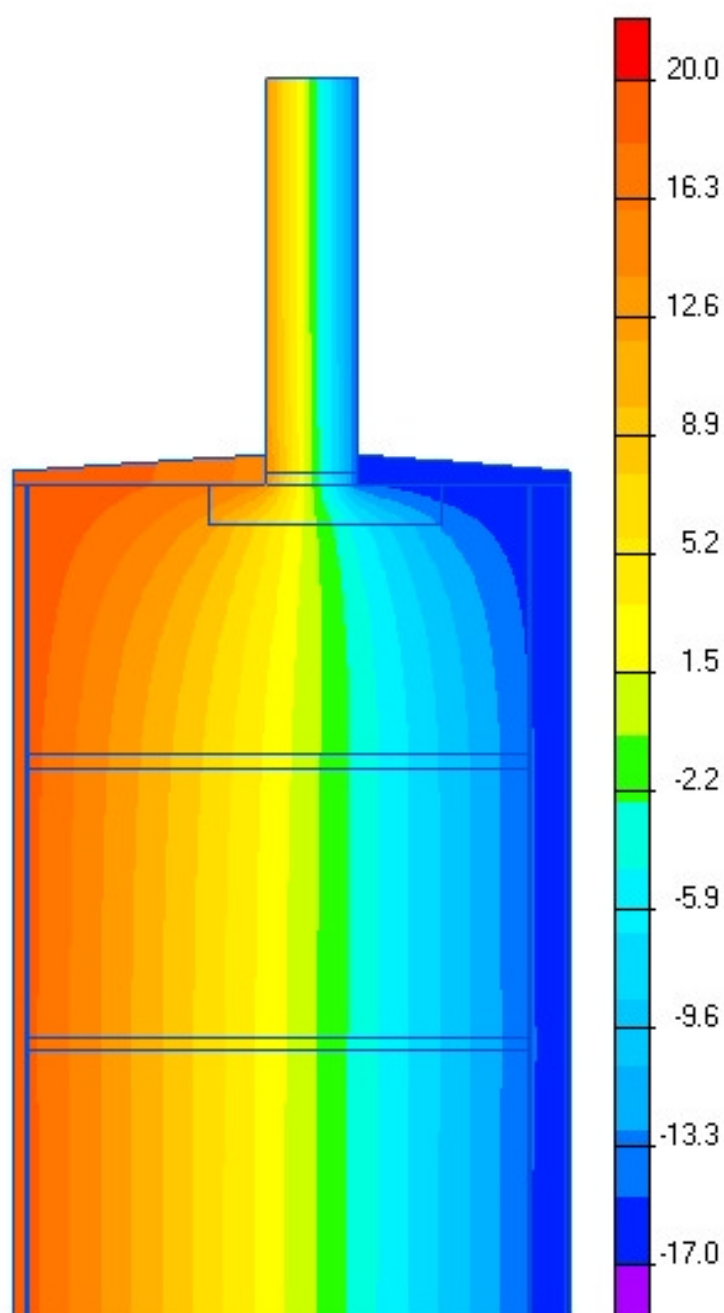
Termogram je proveden ze zrcadlově obráceného detailu.

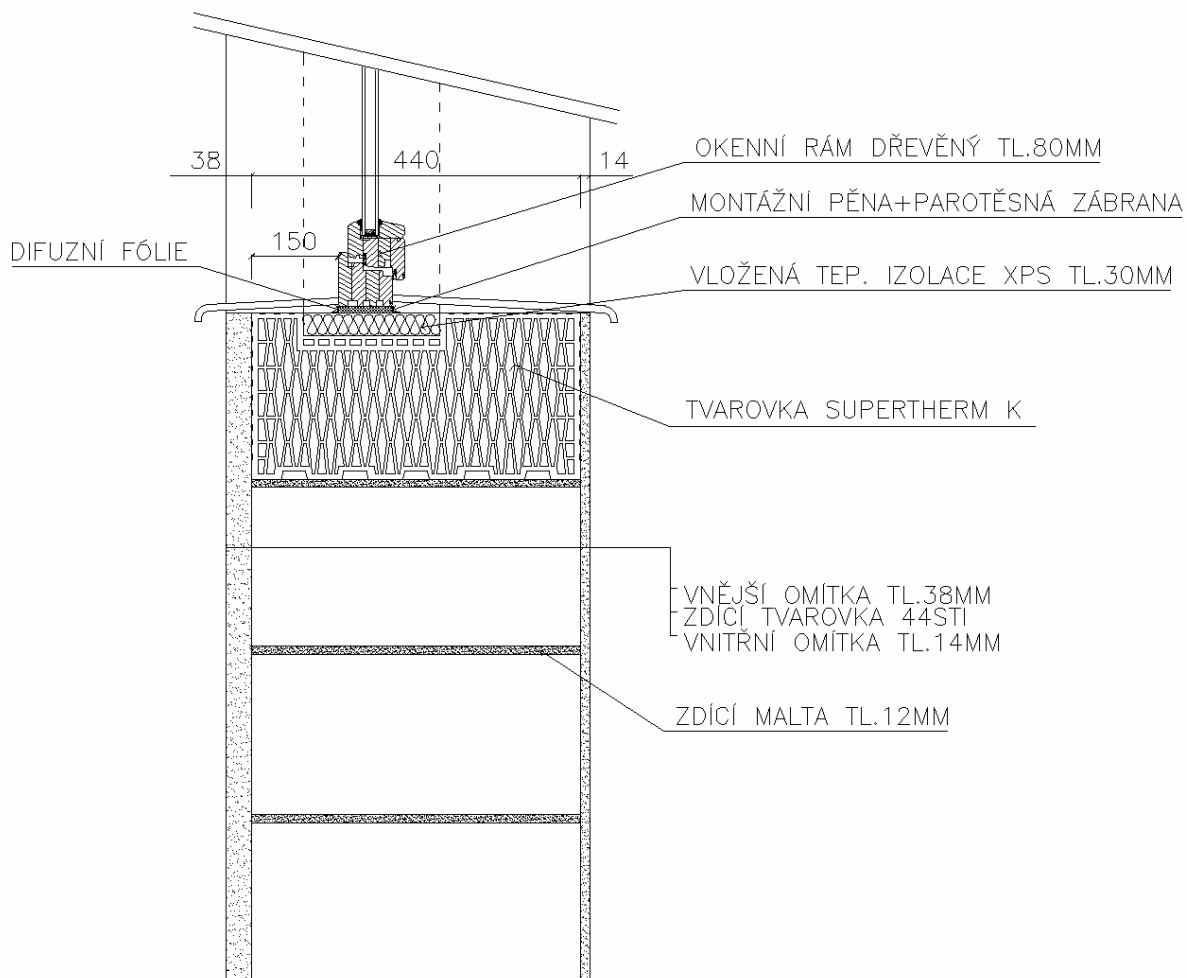




77 Detail parapetu okna STI 440 mm		
lineární činitel prostupu tepla - interiér ψ_i W/(m.K)	lineární činitel prostupu tepla - exteriér ψ_e W/(m.K)	teplotní faktor f_{Rsi} -
0,098	0,097	0,7908

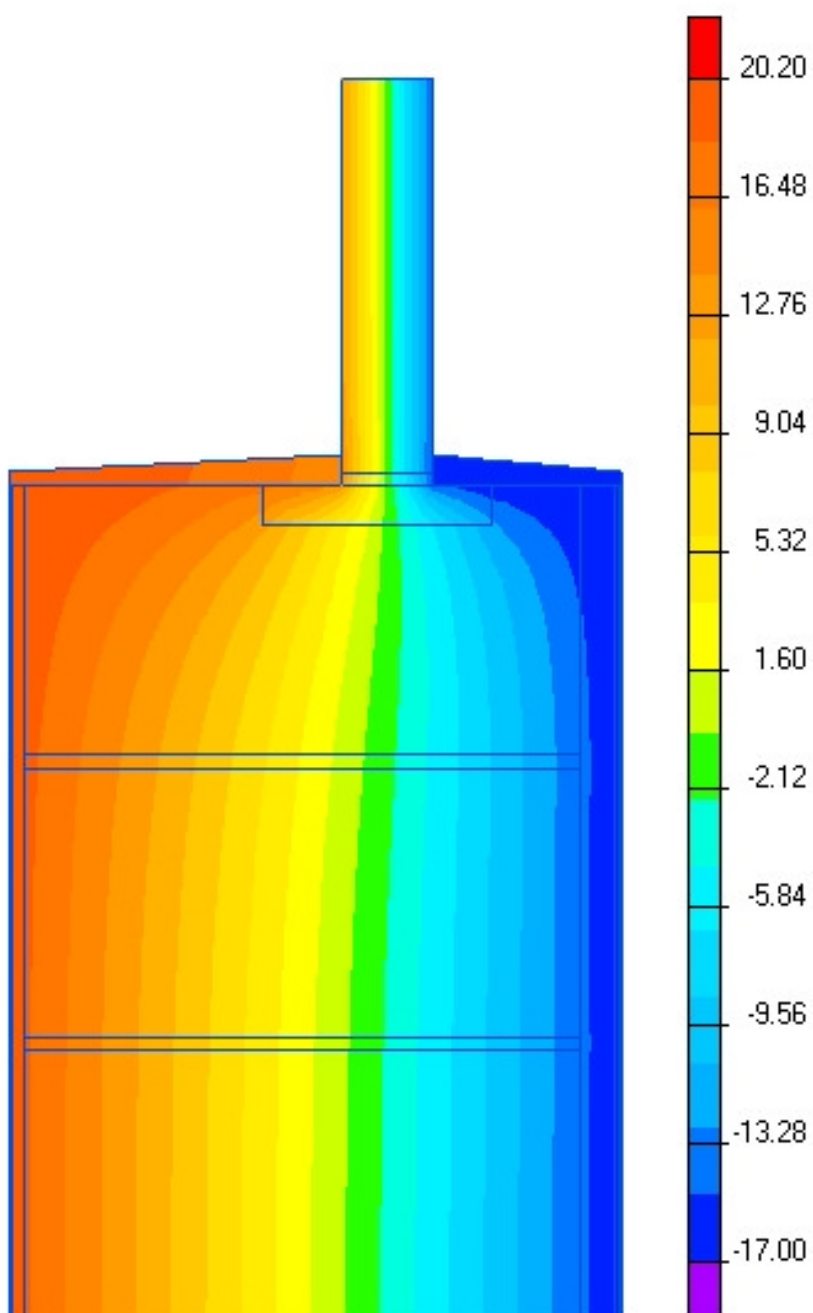
Termogram je proveden ze zrcadlově obráceného detailu.

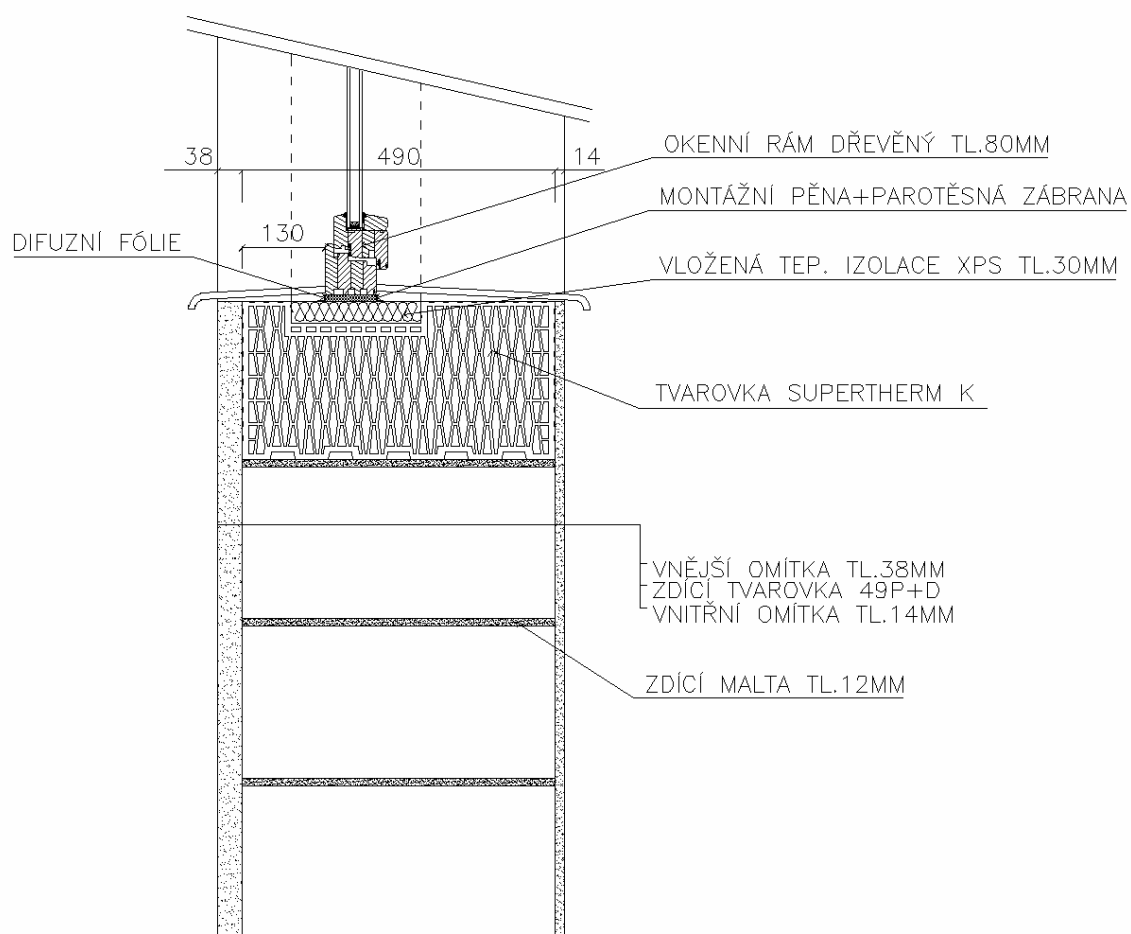




78 Detail parapetu okna P+D 490 mm		
lineární činitel prostupu tepla - interiér ψ_i W/(m.K)	lineární činitel prostupu tepla - exteriér ψ_e W/(m.K)	teplotní faktor f_{Rsi} -
0,102	0,101	0,7808

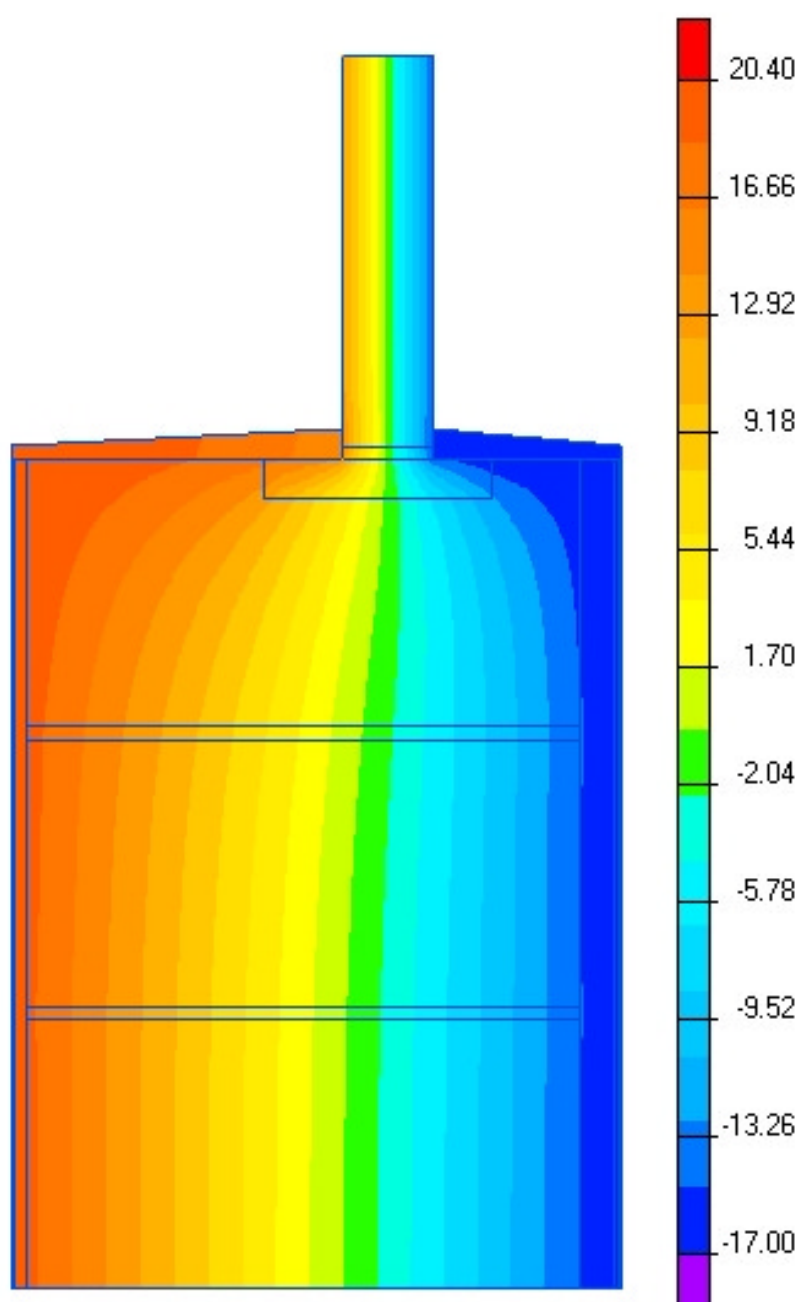
Termogram je proveden ze zrcadlově obráceného detailu.

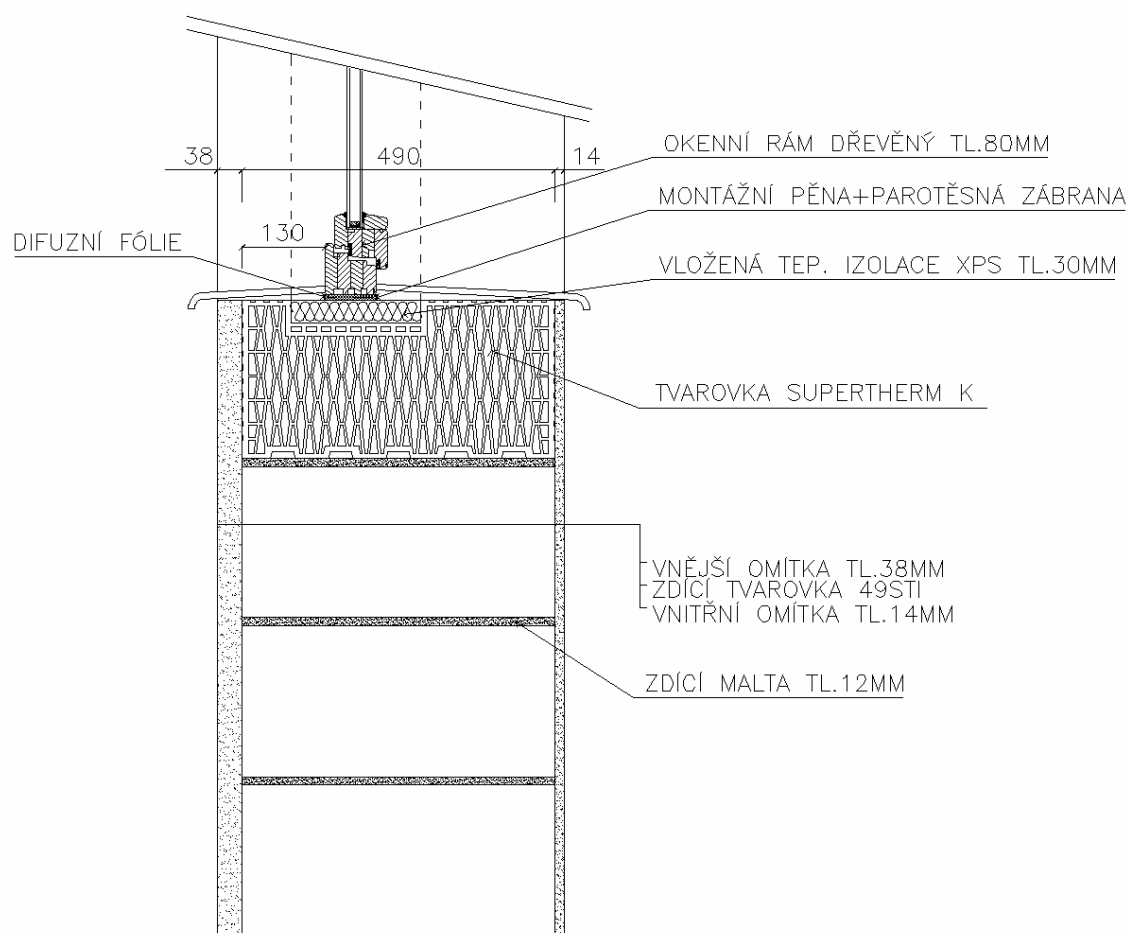




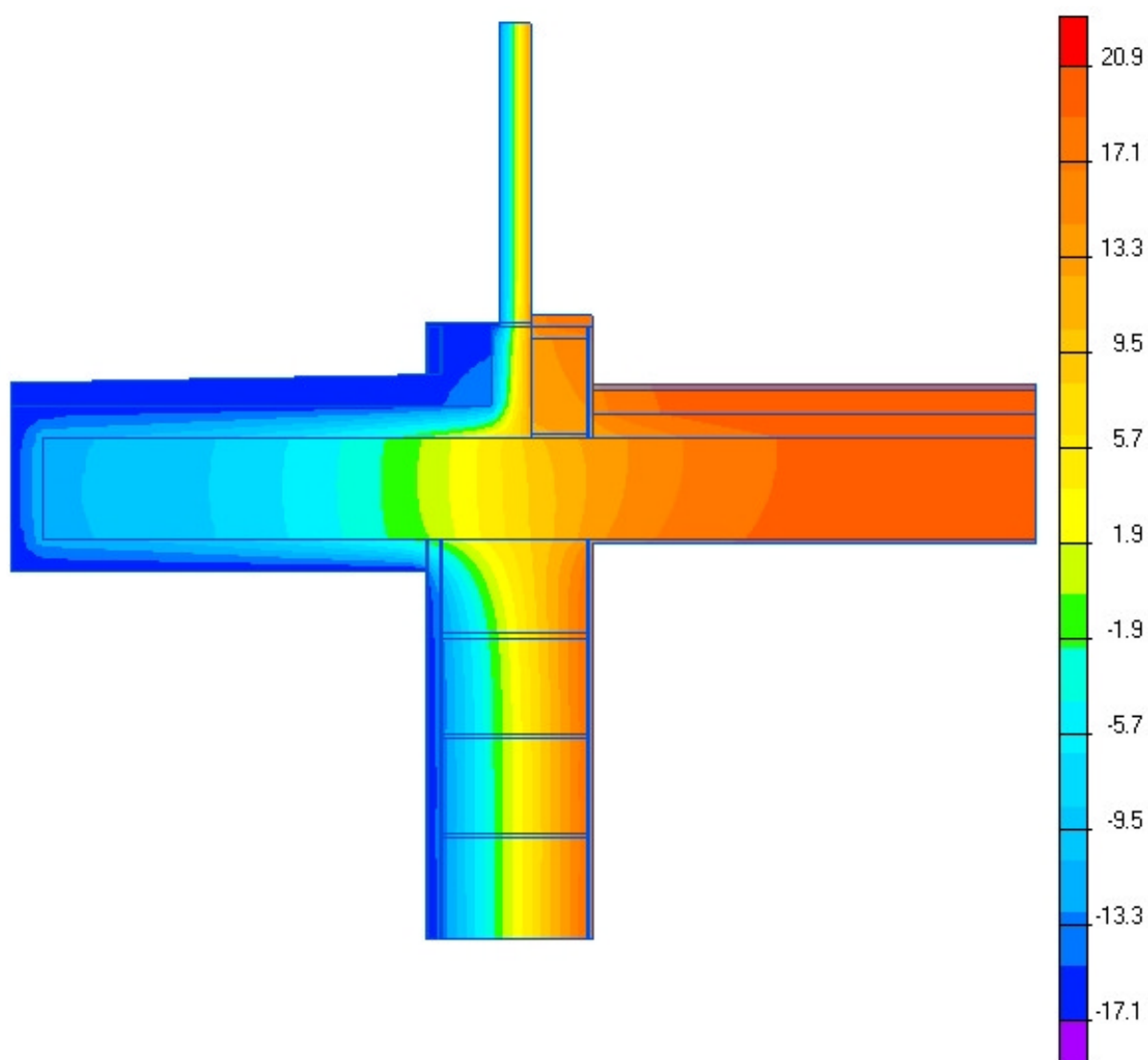
79 Detail parapetu okna STI 490 mm		
lineární činitel prostupu tepla - interiér ψ_i W/(m.K)	lineární činitel prostupu tepla - exteriér ψ_e W/(m.K)	teplotní faktor f_{Rsi} -
0,102	0,101	0,7863

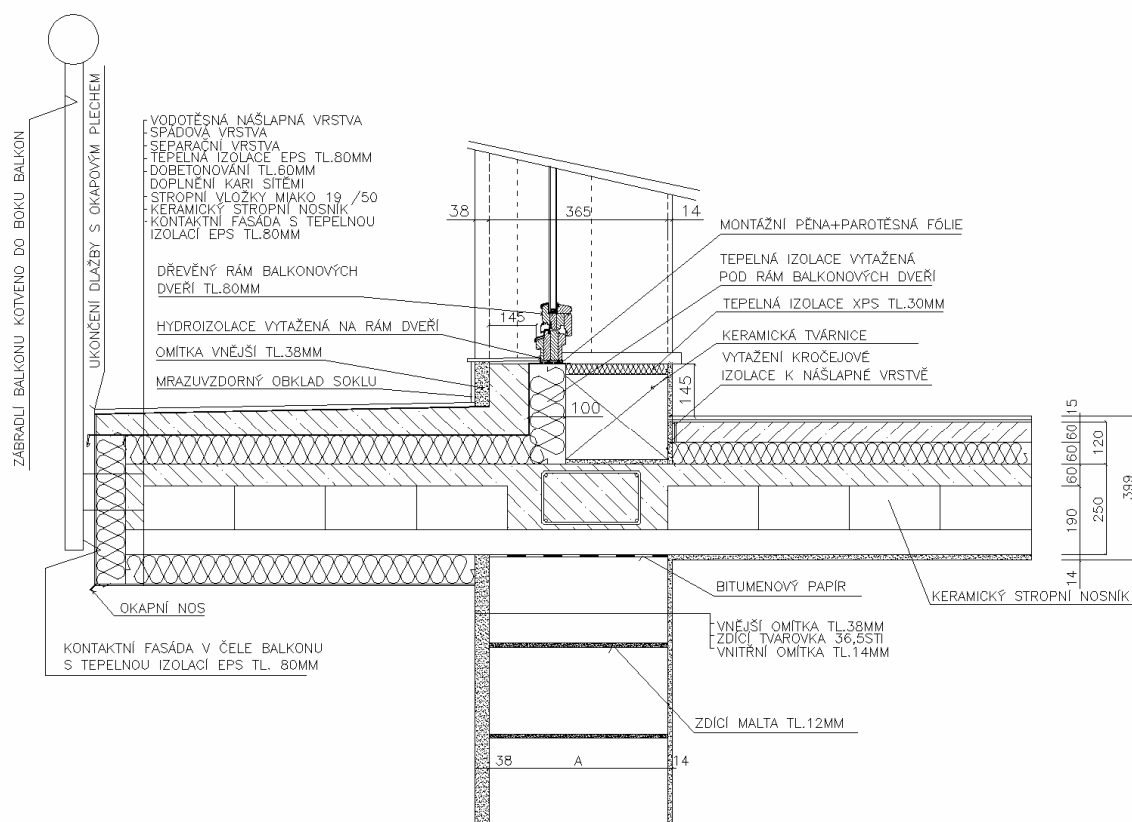
Termogram je proveden ze zrcadlově obráceného detailu.



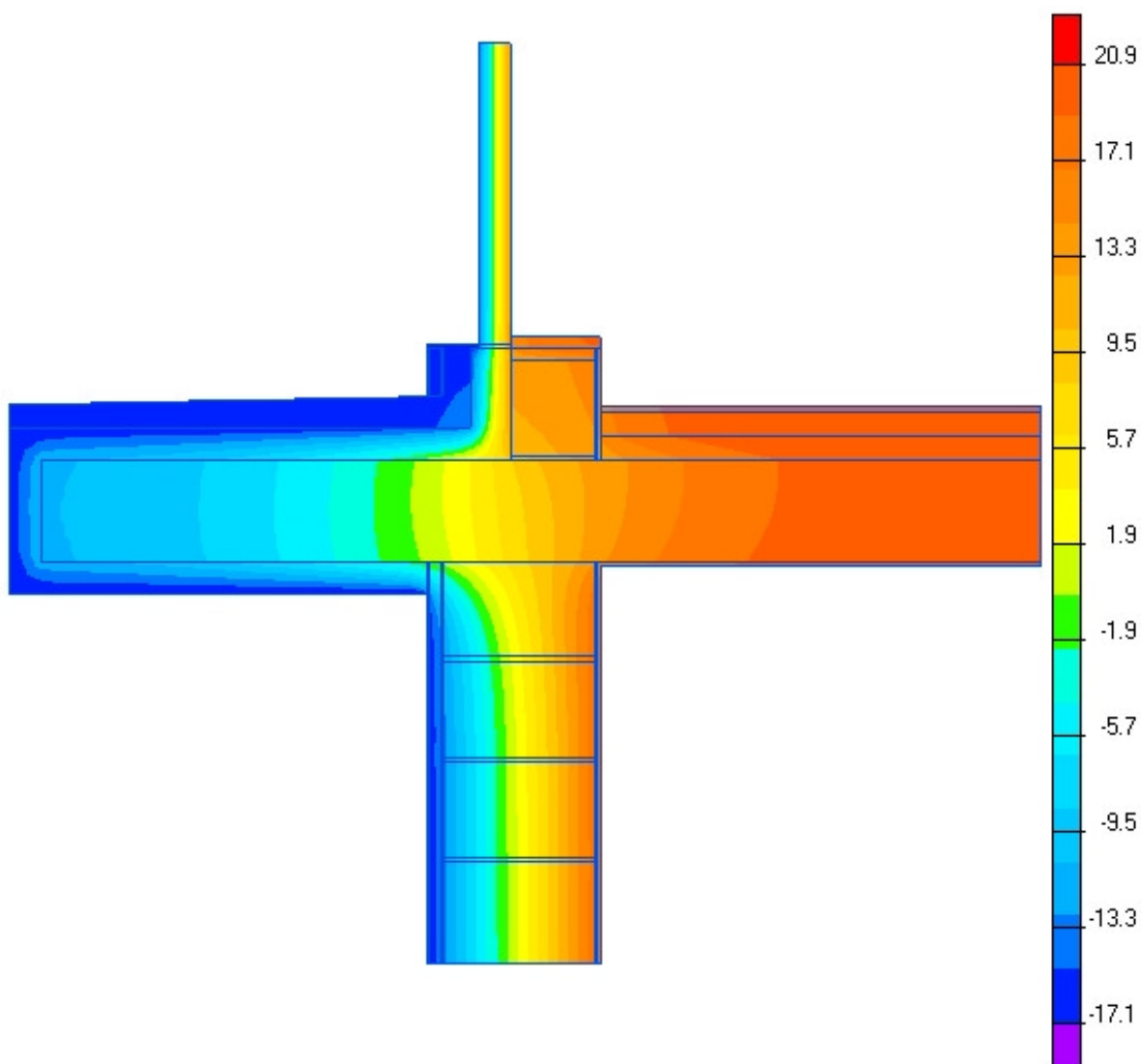


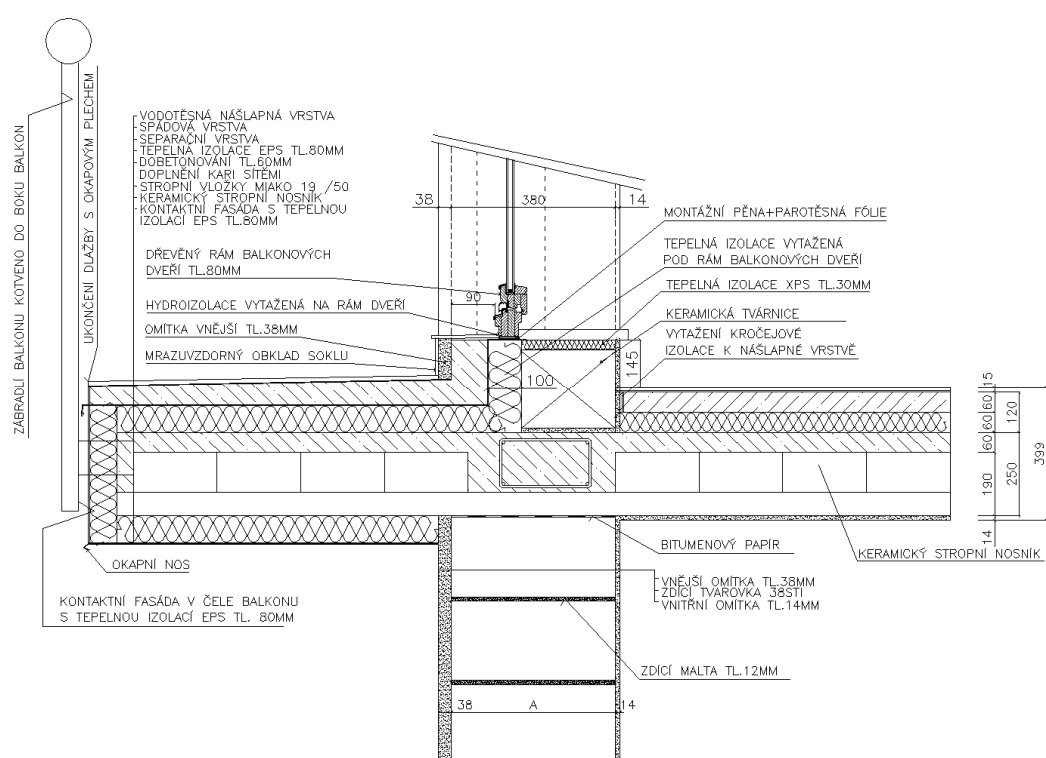
81 Detail prahu balkónových dveří na balkon STI 365 mm		
lineární číselník průchodu tepla - interiér	lineární číselník průchodu tepla - exteriér	teplotní faktor
ψ_i	ψ_e	f_{Rsi}
W/(m.K)	W/(m.K)	-
0,264	0,474	0,8213



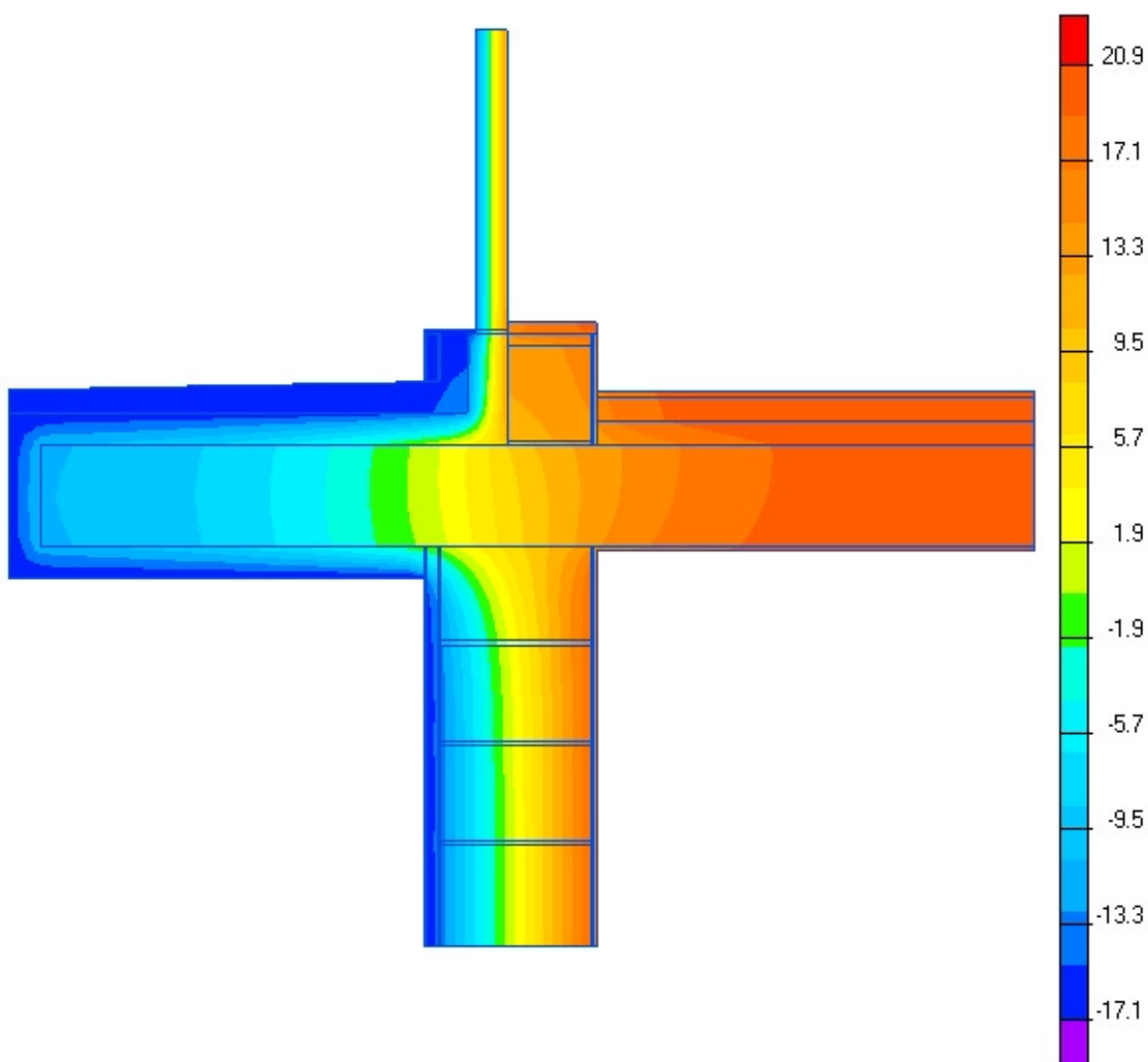


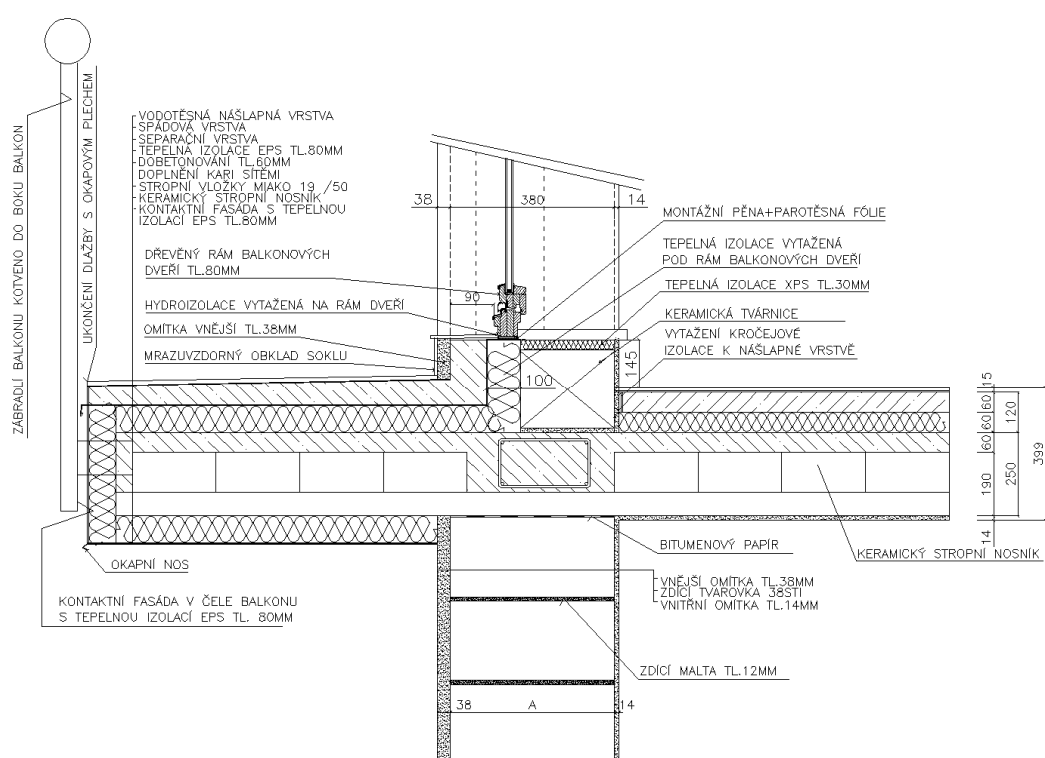
82 Detail prahu balkónových dveří na balkon P+D 380 mm						
lineární činitel prostupu tepla - interiér dole z interiérových rozměrů ψ_i^{Di} W/(m.K)	lineární činitel prostupu tepla - interiér nahoře z interiérových rozměrů ψ_i^{Hi} W/(m.K)	lineární činitel prostupu tepla - exteriér ψ_e W/(m.K)	lineární činitel prostupu tepla - dole z exteriérových rozměrů ψ_i^{De} W/(m.K)	lineární činitel prostupu tepla - nahore z exteriérových rozměrů ψ_i^{He} W/(m.K)	teplotní faktor dole f_{Rsi}^D -	teplotní faktor nahore f_{Rsi}^H -
0,321	0,239	0,438	0,251	0,187	0,8184	0,8417



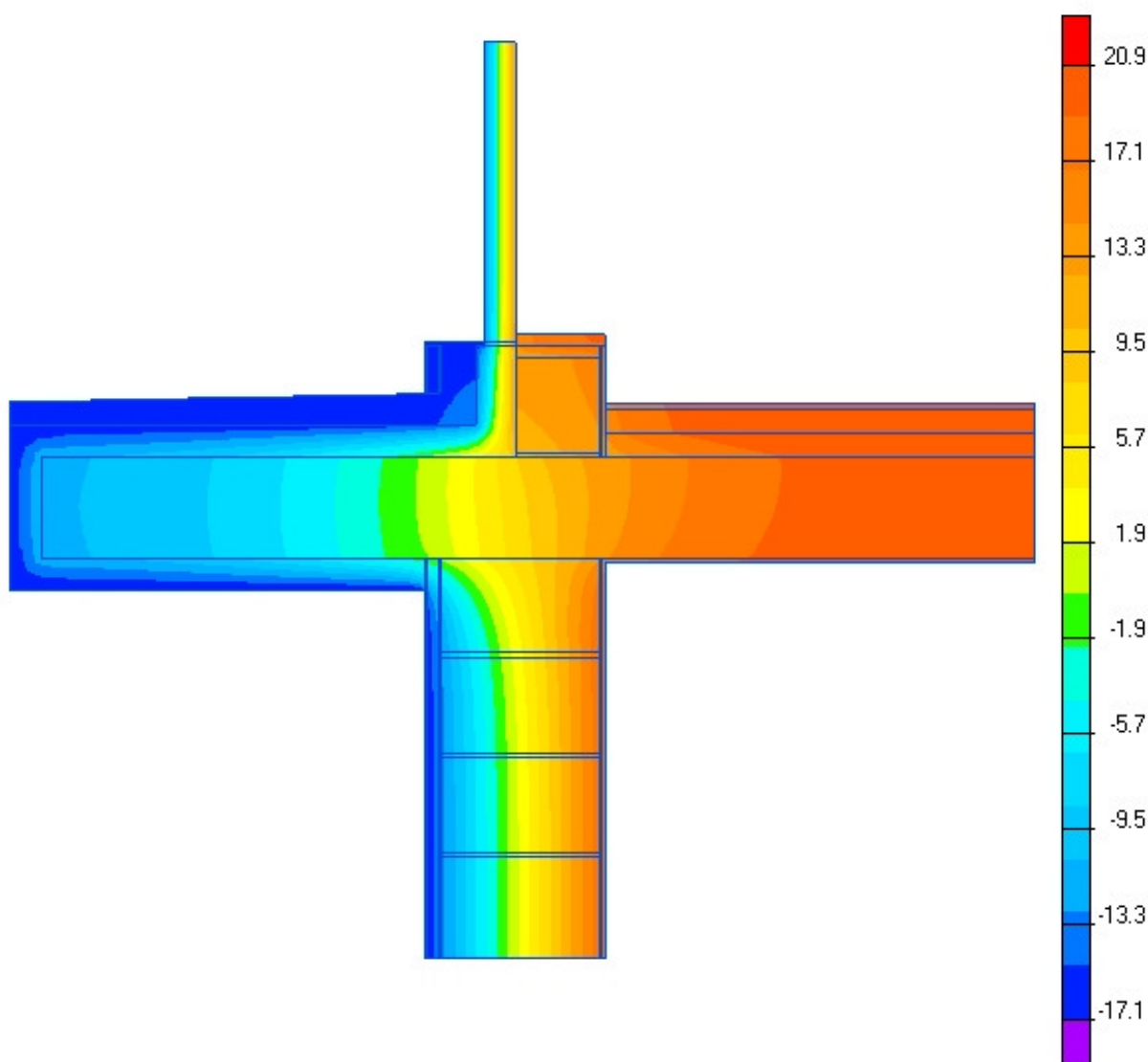


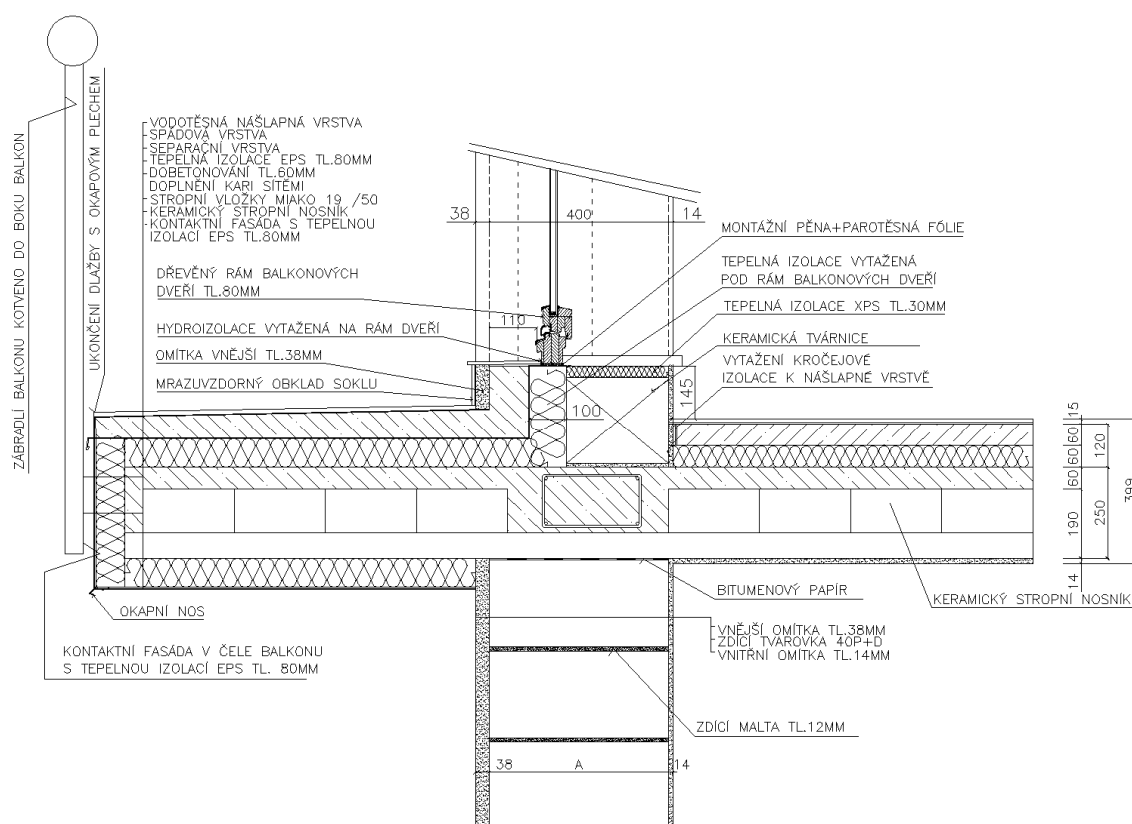
83 Detail prahu balkonových dveří na balkon STI 380 mm						
lineární činitel prostupu tepla - interiér dole z interiérových rozměrů ψ_i^{Di} W/(m.K)	lineární činitel prostupu tepla - interiér nahoře z interiérových rozměrů ψ_i^{Hi} W/(m.K)	lineární činitel prostupu tepla - exteriér ψ_e W/(m.K)	lineární činitel prostupu tepla - dole z exteriérových rozměrů ψ_i^{De} W/(m.K)	lineární činitel prostupu tepla - nahore z exteriérových rozměrů ψ_i^{He} W/(m.K)	teplotní faktor dole f_{Rsi}^D -	teplotní faktor nahore f_{Rsi}^H -
0,329	0,243	0,475	0,273	0,202	0,8187	0,8444



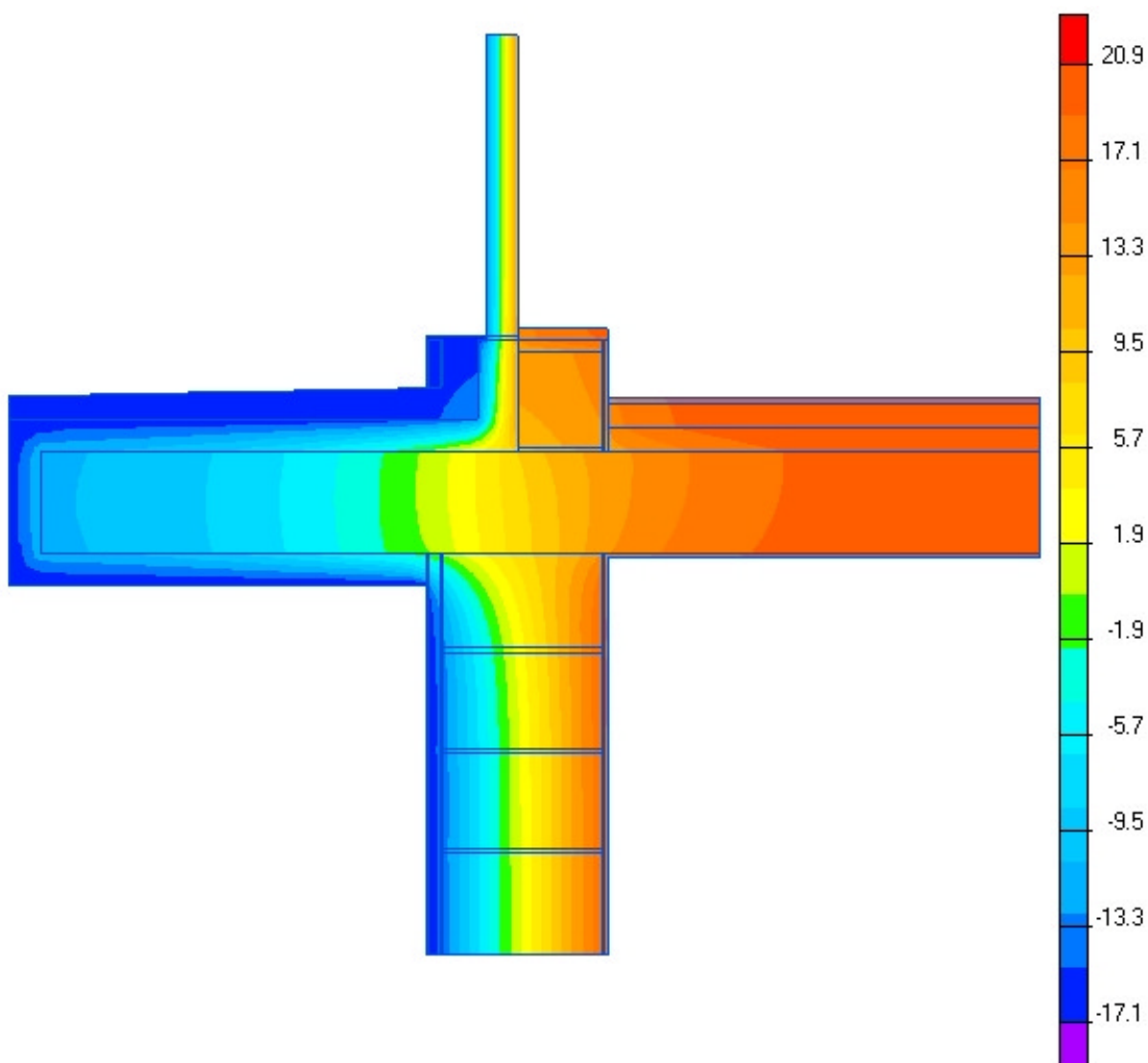


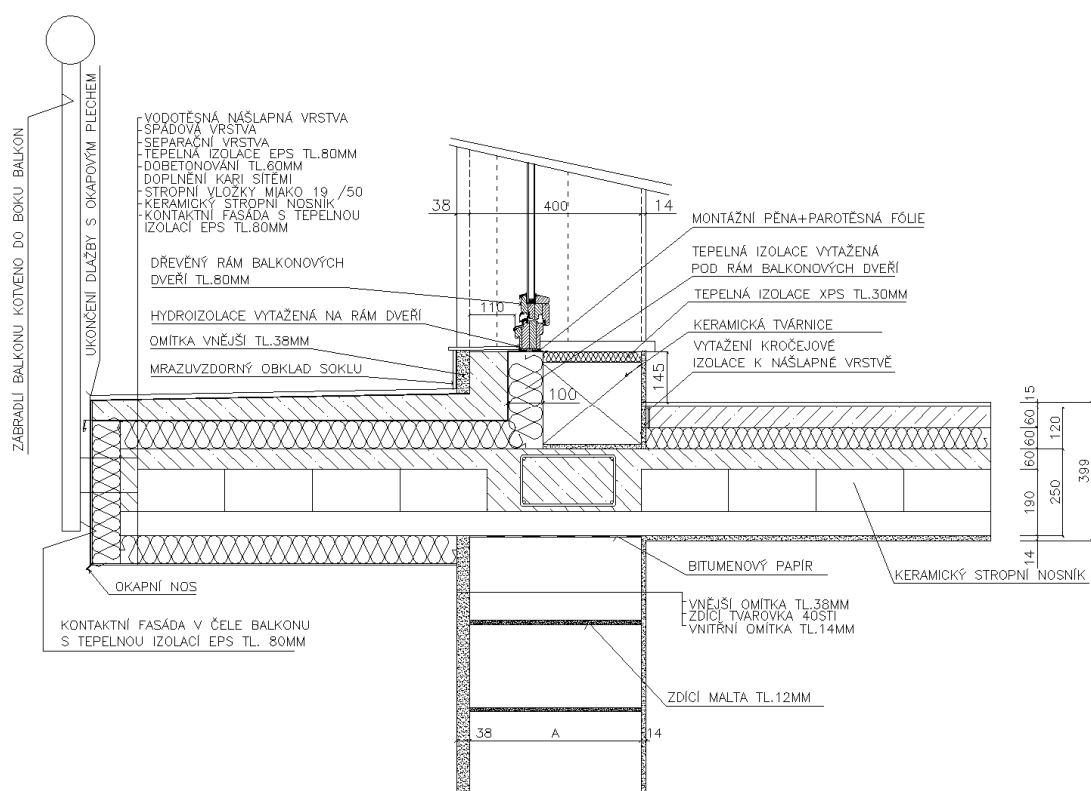
84 Detail prahu balkónových dveří na balkón P+D 400 mm						
lineární činitel prostupu tepla - interiér dole z interiérových rozměrů ψ_i^{Di} W/(m.K)	lineární činitel prostupu tepla - interiér nahoře z interiérových rozměrů ψ_i^{Hi} W/(m.K)	lineární činitel prostupu tepla - exteriér ψ_e W/(m.K)	lineární činitel prostupu tepla - dole z exteriérových rozměrů ψ_i^{De} W/(m.K)	lineární činitel prostupu tepla - nahore z exteriérových rozměrů ψ_i^{He} W/(m.K)	teplotní faktor dole f_{Rsi}^D -	teplotní faktor nahore f_{Rsi}^H -
0,320	0,237	0,443	0,254	0,189	0,8189	0,8432



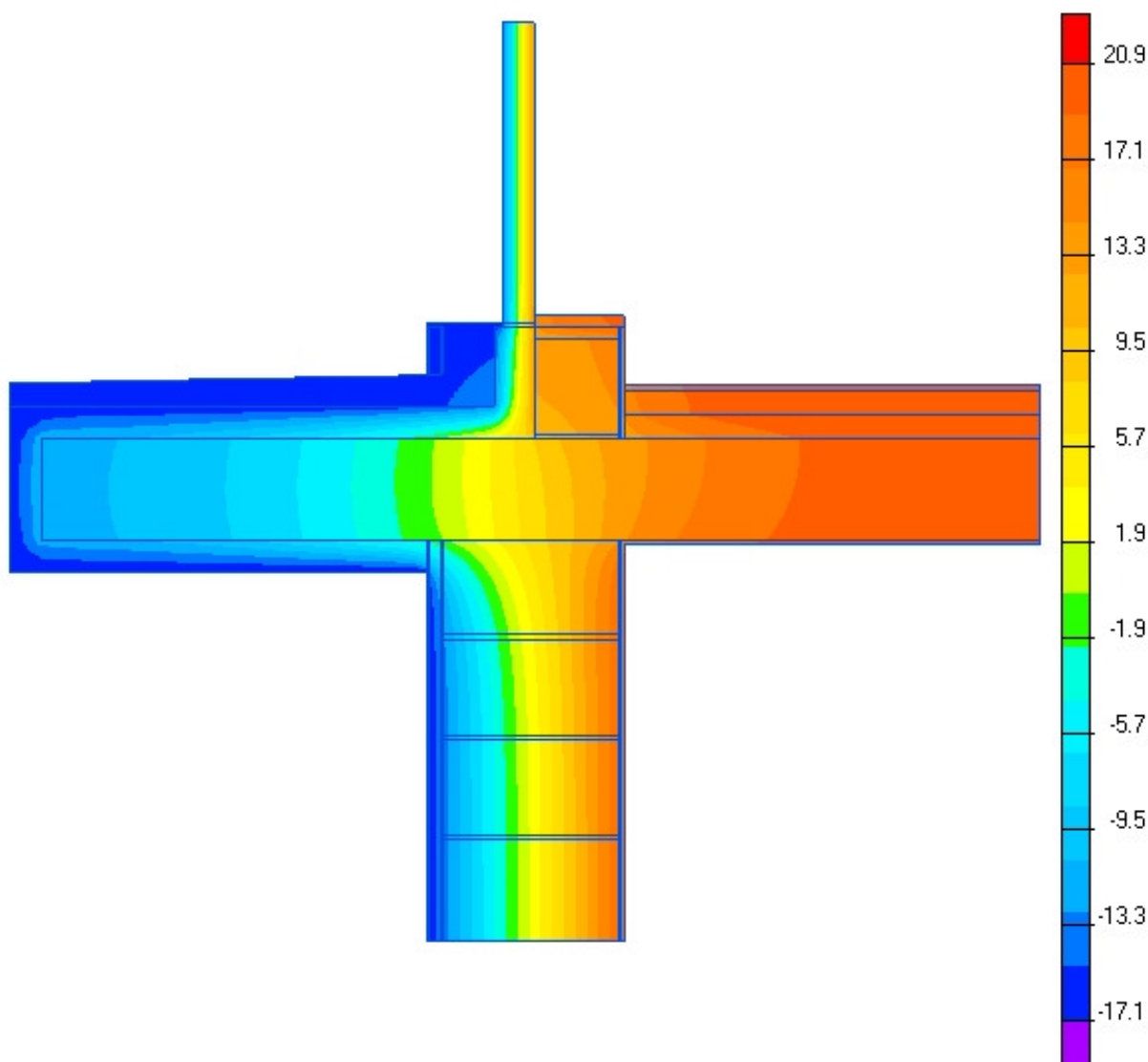


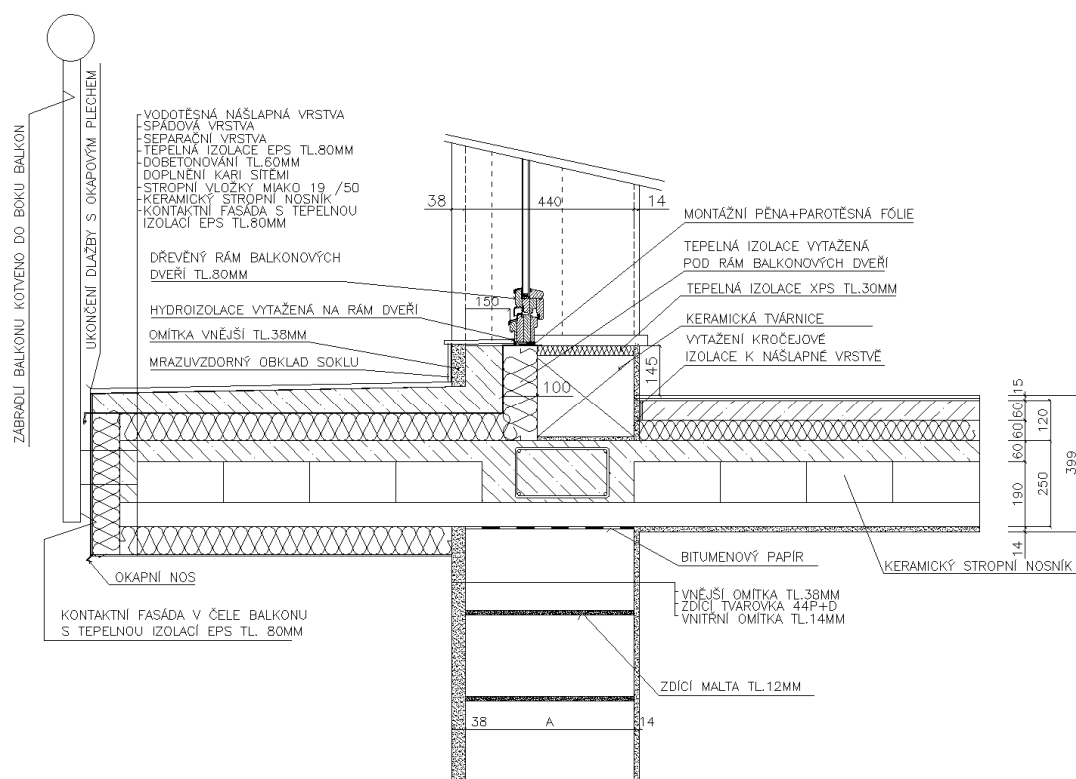
85 Detail prahu balkónových dveří na balkon STI 400 mm						
lineární činitel prostupu tepla - interiér dole z interiérových rozměrů ψ_i^{Di} W/(m.K)	lineární činitel prostupu tepla - interiér nahoře z interiérových rozměrů ψ_i^{Hi} W/(m.K)	lineární činitel prostupu tepla - exteriér ψ_e W/(m.K)	lineární činitel prostupu tepla - dole z exteriérových rozměrů ψ_i^{De} W/(m.K)	lineární činitel prostupu tepla - nahore z exteriérových rozměrů ψ_i^{He} W/(m.K)	teplotní faktor dole f_{Rsi}^D -	teplotní faktor nahore f_{Rsi}^H -
0,329	0,241	0,478	0,276	0,202	0,8192	0,8487



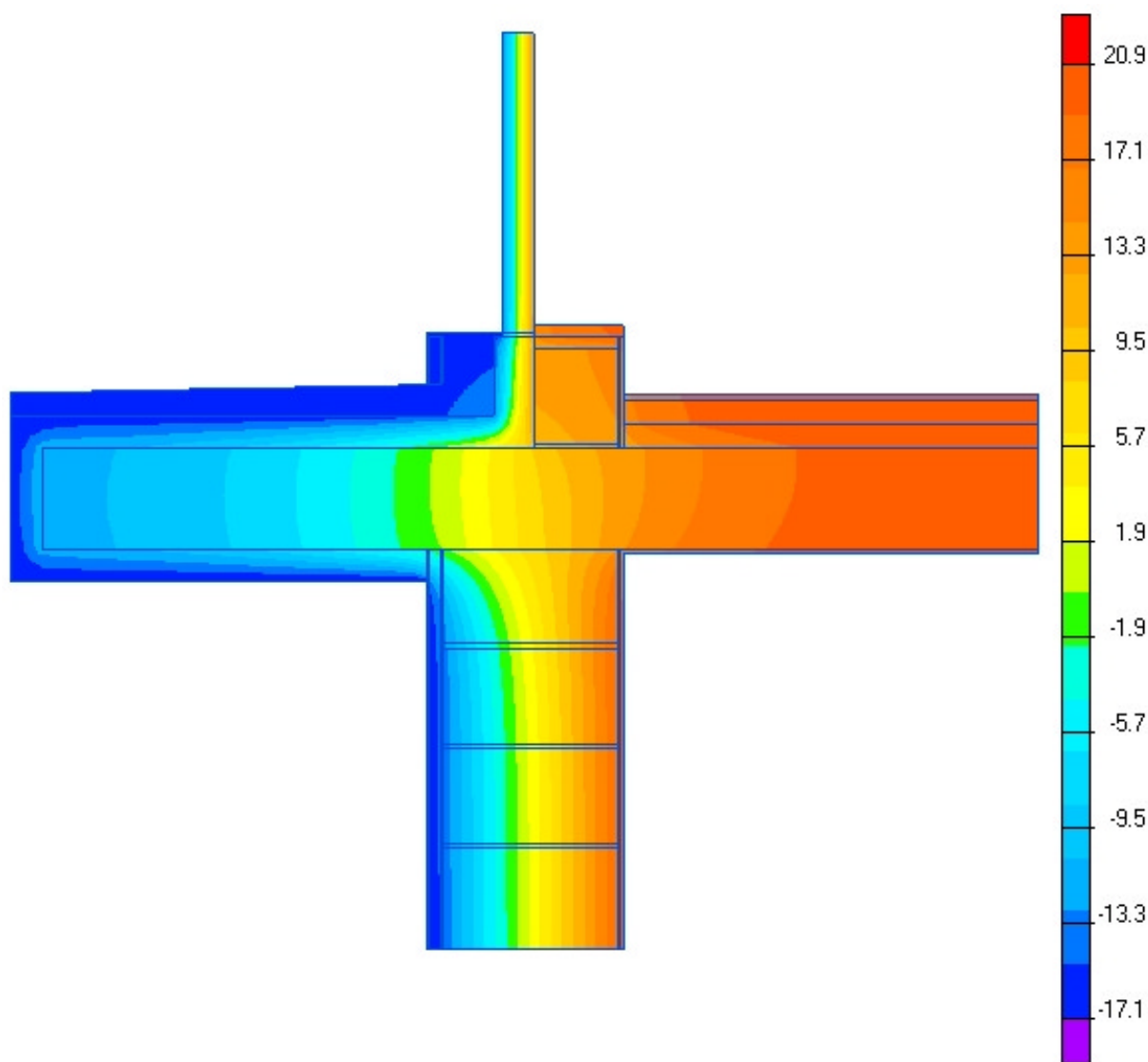


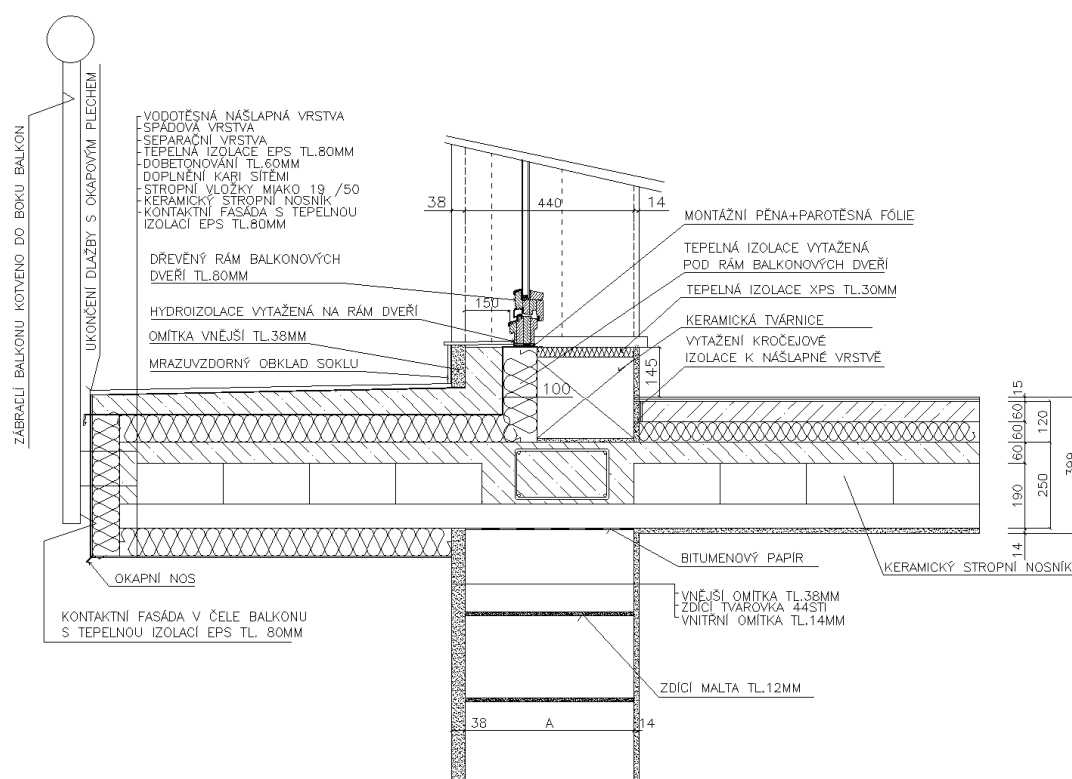
86 Detail prahu balkónových dveří na balkón P+D 440 mm						
lineární činitel prostupu tepla - interiér dole z interiérových rozměrů ψ_i^{Di} W/(m.K)	lineární činitel prostupu tepla - interiér nahoře z interiérových rozměrů ψ_i^{Hi} W/(m.K)	lineární činitel prostupu tepla - exteriér ψ_e W/(m.K)	lineární činitel prostupu tepla - dole z exteriérových rozměrů ψ_i^{De} W/(m.K)	lineární činitel prostupu tepla - nahore z exteriérových rozměrů ψ_i^{He} W/(m.K)	teplotní faktor dole f_{Rsi}^D -	teplotní faktor nahore f_{Rsi}^H -
0,322	0,235	0,450	0,260	0,190	0,8191	0,8462



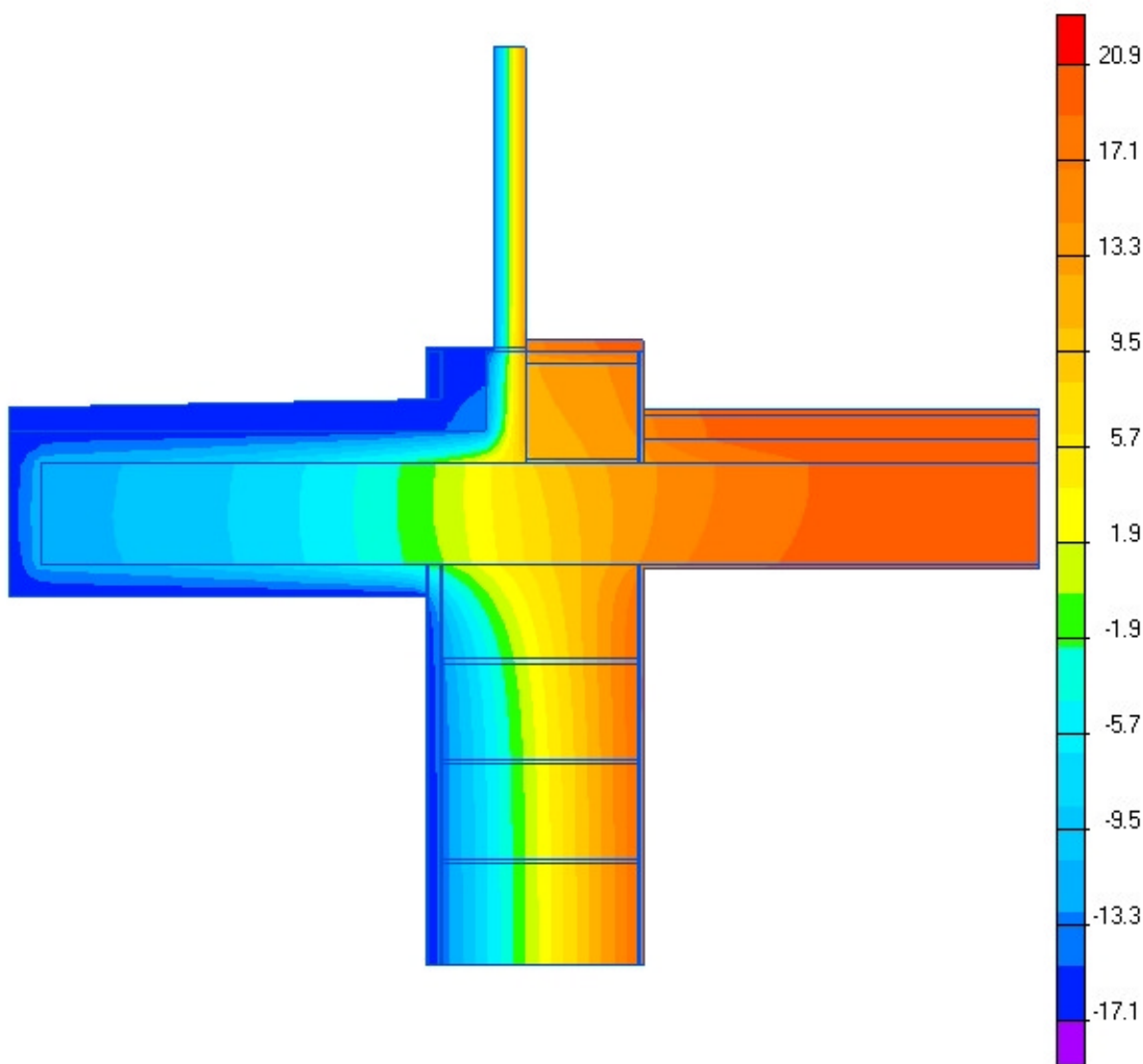


87 Detail prahu balkonových dveří na balkon STI 440 mm						
lineární činitel prostupu tepla - interiér dole z interiérových rozměrů ψ_i^{Di} W/(m.K)	lineární činitel prostupu tepla - interiér nahoře z interiérových rozměrů ψ_i^{Hi} W/(m.K)	lineární činitel prostupu tepla - exteriér ψ_e W/(m.K)	lineární činitel prostupu tepla - dole z exteriérových rozměrů ψ_i^{De} W/(m.K)	lineární činitel prostupu tepla - nahore z exteriérových rozměrů ψ_i^{He} W/(m.K)	teplotní faktor dole f_{Rsi}^D -	teplotní faktor nahore f_{Rsi}^H -
0,330	0,238	0,482	0,280	0,202	0,8192	0,8487

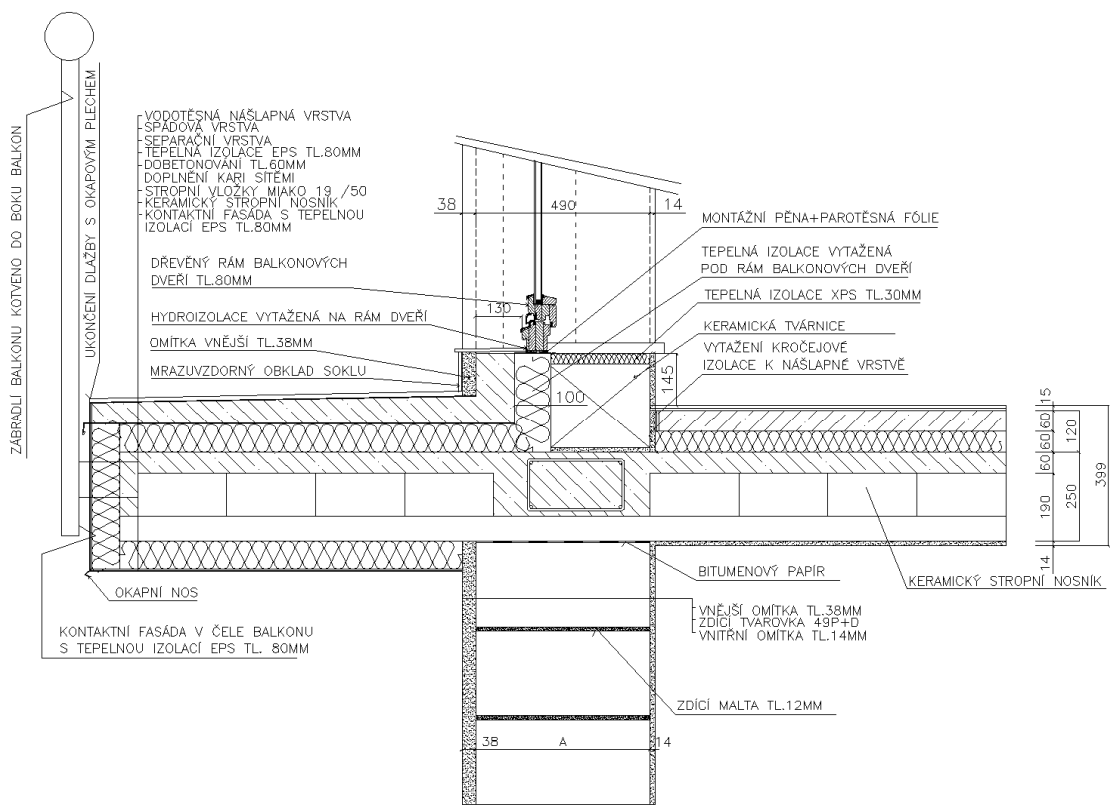




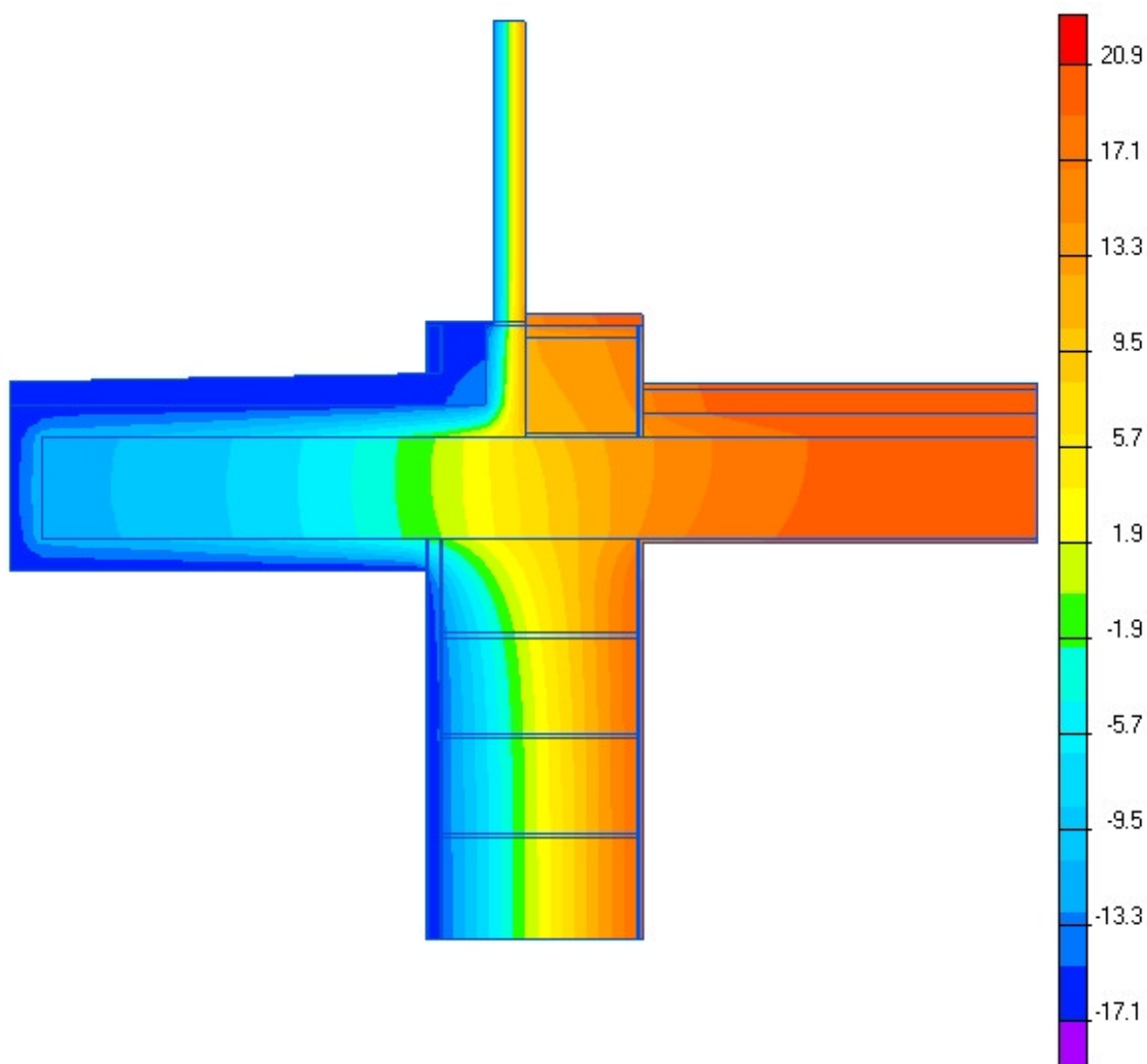
88 Detail prahu balkónových dveří na balkón P+D 490 mm						
lineární činitel prostupu tepla - interiér dole z interiérových rozměrů ψ_i^{Di} W/(m.K)	lineární činitel prostupu tepla - interiér nahoře z interiérových rozměrů ψ_i^{Hi} W/(m.K)	lineární činitel prostupu tepla - exteriér ψ_e W/(m.K)	lineární činitel prostupu tepla - dole z exteriérových rozměrů ψ_i^{De} W/(m.K)	lineární činitel prostupu tepla - nahore z exteriérových rozměrů ψ_i^{He} W/(m.K)	teplotní faktor dole f_{Rsi}^D -	teplotní faktor nahore f_{Rsi}^H -
0,337	0,215	0,456	0,278	0,178	0,8166	0,8572

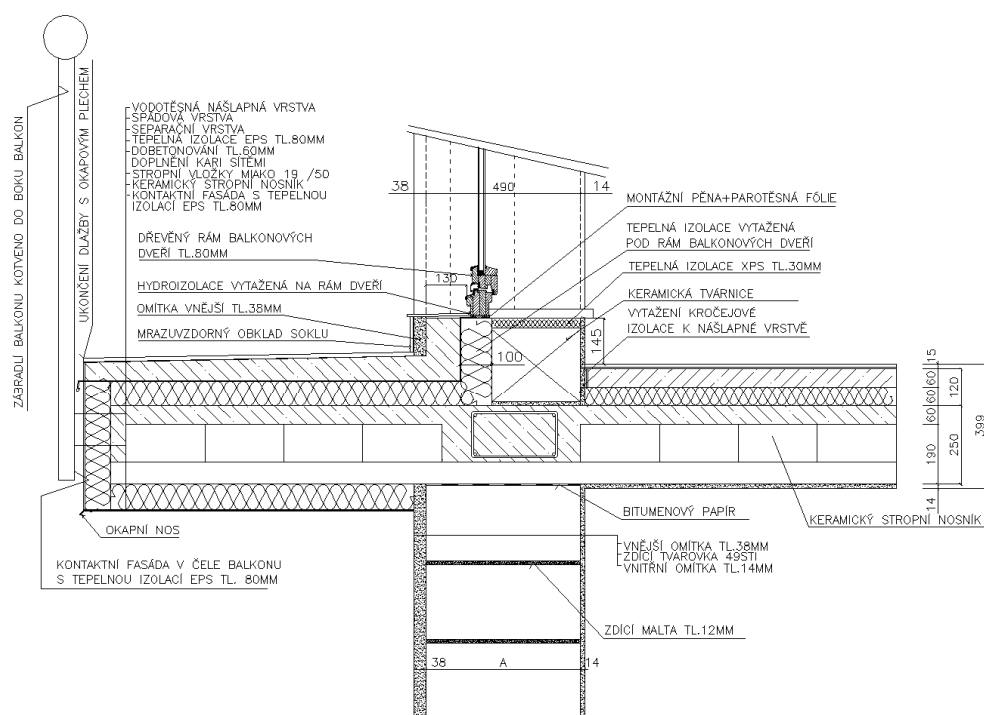


Obsah: "Výpočet typických tepelných mostů a jejich minimalizace – 250 detailů"
Zpracovatel: Energy Consulting – Project, s.r.o., Přemyslská 484/28, 182 00 Praha 8,
IČ 26113317; mobil 777 196 154, e-mail: info@e-c.cz

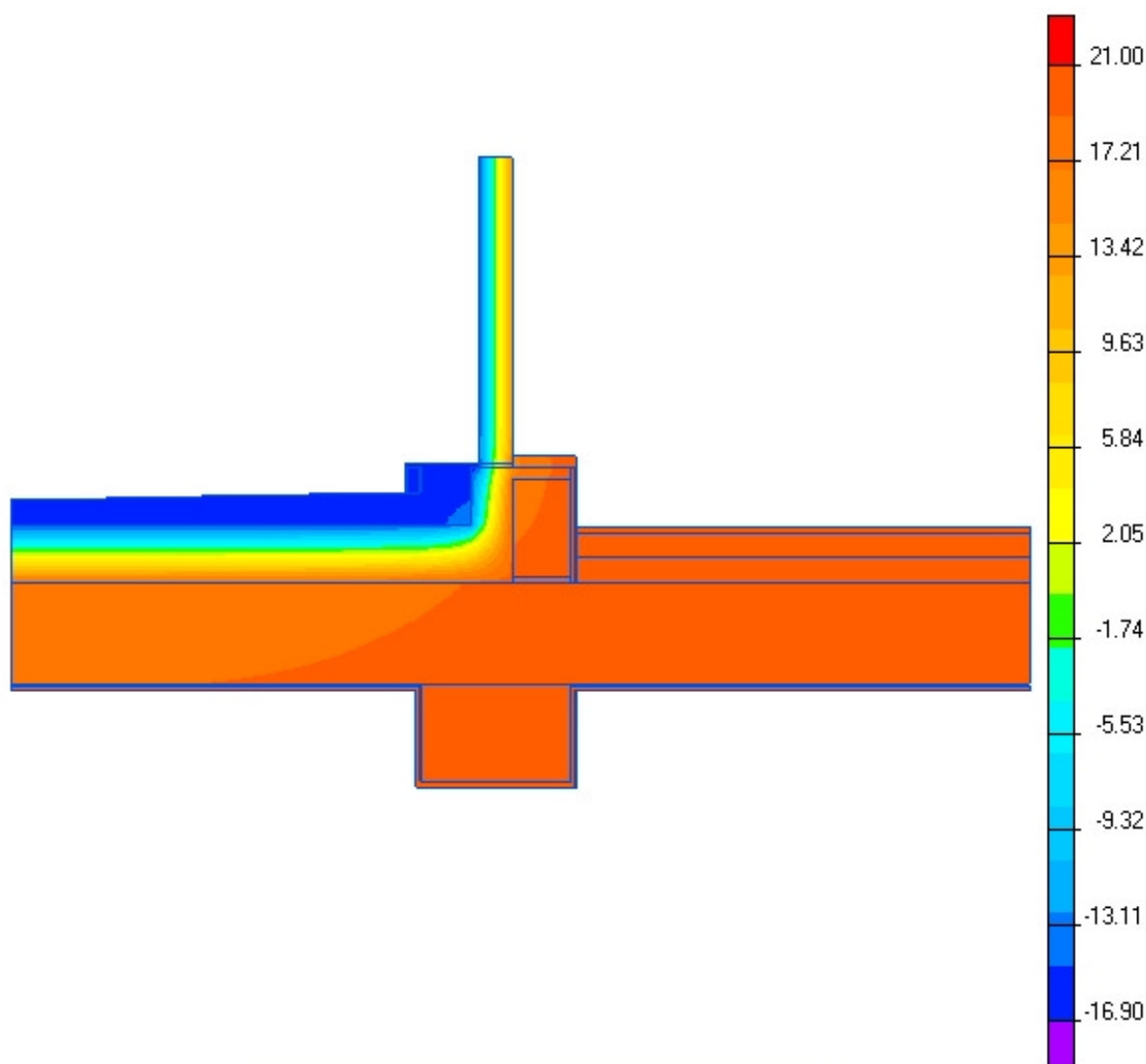


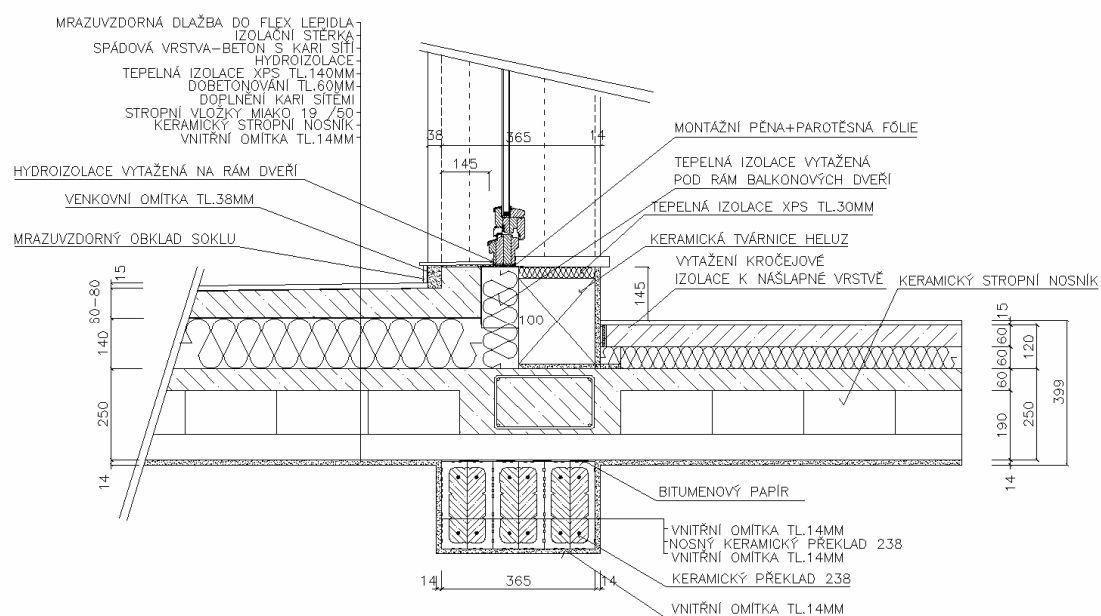
89 Detail prahu balkónových dveří na balkon STI 490 mm						
lineární činitel prostupu tepla - interiér dole z interiérových rozměrů ψ_i^{Di} W/(m.K)	lineární činitel prostupu tepla - interiér nahoře z interiérových rozměrů ψ_i^{Hi} W/(m.K)	lineární činitel prostupu tepla - exteriér ψ_e W/(m.K)	lineární činitel prostupu tepla - dole z exteriérových rozměrů ψ_i^{De} W/(m.K)	lineární činitel prostupu tepla - nahore z exteriérových rozměrů ψ_i^{He} W/(m.K)	teplotní faktor dole f_{Rsi}^D -	teplotní faktor nahore f_{Rsi}^H -
0,344	0,218	0,485	0,297	0,188	0,8168	0,8597



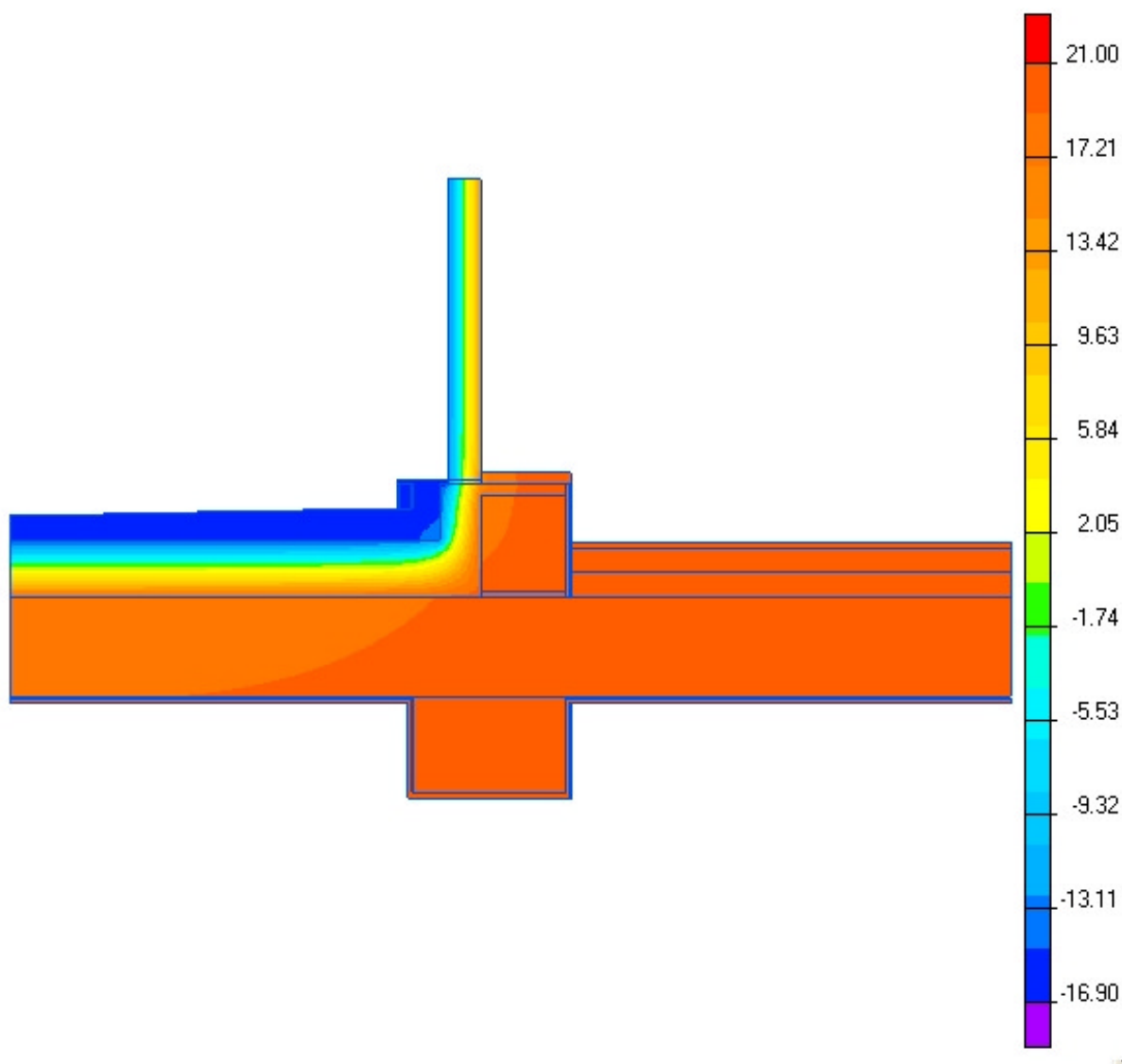


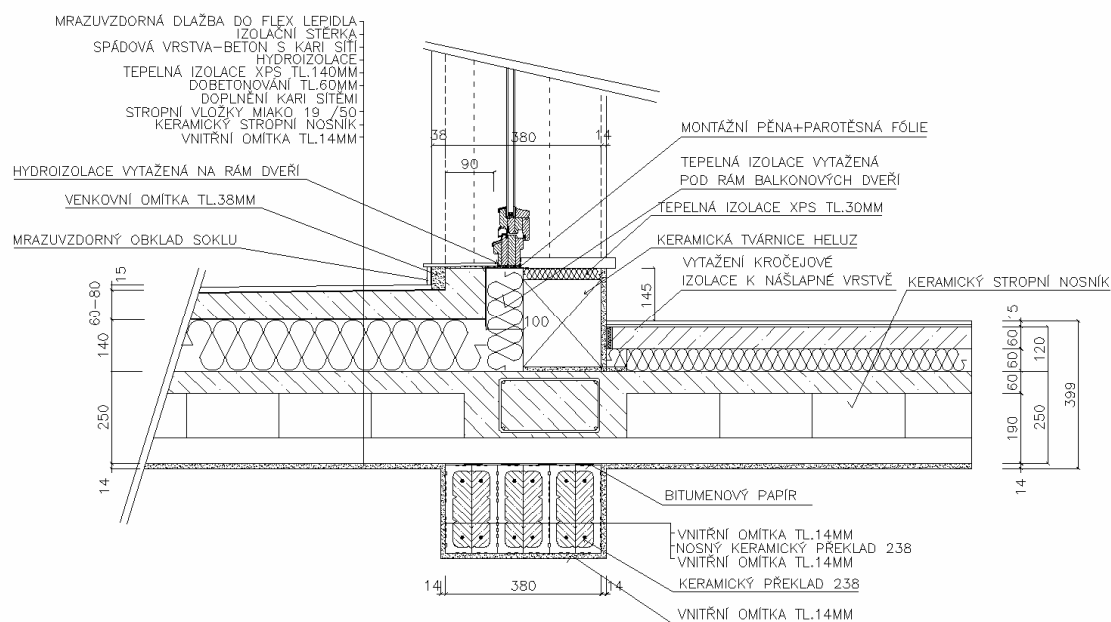
91 Detail prahu balkónových dveří na terasu STI 365 mm						
lineární činitel prostupu tepla - interiér dole z interiérových rozměrů ψ_i^{Di} W/(m.K)	lineární činitel prostupu tepla - interiér nahoře z interiérových rozměrů ψ_i^{Hi} W/(m.K)	lineární činitel prostupu tepla - exteriér ψ_e W/(m.K)	lineární činitel prostupu tepla - dole z exteriérových rozměrů ψ_i^{De} W/(m.K)	lineární činitel prostupu tepla - nahore z exteriérových rozměrů ψ_i^{He} W/(m.K)	teplotní faktor dole f_{Rsi}^D -	teplotní faktor nahore f_{Rsi}^H -
0,170	0,048	0,246	0,192	0,054	0,8447	0,9485



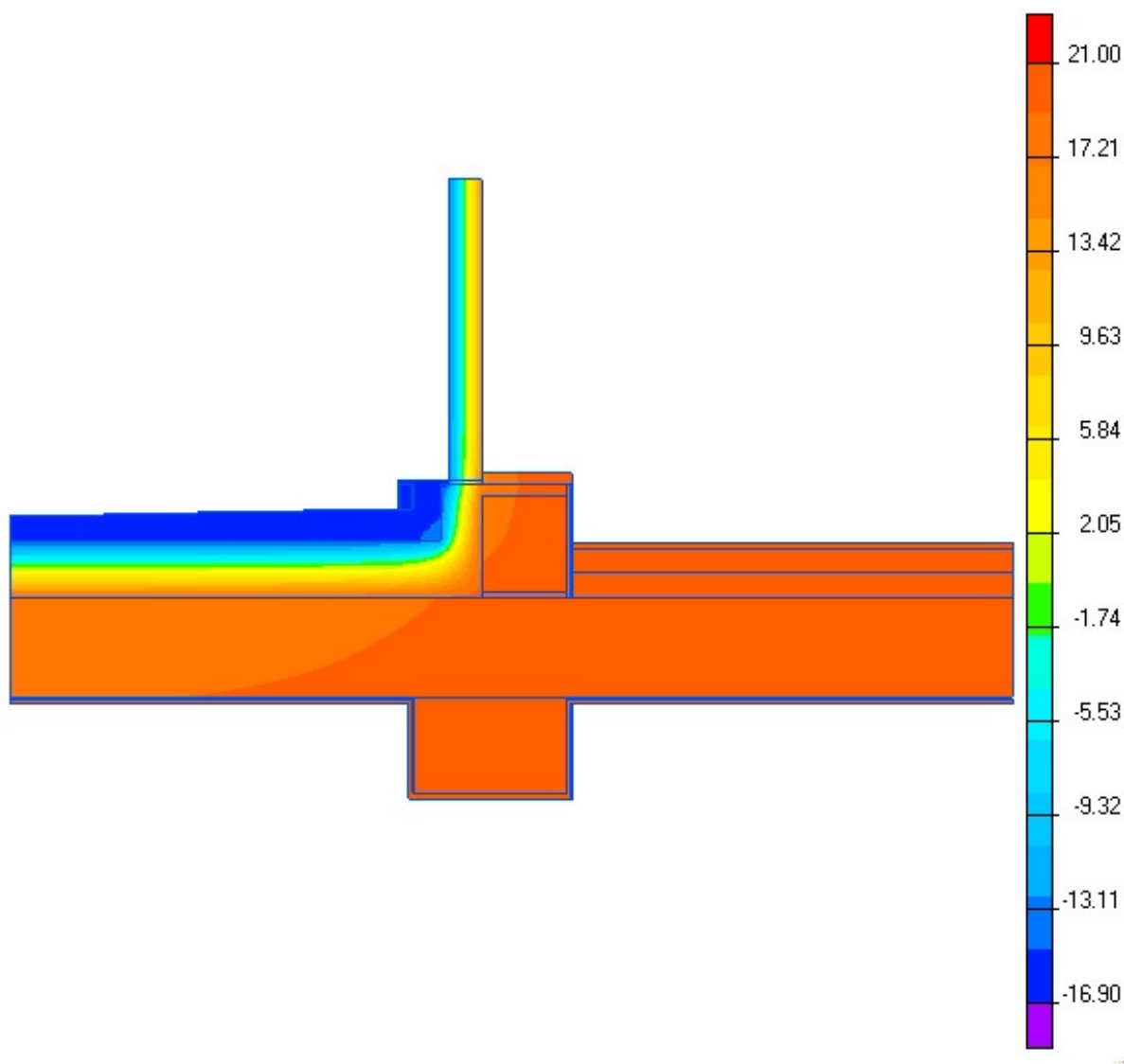


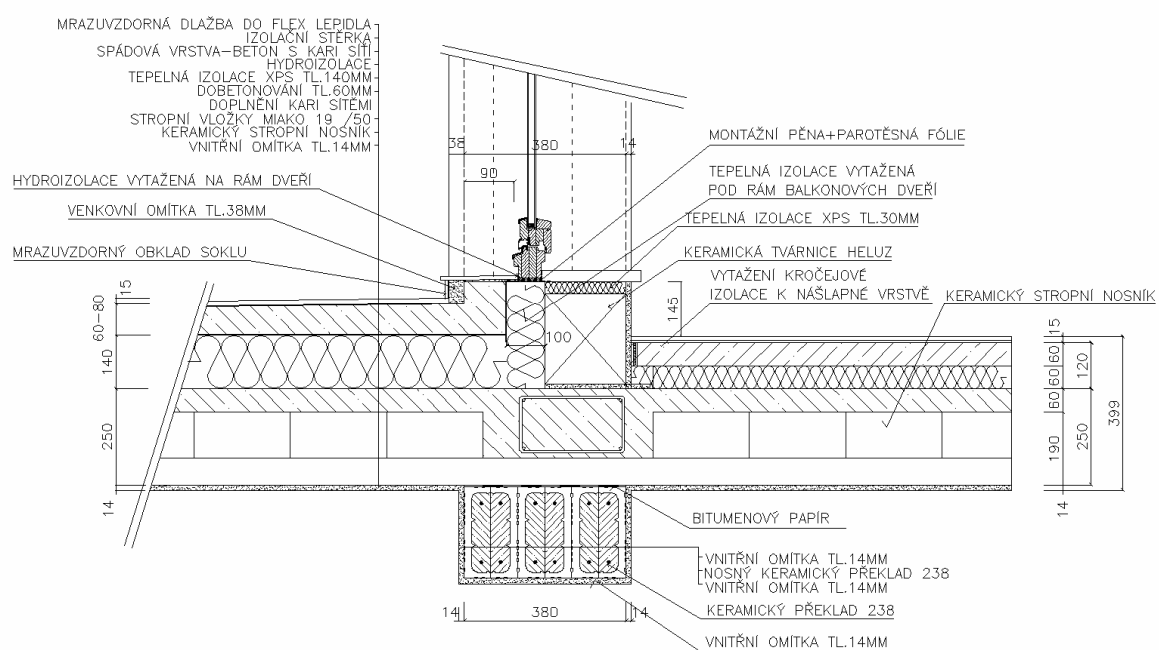
92 Detail prahu balkonových dveří na terasu P+D 380 mm						
lineární činitel prostupu tepla - interiér dole z interiérových rozměrů ψ_i^{Di} W/(m.K)	lineární činitel prostupu tepla - interiér nahoře z interiérových rozměrů ψ_i^{Hi} W/(m.K)	lineární činitel prostupu tepla - exteriér ψ_e W/(m.K)	lineární činitel prostupu tepla - dole z exteriérových rozměrů ψ_i^{De} W/(m.K)	lineární činitel prostupu tepla - nahore z exteriérových rozměrů ψ_i^{He} W/(m.K)	teplotní faktor dole f_{Rsi}^D -	teplotní faktor nahore f_{Rsi}^H -
0,157	0,041	0,230	0,183	0,048	0,8484	0,9488



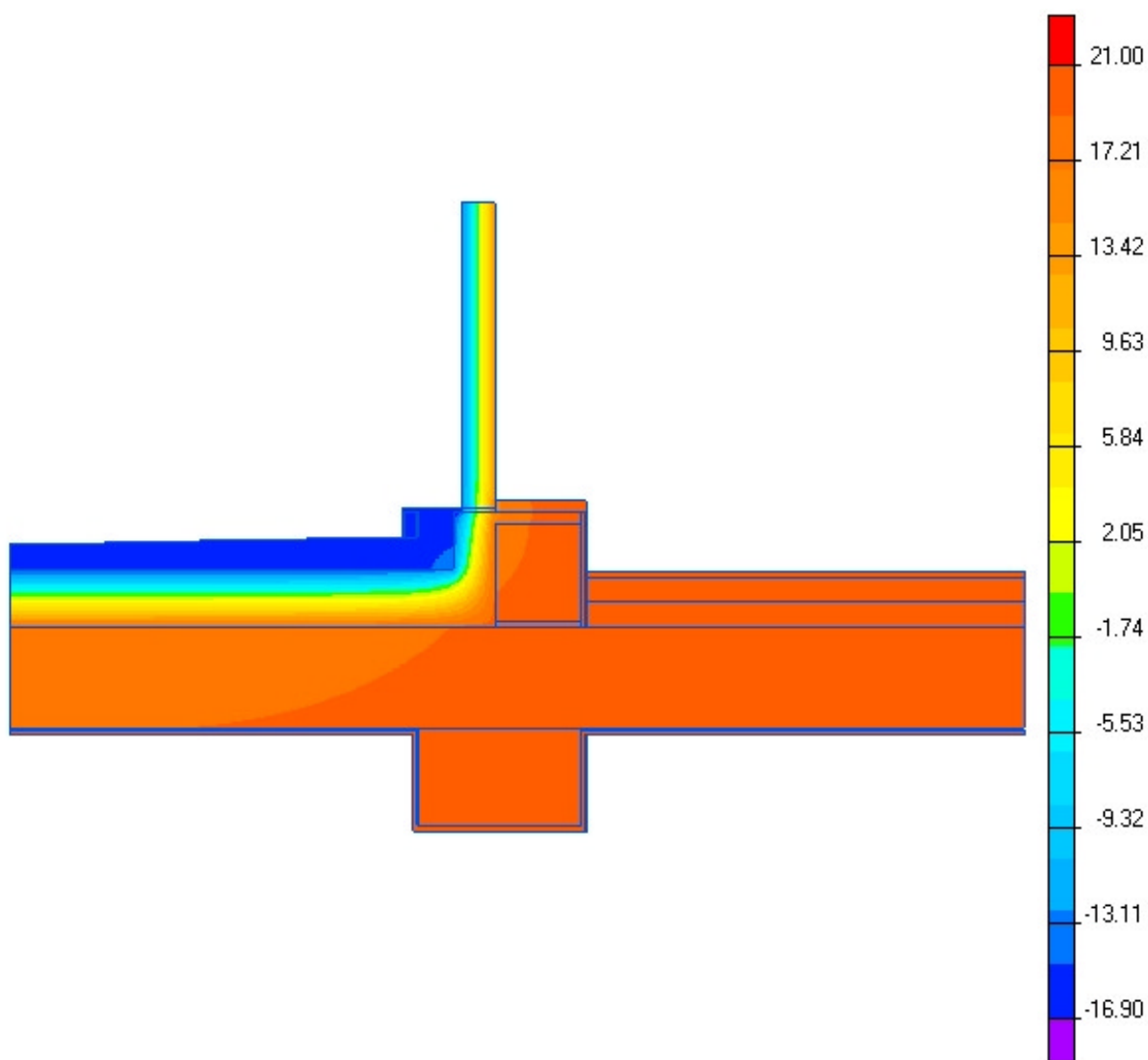


93 Detail prahu balkónových dveří na terasu STI 380 mm						
lineární činitel prostupu tepla - interiér dole z interiérových rozměrů ψ_i^{Di} W/(m.K)	lineární činitel prostupu tepla - interiér nahoře z interiérových rozměrů ψ_i^{Hi} W/(m.K)	lineární činitel prostupu tepla - exteriér ψ_e W/(m.K)	lineární činitel prostupu tepla - dole z exteriérových rozměrů ψ_i^{De} W/(m.K)	lineární činitel prostupu tepla - nahore z exteriérových rozměrů ψ_i^{He} W/(m.K)	teplotní faktor dole f_{Rsi}^D -	teplotní faktor nahore f_{Rsi}^H -
0,167	0,041	0,235	0,188	0,046	0,8484	0,9488

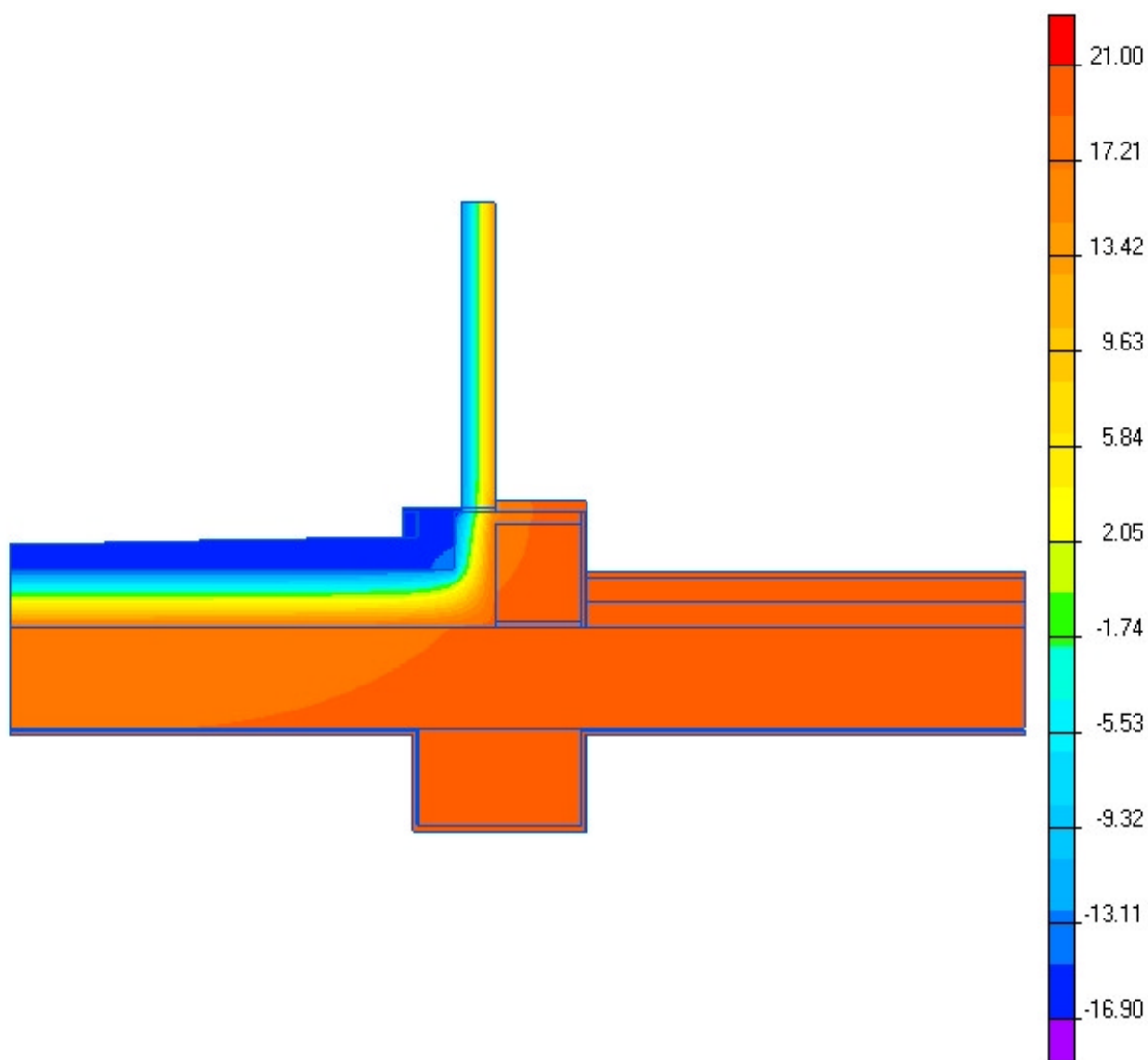


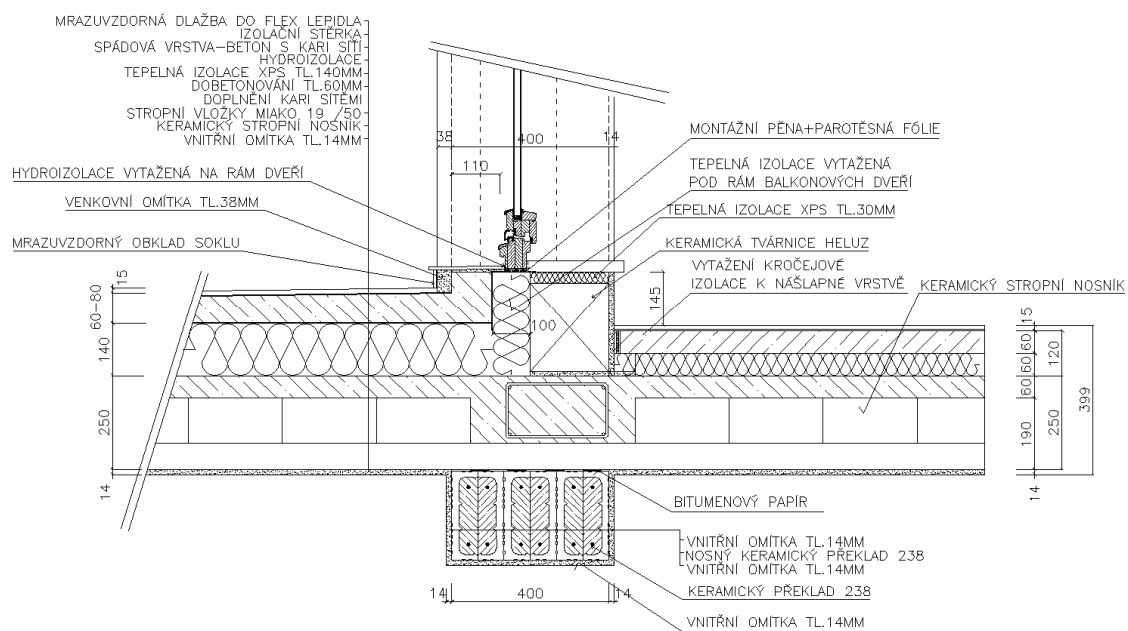


94 Detail prahu balkonových dveří na terasu P+D 400 mm						
lineární činitel prostupu tepla - interiér dole z interiérových rozměrů ψ_i^{Di} W/(m.K)	lineární činitel prostupu tepla - interiér nahoře z interiérových rozměrů ψ_i^{Hi} W/(m.K)	lineární činitel prostupu tepla - exteriér ψ_e W/(m.K)	lineární činitel prostupu tepla - dole z exteriérových rozměrů ψ_i^{De} W/(m.K)	lineární činitel prostupu tepla - nahore z exteriérových rozměrů ψ_i^{He} W/(m.K)	teplotní faktor dole f_{Rsi}^D -	teplotní faktor nahore f_{Rsi}^H -
0,160	0,045	0,236	0,183	0,052	0,8487	0,9487

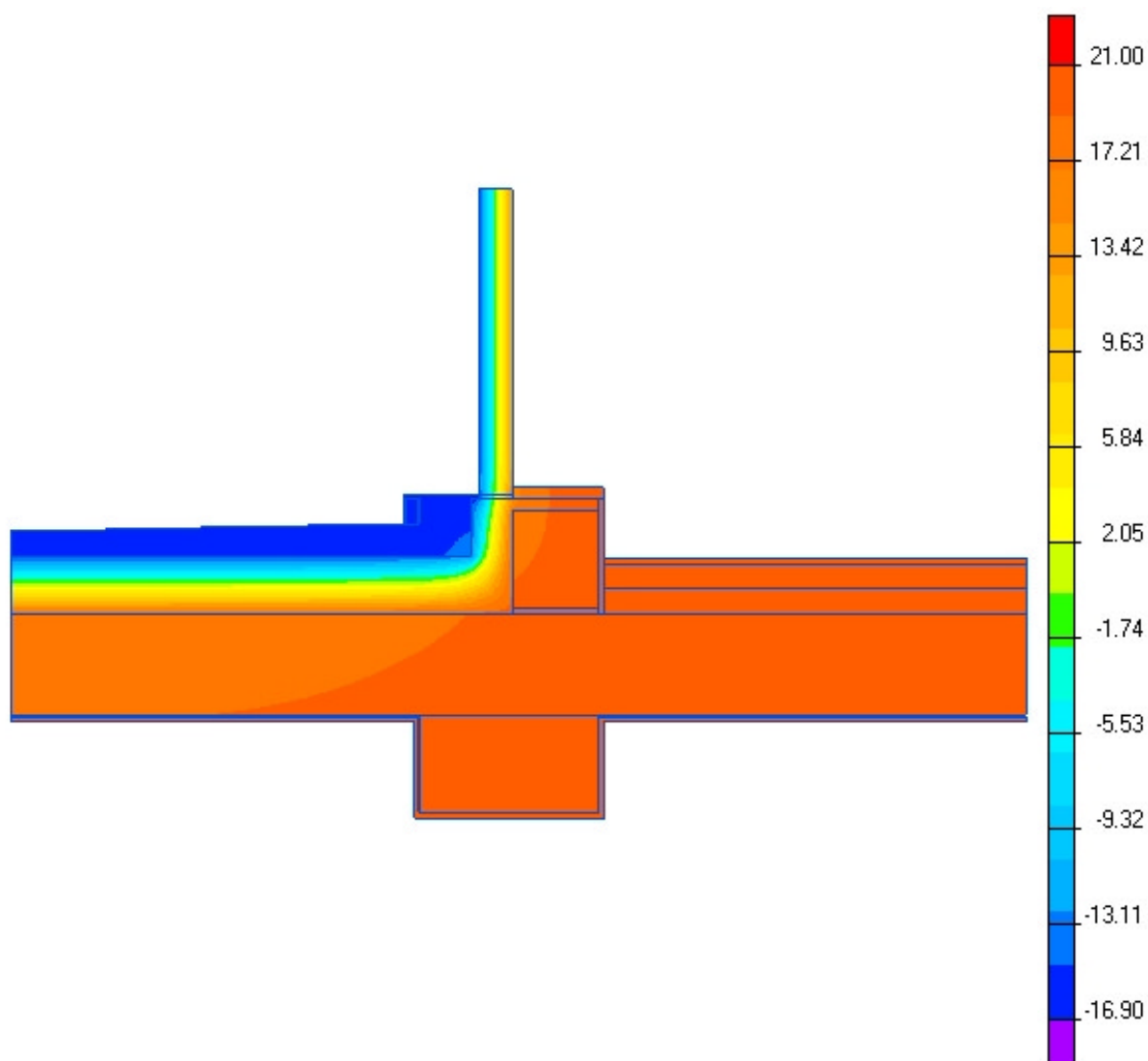


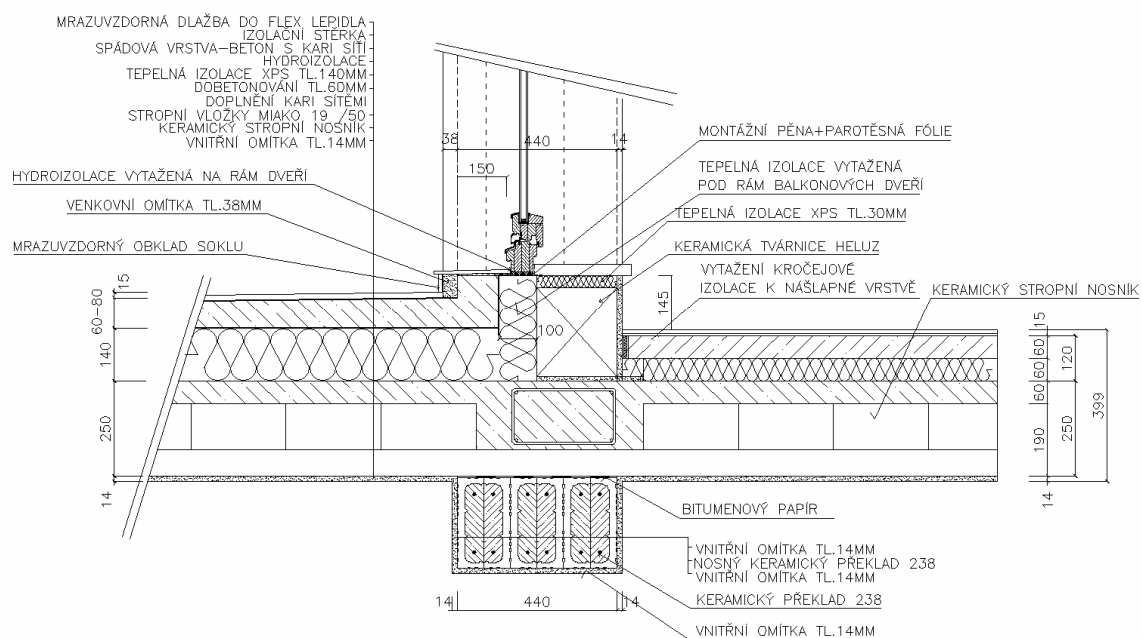
95 Detail prahu balkónových dveří na terasu STI 400 mm						
lineární činitel prostupu tepla - interiér dole z interiérových rozměrů ψ_i^{Di} W/(m.K)	lineární činitel prostupu tepla - interiér nahoře z interiérových rozměrů ψ_i^{Hi} W/(m.K)	lineární činitel prostupu tepla - exteriér ψ_e W/(m.K)	lineární činitel prostupu tepla - dole z exteriérových rozměrů ψ_i^{De} W/(m.K)	lineární činitel prostupu tepla - nahore z exteriérových rozměrů ψ_i^{He} W/(m.K)	teplotní faktor dole f_{Rsi}^D -	teplotní faktor nahore f_{Rsi}^H -
0,169	0,045	0,240	0,189	0,051	0,8482	0,9484



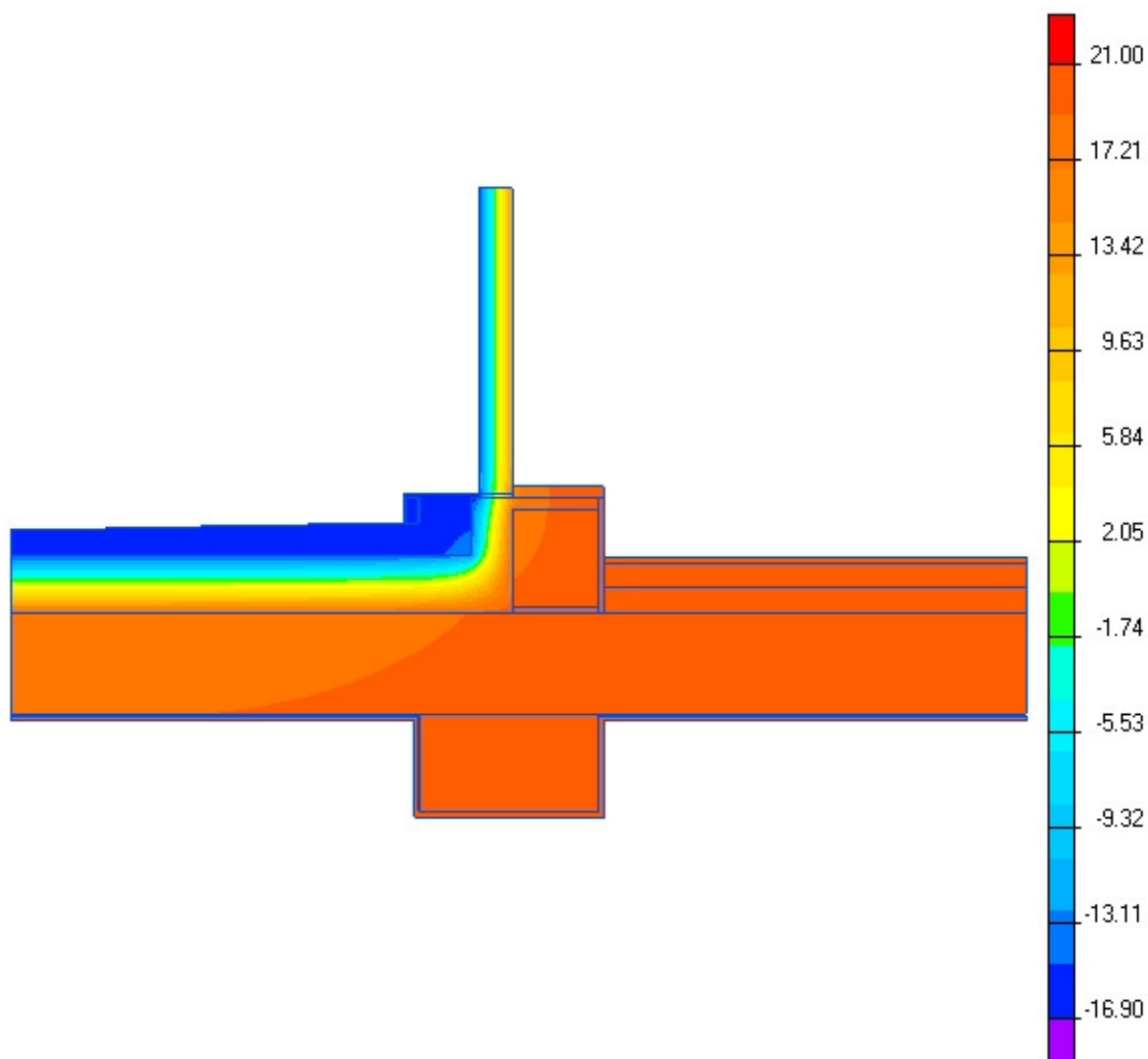


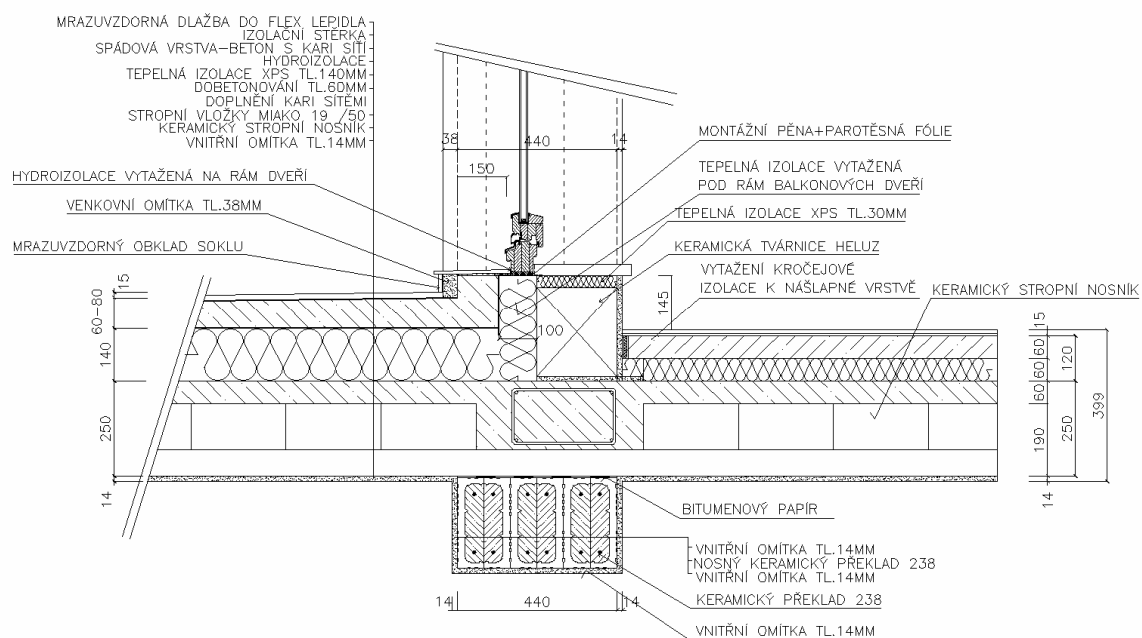
96 Detail prahu balkonových dveří na terasu P+D 440 mm						
lineární činitel prostupu tepla - interiér dole z interiérových rozměrů ψ_i^{Di} W/(m.K)	lineární činitel prostupu tepla - interiér nahoře z interiérových rozměrů ψ_i^{Hi} W/(m.K)	lineární činitel prostupu tepla - exteriér ψ_e W/(m.K)	lineární činitel prostupu tepla - dole z exteriérových rozměrů ψ_i^{De} W/(m.K)	lineární činitel prostupu tepla - nahore z exteriérových rozměrů ψ_i^{He} W/(m.K)	teplotní faktor dole f_{Rsi}^D -	teplotní faktor nahore f_{Rsi}^H -
0,163	0,054	0,246	0,185	0,061	0,8482	0,9484



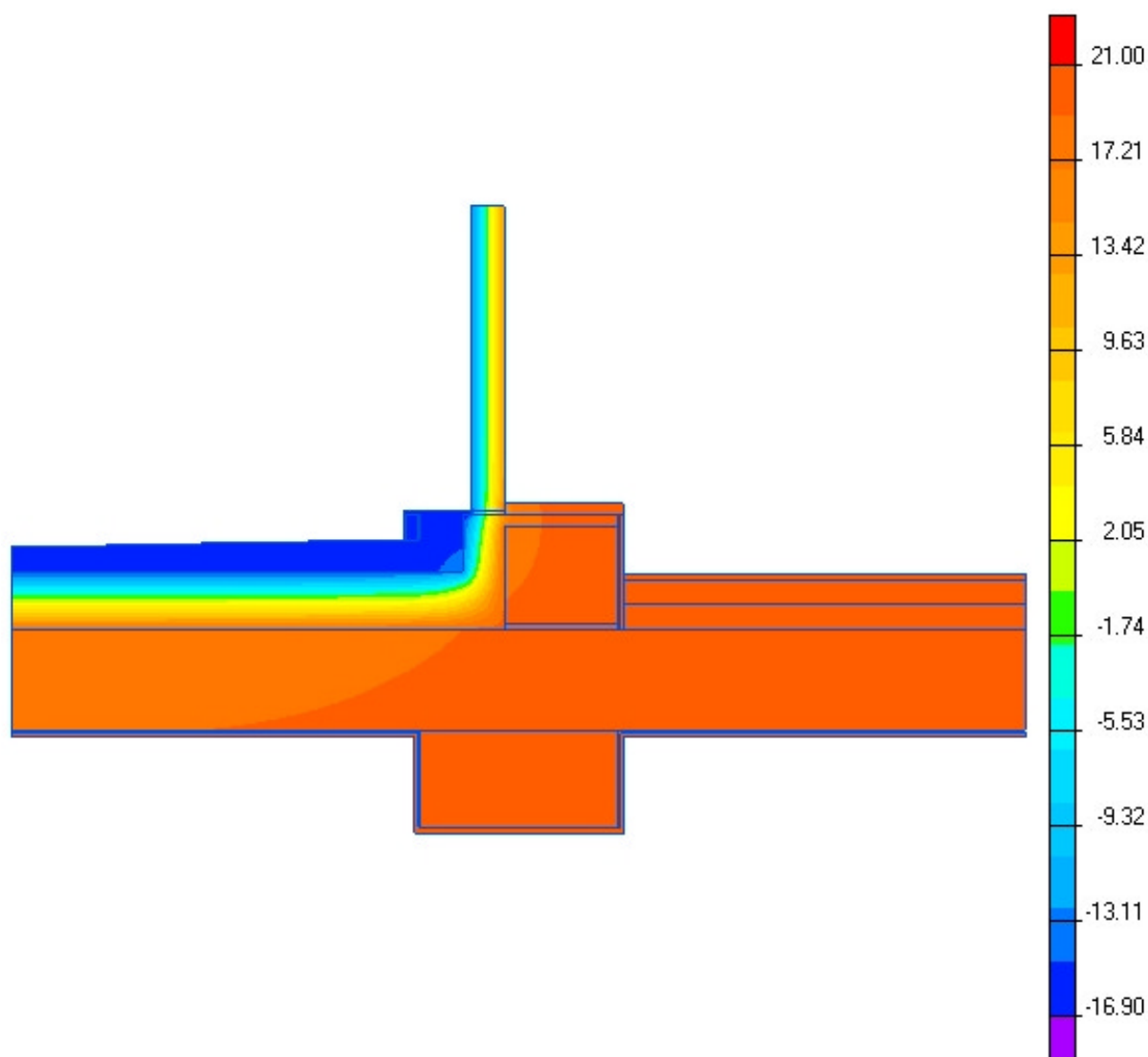


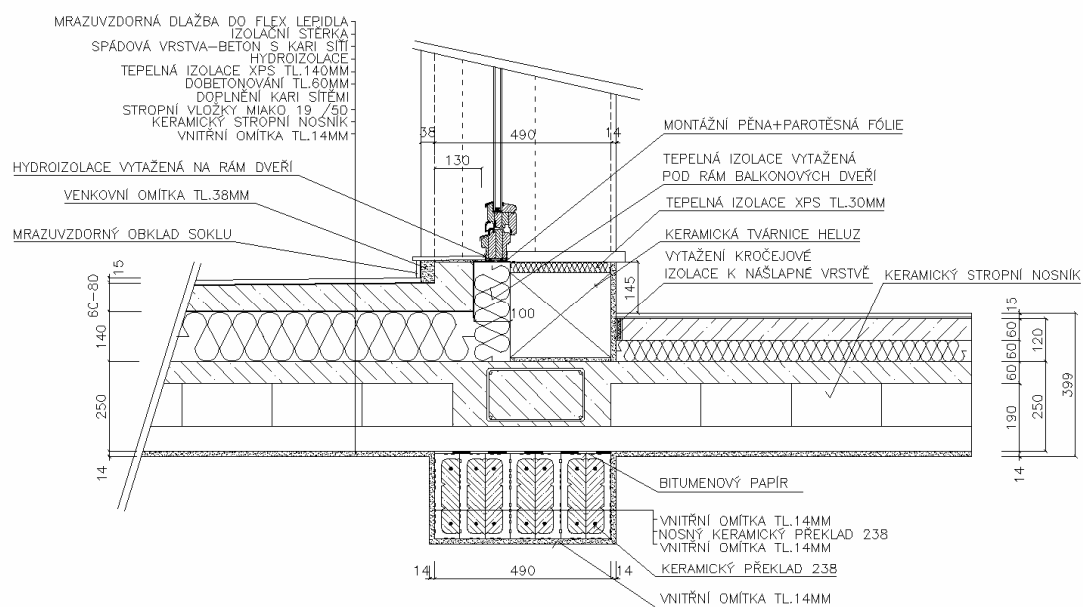
97 Detail prahu balkónových dveří na terasu STI 440 mm						
lineární činitel prostupu tepla - interiér dole z interiérových rozměrů ψ_i^{Di} W/(m.K)	lineární činitel prostupu tepla - interiér nahoře z interiérových rozměrů ψ_i^{Hi} W/(m.K)	lineární činitel prostupu tepla - exteriér ψ_e W/(m.K)	lineární činitel prostupu tepla - dole z exteriérových rozměrů ψ_i^{De} W/(m.K)	lineární činitel prostupu tepla - nahore z exteriérových rozměrů ψ_i^{He} W/(m.K)	teplotní faktor dole f_{Rsi}^D -	teplotní faktor nahore f_{Rsi}^H -
0,172	0,054	0,250	0,190	0,060	0,8482	0,9484



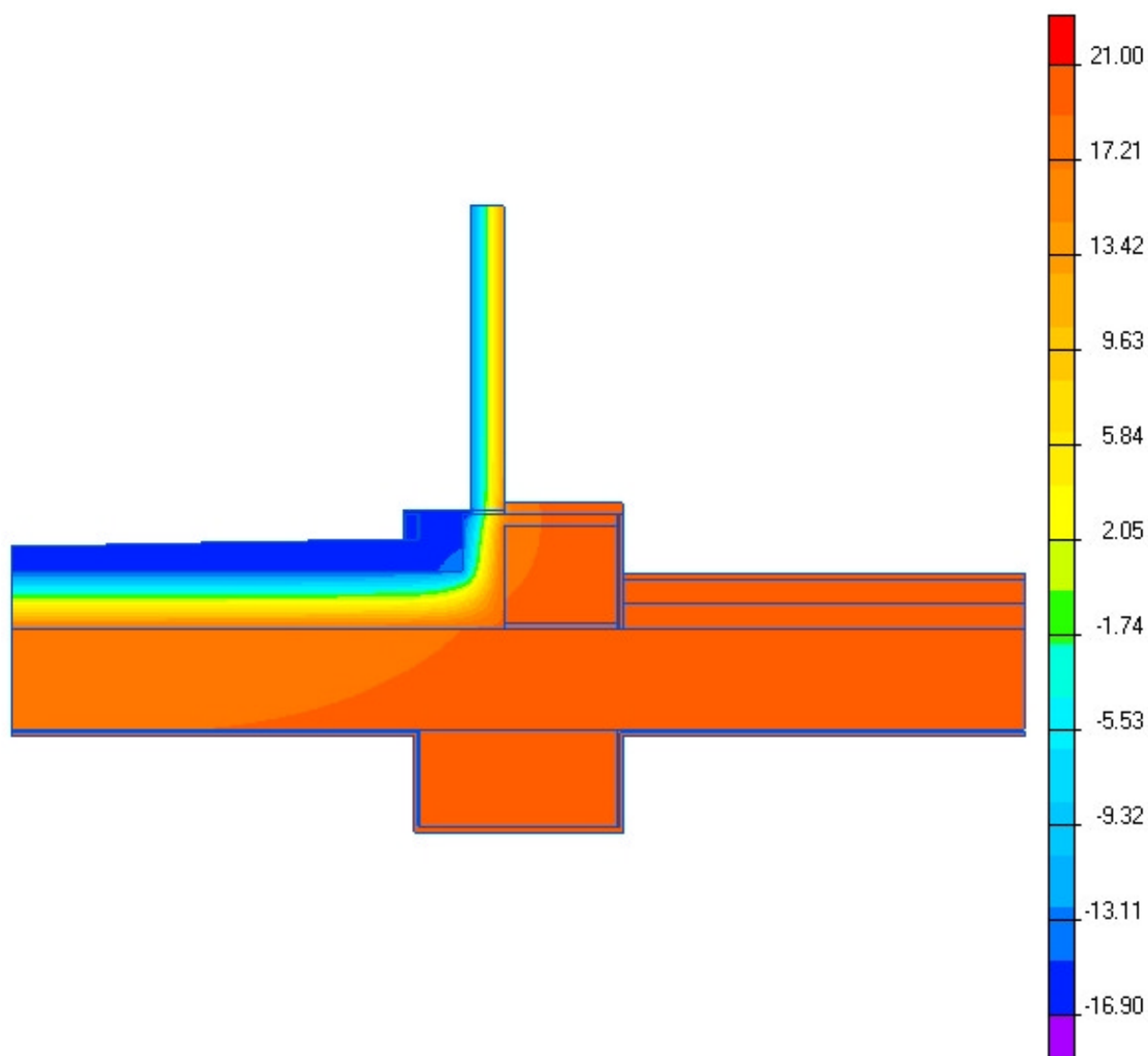


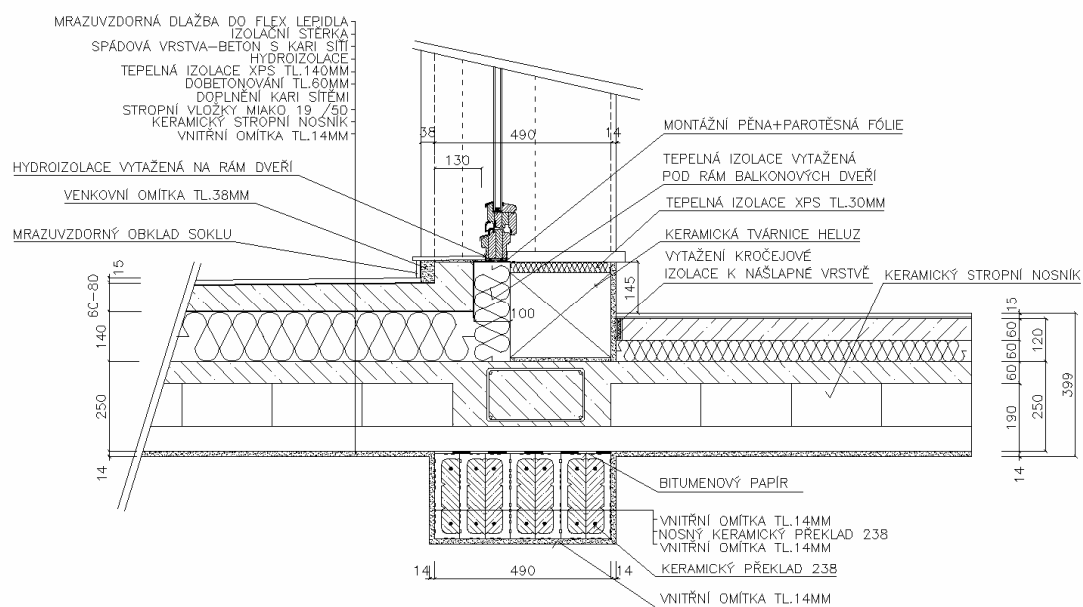
98 Detail prahu balkónových dveří na terasu P+D 490 mm						
lineární činitel prostupu tepla - interiér dole z interiérových rozměrů ψ_i^{Di} W/(m.K)	lineární činitel prostupu tepla - interiér nahoře z interiérových rozměrů ψ_i^{Hi} W/(m.K)	lineární činitel prostupu tepla - exteriér ψ_e W/(m.K)	lineární činitel prostupu tepla - dole z exteriérových rozměrů ψ_i^{De} W/(m.K)	lineární činitel prostupu tepla - nahore z exteriérových rozměrů ψ_i^{He} W/(m.K)	teplotní faktor dole f_{Rsi}^D -	teplotní faktor nahore f_{Rsi}^H -
0,163	0,053	0,243	0,183	0,060	0,8489	0,9485



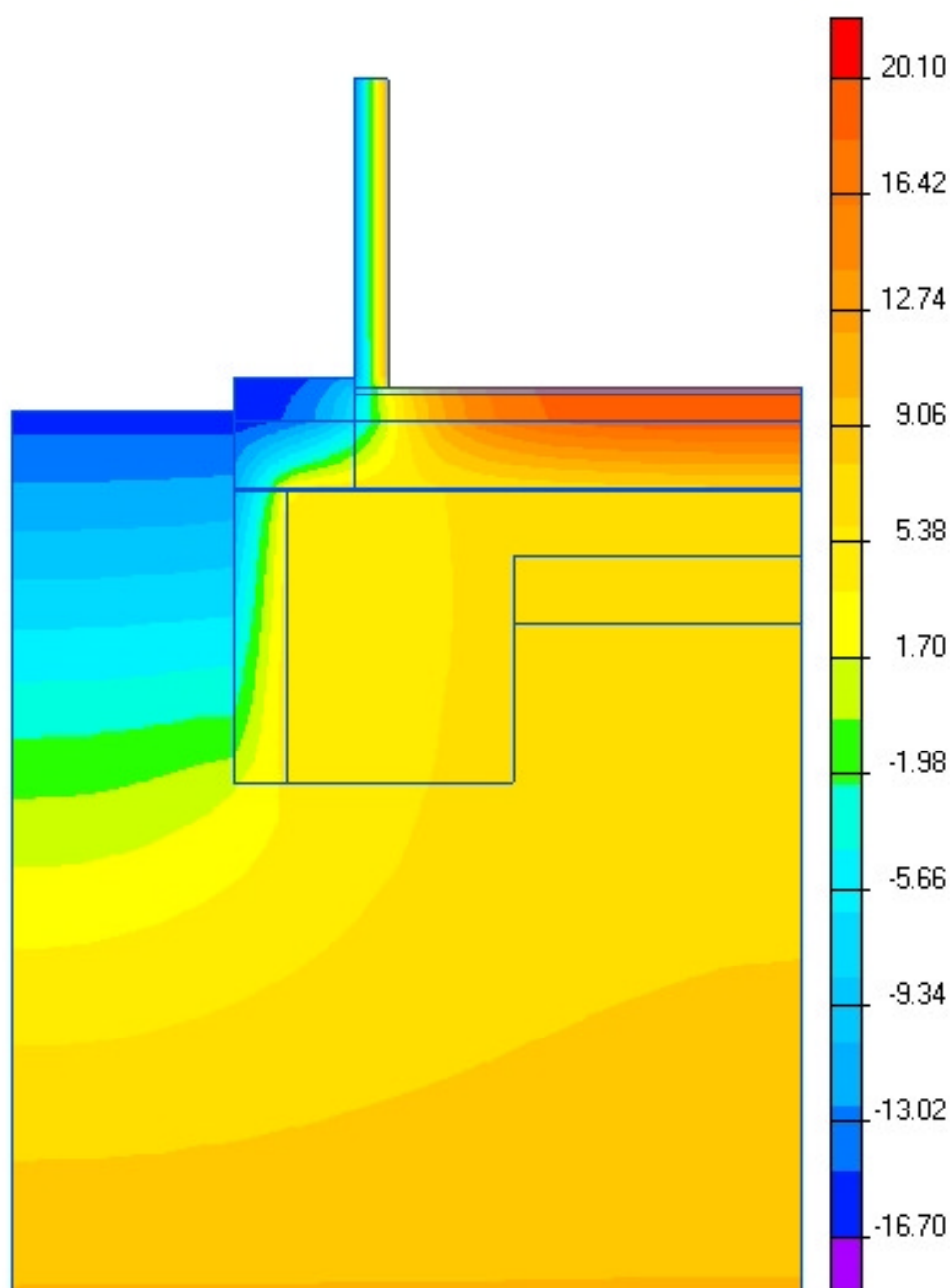


99 Detail prahu balkónových dveří na terasu STI 490 mm						
lineární činitel prostupu tepla - interiér dole z interiérových rozměrů ψ_i^{Di} W/(m.K)	lineární činitel prostupu tepla - interiér nahoře z interiérových rozměrů ψ_i^{Hi} W/(m.K)	lineární činitel prostupu tepla - exteriér ψ_e W/(m.K)	lineární činitel prostupu tepla - dole z exteriérových rozměrů ψ_i^{De} W/(m.K)	lineární činitel prostupu tepla - nahore z exteriérových rozměrů ψ_i^{He} W/(m.K)	teplotní faktor dole f_{Rsi}^D -	teplotní faktor nahore f_{Rsi}^H -
0,171	0,053	0,247	0,188	0,058	0,8489	0,9485

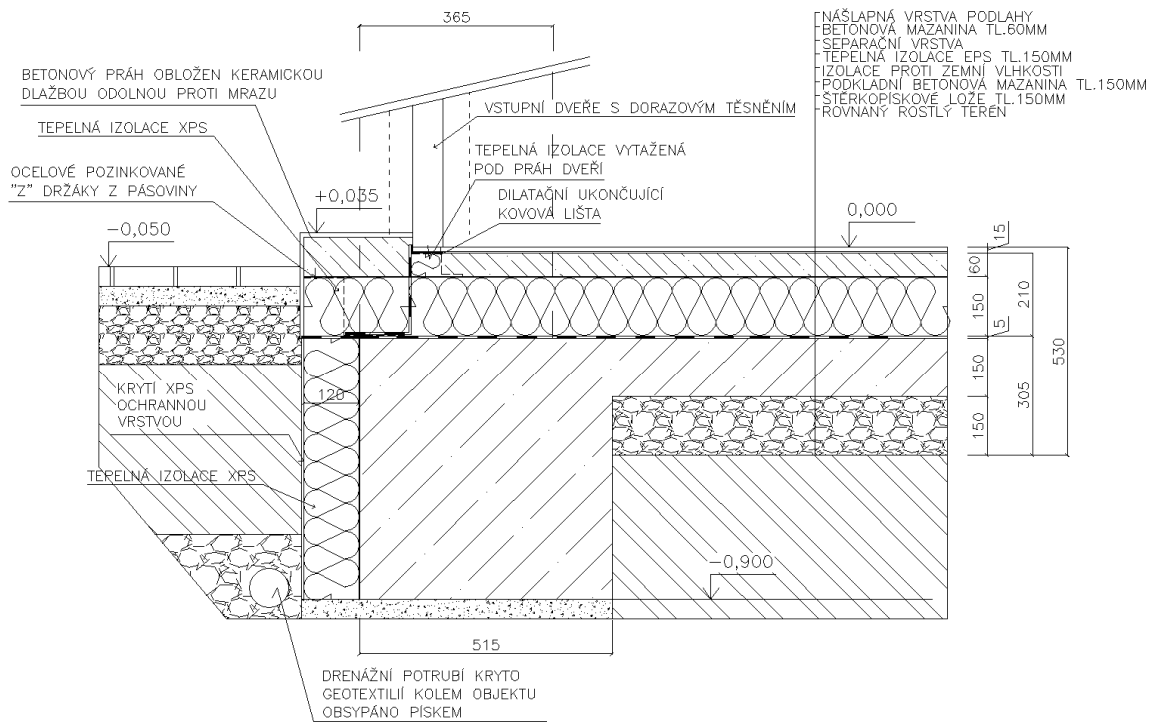




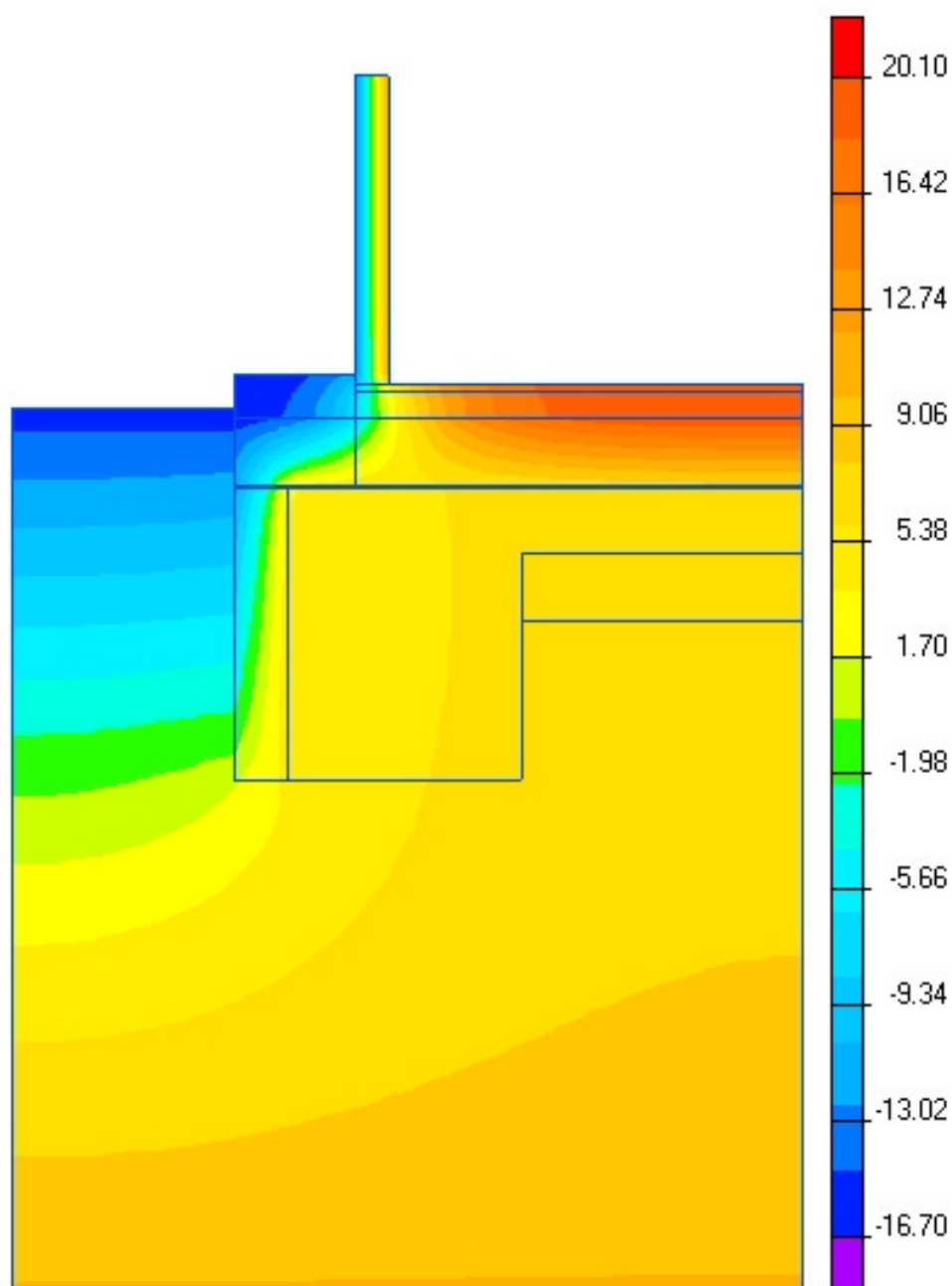
101 Detail prahu vstupních dveří u nepodsklepeného objektu STI 365 mm		
lineární činitel prostupu tepla - interiér ψ_i W/(m.K)	lineární činitel prostupu tepla - exteriér ψ_e W/(m.K)	teplotní faktor f_{Rsi} -
0,522	0,523	0,5129

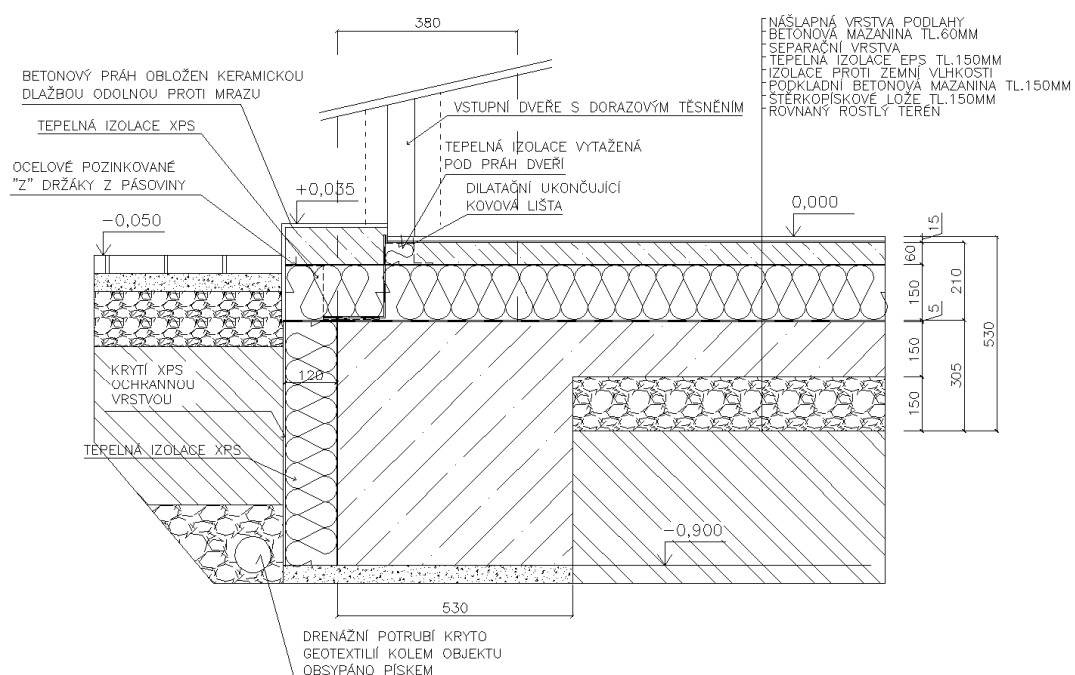


Obsah: "Výpočet typických tepelných mostů a jejich minimalizace – 250 detailů"
Zpracovatel: Energy Consulting – Project, s.r.o., Přemyslská 484/28, 182 00 Praha 8,
IČ 26113317; mobil 777 196 154, e-mail: info@e-c.cz

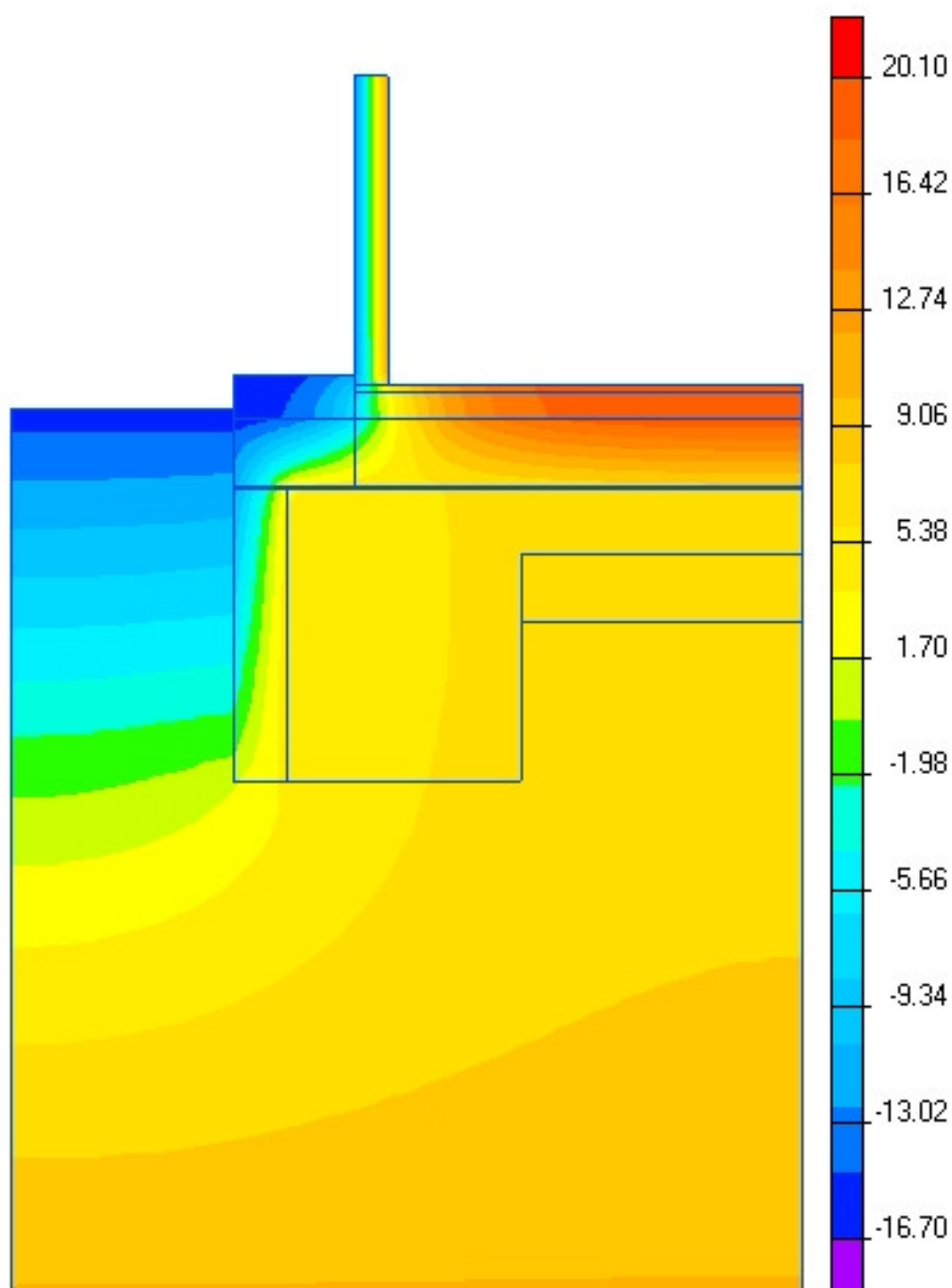


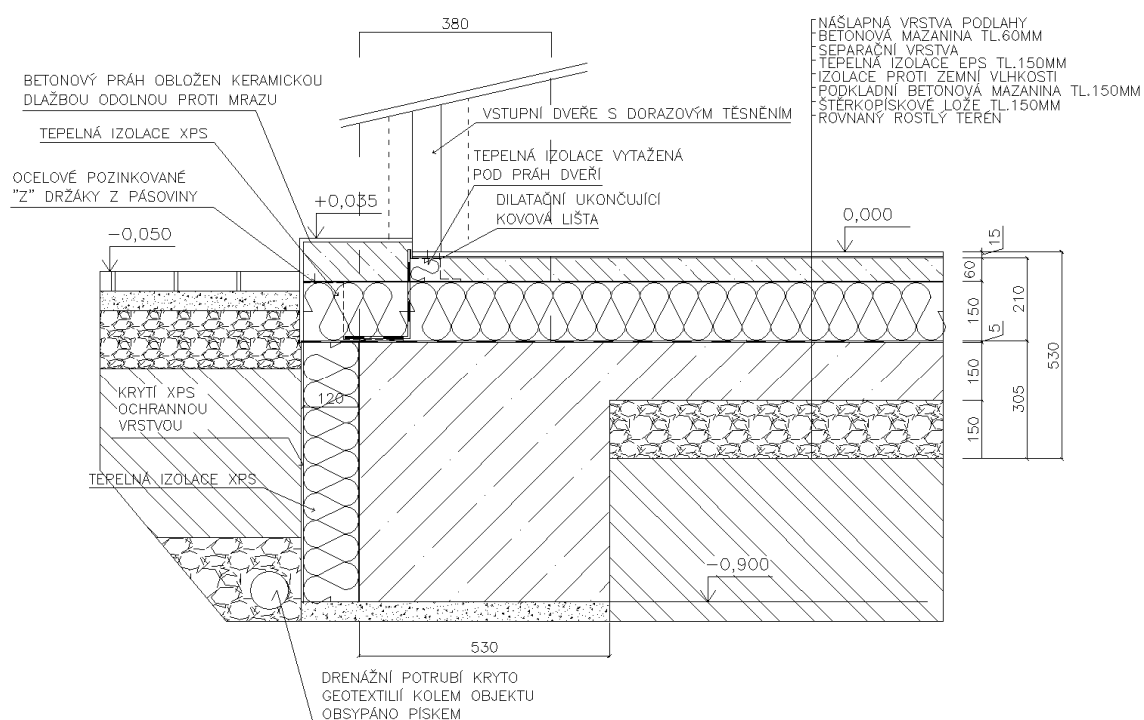
102 Detail prahu vstupních dveří u nepodsklepeného objektu P+D 380 mm		
lineární číselník průstupu tepla - interiér ψ_i W/(m.K)	lineární číselník průstupu tepla - exteriér ψ_e W/(m.K)	teplotní faktor f_{Rsi} -
0,523	0,506	0,5129



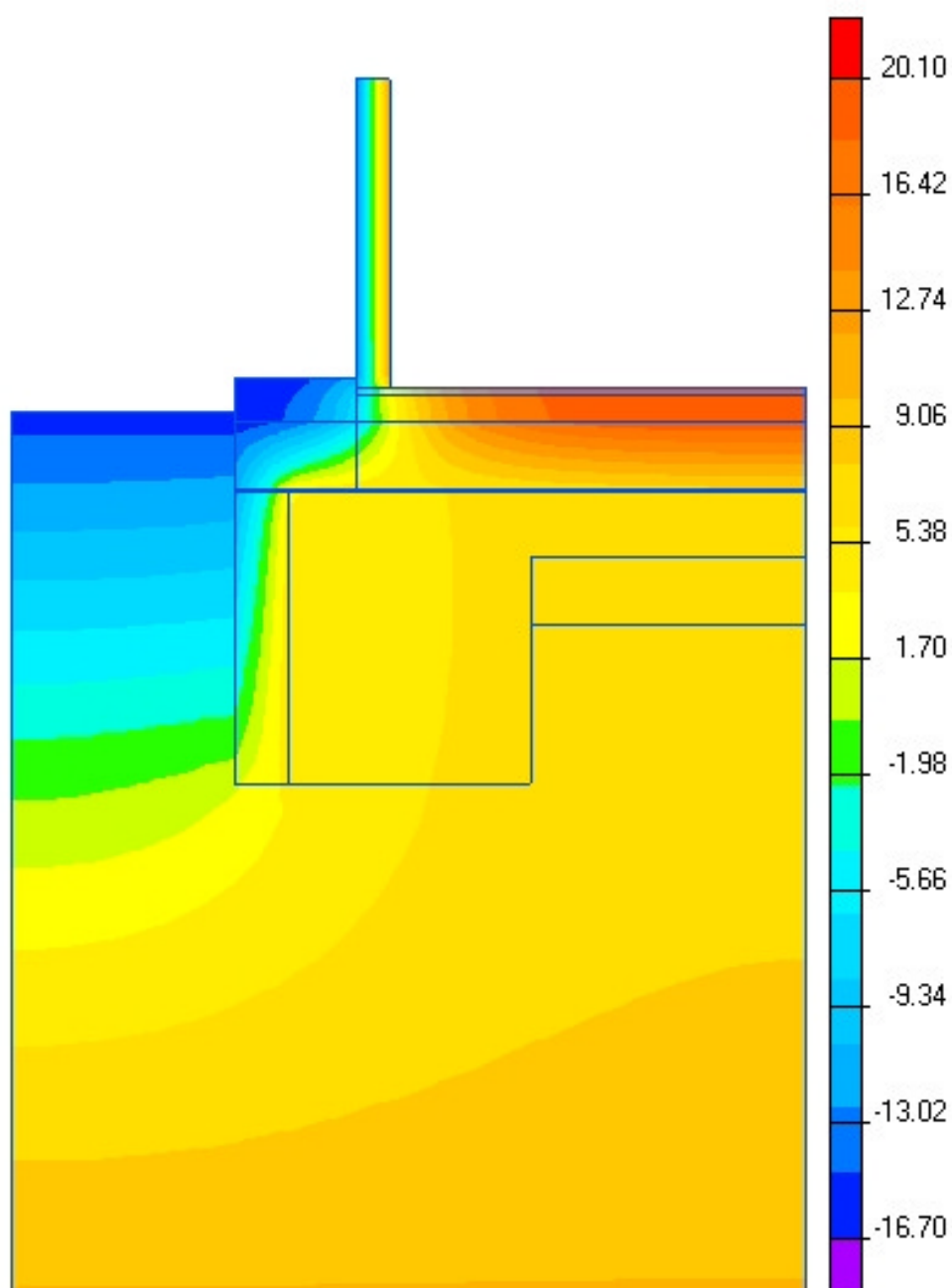


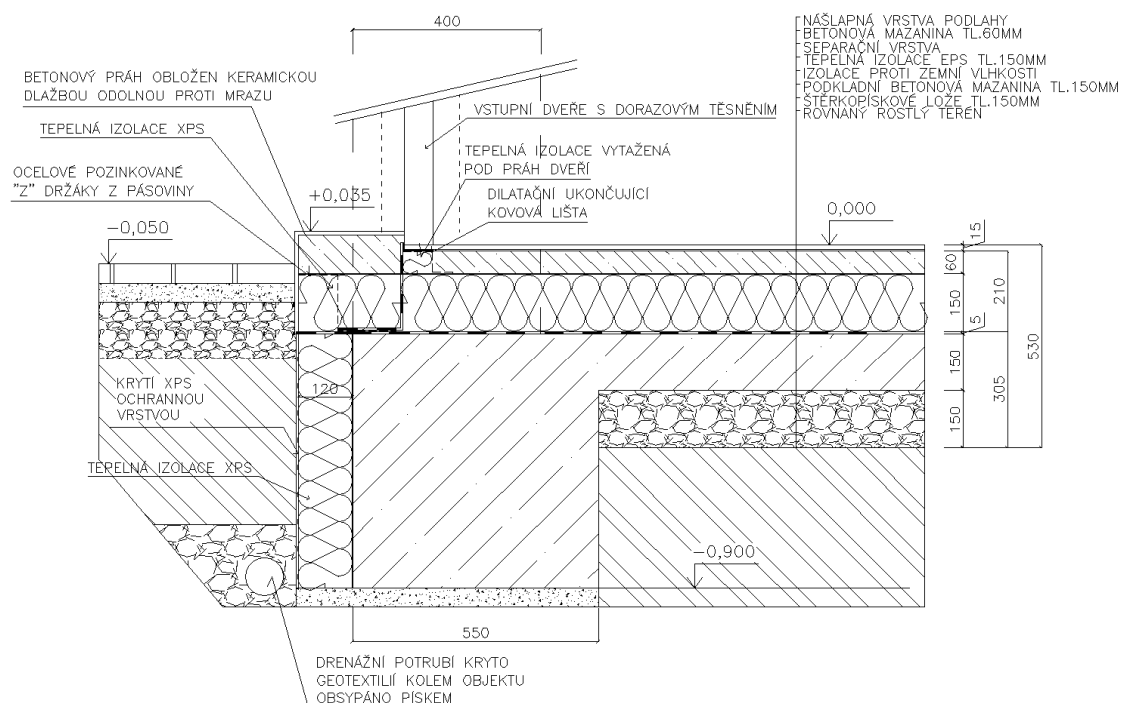
103 Detail prahu vstupních dveří u nepodsklepeného objektu STI 380 mm		
lineární číselník průtoku tepla - interiér ψ_i W/(m.K)	lineární číselník průtoku tepla - exteriér ψ_e W/(m.K)	teplotní faktor f_{Rsi} -
0,523	0,526	0,5129



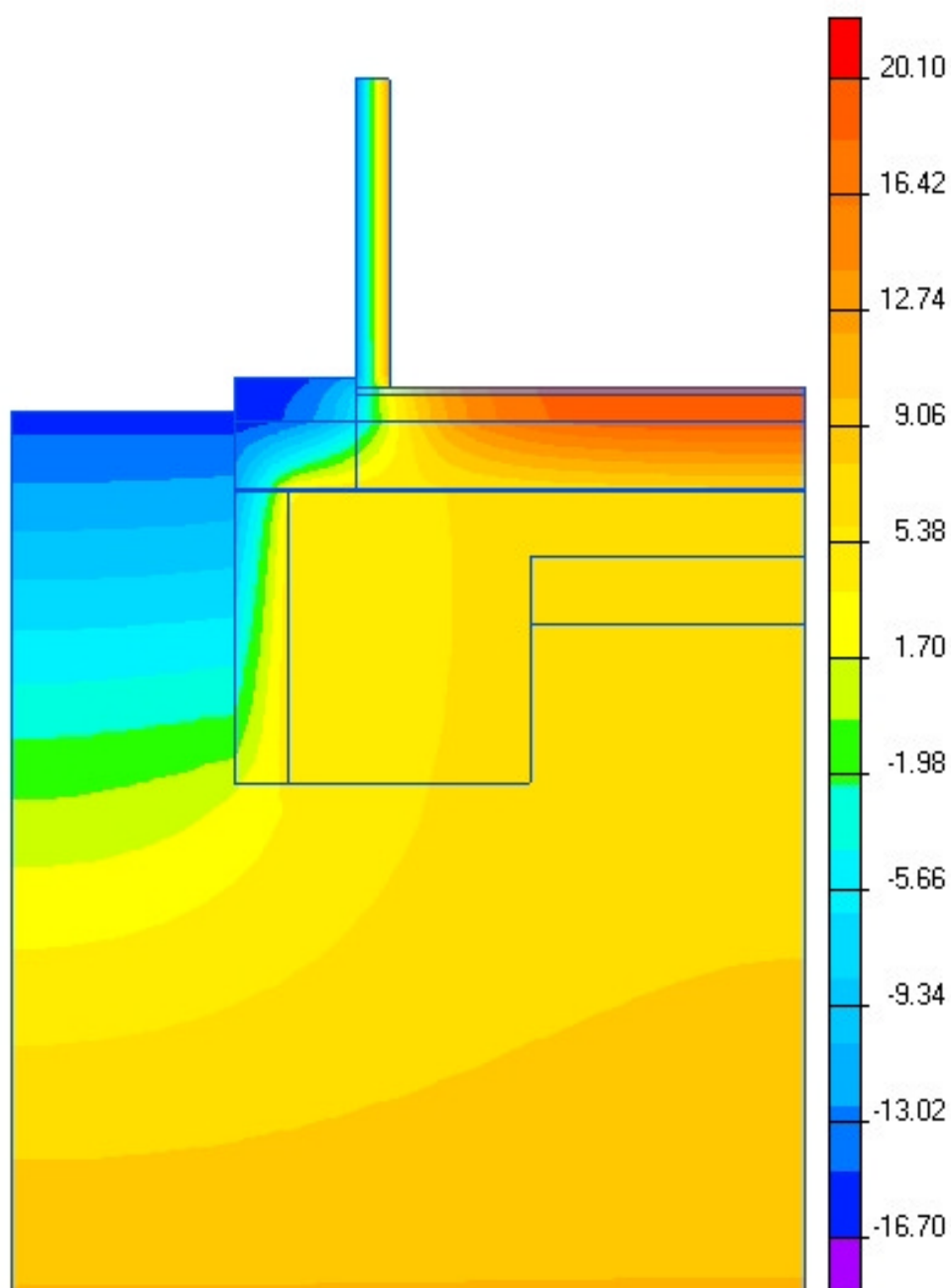


104 Detail prahu vstupních dveří u nepodsklepeného objektu P+D 400 mm		
lineární číselník průtoku tepla - interiér ψ_i W/(m.K)	lineární číselník průtoku tepla - exteriér ψ_e W/(m.K)	teplotní faktor f_{Rsi} -
0,524	0,510	0,5129

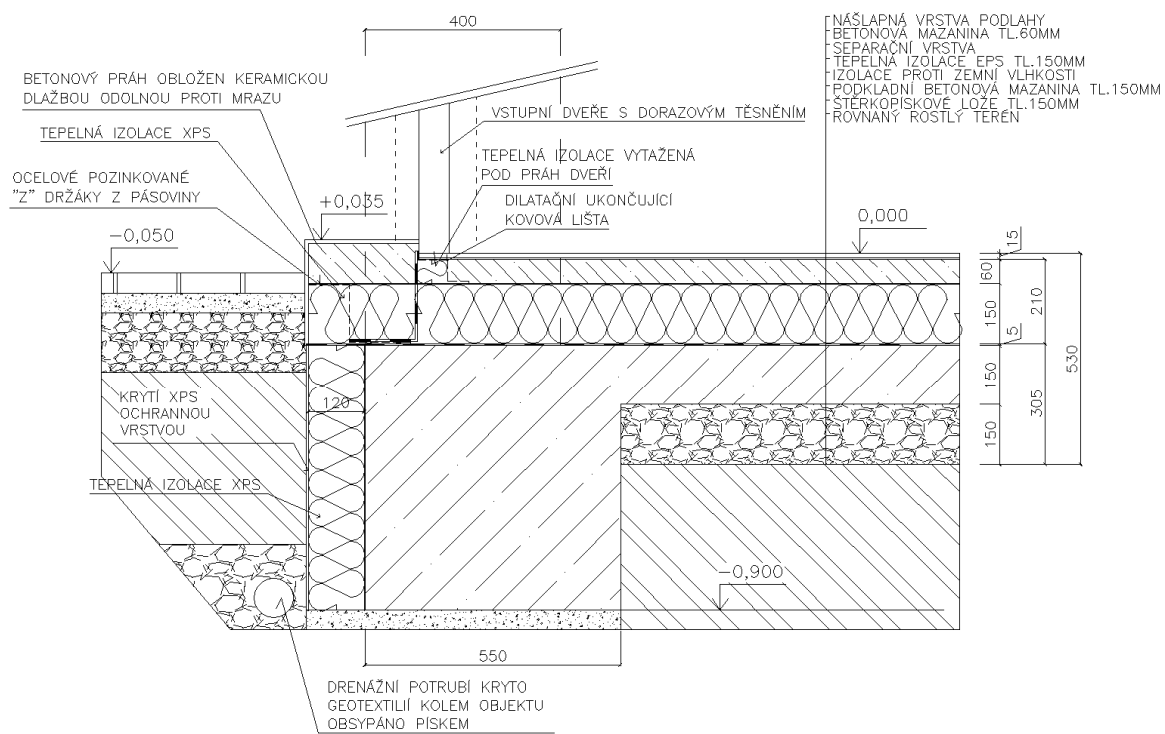




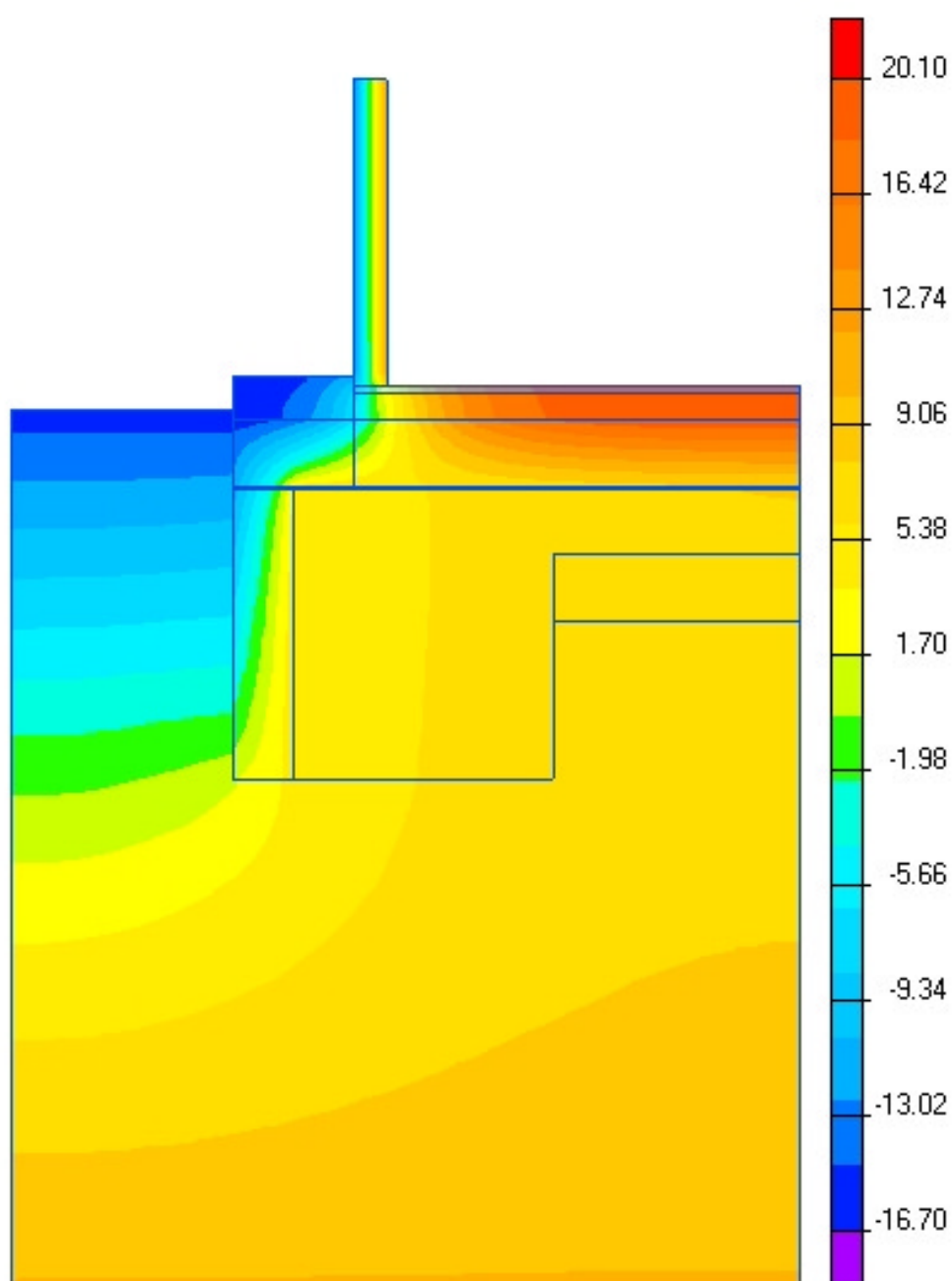
105 Detail prahu vstupních dveří u nepodsklepeného objektu STI 400 mm		
lineární číselník průstupu tepla - interiér ψ_i W/(m.K)	lineární číselník průstupu tepla - exteriér ψ_e W/(m.K)	teplotní faktor f_{Rsi} -
0,524	0,530	0,5128

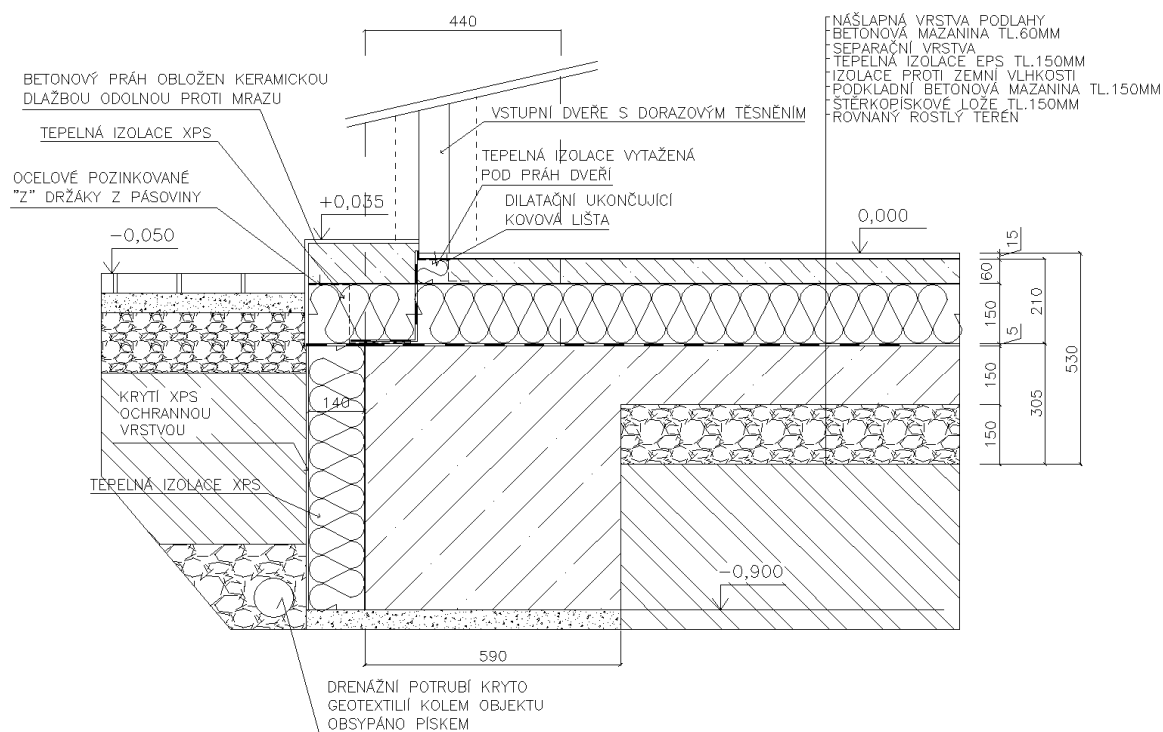


Obsah: "Výpočet typických tepelných mostů a jejich minimalizace – 250 detailů"
Zpracovatel: Energy Consulting – Project, s.r.o., Přemyslská 484/28, 182 00 Praha 8,
IČ 26113317; mobil 777 196 154, e-mail:info@e-c.cz

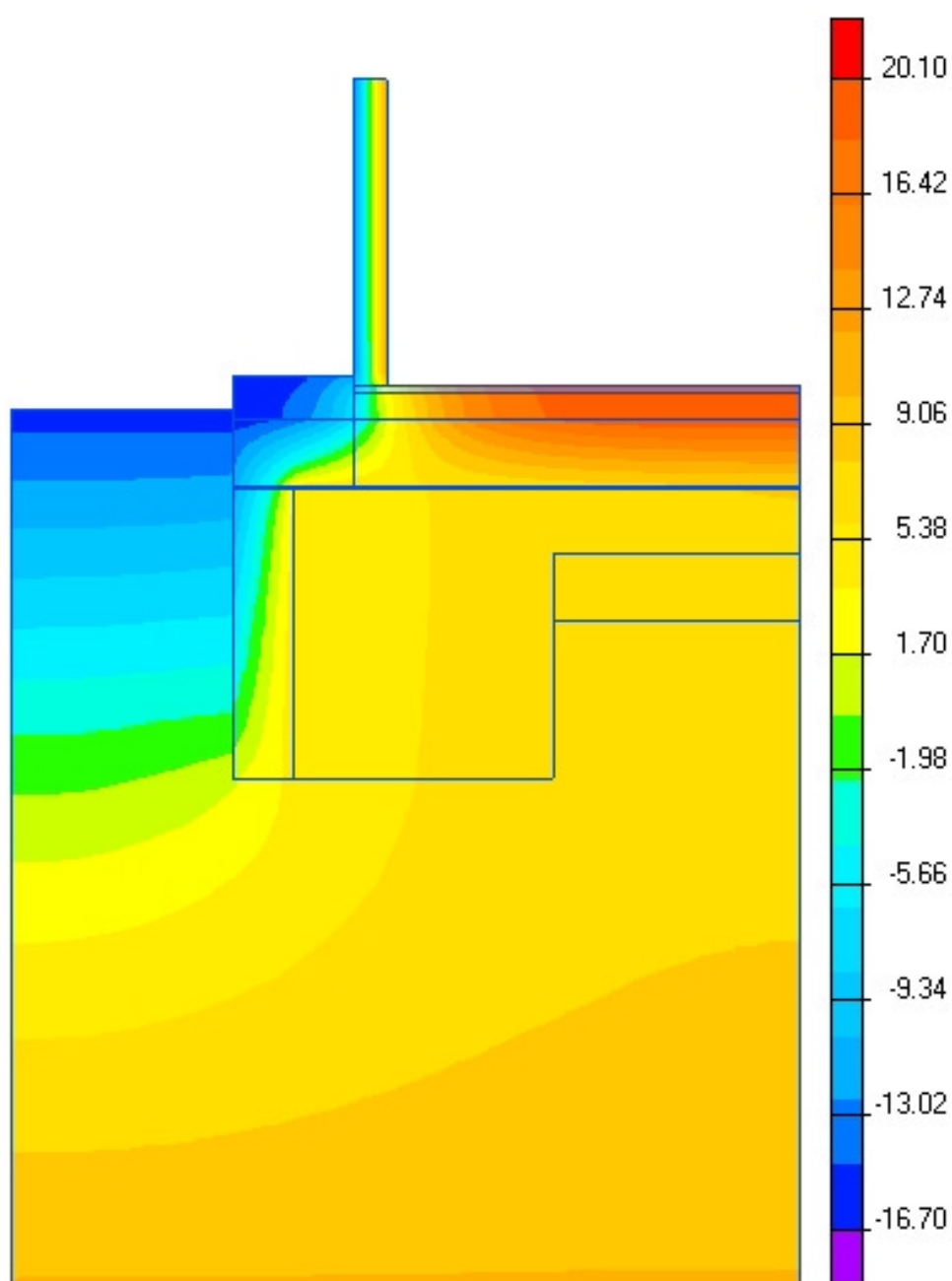


106 Detail prahu vstupních dveří u nepodsklepeného objektu P+D 440 mm		
lineární číselník průtoku tepla - interiér ψ_i W/(m.K)	lineární číselník průtoku tepla - exteriér ψ_e W/(m.K)	teplotní faktor f_{Rsi} -
0,525	0,503	0,5128

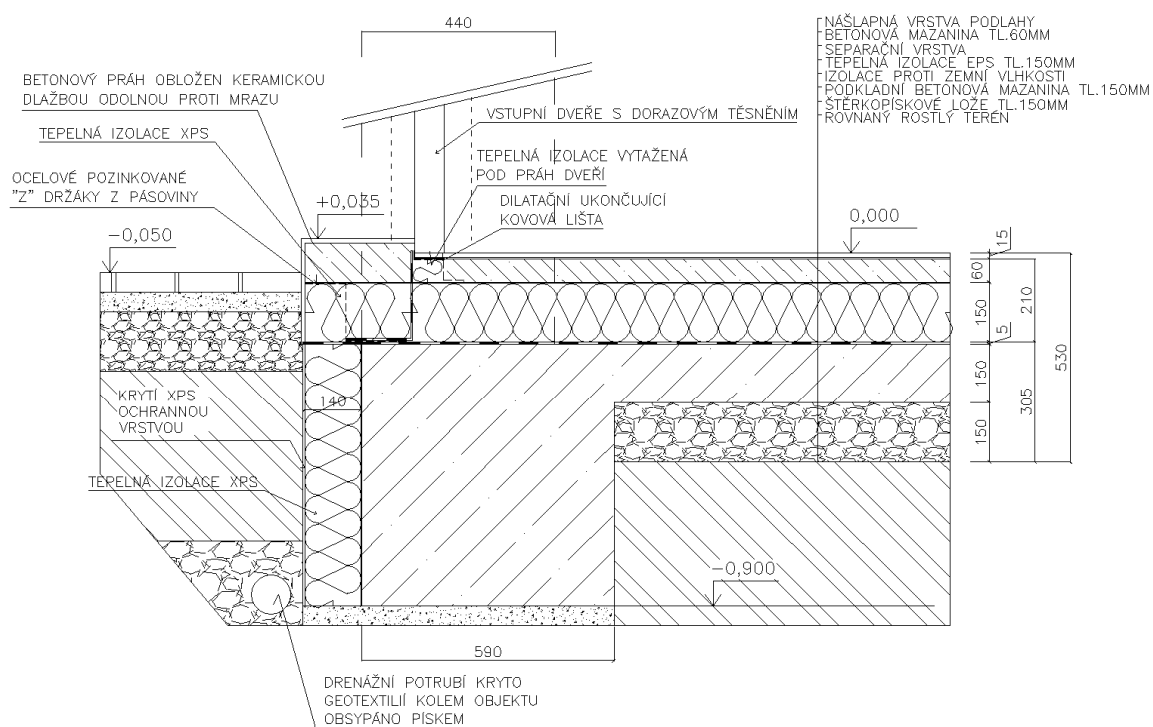




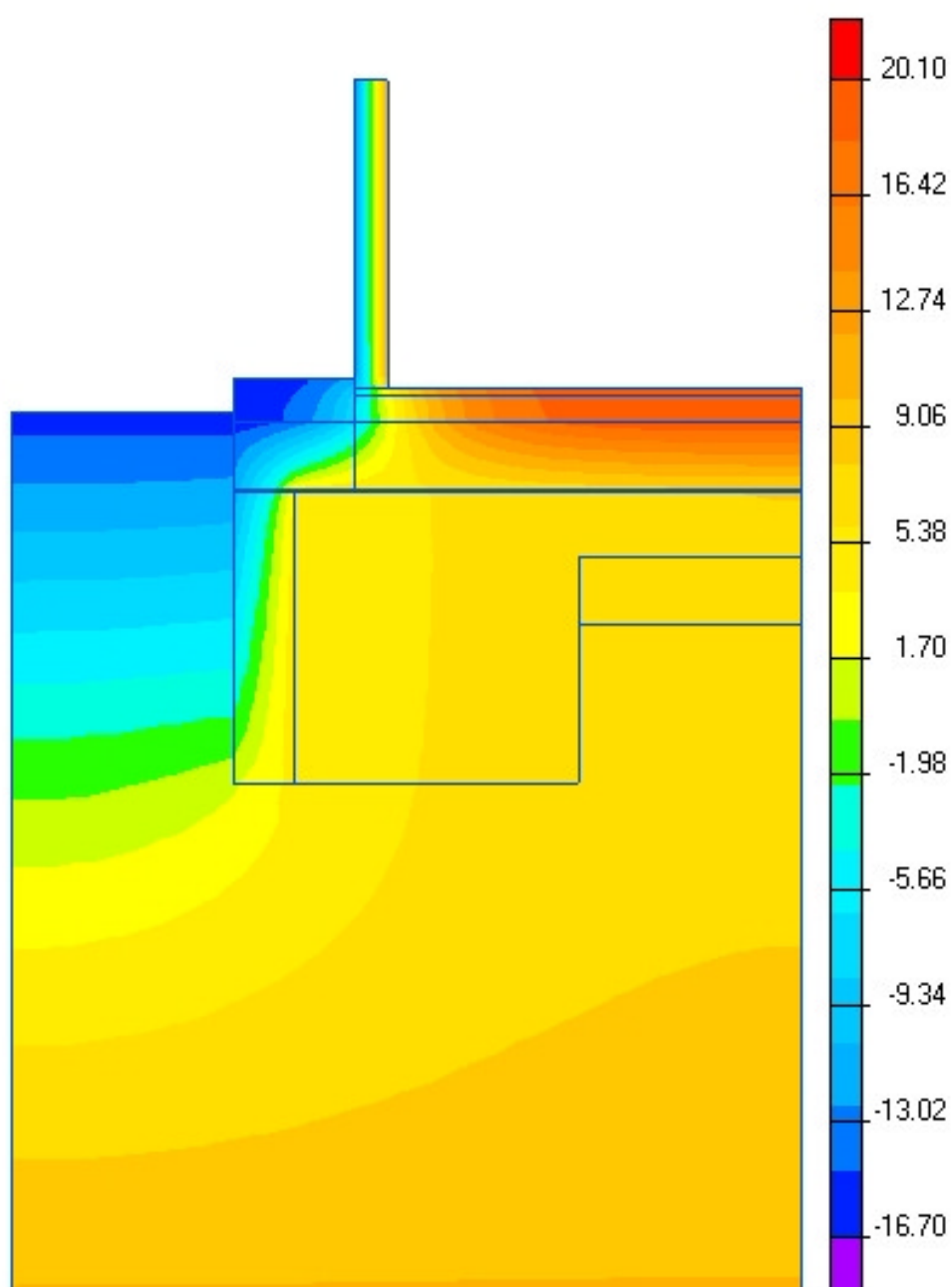
107 Detail prahu vstupních dveří u nepodsklepeného objektu STI 440 mm		
lineární činitel prostupu tepla - interiér ψ_i W/(m.K)	lineární činitel prostupu tepla - exteriér ψ_e W/(m.K)	teplotní faktor f_{Rsi} -
0,525	0,521	0,5128



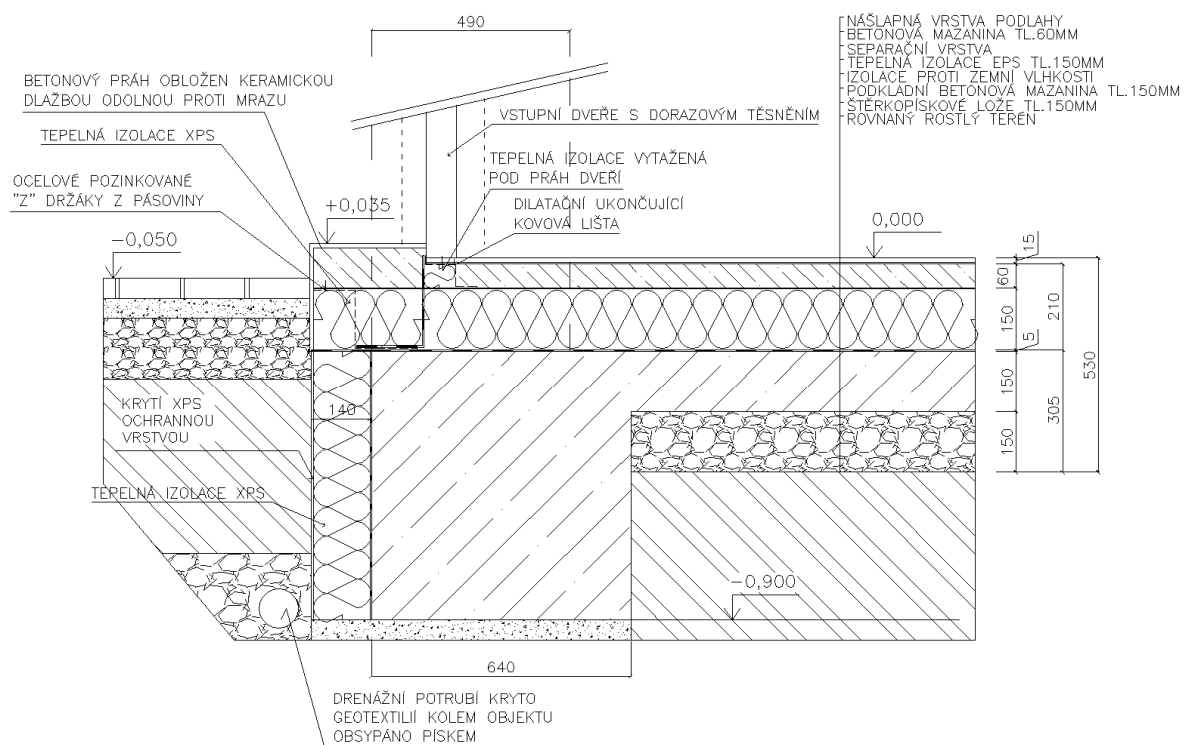
Obsah: "Výpočet typických tepelných mostů a jejich minimalizace – 250 detailů"
Zpracovatel: Energy Consulting – Project, s.r.o., Přemyslská 484/28, 182 00 Praha 8,
IČ 26113317; mobil 777 196 154, e-mail:info@e-c.cz



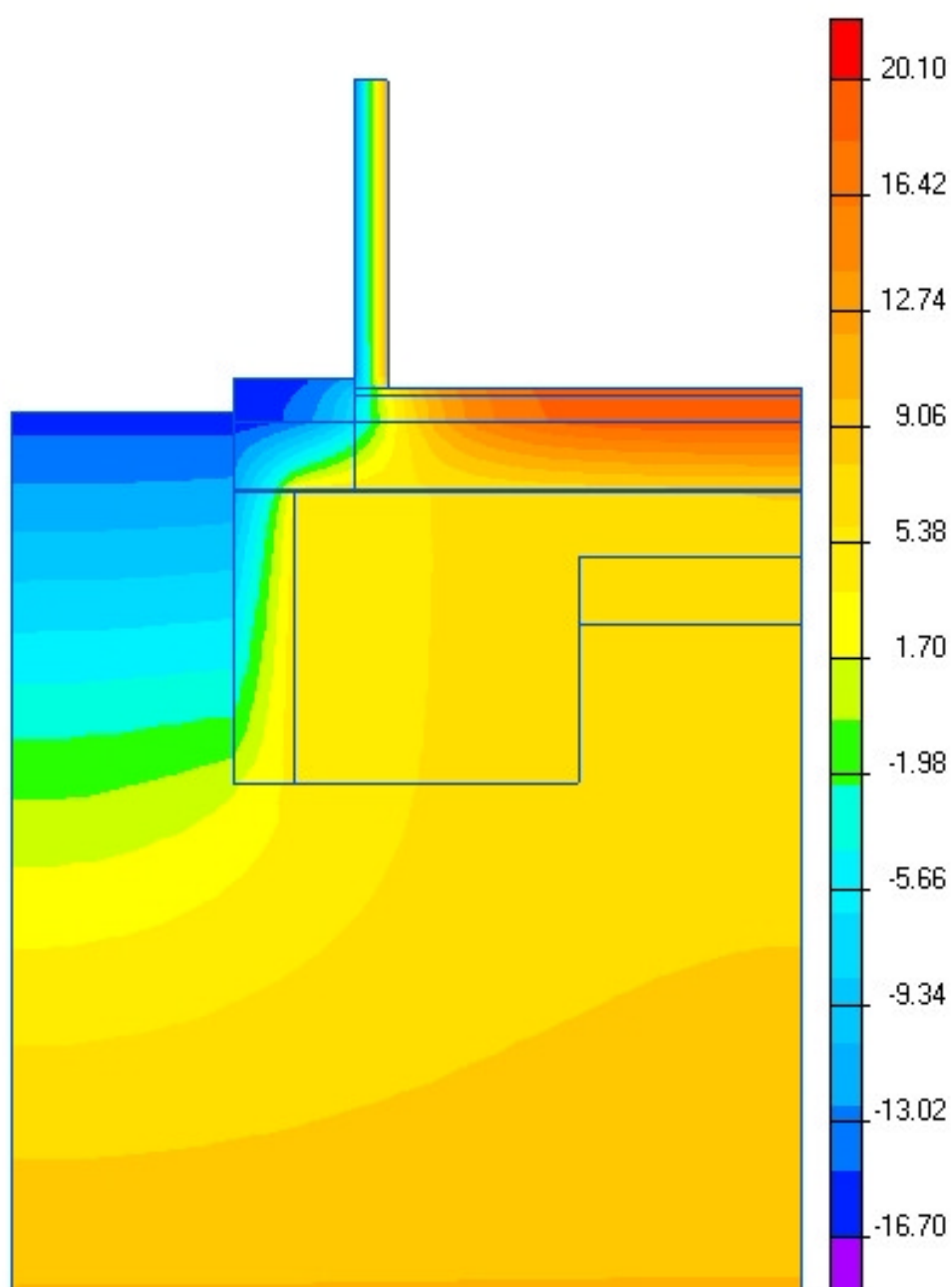
108 Detail prahu vstupních dveří u nepodsklepeného objektu P+D 490 mm		
lineární činitel prostupu tepla - interiér ψ_i W/(m.K)	lineární činitel prostupu tepla - exteriér ψ_e W/(m.K)	teplotní faktor f_{Rsi} -
0,529	0,511	0,5128



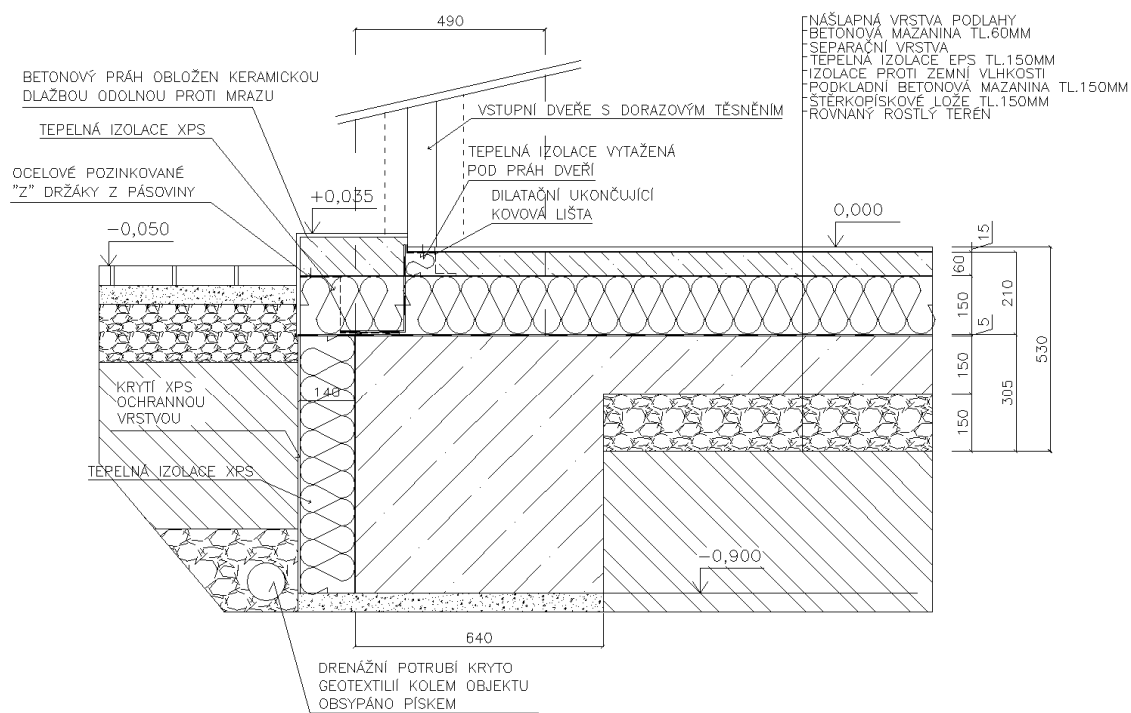
Obsah: "Výpočet typických tepelných mostů a jejich minimalizace – 250 detailů"
Zpracovatel: Energy Consulting – Project, s.r.o., Přemyslská 484/28, 182 00 Praha 8,
IČ 26113317; mobil 777 196 154, e-mail: info@e-c.cz



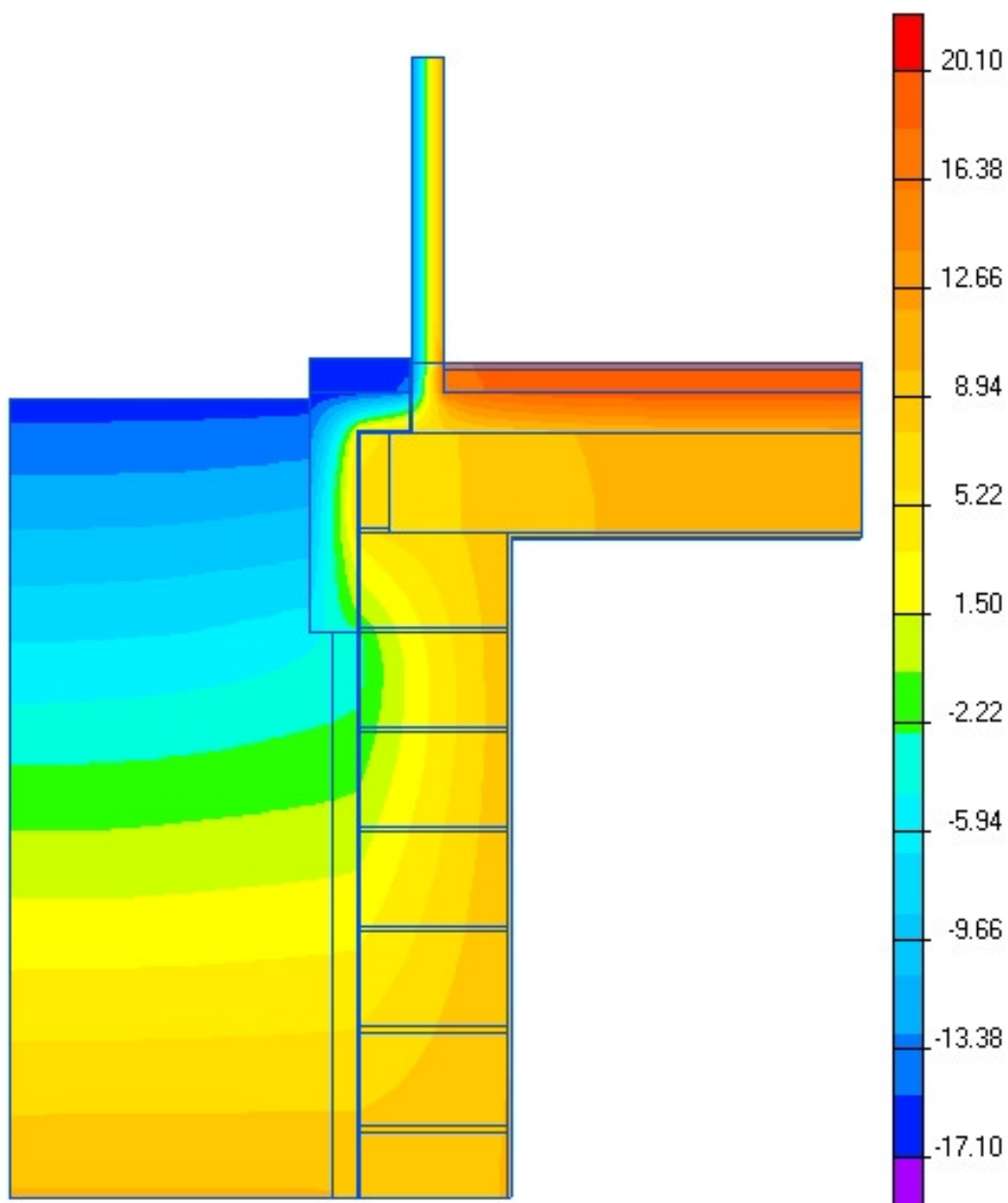
109 Detail prahu vstupních dveří u nepodsklepeného objektu STI 490 mm		
lineární číselník průstupu tepla - interiér ψ_i W/(m.K)	lineární číselník průstupu tepla - exteriér ψ_e W/(m.K)	teplotní faktor f_{Rsi} -
0,529	0,527	0,5128

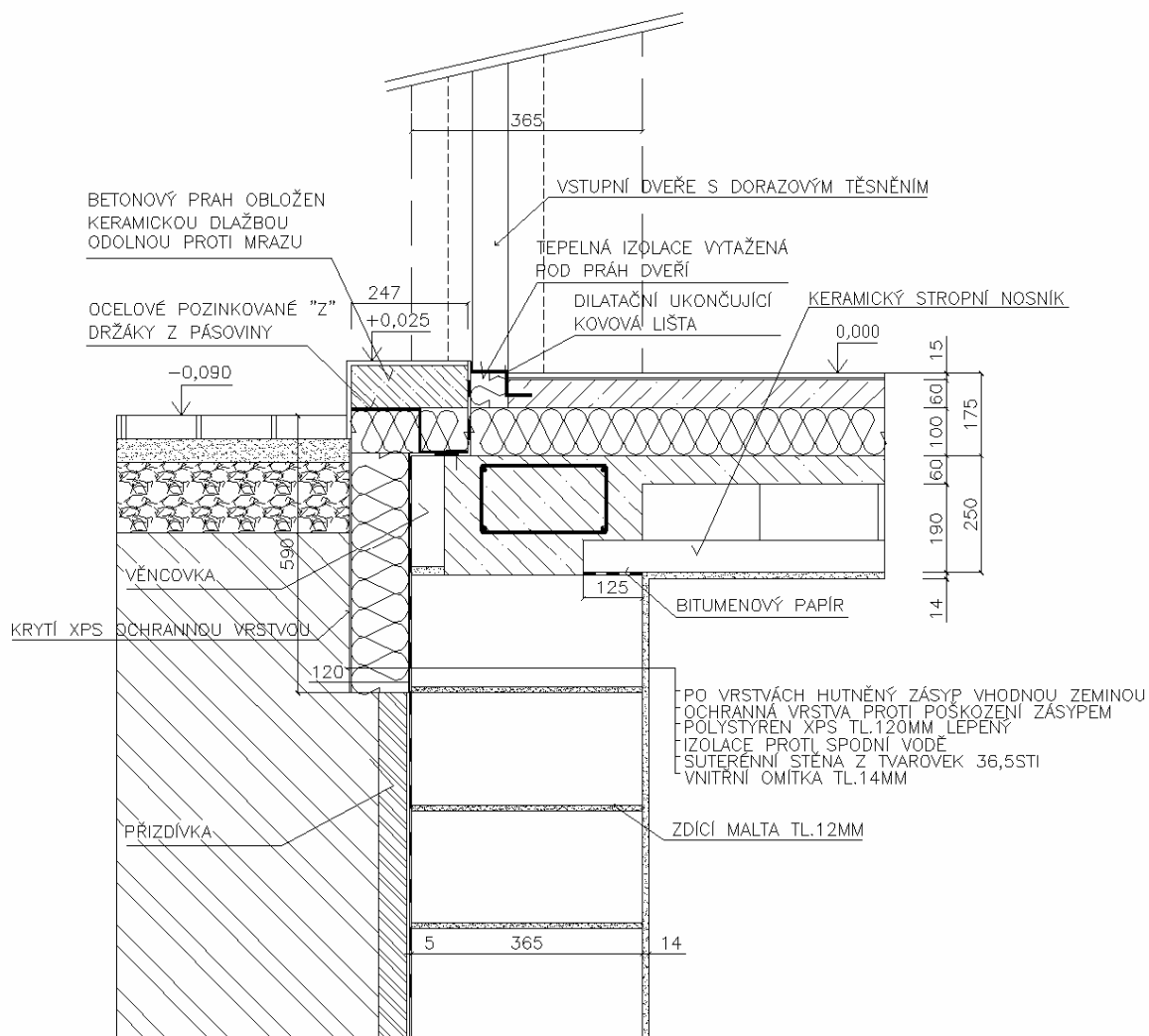


Obsah: "Výpočet typických tepelných mostů a jejich minimalizace – 250 detailů"
Zpracovatel: Energy Consulting – Project, s.r.o., Přemyslská 484/28, 182 00 Praha 8,
IČ 26113317; mobil 777 196 154, e-mail:info@e-c.cz

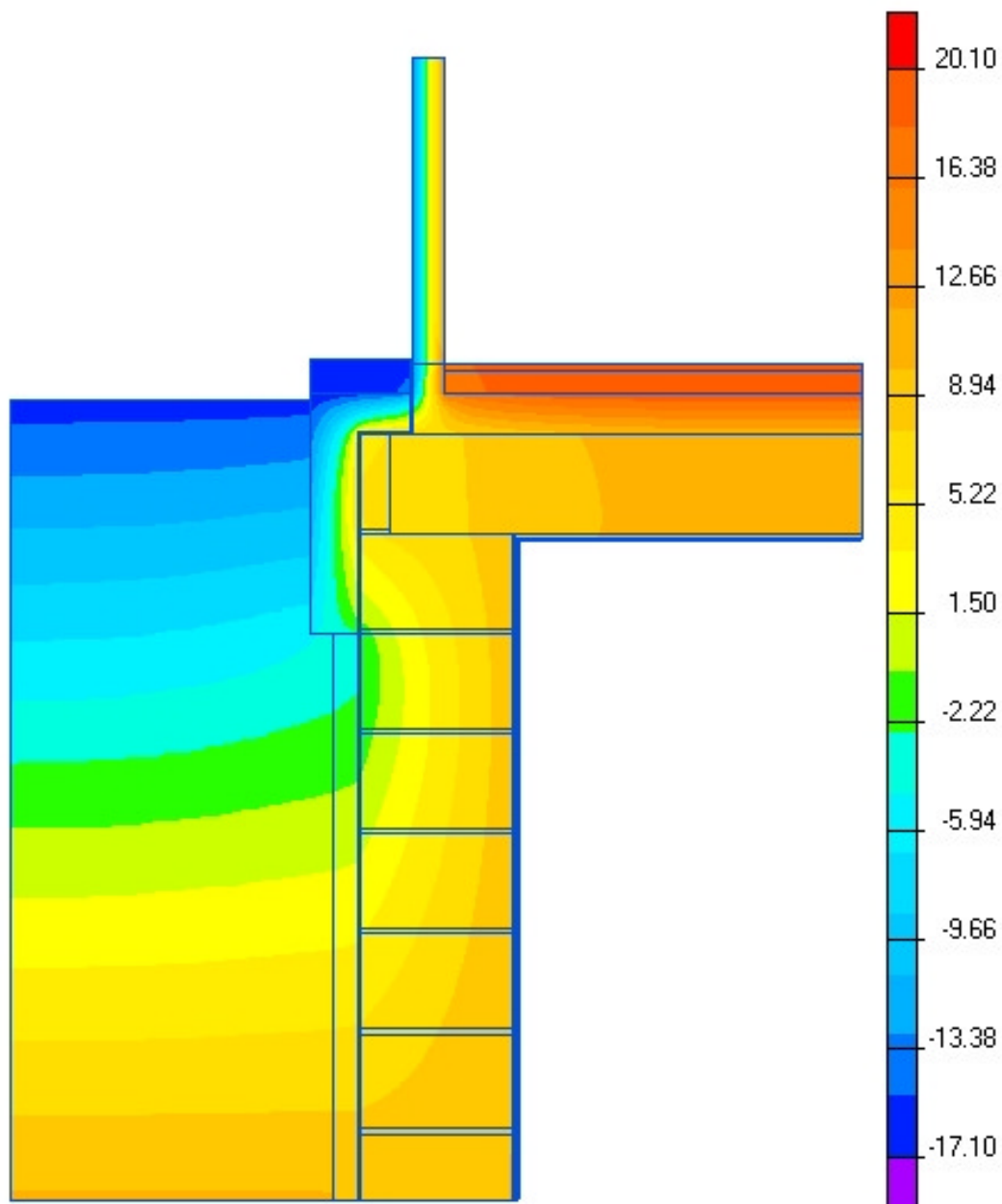


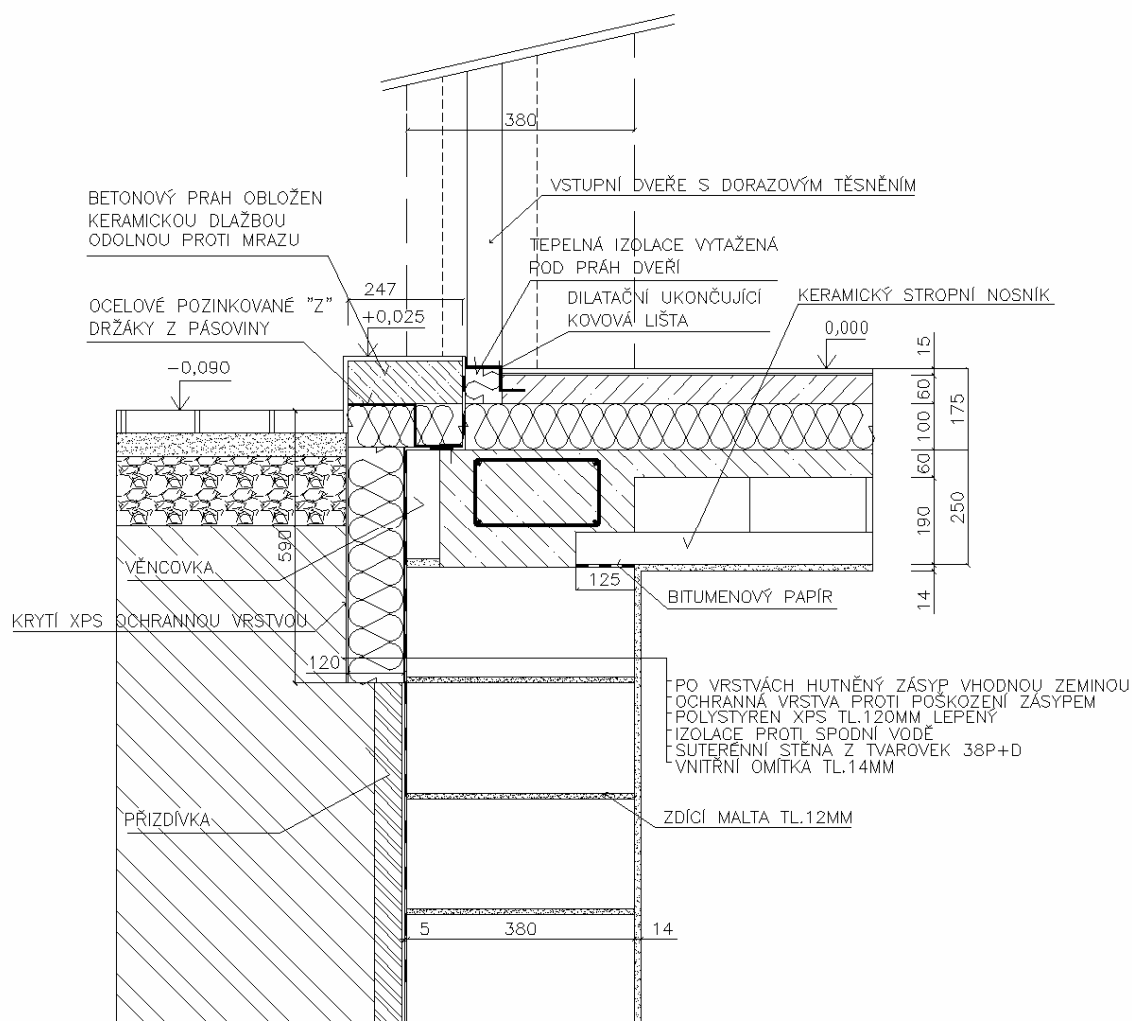
111 Detail prahu vstupních dveří u podsklepeného objektu STI 365 mm						
lineární činitel prostupu tepla - interiér dole z interiérových rozměrů ψ_i^{Di} W/(m.K)	lineární činitel prostupu tepla - interiér nahoře z interiérových rozměrů ψ_i^{Hi} W/(m.K)	lineární činitel prostupu tepla - exteriér ψ_e W/(m.K)	lineární činitel prostupu tepla - dole z exteriérových rozměrů ψ_i^{De} W/(m.K)	lineární činitel prostupu tepla - nahore z exteriérových rozměrů ψ_i^{He} W/(m.K)	teplotní faktor dole f_{Rsi}^D -	teplotní faktor nahore f_{Rsi}^H -
0,180	0,477	-0,005	-0,001	-0,004	0,8668	0,6886



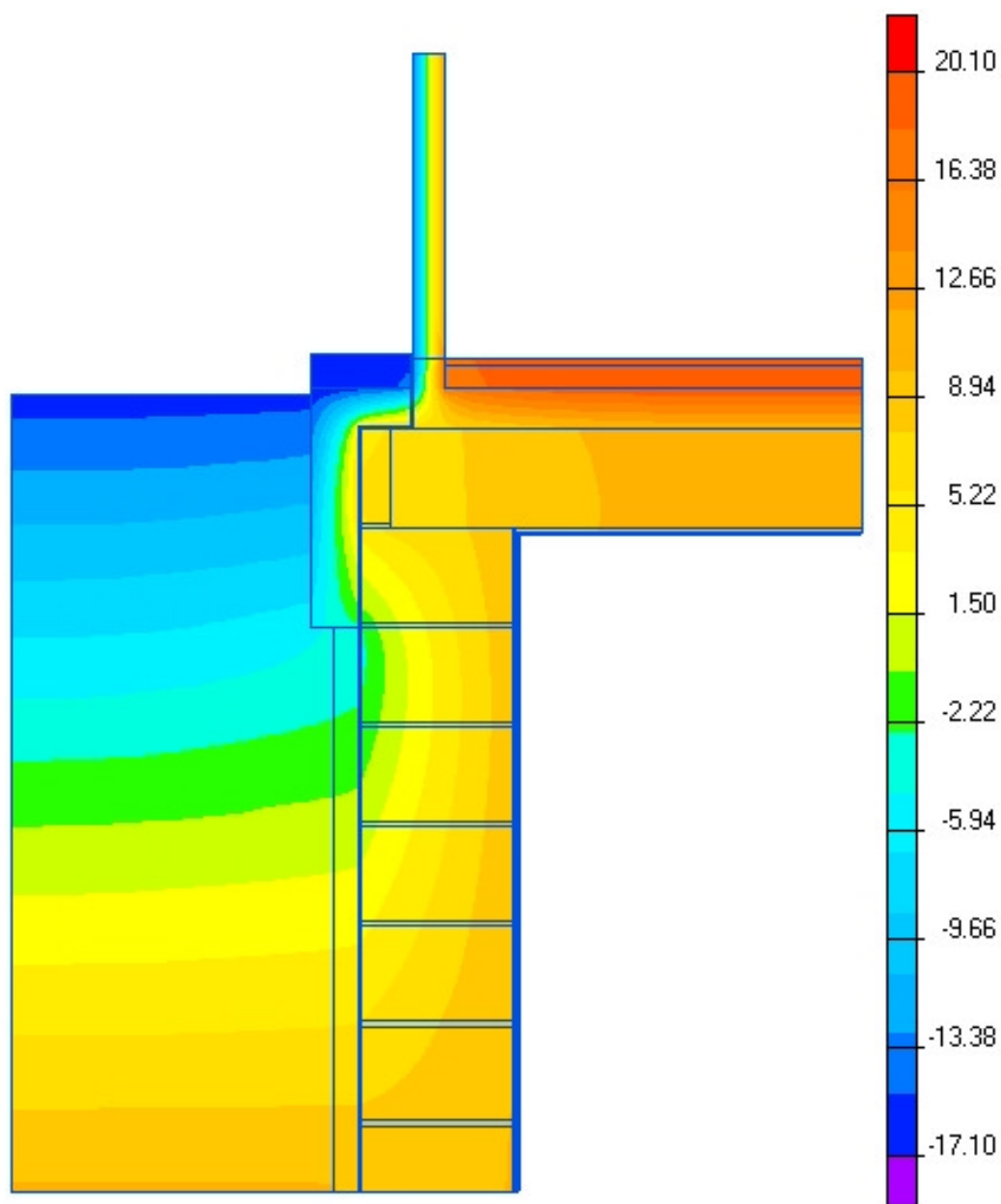


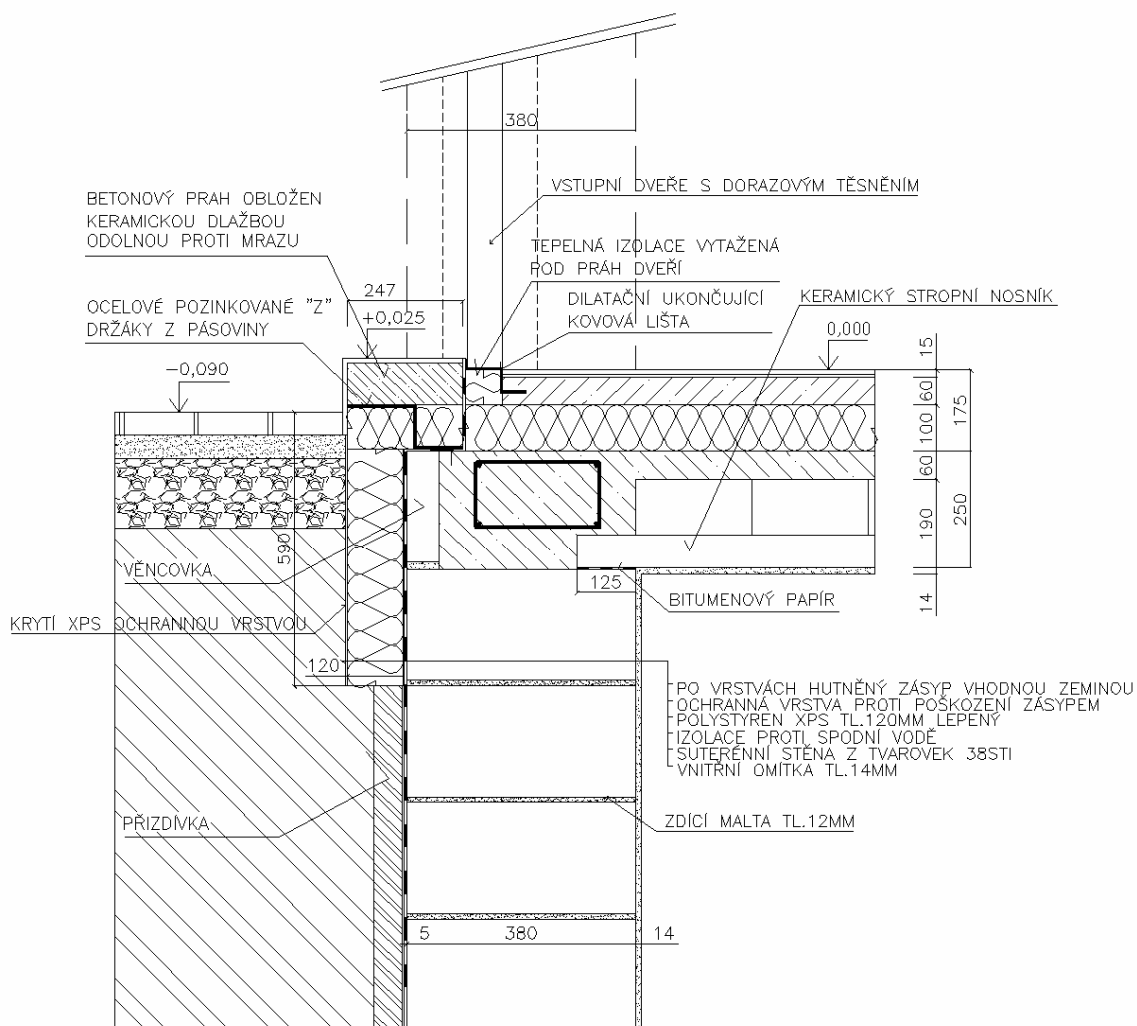
112 Detail prahu vstupních dveří u podsklepeného objektu P+D 380 mm						
lineární činitel prostupu tepla - interiér dole z interiérových rozměrů ψ_i^{Di} W/(m.K)	lineární činitel prostupu tepla - interiér nahoře z interiérových rozměrů ψ_i^{Hi} W/(m.K)	lineární činitel prostupu tepla - exteriér ψ_e W/(m.K)	lineární činitel prostupu tepla - dole z exteriérových rozměrů ψ_i^{De} W/(m.K)	lineární činitel prostupu tepla - nahore z exteriérových rozměrů ψ_i^{He} W/(m.K)	teplotní faktor dole f_{Rsi}^D -	teplotní faktor nahore f_{Rsi}^H -
0,182	0,471	0,011	0,003	0,008	0,8666	0,6885



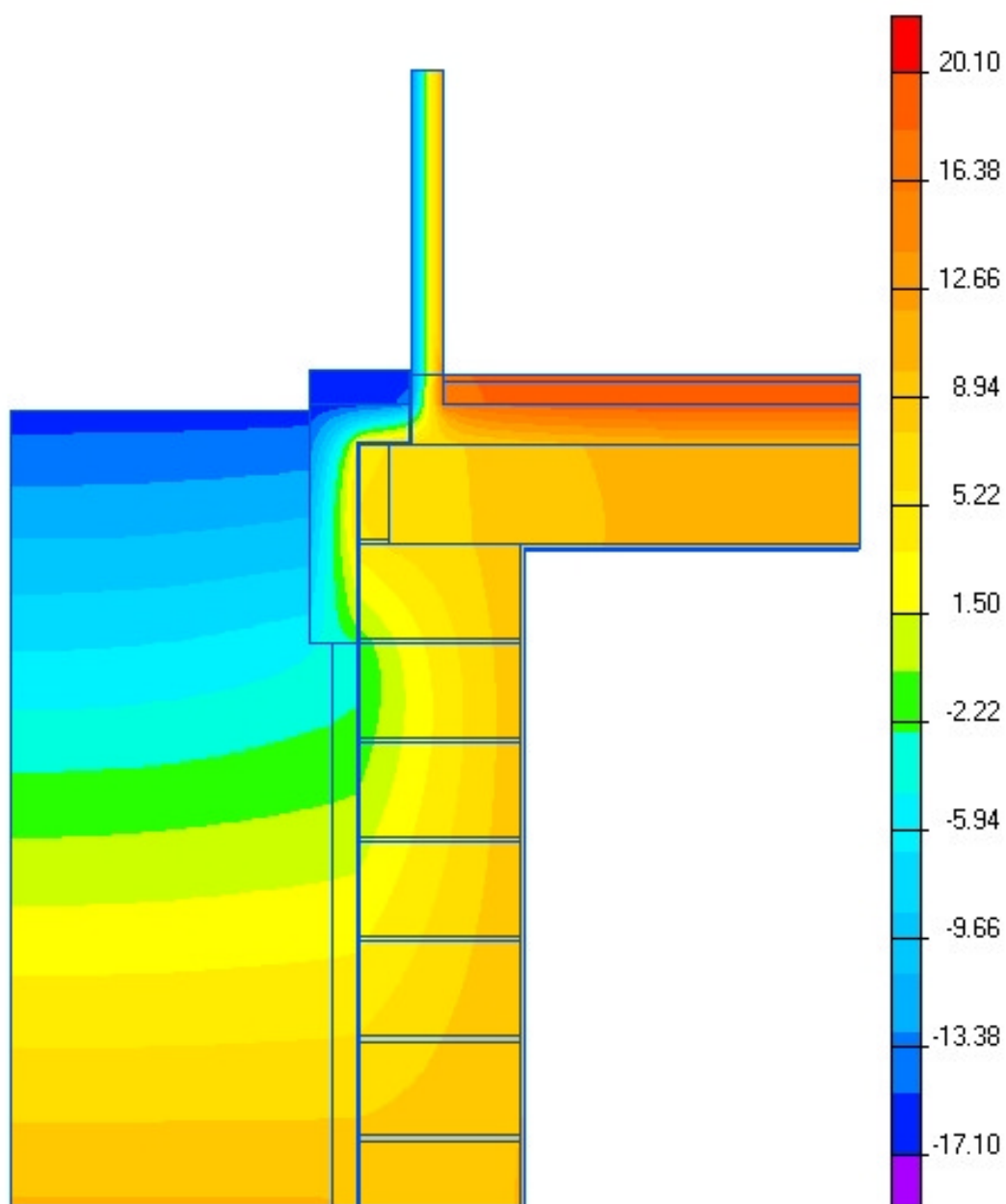


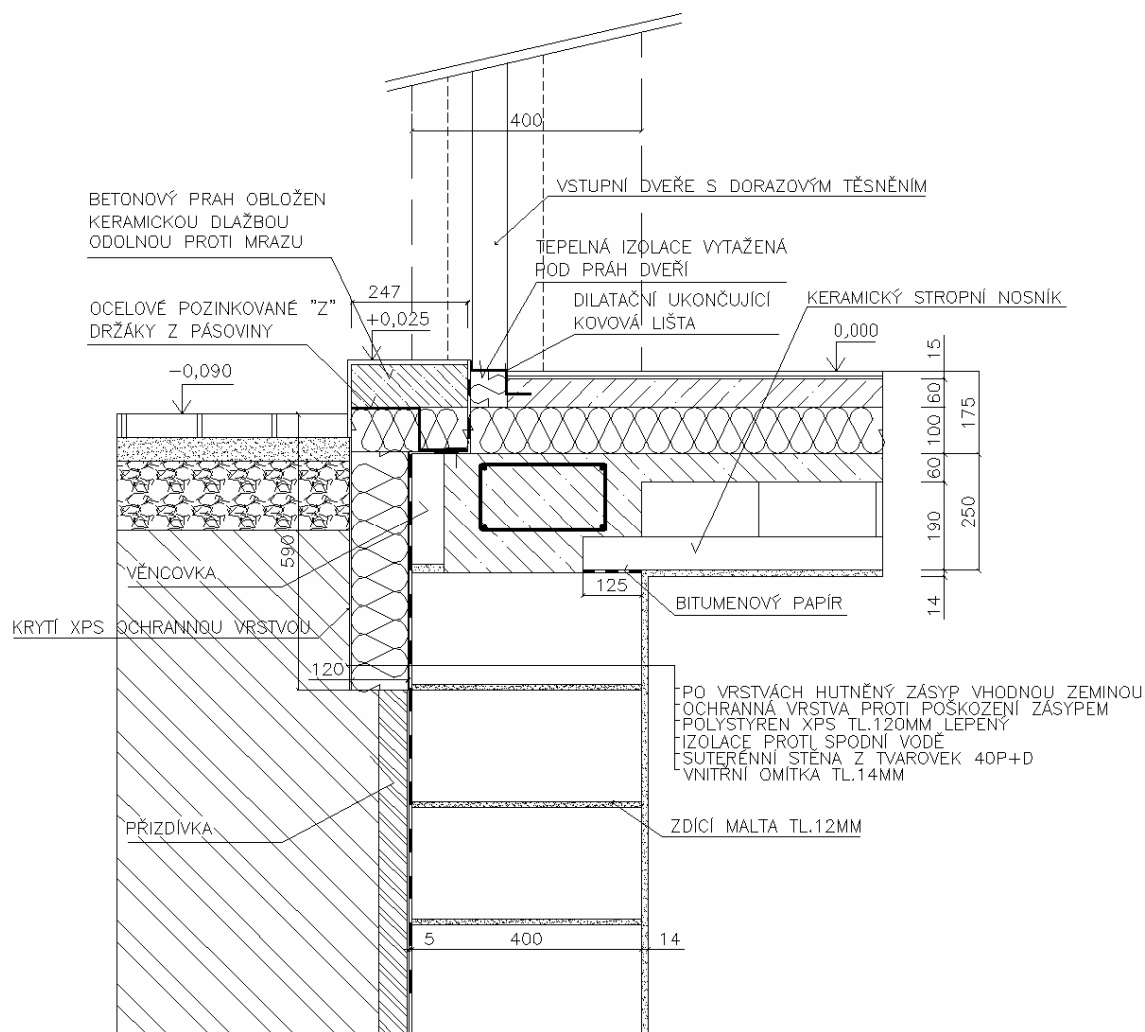
113 Detail prahu vstupních dveří u podsklepeného objektu STI 380 mm						
lineární činitel prostupu tepla - interiér dole z interiérových rozměrů ψ_i^{Di} W/(m.K)	lineární činitel prostupu tepla - interiér nahoře z interiérových rozměrů ψ_i^{Hi} W/(m.K)	lineární činitel prostupu tepla - exteriér ψ_e W/(m.K)	lineární činitel prostupu tepla - dole z exteriérových rozměrů ψ_i^{De} W/(m.K)	lineární činitel prostupu tepla - nahore z exteriérových rozměrů ψ_i^{He} W/(m.K)	teplotní faktor dole f_{Rsi}^D -	teplotní faktor nahore f_{Rsi}^H -
0,182	0,478	-0,007	-0,002	-0,005	0,8666	0,6891



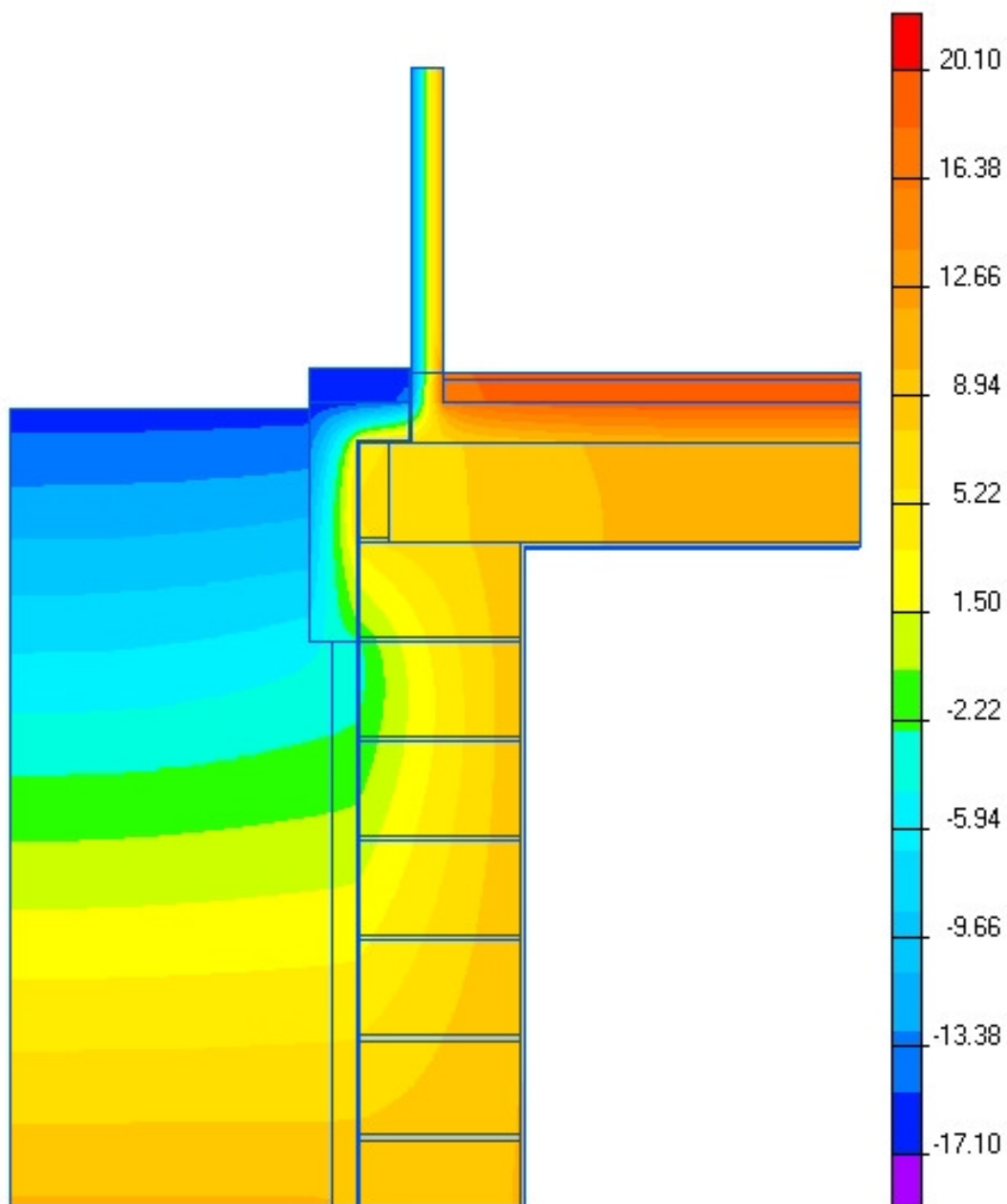


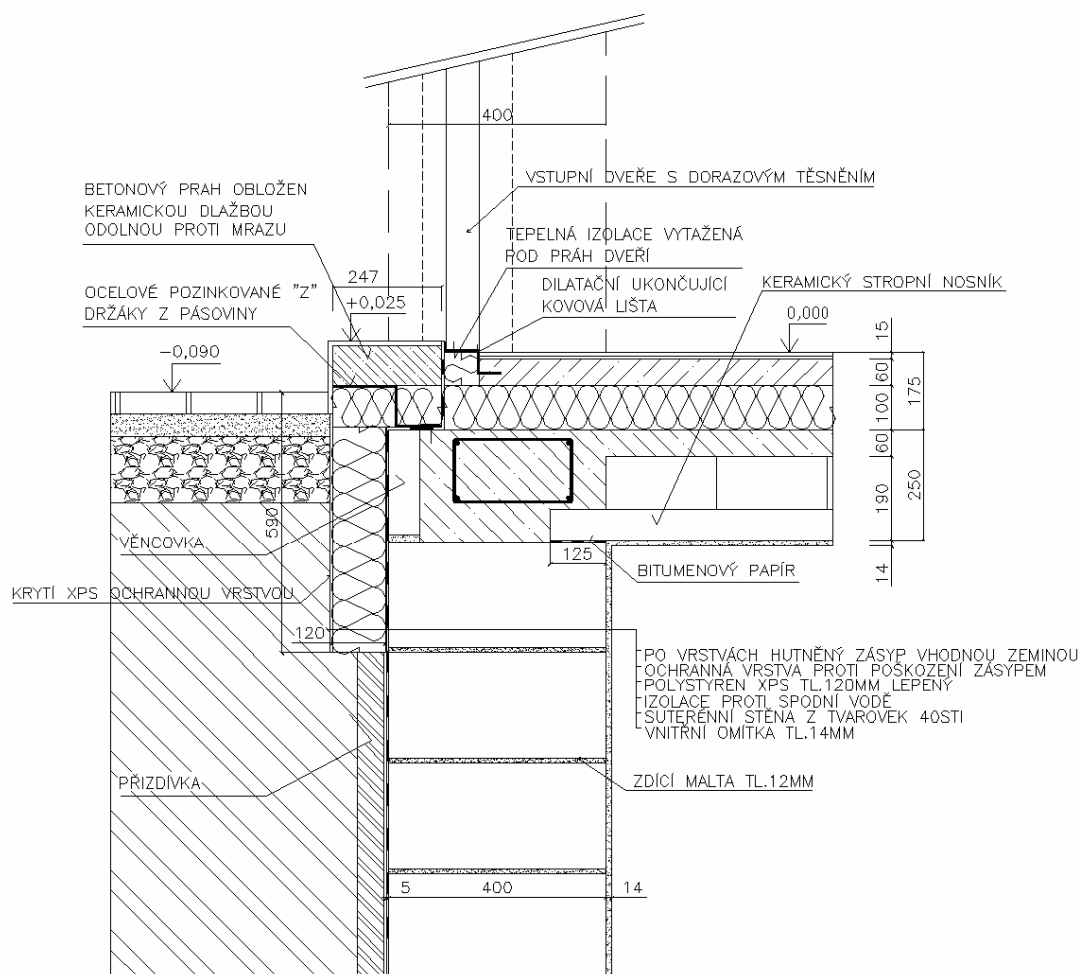
114 Detail prahu vstupních dveří u podsklepeného objektu P+D 400 mm						
lineární činitel prostupu tepla - interiér dole z interiérových rozměrů ψ_i^{Di} W/(m.K)	lineární činitel prostupu tepla - interiér nahoře z interiérových rozměrů ψ_i^{Hi} W/(m.K)	lineární činitel prostupu tepla - exteriér ψ_e W/(m.K)	lineární činitel prostupu tepla - dole z exteriérových rozměrů ψ_i^{De} W/(m.K)	lineární činitel prostupu tepla - nahore z exteriérových rozměrů ψ_i^{He} W/(m.K)	teplotní faktor dole f_{Rsi}^D -	teplotní faktor nahore f_{Rsi}^H -
0,184	0,473	0,009	0,002	0,006	0,8663	0,6892



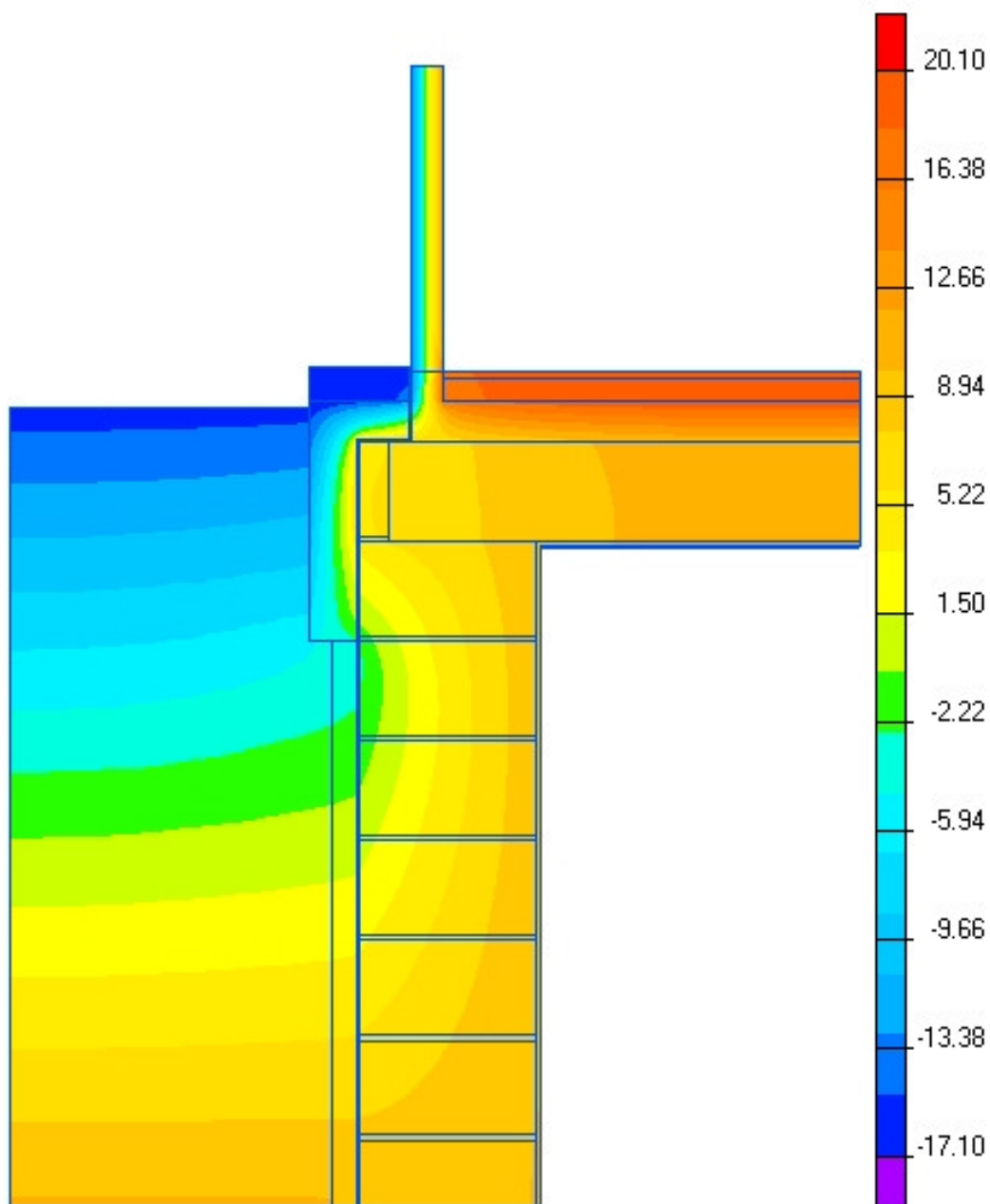


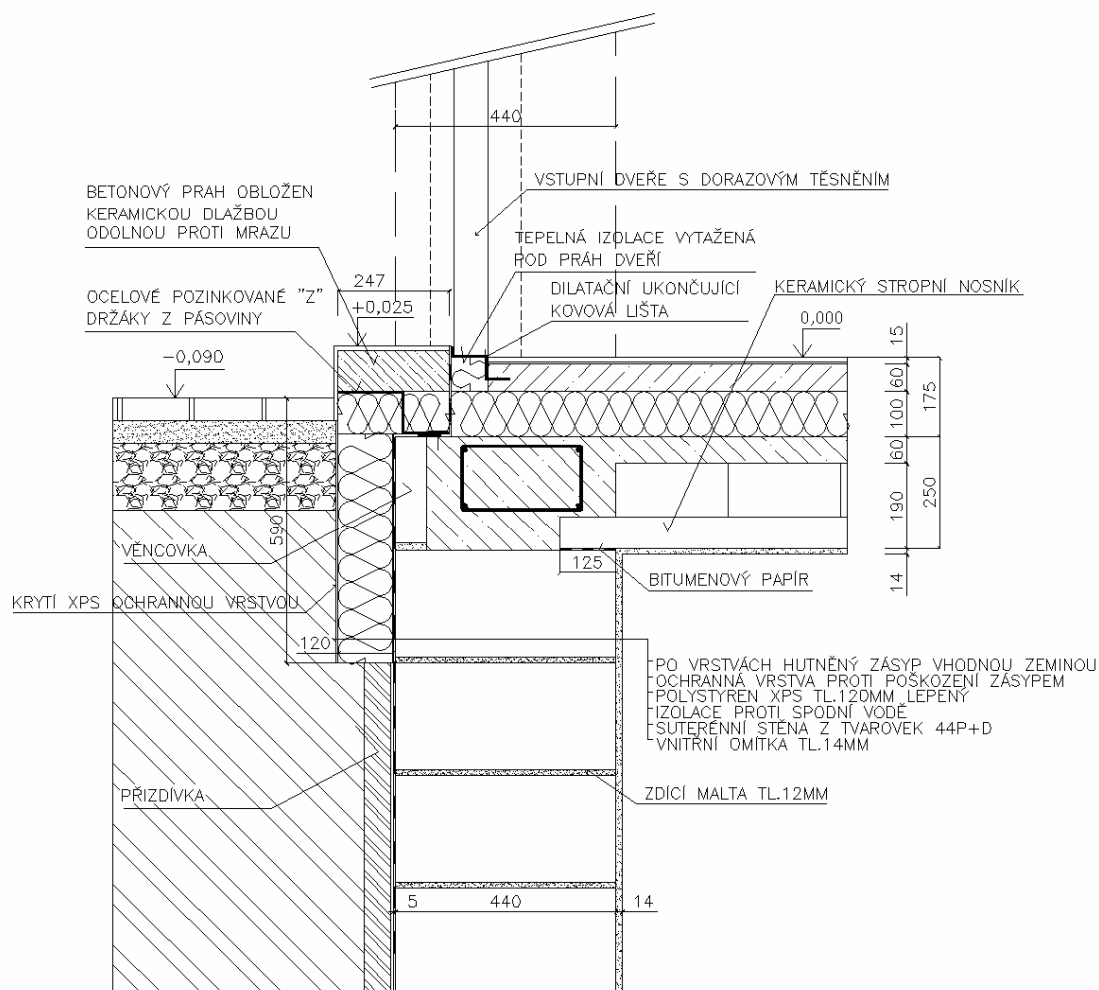
115 Detail prahu vstupních dveří u podsklepeného objektu STI 400 mm						
lineární činitel prostupu tepla - interiér dole z interiérových rozměrů ψ_i^{Di} W/(m.K)	lineární činitel prostupu tepla - interiér nahoře z interiérových rozměrů ψ_i^{Hi} W/(m.K)	lineární činitel prostupu tepla - exteriér ψ_e W/(m.K)	lineární činitel prostupu tepla - dole z exteriérových rozměrů ψ_i^{De} W/(m.K)	lineární činitel prostupu tepla - nahore z exteriérových rozměrů ψ_i^{He} W/(m.K)	teplotní faktor dole f_{Rsi}^D -	teplotní faktor nahore f_{Rsi}^H -
0,184	0,479	-0,009	-0,002	-0,006	0,8661	0,6914



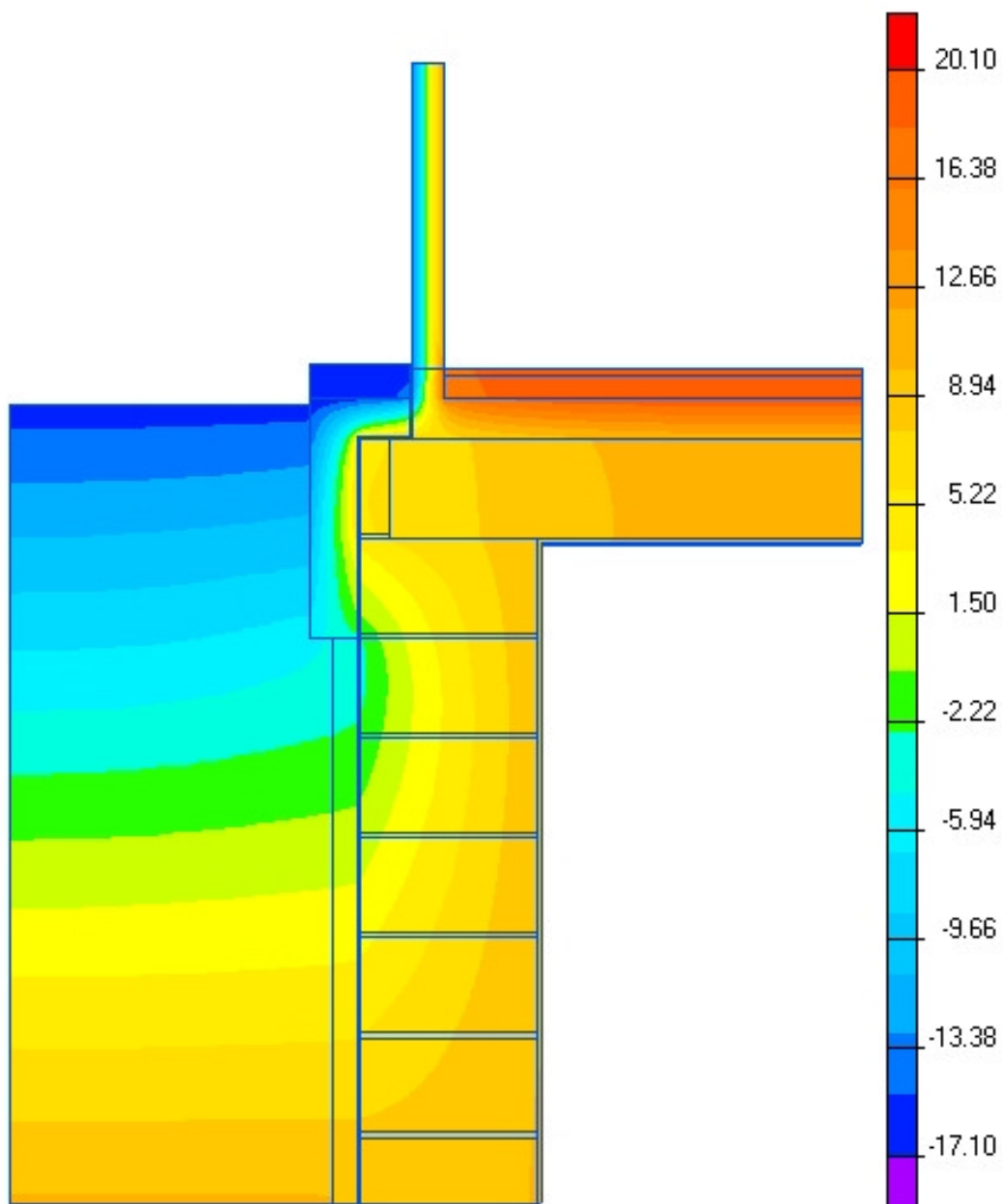


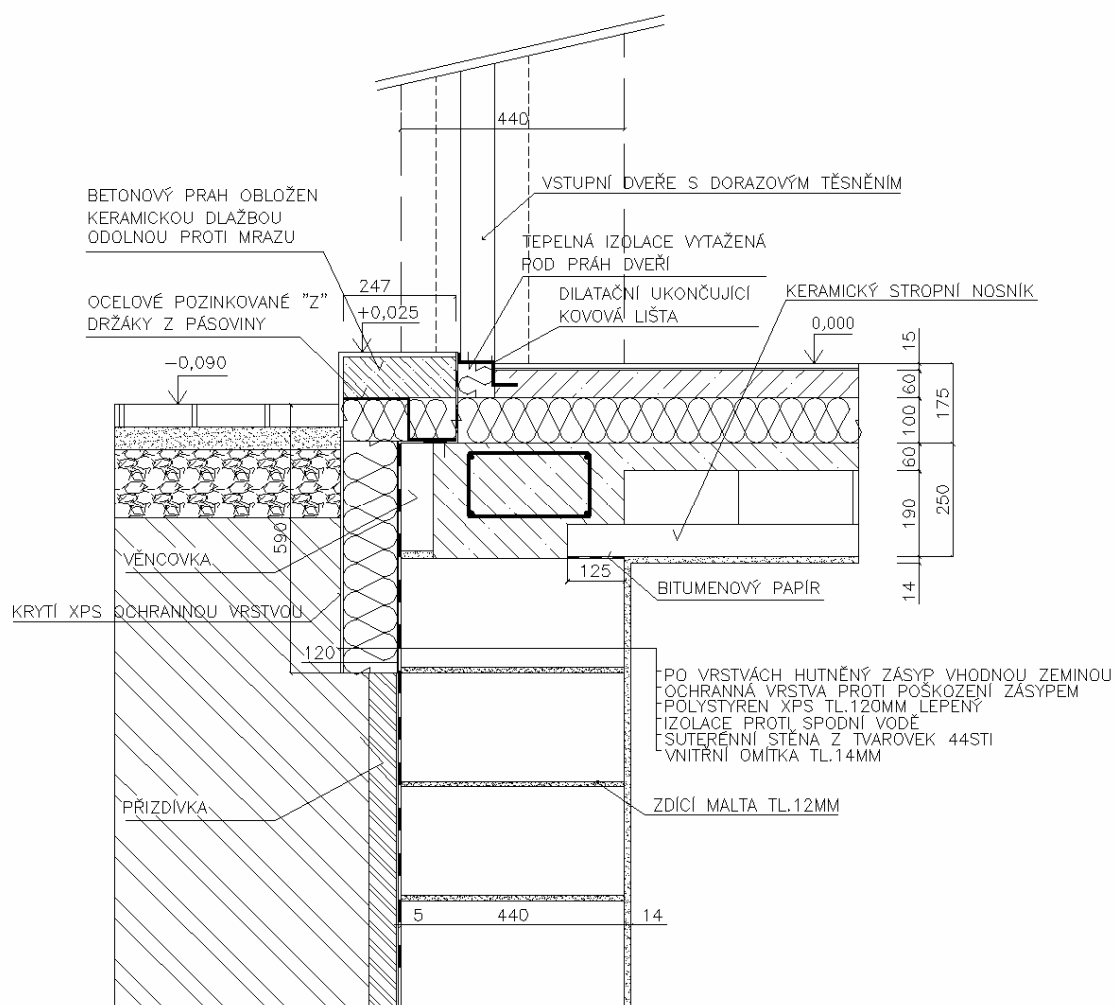
116 Detail prahu vstupních dveří u podsklepeného objektu P+D 440 mm						
lineární činitel prostupu tepla - interiér dole z interiérových rozměrů ψ_i^{Di} W/(m.K)	lineární činitel prostupu tepla - interiér nahoře z interiérových rozměrů ψ_i^{Hi} W/(m.K)	lineární činitel prostupu tepla - exteriér ψ_e W/(m.K)	lineární činitel prostupu tepla - dole z exteriérových rozměrů ψ_i^{De} W/(m.K)	lineární činitel prostupu tepla - nahore z exteriérových rozměrů ψ_i^{He} W/(m.K)	teplotní faktor dole f_{Rsi}^D -	teplotní faktor nahore f_{Rsi}^H -
0,189	0,476	0,004	0,001	0,003	0,8658	0,6907



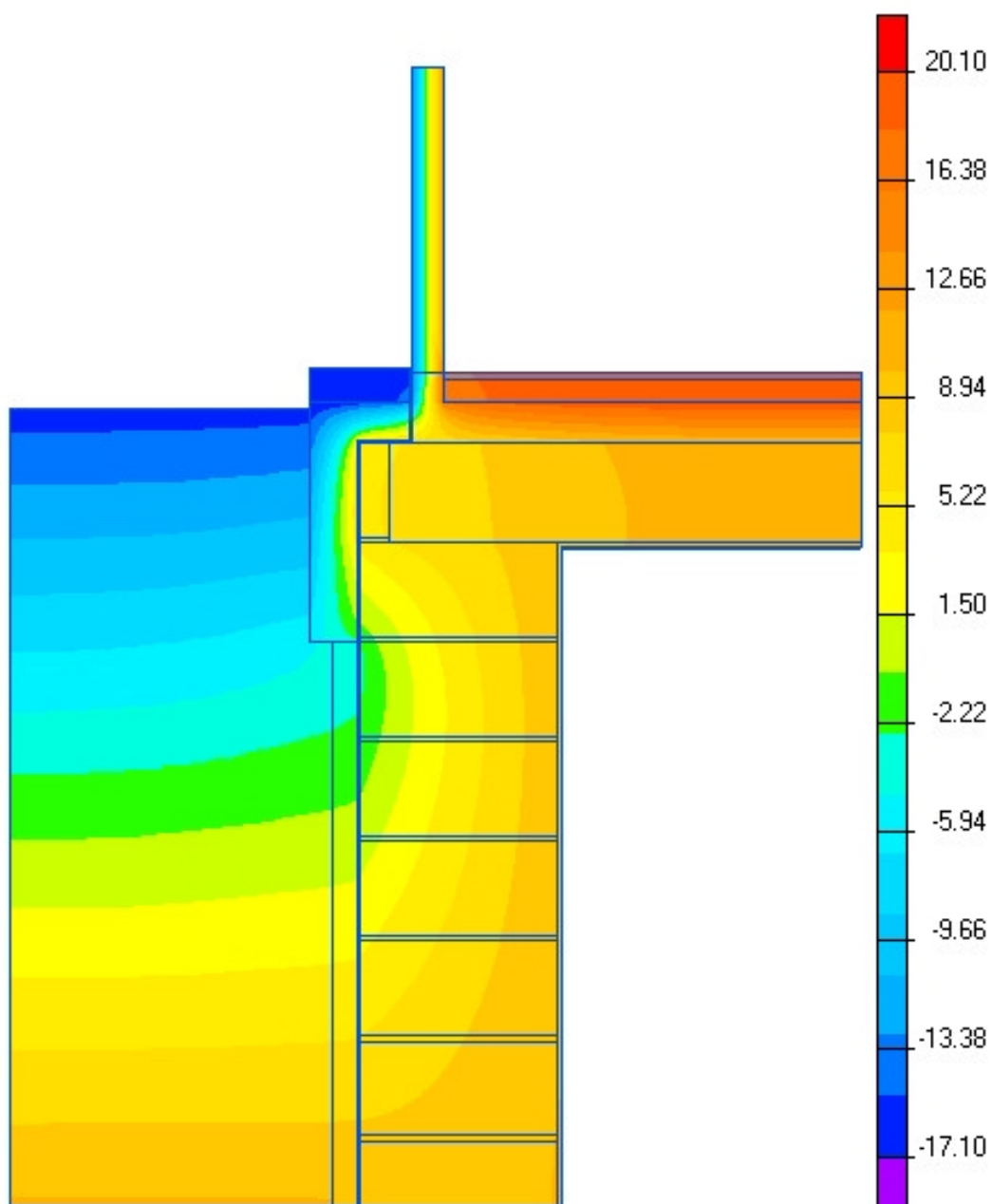


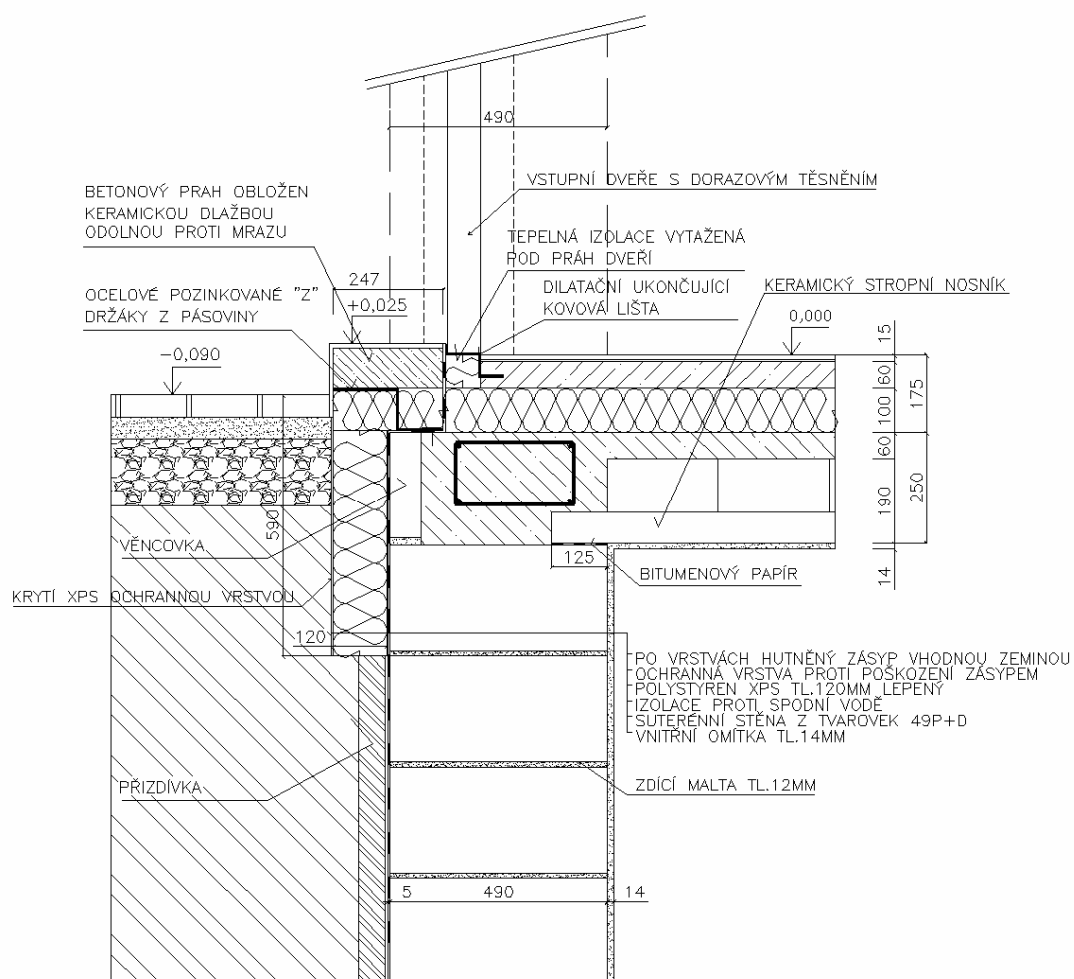
117 Detail prahu vstupních dveří u podsklepeného objektu STI 440 mm						
lineární činitel prostupu tepla - interiér dole z interiérových rozměrů ψ_i^{Di} W/(m.K)	lineární činitel prostupu tepla - interiér nahoře z interiérových rozměrů ψ_i^{Hi} W/(m.K)	lineární činitel prostupu tepla - exteriér ψ_e W/(m.K)	lineární činitel prostupu tepla - dole z exteriérových rozměrů ψ_i^{De} W/(m.K)	lineární činitel prostupu tepla - nahore z exteriérových rozměrů ψ_i^{He} W/(m.K)	teplotní faktor dole f_{Rsi}^D -	teplotní faktor nahore f_{Rsi}^H -
0,189	0,481	-0,012	-0,003	-0,009	0,8661	0,6914



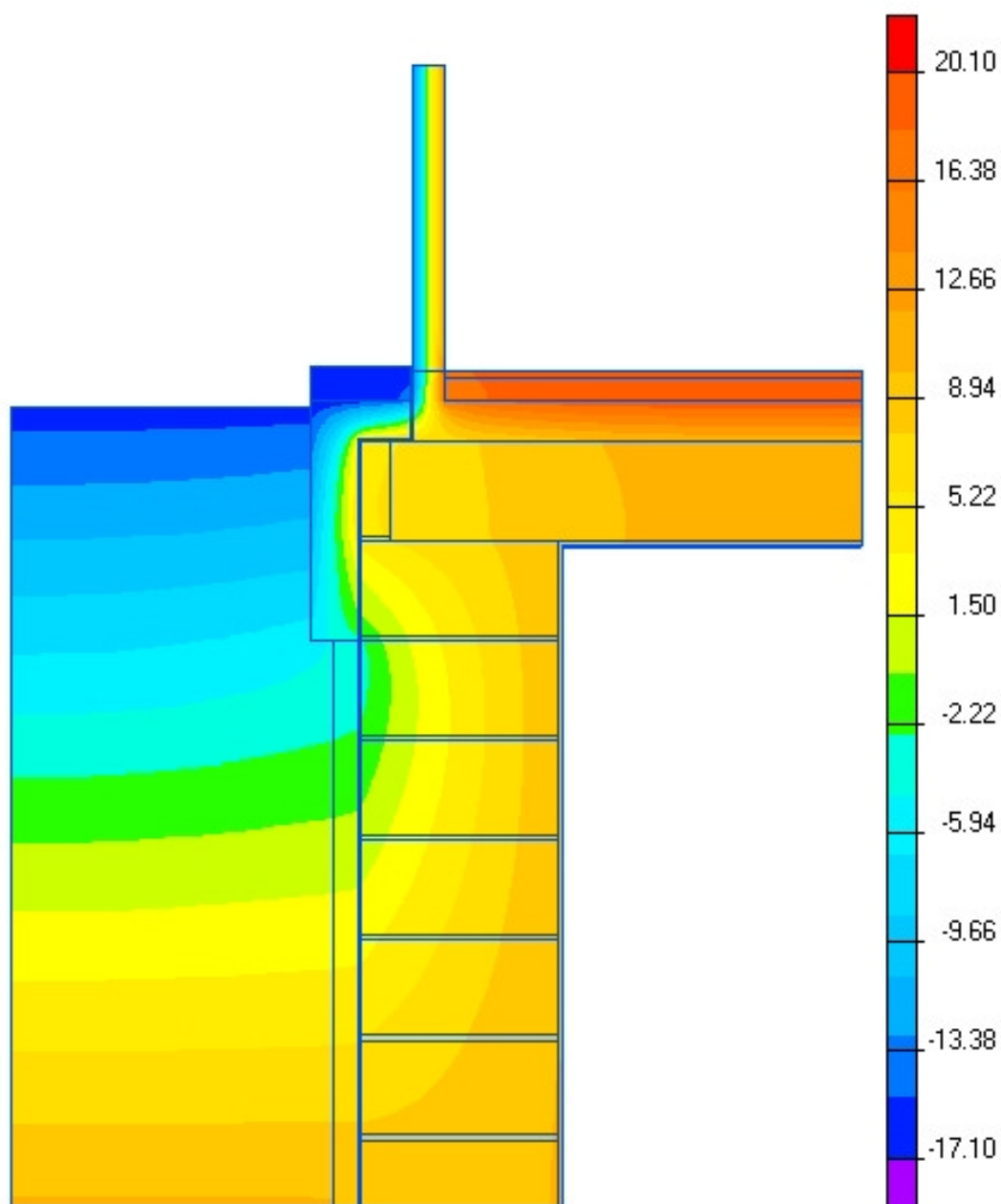


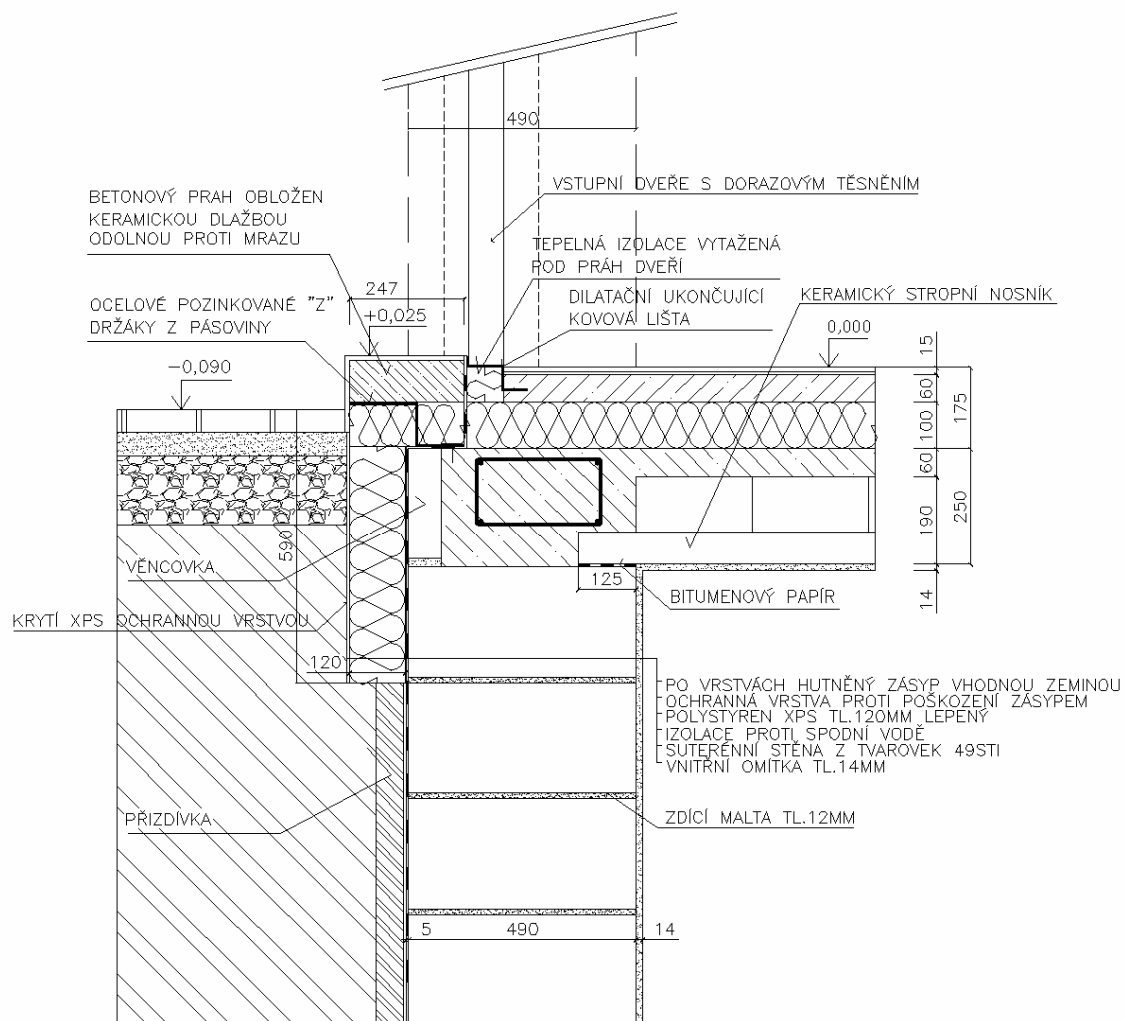
118 Detail prahu vstupních dveří u podsklepeného objektu P+D 490 mm						
lineární činitel prostupu tepla - interiér dole z interiérových rozměrů ψ_i^{Di} W/(m.K)	lineární činitel prostupu tepla - interiér nahoře z interiérových rozměrů ψ_i^{Hi} W/(m.K)	lineární činitel prostupu tepla - exteriér ψ_e W/(m.K)	lineární činitel prostupu tepla - dole z exteriérových rozměrů ψ_i^{De} W/(m.K)	lineární činitel prostupu tepla - nahore z exteriérových rozměrů ψ_i^{He} W/(m.K)	teplotní faktor dole f_{Rsi}^D -	teplotní faktor nahore f_{Rsi}^H -
0,195	0,478	0,001	0,000	0,001	0,8655	0,6926



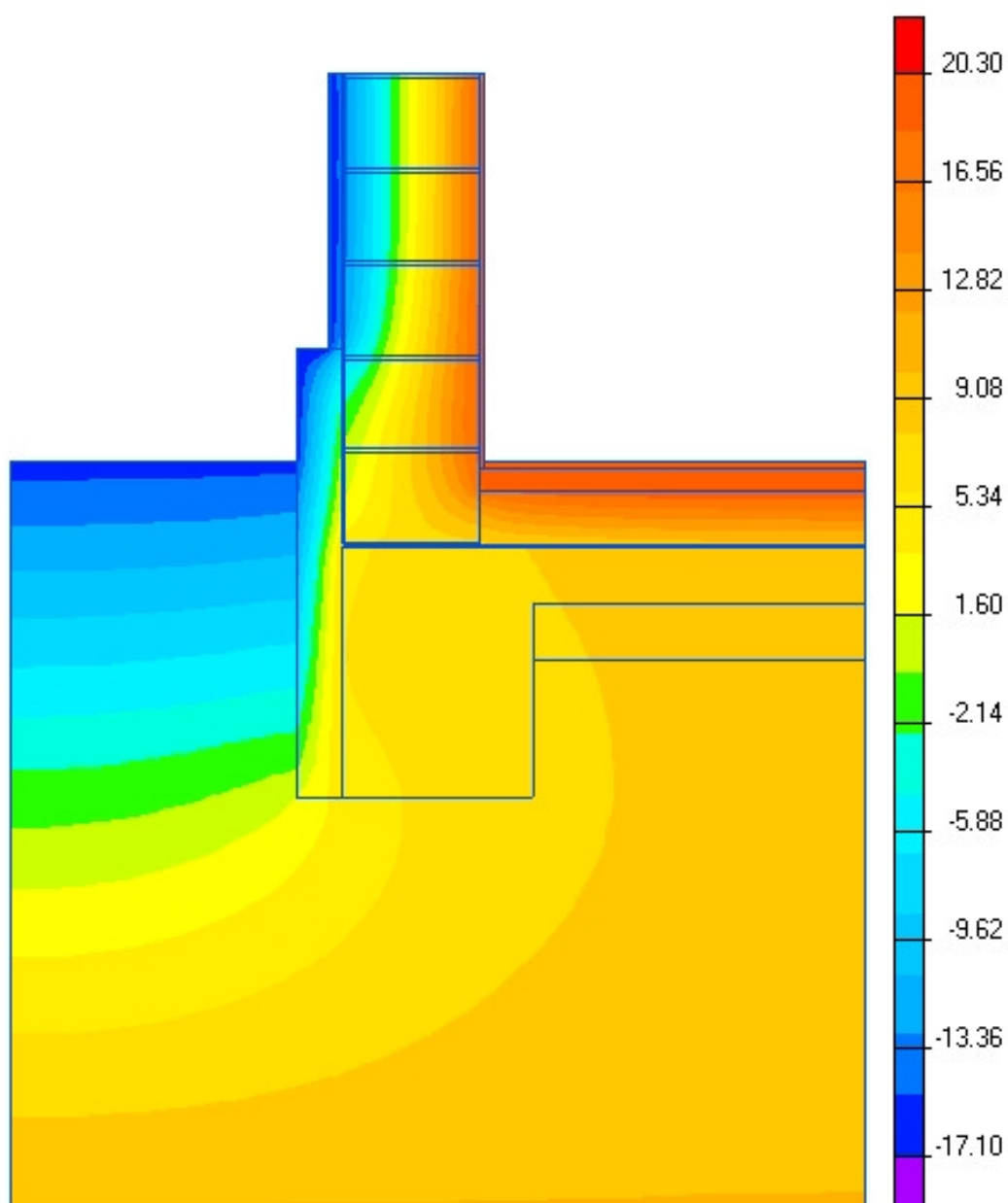


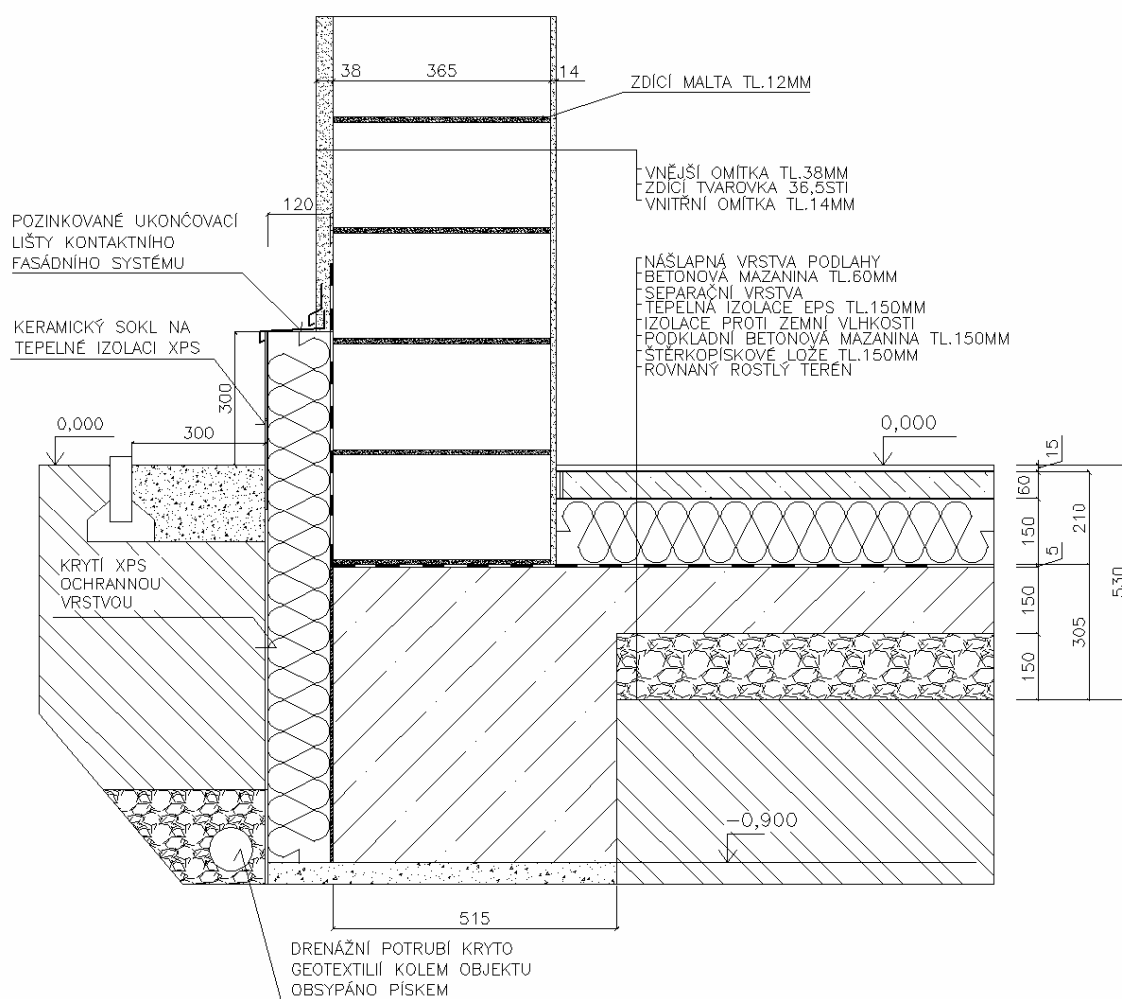
119 Detail prahu vstupních dveří u podsklepeného objektu STI 490 mm						
lineární činitel prostupu tepla - interiér dole z interiérových rozměrů ψ_i^{Di} W/(m.K)	lineární činitel prostupu tepla - interiér nahoře z interiérových rozměrů ψ_i^{Hi} W/(m.K)	lineární činitel prostupu tepla - exteriér ψ_e W/(m.K)	lineární činitel prostupu tepla - dole z exteriérových rozměrů ψ_i^{De} W/(m.K)	lineární činitel prostupu tepla - nahore z exteriérových rozměrů ψ_i^{He} W/(m.K)	teplotní faktor dole f_{Rsi}^D -	teplotní faktor nahore f_{Rsi}^H -
0,195	0,482	-0,015	-0,004	-0,010	0,8655	0,6934



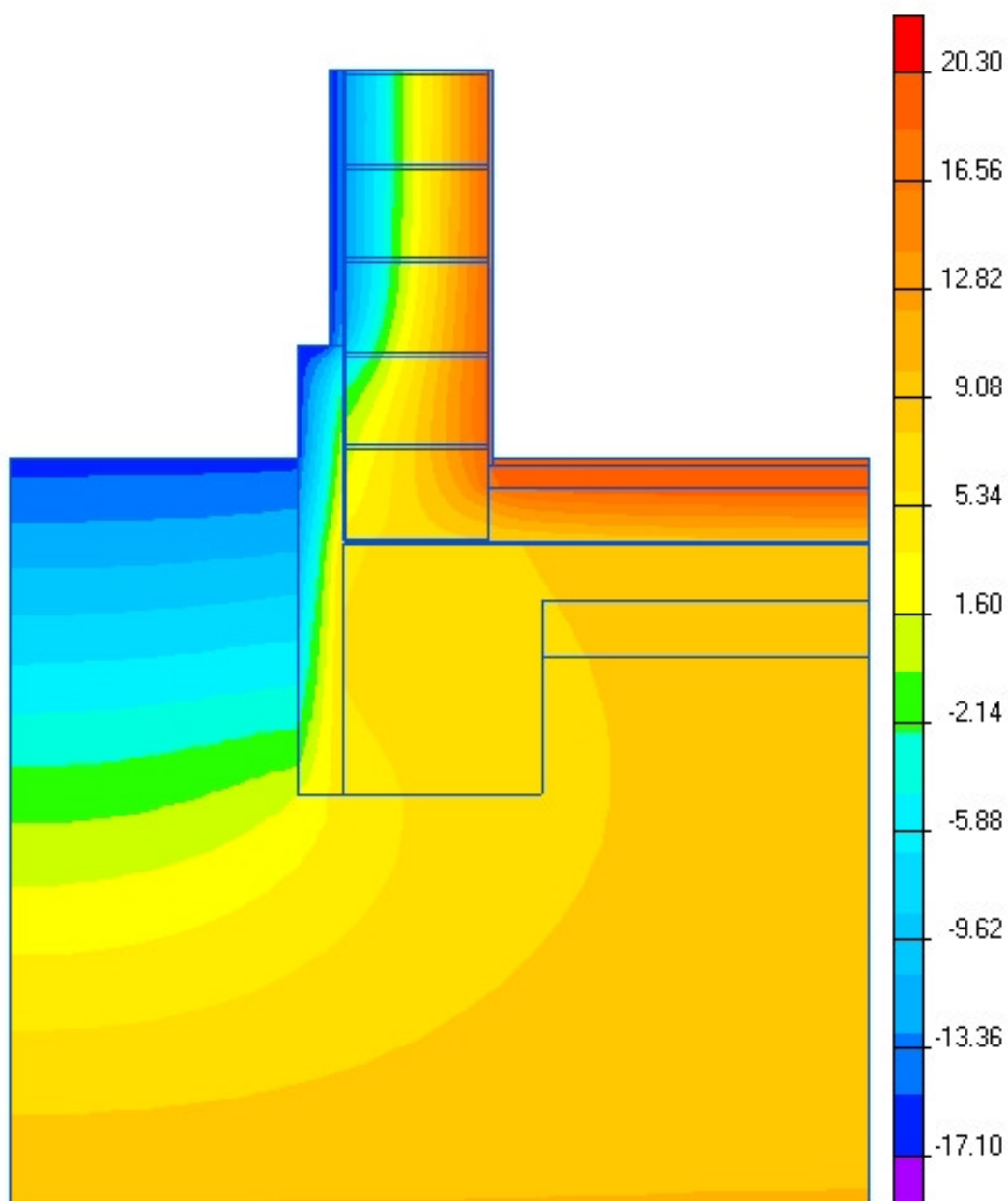


121 Detail zdiva u základu nepodsklepeného objektu a s úrovní podlahy zároveň s terénem STI 365 mm		
lineární číselník průtoku tepla - interiér ψ_i W/(m.K)	lineární číselník průtoku tepla - exteriér ψ_e W/(m.K)	teplotní faktor f_{Rsi} -
0,040	0,316	0,9044

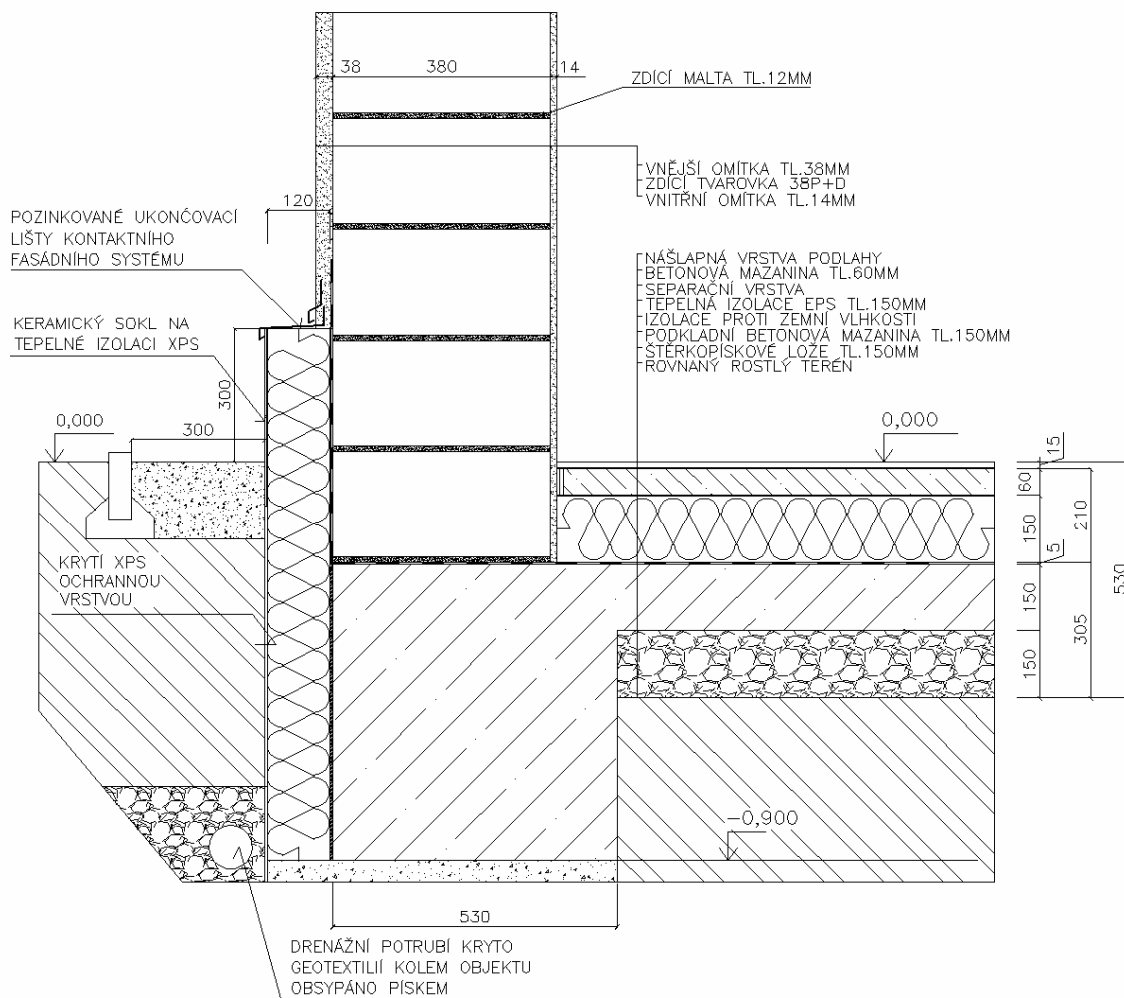




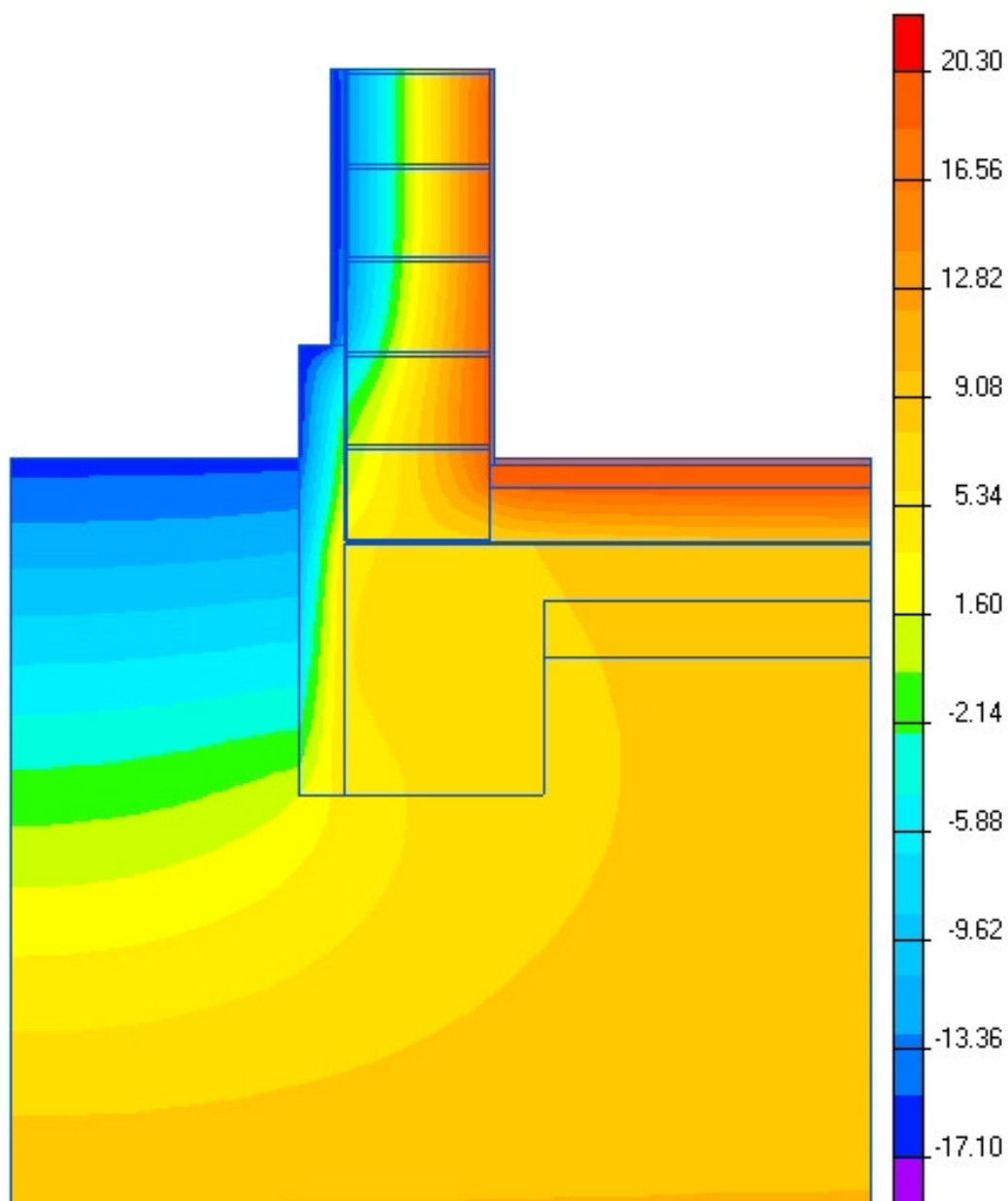
122 Detail zdiva u základu nepodsklepeného objektu a s úrovní podlahy zároveň s terénem P+D 380 mm		
lineární číselník průchodu tepla - interiér	lineární číselník průchodu tepla - exteriér	teplotní faktor
ψ_i	ψ_e	f_{Rsi}
W/(m.K)	W/(m.K)	-
0,034	0,291	0,8930



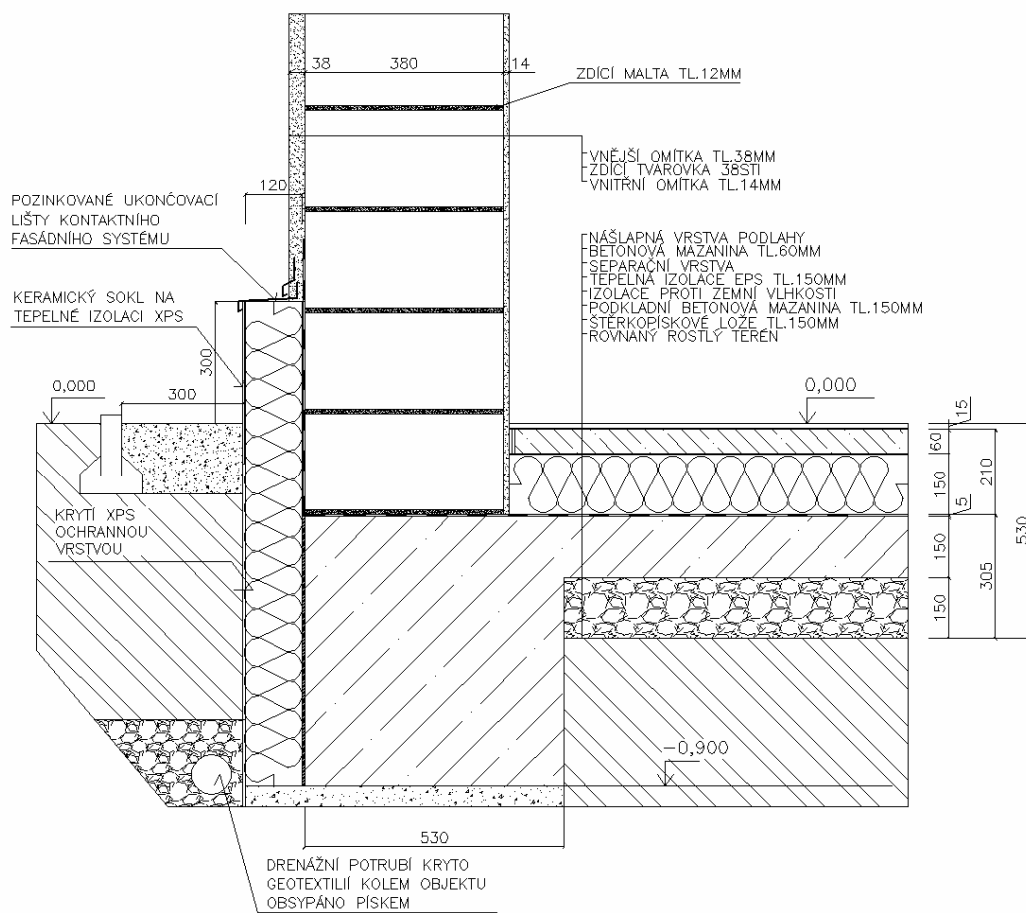
Obsah: "Výpočet typických tepelných mostů a jejich minimalizace – 250 detailů"
Zpracovatel: Energy Consulting – Project, s.r.o., Přemyslská 484/28, 182 00 Praha 8,
IČ 26113317; mobil 777 196 154, e-mail: info@e-c.cz



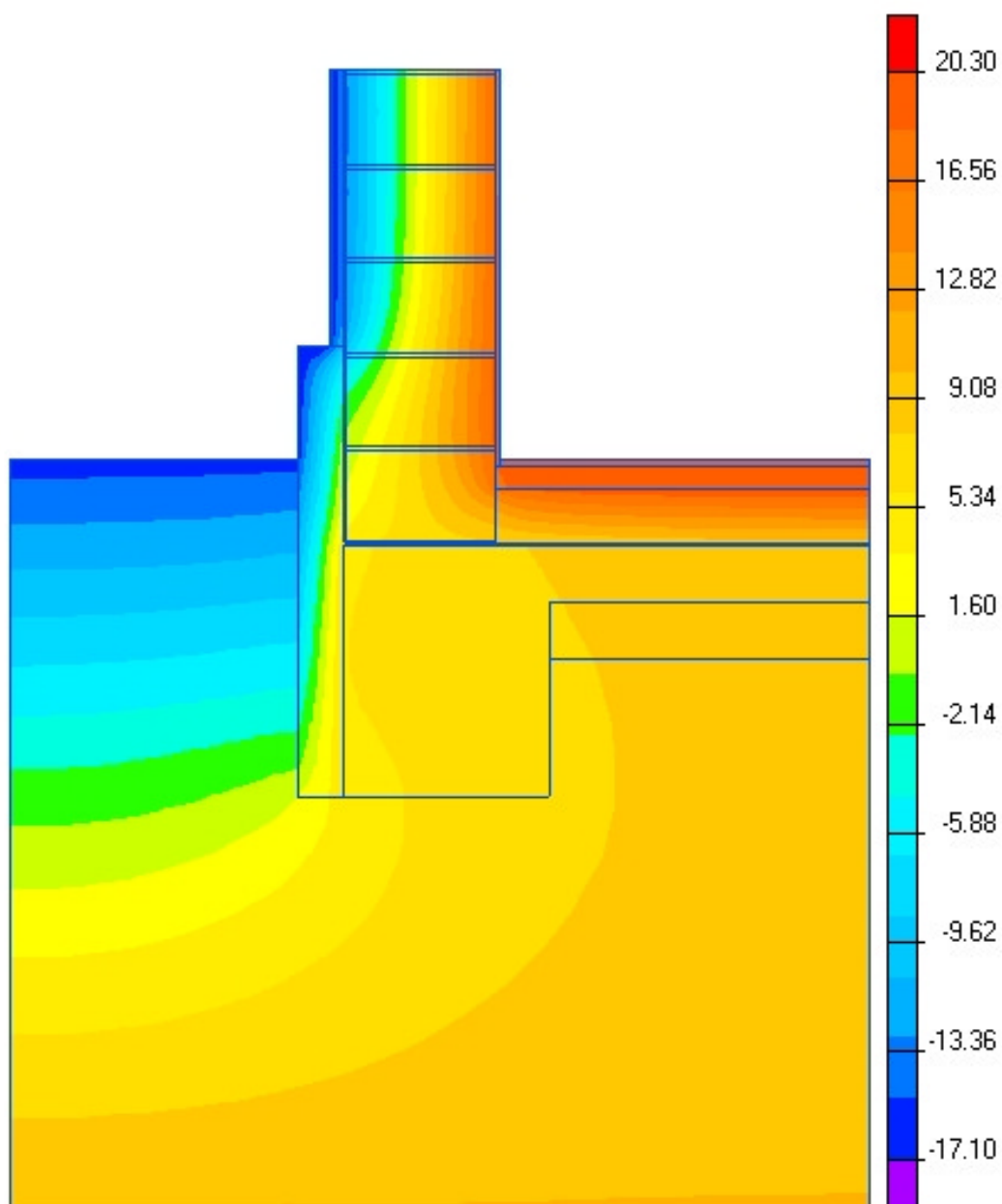
123 Detail zdiva u základu nepodsklepeného objektu a s úrovní podlahy zároveň s terénem STI 380 mm		
lineární číselník průchodu tepla - interiér	lineární číselník průchodu tepla - exteriér	teplotní faktor
ψ_i	ψ_e	f_{Rsi}
W/(m.K)	W/(m.K)	-
0,041	0,319	0,9076



Obsah: "Výpočet typických tepelných mostů a jejich minimalizace – 250 detailů"
Zpracovatel: Energy Consulting – Project, s.r.o., Přemyslská 484/28, 182 00 Praha 8,
IČ 26113317; mobil 777 196 154, e-mail: info@e-c.cz



124 Detail zdiva u základu nepodsklepeného objektu a s úrovní podlahy zároveň s terénem P+D 400 mm		
lineární číselník průtoku tepla - interiér	lineární číselník průtoku tepla - exteriér	teplotní faktor
ψ_i	ψ_e	f_{Rsi}
W/(m.K)	W/(m.K)	-
0,035	0,297	0,8975

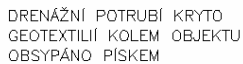


Obsah:

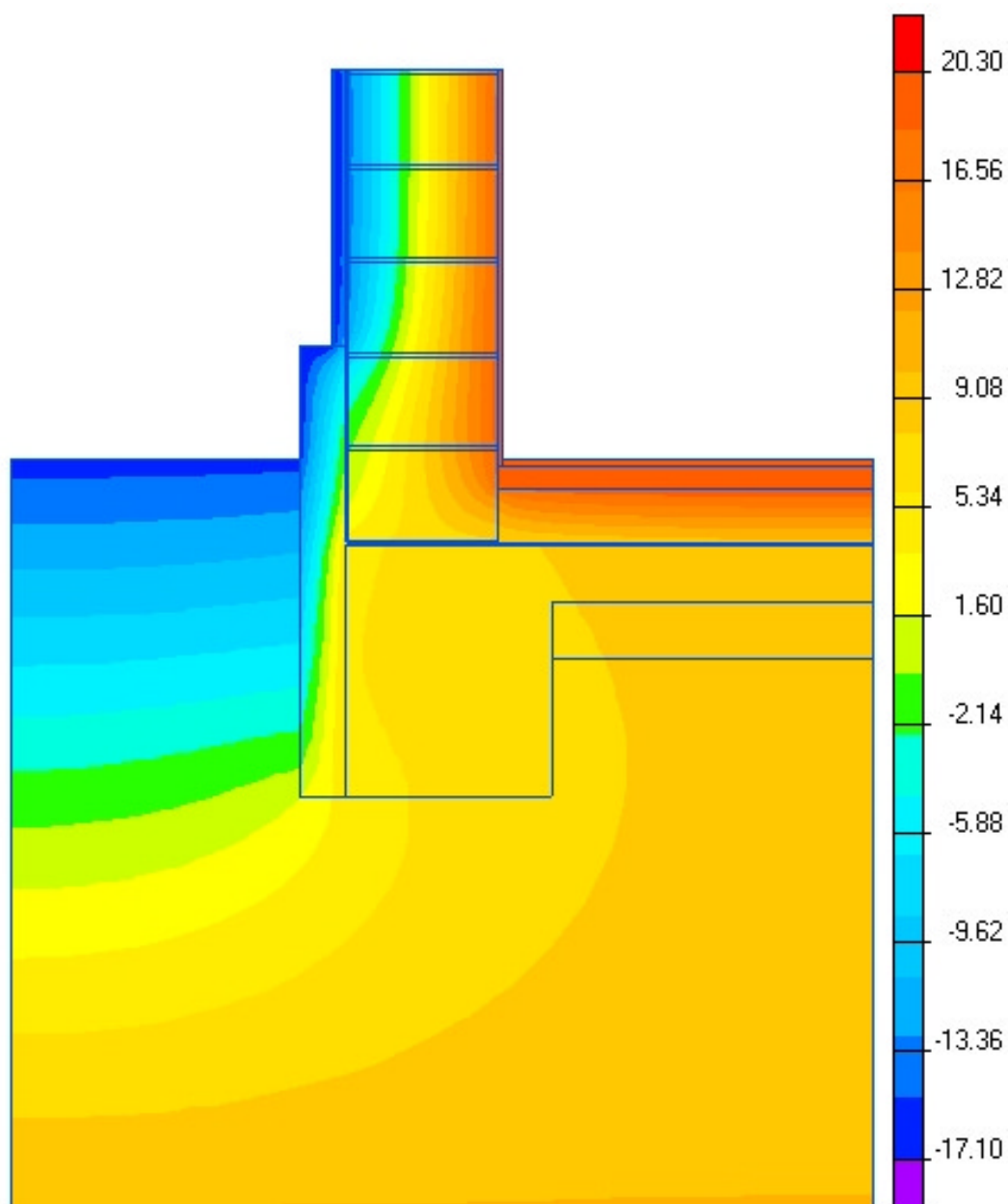
“Výpočet typických tepelných mostů a jejich minimalizace – 250 detailů”

Energy Consulting – Project, s.r.o., Přemyslská 484/28, 182 00 Praha 8,

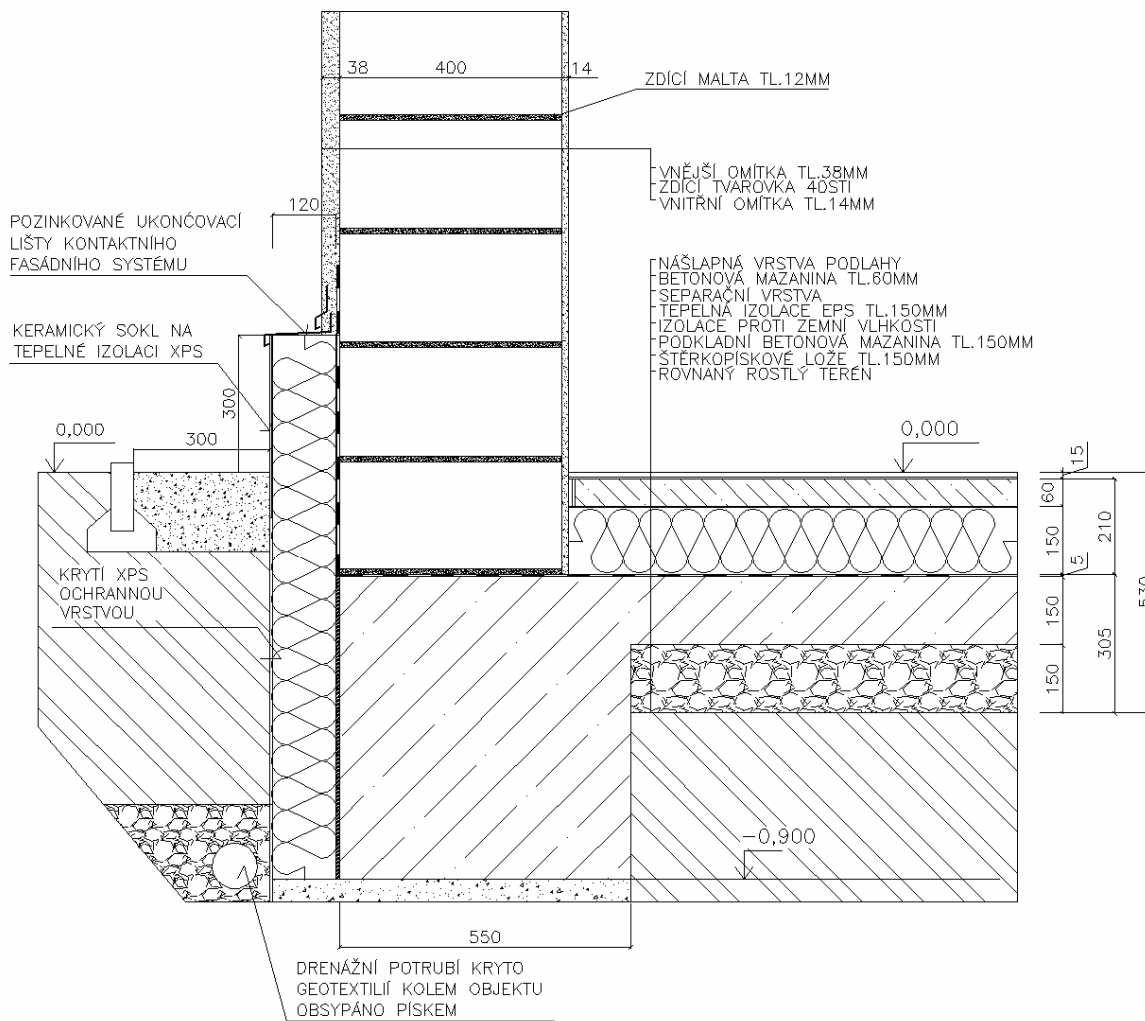
IČ 26113317; mobil 777 196 154, e-mail: info@e-c.cz



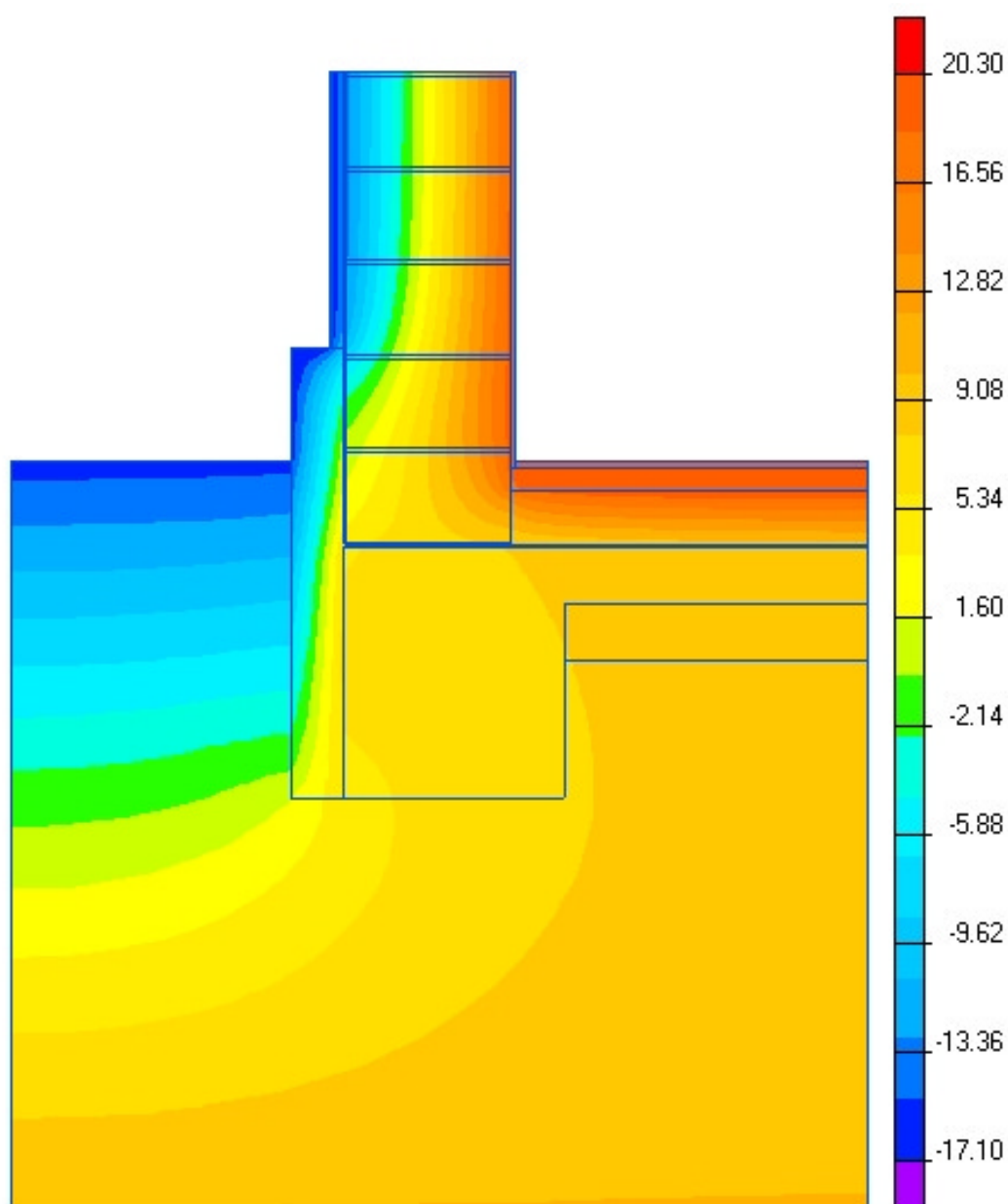
125 Detail zdiva u základu nepodsklepeného objektu a s úrovní podlahy zároveň s terénem STI 400 mm		
lineární číselník průtoku tepla - interiér ψ_i W/(m.K)	lineární číselník průtoku tepla - exteriér ψ_e W/(m.K)	teplotní faktor f_{Rsi} -
0,041	0,323	0,9186



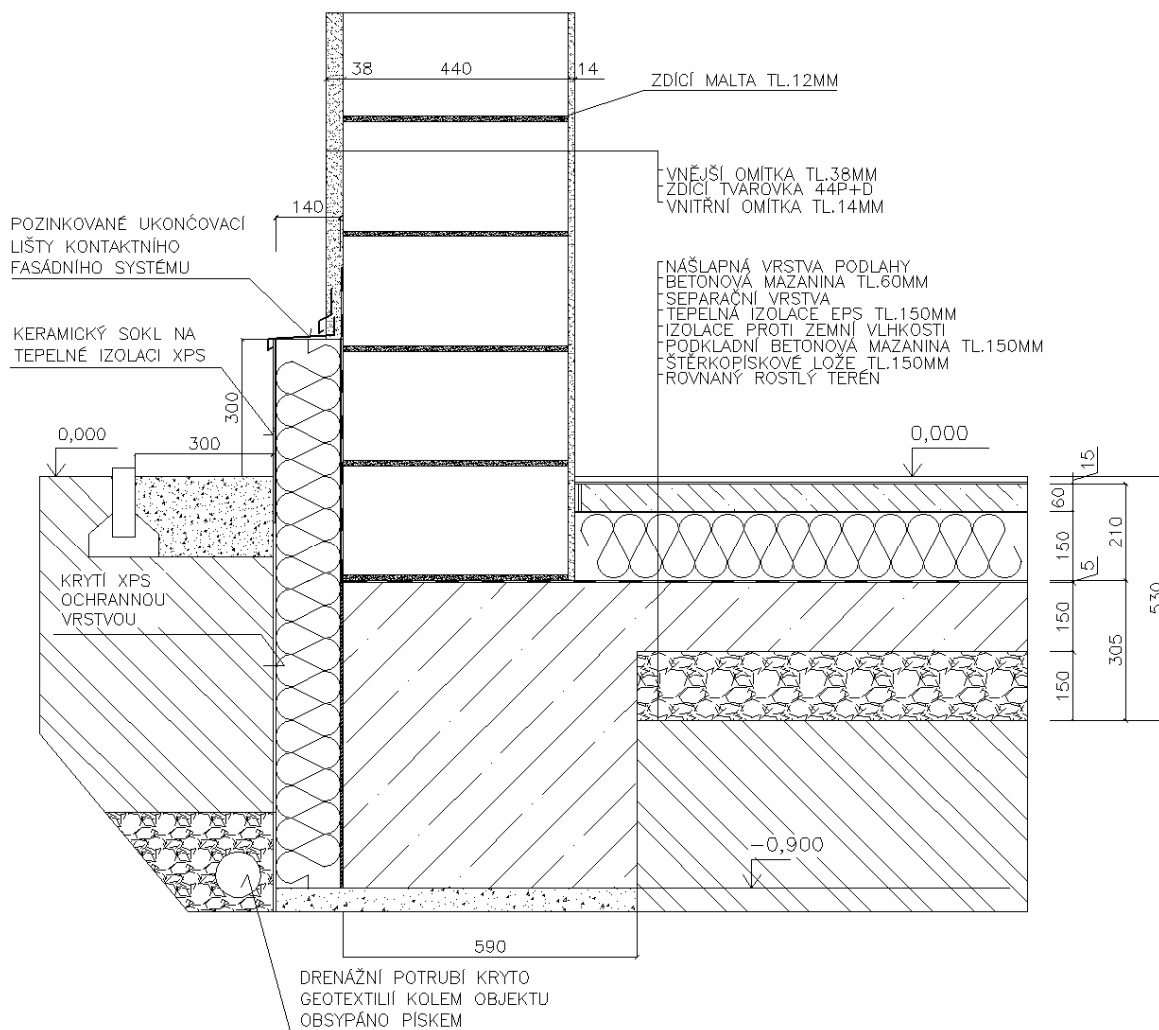
Obsah: "Výpočet typických tepelných mostů a jejich minimalizace – 250 detailů"
Zpracovatel: Energy Consulting – Project, s.r.o., Přemyslská 484/28, 182 00 Praha 8,
IČ 26113317; mobil 777 196 154, e-mail: info@e-c.cz



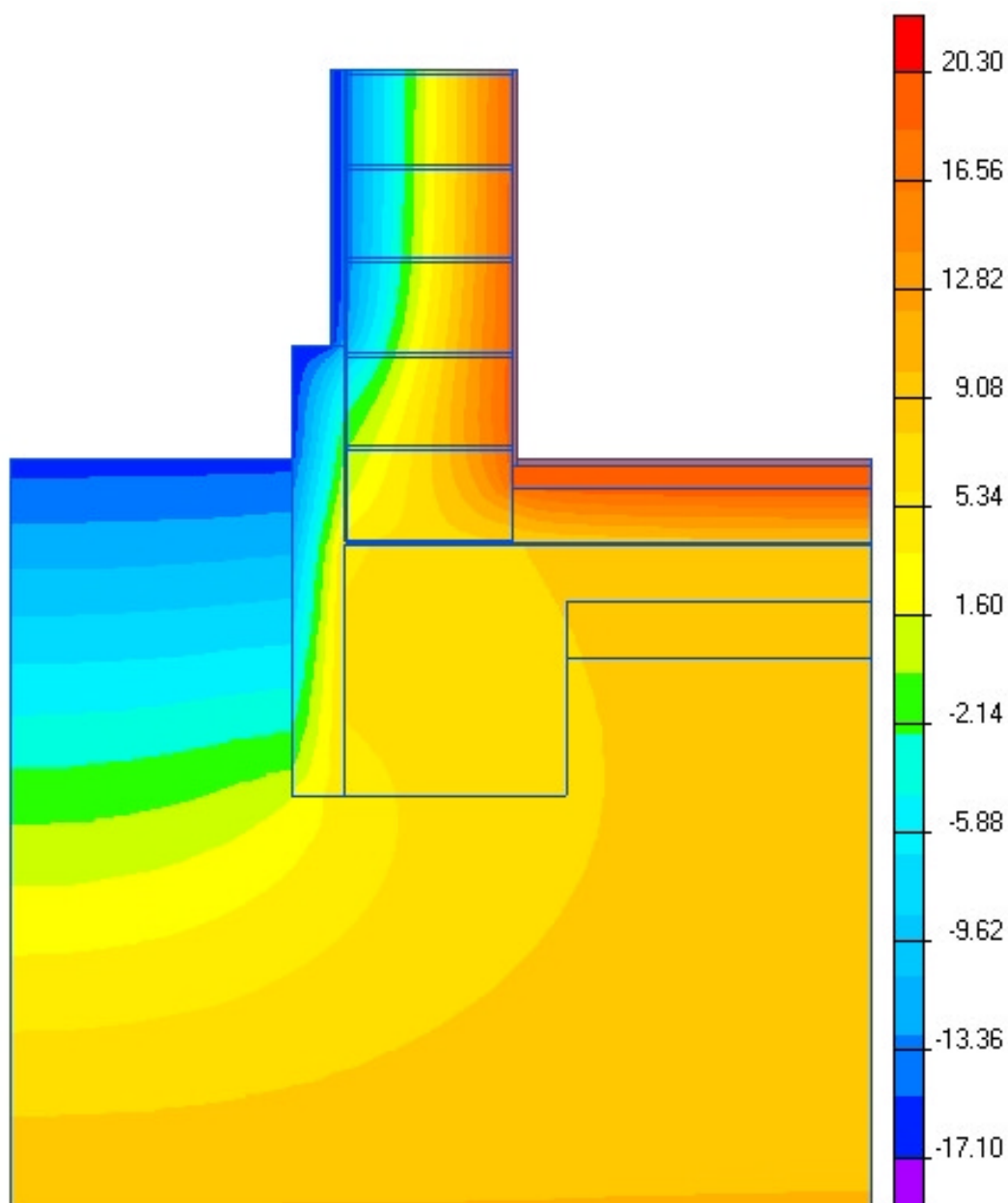
126 Detail zdiva u základu nepodsklepeného objektu a s úrovní podlahy zároveň s terénem P+D 440 mm		
lineární číselník průstupu tepla - interiér ψ_i W/(m.K)	lineární číselník průstupu tepla - exteriér ψ_e W/(m.K)	teplotní faktor f_{Rsi} -
0,034	0,284	0,9054

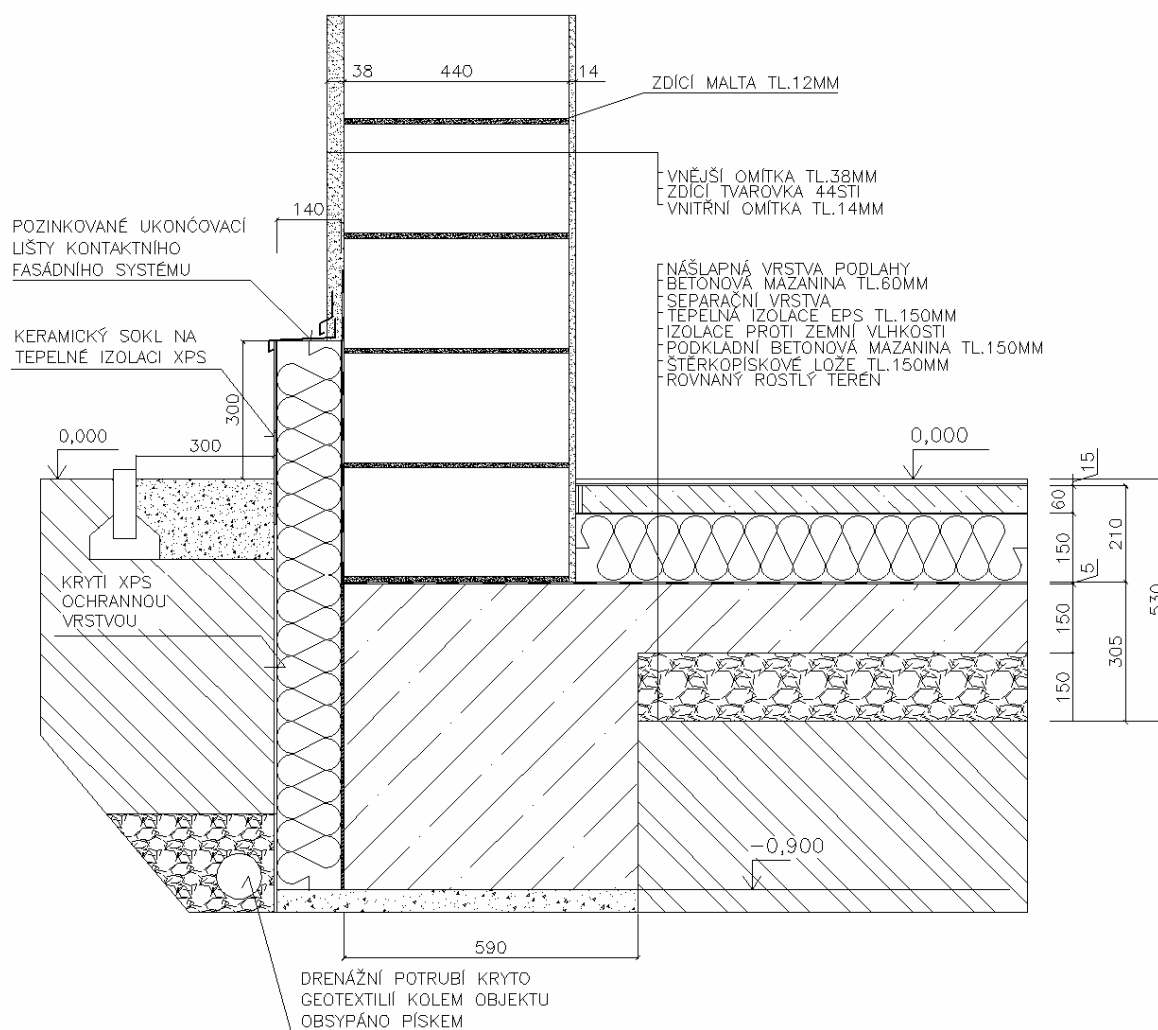


Obsah: "Výpočet typických tepelných mostů a jejich minimalizace – 250 detailů"
Zpracovatel: Energy Consulting – Project, s.r.o., Přemyslská 484/28, 182 00 Praha 8,
IČ 26113317; mobil 777 196 154, e-mail: info@e-c.cz

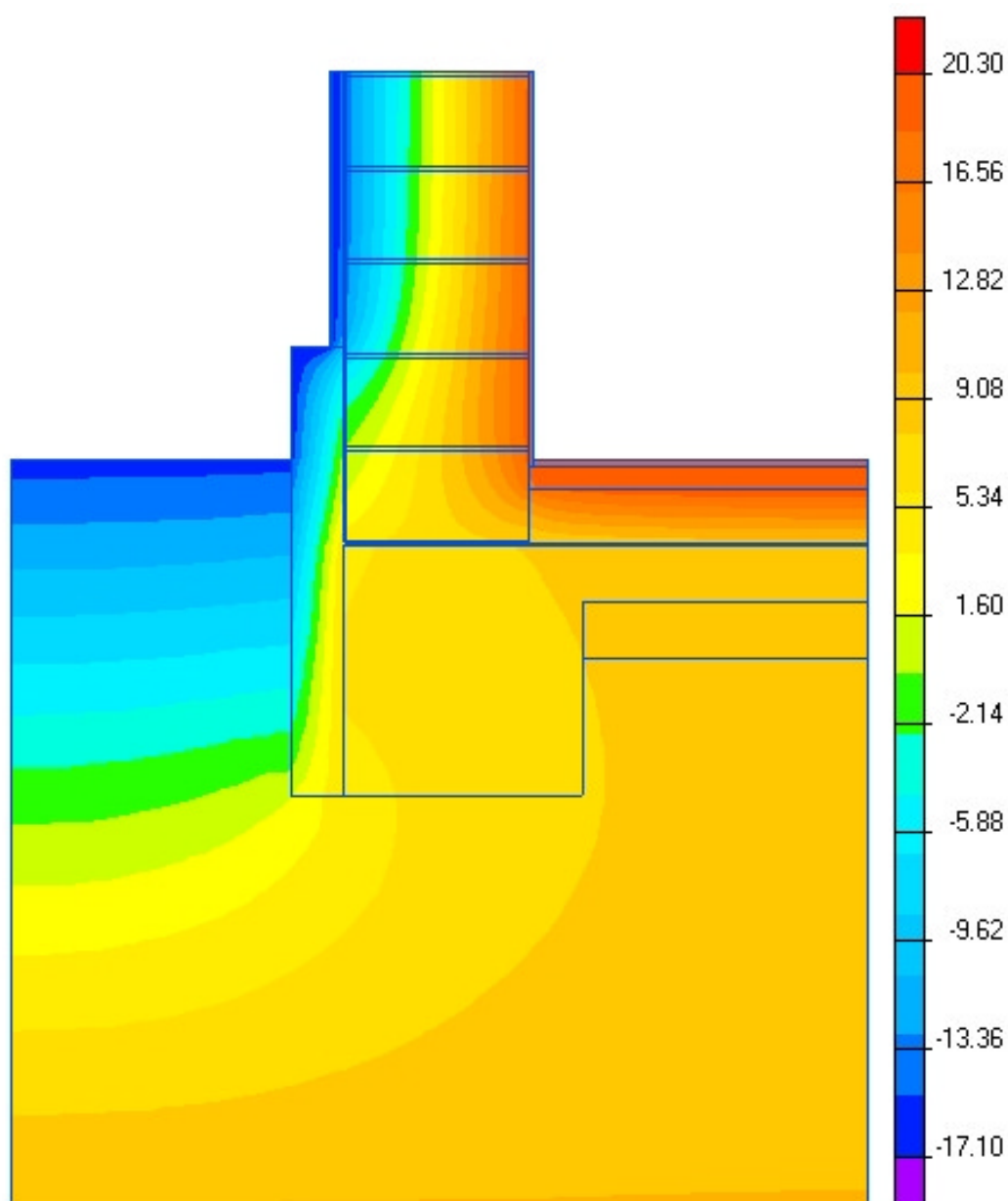


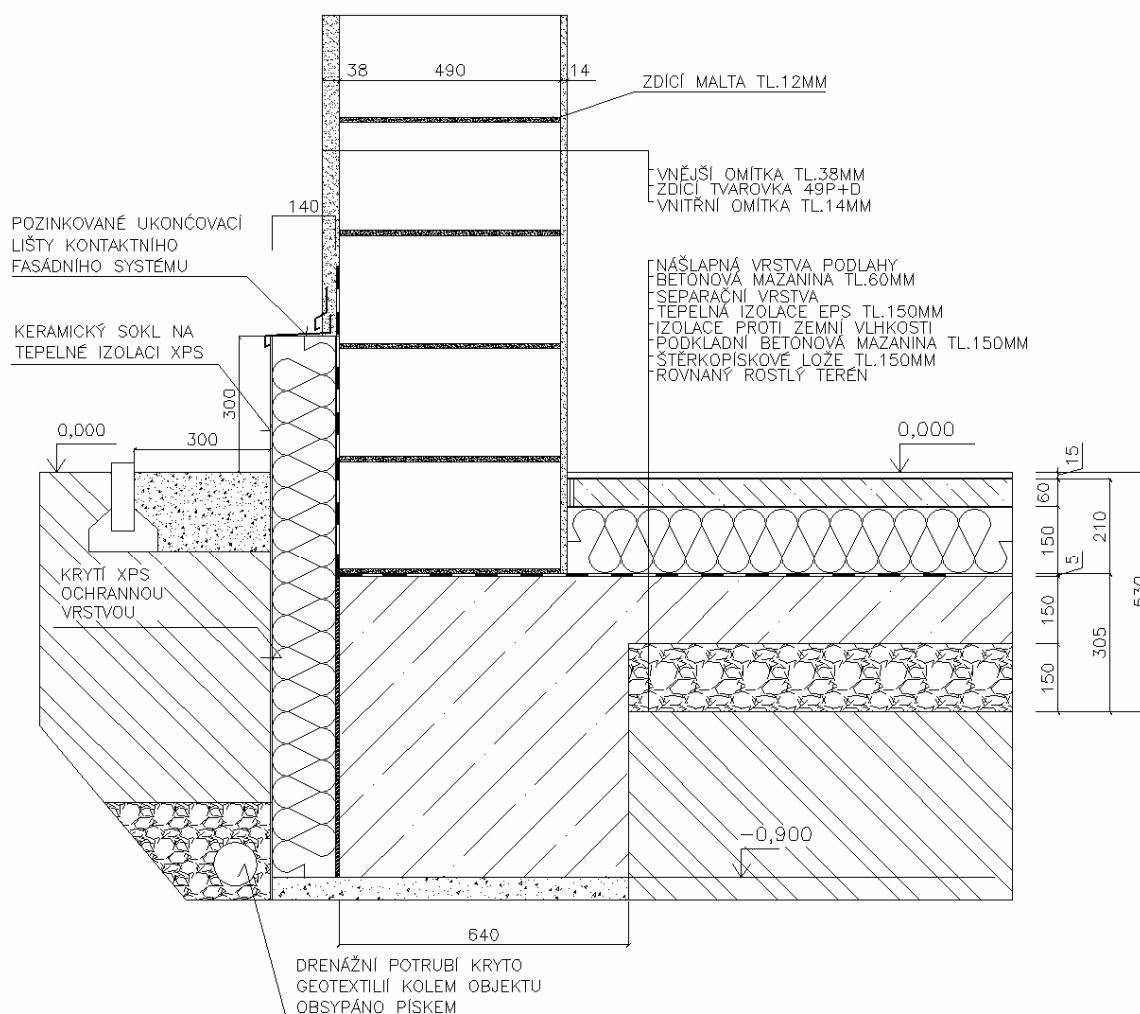
127 Detail zdiva u základu nepodsklepeného objektu a s úrovní podlahy zároveň s terénem STI 440 mm		
lineární číselník průstupu tepla - interiér ψ_i W/(m.K)	lineární číselník průstupu tepla - exteriér ψ_e W/(m.K)	teplotní faktor f_{Rsi} -
0,039	0,308	0,9186



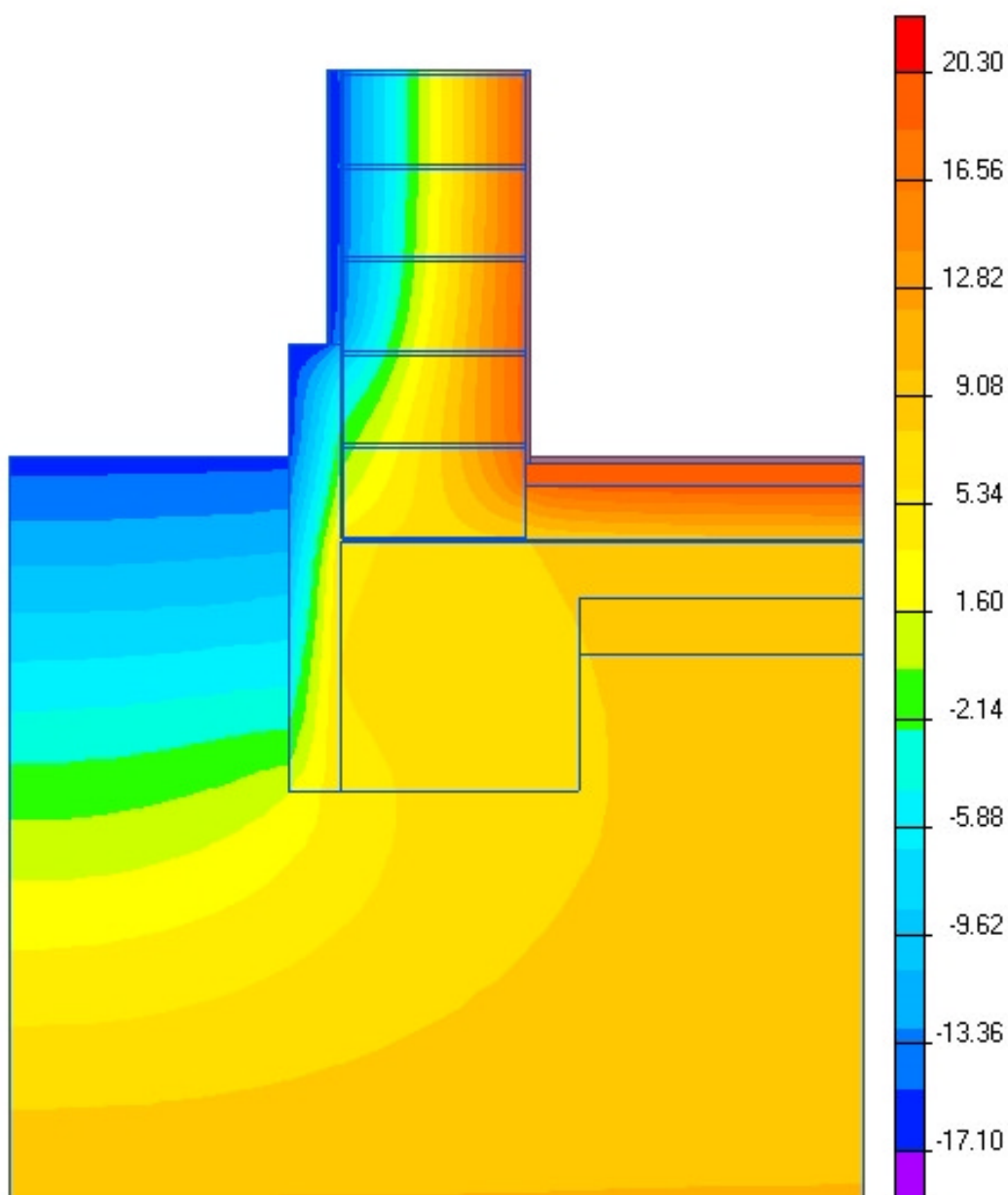


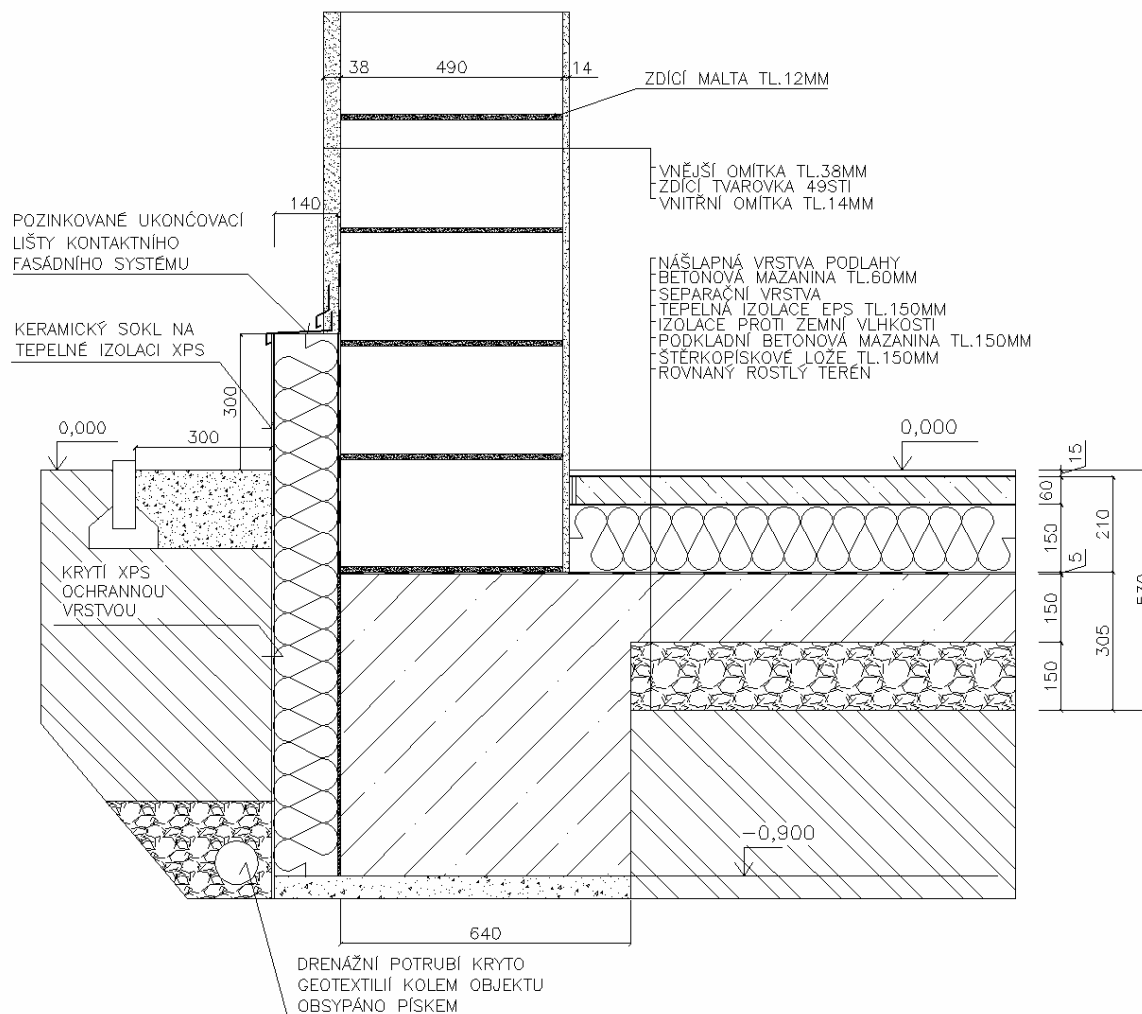
128 Detail zdiva u základu nepodsklepeného objektu a s úrovní podlahy zároveň s terénem P+D 490 mm		
lineární číselník průstupu tepla - interiér ψ_i W/(m.K)	lineární číselník průstupu tepla - exteriér ψ_e W/(m.K)	teplotní faktor f_{Rsi} -
0,036	0,295	0,9138



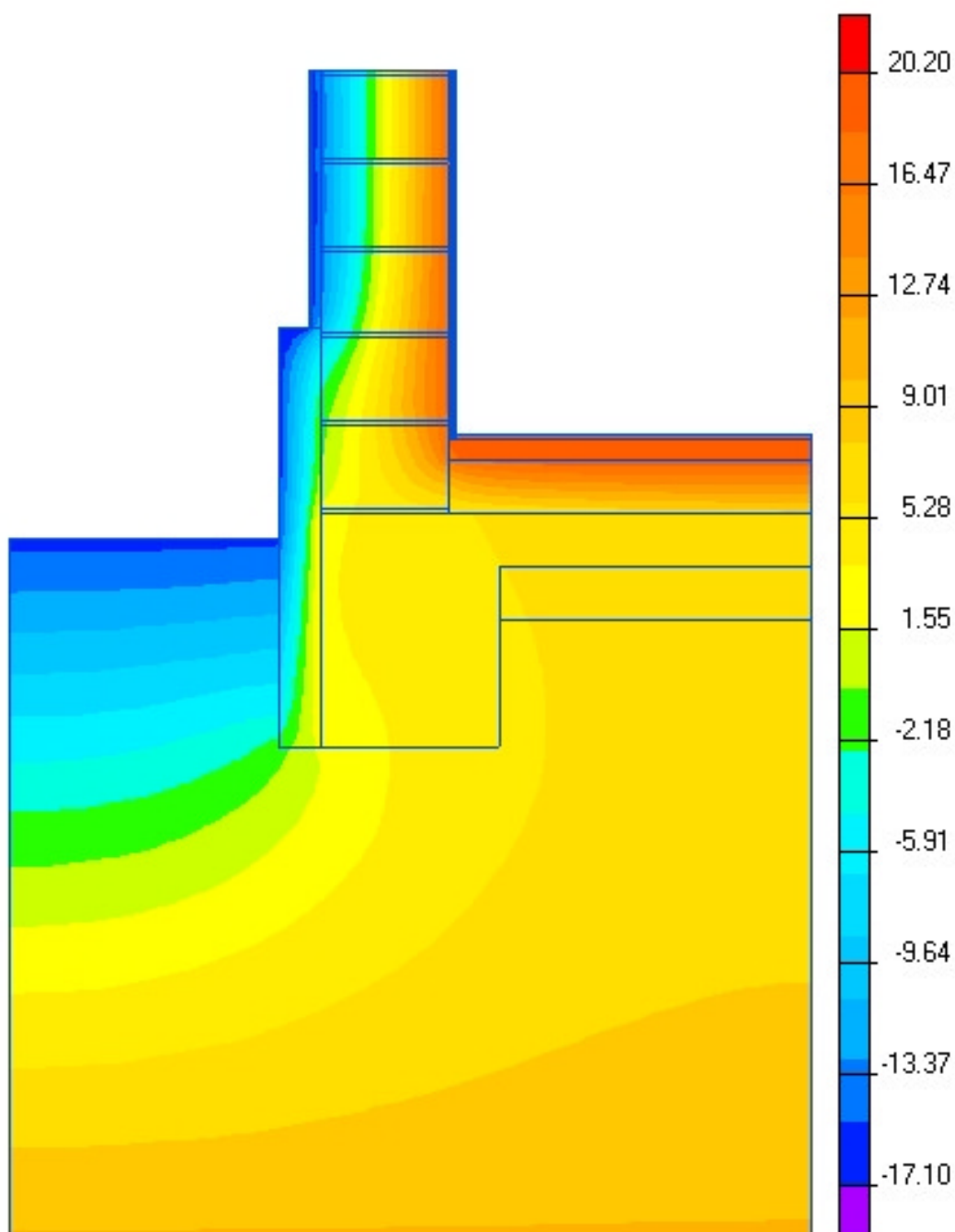


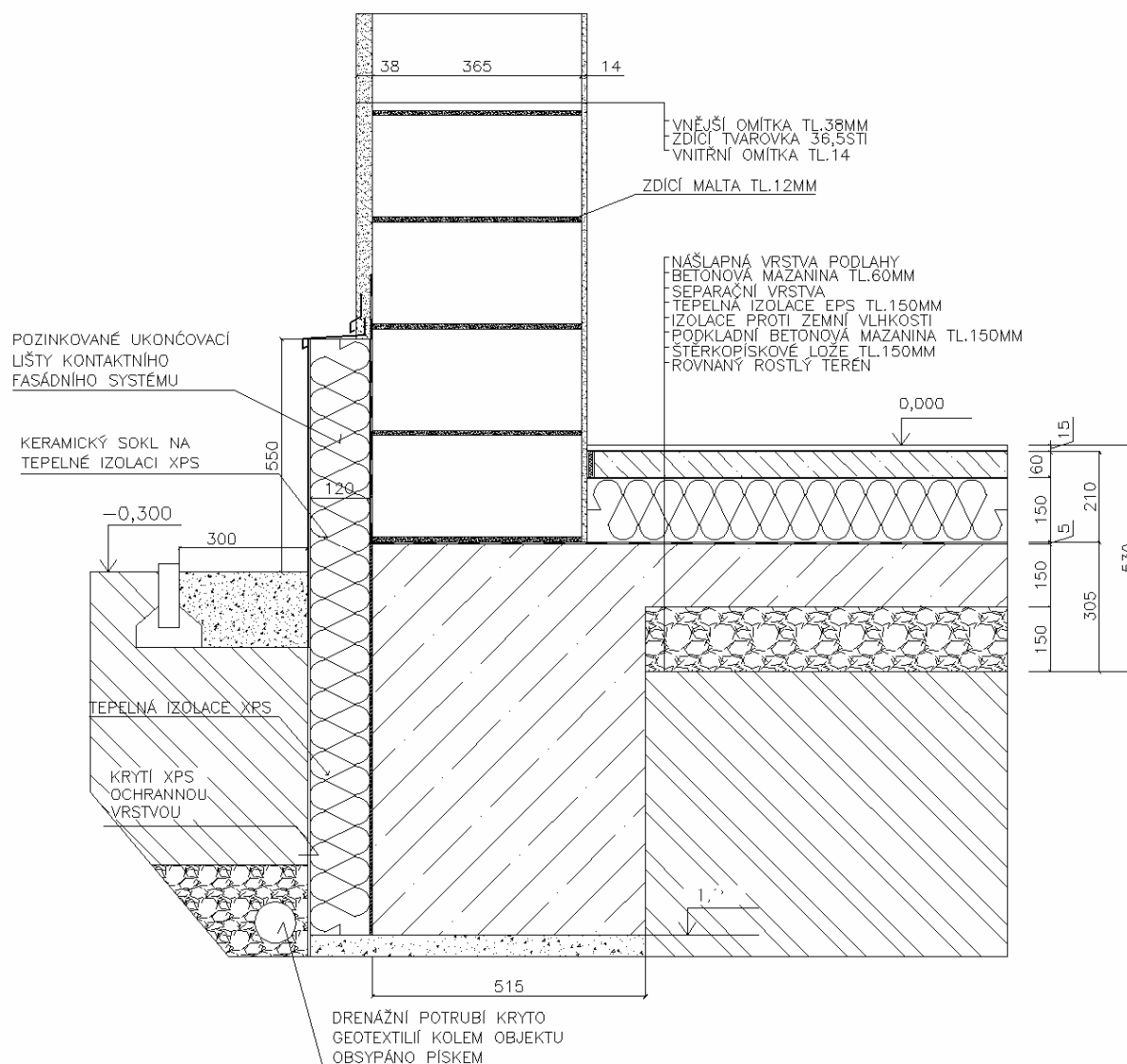
129 Detail zdiva u základu nepodsklepeného objektu a s úrovní podlahy zároveň s terénem STI 490 mm		
lineární číselník průtoku tepla - interiér ψ_i W/(m.K)	lineární číselník průtoku tepla - exteriér ψ_e W/(m.K)	teplotní faktor f_{Rsi} -
0,040	0,315	0,9260



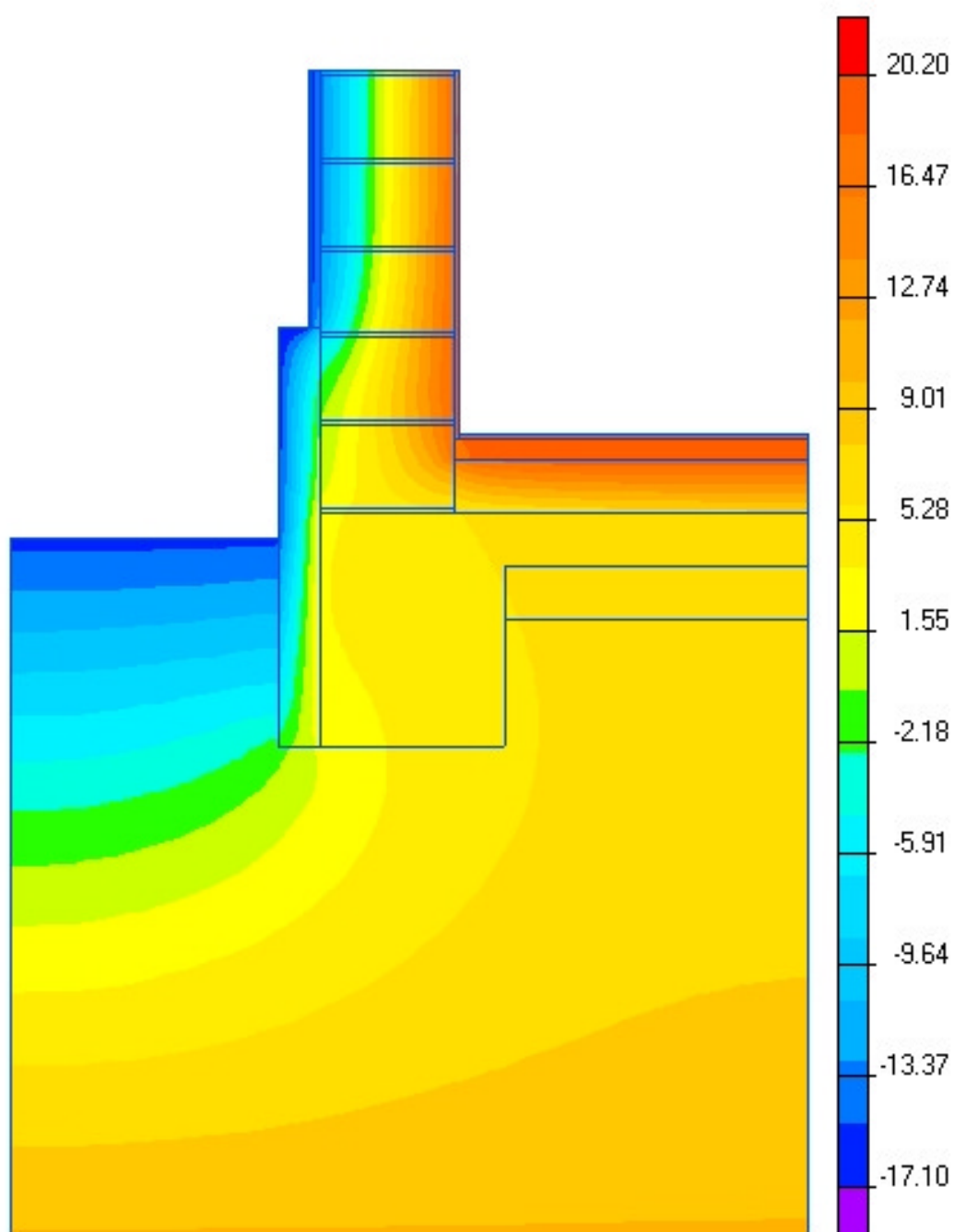


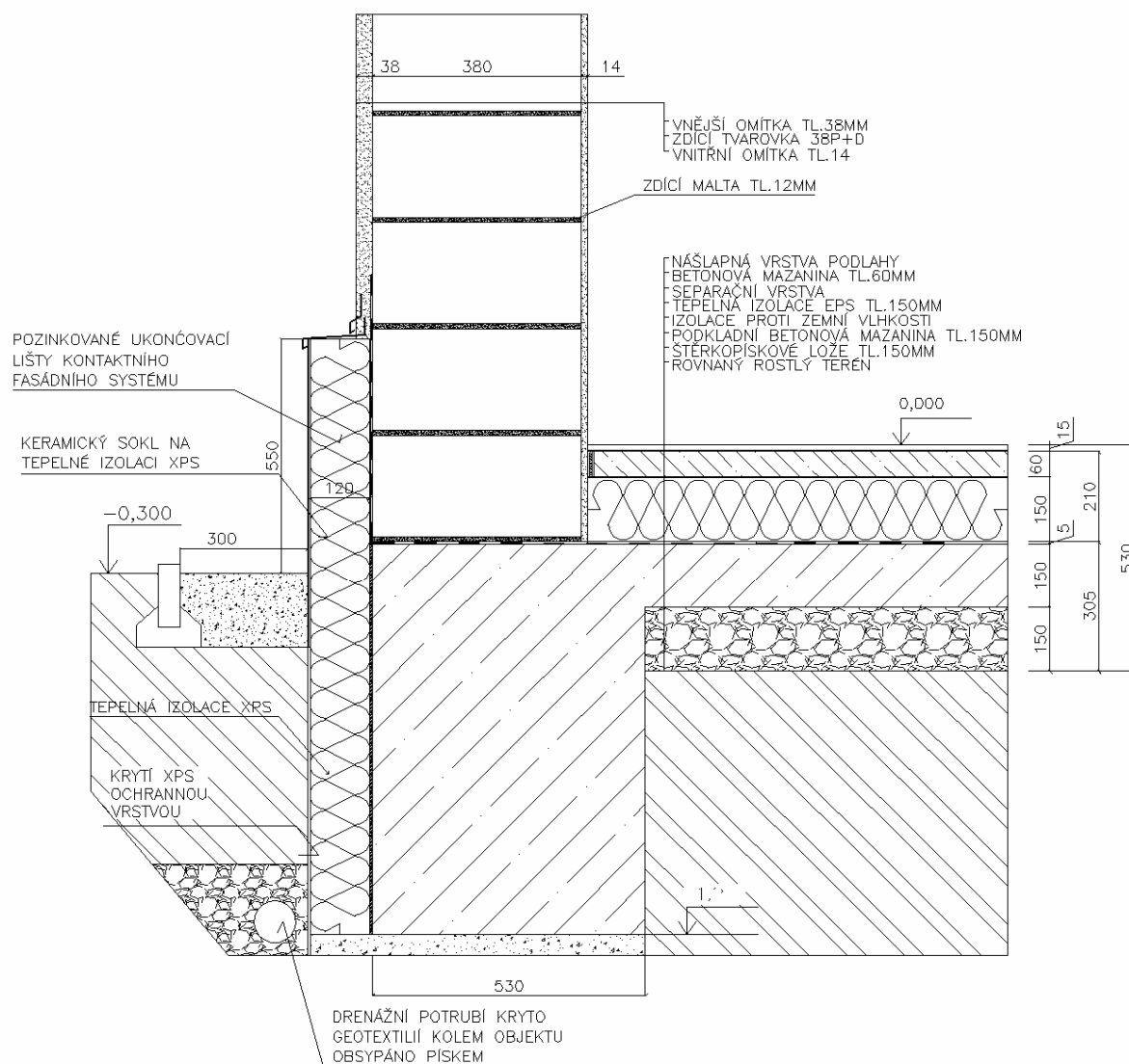
131 Detail zdiva u základu nepodsklepeného objektu a s úrovní podlahy 300 mm nad terénem STI 365 mm		
lineární číselník průstupu tepla - interiér ψ_i W/(m.K)	lineární číselník průstupu tepla - exteriér ψ_e W/(m.K)	teplotní faktor f_{Rsi} -
0,060	0,407	0,9044



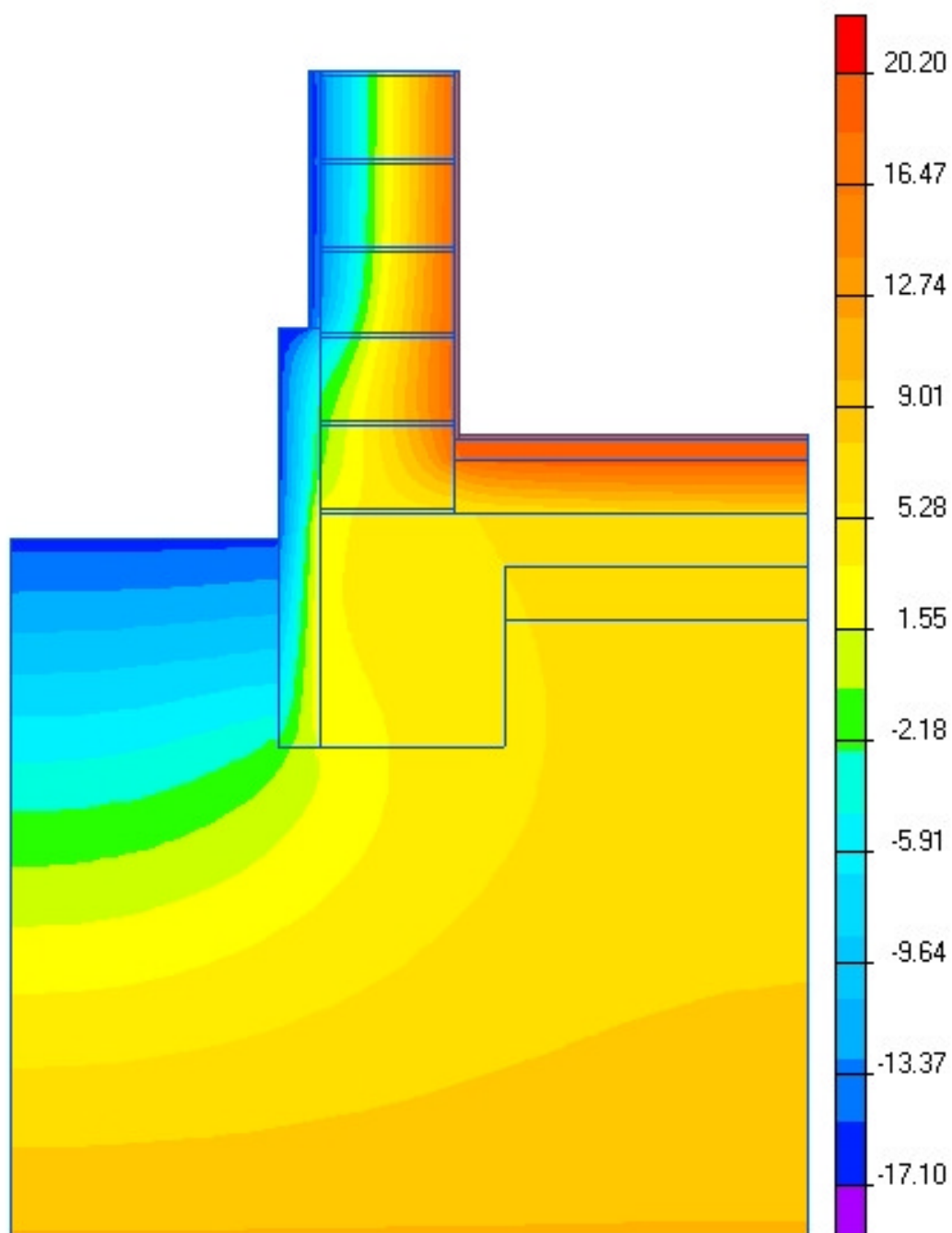


132 Detail zdiva u základu nepodsklepeného objektu a s úrovní podlahy 300 mm nad terénem P+D 380 mm		
lineární číselník průstupu tepla - interiér ψ_i W/(m.K)	lineární číselník průstupu tepla - exteriér ψ_e W/(m.K)	teplotní faktor f_{Rsi} -
0,054	0,384	0,8930

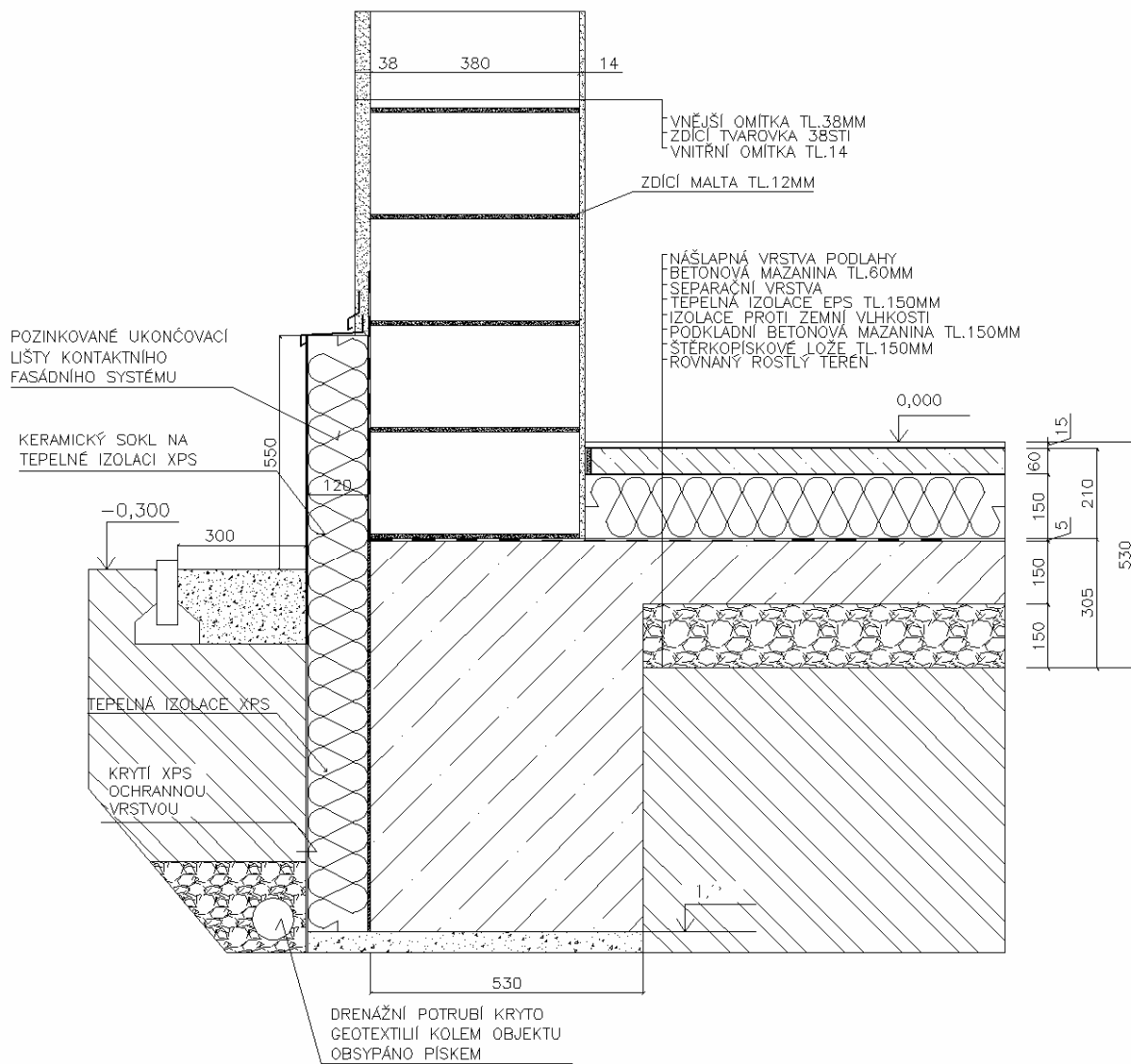




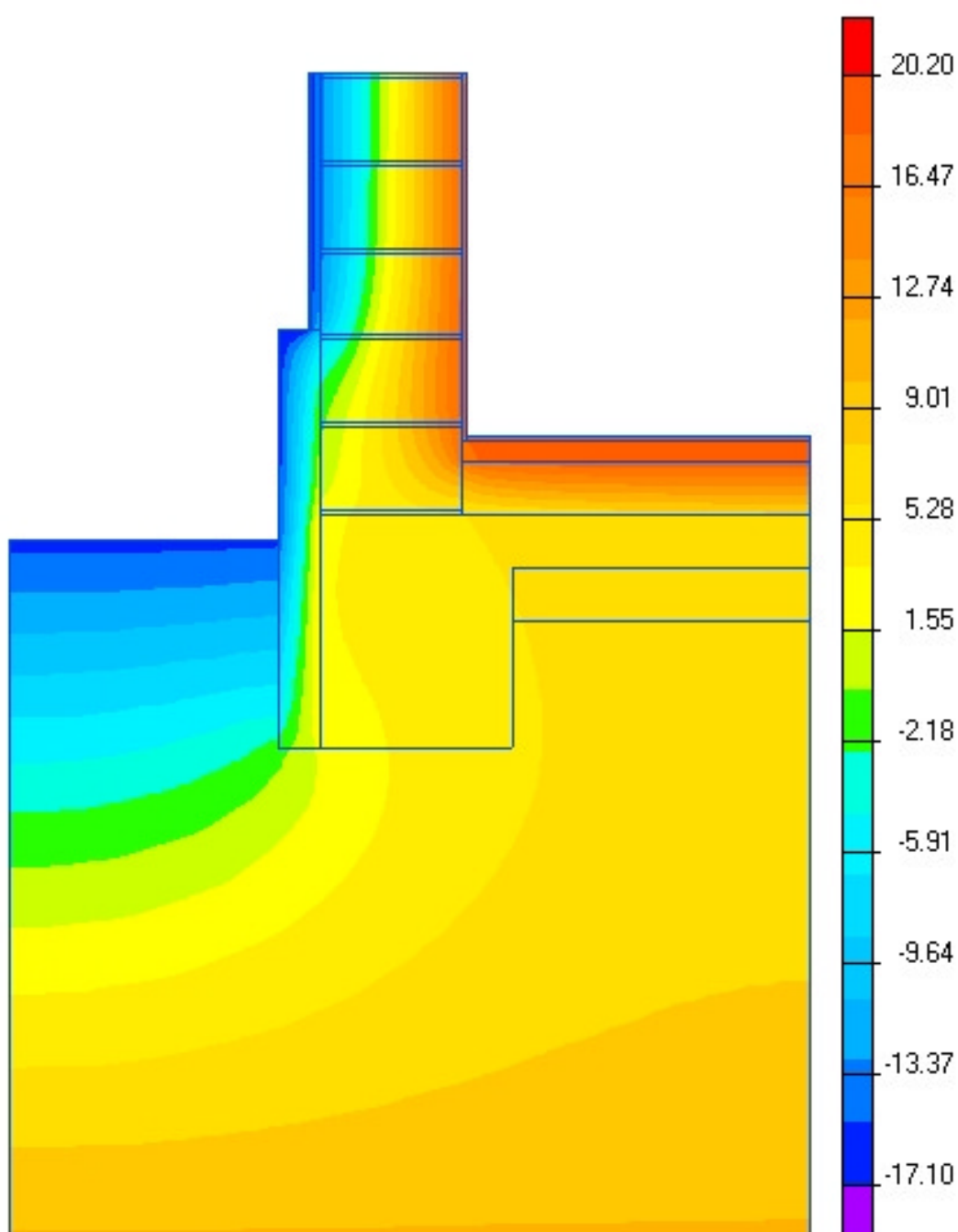
133 Detail zdiva u základu nepodsklepeného objektu a s úrovní podlahy 300 mm nad terénem STI 380 mm		
lineární číselník průstupu tepla - interiér ψ_i W/(m.K)	lineární číselník průstupu tepla - exteriér ψ_e W/(m.K)	teplotní faktor f_{Rsi} -
0,060	0,410	0,9076



Obsah: "Výpočet typických tepelných mostů a jejich minimalizace – 250 detailů"
Zpracovatel: Energy Consulting – Project, s.r.o., Přemyslská 484/28, 182 00 Praha 8,
IČ 26113317; mobil 777 196 154, e-mail: info@e-c.cz



134 Detail zdiva u základu nepodsklepeného objektu a s úrovní podlahy 300 mm nad terénem P+D 400 mm		
lineární činitel prostupu tepla - interiér ψ_i W/(m.K)	lineární činitel prostupu tepla - exteriér ψ_e W/(m.K)	teplotní faktor f_{Rsi} -
0,055	0,389	0,8974

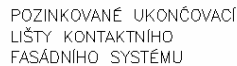


Obsah:

“Výpočet typických tepelných mostů a jejich minimalizace – 250 detailů”

IČ 26113317; mobil 777 196 154, e-mail:info@e-c.cz

IČ 26113317; mobil 777 196 154, e-mail:info@e-c.cz



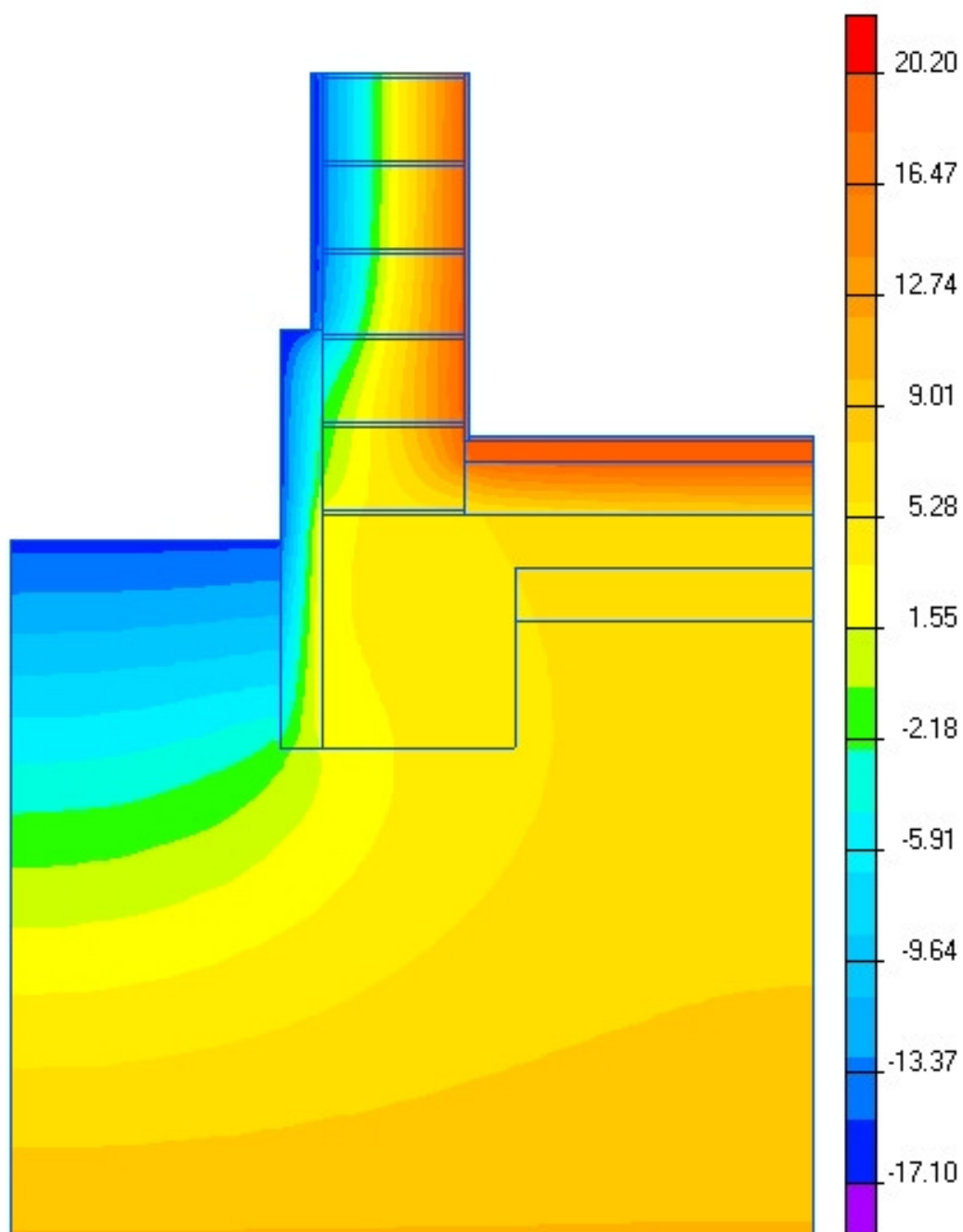
KERAMICKÝ SOKL NA
TEPELNÉ IZOLACI XPS

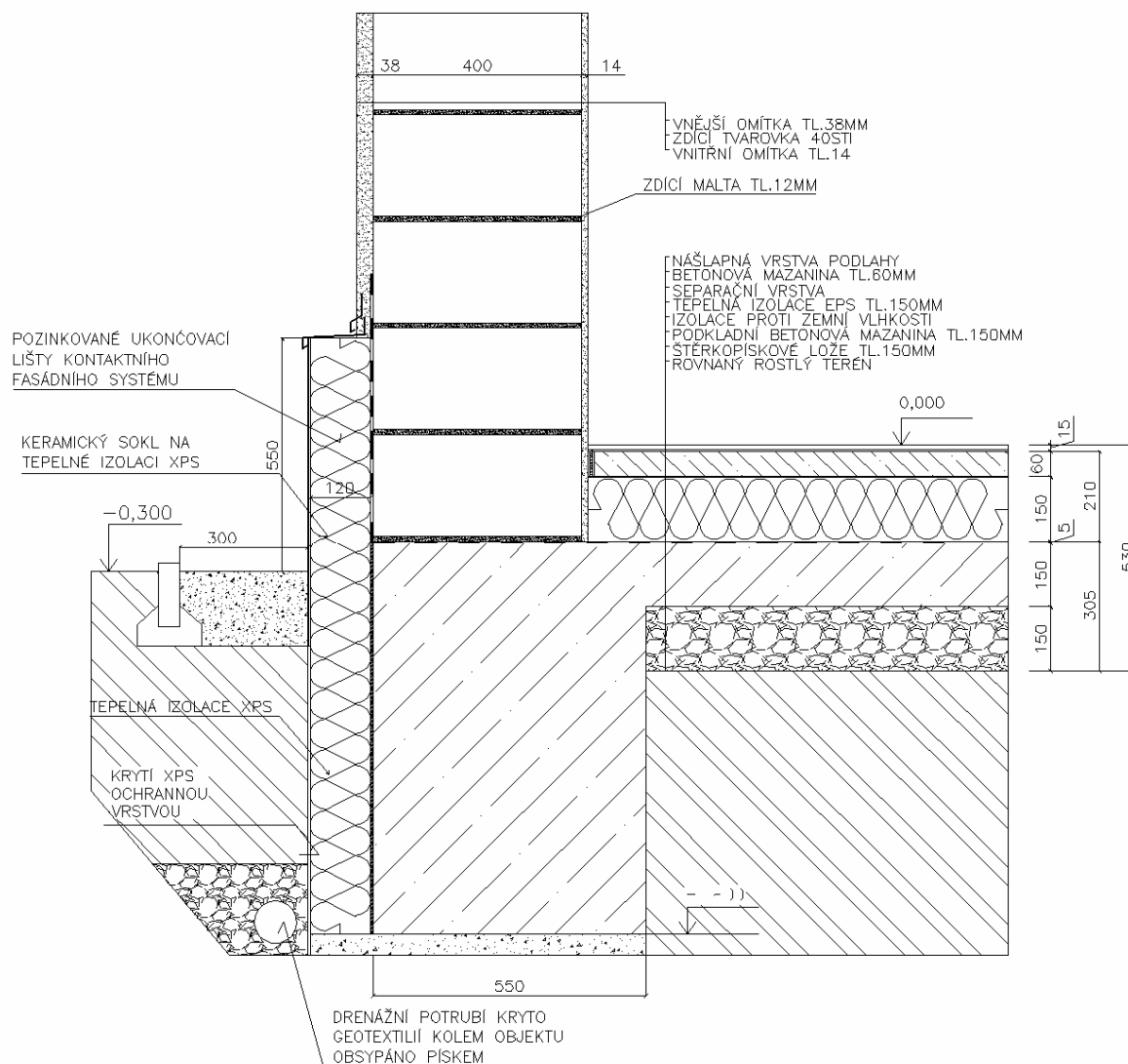
~~TEPELNÁ IZOLACE XPS~~

KRYTÍ XPS
OCHRANNOU
VRSTVOU

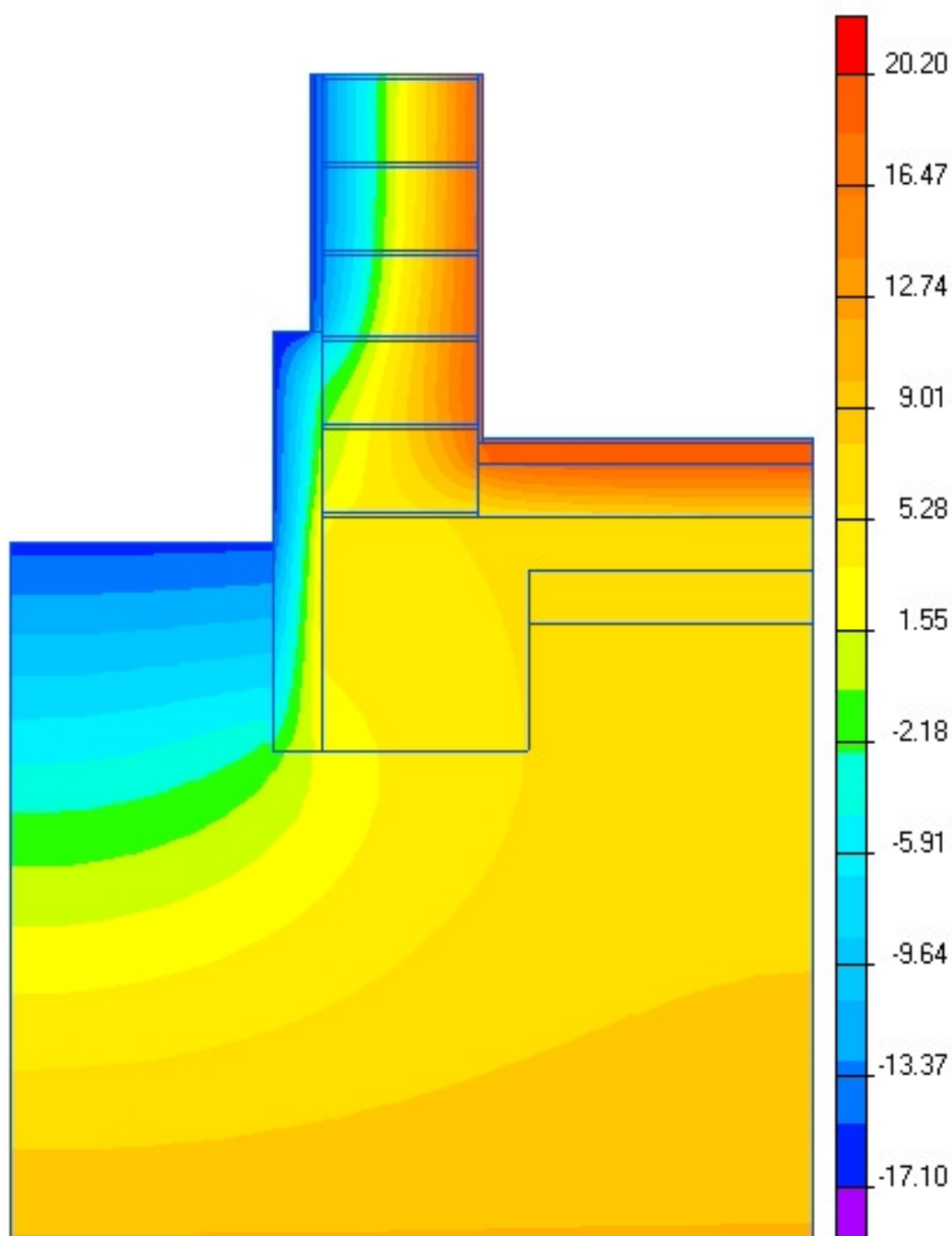
DRENÁŽNÍ POTRUBÍ KRYTO
GEOTEXTILIÍ KOLEM OBJEKTU
OBSYPÁNO PÍSKEM

135 Detail zdiva u základu nepodsklepeného objektu a s úrovní podlahy 300 mm nad terénem STI 400 mm		
lineární číselník průstupu tepla - interiér ψ_i W/(m.K)	lineární číselník průstupu tepla - exteriér ψ_e W/(m.K)	teplotní faktor f_{Rsi} -
0,061	0,414	0,9185

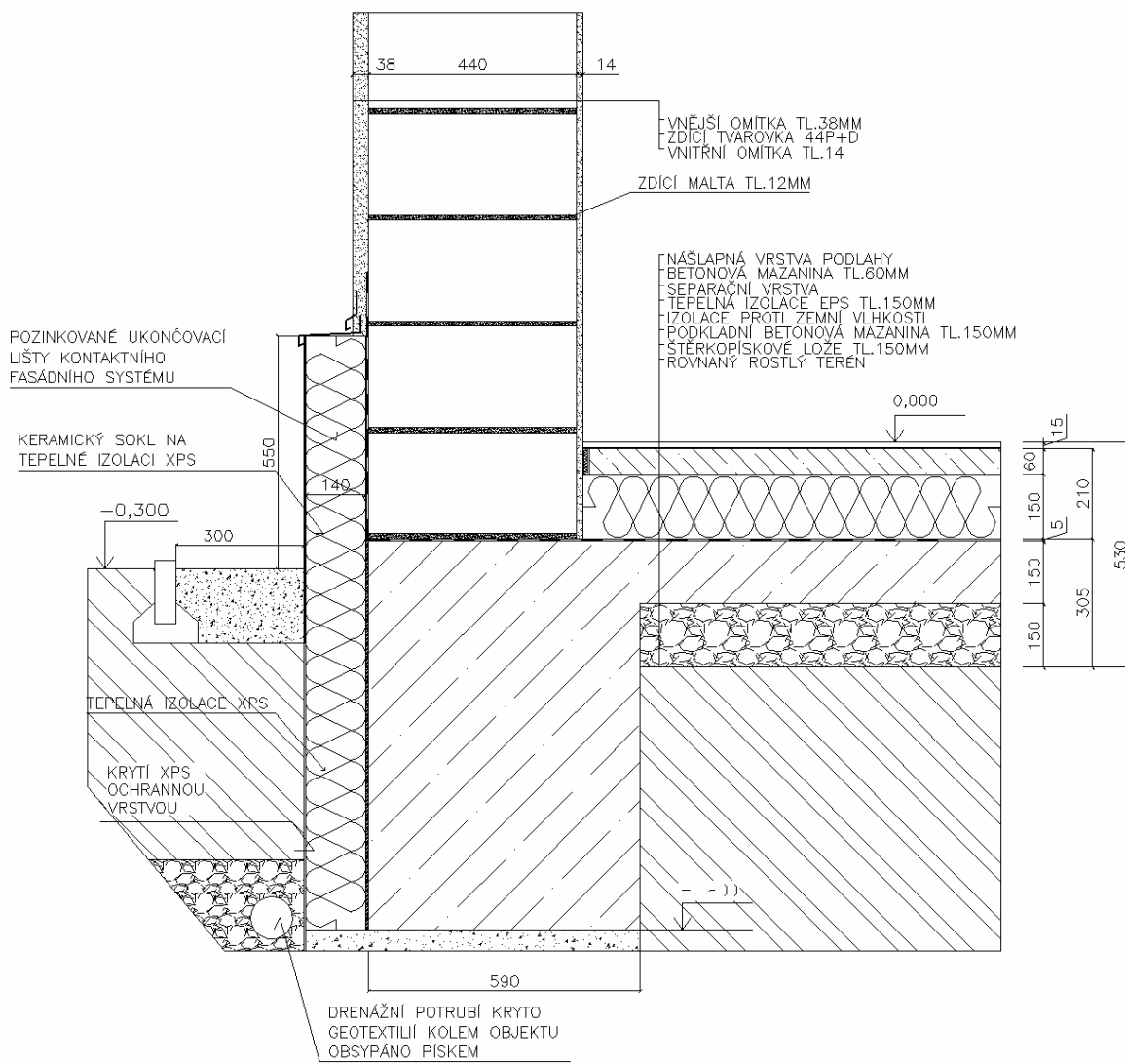




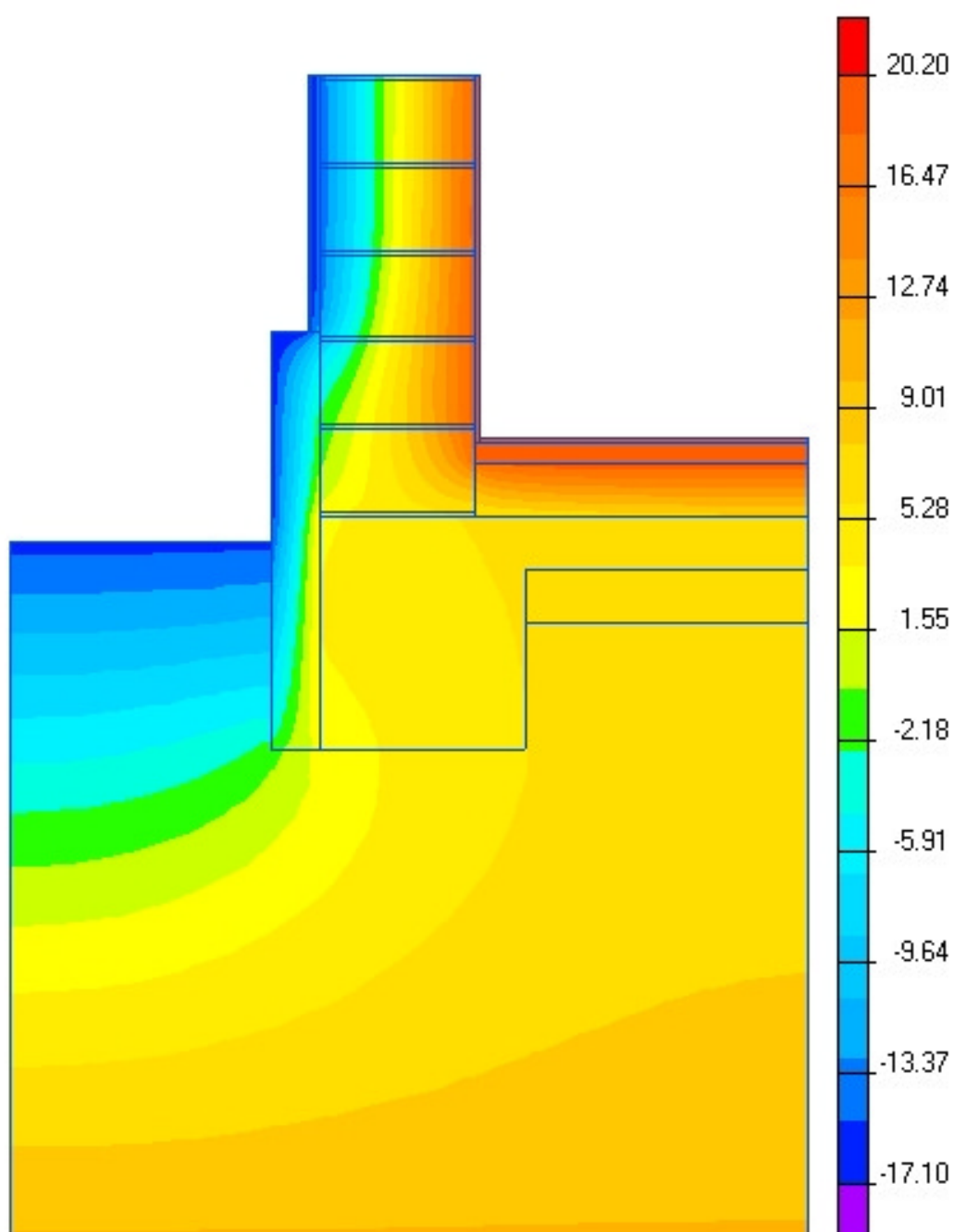
136 Detail zdiva u základu nepodsklepeného objektu a s úrovní podlahy 300 mm nad terénem P+D 440 mm		
lineární činitel prostupu tepla - interiér ψ_i W/(m.K)	lineární činitel prostupu tepla - exteriér ψ_e W/(m.K)	teplotní faktor f_{Rsi} -
0,053	0,373	0,9053



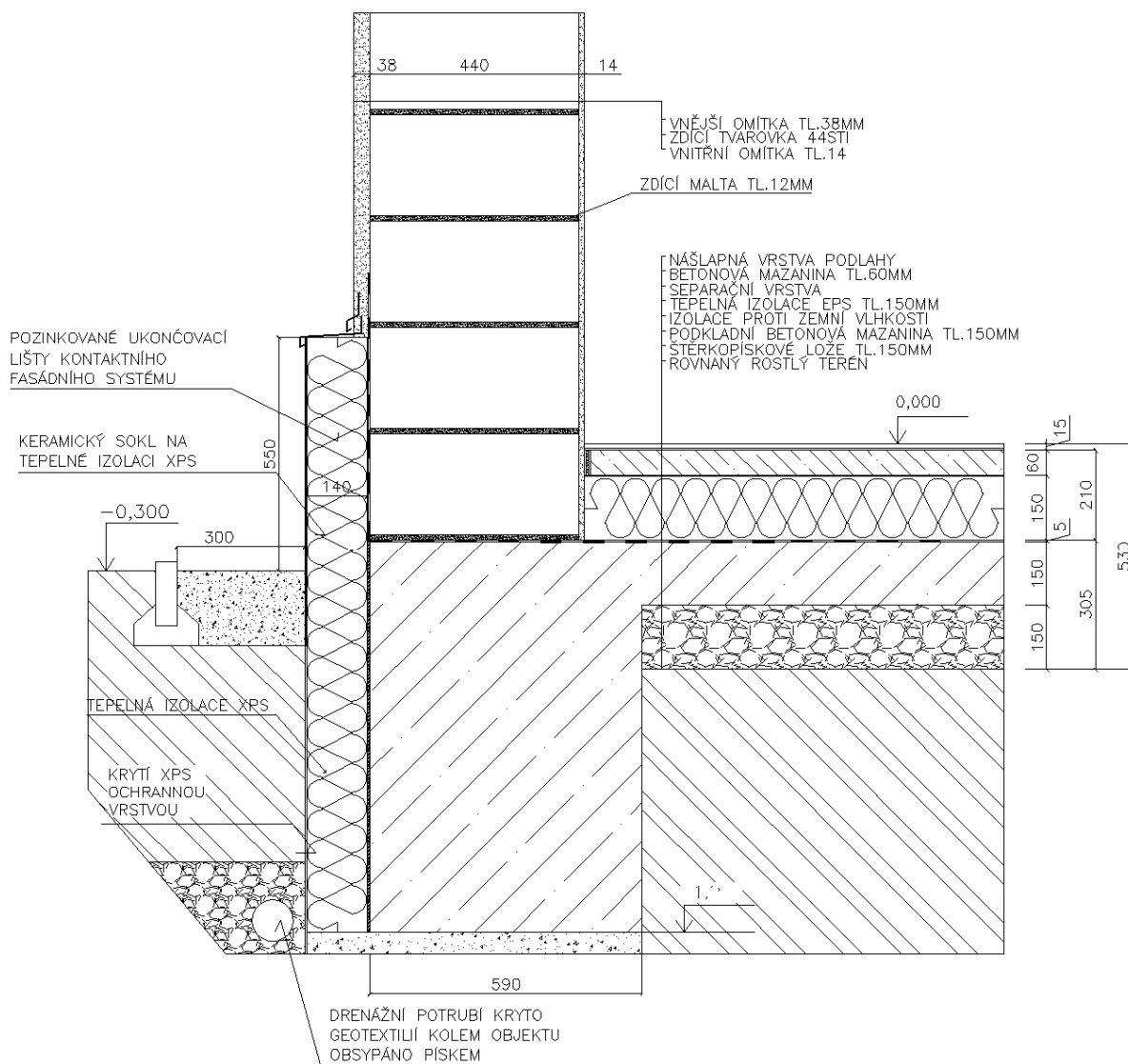
Obsah: "Výpočet typických tepelných mostů a jejich minimalizace – 250 detailů"
Zpracovatel: Energy Consulting – Project, s.r.o., Přemyslská 484/28, 182 00 Praha 8,
IČ 26113317; mobil 777 196 154, e-mail: info@e-c.cz



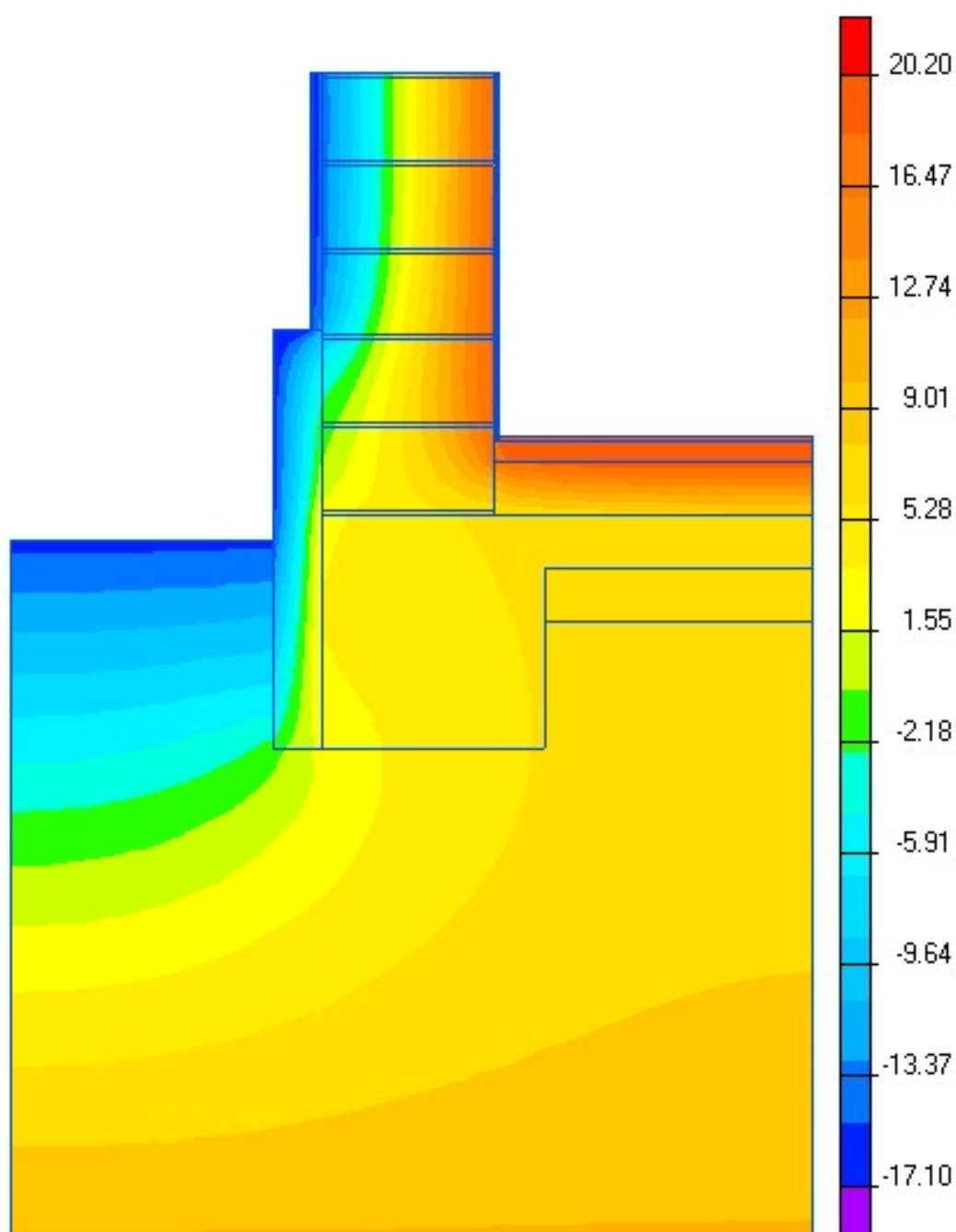
137 Detail zdiva u základu nepodsklepeného objektu a s úrovní podlahy 300 mm nad terénem STI 440 mm		
lineární číselník průstupu tepla - interiér ψ_i W/(m.K)	lineární číselník průstupu tepla - exteriér ψ_e W/(m.K)	teplotní faktor f_{Rsi} -
0,057	0,397	0,9185



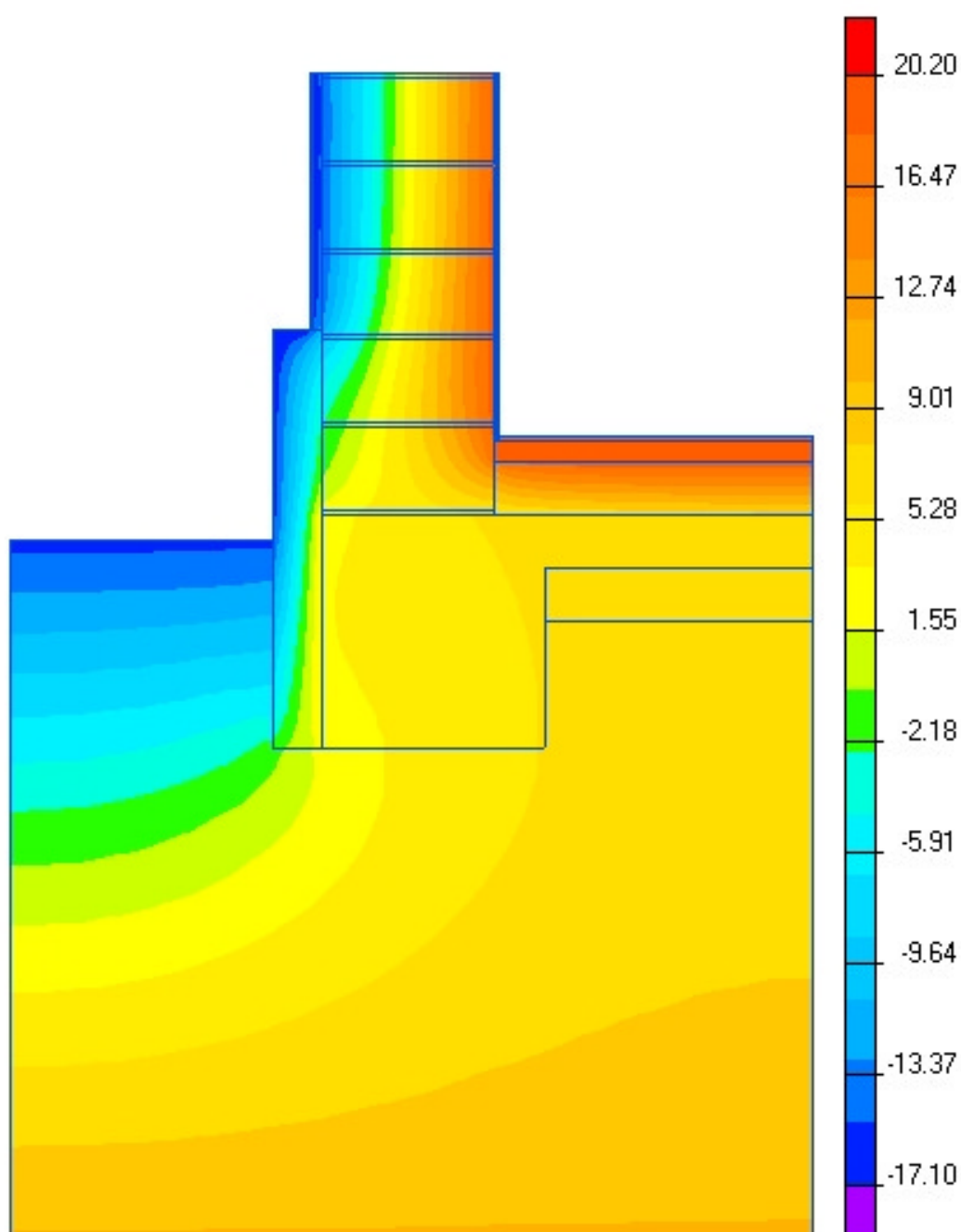
Obsah: "Výpočet typických tepelných mostů a jejich minimalizace – 250 detailů"
Zpracovatel: Energy Consulting – Project, s.r.o., Přemyslská 484/28, 182 00 Praha 8,
IČ 26113317; mobil 777 196 154, e-mail: info@e-c.cz



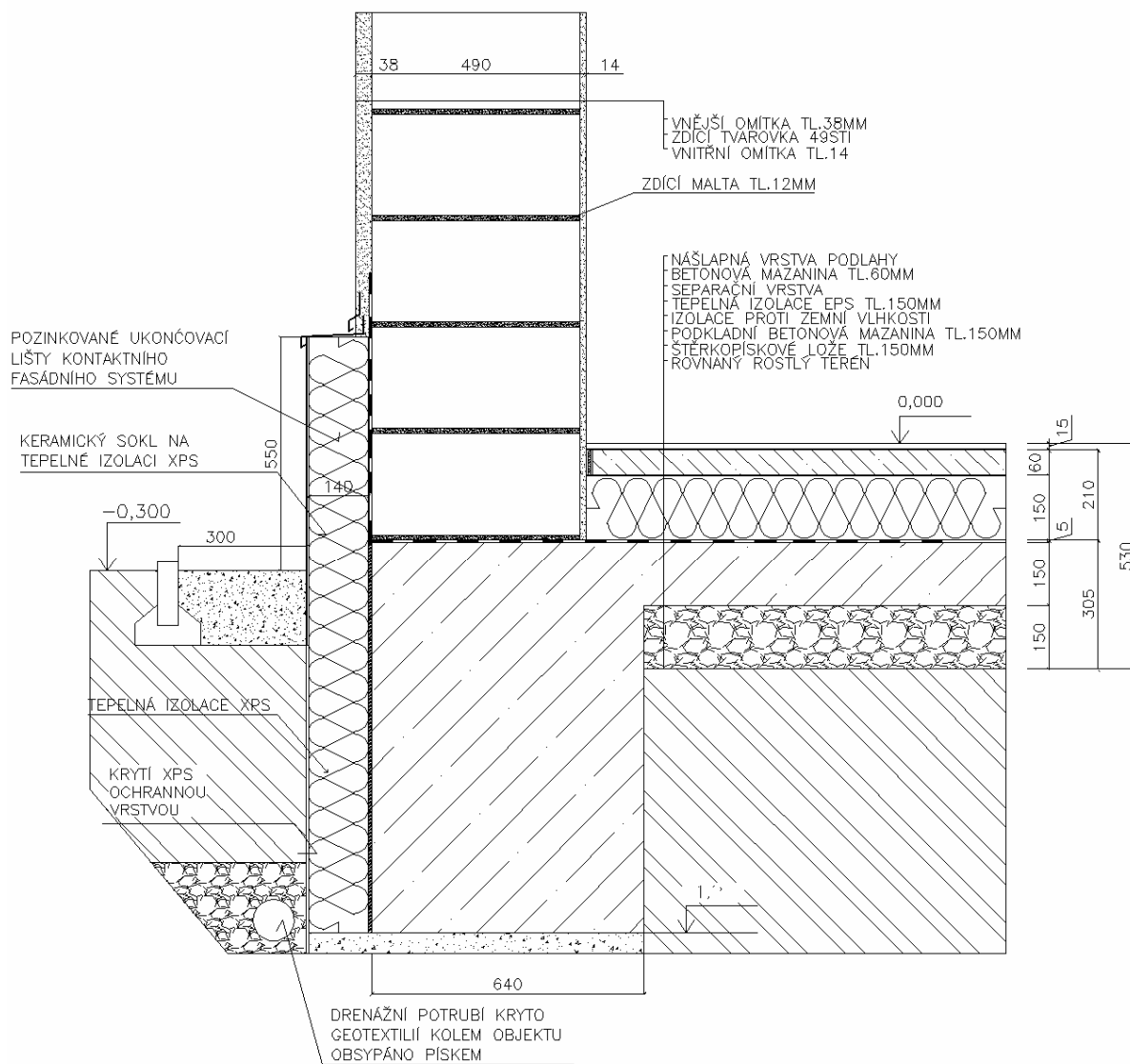
138 Detail zdiva u základu nepodsklepeného objektu a s úrovní podlahy 300 mm nad terénem P+D 490 mm		
lineární číselník průstupu tepla - interiér ψ_i W/(m.K)	lineární číselník průstupu tepla - exteriér ψ_e W/(m.K)	teplotní faktor f_{Rsi} -
0,055	0,383	0,9137



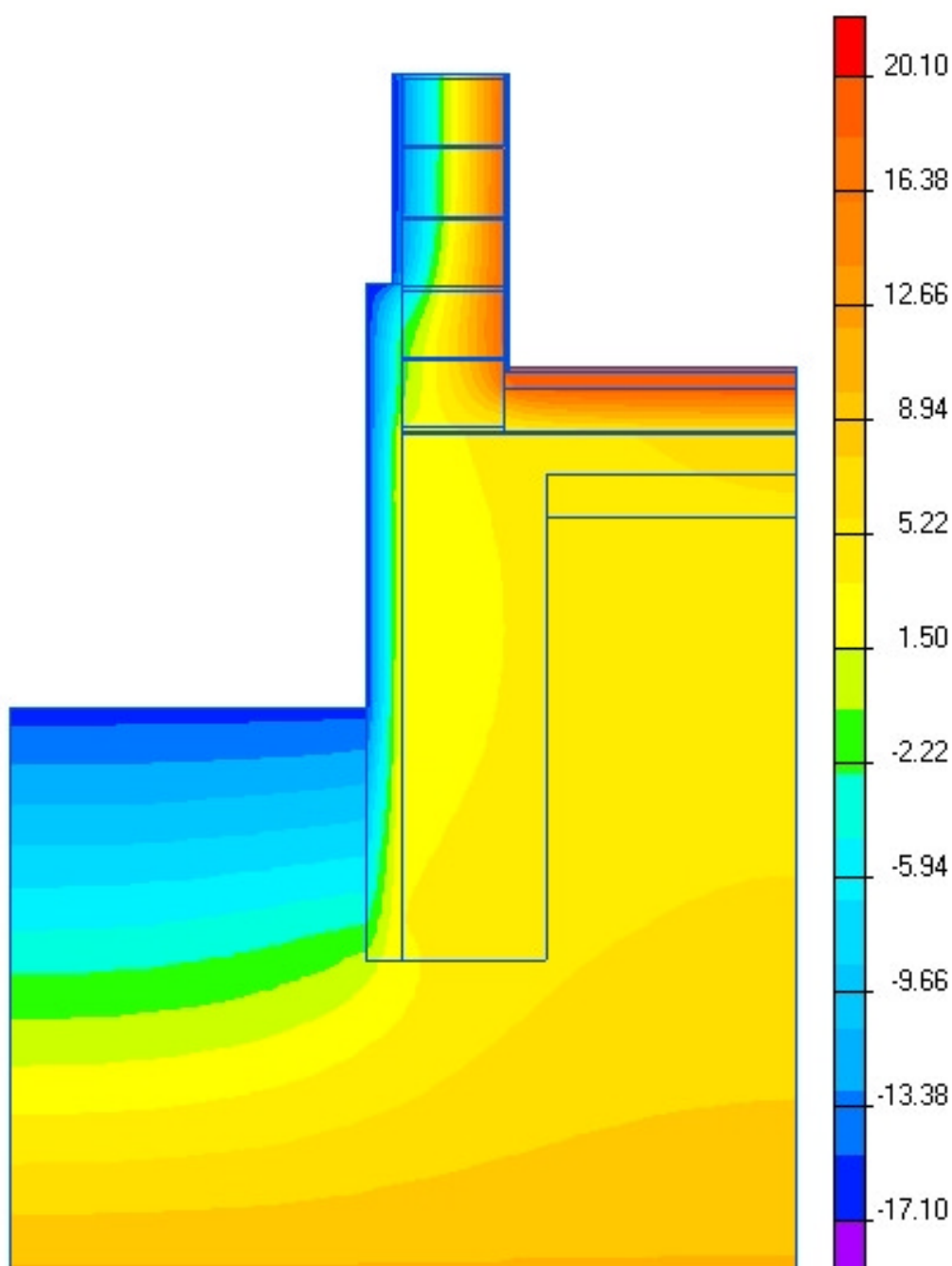
139 Detail zdiva u základu nepodsklepeného objektu a s úrovní podlahy 300 mm nad terénem STI 490 mm		
lineární číselník průstupu tepla - interiér ψ_i W/(m.K)	lineární číselník průstupu tepla - exteriér ψ_e W/(m.K)	teplotní faktor f_{Rsi} -
0,058	0,403	0,9251

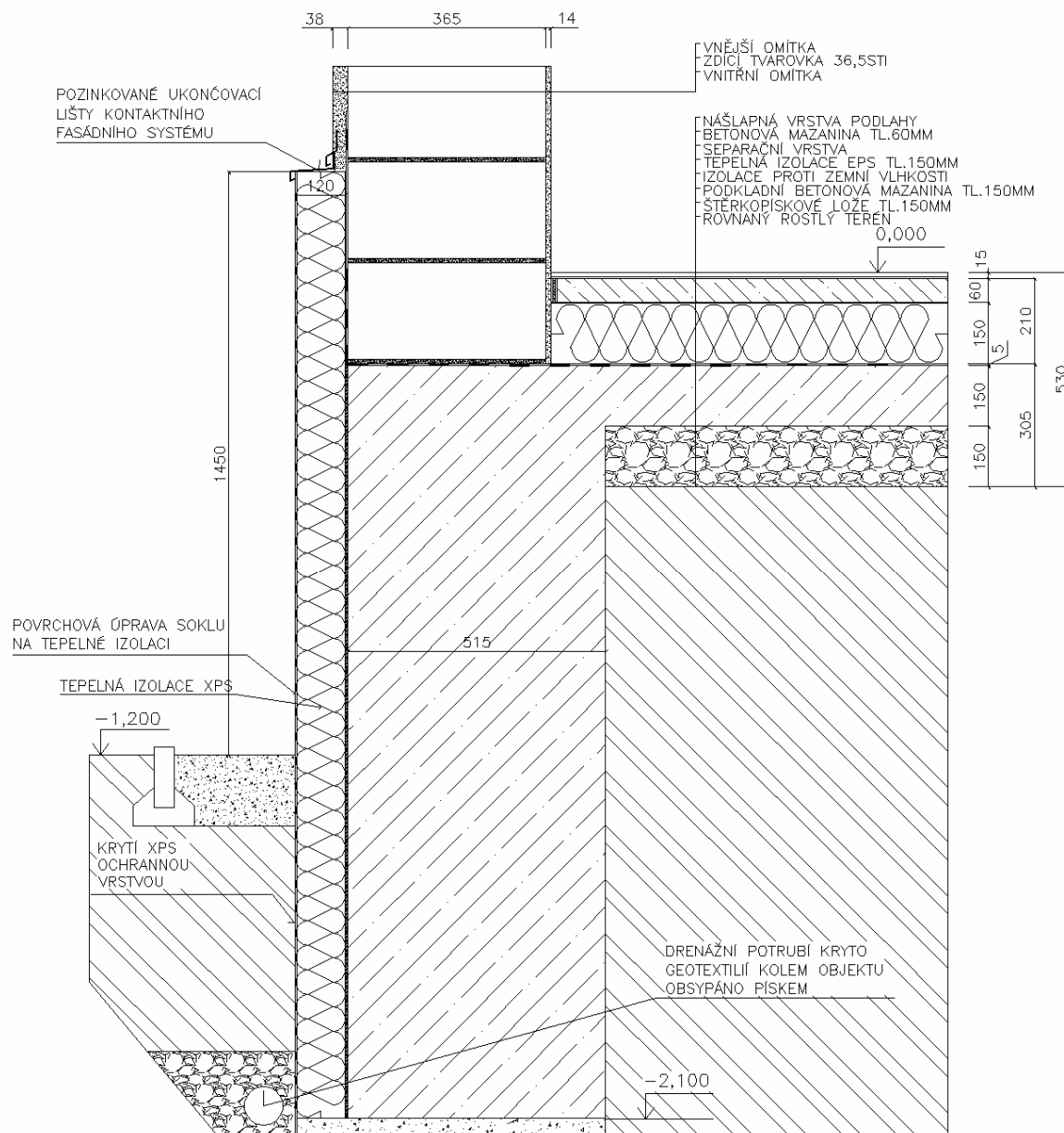


Obsah: "Výpočet typických tepelných mostů a jejich minimalizace – 250 detailů"
Zpracovatel: Energy Consulting – Project, s.r.o., Přemyslská 484/28, 182 00 Praha 8,
IČ 26113317; mobil 777 196 154, e-mail: info@e-c.cz

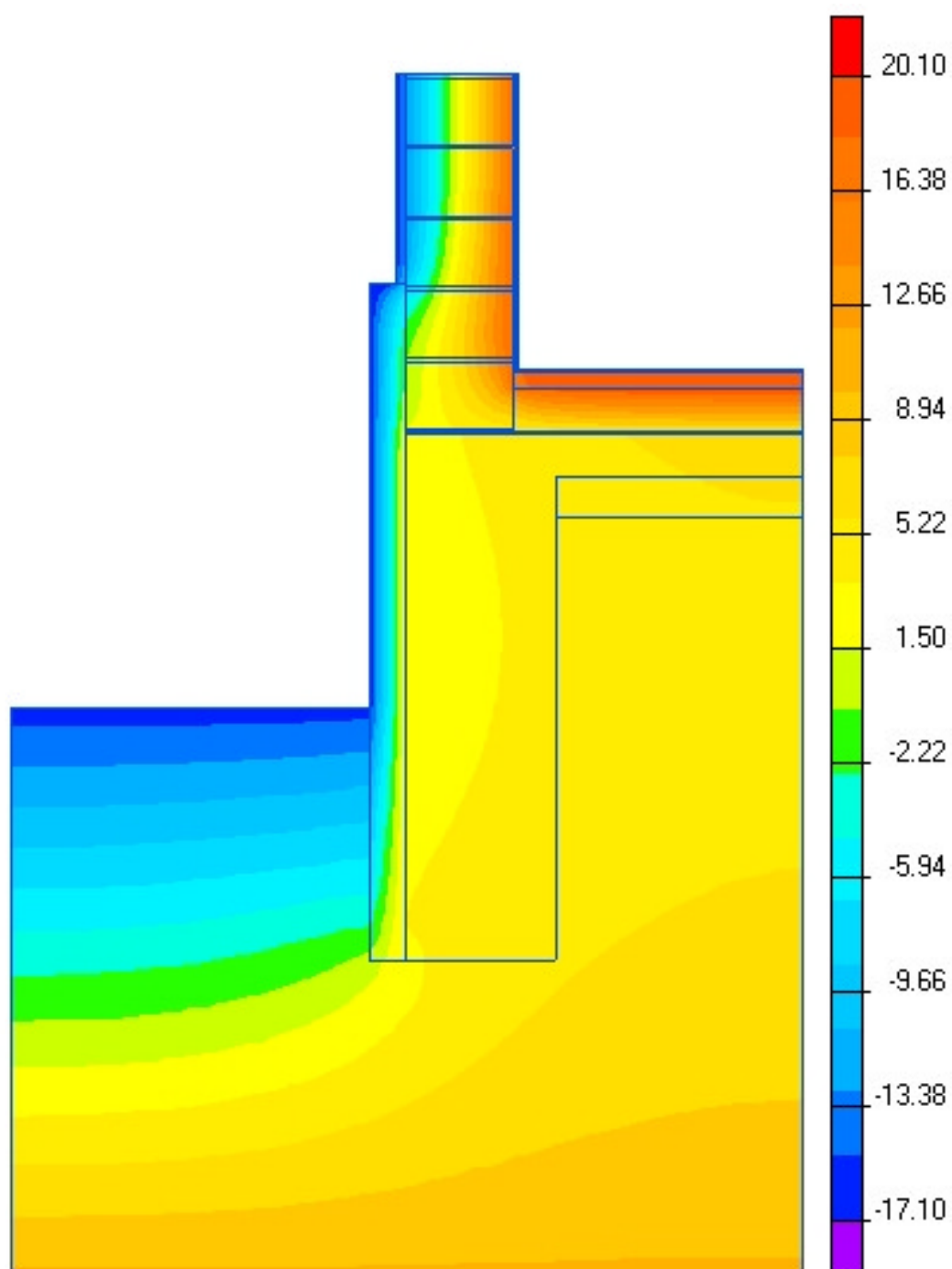


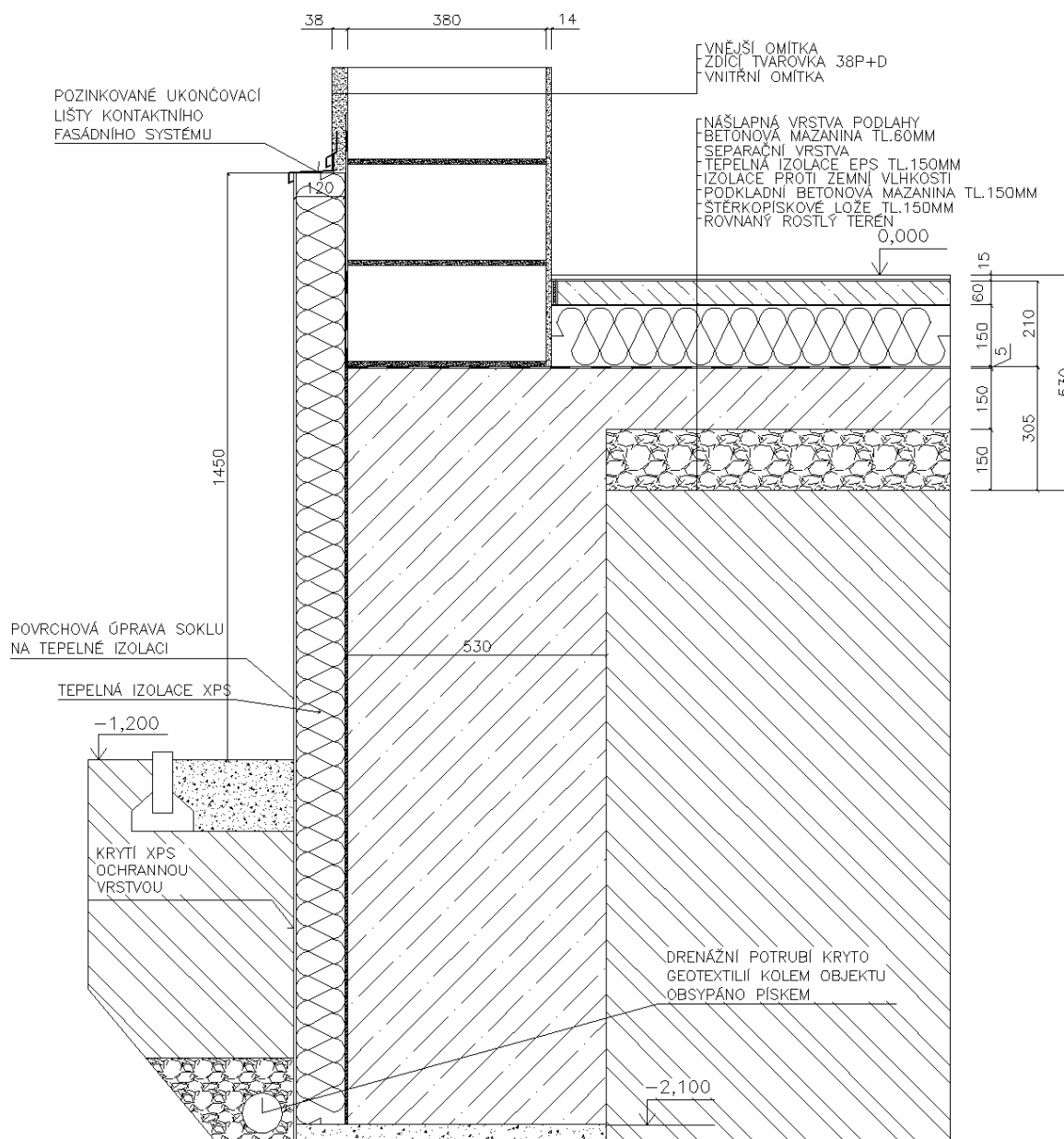
141 Detail zdiva u základu nepodsklepeného objektu a s úrovní podlahy 1 200 mm nad terénem STI 365 mm		
lineární číselník průstupu tepla - interiér ψ_i W/(m.K)	lineární číselník průstupu tepla - exteriér ψ_e W/(m.K)	teplotní faktor f_{Rsi} -
0,076	0,624	0,9044



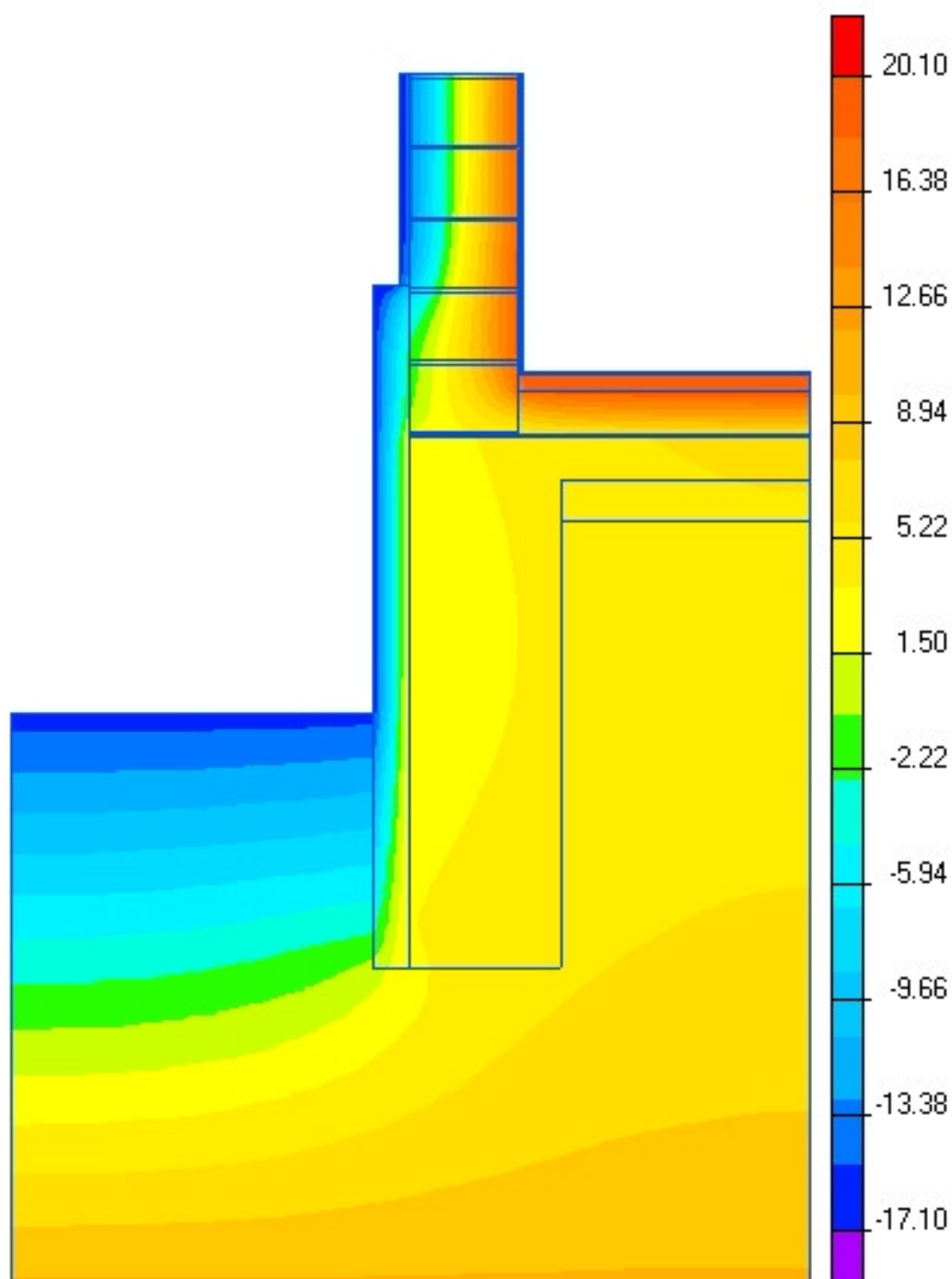


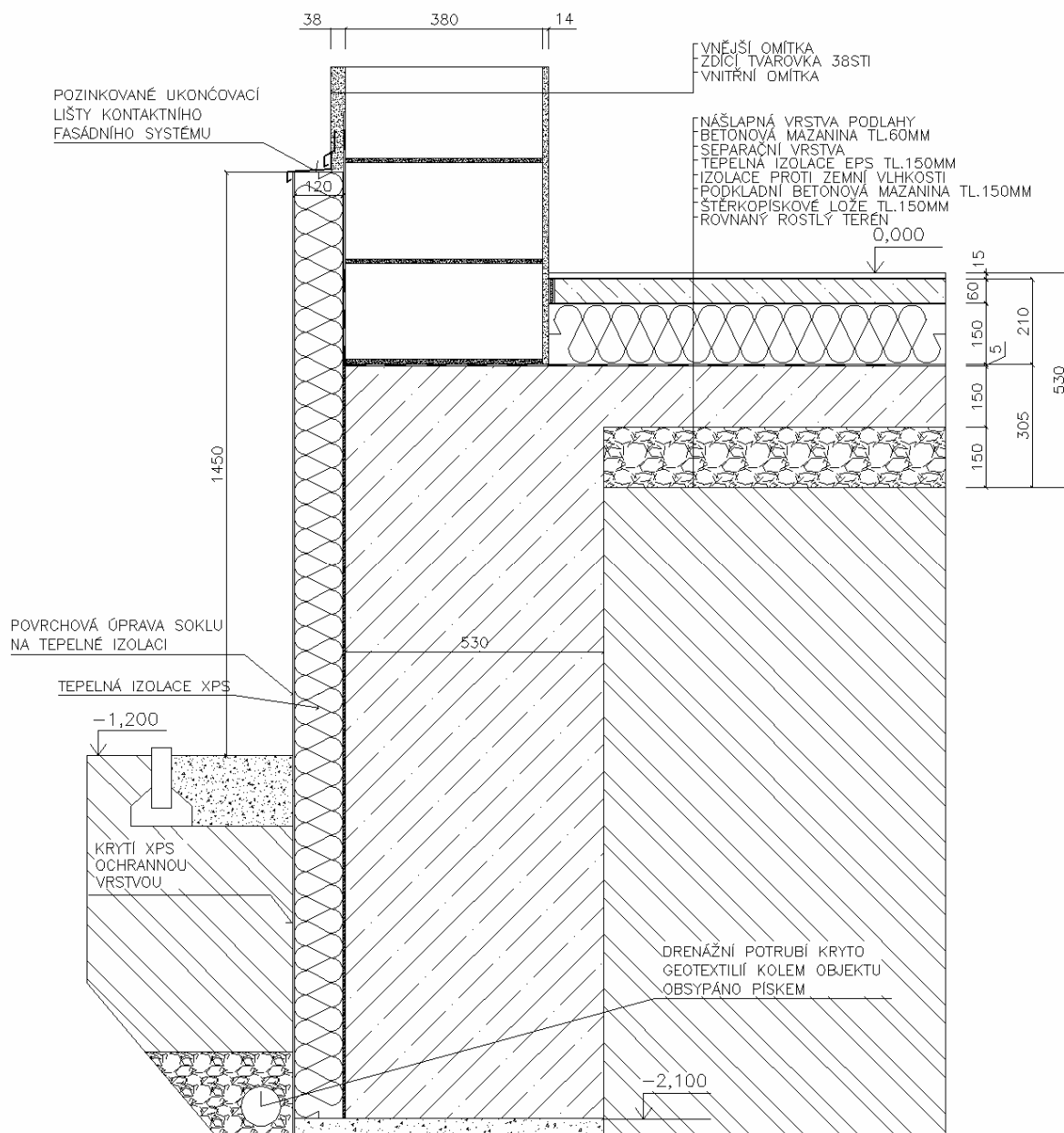
142 Detail zdiva u základu nepodsklepeného objektu a s úrovní podlahy 1 200 mm nad terénem P+D 380 mm		
lineární činitel prostupu tepla - interiér ψ_i W/(m.K)	lineární činitel prostupu tepla - exteriér ψ_e W/(m.K)	teplotní faktor f_{Rsi} -
0,071	0,601	0,8930



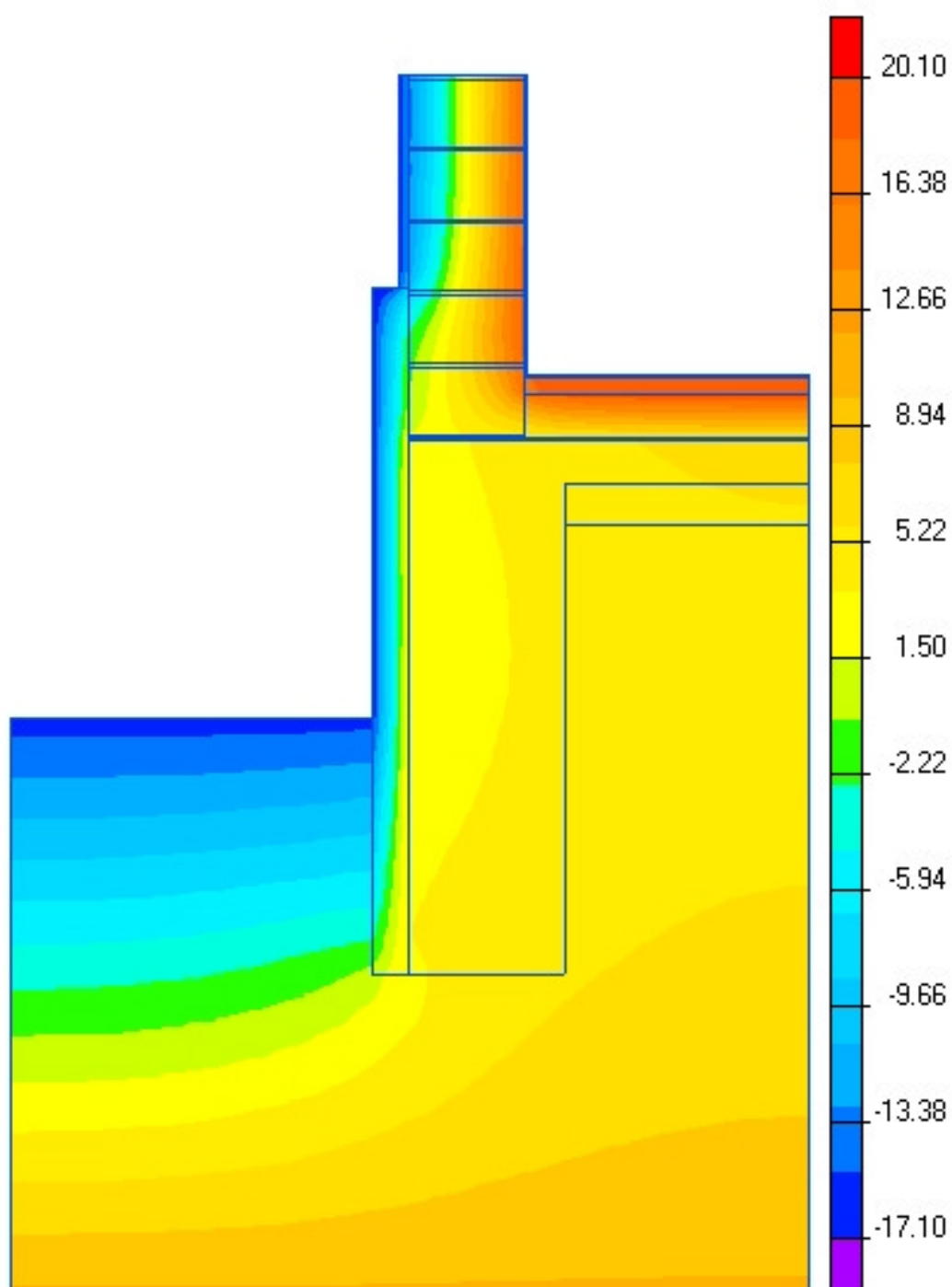


143 Detail zdiva u základu nepodsklepeného objektu a s úrovní podlahy 1 200 mm nad terénem STI 380 mm		
lineární číselník průtoku tepla - interiér ψ_i W/(m.K)	lineární číselník průtoku tepla - exteriér ψ_e W/(m.K)	teplotní faktor f_{Rsi} -
0,076	0,627	0,9076

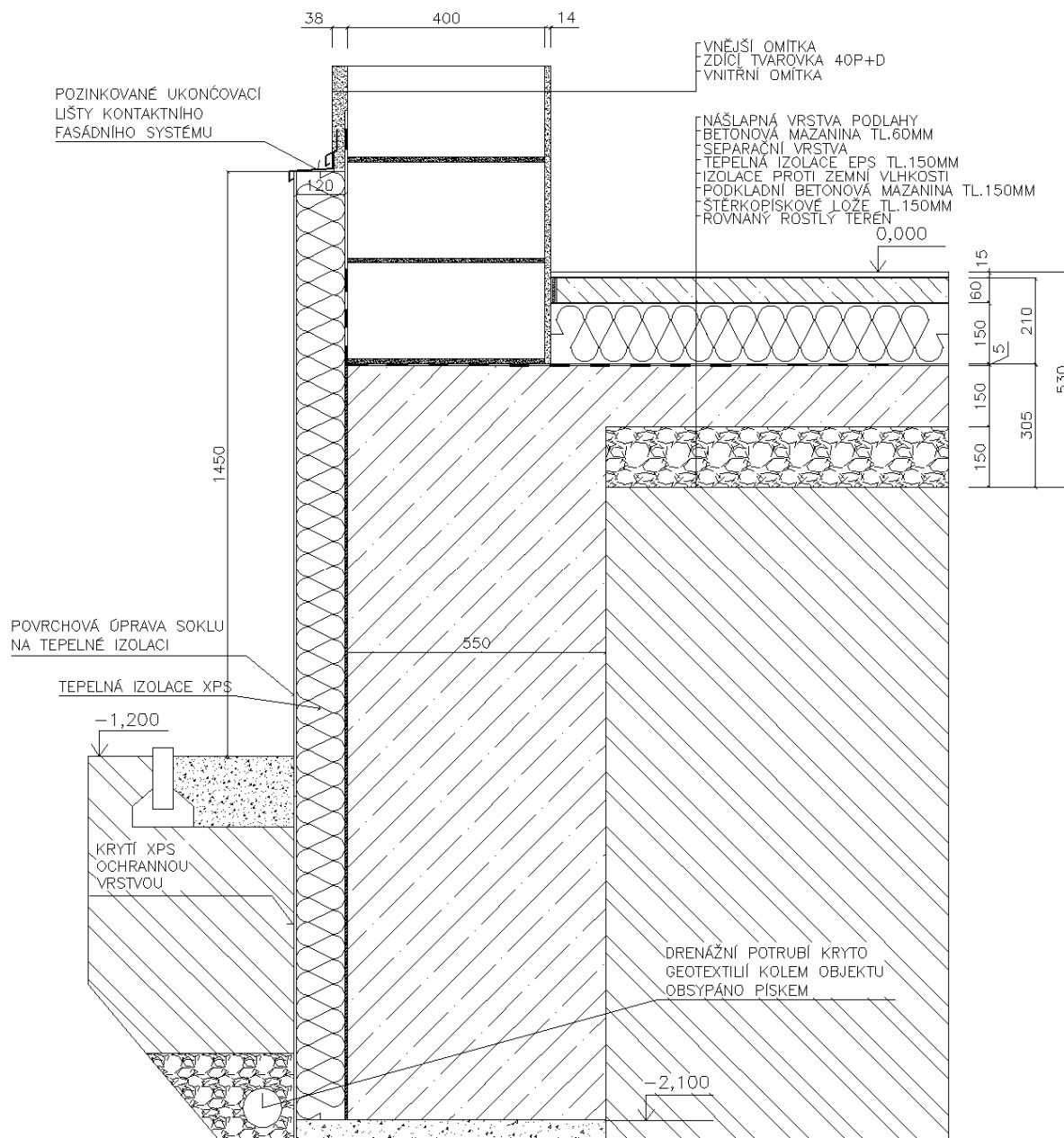




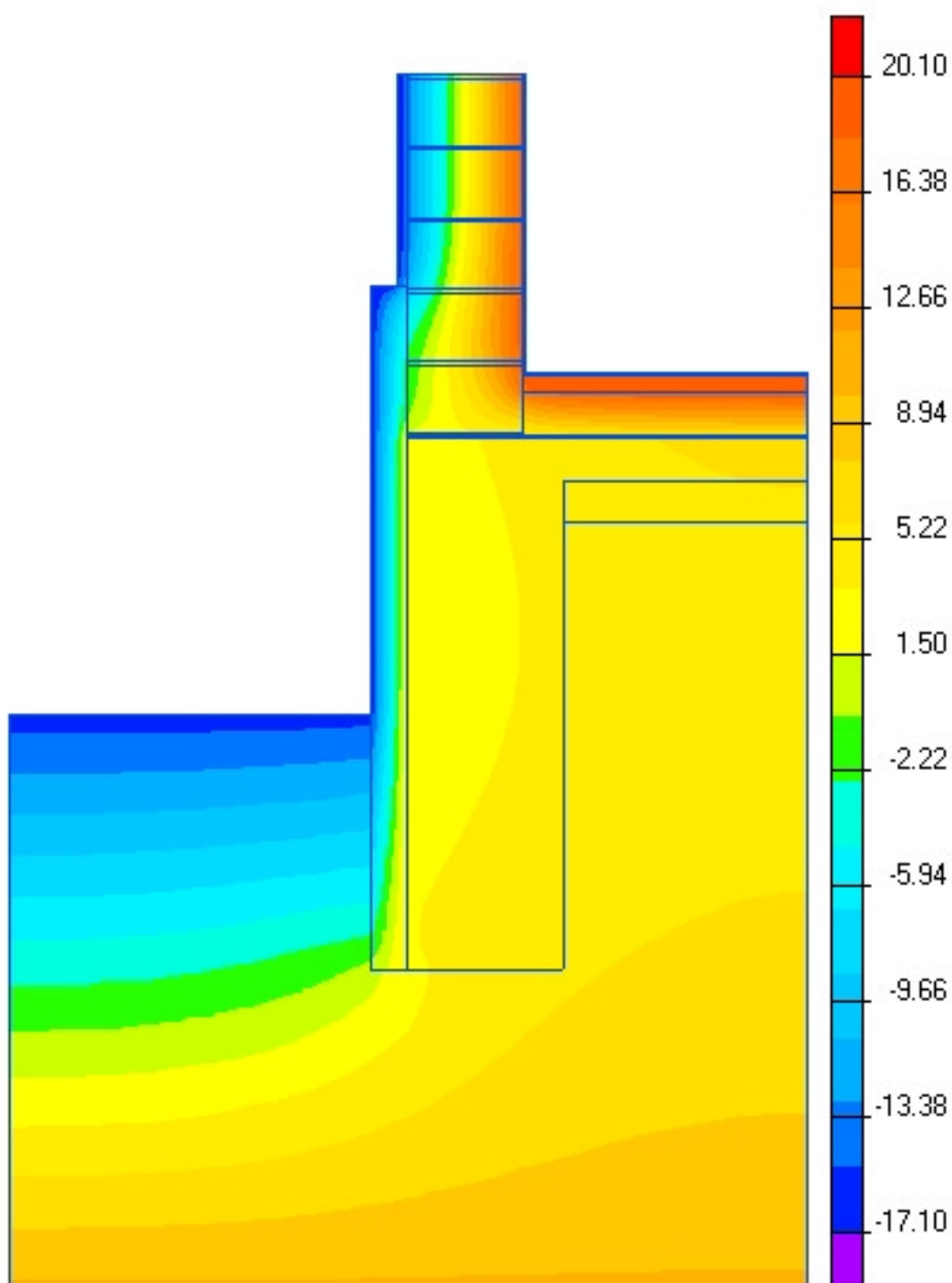
144 Detail zdiva u základu nepodsklepeného objektu a s úrovní podlahy 1 200 mm nad terénem P+D 400 mm		
lineární číselník průstupu tepla - interiér ψ_i W/(m.K)	lineární číselník průstupu tepla - exteriér ψ_e W/(m.K)	teplotní faktor f_{Rsi} -
0,072	0,606	0,8974



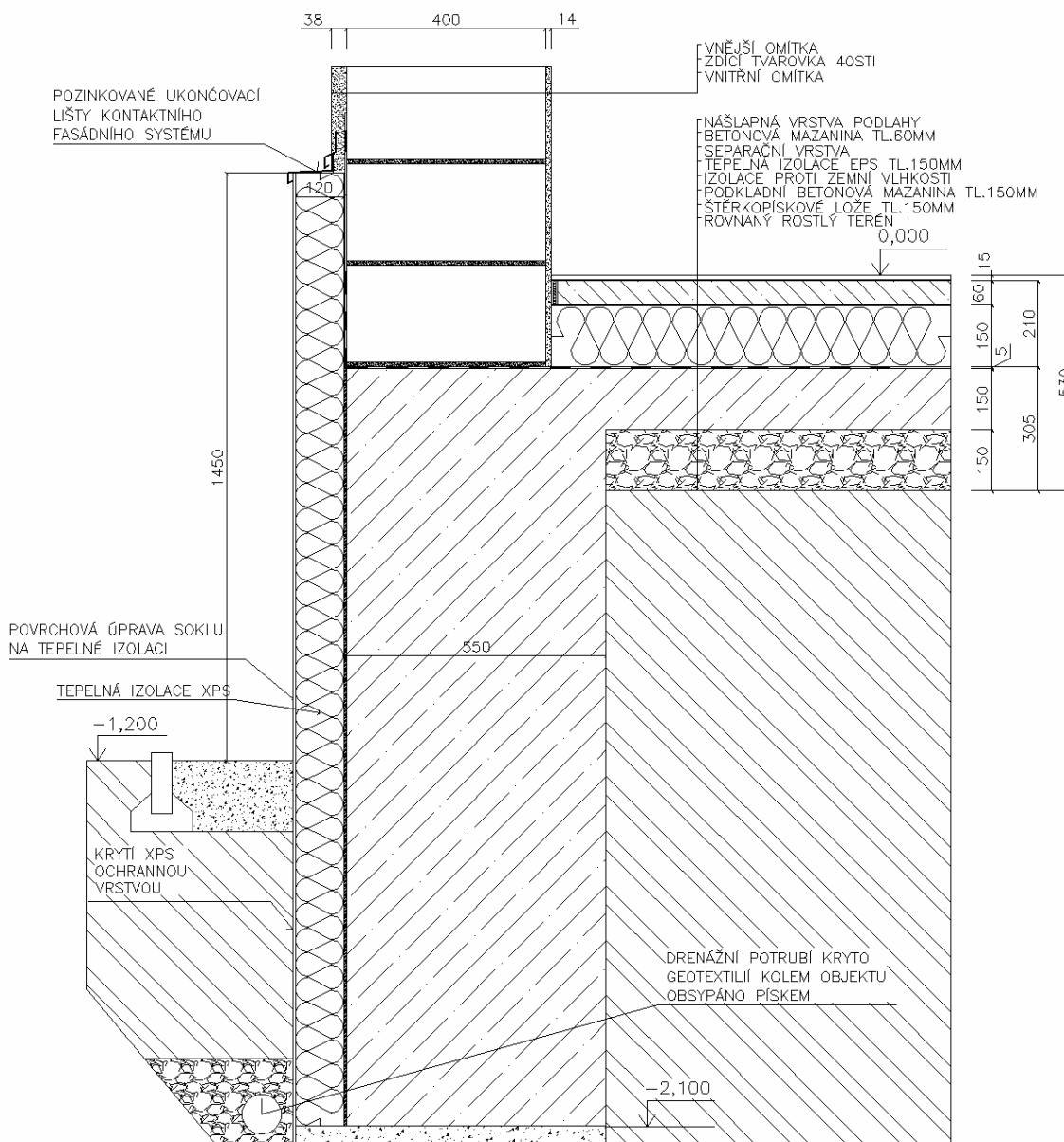
Obsah: "Výpočet typických tepelných mostů a jejich minimalizace – 250 detailů"
Zpracovatel: Energy Consulting – Project, s.r.o., Přemyslská 484/28, 182 00 Praha 8,
IČ 26113317; mobil 777 196 154, e-mail: info@e-c.cz



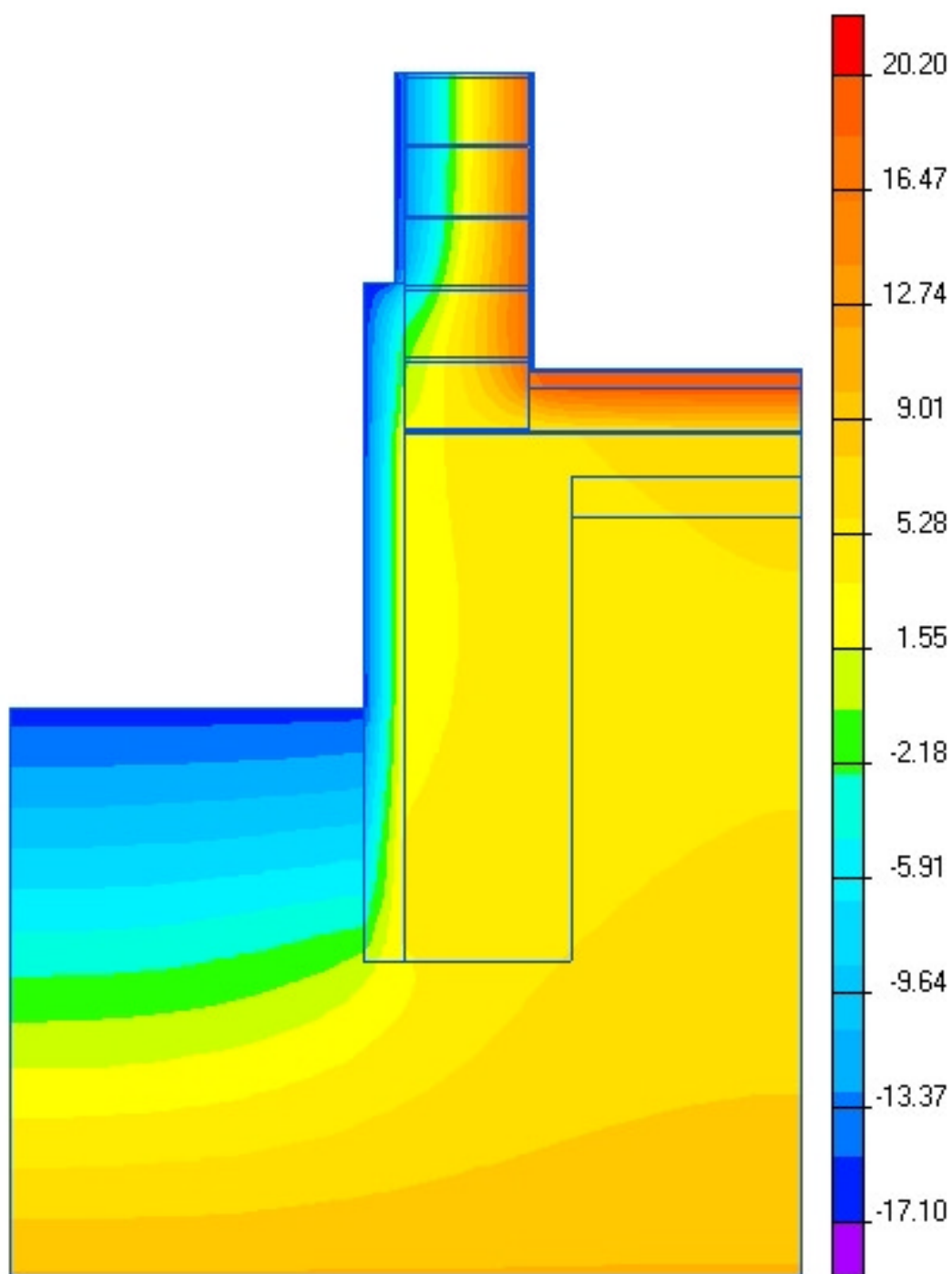
145 Detail zdiva u základu nepodsklepeného objektu a s úrovní podlahy 1 200 mm nad terénem STI 400 mm		
lineární činitel prostupu tepla - interiér ψ_i W/(m.K)	lineární činitel prostupu tepla - exteriér ψ_e W/(m.K)	teplotní faktor f_{Rsi} -
0,077	0,630	0,9185



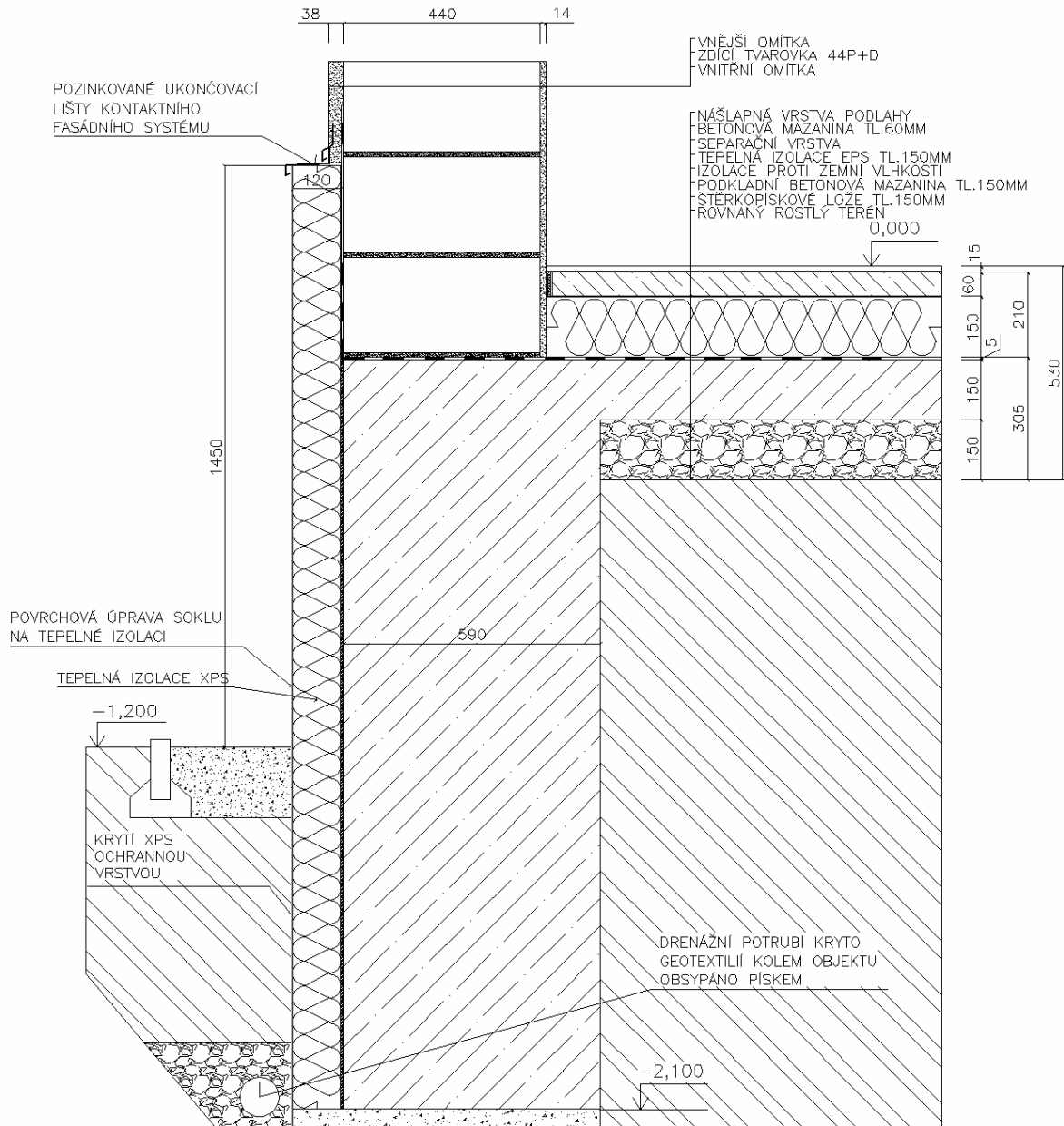
Obsah: "Výpočet typických tepelných mostů a jejich minimalizace – 250 detailů"
Zpracovatel: Energy Consulting – Project, s.r.o., Přemyslská 484/28, 182 00 Praha 8,
IČ 26113317; mobil 777 196 154, e-mail: info@e-c.cz



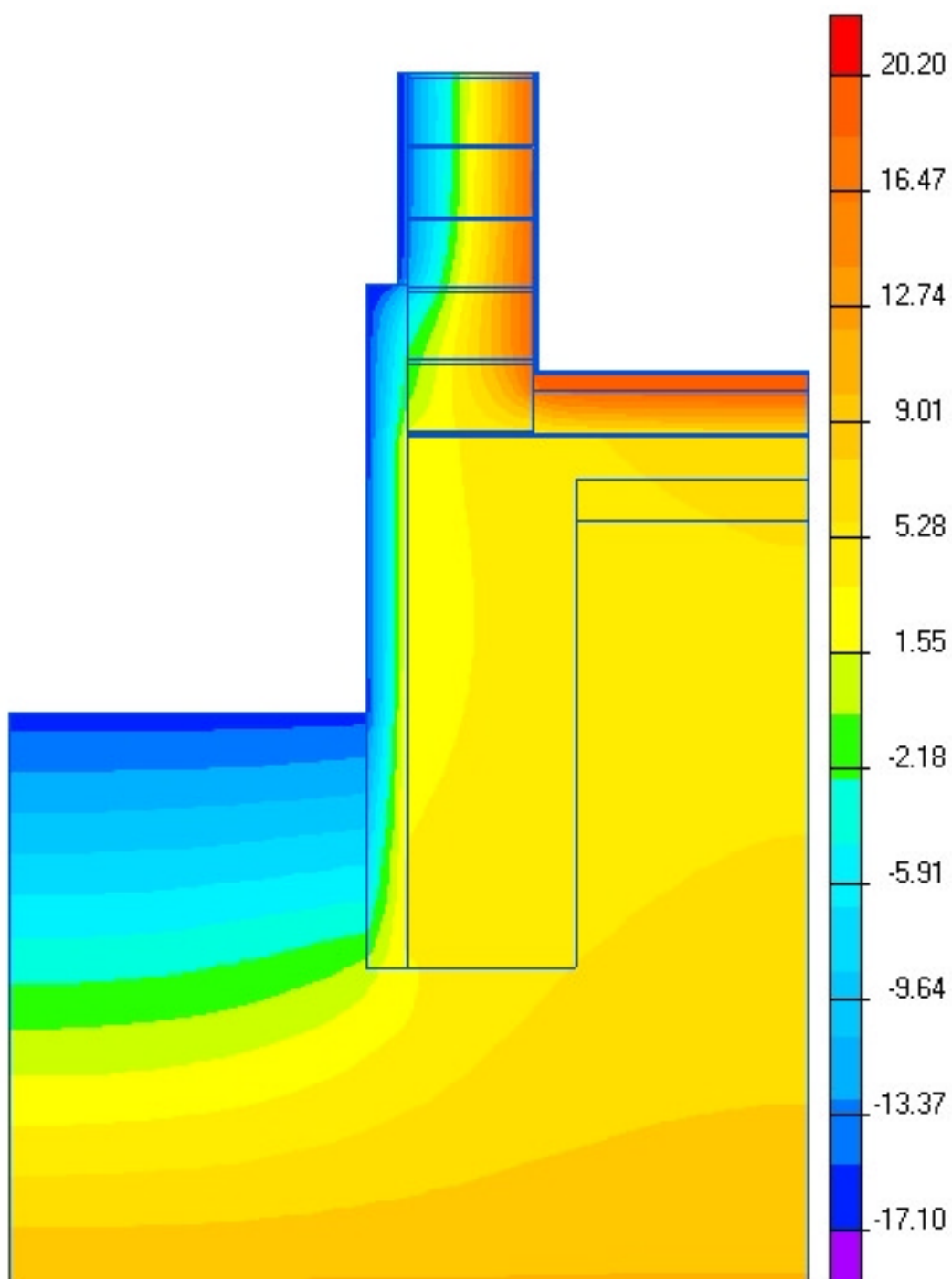
146 Detail zdiva u základu nepodsklepeného objektu a s úrovní podlahy 1 200 mm nad terénem P+D 440 mm		
lineární číselník průstupu tepla - interiér	lineární číselník průstupu tepla - exteriér	teplotní faktor
ψ_i	ψ_e	f_{Rsi}
W/(m.K)	W/(m.K)	-
0,066	0,578	0,9053

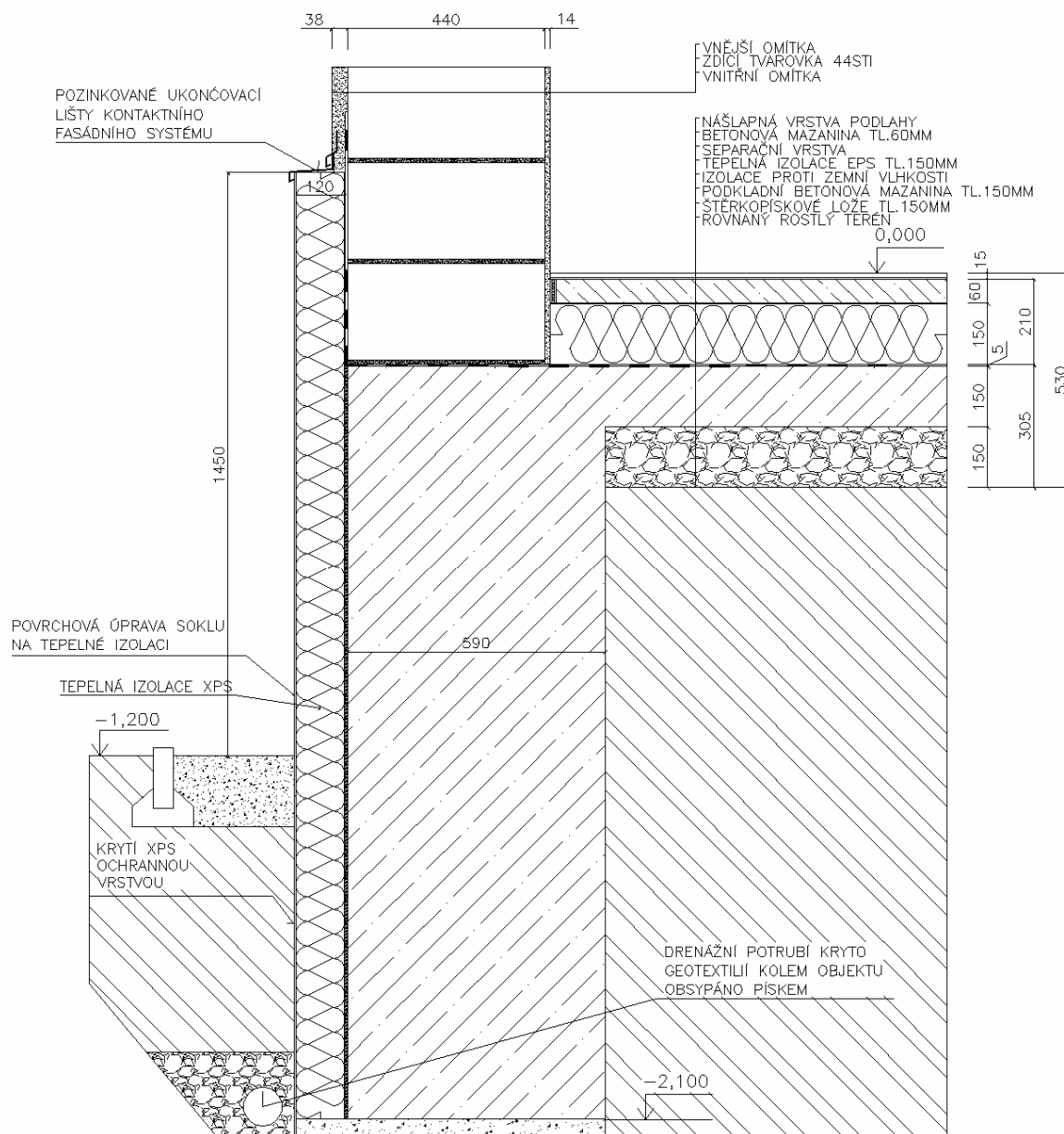


Obsah: "Výpočet typických tepelných mostů a jejich minimalizace – 250 detailů"
Zpracovatel: Energy Consulting – Project, s.r.o., Přemyslská 484/28, 182 00 Praha 8,
IČ 26113317; mobil 777 196 154, e-mail: info@e-c.cz

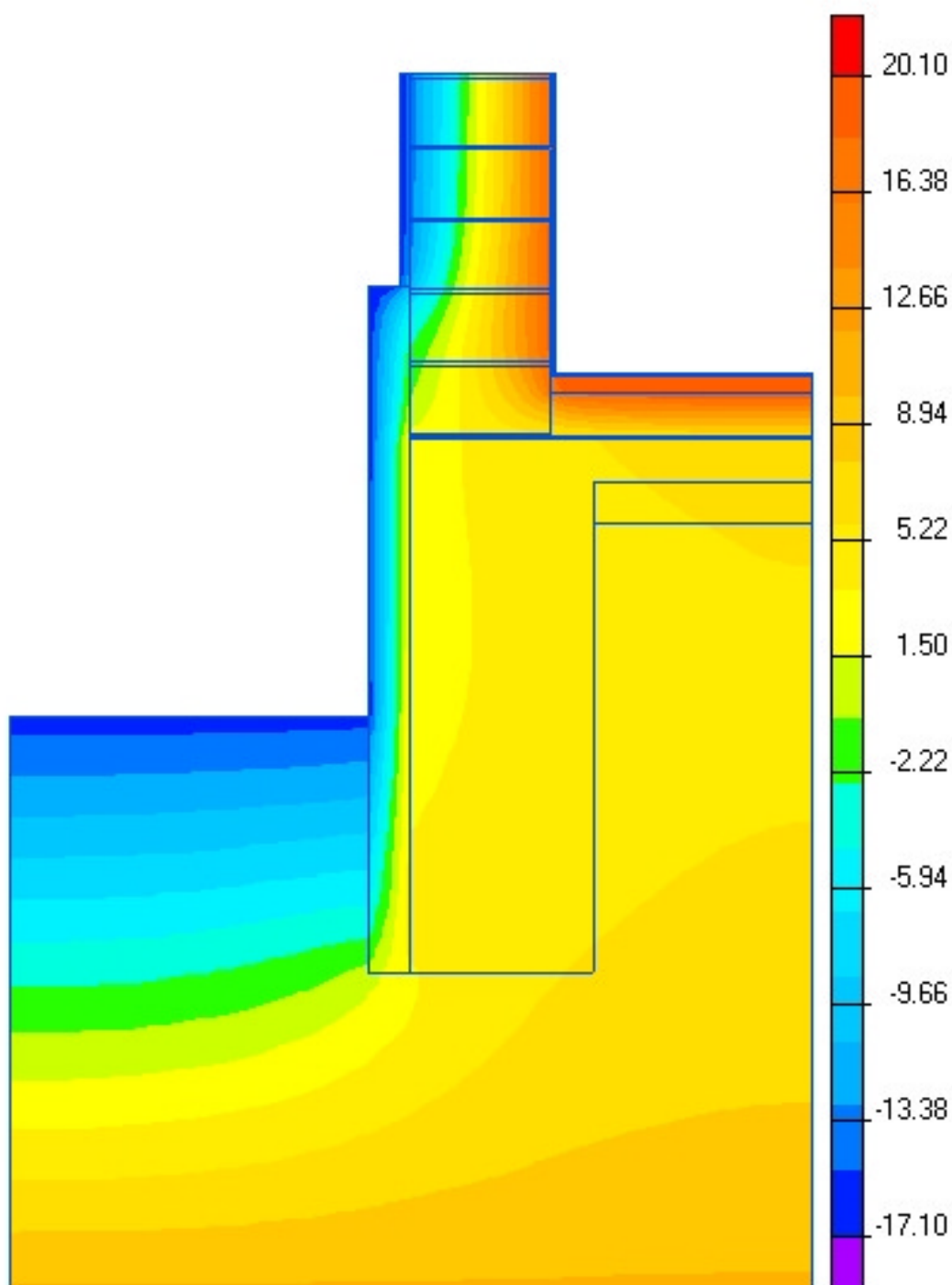


147 Detail zdiva u základu nepodsklepeného objektu a s úrovní podlahy 1 200 mm nad terénem STI 440 mm		
lineární číselník průstupu tepla - interiér ψ_i W/(m.K)	lineární číselník průstupu tepla - exteriér ψ_e W/(m.K)	teplotní faktor f_{Rsi} -
0,071	0,601	0,9185

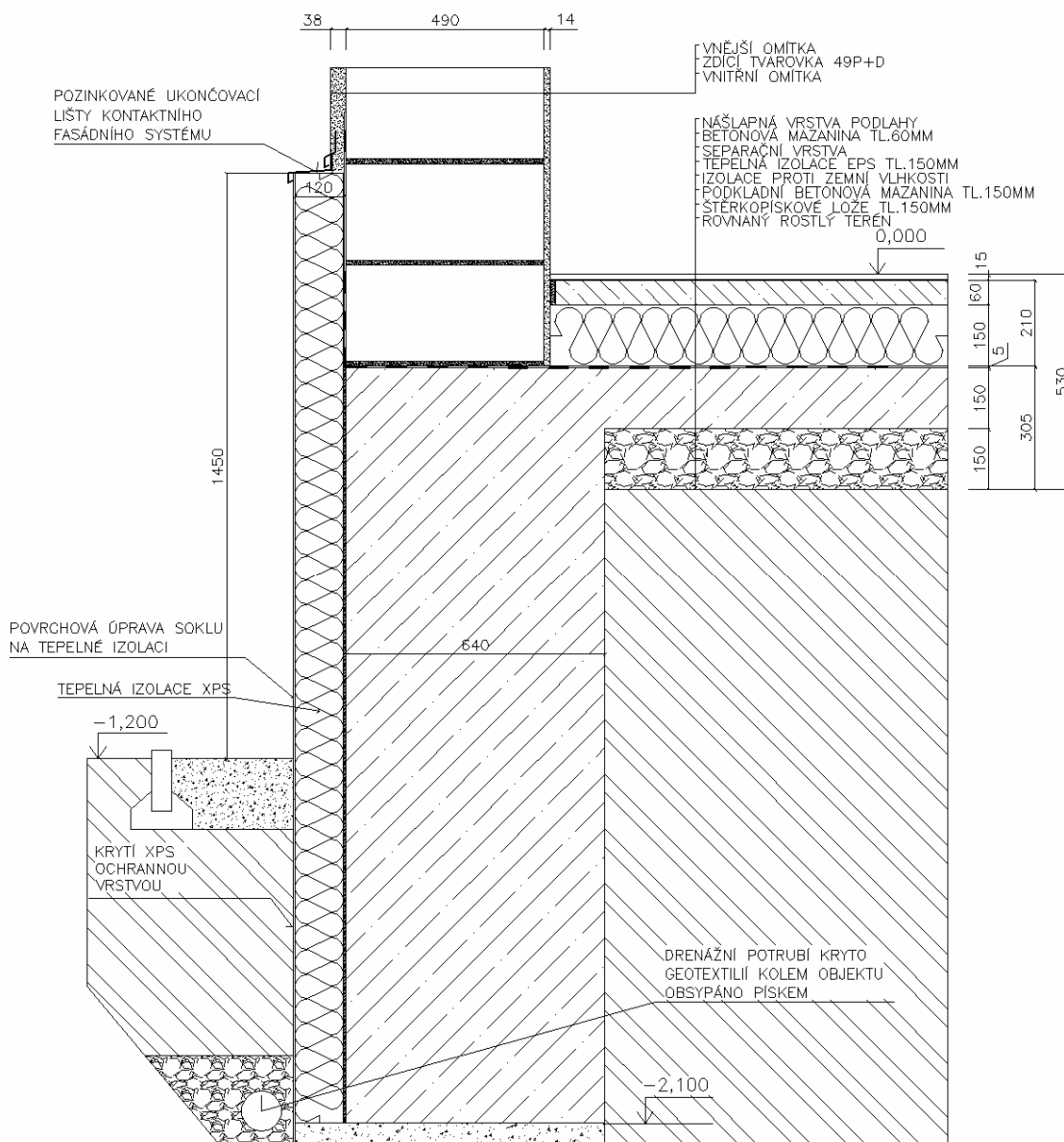




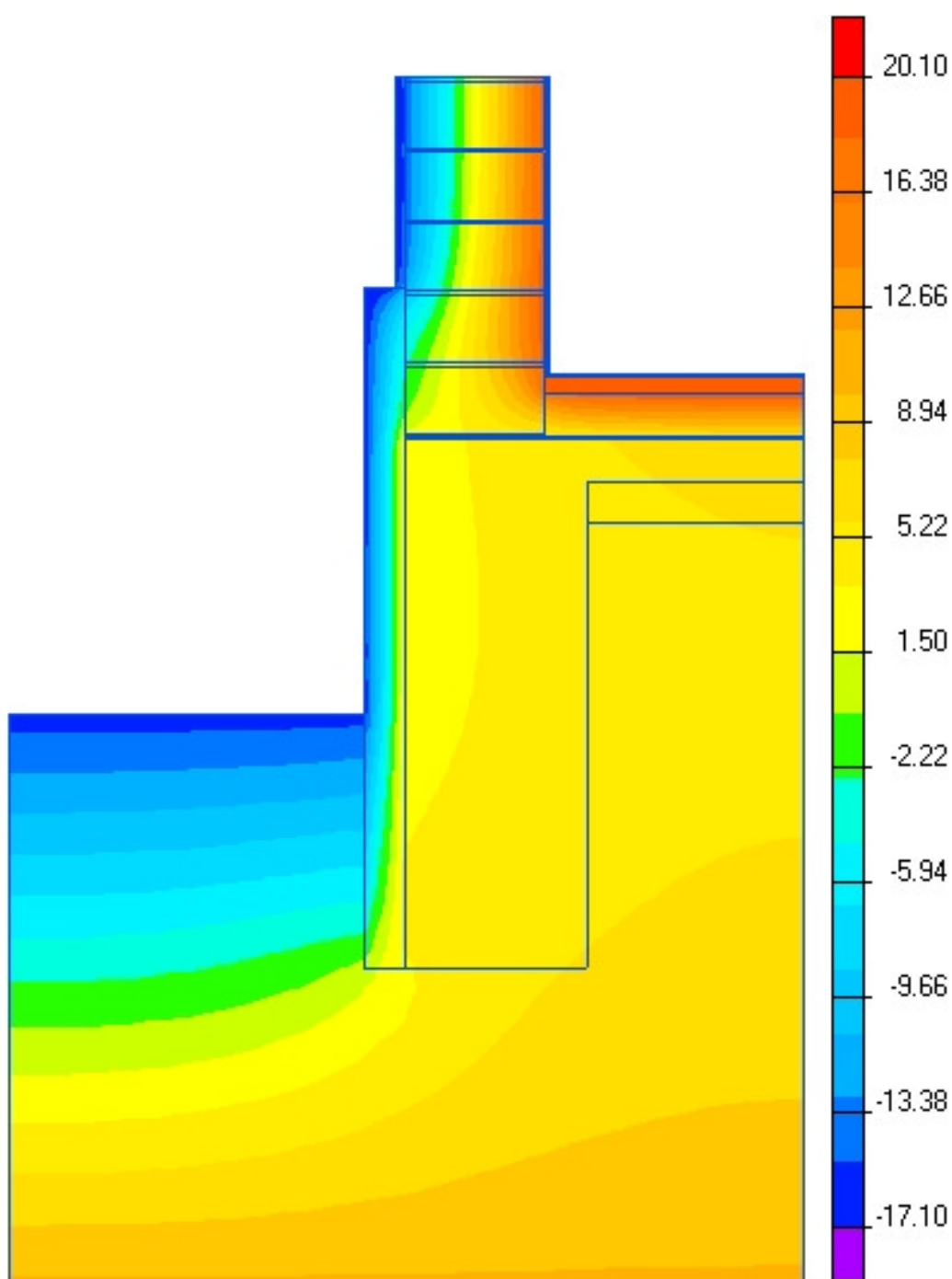
148 Detail zdiva u základu nepodsklepeného objektu a s úrovní podlahy 1 200 mm nad terénem P+D 490 mm		
lineární činitel prostupu tepla - interiér ψ_i W/(m.K)	lineární činitel prostupu tepla - exteriér ψ_e W/(m.K)	teplotní faktor f_{Rsi} -
0,068	0,587	0,9118



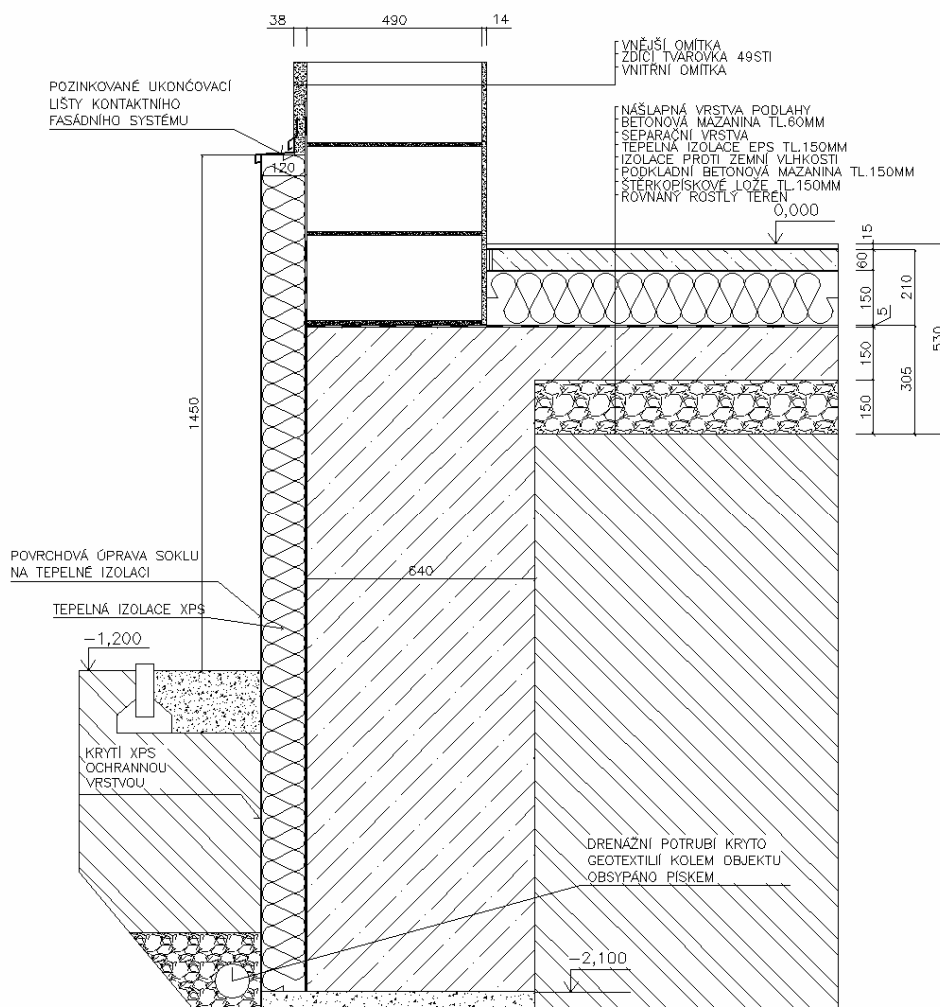
Obsah: "Výpočet typických tepelných mostů a jejich minimalizace – 250 detailů"
Zpracovatel: Energy Consulting – Project, s.r.o., Přemyslská 484/28, 182 00 Praha 8,
IČ 26113317; mobil 777 196 154, e-mail:info@e-c.cz



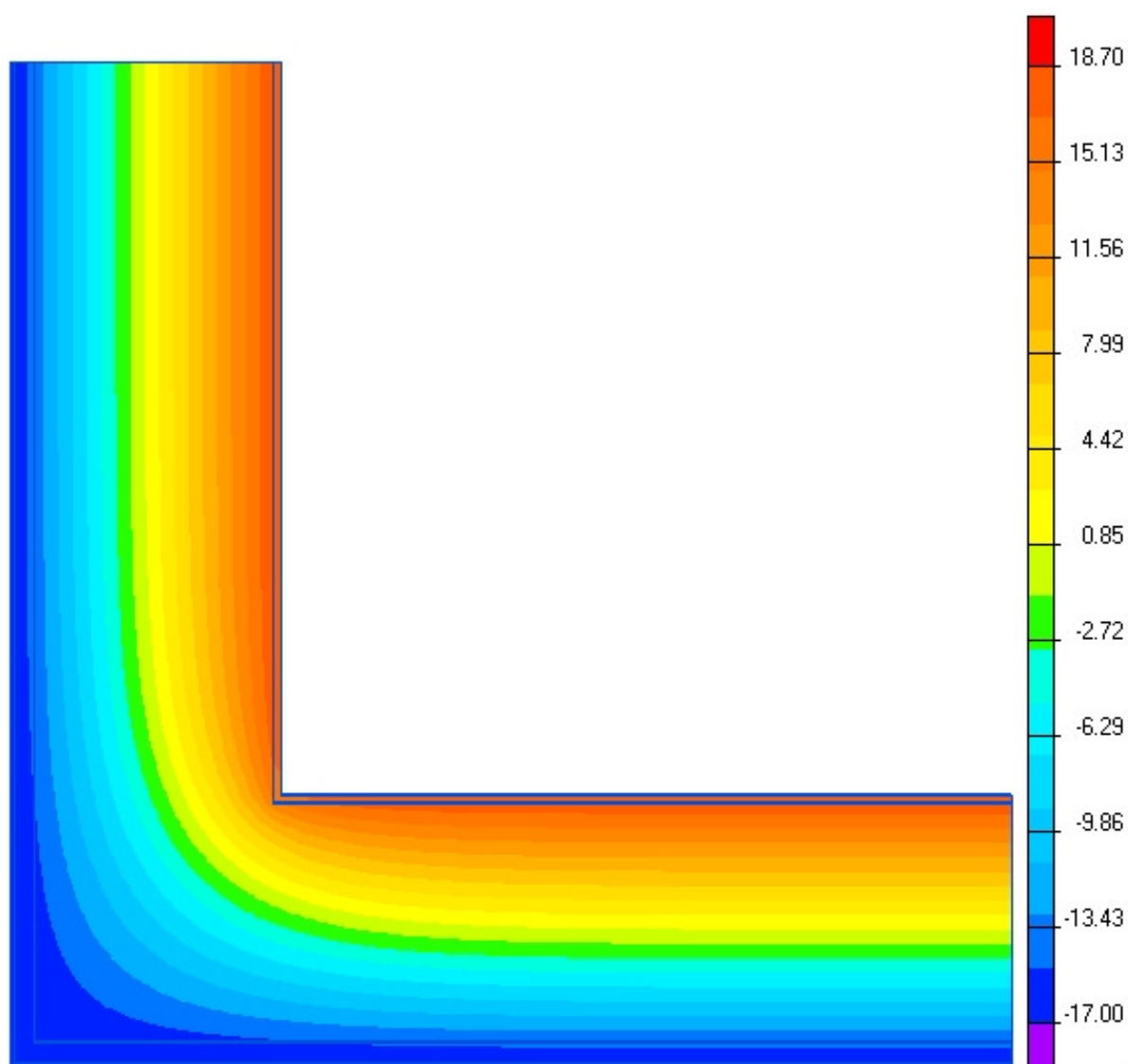
149 Detail zdiva u základu nepodsklepeného objektu a s úrovní podlahy 1 200 mm nad terénem STI 490 mm		
lineární číselník průstupu tepla - interiér	lineární číselník průstupu tepla - exteriér	teplotní faktor
ψ_i	ψ_e	f_{Rsi}
W/(m.K)	W/(m.K)	-
0,071	0,607	0,9214

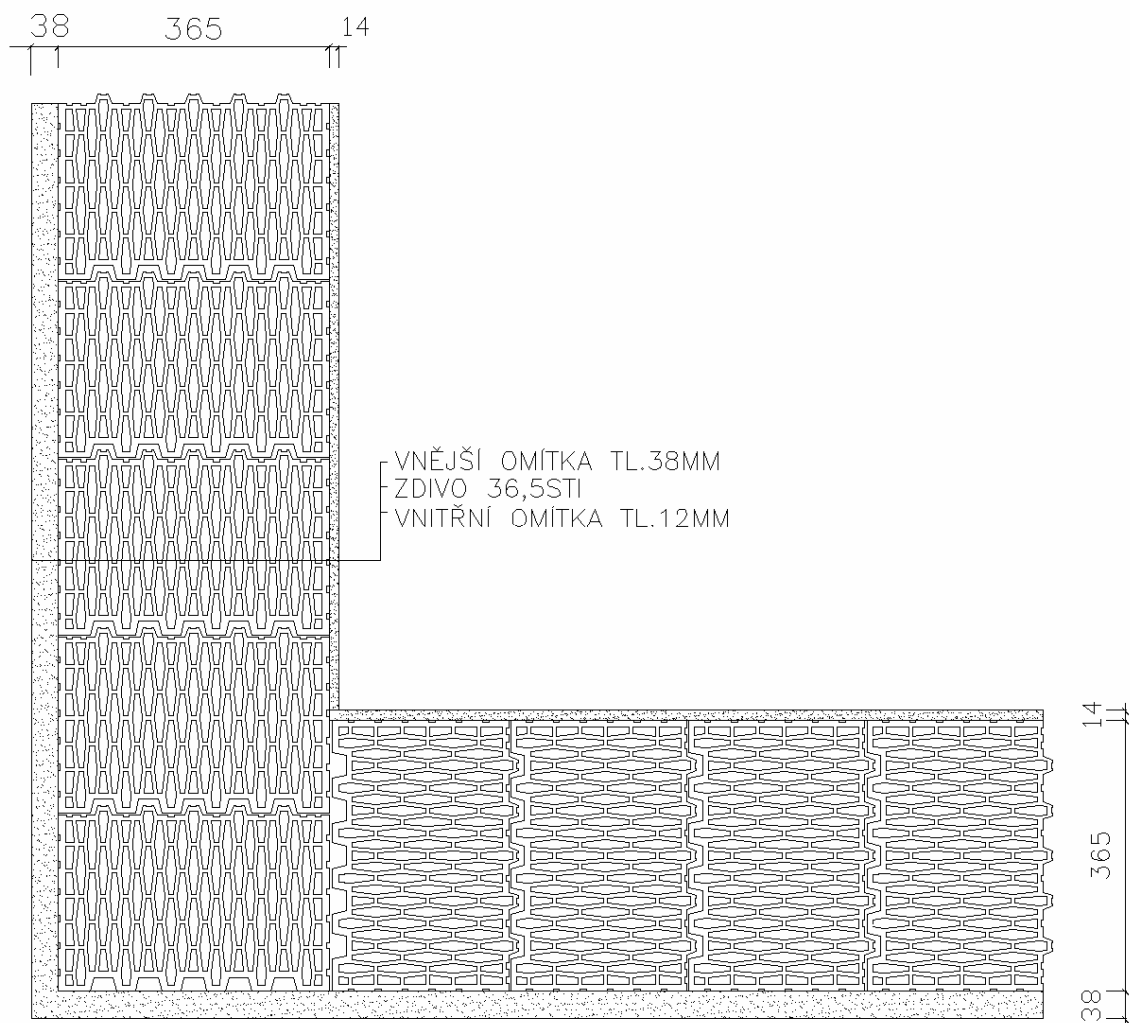


Obsah: "Výpočet typických tepelných mostů a jejich minimalizace – 250 detailů"
Zpracovatel: Energy Consulting – Project, s.r.o., Přemyslská 484/28, 182 00 Praha 8,
IČ 26113317; mobil 777 196 154, e-mail: info@e-c.cz

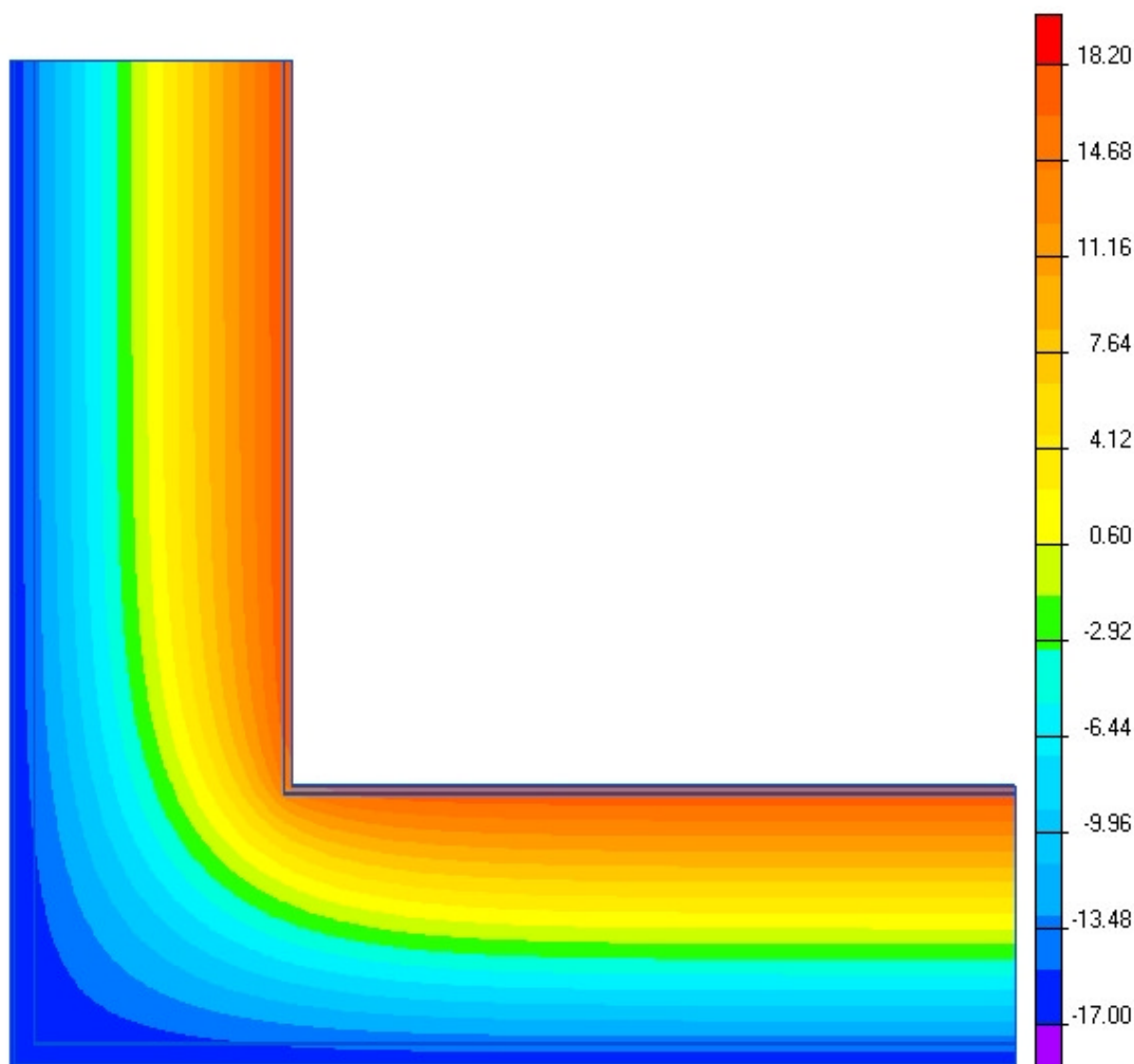


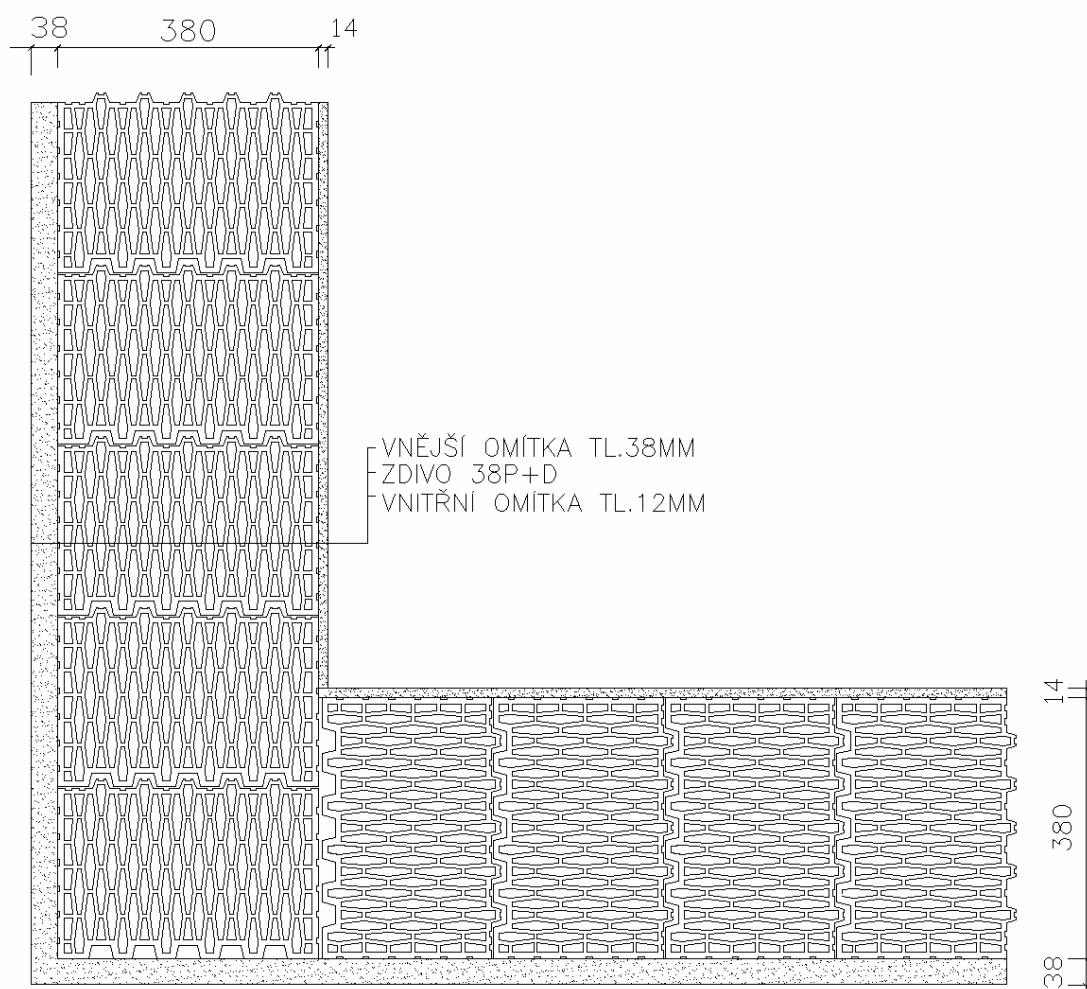
151 Detail rohu obvodového zdiva při exteriéru na vnější straně STI 365 mm		
lineární činitel prostupu tepla - interiér ψ_i W/(m.K)	lineární činitel prostupu tepla - exteriér ψ_e W/(m.K)	teplotní faktor f_{Rsi} -
0,058	-0,155	0,8276



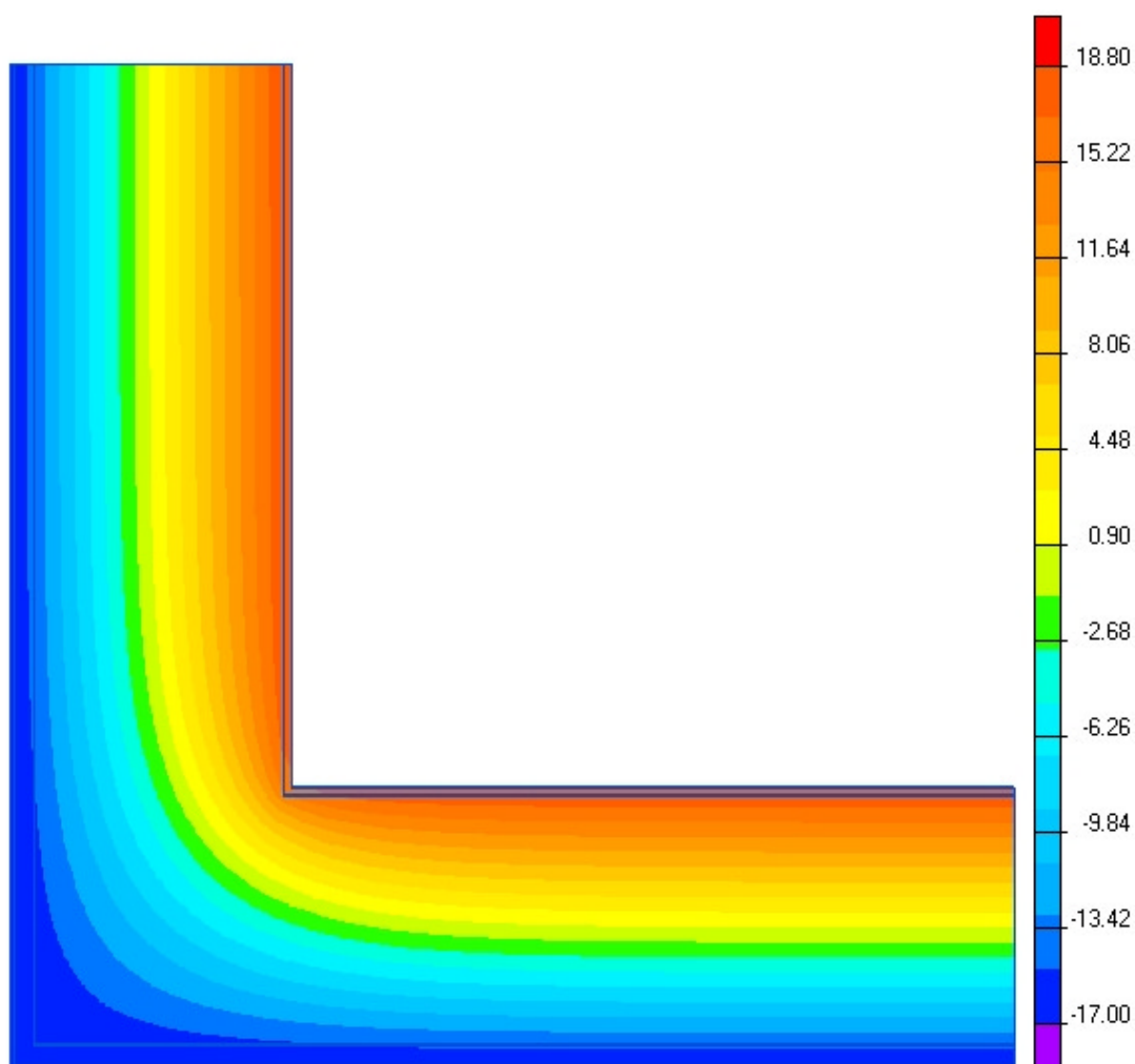


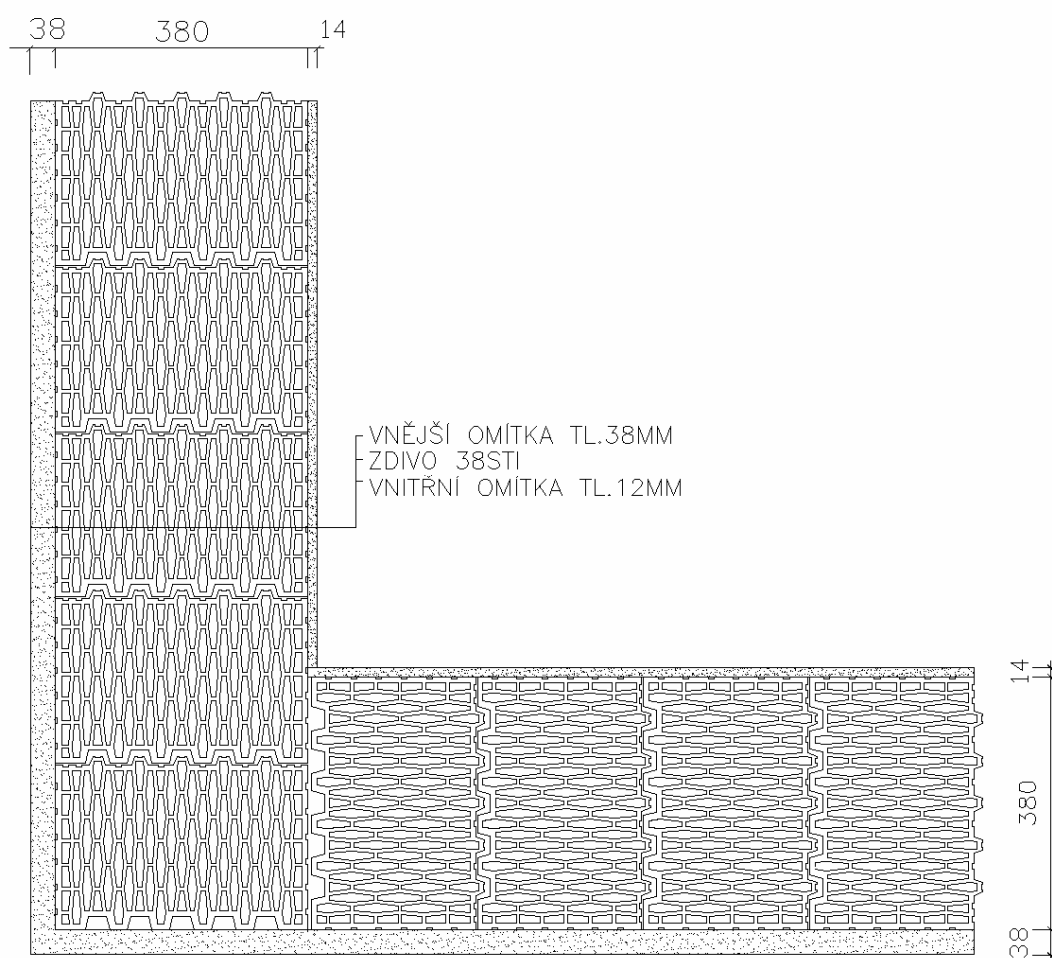
152 Detail rohu obvodového zdiva při exteriéru na vnější straně P+D 380 mm		
lineární činitel prostupu tepla - interiér ψ_i W/(m.K)	lineární činitel prostupu tepla - exteriér ψ_e W/(m.K)	teplotní faktor f_{Rsi} -
0,072	-0,193	0,7999



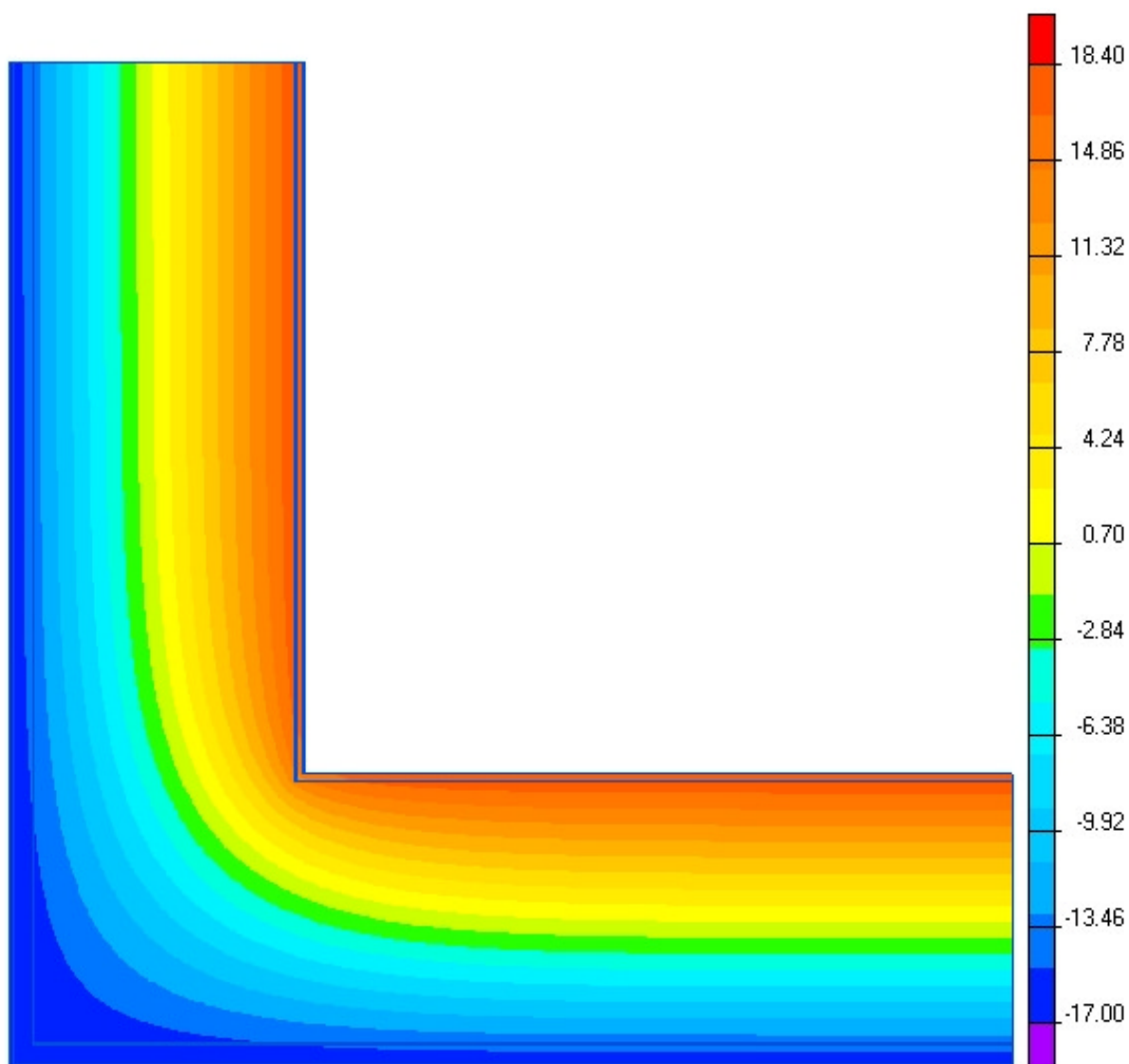


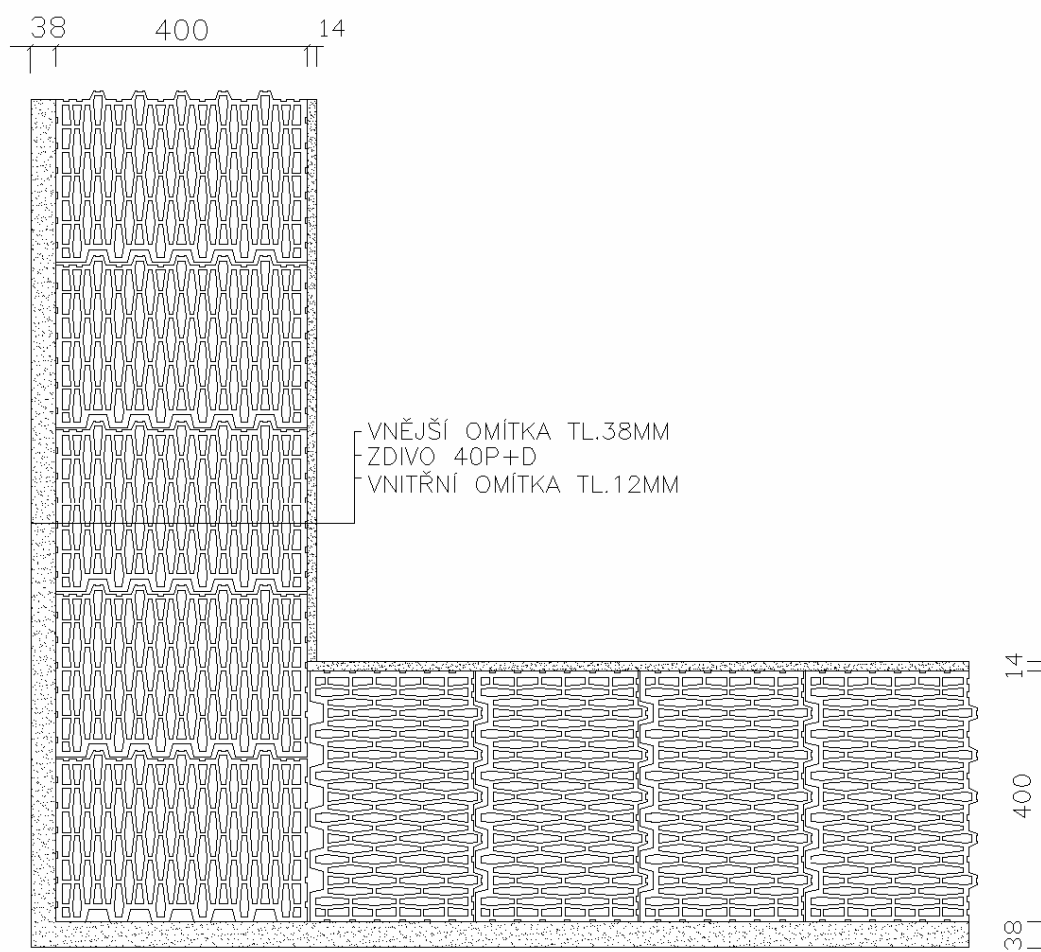
153 Detail rohu obvodového zdiva při exteriéru na vnější straně STI 380 mm		
lineární činitel prostupu tepla - interiér ψ_i W/(m.K)	lineární činitel prostupu tepla - exteriér ψ_e W/(m.K)	teplotní faktor f_{Rsi} -
0,058	-0,155	0,8315



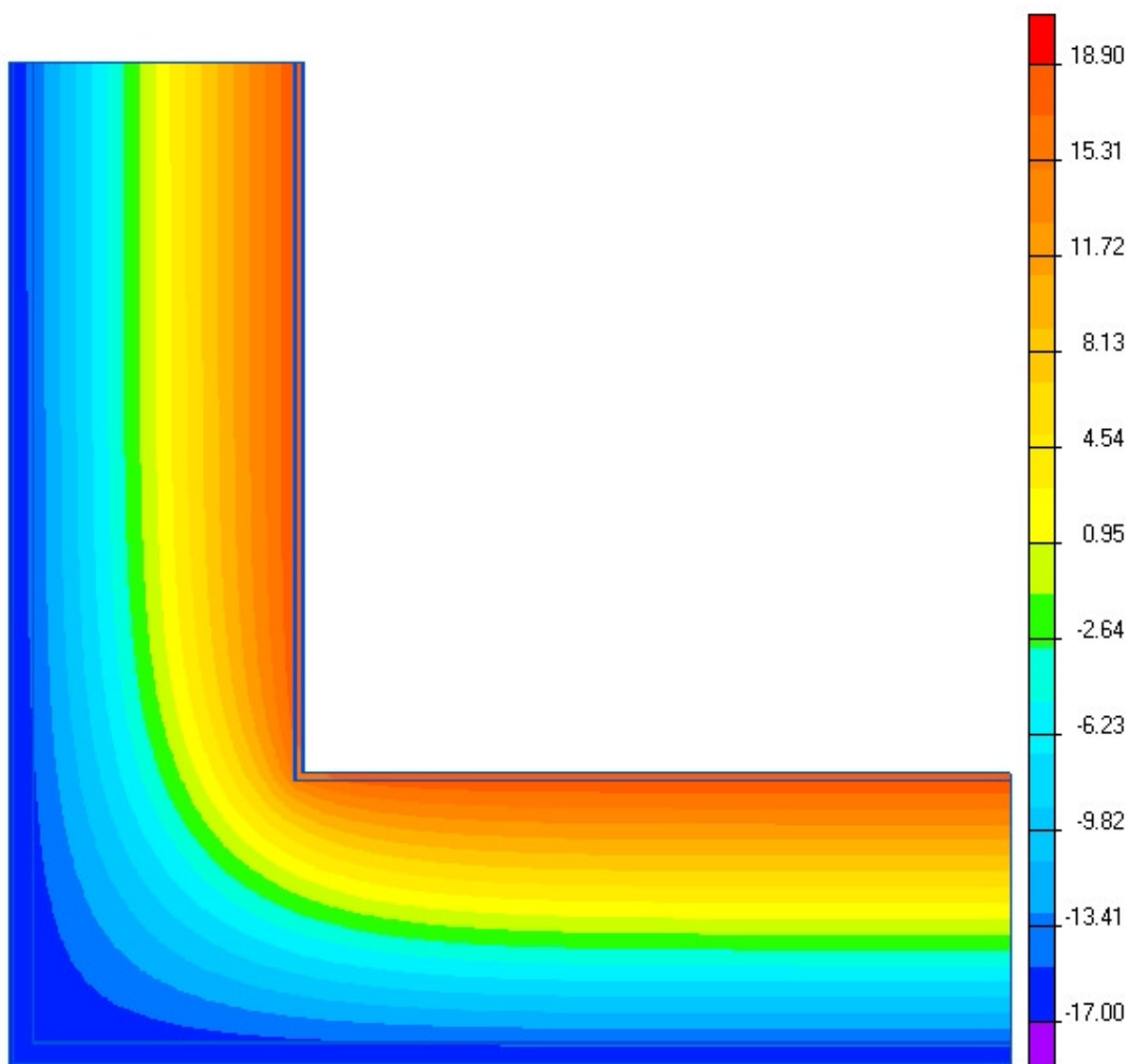


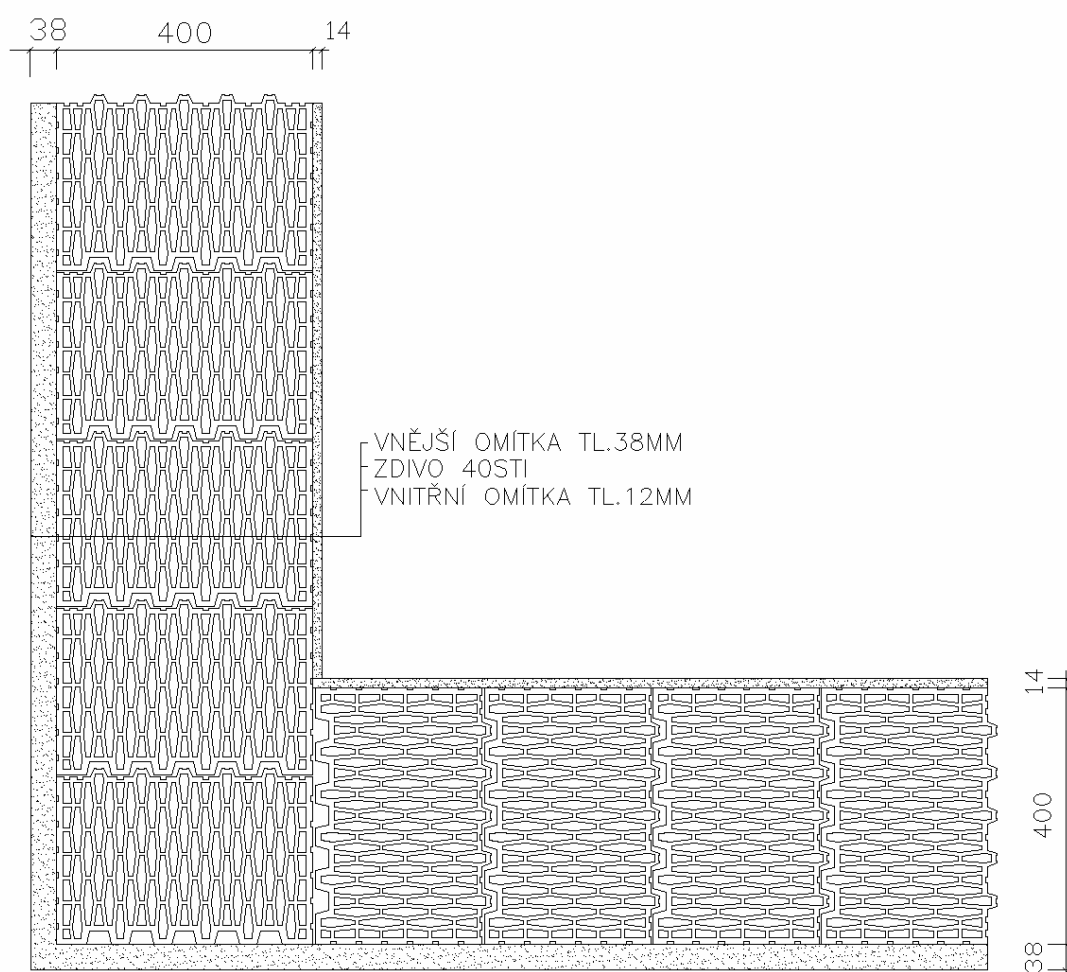
154 Detail rohu obvodového zdiva při exteriéru na vnější straně P+D 400 mm		
lineární činitel prostupu tepla - interiér ψ_i W/(m.K)	lineární činitel prostupu tepla - exteriér ψ_e W/(m.K)	teplotní faktor f_{Rsi} -
0,072	-0,193	0,8054



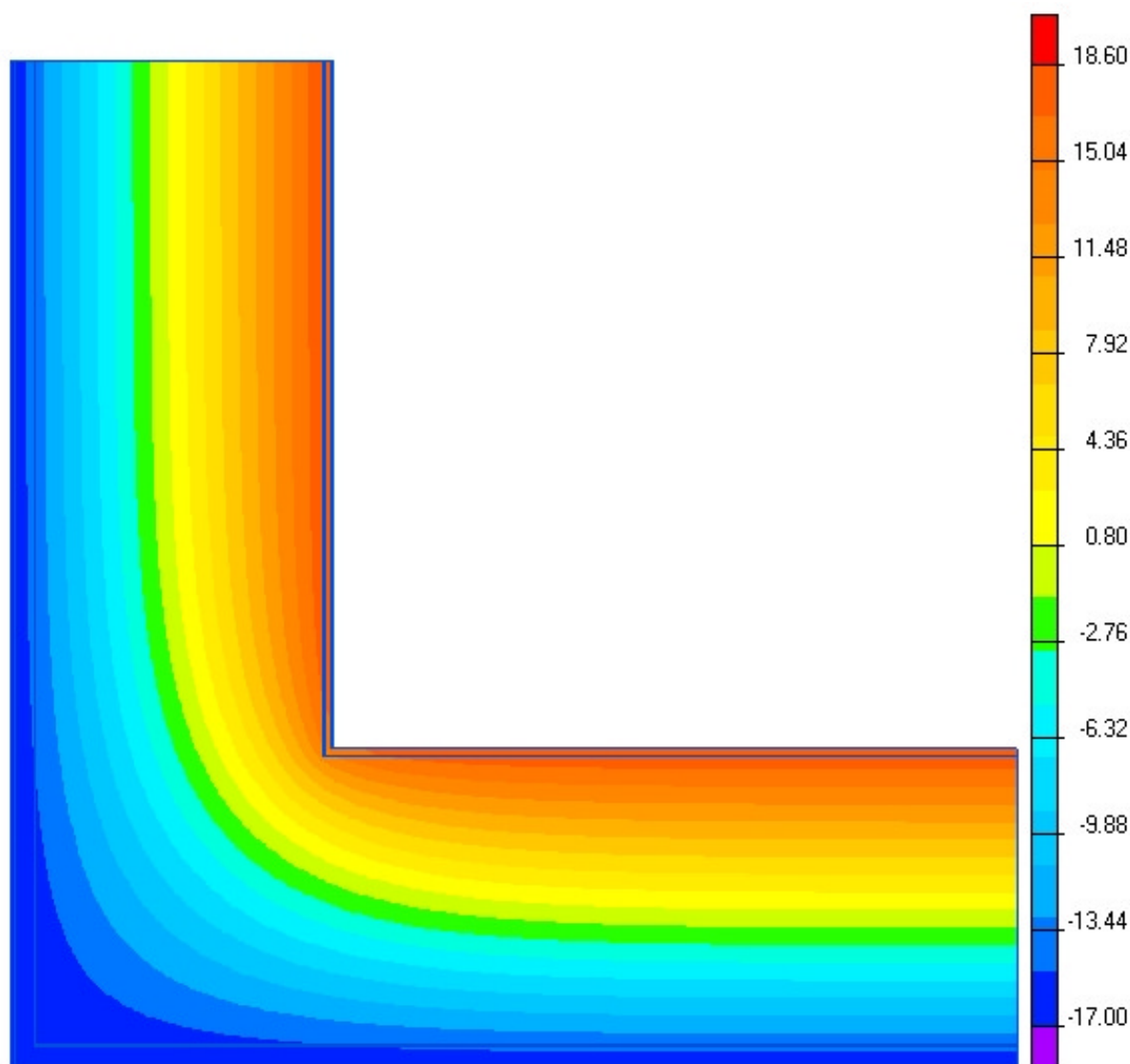


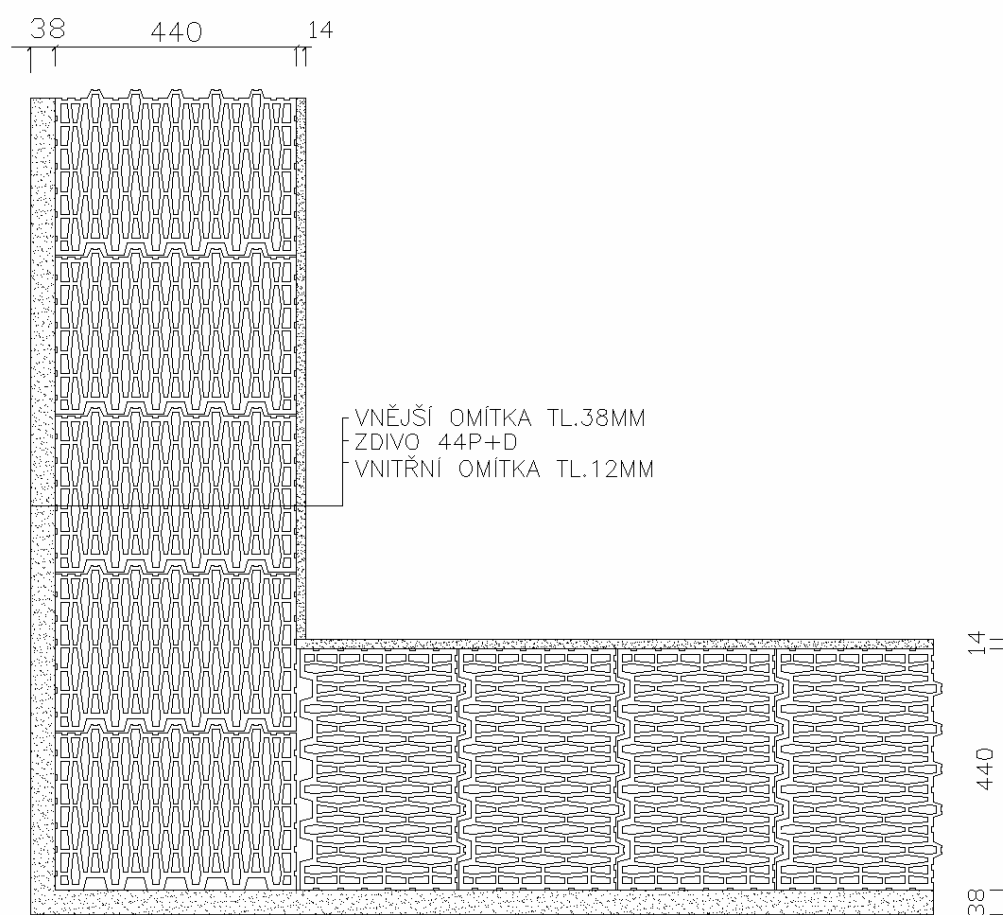
155 Detail rohu obvodového zdiva při exteriéru na vnější straně STI 400 mm		
lineární činitel prostupu tepla - interiér ψ_i W/(m.K)	lineární činitel prostupu tepla - exteriér ψ_e W/(m.K)	teplotní faktor f_{Rsi} -
0,058	-0,155	0,8452





156 Detail rohu obvodového zdiva při exteriéru na vnější straně P+D 440 mm		
lineární činitel prostupu tepla - interiér ψ_i W/(m.K)	lineární činitel prostupu tepla - exteriér ψ_e W/(m.K)	teplotní faktor f_{Rsi} -
0,072	-0,193	0,8154





157 Detail rohu obvodového zdiva při exteriéru na vnější straně STI 440 mm		
lineární činitel prostupu tepla - interiér ψ_i W/(m.K)	lineární činitel prostupu tepla - exteriér ψ_e W/(m.K)	teplotní faktor f_{Rsi} -
0,058	-0,154	0,8452

